

UNIVERSIDADE ESTADUAL DE CAMPINAS

INSTITUTO DE QUÍMICA

**Adição de Nucleófilos de Carbono
a Íons N-Acilimínio Substituídos**

**TESE DE DOUTORADO
Novembro de 1999**



Aluno: Adriano Otávio Maldaner

Orientador: Prof. Dr. Ronaldo Aloise Pilli



UNIDADE	I a
N.º CHAMADA:	T/UNICAMP
	M293a
V.	E
TOMBO BC/	40684
PROC.	278100
C	<input type="checkbox"/>
D	<input checked="" type="checkbox"/>
PREÇO	\$1,00
DATA	22/03/00
N.º CPD	

FICHAS CATALOGRÁFICA ELABORADA PELA
BIBLIOTECA DO INSTITUTO DE QUÍMICA
UNICAMP
CM-00135093-3

M293a

Maldaner, Adriano Otávio

Adição de nucleófilos de carbono a íons N-acilimínio
substituídos / Adriano Otávio Maldaner. -- Campinas,
SP: [s.n], 1999.

Orientador: Ronaldo Aloise Pilli.

Tese (doutorado) -- Universidade Estadual de
Campinas. Instituto de Química.

1. Alquilação. 2. Pirrolidinonas. 3. Quinolizidinas.
4. Indolizidinas. I. Pilli, Ronaldo Aloise. II. Universidade
Estadual de Campinas. Instituto de Química. III. Título.

Dedico esta tese à minha família, pelo apoio e confiança infinita durante toda minha formação acadêmica. Pai, Mãe, Fabi e Juli, este trabalho também é de vocês.

Agradecimentos

Felizmente tenho muitas pessoas que merecem ser lembradas neste momento e que de forma determinante me auxiliaram em todos os momentos nesta caminhada. Obviamente vou ser muito injusto e não conseguirei lembrar de todos, mas peço a estes que continuem me entendendo, me perdoando, me ajudando, que sejam grandes amigos e colegas mais uma vez e entendam que não ter o nome lembrado nesta página significa muito pouco perto da admiração e carinho que tenho por vocês.

Ao meu irmão Juliano pelo companheirismo e paciência com seu irmão mais velho, auxílio na parte computacional e por ser a prova viva de como duas pessoas que tem laços afetivos e que por mais diferentes que sejam, conseguem conviver harmoniosamente. Valeu maninho!

Aos meus pais Maridalva e Otávio e minha irmã Fabiana por, literalmente, TUDO.

À Fernanda, cuja inteligência, beleza e gênio nunca canso de apreciar.

Ao Nelson, Rosa, Eduardo e Patrícia pela convivência sempre muito agradável, confiança e também pela oportunidade que nos deram de usufruir de um espaço tão importante como a chácara em que moramos.

Aos amigos Sal, Charles, Benguinha, Pintas e Zé Renato, também verdadeiros irmãos. Ao Rodolfo, Bi, Marcão, Zezé, Marcela, Crê, Toy e Cris, Sis, Batata, Fabi, à turma do futebol do sábado, personificada aqui na figura do Professor Sergião e toda "galera" de amigos pela convivência sempre divertida, festas, cinemas, shows, Pantanal, jantares, churrascos e assuntos aleatórios que tive o prazer de participar com vocês. Somente gente boa.

Aos amigos e colegas de trabalho, cujas discussões na salinha do café, biblioteca, incontáveis churrascos ou cantina da Bio tanto ajudaram no meu crescimento como químico e como pessoa. Um abraço todo especial ao Dennis e Marcelo D'Oca grandes amigos gaudérios e verdadeiros companheiros. Some a esta turma: Adriana, Clécio, Cristina, Alice, Sílvio, Maurício, Alana, Carlos Souto, Valéria, Sandrinha e Edgar, Bira e Eliane, Betão e Raquel.

Aos colegas de trabalho Leo, Adão, Conceição Oliveira, Conceição Alves e família, Ivan, Fernando, Carlos Kleber, Wanda, Márcia, Denise, Gian e vários outros dos laboratórios vizinhos, como Claudinha, Patrícia, Paulão, Rafael, Rodolfo, Mola, Luís Mazinni, Paulo, Ítalo, Laverde, ... pelo respeito e convivência agradável.

Ao Fábio Gozzo pelo auxílio sempre paciente na parte de química computacional.

Aos funcionários do IQ que sempre me trataram muito bem, me ajudando no que fosse possível para que nosso trabalho pudesse ser realizado. Muito obrigado ao Chicão, Vandinha e Cida, nossos queridos técnicos do laboratório; às meninas da ressonância Paula, Sônia e Soninha pela infinidade de paciência comigo e competência inegável; ao Toninho e Ledenice da BIQ, Cidão e Zelinda do massas; À Bel, André, Alzira, Valdir, Iara, Paula, obrigado pela ajuda.

Ao Flávio Leite e Antônio Queiroz da Rhodia pela oportunidade, confiança e compreensão nesta "reta final".

Aos órgãos financiadores CNPq, Fapesp e FAEP pelas bolsas. Ao Instituto de Química e toda sua estrutura a serviço do desenvolvimento de pesquisa e, mais importante ainda, de pessoas.

Aos professores do DQO Anita, Kascheres, Herrera, Lúcia, Roque e Raquel pela dedicação e incentivo.

Ao Luiz Carlos Dias, "chefinho" de iniciação científica e amigo, pela ajuda, entusiasmo e, principalmente, incentivo tão importantes para mim no início dessa jornada.

E, finalmente, mas nem por isso menos sincero, deixo aqui meu profundo agradecimento ao Pilli, meu orientador há quase 9 anos, cuja competência, dedicação, interesse, seriedade, compreensão e experiência tive o privilégio de usufruir. Obrigado Chefe.

Banca Examinadora

Orientador: RONALDO ALOISE PILLI

Membros: TIMOTHY JOHN BROCKSOM (DQ-UFSCar)
ALBERT JAMES KASCHERES (UNIP)
LUIZ CARLOS DIAS (IQ-UNICAMP)
ANITA JOCELYNE MARSIAOLI (IQ-UNICAMP)

Suplentes: CARLOS ROQUE DUARTE CORREIA (IQ-UNICAMP)
SIMON J. GARDEN (IQ-UFRJ) – SUPLENTE EXTERNO

RESUMO

ADIÇÃO DE NUCLEÓFILOS DE CARBONO A ÍONS N-ACILIMÍNIO SUBSTITUÍDOS

Autor: Adriano Otávio Maldaner

Orientador: Ronaldo Aloise Pilli

O presente trabalho descreve os estudos de adição de nucleófilos de carbono a íons N-acilimínio substituídos e a utilização desta metodologia na obtenção estereoseletiva de sistemas piperidínicos, quinolizídicos, indolizídicos e decaidroquinolínicos. Para tal obteve-se N-Boc-2-piperidinonas 2.18 e 2.19 e as N-Boc-2-pirrolidinonas 2.20 e 2.21, substituídas na posição vizinha ao nitrogênio do anel, a partir da adição de reagentes de Grignard à glutarimida e succinimida, respectivamente, redução da hidroxilactama formada e proteção do nitrogênio na forma do carbamato *terc*-butílico. Estas lactamas foram utilizadas como substratos em um estudo sistemático de alquilação, levando às N-Boc-2-piperidinonas 3,6-dissubstituídas 2.22-2.24 e 2.28 e às N-Boc-2-pirrolidinonas 2.34, 2.35, 2.38-2.43 em rendimentos de 45-83%, após formação dos respectivos enolatos de lítio e captura com os eletrófilos iodeto de metila, brometo de alila e brometo de benzila. Foram obtidas altas seletividades (>94:6) em favor dos produtos *trans*-dissubstituídos em todos os sistemas e somente no caso das alquilações de sistemas pirrolidínicos com iodeto de metila foram obtidas misturas com os produtos *cis*-dissubstituídos.

A redução da carbonila endocíclica das lactamas dissubstituídas, seguida da adição de ácidos de Lewis, possibilitou a formação *in situ* dos respectivos íons N-acilimínio que foram capturados com vários agentes nucleofílicos. Os derivados piperidínicos reagiram em bons rendimentos (70-91%) com aliltributilestanana e sililenoléteres, fornecendo os produtos com estereoquímica relativa 2,6-*cis*/2,3-*trans* em boas seletividades (*ed*>80%). No entanto, as reações com os íons N-acilimínio derivados das pirrolidinonas dissubstituídas apresentaram baixa seletividade na adição de aliltributilestanana.

A metodologia desenvolvida para a obtenção estereoseletiva de piperidinas trissubstituídas foi utilizada na síntese das formas racêmicas da decaidroquinolina 4.3, indolizidina 4.4, 2,4-bis-*epi*-plumerinina 4.16 e Indolizidina 209B.

Palavras chave: pirrolidinona, piperidinona, alquilação, quinolizidina, indolizidina

ABSTRACT

ADDITION OF CARBON NUCLEOPHILES TO SUBSTITUTED N-ACYLIMINIUM IONS

Author: Adriano Otávio Maldaner

Supervision: Ronaldo Aloise Pilli

This work describes the studies on the addition of carbon nucleophiles to substituted N-acyliminium ions and the application of this methodology toward the stereoselective synthesis of piperidine, quinolizidine, indolizide and decahydroquinoline systems.

To achieve this goal α -substituted N-Boc-2-piperidinones **2.18** and **2.19** and the N-Boc-2-pyrrolidinones **2.20** and **2.21** were obtained from gluramide and succinimide after Grignard reactions, reduction of hydroxylactams and nitrogen protection with the tert-butyl carbamate. These lactams were used as starting material in a systematic alkylation study, leading to 3,6-disubstituted N-Boc-2-piperidinones **2.22-2.24** and **2.28** and to 3,5-disubstituted N-Boc-2-pyrrolidinones **2.34**, **2.35**, **2.38-2.43** in 45-83% yield. *trans*-Disubstituted products were obtained in high diastereoselection (>94/6) after reaction of the corresponding lithium enolates with methyl iodide, allyl bromide and benzyl bromide.

Carbonyl reduction followed by Lewis acid promoted *in situ* formation of the N-acyliminium ion paved the way for its reaction with several nucleophiles. The addition of allyltributylstananne and silylenolethers to 6-membered N-acyliminium ions afforded 2,6-cis/2,3-trans trisubstituted piperidine derivatives in good yields (70-91%) and selectivities (de>80%). On the other hand, the addition of allyltributylstananne to 5-membered N-acyliminium ions led to the trisubstituted pyrrolidine derivatives with low distereoisomeric ratio (1.1/1-2.2/1).

The methodology developed for the stereoselective preparation of trisubstituted piperidine derivatives was employed in the preparation of the racemic form of decahydroquinoline **4.3**, indolizidine **4.4**, 2,4-bis-*epi*-plumerinine **4.16** and Indolizidine **209B**.

Keywords: pyrrolidinones, piperidinones, alkylation, indolizidines, quinolizidines

Curriculum Vitae

ADRIANO OTÁVIO MALDANER

DADOS PESSOAIS

DATA DE NASCIMENTO 02 de Fevereiro de 1972; Passo Fundo/RS

ENDEREÇO Rua João Batista Grigol, nº 470
CEP. 13085-813 - Campinas - SP
Tel. (019) 287-4625

FORMAÇÃO DE NÍVEL SUPERIOR

- **GRADUAÇÃO**

Bacharelado em Química
Instituto de Química – UNICAMP - Campinas/SP
Início: 1990; Conclusão: 1993

- **GRADUAÇÃO**

Licenciatura em Química
Instituto de Química – UNICAMP - Campinas/SP
Início: 1990; Conclusão: 1996

- **PÓS-GRADUAÇÃO**

Doutoramento em Química (passagem direta mestrado-doutorado)
Instituto de Química - Depto de Química Orgânica
UNICAMP - Campinas/SP
Início: 1994; Conclusão: 1999

TRABALHOS PUBLICADOS

- Pilli, R.A.; Dias, L.C.; **Maldaner, A. O.** "A One-Pot Preparation of Quinolizidin-2-one and Indolizidin-7-one Ring Systems. Concise Total Syntheses of (+/-)-Myrtine, (+/-)-Lasubine II and (-)-Indolizidine 223AB" *Journal of Organic Chemistry* **1995**, *60*, 717
- Pilli, R. A.; Dias, L. C.; **Maldaner, A. O.** "Tandem N-Acyliminium-Michael Addition. An Efficient Total Synthesis of Quinolizidine Alkaloids (+/-)-Myrtine and (+/-)-Lasubine II."; *Tetrahedron Letters*, **1993**, *34*, 2729
- **Maldaner, A. O.**; Pilli, R. A.; "Stereoselective Alkylation of N-Boc-2-Pyrrolidinones and N-Boc-2-Piperidinones. Synthesis and Characterization of Disubstituted Lactams"; *Tetrahedron*, **1999**, *55*, 13321

TRABALHOS EM CONGRESSOS

- **Maldaner, A. O.**; Pilli, R. A. "Adição de nucleófilos de carbono a íons N-Acyliminio substituídos: Formação de sistemas Octahidroquinolínicos" *Sociedade Brasileira de Química, 22º reunião anual, 1999*.

- **Maldaner, A. O.**; Pilli, R. A. "Addition of carbon nucleophiles to substituted N-acyliminium ions as the key step to the formation of indolizidine systems", *8th Brazilian Meeting on Organic Synthesis, 1998*.
- **Maldaner, A. O.**; Pilli, R. A. "Alkylation reactions on pyrrolidinic systems: synthesis and characterization of 3,5-disubstituted-N-Boc-2-pyrrolidones", *8th Brazilian Meeting on Organic Synthesis, 1998*.
- **Maldaner, A. O.**; Pilli, R. A. "Trisubstituted quinolizidinone via sequential N-acyliminium ion-Michael addition process", *7th Brazilian Meeting on Organic Synthesis, 1996*.
- **Maldaner, A. O.**; Pilli, R. A. "Síntese estereosseletiva de trans-N-Boc-3,6-dimetil-2-piperidona" *Sociedade Brasileira de Química, 19^a reunião anual, 1996*.
- **Maldaner, A. O.**; Pilli, R. A.; Dias, L. C. "Atribuição estereoquímica de duas indolizidinonas epiméricas. Uma revisão da literatura" *Sociedade Brasileira de Química, 17^a reunião anual, 1994*.
- **Maldaner, A. O.**; Pilli, R. A.; Dias, L. C. "Síntese total do Alcalóide Indolizídico 3R,5R,9R,-(-) GEFIROTOXINA 223 AB" *Sociedade Brasileira de Química, 16^a reunião anual, 1993*.
- **Maldaner, A. O.**; Pilli, R. A.; Dias, L. C. "Total Synthesis of the Quinolizidine Alkaloids (\pm)-Myrtine and (\pm)-Epimyrtine." *Sociedade Brasileira de Química, 15^a reunião anual, 1992*.
- **Maldaner, A. O.**; Pilli, R. A.; Dias, L. C. "Total Synthesis of the Indolizidine Alkaloid (\pm)-GEFIROTOXINA 223 AB", *5th Brazilian Meeting on Organic Synthesis, 1992*.

ENTIDADES CIENTÍFICAS

- Sócio Efetivo da Sociedade Brasileira de Química (SBQ)

ATIVIDADES DIDÁTICAS

- Estágio para conclusão do curso Licenciatura em Química -UNICAMP na Escola Batista de Campinas, segundo semestre de 1996.
- Estágio de Capacitação Docente no Instituto de Química da Universidade Estadual de Campinas (UNICAMP) – disciplina QG-564-Química Orgânica e Inorgânica Experimental – primeiro semestre de 1997 - Carga Horária: 8 horas/semana

ATIVIDADES PROFISSIONAIS

- Assistente de Pesquisas – Centro de Pesquisas de Paulínia – Rhodia Brasil (início: agosto de 1999)

Índice

1 OBJETIVOS	1
2 ALQUILAÇÃO DE LACTAMAS	2
2.1 METODOLOGIA DE OBTENÇÃO DE LACTAMAS	2
2.1.1 INTRODUÇÃO	2
2.1.2 SÍNTESE DE LACTAMAS SUBSTITUÍDAS EM FORMA RACÊMICA	3
2.1.3 SÍNTESE DE LACTAMAS SUBSTITUÍDAS NA FORMA NÃO-RACÊMICA	4
2.2 METODOLOGIAS DE ALQUILAÇÃO DE LACTAMAS	8
2.2.1 INTRODUÇÃO	8
2.2.1.1 Alquilação de lactamas sem auxiliar quiral no nitrogênio	10
2.2.1.2 Alquilação de lactamas com auxiliar quiral no nitrogênio	16
2.2.1.3 Alquilação de lactamas bicíclicas	17
2.3 RESULTADOS E DISCUSSÃO	20
2.3.1 OBTENÇÃO DE N-Boc-2-PIPERIDINONAS E N-Boc-2-PIRROLIDINONAS SUBSTITUÍDAS	20
2.3.2 ALQUILAÇÃO DE N-Boc-2-PIPERIDINONAS SUBSTITUÍDAS	24
2.3.3 ALQUILAÇÃO DE N-Boc-2-PIRROLIDINONAS SUBSTITUÍDAS	28
2.4 CONCLUSÕES	37
3 ADIÇÃO DE NUCLEÓFILOS DE CARBONO A ÍONS N-ACILIMÍNIO	38
3.1 ÍONS N-ACILIMÍNIO: ASPECTOS GERAIS	38
3.1.1 INTRODUÇÃO	38
3.1.2 OBTENÇÃO DE ÍONS N-ACILIMÍNIO E SEUS PRECURSORES	39
3.1.2.1 Síntese de Precursors α-Oxigenados	39
3.1.2.1.1 Adição de reagentes de Grignard a imidas	39
3.1.2.1.2 Adição de nucleófilos de oxigênio a íons N-acilimínio	39
3.2 ADIÇÃO DE NUCLEÓFILOS DE CARBONO A ÍONS N-ACILIMÍNIO SUBSTITUÍDOS	40
3.2.1 INTRODUÇÃO	40
3.2.2 ADIÇÃO DE NUCLEÓFILOS A ÍONS N-ACILIMÍNIO MONOSSUBSTITUÍDOS	40
3.2.3 ADIÇÃO DE NUCLEÓFILOS A ÍONS N-ACILIMÍNIO DISSUBSTITUÍDOS	45
3.3 RESULTADOS	48
3.3.1 ADIÇÃO DE NUCLEÓFILOS A ÍONS N-ACILIMÍNIO PIPERIDÍNICOS DISSUBSTITUÍDOS	48
3.3.1.1 Obtenção de precursores dos íons N-acilimínio	48
3.3.1.2 Adição de Silanolídeos a íons N-acilimínio	50
3.3.1.3 Adição de Aliltributilestanana a íons N-acilimínio	52
3.3.1.4 Adição de Trietilsilano	56
3.3.1.5 Adição de 2-(<i>terc</i>-butil-dimetil-sililoxi)-furano	57
3.3.1.6 Adição de 1-metóxi-3-(trimetilsililoxi)-1,3-butadieno (dieno de Danishefsky)	59
3.3.2 ADIÇÃO DE NUCLEÓFILOS A ÍONS N-ACILIMÍNIO PIRROLIDÍNICOS DISSUBSTITUÍDOS	60
3.3.2.1 Obtenção de precursores dos íons N-acilimínio	60
3.3.2.2 Adição de Aliltributilestanana a íons N-acilimínio	61
3.4 CONCLUSÕES	66

4 PREPARAÇÃO ESTEREOSELETIVA DE SISTEMAS BICÍCLICOS NITROGENADOS SUBSTITUÍDOS	68
4.1 INTRODUÇÃO	68
4.2 FORMAÇÃO DE SISTEMAS DECAIDROQUINOLÍNICOS	70
4.2.1 INTRODUÇÃO	70
4.3 FORMAÇÃO DE SISTEMAS INDOLIZIDÍNICOS: SÍNTESE DA (±)-INDOLIZIDINA 209B	72
4.3.1 INTRODUÇÃO	72
4.3.2 RESULTADOS	73
4.3.2.1 Síntese da Indolizidina Modelo 4.4	73
4.3.2.2 Síntese da (±)-Indolizidina 209B	75
4.4 FORMAÇÃO DE SISTEMAS QUINOLIZIDÍNICOS: SÍNTESE DOS EPÍMEROES EM C-2 E C-4 DA (±)-PLUMERININA	77
4.4.1 INTRODUÇÃO	77
4.4.2 RESULTADOS	79
4.4.3 CARACTERIZAÇÃO DA QUINOLIDIDINONA 4.12	84
4.4.4 EPIMERIZAÇÃO DE SISTEMAS QUINOLIZIDÍNICOS	87
4.4.5 ANÁLISE CONFORMACIONAL DE QUINOLIZIDINONAS POR MÉTODOS DE QUÍMICA COMPUTACIONAL	88
4.4.6 REDUÇÃO DA QUINOLIZIDINONA 4.12	93
4.5 CONCLUSÕES	96
5 CONCLUSÃO GERAL	98
6 PARTE EXPERIMENTAL	101
6.1 PREPARAÇÃO DOS REAGENTES E APARELHOS UTILIZADOS	101
6.2 CAPÍTULO 2	102
6.3 CAPÍTULO 3	116
6.4 CAPÍTULO 4	128
7 REFERÊNCIAS	136
8 ANEXOS	140

Índice de Esquemas

Esquema 1: Formação de íons N-acilimínio dissubstituídos como passo-chave na possível obtenção de sistemas heterocíclicos nitrogenados.....	2
Esquema 2: Metodologias para obtenção de lactamas	3
Esquema 3: Obtenção e redução α -hidroxilactamas	4
Esquema 4: Utilização do ácido (S)-piroglutâmico na obtenção de lactamas quirais	5
Esquema 5: Obtenção de lactamas em forma não-racêmica.....	5
Esquema 6: Formação e utilização de lactamas bicíclicas quirais	6
Esquema 7: Utilização de (R)-fenilglicinol na obtenção de 2-piperidinonas quirais	7
Esquema 8: Ciclização de sistemas quirais não-racêmicos para formação de lactamas.....	7
Esquema 9: Alquilação de enolatos – aspectos estereoeletrônicos	9
Esquema 10: Hidroxilação e selenilação de enolatos pirrolidínicos	13
Esquema 11: Obtenção de pirrolidinonas <i>cis</i> -3,5-dissubstituídas	15
Esquema 12: Alquilação de N-Benzil-2-pirrolidinona	15
Esquema 13: Alquilação de sistemas piperidínicos	16
Esquema 14: Modelos propostos por Quirion e colaboradores para alquilação de piperidinonas protegidas com (S)-fenilglicinol	16
Esquema 15: Seletividades observadas para alquilação de lactamas bicíclicas	18
Esquema 16: Cálculos de sistema modelo no estudo de alquilação de lactamas bicíclicas	19
Esquema 17: Alquilações em sistemas bicíclicos contendo lactama de 6 membros	19
Esquema 18: Obtenção e redução α -hidroxilactamas	21
Esquema 19: Obtenção da lactona 2.17	22
Esquema 20: Espectros parciais de ^1H -RMN para 2.22 (A: reação à -78°C ; B: reação à -23°C)	25
Esquema 21: Desproteção das lactamas 2.22-2.24	25
Esquema 22: Análise de 2.26 por cromatografia gasosa.....	25
Esquema 23: Obtenção e desproteção da lactamas 2.24.....	26
Esquema 24: Obtenção das piperidinas 2.30-2.33	27
Esquema 25: Espectros de ^1H -RMN e CYCLENOE de 2.31.....	27
Esquema 26: Alquilação axial dos enolatos piperidínicos	28
Esquema 27: Desproteção das lactamas 2.34 e 2.35 e cromatogramas gasosos de desproteções realizadas com amostra filtrada (A) e com bruto reacional (B) das alquilações	30
Esquema 28: Principais incrementos em experimentos de nOe com 2.38	32
Esquema 29: Principais incrementos em experimentos de nOe com 2.40-2.42	34
Esquema 30: Principais incrementos em experimentos de nOe com 2.43	35
Esquema 31: Formação de íons N-acilimínio	38
Esquema 32: Redução de lactamas com trietylboroidreto de lítio	40
Esquema 33: Íons N-acilimínio piperidínicos	44
Esquema 34: Adição de nucleófilos a íons N-acilimínio endocíclicos.....	45
Esquema 35: Adição de nucleófilos a íons N-acilimínio pirrolidínicos dissustituidos	46
Esquema 36: Adição a íons N-acilimínio piperidínicos dissustituidos.....	47
Esquema 37: Ataque axial preferido estereoeletronicamente para sistemas piperidínicos 3,6- <i>trans</i> -disustituidos	48
Esquema 38: Redução de lactamas piperidínicas com LiEt ₃ BH	49
Esquema 39: Adições de silanolídeos ao íon N-acilimínio 3.7	50
Esquema 40: Atribuição da estereoquímica das piperidinas 3.8-3.11 e CYCLENOE de 3.8	51
Esquema 41: Adição de aliltributilestanana à íons N-acilimínio piperidínicos.....	53
Esquema 42: Cromatografia gasosa e espectrometria de massas (IE) do composto 3.12	54
Esquema 43: Constantes de acoplamento em piperidinas aliladas e experimentos de nOe-diferencial com os compostos 3.12 e 3.17	55
Esquema 44: Possível equilibração dos íons N-acilimínio 3,6-substituídos.....	56
Esquema 45: Obtenção da piperidina 2.30 através da redução do íon N-acilimínio 3.7	56
Esquema 46: Comparação dos espectros de ^1H -RMN (região das metilas) de amostras de 2.30 obtidas por diferentes rotas - redução da lactama 2.22 (A) e do íon N-acilimínio 3.7 (B)	57
Esquema 47: Obtenção de 3.18 e 3.19 e atribuição de C-2 e C-4' por nOe.....	58
Esquema 48: Análise por raio-X de 3.18	59
Esquema 49: Adição do dieno de Danishefsky ao imínio 3.7	60
Esquema 50: Adição de nucleófilos a sistemas pirrolidínicos <i>trans</i> -disustituidos	60
Esquema 51: Redução das pirrolidinonas 2.38-2.43	61

Esquema 52: Obtenção e caracterização de 3.31 e 3.36	62
Esquema 53: Caracterização de 3.31 por CG/EM.....	62
Esquema 54: Caracterização de 3.31 por HPLC	63
Esquema 55: Obtenção dos sistemas pirrolidínicos 3.32 e 3.33.....	63
Esquema 56: Obtenção dos sistemas pirrolidínicos 3.34 e 3.35	64
Esquema 57: Ciclo catalítico proposto para a metátese de olefinas	65
Esquema 58: Fechamento de anel por metátese de olefinas das misturas 3.34 e 3.35	66
Esquema 59: Sistemas decaidroquinolínicos	69
Esquema 60: Sistemas indolizídicos (A) e quinolizídicos (B)	69
Esquema 61: Síntese do sistema octaidroquinolínico 4.1.....	70
Esquema 62: Desproteção do sistema octaidroquinolínico 4.1 e espectro de IV (bandas de Bohlmann) de 4.2.....	71
Esquema 63: Obtenção de sistemas indolizídicos por Shishido e Kibayashi.....	72
Esquema 64: Proposta para síntese de sistemas indolizídicos	73
Esquema 65: Sequências reacionais para formação de 4.5	73
Esquema 66: Fechamento de anel para obtenção da indolizidina 4.4	74
Esquema 67: Obtenção do sistema indolizídico 4.4 através do tosilato 4.8.....	74
Esquema 68: Espectros de ¹ H-RMN, COSY e IV da indolizidina 4.4	75
Esquema 69: Obtenção da (\pm)-Indolizidina 209B	76
Esquema 70: Relação epimérica em C-2 entre 3.8 e a Plumerinina	77
Esquema 71: Possível interconversão entre sistemas quinolizídicos.	78
Esquema 72: Espectros de infravermelho de 3.8 e 3.10	79
Esquema 73: Obtenção da quinolizidinona 4.12	79
Esquema 74: Análises por CG/EM das ciclizações via reação de Michael intramolecular.....	81
Esquema 75: Principais incrementos de nOe observados para H-9a (A), H-4 (B) e H-6 (C). Espectro de ¹ H-RMN e Irradiação C (2,8 ppm-H-6) na quinolizidinona 4.12.....	85
Esquema 76: Atribuição da quinolizidinona 4.12 por COSY	86
Esquema 77: Atribuição da quinolizidinona 4.12 por HETCOR	86
Esquema 78: Mecanismos retro-Michael e retro-Mannich na possível epimerização em C-6 e 9a.....	87
Esquema 79: Equilíbrios em sistema quinolizídicos	87
Esquema 80: Resultados de cálculos para quinolizidinona 4.12 (energia relativa).....	89
Esquema 81: Resultados de cálculos para quinolizidinona 4.13 (energia relativa).....	89
Esquema 82: Resultados de cálculos para quinolizidinona 4.14 (energia relativa).....	89
Esquema 83: Resultados de cálculos para quinolizidinona 4.15 (energia relativa).....	90
Esquema 84: Resultados de cálculos: mecânica molecular UFF (energia relativa).....	90
Esquema 85: Resultados de cálculos: mecânica molecular Dreiding (energia relativa).....	90
Esquema 86: Resultados de cálculos: semi-empírico AM1 (energia relativa)	91
Esquema 87: Resultados de cálculos com método semi-empírico PM3 (energia relativa)	91
Esquema 88: Resultados de cálculos com método ab initio STO-3G (energia relativa)	92
Esquema 89: Resultados de cálculos com método ab initio 3-21G (energia relativa).....	92
Esquema 90: Redução da quinolizidinona 4.12 e obtenção das hidroxiquinolizidinas 4.16 e 4.17.....	93
Esquema 91: As possíveis conformações das hidroxiquinolizidinas 4.16 e 4.17.....	94
Esquema 92: A-Determinação da estereoquímica de 4.16 e 4.17 por nOe; B-Espectros de ¹ H-RMN e CYCLENOE de 4.16).....	95
Esquema 93: Obtenção da hidroxiquinolizidina 4.16	96

Índice de Tabelas

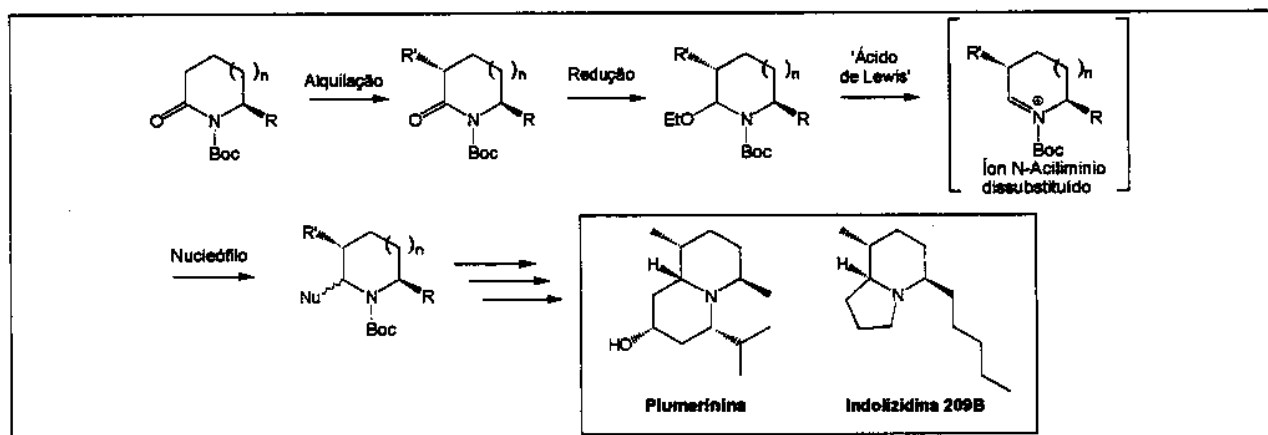
Tabela 1: Exemplos da literatura para condensações aldólicas de (S)-N-Boc-5-carboalcóxi-2-pirrolidinonas.....	11
Tabela 2: Exemplos da literatura para alquilação com haleto de alquila de (S)-N-Boc-5-carboalcóxi-2-pirrolidinonas.....	12
Tabela 3: Exemplos da literatura para alquilação com haleto de alquila de (S)-N-Boc-5-(silióxi-metíleno)-2-pirrolidinonas.....	13
Tabela 4: Alquilação de sistemas derivados do (S)-fenilglicinol.....	17
Tabela 5: Formação de 2-piperidinonas (n=2) e 2-pirrolidinonas (n=1) substituídas	20
Tabela 6: Comparação das lactamas 2.13-2.16 com dados da literatura.....	22
Tabela 7: Formação de N-Boc-2-piperidinonas (n=2) e N-Boc-2-pirrolidinonas (n=1) substituídas.....	23
Tabela 8: Alquilação de N-Boc-6-metil-2-piperidinona	24
Tabela 9: Alquilação de N-Boc-5-metil-2-pirrolidinona com iodeto de metila.....	29
Tabela 10: Alquilação de N-Boc-5-fenil-2-pirrolidinona com iodeto de metila	31
Tabela 11: Alquilação de N-Boc-5-metil-2-pirrolidinona com brometo de alila.....	33
Tabela 12: Alquilação de N-Boc-5-metil-2-pirrolidinona com brometo de benzila.....	33
Tabela 13: Alquilação de N-Boc-5-fenil-2-pirrolidinona com brometo de alila.....	33
Tabela 14: Alquilação de N-Boc-5-fenil-2-pirrolidinona com brometo de benzila.....	34
Tabela 15: Deslocamentos químicos e constantes de acoplamento para 2-pirrolidinonas N-Boc-3,5-dissubstituídas.....	36
Tabela 16: Exemplos da literatura para adições a íons N-acilimínio pirrolidínicos 5-substituídos	41
Tabela 17: Exemplos da literatura para adições a íons N-acilimínio pirrolidínicos bicíclicos	42
Tabela 18: Exemplos da literatura para adições a íons N-acilimínio piperidínicos 6-substituídos	43
Tabela 19: Exemplos da literatura para adições a íons N-acilimínio derivados do ácido málico	45
Tabela 20: Comparação dos dados espectroscópicos da (\pm)-Indolizidina 209B com a literatura ^a	76
Tabela 21: Testes de ciclização intramolecular na formação de sistemas Quinolizídínicos	80
Tabela 22: Testes de ciclização intramolecular na formação de sistemas Quinolizídínicos: Sistemas Fechados	82
Tabela 23: Testes de ciclização intramolecular na formação de sistemas Quinolizídínicos: Sistemas Fechados com NH ₄ OH/ROH (1:1)	82
Tabela 24: Testes das reduções da quinolizidinona 4.12	93

1 Objetivos

- Avaliação da estereoseletividade na alquilação de enolatos de lactamas substituídas na posição α ao nitrogênio.
- Adição de nucleófilos de carbono a íons N-acilimínio cíclicos de 5- e 6-membros dissustituídos e obtenção de derivados pirrolidínicos e piperidínicos trissustituídos.
- Aplicação dos estudos anteriores na síntese dos alcalóides (\pm)-Indolizidina 209B e (\pm)-Plumerinina.

2 Alquilação de Lactamas

A obtenção de íons N-acilimínio substituídos e o estudo de adições estereoseletivas de nucleófilos a estas espécies, foi proposta como uma alternativa para a formação de sistemas heterocíclicos que, devido aos seus padrões de substituição, poderiam participar como intermediários-chave na síntese de produtos naturais de interesse. Neste contexto surge o interesse em estudar a seletividade nas reações de alquilação em sistemas pirrolidínicos e piperidínicos, já que essas lactamas são possíveis precursoras destes íons N-acilimínio (Esquema 1).



Esquema 1: Formação de íons N-acilimínio dissustituídos como passo-chave na possível obtenção de sistemas heterocíclicos nitrogenados.

2.1 Metodologia de Obtenção de Lactamas

2.1.1 Introdução

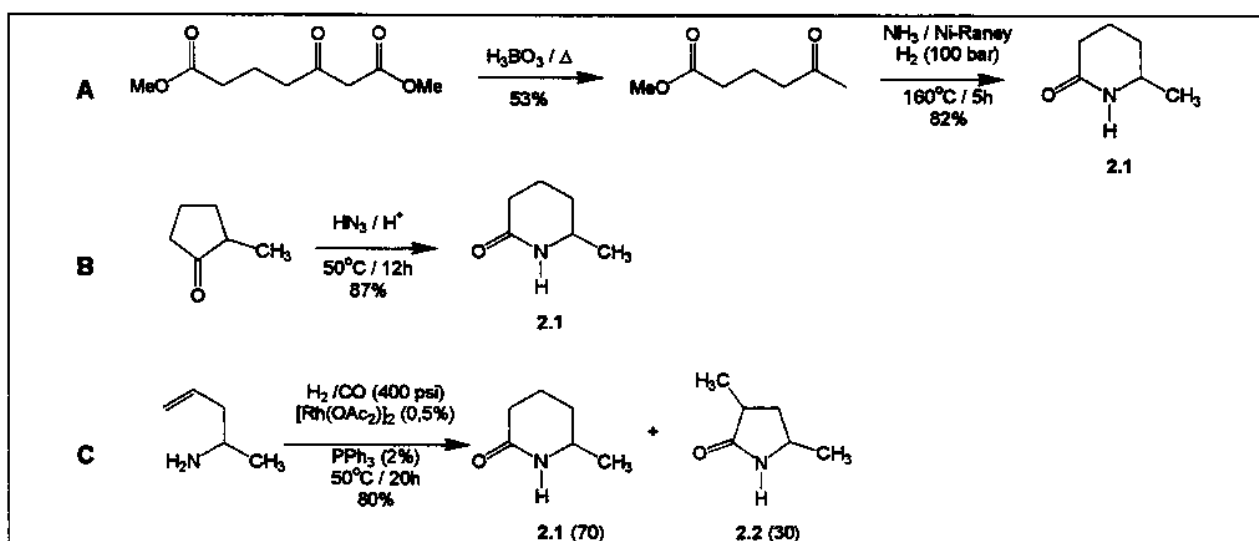
O interesse em estudar metodologias para a obtenção de sistemas piperidínicos e pirrolidínicos está baseado no grande número destes sistemas que são encontrados na Natureza e nas suas possíveis utilizações farmacológicas decorrentes de suas atividades biológicas características¹. Em encontro a isso soma-se a necessidade da obtenção de sistemas substituídos com estereoquímica definida, já que a posição relativa destes substituintes e a mobilidade conformacional do anel heterocíclico apresentam grande importância em processos de reconhecimento enzimático². Além disso lactamas podem ser utilizadas como materiais de partida versáteis e como ligantes ou auxiliares quirais para a aplicação em sínteses assimétricas.³

Várias metodologias foram desenvolvidas e encontram-se disponíveis na literatura para a obtenção de lactamas na forma racêmica ou enantiomericamente enriquecidas. Apresentaremos neste capítulo alguns dos métodos mais significativos e procuraremos também

mostrar metodologias alternativas que poderiam ser usadas para obtenção de substratos sintetizados neste trabalho nas suas versões assimétricas.

2.1.2 Síntese de Lactamas Substituídas em Forma Racêmica

A obtenção de 6-metil-2-piperidinona **2.1** em sua forma racêmica foi descrita por Lhommet e colaboradores⁴ centrada numa reação de ciclização e formação da lactama a partir do aminoéster correspondente (Esquema 2-A). Por sua vez Conley⁵ demonstrou a obtenção de uma série de lactamas através da conversão de cetonas cíclicas na presença de ácido hidrazóico e ácido polifosfórico como solvente e catalisador da reação (reação de Schmidt). A lactama **2.1** foi obtida a partir da 2-metil-ciclopentanona em 87% de rendimento através deste procedimento (Esquema 2-B).



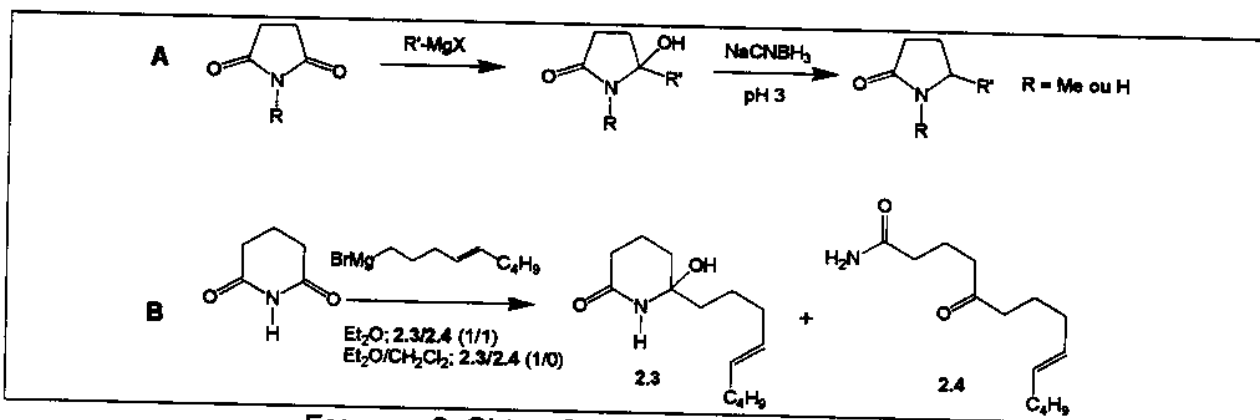
Esquema 2: Metodologias para obtenção de lactamas

Anastasiou e Jackson⁶ também observaram a formação da lactama **2.1**, majoritariamente numa mistura com 3,5-dimetil-2-pirrolidinona **2.2** (Esquema 2-C), através da reação de hidrocarbonilação de aminas insaturadas. Outras lactamas foram obtidas em bons rendimentos a partir desta técnica dependendo da amina utilizada (variando número de carbonos entre o nitrogênio e a dupla ligação e o grau de substituição do sistema).

Além destas técnicas disponíveis para a formação de sistemas piperidínicos já havíamos utilizado em nosso laboratório⁷ a metodologia de redução de α -hidróxi-2-pirrolidinonas com NaCNBH₃ em meio ácido. Este procedimento foi adaptado de trabalhos da literatura para redução das respectivas α -hidroxilactamas originadas do ataque nucleofílico de reagentes de Grignard a N-metil-succinimida⁸ ou succinimida⁹ (Esquema 3-A).

A aplicação desta metodologia em sistemas piperidínicos apresentou vários problemas referentes a abertura da α -hidroxilactama intermediária e obtenção da amidocetona correspondente.¹⁰ Por outro lado, em um trabalho de Evans e colaboradores¹¹ foi relatado que a

adição de uma solução de glutarimida em diclorometano a um reagente de Grignard levou ao isolamento exclusivo da α -hidroxilactama 2.3, enquanto que misturas equimolares com a amidocetona 2.4 foram obtidas através da utilização exclusiva de éter etílico como solvente dessa mesma reação (Esquema 3-B), abrindo um precedente para que a redução *in situ*, através da adição de NaCNBH₃ em meio ácido, pudesse ser testada também para estes sistemas.



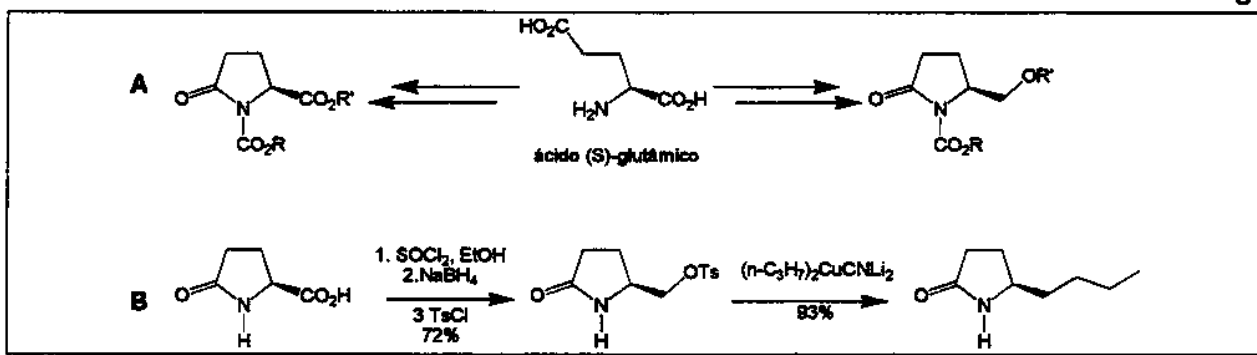
Esquema 3: Obtenção e redução α -hidroxilactamas

2.1.3 Síntese de Lactamas Substituídas na Forma Não-Racêmica

Sem dúvida as metodologias para a obtenção de lactamas nas formas enantiomericamente puras ou enriquecidas são mais abundantes na literatura, provavelmente devido ao interesse de testar a utilização de produtos enantiomericamente puros em ensaios biológicos e, principalmente, pela relativa facilidade de obtenção dessas lactamas a partir de reagentes enantiomericamente puros como α -aminoácidos.

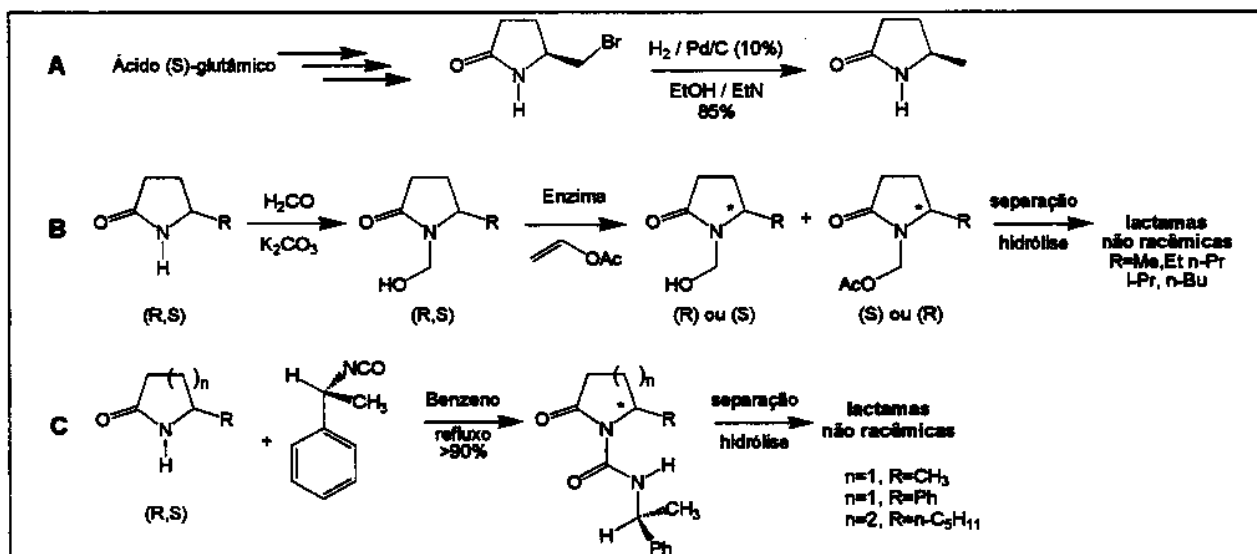
Para sistemas pirrolidínicos nota-se uma ampla utilização de derivados do ácido glutâmico (um dos aminoácidos mais baratos e abundantes) ou ácido piroglutâmico como material de partida, contendo já um centro α ao nitrogênio com estereoquímica absoluta definida. Vários grupos estudaram reações de alquilação utilizando pirrolidinonas desta origem, através da proteção do nitrogênio e da transformação da função ácido em éster¹² ou em hidróxi-metílenos por redução¹³ da carbonila (Esquema 4-A).

Nesse mesmo sentido também são observadas metodologias de transformação do grupo ácido, com manutenção da estereoquímica absoluta, em outros substituintes de interesse. Em trabalho desenvolvido em nosso laboratório¹⁴ esta metodologia foi utilizada para a obtenção de (R)-N-Boc-5-butil-2-pirrolidinona, através da substituição de um grupo tosilato por adição de (n-C₃H₇)₂CuCNLi₂ (Esquema 4-B).



Esquema 4: Utilização do ácido (S)-piroglutâmico na obtenção de lactamas quirais

McIntosh e Acquaah¹⁵ utilizaram metodologia semelhante para a obtenção de (R)-5-metil-2-pirrolidinona através da redução da bromometil lactama correspondente, derivada do ácido (S)-glutâmico (Esquema 5-A). Este mesmo composto e uma série de outras 5-alquil-2-pirrolidinonas foram obtidas na forma enantiomericamente pura por Jouget e Rousseau¹⁶ através da resolução enzimática das respectivas N-hidroximetil lactamas, utilizando lipase de *Pseudomonas cepacia* (imobilizada) para acetilar seletivamente um dos enantiômeros (produtos com >98% ee) (Esquema 5-B). Visando a determinação da pureza enantiomérica e configuração absoluta de lactamas, assim como obtenção destas em forma enantiomericamente pura em escala preparativa, Pirkle e colaboradores¹⁷ reagiram várias lactamas com isocianatos quirais, permitindo a separação cromatográfica das N-acil uréias diastereoméricas formadas. Este artigo mostrou a obtenção e separação, dentre outros, de 5-metil-2-pirrolidinona, 5-fenil-2-pirrolidinona e 6-n-pentil-2-piperidinona, utilizadas na forma racêmica ao longo dos nossos estudos (Esquema 5-C).

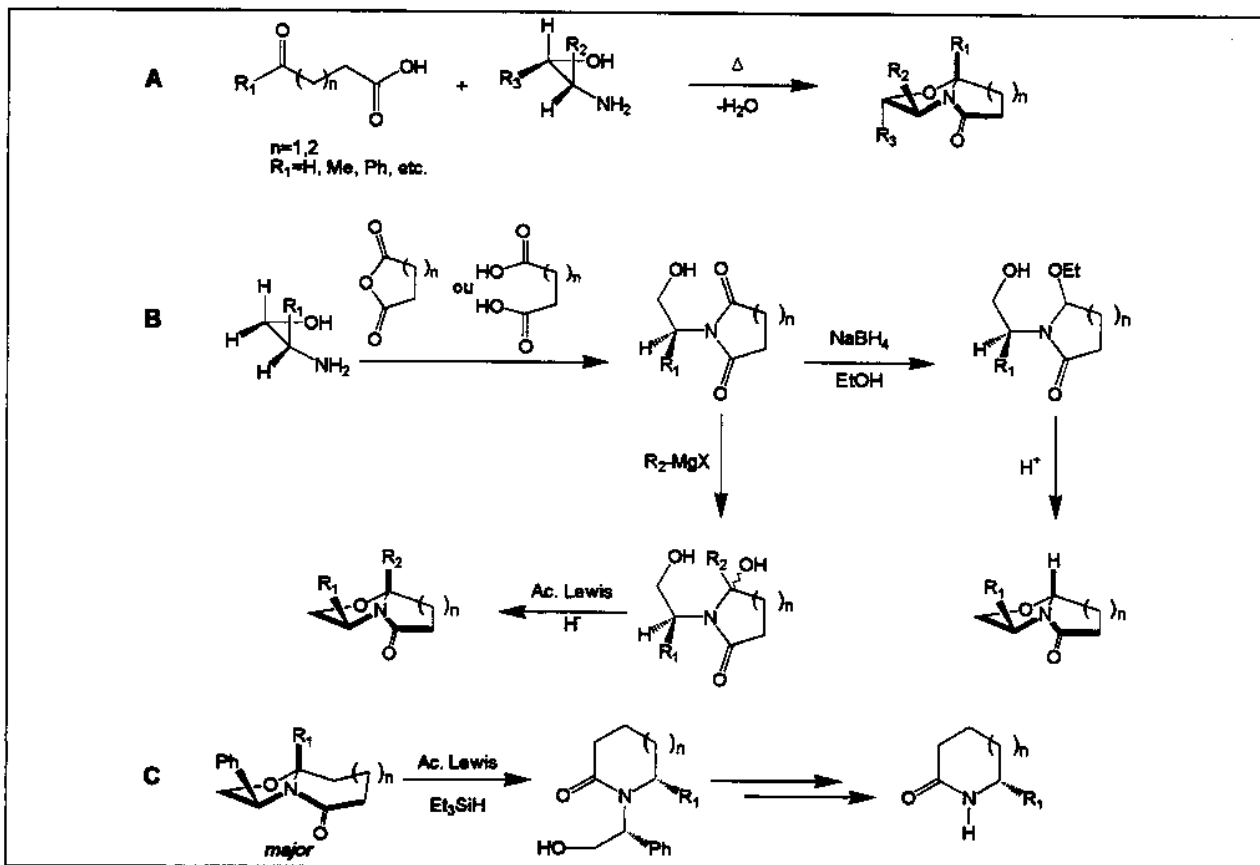


Esquema 5: Obtenção de lactamas em forma não-racêmica

Ao contrário dos exemplos apresentados anteriormente, o trabalho de alguns grupos de pesquisa baseou-se na utilização de auxiliares quirais para a obtenção e estudo de lactamas

bicíclicas, que podem ser utilizadas diretamente em reações de alquilação ou levar à lactamas monocíclicas quirais substituídas. Os trabalhos de Meyers e colaboradores¹⁸ estão entre os mais representativos nessa área e se basearam na reação de compostos dicarbonílicos (um cetoácido) com um aminoálcool quiral, com remoção de água (ciclodesidratação), formando lactamas bicíclicas com diversos padrões de substituição (Esquema 6-A).

Uma segunda rota para este tipo de sistemas bicíclicos envolveu a condensação de um aminoálcool com um anidrido cíclico ou um ácido dicarboxílico levando a imidas. A adição de reagentes de Grignard ou redução levou a lactamas α -hidroxiladas, que em meio ácido forneceram as lactamas bicíclicas em bons rendimentos após ciclização entre a hidroxila do auxiliar quiral e o íon N-acilimínio formado (Esquema 6-B).

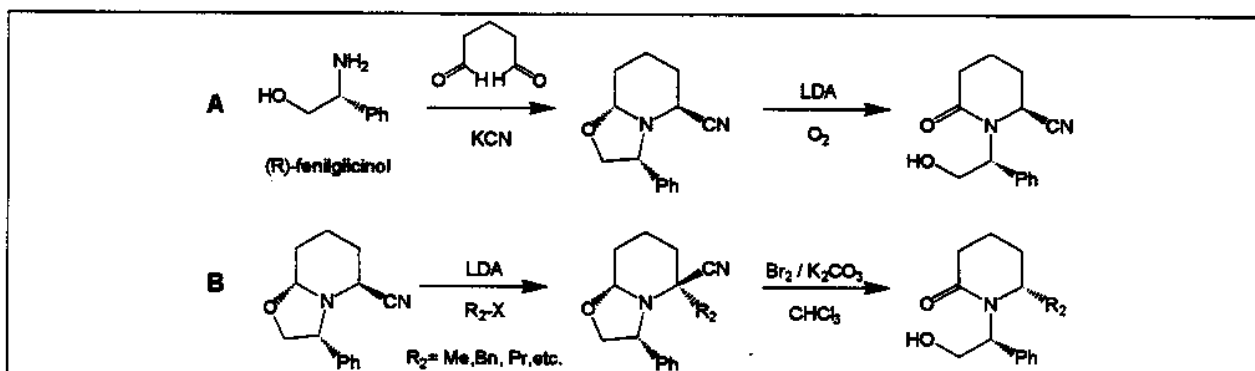


Esquema 6: Formação e utilização de lactamas bicíclicas quirais

As lactamas bicíclicas podem levar à obtenção de 2-pirrolidinonas substituídas com excelentes valores de excesso enantiomérico³ através da adição de ácido de Lewis, promovendo novamente a formação do íon N-acilimínio, e pela adição de Et₃SiH como redutor (Esquema 6-C; n=0). Lhommet e colaboradores¹⁹ utilizaram a mesma metodologia para a obtenção de (S)-6-metil-2-piperidinona (Esquema 6-C; n=1 e R₁=CH₃), mas desde a formação do sistema bicíclico houve uma menor seletividade do que a observada em sistemas pirrolidínicos, o que foi contornado pela posterior separação dos compostos diastereoisoméricos.

formados durante a síntese mas que levou a rendimentos menores devido ao maior número de etapas utilizadas.

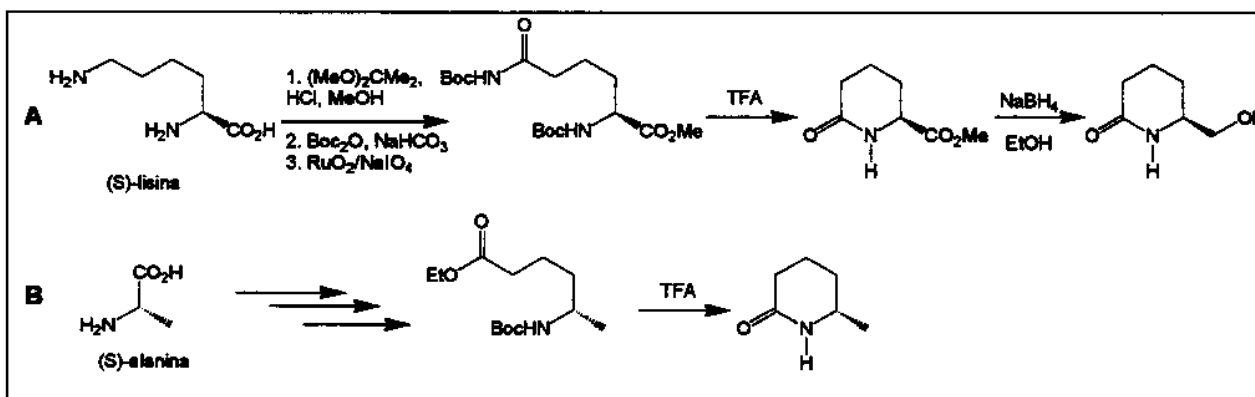
No trabalho de Husson e colaboradores é frequente a preparação de 2-piperidinonas através da reação de (*R*)-fenilglicinol com glutaraldeído na presença de KCN e posterior oxidação para a formação da respectiva lactama quirial (Esquema 7-A).²⁰



Esquema 7: Utilização de (*R*)-fenilglicinol na obtenção de 2-piperidinonas quirais

Foi também a partir do intermediário bicíclico com o grupo nitrila α ao nitrogênio que os mesmos autores desenvolveram uma metodologia geral para a obtenção de piperidinonas 6-substituídas que posteriormente serviram de substratos em reações de alquilação, levando a sistemas dissubstituídos nas suas formas enantiomericamente enriquecidas (Esquema 7-B).²¹

Por fim, a ciclização de sistemas originados a partir de aminoácidos quirais pode também levar ao isolamento de lactamas piperidínicas em bons rendimentos. Hermitage e Moloney¹ descreveram a utilização de (*S*)-Lisina para a obtenção da α -hidroximetil lactama correspondente, após esterificação, proteção dos nitrogênios, oxidação da função ω -amino com RuO₂/NaIO₄, ciclização em meio ácido e redução da função éster, em 27% de rendimento após 5 etapas (Esquema 8-A). McIntosh e Acquaah também utilizaram a ciclização de um aminoéster em meio ácido para chegar a (*S*)-6-metil-2-piperidinona (92% ee) a partir da (*S*)-alanina após 8 etapas em 40% de rendimento.



Esquema 8: Ciclização de sistemas quirais não-racêmicos para formação de lactamas

2.2 Metodologias de Alquilação de Lactamas

2.2.1 Introdução

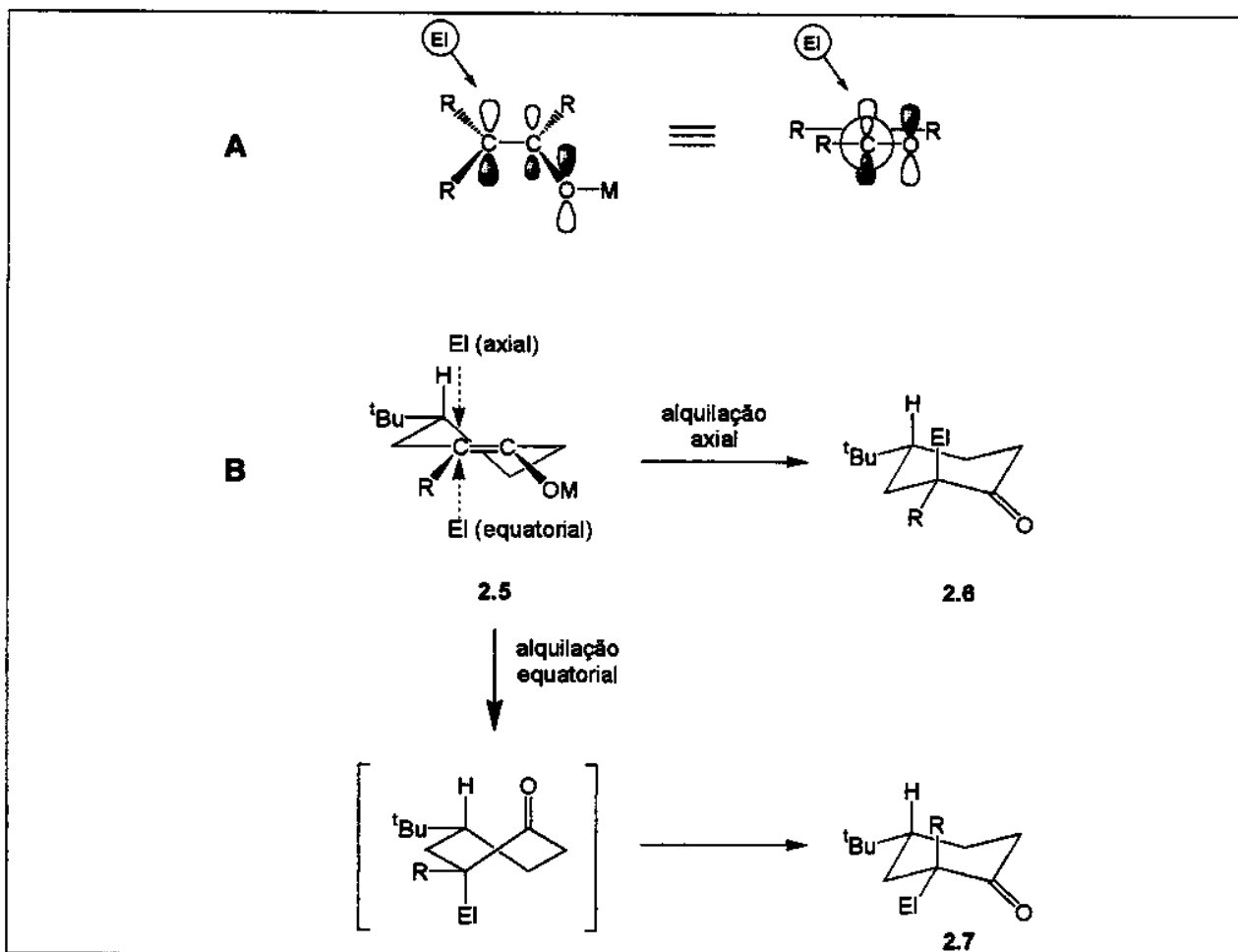
As reações de alquilação de compostos carbonílicos pela conversão a seus respectivos enolatos e subsequente reação com agentes alquilantes eletrofílicos constituem uma das mais importantes classes de reações em química orgânica, levando à formação de ligações σ carbono-carbono regio e estereoseletivamente. A abordagem clássica de formação de enolatos a partir de compostos contendo grupos metilénicos ou metínicos duplamente ativados abriu caminho para a utilização de metodologias semelhantes para compostos carbonílicos monofuncionais (pK_a muito maiores) através da utilização de bases mais fortes em solventes apróticos. Os enolatos de lítio têm uma utilidade sintética destacada nesta área, podendo capturar muitos agentes alquilantes em solventes apróticos como DME ou THF. Uma grande variedade de bases altamente impedidas e não-nucleofílicas, como LDA, LICA e LHMDS, encontram-se hoje disponível na literatura e levam, por exemplo, à conversão cinética de cetonas assimétricas em seus enolatos menos substituídos com alta seletividade e podem também ser usadas para a desprotonação de muitos outros sistemas carbonílicos.²²

Soluções de enolatos metálicos são constituídas de agregados moleculares como dímeros, trímeros e tetrâmeros em equilíbrio com espécies monoméricas (que também podem estar na forma covalentemente ligada ou ter o cátion metálico dissociado do oxigênio do enolato). Vários fatores podem influenciar a agregação do sistema, como o metal utilizado, o solvente e até a estrutura do próprio enolato, geralmente levando a um aumento da nucleofilicidade na medida que as espécies diminuem essa associação (como pela utilização de solventes polidentados, como DME ou éteres de coroa, solvatando os cátions metálicos). Dessa forma a reatividade de enolatos metálicos pode ser aumentada pela adição de substâncias dipolares apróticas, que podem ser adicionadas às soluções etéreas normalmente utilizadas nestas reações (HMPA e DMPU são dois dos possíveis 'aditivos' mais utilizados para este fim).²²

Uma série de halétos ativados (alílicos, benzílicos e propargílicos), α -halo ésteres e halétos primários são normalmente utilizados como agentes alquilantes (halétos secundários geralmente são menos reativos, levando a reações mais demoradas e com menores rendimentos). Outros agentes alquilantes altamente reativos (dialquil sulfatos, por exemplo) podem levar à O-alquilação em solventes altamente polares, devido a uma maior dissociação entre o cátion metálico e o enolato. A equilíbrio entre enolatos cinético e termodinâmico, bem como di- ou poli-alquilações são outras reações secundárias importantes que podem reduzir significativamente os rendimentos e a seletividade nas reações de alquilação.²²

A geometria e a presença de outros grupos na ligação dupla, ou até em pontos mais remotos no enolato, podem influenciar a formação dos agregados, dando características

reacionais particulares ao sistema, enquanto os efeitos estéricos e estereoeletrônicos podem direcionar a estereoquímica da reação. Tradicionalmente o princípio que resume as características estereoeletrônicas das reações de alquilação propõe que o sistema deve apresentar uma interação máxima entre os orbitais participantes da formação da nova ligação. Uma aproximação perpendicular do eletrófilo ao plano do enolato pode ser proposta nesse contexto, mas outros trabalhos (baseados em princípios estudados em reações de redução de carbonilas) propõem que interações repulsivas entre o LUMO do eletrófilo e o oxigênio no HOMO do enolato levem ao desvio desta aproximação perpendicular (Esquema 9-A).²³



Esquema 9: Alquilação de enolatos – aspectos estereoeletrônicos

É importante considerar, na análise dos elementos de controle estereoeletrônico envolvidos nas reações de alquilação, a presença de interações geométricas significativas nos estados de transição do sistema enolato-eletrofílico. No ataque eletrofílico pelas duas faces diatereotópicas de um enolato 2.5 (Esquema 9-B) podem ser formados dois produtos (no caso cetonas cíclicas). A cetona 2.6 é formada por um ataque axial, podendo ser favorecida já que passa por um estado de transição mais estável energeticamente, do tipo cadeira, enquanto que 2.7 passa por um estado de transição barco-torcido via ataque equatorial (Esquema 9-B).

Por outro lado, como reações de alquilação do tipo enolato-eletrófilo são exotérmicas, espera-se que os estados de transição sejam similares conformacionalmente aos reagentes, diminuindo a importância da direção adotada na aproximação do eletrófilo ao sistema planar do enolato. Dessa forma pode-se esperar que a estereoquímica dos produtos seja fortemente influenciada por outros fatores reacionais (estéricos, por exemplo). De uma maneira geral, reações de alquilação trazem à tona tanto a importância relativa dos fatores estéricos como dos efeitos estereoeletrônicos, que atuando de maneira cooperativa levam a bons níveis de estereoseletividade.²³

No que diz respeito aos sistemas nitrogenados (como pirrolidínicos e piperidínicos) há um grande interesse no desenvolvimento de métodos de alquilação seletiva. Por exemplo, a síntese de aminoácidos não-naturais é de considerável interesse biológico e a obtenção de prolinas ou ácidos glutâmicos substituídos, através de reações de alquilação seletivas em sistemas pirrolidínicos, pode levar a novos agentes com atividade biológica (prolinas tem atividade em inibição enzimática e podem ser usadas em sínteses de compostos peptídeo-miméticos; ácido glutâmico é um importante neurotransmissor no sistema nervoso de mamíferos).²⁴

A partir de todas estas características das reações de alquilação de enolatos metálicos vamos dividir arbitrariamente esta introdução em três partes principais: alquilação de sistemas que não contém auxiliar quiral ligado ao átomo de nitrogênio; sistemas que apresentam auxiliar quiral no nitrogênio e sistemas bicíclicos. Dentro de cada tópico abordaremos as características particulares de sistemas pirrolidínicos e piperidínicos buscando evidenciar os aspectos mais relevantes discutidos na literatura e que serão invocados na própria discussão de nossos resultados.

2.2.1.1 Alquilação de lactamas sem auxiliar quiral no nitrogênio

Tradicionalmente as reações de alquilação de sistemas pirrolidínicos tem por base a utilização de lactamas derivadas do ácido (S)-glutâmico ou (S)-piroglutâmico por razão da relativa facilidade de obtenção desses substratos a partir de fontes naturais enantiometricamente puras. Dessa forma, esta se constituiu em uma das áreas mais bem exploradas nas reações de alquilação, levando a sistemas com o mais variado grau de substituição e destinando-se a várias aplicações, como síntese de análogos de produtos naturais, síntese de sistemas que poderão agir como auxiliares quirais ou simplesmente com material de partida contendo centros estereogênicos definidos para sínteses de outros compostos de interesse.

De uma maneira geral, os sistemas derivados do ácido (S)-glutâmico tem o nitrogênio do anel pirrolidínico protegido na forma de um carbamato e podem servir como uma plataforma para a construção de centros terciários ou quaternários contíguos à carbonila da lactama de uma forma estereo-controlada. Inicialmente os trabalhos na literatura estavam baseados em

substratos originados após a redução do substituinte carboxílico e proteção com grupos volumosos (Esquema 4, Tabela 3), tentando prevenir possível racemização no centro assimétrico. Mais recentemente foi descrita a utilização dos ésteres de ácido piroglutâmico (Esquema 4, Tabela 1, Tabela 2) sem a perda de atividade ótica.²⁵

Tabela 1: Exemplos da literatura para condensações aldólicas de (S)-N-Boc-5-carboalcóxi-2-pirrolidinonas

Entrada	R ₁	R ₂	base	R ₃	R ₄	trans/cis	rend.	referências	
								(%)	
1	t-Bu	Et	LHMDS ¹	Me	Me	4/1	45 ²		26
2	Bn	t-Bu	LHMDS	Ph, pMeO-Ph, 2-furil	H	3/1	64 ³		27
3	Et	Me	DIPEA/ TiCl ₄	Ph, pMeO-Ph, t-Bu, pCl-Ph	H	1/0	69 ³		28
4	t-Bu	t-Bu	DIPEA/ TiCl ₄	Ph	H	1/0	- ⁴		28
5	t-Bu	Et	LHMDS/ LDA	Ph	H	- ⁴	62-69		29
6	t-Bu	Et	LHMDS ¹	Ph, pMe-Ph, Me, Et	H, Me	- ⁴	61-81		24

¹adição BF₃OEt₂; ²isômero trans; ³(R₃=Ph); ⁴não reportado;

Nesse contexto está inserido um número considerável de trabalhos na literatura, utilizando estes sistemas em reações de alquilação com halogenuídos de alquila, condensações aldólicas, reações com iminas ativadas, hidroxilações e outras. Apesar nesses trabalhos aparecerem com frequência discussões envolvendo os aspectos que controlam a estereoquímica da alquilação, não há um consenso geral a respeito da importância relativa dos fatores estéricos e estereoeletrônicos no curso estereoquímico desta reação. Em geral, foi observada a obtenção dos produtos *trans* de forma majoritária (e muitas vezes única) mas a formação de misturas dos produtos *trans* e *cis* e até isolamento dos produtos *cis* majoritariamente também encontra-se descrita em alguns trabalhos.

Os resultados mostrados na Tabela 1 para reações dos enolatos de lítio com aldeídos e cetonas mostram uma preferência na obtenção majoritária dos isômeros *trans* em rendimentos da ordem de 45-64% (entradas 1-2). Dikshit e Bajpai²⁸ propõem que a maior rigidez dos enolatos de titânio é responsável pela obtenção de um único isômero nestas condensações (entradas 3-4), mas a baixa reatividade com halogenuros de alquila observada para estes enolatos prejudicou a utilização desta metodologia para obtenção de outros sistemas substituídos. Por fim, outros trabalhos mostraram também a captura dos enolatos de lítio com aldeídos e cetonas em bons rendimentos mas não reportaram a seletividade alcançada (entradas 5-6).

As alquilações de enolato de lítio com halogenuros de alquila são as mais frequentes na literatura e uma série de resultados estão listados na Tabela 2.

Tabela 2: Exemplos da literatura para alquilação com halogenuros de alquila de (S)-N-Boc-5-carboalcóxi-2-pirrolidinonas

Entrada	R ₁	R ₂	base	R ₃ -X	<i>trans</i>		rend. (%)	referê- ncias
					trans	cis		
1	t-Bu	t-Bu	LHMDS (LDA) ²⁹	BnBr	1/0	72	27, 30, 12, 29	
2	t-Bu	Et	LHMDS	BnBr	1/0	59	12, 25	
3	Bn	t-Bu	LHMDS	BnBr	1/0	35	29	
4	t-Bu	Et	LHMDS	p-Me-BnBr	1/0	57	12	
5	t-Bu	Et	LHMDS	p-CN-BnBr	1/0	57	12	
6	Bn	Et	LHMDS	p-CF ₃ -BnBr	1/0	53	12	
7	t-Bu	Bn	LHMDS	Ph(CH)=NTs	1/0	87	31	
8	Bn	Et	LHMDS	[CH ₂ NMe ₂] ⁺ I ⁻	1/0	65	31	
9	t-Bu	Et	LHMDS	alilBr	2/1	50	12, 25	
10	t-Bu	Et	LHMDS	CNCH ₂ I	2/1	65	12	
11	t-Bu	t-Bu	LHMDS	CNCH ₂ I	2/1	73	12	
12	t-Bu	Et	LHMDS	BrCH ₂ CO ₂ Et	2/1	94	12, 25	
13	t-Bu	t-Bu	LHMDS	BrCH ₂ CO ₂ Et	2/1	70	12	
14	t-Bu	t-Bu	LHMDS	BrCH ₂ CO ₂ Et	1/4	70	30	
15	Me	Bn	LHMDS	BrCH ₂ CO ₂ t-Bu	1/3	82	32	
16	t-Bu	t-Bu	LHMDS	Mel	1/5	67	30	
17	t-Bu	t-Bu	LHMDS	MeOTf	1/5	75	30	
18	t-Bu	t-Bu	LHMDS	MeOTf/tolueno	1/17	73	30	

Os resultados para alquilação com brometo de benzila e alguns de seus análogos substituídos no anel aromático forneceram somente o produto *trans*, independentemente dos substituintes em R₁ e R₂ e da base utilizada (LHMDS ou LDA) evidenciando um certo controle do eletrófilo nestas reações (entradas 1-6). Da mesma forma, a utilização de iminas ativadas (entrada 7) e sais de Eschenmoser (entrada 8) também levaram à obtenção estereoseletiva dos compostos *trans* dissubstituídos. Com a utilização de eletrófilos menores (entradas 9-13)

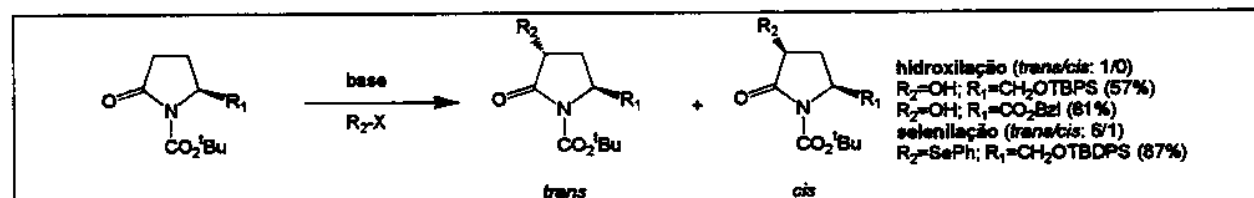
começaram a ser observadas misturas entre os produtos de alquilação *trans* e *cis* e, nos resultados reportados nas entradas 14-18, foi observada uma inversão na seletividade da reação, levando majoritariamente aos compostos *cis*-dissubstituídos com a utilização de 2-bromo-acetatos e eletrófilos menores como iodeto e triflato de metila.

Como comentado anteriormente alguns trabalhos na literatura utilizaram sistemas onde o grupo éster foi reduzido para álcool e protegido com grupos volumosos, na tentativa de levar a melhores valores de seletividade *trans* e evitar a possibilidade de epimerização no centro estereogênico em C-5. Os resultados da Tabela 3, em comparação àqueles da Tabela 2, mostraram bons valores de seletividade para a alquilação com brometo de alila e iodeto de metila (entradas 2, 3 e 5), mas por outro lado apresentaram menores valores de seletividade para a utilização de brometo de benzila (entrada 1).

Tabela 3: Exemplos da literatura para alquilação com halogenos de alquila de (S)-N-Boc-5-(silitoximetileno)-2-pirrolidinonas

Entrada	R ₁	R ₂	base	R ₃	<i>trans/cis</i>	rend. (%)	referê-
							ncias
1	t-Bu	TBS	LDA	BnBr	15/1	64	13
2	t-Bu	TBS	LDA	alilBr	15/1	66	13
3	t-Bu	TBDPS	LDA	Mel	6/1	72	13
4	t-Bu	TBDPS	LHMDS	Me ₃ SnCH ₂ I	3/1	86	33
5	t-Bu	TBDPS	LHMDS	alilBr	>40/1	87	33

Os enolatos derivados do ácido (S)-glutâmico também podem participar de reações de hidroxilação^{26,34}, levando exclusivamente aos produtos *trans*-dissubstituídos, e de reações de selenilação^{26,12} originando misturas *trans/cis* (Esquema 10).



Esquema 10: Hidroxilação e selenilação de enolatos pirrolidínicos

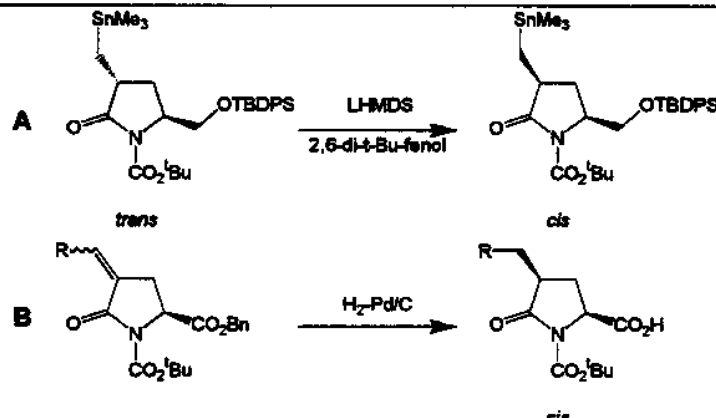
A partir destes resultados observa-se que, em geral, a estereoquímica das reações mostrou-se pouco dependente do volume dos grupos protetores do nitrogênio e dos grupos

presentes no centro assimétrico do sistema mas, por outro lado, foi muito dependente da natureza dos eletrófilos utilizados. De uma maneira geral, a utilização de eletrófilos mais volumosos tende a favorecer os produtos de alquilação *trans* (no caso de eletrófilos derivados do brometo de benzila, por exemplo, a seletividade é total em favor do produto *trans*).¹²

Por outro lado, alguns trabalhos na literatura mostraram que a seletividade das alquilações utilizando-se eletrófilos menores pode favorecer os produtos de alquilação *cis*. Charrier e colaboradores evocaram a possível coordenação destes eletrófilos que tenderiam a reagir com maior caráter S_N2 quando o grupo éster encontra-se presente em C-5, direcionando a alquilação pela mesma face do enolato.³⁰ Neste mesmo trabalho os autores comentaram que pequenas diferenças nas condições reacionais podem se tornar muito significativas para estas reações, levando até a inversões de seletividade na comparação entre reações com os mesmos substratos (Tabela 2, entradas 13 e 14).

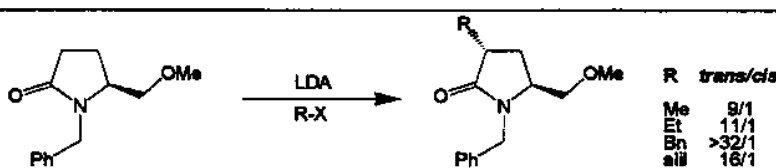
Outro aspecto importante nestas reações está centrado na metodologia da atribuição das estereoquímicas relativas dos sistemas pirrolidínicos *trans/cis* dissustituídos. Ezquerra e colaboradores¹² analisaram uma série de produtos e propuseram, como uma alternativa aos estudos de nOe que normalmente são utilizados para atribuições dessa natureza, que a simples medição dos deslocamentos químicos dos hidrogênios do anel e suas constantes de acoplamento poderiam ser utilizadas para atribuição da estereoquímica do sistema. Foi observado que os produtos *trans* tem, normalmente, um maior valor de deslocamento químico para H-5 que o respectivo produto *cis*. Mas, mais característico ainda, os valores de deslocamento químico para os hidrogênios metilênicos H-4 α e H-4 β são muito parecidos nas pirrolidinonas *trans* e podem ter uma diferença ($\Delta\delta$) significativa para os produtos *cis*. Finalmente, os valores de constante de acoplamento entre H-5 e os dois hidrogênios H-4 são muito diferentes para o composto *trans*, enquanto que esta diferença é bem reduzida para as pirrolidinonas *cis*.

A alguns trabalhos da literatura propõem a conversão estereoseletiva dos compostos *trans* e das misturas obtidas nas reações de alquilação em seus respectivos compostos de estereoquímica *cis*. Para isso promoveram a desprotonação dos produtos de mono-alquilação, gerando um enolato substituído em C-3, que foi capturado através da adição de um álcool volumoso, que se aproximaria *trans* ao grupo em C-5 do anel piperidínico e levaria ao composto *cis* majoritariamente. Hanessian e colaboradores³³ utilizaram 2,6-di-terc-butilfenoí para converter, em 74% de rendimento, o produto majoritário *trans* (Tabela 3-entrada 4) no correspondente *cis* (Esquema 11-A).

Esquema 11: Obtenção de pirrolidinonas *cis*-3,5-dissubstituídas

A redução de sistemas insaturados em C-3 também foi proposta por alguns autores^{35,36} como uma forma de obtenção dos produtos *cis*-dissubstituídos, já que a redução com H₂-Pd/C ocorreu com a entrada do hidreto *trans* ao grupo em C-5 (Esquema 11-B).

Por fim, Breña-Valle e colaboradores³⁷ descreveram a utilização de N-Benzil-2-pirrolidinonas como substratos na reação de alquilação, alcançando bons valores de seletividade nas alquilações com halogenuros de etila, benzila e alila (Esquema 12).

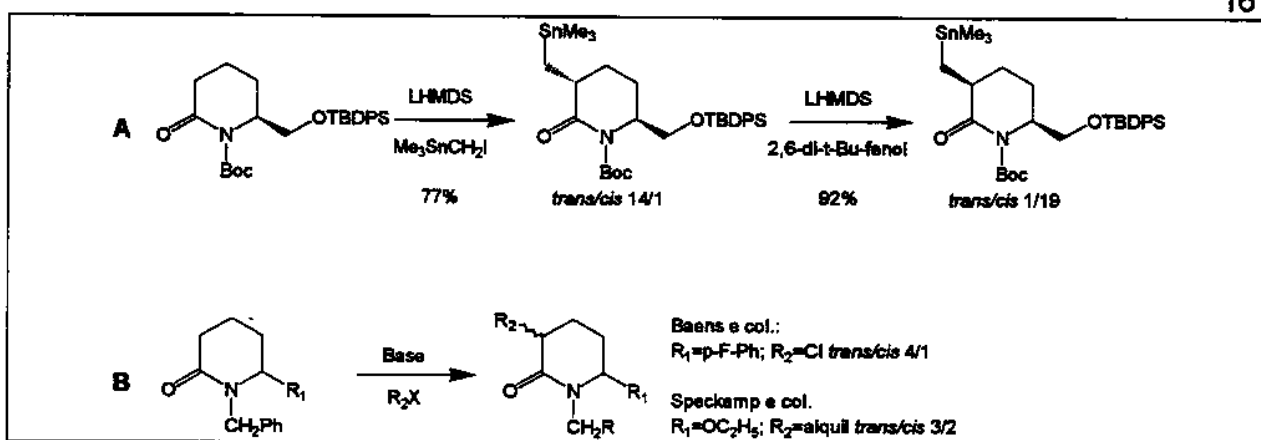


Esquema 12: Alquilação de N-Benzil-2-pirrolidinona

Ao contrário dos sistemas pirrolidínicos, são muito menos abundantes os trabalhos na literatura que utilizaram sistemas piperidínicos em alquilações e funcionalizações seletivas na ausência de um auxiliar quiral no nitrogênio ou em sistemas monocíclicos.

Hanessian e colaboradores³³ demonstraram a obtenção do produto quiral de alquilação *trans* de um enolato de lítio piperidínico, substituído em C-6 com um grupo sililoximetíleno, com iodeto de metilenotrimetilestanho (Esquema 13-A). Mais uma vez foi possível obter o respectivo isômero *cis* a partir da desprotonação do produto *trans* e captura do enolato com um álcool volumoso.

Outros exemplos de alquilação em lactamas de 6 membros foram descritos por Baens e colaboradores² e por Speckamp e colaboradores,³⁸ que utilizaram N-metil e N-benzil-2-piperidinonas, substituídas em C-6, para a formação do enolato e reação com os respectivos eletrofílos, levando aos produtos substituídos em C-3 em misturas *trans/cis* (Esquema 13-B)



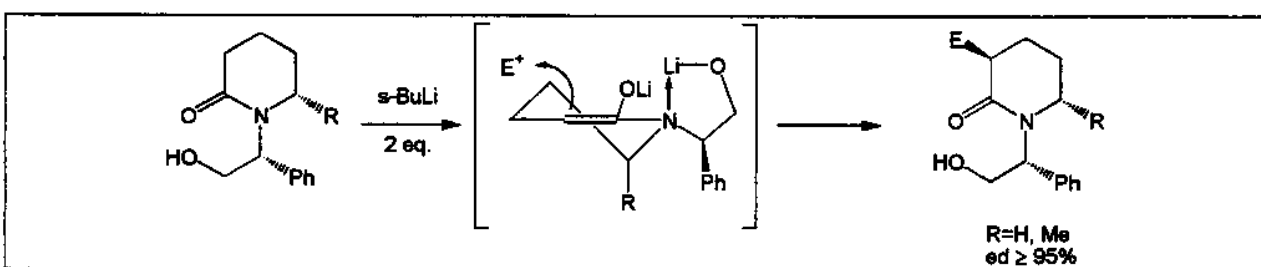
Esquema 13: Alquilação de sistemas piperidínicos

2.2.1.2 Alquilação de lactamas com auxiliar quiral no nitrogênio

As metodologias para alquilação em sistemas contendo auxiliares quirais ligados ao nitrogênio de lactamas são mais abundantes para sistemas piperidínicos, principalmente através do trabalho de Husson, Quirion e colaboradores³⁹ que desenvolveram uma metodologia geral para alquilação diastereoseletiva de enolatos de lactamas e amidas onde (S)-fenilglicinol foi utilizado com indutor quiral. Estes autores reportaram seletividades maiores que 95% na reação com MeI, BnBr e AliiBr como eletrófilos (Tabela 4; entradas 1-7).

Foram propostos modelos baseados em processos de quelação entre o nitrogênio do anel, o oxigênio do grupo fenilglicinol (que contém o centro estereogênico) e o cátion lítio, levando o sistema a uma conformação preferencial que favorece estereoeletronicamente a aproximação do haleto de alquila por uma das faces (Esquema 14).³⁹ A proteção da hidroxila primária diminuiu os valores de excesso enantiomérico, reforçando a proposta de quelação.

A utilização de eletrófilos com centros ricos em elétrons contíguos ao centro reativo levou a uma drástica diminuição nos valores de seletividade das reações (Tabela 4; entradas 8-10), pois a possibilidade de quelação destes centros com cátions lítio pode modificar a geometria dos intermediários reacionais. Se a função rica em elétrons estava separada do centro reativo por, pelo menos, um carbono (entrada 11) a diatereoseletividade original era recuperada.⁴²



Esquema 14: Modelos propostos por Quirion e colaboradores para alquilação de piperidinonas protegidas com (S)-fenilglicinol

Tabela 4: Alquilação de sistemas derivados do (S)-fenilglicinol

Entrada	R ₁	n	Base	R ₂ -X	ed (%)	rend. (%)	referências
1	Me	1	s-BuLi/HMPA	Mel	>96	91	40
2	Me	1	s-BuLi/HMPA	BnBr	>96	66	40
3	Me	1	s-BuLi/HMPA	alilBr	>96	41	40
4	Me	1	s-BuLi/HMPA	PhSeBr	>96	64	40
5	H	1	s-BuLi	Mel	>98	96	41
6	H	1	s-BuLi	BnBr	>95	75	41
7	H	1	s-BuLi	alilBr	>95	40	41
8	H	1	s-BuLi	CICO ₂ Me	0	50	42
9	H	1	s-BuLi	CO ₂	0	100	42
10	H	1	s-BuLi	TsCN	0	69	42
11	H	1	s-BuLi	BrCH ₂ CO ₂ t-Bu	>95	44	42
12	H	0	s-BuLi	Mel	80	87	43
13	H	0	s-BuLi	BnBr	87	83	43

A utilização desta mesma metodologia para sistemas pirrolidínicos foi testada por Baussanne e colaboradores⁴³ (entradas 12-13) mas os excessos diastereoméricos observados foram um pouco menores.

Por fim, Enders e colaboradores⁴⁴ testaram a utilização de derivados da prolina (SAMP e análogos) como indutores quirais ligados ao nitrogênio de lactamas de 5 a 7 membros, obtendo excelentes valores de diasteoseletividade para alquilação de sistemas pirrolidínicos. A seletividade também foi atribuída a queilações entre o enolato de lítio e o sistema assimétrico resultando em efeitos estéricos maiores em uma das faces do enolato.

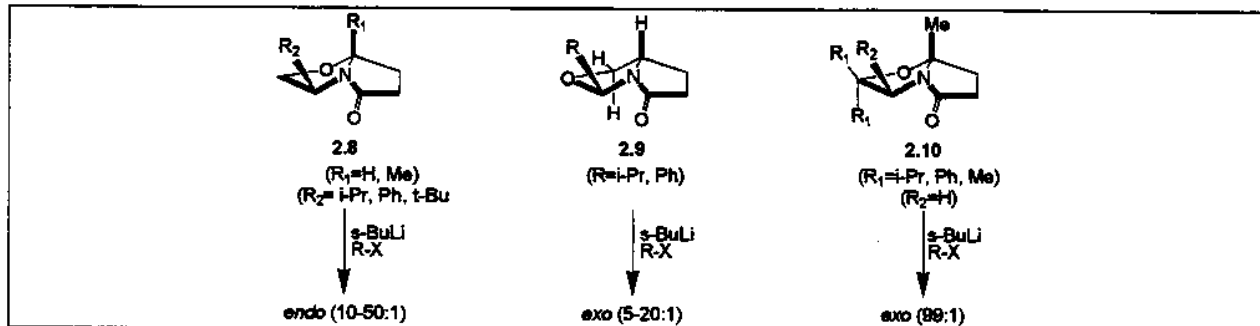
2.2.1.3 Alquilação de lactamas bicíclicas

Lactamas bicíclicas foram utilizadas para a obtenção seletiva de sistemas substituídos, inclusive com a formação de centros quaternários. Meyers e colaboradores¹⁸ desenvolveram uma metodologia geral de alquilação em sistemas bicíclicos, formados pela condensação de um aminoálcool quiral e um cetoácido, para a obtenção estereoseletiva de produtos de alquilação (Esquema 6).

A maior parte da discussão de todos os trabalhos destes autores se baseia nos aspectos estéricos e esteroeletrônicos que estariam governando a seletividade observada nos resultados experimentais. De uma maneira geral sistemas do tipo 2.8 (Esquema 15) levaram

majoritariamente a produtos de alquilação *endo*, a despeito de um possível maior impedimento estérico proveniente da aproximação do eletrófilo pela face côncava do sistema bicíclico.

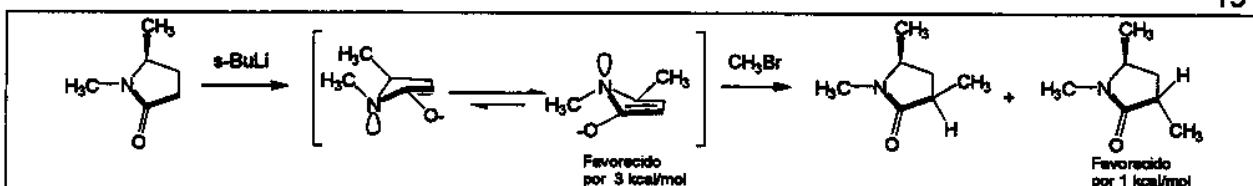
Alguns autores propõem a participação de efeitos estereoeletrônicos nestas reações, baseando-se na piramidalização do nitrogênio em enolatos de lítio de amidas^{45,46} e na possível presença de efeitos eletrônicos, que podem estar direcionando a alquilação e facilitando a aproximação do eletrófilo *anti* ao par de elétrons do nitrogênio.^{47,48}



Esquema 15: Seletividades observadas para alquilação de lactamas bicíclicas

Efeitos estéricos também foram invocados na tentativa de entendimento dos resultados experimentais, já que os sistemas bicíclicos do tipo 2.9, que se diferenciam dos sistemas 2.8 pela posição relativa do oxigênio no segundo anel e ausência de substituintes na fusão de anéis, levaram aos produtos de alquilação *exo* majoritariamente (em 2.8 o oxigênio está diretamente ligado ao carbono na cabeça de ponte do sistema bicíclico, enquanto que em 2.9 um grupo metíleno ocupa esta posição). A análise de modelos de 2.9 indicou que a alquilação *endo* deve estar sendo inibida pelo posicionamento axial de um dos hidrogênios do grupo metíleno, ligado à cabeça de ponte, para dentro da região côncava, direcionando a alquilação para a face *exo*. Seguindo esse mesmo raciocínio os autores propõem a substituição dos hidrogênios do grupo metíleno contíguo ao oxigênio em cabeça de ponte em 2.8 e observaram a inibição da alquilação *endo*, revertendo a seletividade facial nos compostos do tipo 2.10 (Esquema 15)⁴⁹.

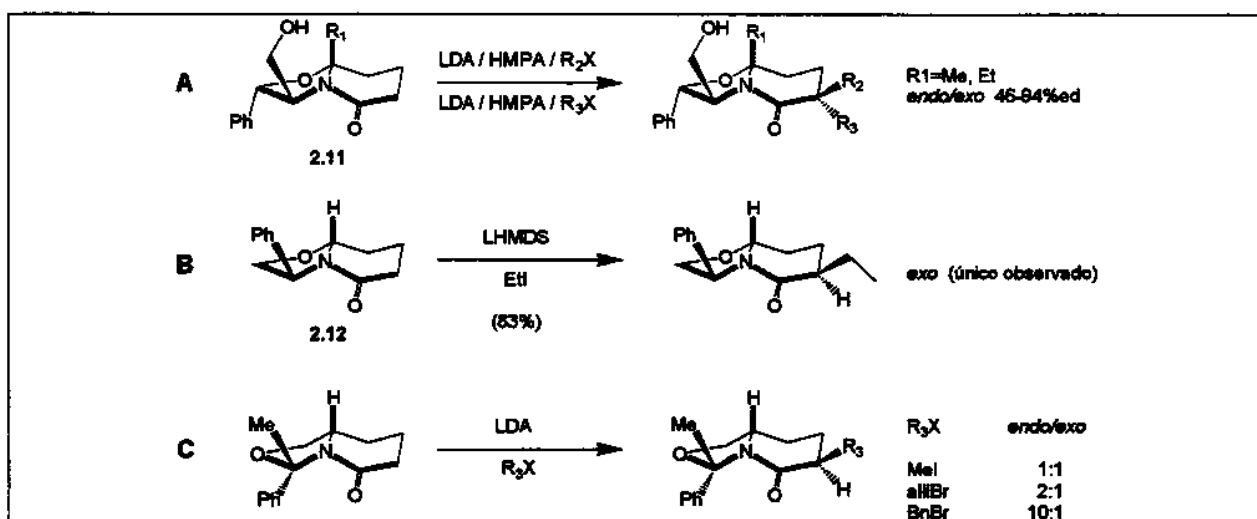
Além de coerente com os resultados experimentais e com vários trabalhos na literatura que também propõem a participação dos pares de elétrons do nitrogênio na determinação da seletividade facial em sistemas análogos, Meyers e colaboradores realizaram cálculos em sistemas modelos (Esquema 16)⁴⁷ e nas próprias lactamas bicíclicas⁴⁷ confirmando uma preferência energética na aproximação dos eletrófilos por uma trajetória *anti* ao posicionamento do par de elétrons do nitrogênio.



Esquema 16: Cálculos de sistema modelo no estudo de alquilação de lactamas bicíclicas

Os trabalhos de outros autores utilizando o sistema 2.9 ($R=Ph$) indicaram que na utilização de eletrófilos pequenos, como o iodeto de metila, os efeitos estereoeletrônicos do par de elétrons do nitrogênio direcionaram a alquilação pela face mais impedida *endo* (*endo/exo*: 5/1)⁵⁰ (Meyers utilizou somente eletrófilos mais volumosos, como brometos de alila e benzila e observou seletividade em favor do isômero de alquilação *exo*). Com o aumento no tamanho dos eletrófilos efeitos estéricos competem com os efeitos estereoeletrônicos fornecendo misturas de alquilação para eletrófilos de tamanho mediano e invertendo a seletividade para a face *exo* para eletrófilos grandes.⁵¹

A alquilação de sistemas bicíclicos também pode ser realizada com enolatos cílicos de 6 membros. Romo e Meyers¹⁸ descreveram a alquilação de lactamas bicíclicas 2.11 com excessos diastereoméricos favorecendo o isômero *endo* (Esquema 17-A) enquanto Amat e colaboradores⁵² observaram seletividade *exo* para alquilação com iodeto de etila da lactama bicíclica 2.12 (Esquema 17-B). Por sua vez, no trabalho de Mills e colaboradores⁵³ foram obtidas misturas que favorecem o composto *exo* na medida que eletrófilos mais volumosos são utilizados (Esquema 17-C).



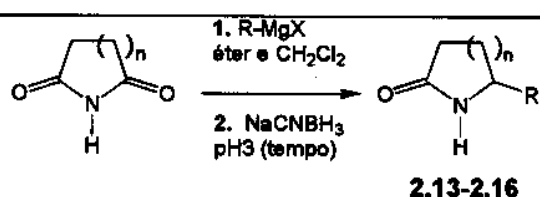
Esquema 17: Alquilações em sistemas bicíclicos contendo lactama de 6 membros

2.3 Resultados e Discussão

2.3.1 Obtenção de N-Boc-2-piperidinonas e N-Boc-2-pirrolidinonas Substituídas

As reações visando a alquilação de sistemas piperidínicos e pirrolidínicos foram iniciadas a partir da obtenção de lactamas α -substituídas em suas formas racêmicas. Para isso adotamos a mesma metodologia empregada anteriormente em nosso laboratório⁷ de adição de reagentes de Grignard sobre imidas, seguida de redução *in situ* da hidroxilactama formada em meio ácido (Tabela 5).

Tabela 5: Formação de 2-piperidinonas ($n=2$) e 2-pirrolidinonas ($n=1$) substituídas

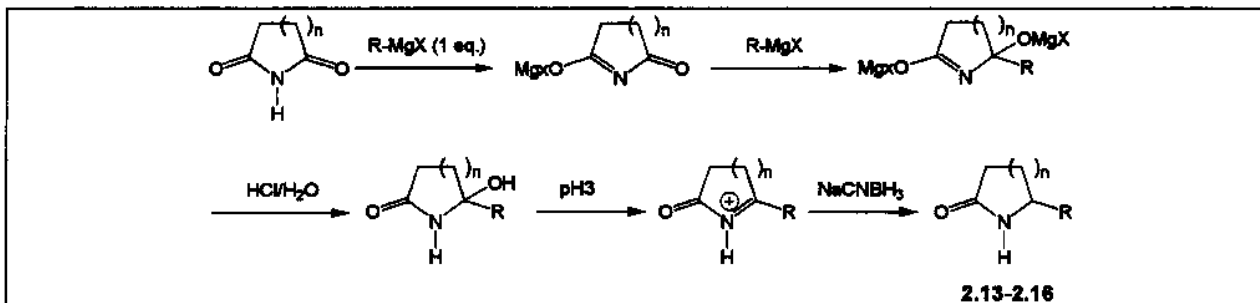


Entrada	n	R	Equivalentes	Tempo	Produto	rendimento (%)
1	2	Me	4,0	5 horas	2.13	82
2	2	n-Pentil	3,5	5 horas	2.14	60
3	1	Me	3,5	1 hora	2.15	66
4	1	Ph	3,5	30 minutos	2.16	67

Originalmente tínhamos utilizado esta metodologia para adição de brometo de n-butil magnésio à succinimida (Seção 2.2.1), visando a formação de 5-butil-2-pirrolidinona, usada como material de partida para a síntese da forma racêmica do alcalóide Gefirotoxina 223AB.¹⁴ A utilização de excesso de reagente de Grignard é necessária para promover inicialmente a desprotonação da imida e, logo a seguir, a reação com a carbonila ativada do sistema, levando à formação de um dialcôxido de magnésio. Como somente uma das carbonilas da imida está disponível para a reação com o reagente de Grignard após a desprotonação do nitrogênio, pode-se utilizar excessos ainda maiores deste reagente visando a obtenção dos produtos em melhores rendimentos. Na medida em que o sistema é acidificado com HCl_(aq), na presença de cianaborohidreto de sódio, a hidroxilactama formada é protonada e a perda de água leva à formação de um íon N-acilimínio que é capturado pelo hidreto presente no meio reacional, levando às lactamas piperidínicas 2.13-2.14 e pirrolidínicas 2.15-2.16 (Esquema 3).

O desenvolvimento desta metodologia apresentou vários problemas, principalmente para os sistemas piperidínicos, levando ao isolamento dos produtos desejados em rendimentos muito baixos quando as reações eram conduzidas em solventes etéreos. Como na análise da literatura¹¹ havia relatos da não abertura do anel e inibição da formação das amidocetonas

correspondentes com a utilização de diclorometano como um dos solventes nas reações de Grignard (Esquema 3-B), passamos a testar esta possibilidade em nossos sistemas.



Esquema 18: Obtenção e redução α -hidroxilactamas

Inicialmente eram adicionados 10 equivalentes de MeMgI em relação à glutarimida, em éter etílico, evaporava-se o solvente em evaporador rotativo, submetia-se a alto vácuo e a troca de solvente era completada através da adição de uma solução de glutarimida, em diclorometano à -78°C , ao reagente de Grignard (que contendo o mínimo possível de éter etílico se apresentava como uma pasta acinzentada). A seguir o sistema era levado à temperatura ambiente por 18 horas antes do início do processo de acidificação e redução com cianoborohidreto de sódio, em pH 3, por noventa minutos. Este procedimento se mostrou reproduutivo e levou a melhorias significativas no rendimento, permitindo o isolamento de 2.13 em 60% de rendimento.

Na tentativa de melhorar ainda mais estes rendimentos foram realizados testes mantendo-se o sistema sempre à temperatura de -78°C , mas que levaram somente ao isolamento do material de partida. Por sua vez, o aumento do tempo dedicado à redução com NaCnBH_3 à pH 3 para 18 horas à temperatura ambiente elevou os rendimentos para 65%. Testes com a redução da quantidade de reagente de Grignard para 8 equivalentes mostrou rendimentos similares aos anteriores, nos incentivando a testar procedimentos com quantidades ainda menores. Porém, a utilização de 2,5 equivalentes levou exclusivamente ao isolamento de material de partida.

Dessa forma testamos a formação de 4 equivalentes de Grignard em éter etílico, em concentrações bem mais elevadas que as anteriormente utilizadas (2,5-2,0 M), a diluição deste com diclorometano e, por fim, a adição direta (sem a etapa de evaporação de solvente) da glutarimida em diclorometano. Com este procedimento passamos a observar rendimentos da ordem de 80% para a formação de 2.13 que não se alteravam com a diminuição do tempo de redução para 5 horas.

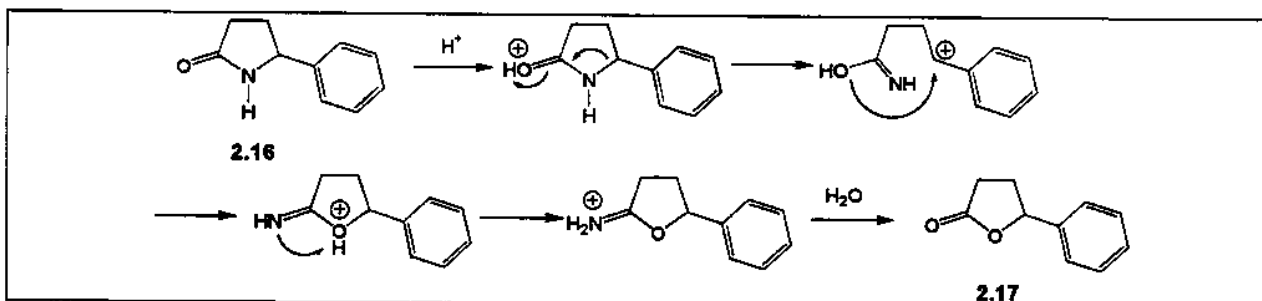
Meyers e colaboradores⁵⁴ propõem que a reatividade diferenciada de reagentes de Grignard em diclorometano está baseada na maior polaridade e baixa capacidade de coordenação deste solvente, permitindo um aumento da complexação do reagente de Grignard com centros nucleófilos do sistema em estudo. Além disso, a menor solubilidade de RMgX em

diclorometano, resulta em uma concentração efetiva menor da espécie organometálica, podendo retardar reações secundárias promovidas pela presença de bases fortes.

Esta otimização das condições reacionais foi aplicada à adição do brometo de n-pentil-magnésio, levando ao isolamento do sistema piperidínico **2.14** em 60% de rendimento. Por fim a metodologia foi estendida à succinimida para a adição de iodeto de metil-magnésio e brometo de fenil-magnésio levando ao isolamento das pirrolidinonas **2.15** e **2.16**, em 66% e 67% de rendimento, respectivamente (Tabela 5).

É importante frisar que a metodologia sem a utilização de diclorometano como um dos solventes dessas reações também não foi bem sucedida para a adição de MeMgI à succinimida, levando ao isolamento do produto em, no máximo, 10% de rendimento com a utilização de éter etílico e/ou THF. Além disso, os sistemas pirrolidínicos mostraram-se muito mais sensíveis ao tempo destinado à redução da hidroxilactama, sendo necessário reduzi-lo para menos de 1 hora no isolamento de **2.15** e **2.16**.

Em um dos testes visando a obtenção de **2.16**, onde o meio ácido foi mantido por 18 horas, foi isolada em 76% de rendimento a lactona **2.17**, provavelmente devido à abertura em meio ácido da lactama **2.16** e ataque nucleofílico do oxigênio na posição benzílica (Esquema 19). Esta atribuição está baseada na comparação dos dados para este composto com a literatura⁵⁵ e na análise espectroscópica realizada através dos espectros de ¹H- e ¹³C-RMN e IV (número de onda na faixa de 1770 cm⁻¹ para o pico na região de carbonilas enquanto as outras lactamas mostravam sinais abaixo de 1695 cm⁻¹).



Esquema 19: Obtenção da lactona **2.17**

Tabela 6: Comparação das lactamas **2.13-2.16** com dados da literatura

Entrada	Lactama	Parâmetro	Dados Experimentais	Dados da Literatura	referências
1	2.13	pto. fusão	87,0-87,8°C	87,0-88,0 °C	5
		¹ H-RMN	1,18 (d, 3H, J=6,3Hz) 3,50 (m, 1H)	1,25 (d, 3H, J=6,0Hz) 3,50 (m, 1H)	4
		IV	1677 cm ⁻¹ (past. KBr)	1690 cm ⁻¹ (filme)	4
2	2.15	¹ H-RMN	1,17 (d, 3H, J=6,2Hz) 3,73 (m, 1H)	1,17 (d, 3H, J=7,0Hz) 3,76 (m, 1H)	15
		IV	1694 cm ⁻¹ (filme)	1698 cm ⁻¹ (filme)	56
3	2.16	pto. fusão	103,0-103,5°C ¹	107,0 °C ²	57

¹recristalizado em Hexano:Acetato de Etila; ² recristalizado em Éter Etílico:Etanol;

As lactamas sintetizadas já foram descritas na literatura e a Tabela 6 mostra a comparação de alguns dados experimentais relevantes na caracterização destes compostos.

Após a obtenção e isolamento das lactamas 2.13-2.16 foi realizada a proteção do nitrogênio com o grupo Boc (*terc*-butoxicarbonil), através da adição de diisopropilamideto de lítio (LDA), em THF e à -78°C, às lactamas e a posterior adição do anidrido *terc*-butoxicarbonílico ao ânion de lítio gerado. Após tratamento das reações e purificação por coluna cromatográfica foram isoladas as lactamas protegidas 2.18-2.21 (Tabela 7).

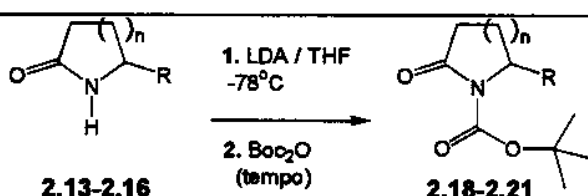
A necessidade da proteção do grupo N-H das lactamas está baseada na possível interferência que ele pode ter com os reagentes das próximas etapas da rota sintética. O bloqueio temporário desse grupo reativo, através da derivatização para um carbamato (N-CO-OR), onde o par de elétrons do nitrogênio estará delocalizado e terá diminuído seu caráter básico e nucleofílico, impede que ele entre em competição com as reações que serão realizadas posteriormente com essas lactamas substituídas.

Dentre os métodos de proteção de sistemas nitrogenados um dos mais utilizados baseia-se na formação de carbamatos de *terc*-butila (N-Boc), que são estáveis à presença de nucleófilos, organometálicos (incluindo reagentes de alquil-lítio), hidrogenação (exceto sob condições acídicas), hidretos, reagentes oxidantes e ácidos de Lewis suaves. Por outro lado são facilmente hidrolisados em meio ácido (HCl aquoso ou ácido trifluoroacético) podendo ser removidos na hora oportuna através destas condições.⁵⁸

A análise espectroscópica dos produtos protegidos mostra claramente, nos espectros de RMN, os sinais do grupo carbamato *terc*-butílico e, em comparação com as lactamas desprotegidas utilizadas como reagentes nessa etapa, nota-se que os sinais nos espectros de infravermelho referentes aos estiramentos N-H não estão mais presentes e a região de carbonilas tem seus picos mais intensos deslocados para a região de 1713-1785 cm⁻¹.

Tabela 7: Formação de N-Boc-2-piperidinonas (n=2) e N-Boc-2-pirrolidinonas (n=1) substituídas

Entrada	n	R	LDA (equivalentes)	Tempo	Produto	rendimento (%)
1	2	Me	1,0	30 minutos	2.18	90
2	2	n-Pentil	1,1	3 horas	2.19	60
3	1	Me	1,1	2 horas	2.20	86
4	1	Ph	1,1	1 hora	2.21	70

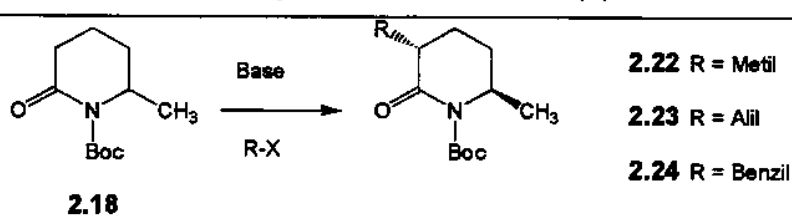


2.3.2 Alquilação de N-Boc-2-piperidinonas Substituídas

A partir do isolamento das lactamas protegidas foi possível iniciar os estudos visando a alquilação e a obtenção de sistemas piperidínicos 3,6-dissubstituídos. O objetivo nessas primeiras reações era obter, através da alquilação seletiva, a lactama *trans*-dimetil-substituída 2.22, cujo padrão de substituição faz parte do alcalóide Plumerinina (Esquema 1). Portanto, os testes tiveram início com a lactama 2.18 como substrato, na alquilação com iodeto de metila, variando-se as condições reacionais em busca da melhor metodologia para este objetivo (Tabela 8-entradas 1-7).

Dentre os resultados da Tabela 8 pode-se destacar que a utilização de temperaturas mais baixas (-78°C) levam à obtenção dos produtos de alquilação em seletividades mais elevadas. A princípio foi observado somente um isômero de alquilação por ¹H-RMN (Esquema 20-A) nas alquilações realizadas à -78°C, enquanto que a presença de ambos os isômeros ficou clara na análise de reações desenvolvidas a -23°C (entrada 3 e Esquema 20-B).

Tabela 8: Alquilação de N-Boc-6-metil-2-piperidinona*

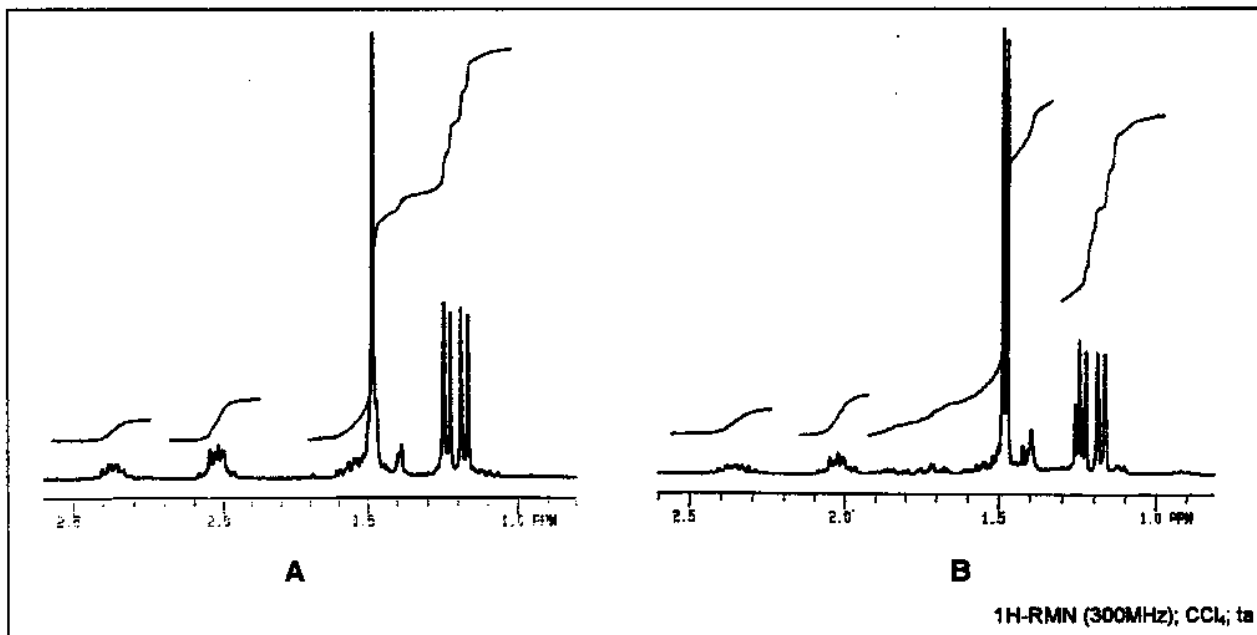


Entra- da	Base (eq)	temp. 1 (°C) / tempo 1 (min.)	DMPU (eq.)	R-X (eq.)	temp. 2 (°C) / tempo 2 (min.)	Rendimento (reagente recuperado) (%)	Seletividade (<i>trans/cis</i>)
1	LDA (3)	0 / 60	0	MeI (5)	0 / 60	0¹(0)	-
2	LDA (3)	ta / 60	0	MeI (6)	-23 / 240	50(10)	2.22 (n.d.)²
3	LDA (1)	-23 / 30	0	MeI (1)	-23 / 30	50(14) ³	2.22 (75:25)
4	LDA (1)	-78 / 30	2	MeI (2)	-78 / 20	61(10)	2.22 (96:4)
5	LiHMDS (1)	-78 / 30	4	MeI (2)	-78 / 210	58(11)	2.22 (96:4)
6	LiHMDS (1,1)	-78 / 20	4	MeI (4)	-78 / 60	67(19)	2.22 (96:4)
7	NaHMDS (5) ⁴	-78 / 65	4	MeI (4)	-78 / 30	77(2)	2.22 (96:4)
8	LDA (1,1)	-78 / 30	4	AliIBr (4)	-78 / 240	44(26)	2.23 (93:7)
9	LDA (1,1)	-78 / 30	4	BnBr (4)	-78 / 240	57(19)	2.24 (>99:1)

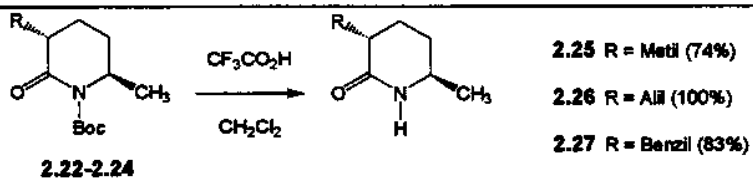
* procedimento adotado: 2.18+THF+Base (temperatura 1 / tempo 1); DMPU+MeI (temperatura 2 / tempo 2); NH₄Cl_(aq) (extração com CH₂Cl₂). ¹reção não isolada, só foi observado produto de dialquilação por CG; ²nd=não determinada; ³(5%) de produto dialquilado isolado; ⁴ solução comercial 1M em THF (Aldrich Co.).

Como nas análises por CG dos produtos obtidos como mistura *trans/cis* não foi observada nenhuma separação, realizamos a desproteção das lactamas em meio ácido (ácido trifluoroacético em diclorometano), levando ao isolamento da lactama dimetilada 2.25 (Esquema 21). Análises por CG e CG/EM mostraram uma clara separação dos isômeros *trans/cis*

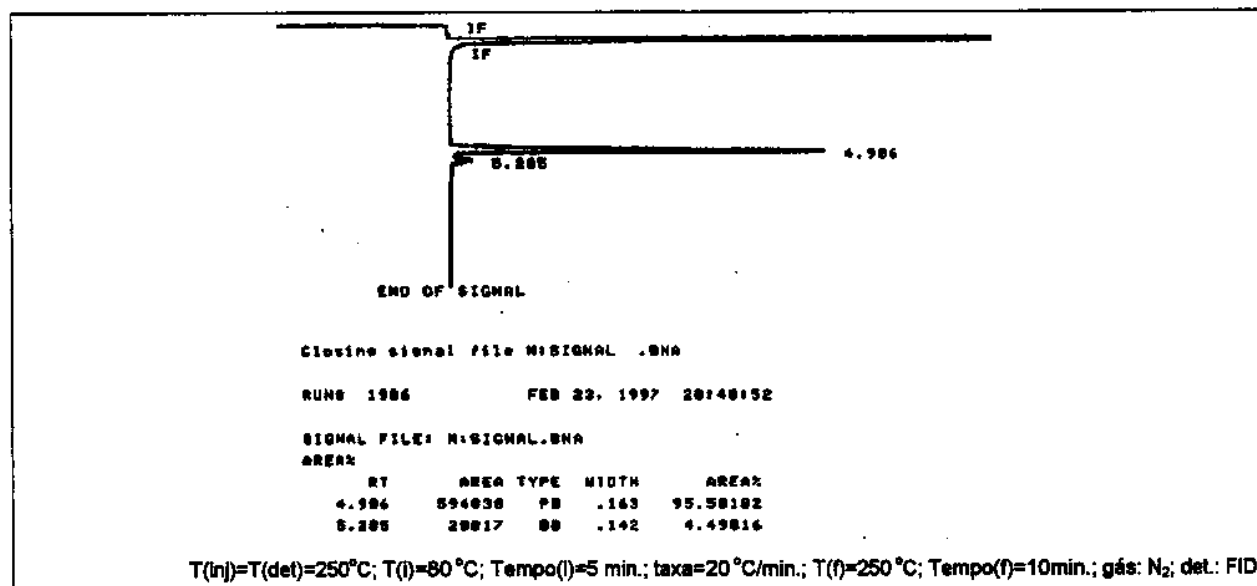
indicando que a seletividade alcançada nas alquilações à baixa temperatura é 96:4 (Esquema 22). A elevação da temperatura do sistema, além de diminuir a seletividade do produto alquilado, leva também ao isolamento de grandes quantidades do produto de dialquilação indesejado (entrada 3).



Esquema 20: Espectros parciais de ^1H -RMN para **2.22** (A: reação à -78°C ; B: reação à -23°C)



Esquema 21: Desproteção das lactamas 2.22-2.24

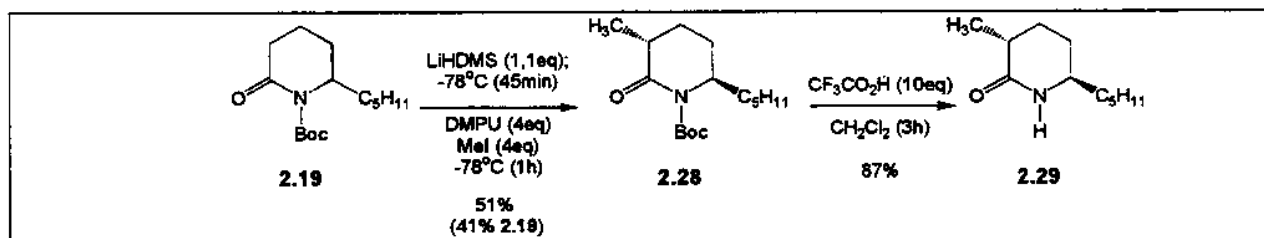


Esquema 22: Análise de 2.25 por cromatografia gasosa

Com a constatação de que as melhores seletividades somente seriam alcançadas trabalhando-se em baixas temperaturas foi necessária a adição de DMPU a fim de aumentar a nucleofilicidade do enolato. A utilização de DMPU é recomendável devido à sua baixa toxicidade em relação aos outros co-solventes, como HMPA, por ser compatível com reagentes altamente nucleofílicos e básicos e por poder ser compatível com reações a baixas temperaturas.⁵⁹

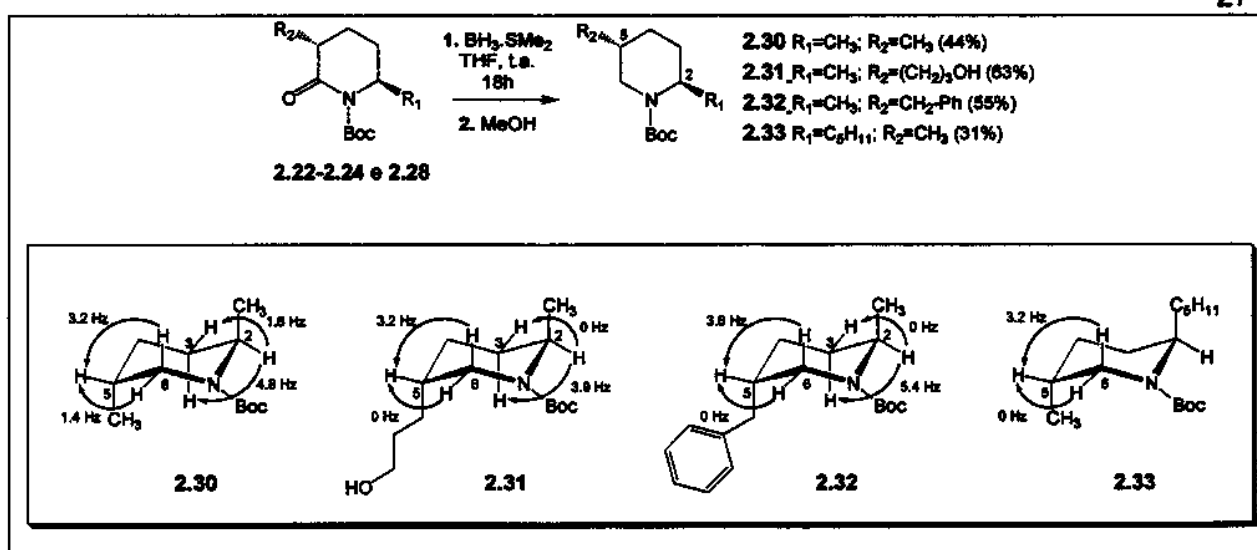
Por fim, as bases utilizadas (LiHMDS, NaHMDS e LDA) mostram resultados semelhantes, tanto em relação a rendimentos como seletividades, sendo rotineiramente escolhidas de acordo com a sua disponibilidade. Por fim, estas mesmas condições foram utilizadas para a alquilação com os eletrófilos brometo de alila e benzila, levando às lactamas 2.23 e 2.24 em rendimentos pouco inferiores aos observados nas reações de metilação de 2.18 (Tabela 8-entradas 8 e 9). As seletividades também foram determinadas após desproteção dos sistemas obtidos e análise por CG e CG/EM (Esquema 21), sendo que para a lactama desprotegida benzilada 2.27 é observada a presença de somente um isômero.

A mesma metodologia foi aplicada à N-Boc-6-n-pentil-2-piperidinona, levando ao produto de alquilação 2.28 em 51% de rendimento e recuperação de 41% do reagente, que pode ser novamente utilizado (Esquema 23). Tanto as análises de RMN, realizadas com o produto protegido 2.28, como as análises por cromatografia gasosa da lactama desprotegida 2.29 mostram a presença de um único isômero de alquilação (Esquema 23).

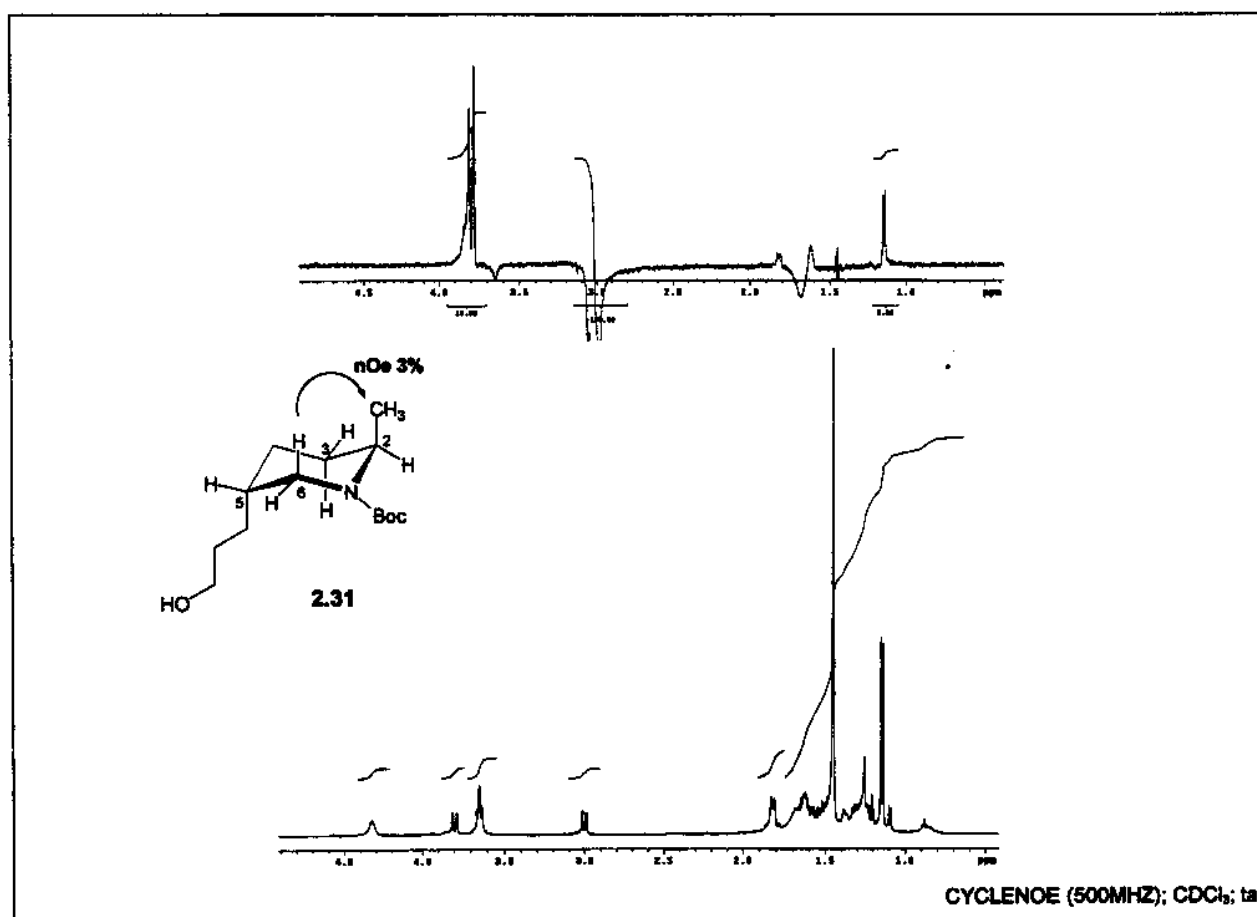


Esquema 23: Obtenção e desproteção da lactamas 2.24

A obtenção dos produtos com a estereoquímica relativa *trans* majoritariamente nas reações de alquilação das lactamas protegidas 2.18 e 2.19 foi determinada após a redução da carbonila do anel com BH₃.S(CH₃)₂ (10 equivalentes), em THF e à temperatura ambiente, levando às piperidinas correspondentes 2.30-2.33 (Esquema 24).² A inspeção das constantes de acoplamento entre os hidrogênios ³J(H5-H6) e ³J(H2-H3) mostrou valores pequenos, indicando que os grupos mais volumosos em C-2 e C-5 do anel piperidínico estavam posicionados axialmente, devido às interações alílicas A^(1,3) com o grupo Boc, deixando os hidrogênios do anel em posições equatoriais e levando às pequenas constantes de acoplamento observadas. Esta atribuição também foi confirmada por estudos de nOe (CYCLOENO) para 2.31, onde a irradiação de H-6β (δ 3,00) levou a um incremento de 3,0% na metila em C-2 (δ 1,15) (Esquema 24 e Esquema 25).

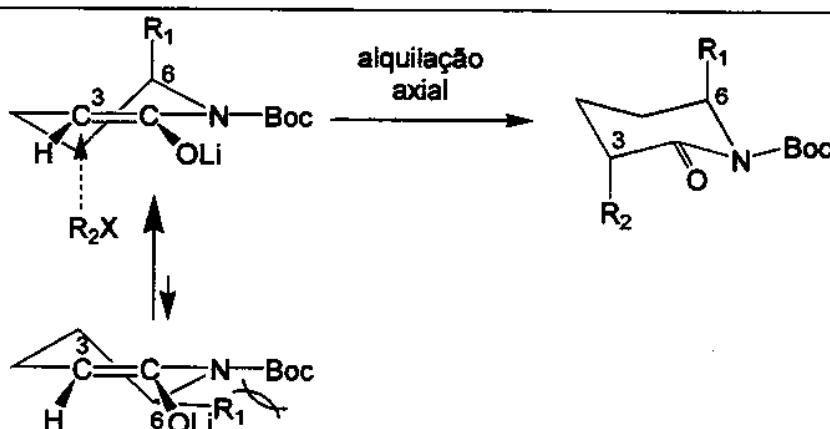


Esquema 24: Obtenção das piperidinas 2.30-2.33

Esquema 25: Espectros de 1H -RMN e CYCLENDE de 2.31

Além da atribuição da estereoquímica *trans* para as lactamas 2.22-2.24 através de análise espectroscópica, foi possível comparar os dados do produto 2.30, obtido a partir de 2.22, com os apresentados no trabalho de Beak e Lee,⁶⁰ confirmando inequivocamente a atribuição *trans* para esta lactama.

Como já foi discutido na Seção 2.2.1, os aspectos estereoeletrônicos que devem estar envolvidos na seletividade em favor dos produtos de alquilação com estereoquímica relativa *trans* decorrem de efeitos de interação alílica A^(1,3) entre o grupo carbamato e os substituintes do anel, onde um posicionamento *pseudo-axial* dos substituintes no anel piperidínico deve ser favorecido energeticamente, favorecendo um ataque axial (estereoeletronicamente favorecido) e orientando a entrada do eletrófilo pela face contrária a do substituinte R₁ do enolato (Esquema 26).



Esquema 26: Alquilação axial dos enolatos piperidínicos

Portanto, a alquilação de enolatos de lítio e sódio em sistemas piperidínicos mostrou ser altamente estereoseletiva em favor dos isômeros *trans*, mesmo quando utiliza-se eletrófilos que não são tão sensíveis a alterações estéricas no sistema (como o iodeto de metila). A proposta da participação de efeitos estereoeletrônicos orientando a alquilação, através de interações alílicas A^(1,3) entre o grupo carbamato e o substituinte em C-6 do anel, vem de encontro aos resultados descritos na literatura, já que, como foi descrito no Esquema 13, as alquilações em sistemas que contém um grupo benzila ligado ao nitrogênio do anel piperidínico levam ao isolamento de misturas de produtos *trans/cis* de maneira muito menos seletiva (e.d.:0-60%).

2.3.3 Alquilação de N-Boc-2-pirrolidinonas Substituídas

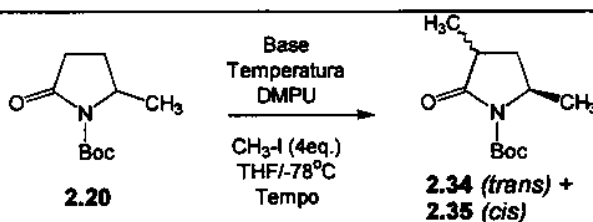
De uma maneira geral, a utilização do mesmo protocolo experimental desenvolvido para a alquilação de N-Boc-2-piperidinonas-6-substituídas mostrou-se insatisfatório para a alquilação de N-Boc-2-pirrolidinonas-5-substituídas, tanto no que diz respeito aos baixos valores de seletividade alcançados quando iodeto de metila foi utilizado como eletrófilo, como nas pequenas taxas de conversão muitas vezes observadas, levando a baixos rendimentos.

Para tentar contornar este problema foi necessário o desenvolvimento de um novo estudo sistemático para estes sistemas através da utilização de diferentes bases para a geração dos enolatos, diferentes temperaturas e tempos de reação.

Os experimentos tiveram seu início com as tentativas de alquilação da N-Boc-2-pirrolidinona **2.20**, utilizando-se iodeto de metila como eletrófilo. Várias condições foram testadas a fim de observar a seletividade para esta reação e tentar obter a melhor taxa de conversão e rendimento possíveis. Nenhuma das condições testadas para este substrato levou a seletividades maiores que ~3/1, levando a crer que os efeitos estéricos e estereoeletrônicos presentes no sistema não estão direcionando significativamente a alquilação por uma das faces do enolato. A variação da base utilizada e do tempo reacional após a adição de MeI não levaram a melhorias significativas nos valores de seletividade (Tabela 9).

Como os produtos de alquilação **2.34** (*trans*) e **2.35** (*cis*) não apresentaram separação por cromatografia em coluna de sílica gel e também por CG, a seletividade das reações foi verificada por espectroscopia de RMN. Por outro lado, a desproteção dos produtos **2.34** e **2.35** e a análise por CG das respectivas lactamas **2.36** e **2.37**, permitiu que as proporções obtidas fossem determinadas sem necessidade de isolamento dos produtos finais de reação. Essa é a razão pela qual várias entradas na Tabela 9 não tem seu rendimento descrito, já que devido às baixas seletividades observadas não foram realizadas as etapas de purificação.

Tabela 9: Alquilação de N-Boc-5-metil-2-pirrolidinona com iodeto de metila



Entra- da	Base (eq)	Temperatura do enolato	DMPU (eq.)	Tempo de reação	Rendimento (reagente recuperado) (%)	Seletividade (<i>trans/cis</i>) ^a
1	LiHMDS (1,2)	-78°C	4,0	4 h.	58 (16)	1,4 : 1
2	LiHMDS (1,2)	-78°C	4,0	4 h.	— ^b	1,5 : 1
3	LiHMDS (1,2)	-78°C	4,0	2h ½ .	— ^b	1,5 : 1
4	LDA (2,0)	-78°C	4,0	30 min.	31 (10)	1 : 1
5	LDA (1,2)	-78°C	4,0	4 h.	— ^b	1,5 : 1
6	LDA (1,2)	-78°C	4,0	30 min.	— ^b	1,4 : 1
7	LDA (4,0)	-78°C	4,0	4 h.	— ^b	3,2 : 1
8	NaHMDS (5,0) ^c	-78°C	4,0	1 h.	10	2,5 : 1

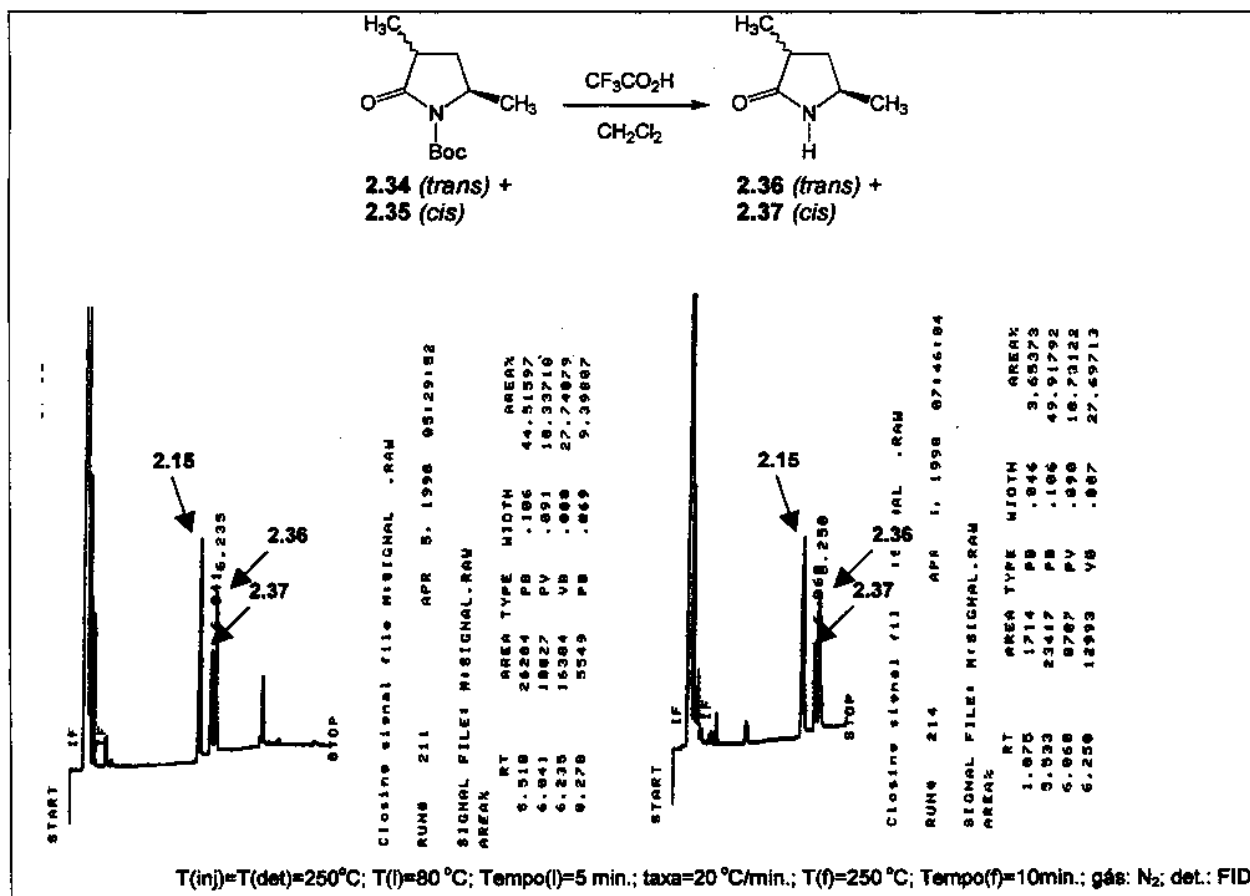
^aproporção determinada por CG após desproteção da mistura de **2.34** e **2.35**; ^bprodutos não isolados; ^csolução comercial 1M em THF (Aldrich Co.).

A fim de validar esta metodologia, duas amostras vindas de uma mesma alquilação foram colocadas nas condições normalmente utilizadas para a desproteção (10 equivalentes de CF₃CO₂H, 30 minutos à temperatura ambiente; tratamento com solução saturada de NaHCO₃ e

extração com CH_2Cl_2). Uma delas foi filtrada em sílica antes da desproteção (A) e a outra foi desprotegida como bruto reacional (B) e ambas foram analisadas por cromatografia gasosa (Esquema 27). Os cromatogramas mostram 3 picos, que já estavam previamente identificados como sendo a lactama 2.13 (presente devido à desproteção de 2.20 restante no meio reacional; tr: 5,5 min.) e os produtos desprotegidos 2.37 e 2.38 [*trans* (tr: 6,2 min.) e *cis* (tr: 6,0 min.)]. A similaridade dos cromatogramas confirma que a atribuição das proporções obtidas pode ser realizada com o bruto reacional sem purificações prévias, agilizando o processo.

A atribuição da estereoquímica foi realizada pela comparação dos dados experimentais de ^1H - e ^{13}C -RMN de 2.35 com os do composto *cis* descrito por Koskinen e colaboradores⁶¹.

Por outro lado, as reações de alquilação de 2.21 com iodeto de metila levaram a misturas de 2.38 (*trans*) e 2.39 (*cis*) em melhores seletividades (Tabela 10). Ao contrário do apresentado na alquilação de 2.20 as diferenças de polaridade entre os produtos permitiram a separação dos produtos por cromatografia de camada delgada, coluna cromatográfica e cromatografia líquida de alta eficiência (HPLC), possibilitando a utilização desta técnica como forma de determinar as proporções relativas dos produtos e com isso verificar a seletividade alcançada na alquilação.



Esquema 27: Desproteção das lactamas 2.34 e 2.35 e cromatogramas gasosos de desproteções realizadas com amostra filtrada (A) e com bruto reacional (B) das alquilações

Dessa forma foram realizados uma série de testes utilizando condições reacionais semelhantes às reações que levaram a 2.34 e 2.35, variando-se o tempo de reação. Os dados da Tabela 10 sugerem a formação cinética do produto *cis* nesta reação, que após aumento do tempo de reação acaba levando a uma mistura mais enriquecida do isômero *trans*, termodinamicamente mais estável. Alternativamente não pode-se descartar que o excesso de base pode levar à desprotonação dos produtos inicialmente formados e que a proporção obtida seja resultado de uma protonação no final do processo.

Novamente as análises das seletividades obtidas foram realizada sem a necessidade do isolamento dos produtos das reações, e foi realizada diretamente por HPLC. Dessa forma, uma série de condições reacionais não tiveram seus produtos isolados (Tabela 10-entradas 2-7) pois, apesar de mostrar seletividades relativamente altas, apresentaram baixas taxas de conversão dos reagentes em produtos.

Tabela 10: Alquilação de N-Boc-5-fenil-2-pirrolidinona com iodeto de metila

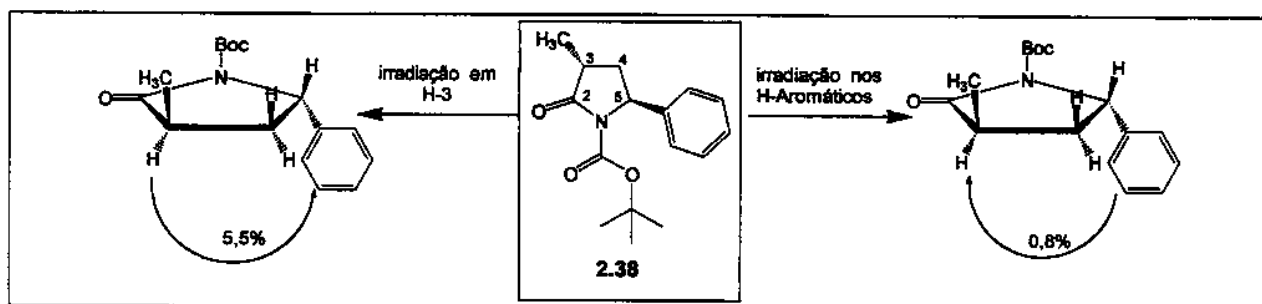
Entra- da	Base (eq)	Temperatura do enolato	DMPU (eq.)	Tempo de reação	Rendimento (reagente recuperado) (%)	Seletividade
						(trans/cis)
1	LiHMDS (4,0)	-78°C	4,0	4 h.	39 (27)	2,5 : 1 ^a
2	LiHMDS (4,0)	-78°C	4,0	4 h.	- ^c	2,1 : 1 ^b
3	LiHMDS (1,2)	-78°C	4,0	2h ½ .	- ^c	6,6 : 1 ^b
4	LDA (1,2)	-78°C	4,0	30 min.	- ^c	4,5 : 1 ^b
5	LDA (1,2)	-78°C	4,0	4 h.	- ^c	8,2 : 1 ^b
6	LDA (4,0)	-78°C	4,0	30 min.	- ^c	5,9 : 1 ^b
7	LDA (4,0)	-78°C	4,0	4 h.	- ^c	12,1 : 1 ^b
8	LDA (4,0)	0	20,0	4 h.	65 (10)	3,8 : 1 ^a
9	LDA (4,0)	-78°C	20,0	4 h.	83	6,2 : 1 ^a

^aproporção determinada através das massas isoladas após purificação por cromatografia líquida; ^bproporção determinada por HPLC (coluna Hypersil, 5µm, 200x4,6mm; hexano:acetato de etila (8:2); fluxo:1,0 ml/min; λ=270nm); ^cprodutos não isolados em virtude da baixa conversão observada por HPLC.

Apesar das reações estarem mostrando seletividades que poderiam atingir valores de aproximadamente 10/1, estávamos com dificuldades na obtenção destes compostos em rendimentos e taxas de conversão maiores. Para contornar estes problemas promovemos o aumento na quantidade relativa de DMPU utilizado e o aumento da temperatura do sistema na

etapa de formação do enolato (Tabela 10-entradas 8-9), alcançando valores de rendimentos de produtos isolados na faixa de 65-83%.

A atribuição da estereoquímica relativa dos produtos foi possível após estudos de nOe-diferencial com o produto 2.38 (majoritário): a irradiação seletiva do hidrogênio H-3 levou a um incremento significativo (5,5%) no sinal dos hidrogênios aromáticos, consistente com a relação cis entre esses grupos. O incremento no sinal de H-3 devido à irradiação dos hidrogênios aromáticos mostrou-se de menor intensidade (0,8%) mas ainda consistente com a relação cis desses grupos (Esquema 28).



Esquema 28: Principais incrementos em experimentos de nOe com 2.38

Com a realização desses estudos e, portanto, com a determinação da estereoquímica relativa dos produtos formados majoritariamente na alquilação das pirrolidinonas 2.20 e 2.21 com Mel como sendo *trans*, nota-se um aumento significativo da seletividade dessas alquilações devido ao aumento do tamanho do grupo adjacente ao nitrogênio. A partir destes resultados, promovemos as mesmas alquilações utilizando-se outros eletrófilos (brometo de alila e brometo de benzila) para a captura dos enolatos formados (Tabela 11-Tabela 14).

A análise de todos os testes sugerem que a utilização de maiores quantidades de DMPU nas reações de alquilação em sistemas pirrolidínicos aumenta significativamente o rendimento obtido. O mesmo pode ser dito a respeito da quantidade de LDA utilizada, onde resultados significativos só foram observados em reações que utilizaram largo excesso desta base. Por outro lado, a variação na temperatura em que ocorre a formação do enolato não mostra o mesmo efeito para todos os casos. Em vários casos testados, a combinação de aumento de DMPU e geração do enolato à temperaturas mais altas levaram a melhorias nos rendimentos (em relação aos testes anteriores), mas para os produtos de alquilação com brometo de alila como eletrófilo, melhores rendimentos foram alcançados com a formação do enolato a 0°C do que a -78°C.

A utilização dos brometos de alila e benzila como eletrófilos levaram somente ao isolamento dos produtos com estereoquímica relativa *trans* entre os substituintes do anel pirrolidínico e, a exemplo do produto 2.38, as atribuições estão baseadas em estudos de nOe (NOESY-1D) (Esquema 29 e Esquema 30).

Tabela 11: Alquilação de N-Boc-5-metil-2-pirrolidinona com brometo de alila

Entra- da	Base (eq)	Temperatura do enolato	DMPU (eq.)	Tempo de reação	Rendimento (reagente recuperado) (%)	Seletividade (trans/cis)
1	LDA (1,3)	- 78°C	4,0	4h.	29	>99:1
2	LDA (1,2)	- 78°C	4,0	4h.	- ^a	n.d.
3	LDA (1,2)	- 78°C	20,0	4h.	- ^a	n.d.
4	LDA (4,0)	- 78°C	20,0	4h.	52	>99:1
5	LDA (1,2)	0°C	20,0	4h.	- ^a	n.d.
6	LDA (4,0)	0°C	20,0	4h.	45 (27)	>99:1

^aproduto não isolado;

Tabela 12: Alquilação de N-Boc-5-metil-2-pirrolidinona com brometo de benzila

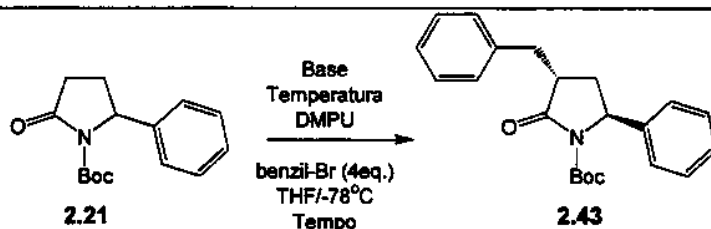
Entra- da	Base (eq)	Temperatura do enolato	DMPU (eq.)	Tempo de reação	Rendimento (reagente recuperado) (%)	Seletividade (trans/cis)
1	LiHMDS (1,1)	- 78°C	4,0	2 h.	36 (40)	>99:1
2	LDA (1,2)	- 78°C	4,0	4 h.	52 (13)	>99:1

Tabela 13: Alquilação de N-Boc-5-fenil-2-pirrolidinona com brometo de alila

Entra- da	Base (eq)	Temperatura do enolato	DMPU (eq.)	Tempo de reação	Rendimento (reagente recuperado) (%)	Seletividade (trans/cis)
1	LDA (1,5)	- 78°C	4,0	4 h.	- ^a	n.d.
2	LDA (4,0)	- 78°C	4,0	4 h.	39 (30)	>99:1
3	LDA (4,0)	- 78°C	20,0	4 h.	- ^a	n.d.
4	LDA (4,0)	0°C	20,0	4 h.	45 (34)	>99:1

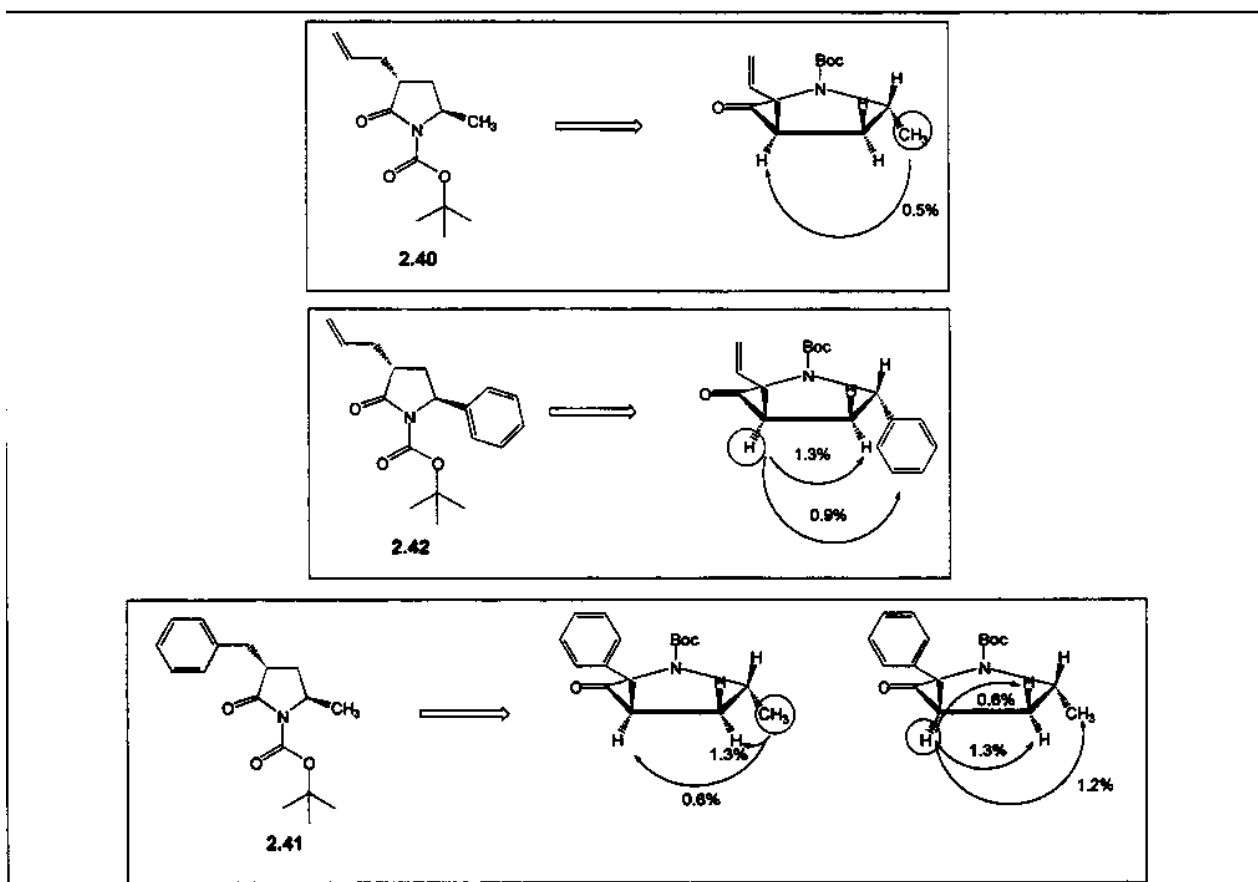
^aproduto não isolado;

Tabela 14: Alquilação de N-Boc-5-fenil-2-pirrolidinona com brometo de benzila

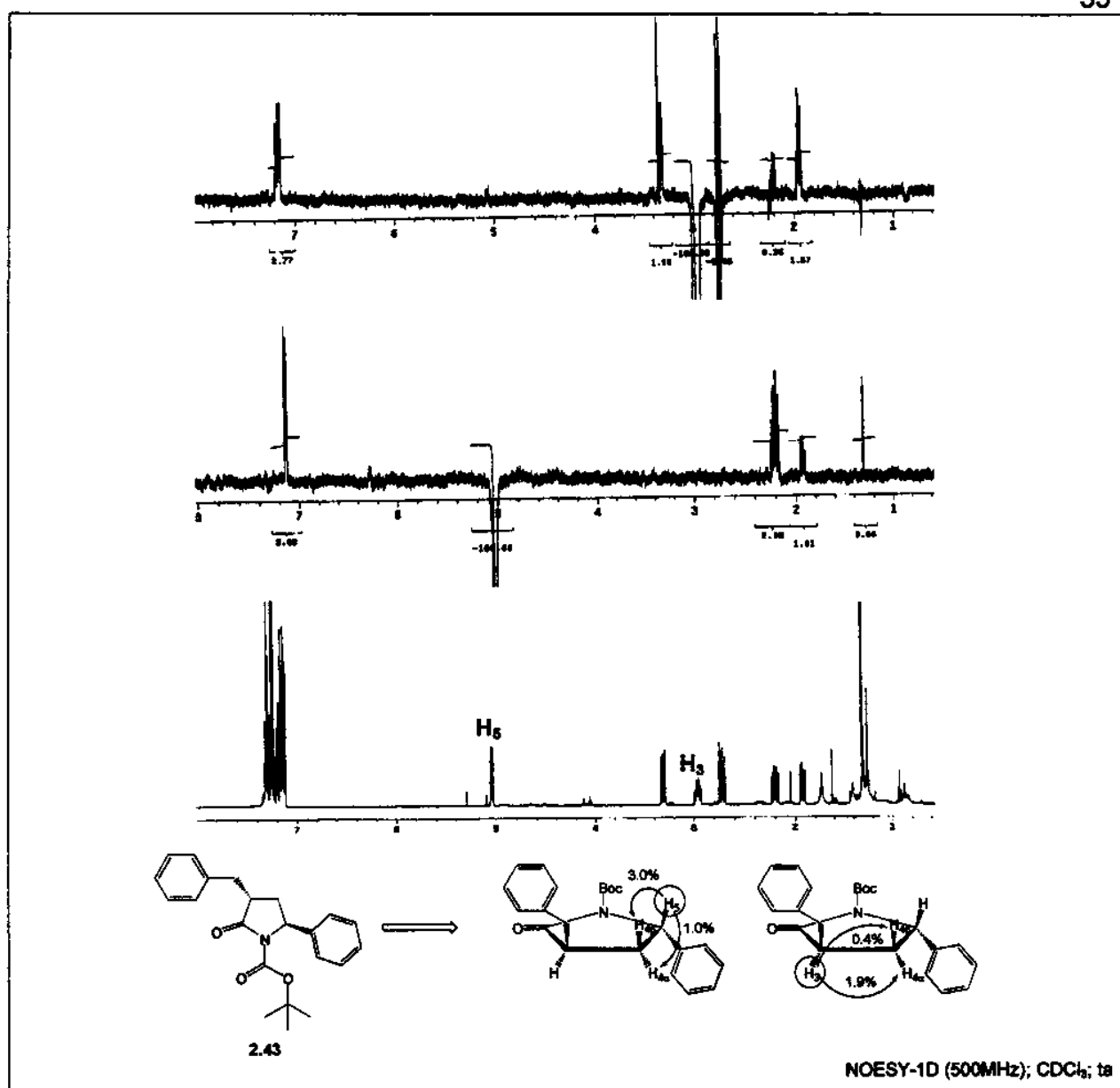


Entra- da	Base (eq)	Temperatura do enolato	DMPU (eq.)	Tempo de reação	Rendimento (reagente recuperado) (%)	Seletividade (trans/cis)
1	LDA (1,2)	- 78°C	4,0	4 h.	30 (23)	>99:1
2	LDA (1,2)	- 78°C	20,0	4 h.	-*	n.d.
3	LDA (1,2)	0°C	20,0	4 h.	-*	n.d.
4	LDA (4,0)	- 78°C	20,0	4 h.	60,5	>99:1
5	LDA (4,0)	0°C	20,0	4 h.	42 (22)	>99:1

*produto não isolado, análise por CG mostra grandes quantidades de reagente presente no bruto reacional;



Esquema 29: Principais incrementos em experimentos de nOe com 2.40-2.42



Esquema 30: Principais incrementos em experimentos de nOe com 2.43

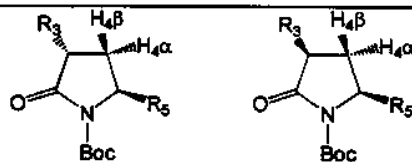
A análise de deslocamento químico e das constantes de acoplamento nos espectros de ¹H-RMN dos produtos de alquilação também podem ser utilizadas no processo de atribuição da estereoquímica relativa *trans* ou *cis*. Pedregal e colaboradores¹² observaram que os sinais de H-5 são mais desprotegidos nas *trans*-N-Boc-2-pirrolidinonas (Tabela 15-entradas 1 e 3) que nos correspondentes produtos *cis* (entradas 2 e 4). Somado a isto, os sinais para H4α e H4β nas *trans*-N-Boc-2-pirrolidinonas apresentam normalmente valores muito próximos de deslocamento químico ($\Delta\delta$ 0 - 0.1 ppm), enquanto que *cis*-N-Boc-2-pirrolidinonas esta diferença pode ser maior que 1,2 ppm.

A comparação entre os valores de $^3J(H5-H4\alpha)$ e $^3J(H5-H4\beta)$ obtidos para a pirrolidinona protegida 2.38 (6.2 e 4.0 Hz, respectivamente, Tabela 15-entrada 3) e os valores para o

correspondente produto desprotegido 3-metil-5-fenil-2-pirrolidinona (**2.44**) [$^3J(H_5-H_{4\alpha}) = ^3J(H_5-H_{4\beta}) = 6.0$ Hz] indica uma mudança conformacional significativa no sistema, que pode ser atribuída ao alívio de tensões alilicas A^(1,3) no produto desprotegido. A realização de experimentos de nOe vem de acordo com essa proposta, já que para o produto desprotegido não observa-se correlação entre os hidrogêncios aromáticos e H-3, enquanto que para **2.38** esta correlação é de 5,5% (Esquema 28).

Tabela 15: Deslocamentos químicos e constantes de acoplamento para 2-pirrolidinonas N-Boc-3,5-dissubstituídas

Entrada	Produto	<i>trans</i>		<i>cis</i>		$^3J(H_5-H_4)$	
		R ₅	R ₃	δH_5	$\delta H_{4\alpha}$		
1	2.34-trans	Me	Me	4.20	1.9	1.8	6.0; 1.4
2	2.35-cis	Me	Me	4.03	2.4	1.3	6.2; 6.2
3	2.38-trans	Ph	Me	5.15	2.1	2.1	6.2; 4.0
4	2.39-cis	Ph	Me	4.90	2.7	1.6	9.0; 6.8
5	2.40-trans	Me	alil	4.20	1.9	1.9	6.5; 1.8
6	2.41-trans	Me	Bn	4.13	1.9	1.7	6.2; 1.2
7	2.42-trans	Ph	alil	5.15	2.2	2.1	8.8; 1.9
8	2.43-trans	Ph	Bn	5.04	2.2	2.0	8.8; 1.9



É importante destacar que os estudos em sistemas pirrolidínicos foram propostos como uma extensão da metodologia que mostrou bons resultados em sistemas piperidínicos, visando comparar as particularidades de cada sistema frente a reações semelhantes. Nota-se claramente uma maior dificuldade em obter bons resultados para as alquilações de lactamas de 5 membros, o que levou à realização de muitos testes buscando a otimização destas reações em termos de seletividade e rendimentos para cada caso em separado. Dessa forma, não tivemos uma grande preocupação em exaurir as possibilidades de otimização de cada sistema, mas sim obter uma visão geral de suas potencialidades.

Todos os produtos de alquilação foram caracterizados por técnicas de RMN, IV, HR/MS e análise elementar, atribuindo-se através de técnicas de nOe diferencial a estereoquímica relativa *trans* preferencialmente para todos os casos (nas alquilações com os brometos de alila e benzila como eletrófilos, somente a formação do produto *trans* é observada). Esta tendência pode ser atribuída, em grande parte, a efeitos estéricos do substituinte do anel pirrolidínico e às maiores interações com eletrófilos mais volumosos.

2.4 Conclusões

A obtenção de N-Boc-2-piperidinonas e N-Boc-2-pirrolidinonas substituídas através da adição de reagentes de Grignard à glutarimida e succinimida, respectivamente, e a posterior proteção do nitrogênio das lactamas possibilitou a realização de um estudo sistemático de reações de alquilação.

Uma série de condições reacionais foram testadas frente a estes sistemas, como a temperatura de reação, bases utilizadas para formação dos enolatos, tempo de reação, utilização de co-solvente e variação das quantidades dos reagentes utilizados, visando a otimização dos rendimentos e a análise das seletividades obtidas.

As alquilações de enolatos de lítio e sódio da N-Boc-2-piperidinona **2.18** mostraram preferência em favor dos produtos de alquilação *3,6-trans* na adição dos eletrófilos estudados (brometo de alila, brometo de benzila e iodeto de metila). A alquilação da N-Boc-6-n-pentil-2-piperidinona **2.19** com iodeto de metila também mostrou esta mesma tendência. Os resultados foram atribuídos a efeitos estereoeletrônicos, que estariam influenciando os enolatos através de interações alílicas A^(1,3) envolvendo o substituinte metil ou n-pentil em C-6 e o grupo carbamato protetor.

A estereoquímica obtida nestas reações foi atribuída através da redução da carbonila endocíclica das lactamas **2.22-2.24** e **2.28** e pela análise espectroscópica das N-Boc-piperidinas **2.30-2.33**. Incrementos de nOe entre os substituintes do sistema piperidínico e medidas de constantes de acoplamento dos hidrogênios do anel piperidínico indicam um posicionamento axial dos grupos em C-3 e C-6 devido às interações alílicas A^(1,3) presentes nestes sistemas. O produto **2.30** também teve seus dados comparados com os descritos na literatura. Por sua vez, os valores de seletividade foram determinadas pela desproteção dos brutos reacionais de alquilação e análise através de CG/EM das lactamas **2.25-2.27** e **2.29**, mostrando valores superiores a 96/4 em favor dos produtos *trans*-dissubstituídos.

Os resultados obtidos para a alquilação das N-Boc-2-pirrolidinonas **2.20** e **2.21** também revelaram preferência na formação dos produtos *3,5-trans*-dissubstituídas na adição dos eletrófilos brometo de alila, brometo de benzila e iodeto de metila.

Porém, ao contrário das alquilações de sistemas piperidínicos com iodeto de metila, as metilações dos enolatos de lítio de **2.20** e **2.21** mostraram valores inferiores de seletividade *trans/cis* (de 1,5/1 até 6,2/1) enquanto que as alquilações com os eletrófilos brometo de alila e brometo de benzila levaram aos produtos *3,5-trans* dissustituidos estereoseletivamente. Dessa forma os altos valores de seletividade *trans/cis* observados para os casos onde utilizou-se eletrófilos mais volumosos foram atribuídos a efeitos de impedimentos estéricos, originados das interações entre estes eletrófilos e os grupos metil ou fenil posicionados em C-5.

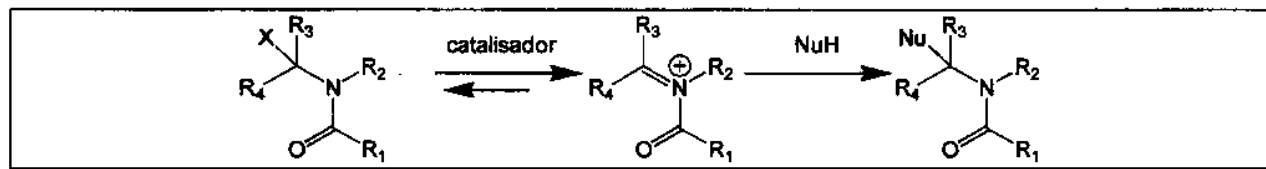
3 Adição de Nucleófilos de Carbono a Ions N-Acilimínio

As reações de adição de nucleófilos de carbono a ions N-acilimínio (reações de α -amidoalquilação) tem sido amplamente utilizadas visando a síntese de compostos heterocíclicos nitrogenados e de cadeia aberta. Compostos aromáticos, alcenos, alcinos, carbâniions derivados de compostos metilênicos ativados e organometálicos podem ser utilizados como nucleófilos na adição a ions N-acilimínio. Uma série de artigos de revisão trata amplamente dessas reações e suas aplicações em síntese de vários sistemas de interesse como alcaloides.^{10, 62, 63}

3.1 Ions N-Acilimínio: Aspectos Gerais

3.1.1 Introdução

Nas reações de α -amidoalquilação os ions N-acilimínio são formados em equilíbrio com seus precursores, sendo capturados por um nucleófilo e levando aos produtos de adição. Em reações de ion imínio (sem a presença de grupos acila) esta última etapa também é reversível, em um processo conhecido como fragmentação de Grob, devido à menor eletrofilicidade do ion imínio. Porém, com a presença de um grupo carbonila ligado ao nitrogênio, o caráter eletrofílico da espécie é aumentado consideravelmente levando à formação dos produtos de adição de forma irreversível¹⁰ (Esquema 31).



Esquema 31: Formação de íons N-acilimínio

De uma maneira geral os íons N-acilimínio estão presentes no meio reacional em baixas concentrações e sua etapa de formação é o passo determinante da velocidade destas reações, podendo ser aumentada com a formação de íons mais estáveis, pela escolha do grupo abandonador (X, no Esquema 31), do solvente e do catalisador⁶³.

A geração *in situ* dos íons N-acilimínio é normalmente utilizada devido à alta reatividade e baixa estabilidade destas espécies. A desprotonação, levando à formação de enamidas ou enecarbamatos, é uma das reações laterais mais comuns que pode tornar-se importante se os íons N-acilimínio não forem rapidamente capturados por um nucleófilo (nucleófilos relativamente pouco reativos e impedimentos estéricos podem favorecer estas reações).

Neste trabalho abordaremos principalmente os aspectos reacionais referentes a íons N-acilimínio cíclicos substituídos contendo o grupo acila exocíclico devido ao interesse do nosso trabalho estar focado nestes substratos e ao grande volume de informações disponíveis na literatura também para outros sistemas não contidos nessa classe.

3.1.2 Obtenção de Ions N-acilimínio e seus Precursors

A heterólise de carbamatos α -substituídos é o método mais utilizado para a formação de ions N-acilimínio. Na maioria dos casos o grupo abandonador é um substituinte oxigenado, mas, menos frequentemente, grupos abandonadores podem ser substituintes nitrogenados ou halogênios. Os alcoxicarbamatos normalmente são compostos estáveis em meios neutros e moderadamente básicos, podendo ser facilmente manuseados, purificados e estocados. A formação de ions N-acilimínio a partir destes substratos exige catálise ácida, podendo ser via ácidos de Brönsted (como ácido trifluoroacético ou ácido metanosulfônico) ou ácidos de Lewis [haleto de zinco, cloretos de alumínio(III), estanho(IV) e titânio (IV) e trifluoreto de boro].⁶³

3.1.2.1 Síntese de Precursors α -Oxigenados

Várias metodologias são utilizadas para obtenção de sistemas α -oxigenados visando sua utilização como precursores na formação de ions N-acilimínio. Entre elas podem ser citadas as reações de amidas primárias ou secundárias com aldeídos ou cetonas, redução parcial de imidas, protonação de enamidas e oxidações eletroquímicas.⁶³ Porém, neste trabalho, destacamos a adição de reagentes de Grignard a imidas e a captura de ions N-acilimínio por nucleófilos oxigenados, devido à importância dessas metodologias na obtenção de vários sistemas em nosso trabalho.

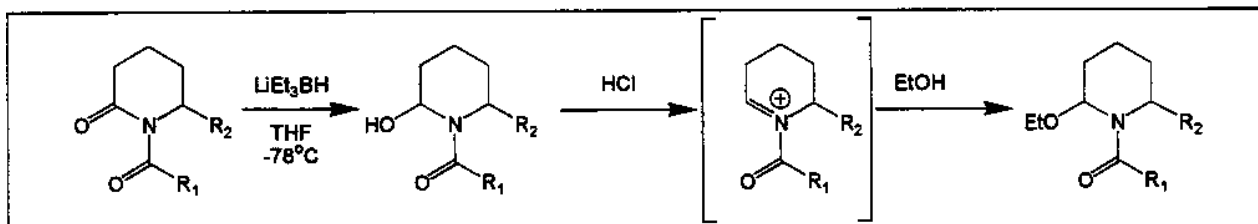
3.1.2.1.1 Adição de reagentes de Grignard a imidas

A adição de reagentes de Grignard a imidas cíclicas leva a α -hidroxilactamas terciárias, sendo muitas vezes acompanhada pela abertura do anel, formação das cetoamidas correspondentes e drástica redução dos rendimentos. No primeiro capítulo (seção 2.1.2) deste trabalho esta metodologia foi citada como uma das formas de obtenção de lactamas substituídas, sendo amplamente utilizada por nós para a síntese das várias piperidinonas e pirrolidinonas que serviriam como material de partida em nossas rotas sintéticas. Mais uma vez vale a pena ressaltar a importância de alguns dos aspectos reacionais envolvidos nestas reações, como a utilização de mistura de solventes etéreos, normalmente utilizados em reações de Grignard, com diclorometano que levaram a uma diminuição na tendência de abertura do anel das α -hidroxilactamas obtidas e possibilitaram a obtenção, principalmente das piperidinonas substituídas, em bons rendimentos.

3.1.2.1.2 Adição de nucleófilos de oxigênio a ions N-acilimínio

Uma das metodologias mais utilizadas para obtenção de α -alcoxicarbamatos, que podem ser utilizados como intermediários na síntese de ions N-acilimínio, envolve a redução de lactamas com hidretos metálicos e a solvólise dos α -hidroxicarbamatos resultantes em meio

ácido. Vários trabalhos da literatura indicam a utilização de boroidreto de sódio como um possível redutor para este tipo de sistema,¹⁰ mas a utilização de redutores mais reativos como DIBAL-H e trietilboroidreto de lítio ou potássio também é descrita para estas reduções com sucesso⁶⁴ (Esquema 32).



Esquema 32: Redução de lactamas com trietilboroidreto de lítio

3.2 Adição de Nucleófilos de Carbono a Íons N-Acilimínio Substituídos

3.2.1 Introdução

O grande número de reações envolvendo nucleófilos de carbono e íons N-acilimínio cílicos, em sistemas contendo variados graus de substituição, levou ao interesse em estudar a interferência e o comportamento destes substituintes nas reações de adição. De maneira geral, substituições em sistemas pirrolidínicos e piperidínicos acabam influenciando diretamente a estereoquímica dos produtos obtidos na adição de nucleófilos a íons N-acilimínio por efeitos estéricos ou estereoeletônicos que operam durante o curso reacional.

Mais uma vez iremos limitar nossa discussão à sistemas mais próximos dos tratados em nosso trabalho, isto é, íons N-acilimínio cílicos substituídos e com o grupo acila exocíclico, buscando entender os resultados por nós obtidos à luz dos dados disponíveis na literatura.

3.2.2 Adição de Nucleófilos a Íons N-acilimínio Monossubstituídos

A adição a íons N-acilimínio cílicos contendo o grupo acila endocíclico tem sua reatividade baseada em efeitos estéricos envolvendo substituintes no anel e os nucleófilos, levando, na grande maioria dos casos, aos respectivos compostos de estereoquímica relativa *trans* para sistemas cílicos de quatro e cinco membros.⁶³ Por outro lado, as reações envolvendo sistemas com o grupo acila exocíclico apresentam uma maior dificuldade no entendimento e atribuição dos fatores que levaram aos resultados e estereoquímicas observados.

Foram abundantes na literatura trabalhos utilizando sistemas pirrolidínicos derivados do ácido glutâmico, pois como já foi comentado no capítulo anterior, a disponibilidade de ambos enantiômeros a preços baixos e a facilidade de conversão ao ácido piroglutâmico tomaram acessíveis as pirrolidinonas correspondentes nas suas formas enantiomericamente puras.

Nesse contexto, as reações entre íons N-acilimínio derivados de pirrolidinas substituídas na posição 5 e olefinas ativadas levaram, na maioria das vezes, a produtos com estereoquímica

relativa predominantemente *cis* e seletividade moderada (Tabela 16; entradas 1-4). Pequenas variações foram observadas com a variação dos grupos R₁ (carbamato protetor do nitrogênio) e R₂ (substituinte do anel), mas a mesma tendência foi observada para todos os casos. Shono e colaboradores⁶⁷ propõem que a utilização de TiCl₄ como ácido de Lewis possa levar a um maior impedimento estérico para o ataque *cis* ao substituinte devido à coordenação do metal com os oxigênios presentes em R₂, explicando a queda de seletividade na comparação entre as entradas 3 e 5, onde na primeira foi utilizado TiC₄ e na última BF₃.OEt₂ como ácidos de Lewis.

Tabela 16: Exemplos da literatura para adições a íons N-acilimínio pirrolidínicos 5-substituídos

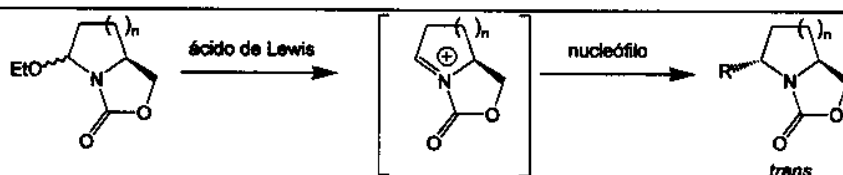
Entrada	R ₁	R ₂	Nucleófilo	R ₃	cis/trans		rend. (%)	referências
					cis	trans		
1	Me	CO ₂ CH ₃	CH ₂ =C(CH ₃)OAc ¹	CH ₃ COCH ₂ ⁻	70/30	80	65	
2	Me	CO ₂ CH ₃	alii-TMS ²	CH ₂ =CHCH ₂ ⁻	77/23	70	66,67,68	
3	'Bu	CO ₂ CH ₃	alii-TMS ²	CH ₂ =CHCH ₂ ⁻	95/5	35	67	
4	'Bu	CO ₂ 'Bu	alii-TMS ¹	CH ₂ =CHCH ₂ ⁻	66/34	80	69	
5	'Bu	CO ₂ CH ₃	alii-TMS ¹	CH ₂ =CHCH ₂ ⁻	50/50	80	70	
6	Me	CO ₂ CH ₃	BuCu ¹	C ₄ H ₉ ⁻	4/96	84	71	
7	Me	CO ₂ CH ₃	n-HeptCu ¹	C ₇ H ₁₅ ⁻	3/97	75	71	
8	Me	C ₇ H ₁₅	n-HeptCu ¹	C ₄ H ₉ ⁻	24/76	57	63	
9	Bn	CO ₂ CH ₃	CH ₂ =CH(CH ₂) ₃ Cu ¹	(CH ₂) ₃ CH=CH ₂ ⁻	4/96	57	72	

¹adição BF₃.OEt₂; ²adição TiCl₄;

Em contraste com estes resultados estão os descritos na literatura para a utilização de reagentes organocobre como nucleófilos (Tabela 16; entradas 6-9). Wistrand e colaboradores⁷¹ propõem a formação de um complexo entre o íon N-acilimínio formado com as espécies de cobre, ligando o metal aos grupos éster e carbamato, impedindo a entrada do nucleófilo pela mesma face do substituinte e levando aos produtos *trans* majoritariamente. Os autores procuram corroborar esta hipótese através da observação de menor seletividade na ausência de grupos éster no anel (entrada 8), que estaria diminuindo a contribuição destes complexos e permitindo adição *cis*. Por outro lado, este modelo não justifica a seletividade preferencialmente *trans* observada nesta reação.

Apesar da metodologia desenvolvida por Wistrand e colaboradores levar ao isolamento de pirrolidinas *trans*-2,5-dissubstituídas, Lhommet e colaboradores⁷³ buscaram outras formas de adicionar nucleófilos do tipo π com esta mesma estereoquímica e para tal utilizaram íons N-acilimínio bicíclicos, também preparados a partir do ácido (S)-glutâmico, levando ao isolamento de espécies de adição *trans* em ótimas seletividades (Tabela 17).

Tabela 17: Exemplos da literatura para adições a íons N-acilimínio pirrolidínicos bicíclicos



Entrada	n	Nucleófilo	Ácido de Lewis	R	trans /		referênc-
					cis	(%)	
1	1	alil-TMS	BF ₃ .OEt ₂	CH ₂ =CHCH ₂ -	96/4	60	73,74
2	1	alil-TMS	TiCl ₄	CH ₂ =CHCH ₂ -	95/5	90	73,74
3	1	alil-TMS	TMSOTf	CH ₂ =CHCH ₂ -	96/4	65	73,74
4	1	Me ₂ C=CHOTMS	TMSOTf	HOCCMe ₂ -	100/0	43	73,74
5	1	CH ₂ =C(Ph)OTMS	TMSOTf	PhCOCH ₂ -	94/6	86	73,74
6	1	N≡CTMS	TMSOTf	CN-	70/30	95	73,74
7	2	alil-TMS	TiCl ₄	CH ₂ =CHCH ₂ -	100/0	86	75
8	2	N≡CTMS	TiCl ₄	CN-	100/0	72	75

Os dados da Tabela 17 mostram que não houve grandes variações de seletividade na adição de aliltrimetilsilano com a mudança do ácido de Lewis utilizado para a formação do íon N-acilimínio (entradas 1-3). A adição de sililenoléteres também ocorreu com altos valores de seletividade e a única exceção observada aconteceu com a utilização de cianeto de trimetilsílica, (e.d.:40%) explicada pelos autores em função do pequeno volume estérico deste nucleófilo.⁷³

Lhommet e colaboradores⁷³ também realizaram estudos teóricos nestes sistemas, calculando através de métodos computacionais semi-empíricos (AM1) a geometria de íons N-acilimínio mono e bicíclicos. Os resultados mostraram que sistemas monocíclicos (Tabela 1; R₁=R₂=CO₂Me) apresentam somente um pequeno desvio da planaridade na região do átomo de nitrogênio, enquanto que os íons N-acilimínio bicíclicos (Tabela 17) mostraram uma distorção importante na planaridade. O estudo também indicou que o posicionamento do grupo éster (R₂) do anel monocíclico é *pseudo-axial*, devido à interações estéricas alílicas A^(1,3) que, a princípio, poderiam favorecer uma aproximação *trans* a estes substituintes. Porém, este tipo de ataque do nucleófilo é desfavorecido pois aproxima os grupos éster e carbamato, aumentando a energia estérica do sistema no estado de transição. A aproximação *cis* acaba sendo preferida pois afasta este dois grupos aliviando a tensão do sistema (o valor calculado para os estados

de transição mostra que o *cis* é favorecido por 3,2 kcal/mol). Nos sistemas bicíclicos foi observado que há realmente um maior impedimento estérico pela face côncava do sistema (que levaria ao produto *cis*) e os cálculos para os estados de transição favorecem à aproximação *trans* em 1,34 kcal/mol.

Além da adição direta de nucleófilos a íons N-acilimínio, outras metodologias de obtenção seletiva de compostos pirrolidínicos *cis*-2,5-substituídos utilizaram reações de redução dos próprios imínios substituídos⁷⁶ ou de β-enaminoésteres⁷⁷, baseadas na tendência de entrada do redutor *trans* aos substituintes do anel.

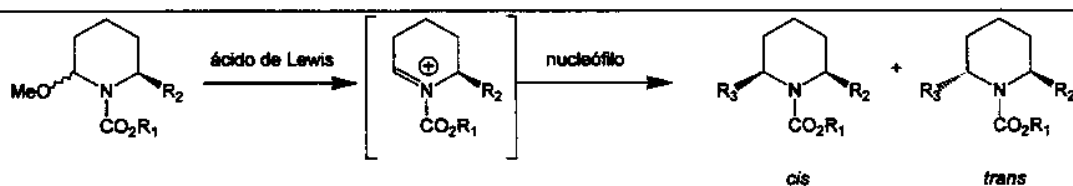
Os sistemas piperidínicos também tem sido estudados e metodologias eficientes para a obtenção de sistemas nitrogenados polissubstituídos foram desenvolvidas. Em contraste com sistemas pirrolidínicos, a estereoquímica das reações de adição a íons N-acilimínio piperidínicos 6-substituídos são mais previsíveis e levaram normalmente aos produtos de adição *cis*-2,6-substituídos com seletividades muito boas.

Tabela 18: Exemplos da literatura para adições a íons N-acilimínio piperidínicos 6-substituídos

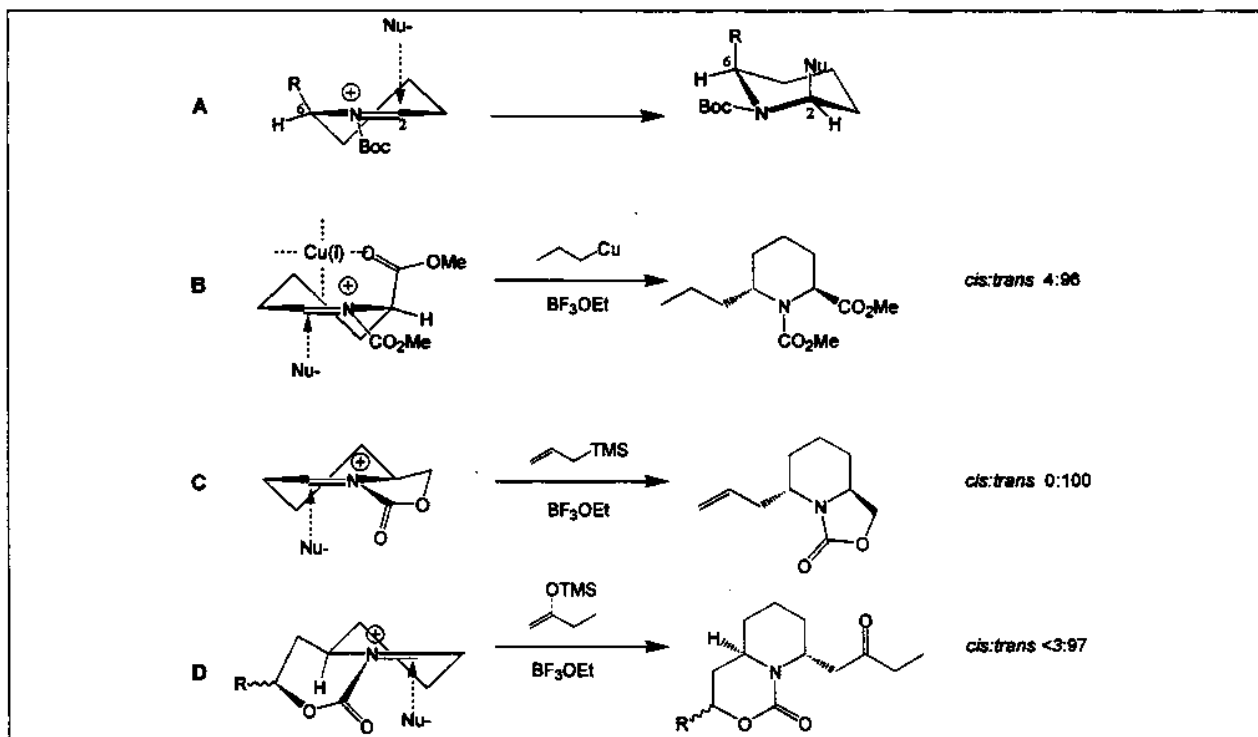
Entrada	R_1	R_2	Nucleófilo	R_3	cis/		rend.	referênc-
					cis	$trans$		
1	Me	CO_2CH_3	alil-TMS ¹	$CH_2=CHCH_2^-$	100/0	68	65	
2	Me	CO_2CH_3	N≡CTMS ¹	CN-	100/0	58	78	
3	Bn	CH_3	N≡CTMS ¹	CN-	100/0	76	79	
4	Me	CO_2CH_3	$CH_2=C(Ph)OTMS^1$	$PhCOCH_2^-$	91/9	68	78	
5	Me	CO_2CH_3	PrCu ²	$C_3H_7^-$	4/96	58	80	
6	Me	CO_2CH_3	BuCu ²	$C_4H_9^-$	4/96	82	80	
7	Me	CO_2CH_3	n-HeptCu ²	$C_7H_{15}^-$	4/96	78	80	
8	Me	CH_3	PrCu ²	$C_3H_7^-$	24/76	37	80	

¹adição $TiCl_4$; ²adição $BF_3 \cdot OEt_2$

Esse comportamento está baseado, em grande parte, nas interações alílicas A^(1,2) entre os substituintes do anel piperidílico e o grupo protetor do nitrogênio, geralmente um carbamato, favorecendo fortemente um posicionamento axial de grupos α ao nitrogênio no anel piperidílico. A adição estereoeletronicamente preferida pela posição axial do intermediário N-acilimínio resultou em seletividades elevadas em favor do composto com estereoquímica relativa *cis*⁸¹ (Tabela 18; entradas 1-4) e (Esquema 33-A).



De maneira similar aos sistemas pirrolidínicos, a obtenção de sistemas piperidínicos *trans*-2,6-substituídos através de íons N-acilimínio, exigiu a adição de reagentes de alquilcobre (Tabela 18; entradas 5-8)⁶⁰ para a formação de um complexo do metal com os substituintes do sistema (Esquema 33-B). A utilização de sistemas bicíclicos por Lhommet e colaboradores⁷⁵ (Tabela 17; entradas 7-8 e Esquema 33-C) e por Hootelé e Mill⁸² (Esquema 33-D) também levou ao isolamento dos produtos de adição em bons rendimentos e seletividades, já que a cadeia lateral em C-6 (no caso um anel) adota uma posição *pseudo-equatorial* e o ataque do nucleófilo, ainda pela posição axial, leva aos produtos *trans*-2,6-dissubstituídos.



Esquema 33: Íons N-acilimínio piperidínicos

Reações envolvendo íons N-acilimínio substituídos em C-3 também são descritas em vários trabalhos da literatura que utilizaram os ácidos málico e tartárico como fontes naturais de sistemas heterocíclicos nitrogenados.⁸³

Wistrand e colaboradores^{68,64} realizaram adições a sistemas pirrolidínicos derivados do ácido málico variando o grupo protetor do oxigênio, observando que as adições de aliltrimetilsilano e cianeto de trimetilsilila levaram preferencialmente a produtos de estereoquímica *cis* em relação ao grupo mais volumoso OTBS, enquanto que seletividade *trans* foi observada para a adição ao íon N-acilimínio substituído com o grupo OAc (Tabela 19). Para explicar este aparente contradição Scolastico e colaboradores⁸⁵ propõem que a seletividade em favor dos compostos *trans* nos substratos com a hidroxila acetilada seria originada pela assistência do grupo acetil ao sistema catiônico do íon N-acilimínio, impedindo esta face na aproximação de nucleófilos de maneira mais eficiente que grupos mais volumosos como TBS. Esta tendência

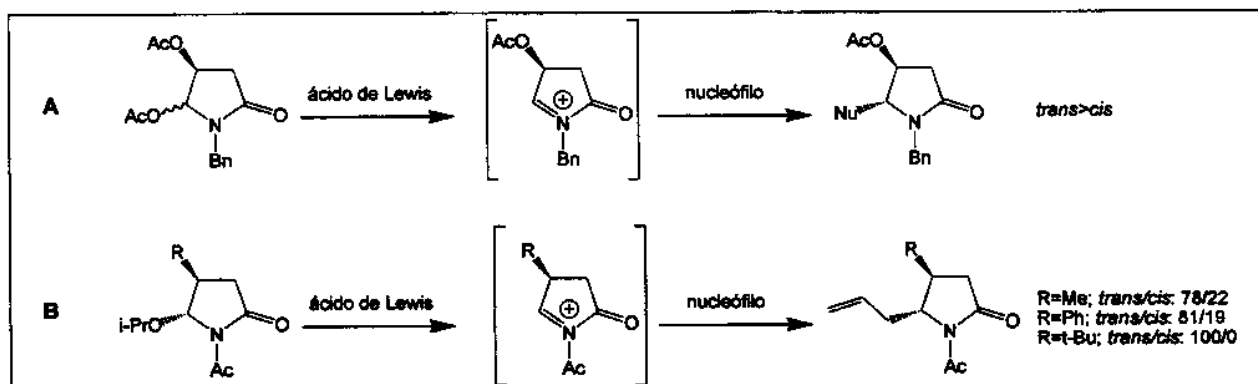
também foi observada para a adição de siliolenóteres⁸⁸, enolatos de boro quirais⁸⁷ e outros alilsilanos⁸⁹ na adição a sistemas acetilados que tenham o grupo acila endocíclico (Esquema 34-A).

Tabela 19: Exemplos da literatura para adições a íons N-acilimínio derivados do ácido málico

Entrada	R ₁	Nucleófilo	R ₂	trans / cis	rend.	referênc-
					(%)	clas
1	Ac	alil-TMS ¹	CH ₂ =CHCH ₂ ⁻	80/20	90	⁸⁴
2	TBS	alil-TMS ¹	CH ₂ =CHCH ₂ ⁻	23/77	90	⁸⁴
3	Ac	N≡CTMS ¹	CN-	58/42	80	⁸⁹
4	TBS	N≡CTMS ¹	CN-	34/66	74	⁸⁹

¹adição BF₃.OEt₂

Speckamp e colaboradores⁹⁰ também estudaram a influência de grupos alquila em C-3 na adição de aliltrimetilsilano a íons N-acilimínio endocíclicos, observando preferência pela adição *trans* (d.e.=56% para R=Me e 100% para R=t-Bu (Esquema 34-B).



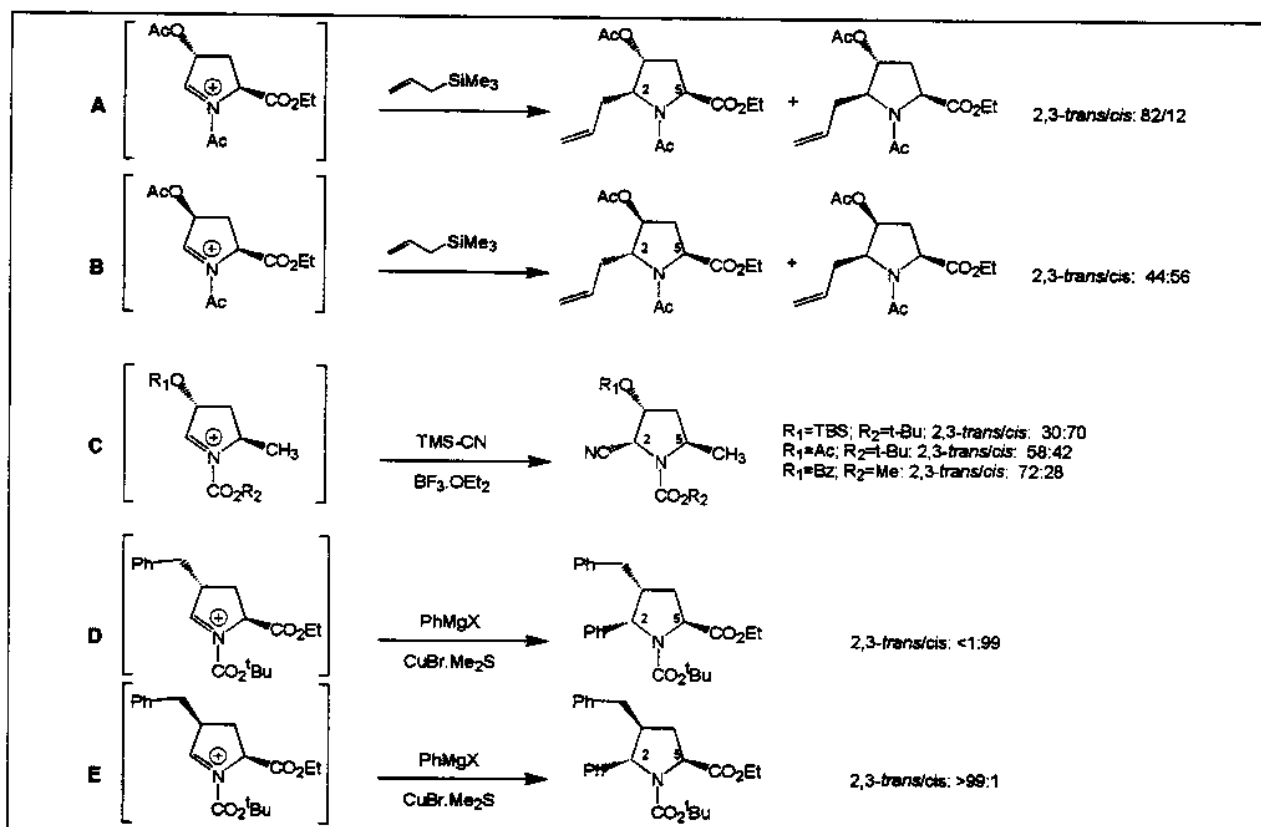
Esquema 34: Adição de nucleófilos a íons N-acilimínio endocíclicos

3.2.3 Adição de Nucleófilos a Íons N-acilimínio Dissubstituídos

Apesar da importância para a síntese de sistemas heterocíclicos nitrogenados polisubstituídos, são raros os trabalhos descritos na literatura que utilizaram a química de íons N-acilimínio para este objetivo. De uma maneira geral, os trabalhos utilizaram-se dos mesmos fatores descritos anteriormente para sistemas monossubstituídos para justificar a estereoquímica observada, isto é, levaram em conta a variação dos grupos protetores

adjacentes ao centro eletrofílico, a utilização de metais que podem direcionar ou impedir a adição dos nucleófilos e os efeitos estereoeletrônicos que devem governar as reações.

Wistrand e Thaning⁹¹ observaram que a seletividade da adição de aliltrimetilsilano a sistemas pirrolidínicos dissubstituídos depende da estereoquímica relativa de ambos os substituintes no anel (Esquema 35-A e B). Quando os efeitos dos substituintes direcionaram a entrada do nucleófilo pela mesma face do íon N-acilimínio (Esquema 35-A), onde o grupo -OAc em C-3 orientou à entrada do nucleófilo *trans* e o grupo -CO₂Et em C-5 orienta *cis*, observou-se boas seletividades. Quando a mesma reação foi conduzida com o epímero em C-3, a orientação divergente induzida pelos dois grupos levou a uma diminuição muito grande da estereoseletividade (Esquema 35-B).



Esquema 35: Adição de nucleófilos a íons N-acilimínio pirrolidínicos dissubstituídos

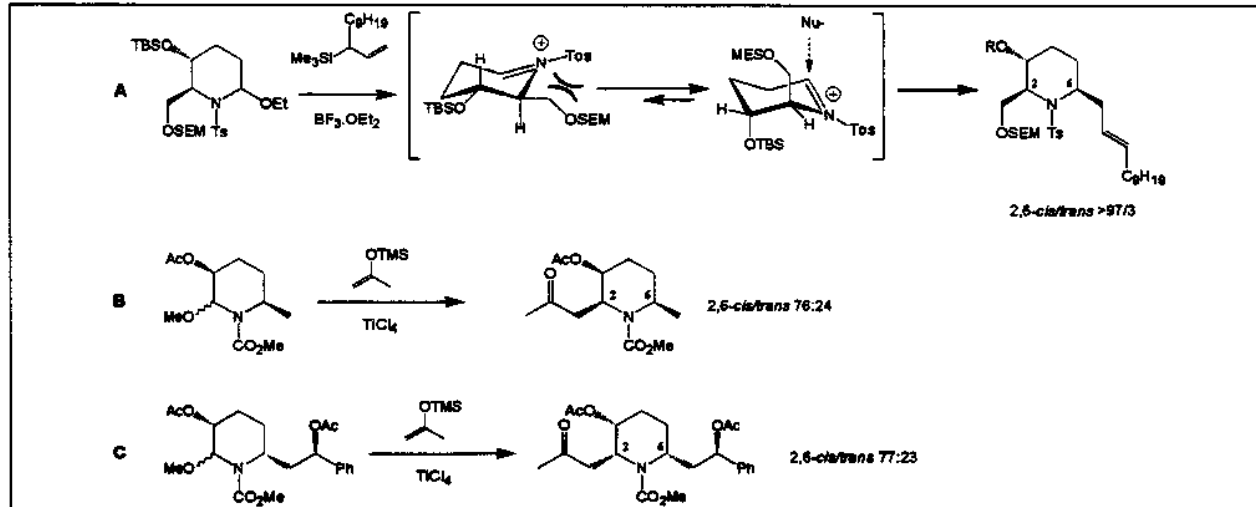
O mesmo raciocínio foi utilizado para explicar os resultado obtidos por Tanaka e Sawanishi⁹² na síntese das formas enantiometricamente puras de um aminoácido encontrado como componente minoritário no antibiótico peptídico *actinomicina Z*. A estereoquímica relativa 2,3-*trans* e 2,5-*cis* já havia sido atribuída por espectroscopia de ¹H-RMN e o trabalho propõe a atribuição da estereoquímica absoluta. A etapa chave da síntese envolveu a adição de cianeto de trimetilsilila a íons N-acilimínio pirrolidínicos substituídos, variando-se os grupos protetores no oxigênio adjacente e do nitrogênio, na busca das melhores seletividades. O melhor resultado obtido foi com a utilização do derivado O-benzoil-N-metoxicarbonil, obtendo-se o produto 2,3-

trans majoritariamente em 82% de rendimento (Esquema 35-C). Mais uma vez é invocada a proposta de formação de uma ponte entre os grupos acetila e benzoila e o centro catiônico da molécula, dirigindo a entrada do nucleófilo para a obtenção do composto 2-3-*trans*.

Em um trabalho de Pedregal e colaboradores,⁹³ envolvendo a formação de complexos π de cobre com os ligantes de íons N-acilimínio *trans* e *cis*-dissubstituídos, notou-se mais uma vez que a adição 2,5-*trans* foi preferida em ambos os substratos (Esquema 35-D e E), deixando para um segundo plano as possíveis interações com os grupos benzila em C-3.

As reações em sistemas piperidínicos também não são comuns na literatura, mas assim como nos sistemas pirrolidínicos os aspectos estudados para adição a sistemas menos substituídos foram mencionados na discussão dos resultados.

Speckamp e colaboradores⁹⁴ descreveram a adição de um alilsilano substituído a íons N-tosilimínio 2,3-*trans*-dissubstituídos, com a obtenção de um único composto detectável por RMN. Devido a fortes interações alílicas A^(1,2) entre o substituinte em C-2 e o grupo N-tosil, o ion N-acilimínio contendo os grupos na posição pseudo-axial deve ser energeticamente mais estável e o ataque axial deve ser favorecido estereoeletronicamente, levando à formação do produto de adição 2,6-*cis* (Esquema 36-A). Além disso, o grupo hidroxila em C-3 também pode estar orientando a entrada do nucleófilo por esta mesma face.⁹⁵



Esquema 36: Adição a íons N-acilimínio piperidínicos dissustituídos

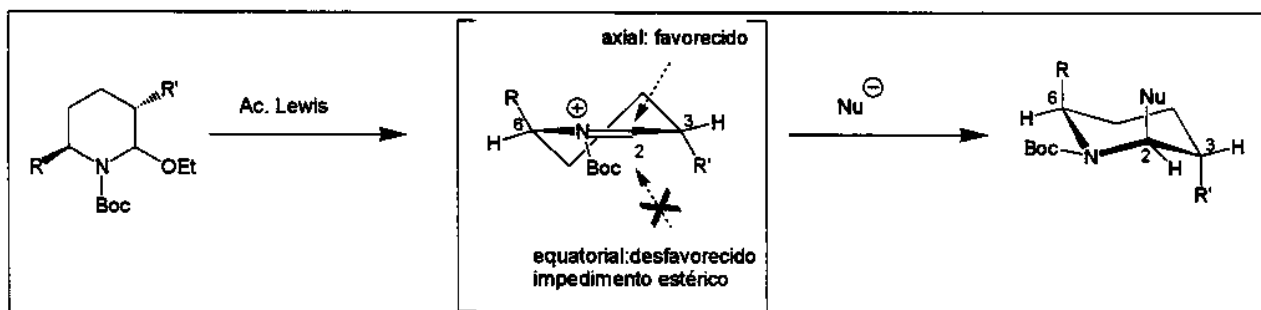
Finalmente, o trabalho de Plehiers e Hootelé,⁹⁶ visando a síntese da (+)-sedacriptina, descreveu a adição do sililenoletér derivado da acetona à íons N-acilimínio piperidínicos 3,6-dissustituídos. Em ambos os exemplos (Esquema 36-B e C) o produto majoritário foi originado pela entrada do nucleófilo pelo mesmo lado dos substituintes do anel, mas nestes casos a seletividade não foi total em favor desta aproximação (~70:30), pois o grupo OAc pode estar fazendo uma ponte com o centro eletrofílico adjacente e favorecendo, pelo menos em parte, a adição 2,6-*trans*.

3.3 Resultados

3.3.1 Adição de Nucleófilos a Íons N-Acilimínio Piperidínicos Dissubstituídos

Boas seletividades são observadas em trabalhos da literatura para sistemas piperidínicos monossubstituídos. A explicação para estes resultados está fundamentada na preferência de um posicionamento *pseudo-axial* dos grupos R em C-6 (α ao nitrogênio) devido às suas interações alílicas com o grupo protetor carbamato, levando-se a acreditar que um ataque axial do nucleófilo em C-2, estereoeletronicamente preferido, levará a produtos de adição *cis* em relação a um grupo posicionado em C-6.

Porém, como os resultados para sistemas dissubstituídos com padrão de substituição apresentado por nossos sistemas são muito escassos na literatura, abriu-se precedentes para um estudo detalhado de adições de nucleófilos a íons N-acilimínio piperidínicos 3,6-*trans*-disubstituídos. Da mesma forma que a descrita nos trabalhos correlatos disponíveis na literatura, pode-se esperar que a adição possa ocorrer *cis* ao grupo R em C-6 e que os grupos alquil R' em C-3, reforcem ainda mais esta tendência através de impedimentos estéricos, podendo levar ao isolamento dos produtos em seletividades ainda maiores (Esquema 2).



Esquema 37: Ataque axial preferido estereoeletronicamente para sistemas piperidínicos 3,6-*trans*-disubstituídos

Uma série de nucleófilos pode ser utilizada na captura *in situ* dos íons N-acilimínio gerados, como alilsilanos⁹⁷, alilestananas⁹⁸ e silylenoléteres⁷⁵, visando inicialmente o estudo da reatividade e estereoseletividade das reações e, posteriormente, a aplicação da metodologia na obtenção de produtos de interesse sintético.

3.3.1.1 Obtenção de precursores dos íons N-acilimínio

A metodologia utilizada está baseada na obtenção de α -alcoxycarbamatos através da redução das lactamas obtidas nas reações de alquilação com hidretos metálicos e a solvólise dos α -hidroxycarbamatos resultantes em meio ácido.

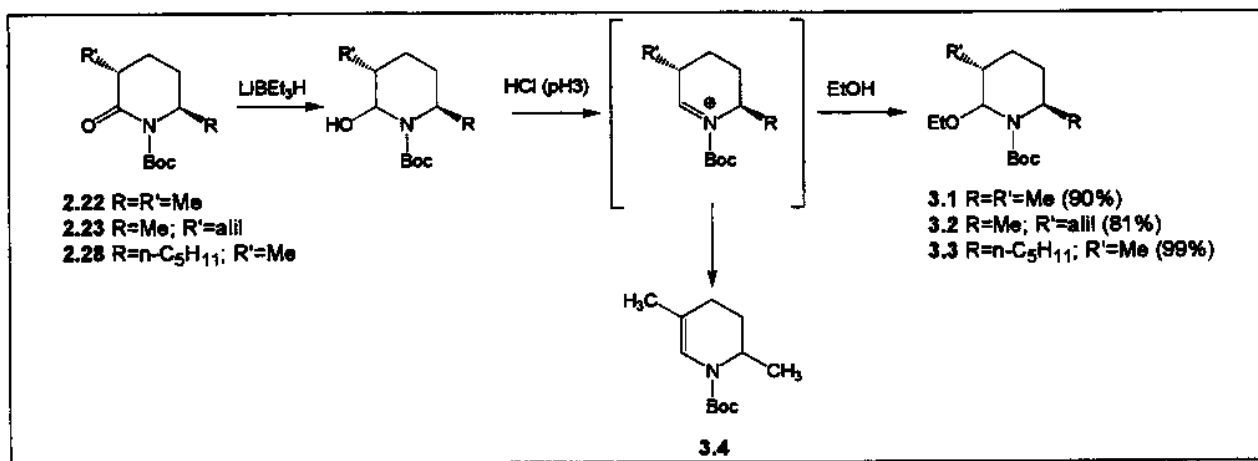
Para isso foi testada inicialmente a utilização de boroidreto de sódio na redução da piperidinona 2.22 através da adição de 4-6 equivalentes do redutor, em etanol como solvente e à -23°C. O sistema foi mantido nestas condições por 4 horas e foi acidificado até pH 3, pela

adição de HCl 6M. Após 2 horas neste pH o sistema foi neutralizado e o produto de redução extraído com CH_2Cl_2 . Porém este procedimento sempre levou ao isolamento do α -etoxicarbamato 3.1 (Esquema 38) em rendimentos inferiores a 50% e à recuperação de material de partida. Tentativas de alteração das condições reacionais, como aumento da temperatura, adição gradativa de ácido ao sistema ou adição de quantidades ainda maiores de hidreto não foram bem sucedidas.

Como o problema aparentemente estava relacionado à reatividade insuficiente do NaBH_4 , promovemos a utilização de hidretos mais reativos, como trietilboroidreto de lítio ou potássio, visando a total conversão da lactama utilizada. Como esperado, em reações utilizando-se 1,1 equivalentes de LiEt_3BH , em THF e à -78°C , não se observou mais a presença de reagente no meio reacional após 30 minutos de reação. A adição de grandes quantidades de etanol (10 vezes o volume de THF utilizado na redução da lactama) previamente resfriado à -78°C , acidificação do meio (pH~3) e agitação do sistema por mais 2 horas à baixa temperatura levou, após neutralização do meio reacional com KOH 10% em etanol, ao isolamento de 3.1 em rendimentos de 85-90%.

A manutenção da temperatura do sistema sempre à -78°C , a adição de grandes quantidades de etanol gelado e a neutralização do sistema antes do processo de extração mostraram-se necessárias em razão da grande facilidade de decomposição apresentada pelo sistema através da formação do enecarbamato 3.4 (Esquema 38). Foi observada a formação deste produto lateral em grandes quantidades em todas as reações realizadas em temperaturas elevadas, tanto em meio ácido como básico, indicando que as próximas etapas a serem realizadas com os α -etoxicarbamatos devem também exigir um controle rigoroso de temperatura.

Esta metodologia foi estendida aos outros sistemas piperidínicos 2.23 e 2.28, levando também ao isolamento dos produtos etoxilados 3.2 e 3.3 em rendimentos de 81% e 99%, respectivamente (Esquema 38).



Esquema 38: Redução de lactamas piperidínicas com LiEt_3BH

Em todos estas reduções foi observada a obtenção de um epímero majoritariamente (através de CG e $^1\text{H-RMN}$). Porém a rápida decomposição dos α -etoxicarbamatos 3.1-3.3 dentro dos próprio tubos de ressonância, levando à formação dos respectivos enecarbamatos, impediram a atribuição da estereoquímica em C-2. Esta grande instabilidade nos levou a tomar uma série de providências, que incluíram desde a utilização de trietilamina nas colunas cromatográficas em sílica gel, a total retirada de solventes após estas purificações e a estocagem dos produtos à baixas temperaturas.

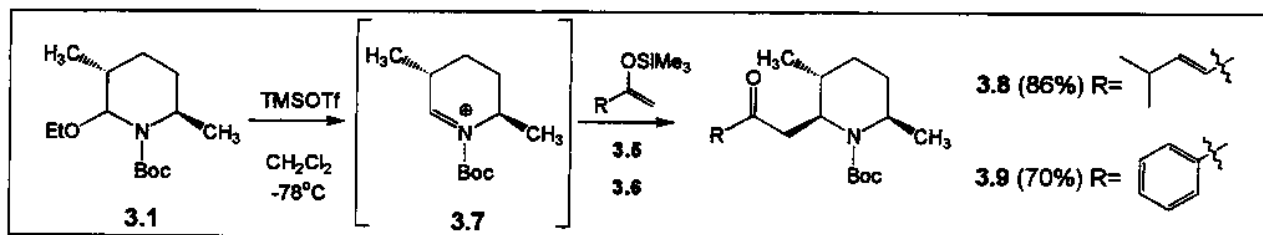
3.3.1.2 Adição de Sililoxidienos a Íons N-acilimínio

Os primeiros testes realizados para a adição de nucleófilos de carbono a íons N-acilimínio substituídos envolveram a utilização dos sililoxidienos 3.5 e 3.6, obtidos pela captura dos enolatos de lítio da 5-metil-3-hexen-2-ona e da acetofenona com cloro trimetilsilano, respectivamente. A obtenção do composto 3.6 ocorreu sem dificuldades e sua purificação foi realizada por destilação à pressão reduzida. Por outro lado, o sililoxidieno 3.5 apresentou uma estabilidade muito menor, sofrendo decomposição à temperaturas mais elevadas e dificultando o processo de isolamento e purificação. A metodologia que se mostrou melhor sucedida está baseada na reação da 5-metil-3-hexen-2-ona com LDA, a captura do enolato de lítio com TMS-Cl e a utilização do produto bruto desta reação na etapa envolvendo a formação do íon N-acilimínio 3.7.

Para a formação *in situ* do íon N-acilimínio 3.7 a partir do α -etoxicarbamato 3.1, foi utilizado o agente sililante trifluorometanosulfonato de trimetilsilila (TMSOTf) na forma catalítica pois em trabalhos anteriores desenvolvidos em nosso laboratório a utilização deste reagente já havia levado à condensações de sililoxidienos com íons N-acilimínio em bons rendimentos.¹⁴

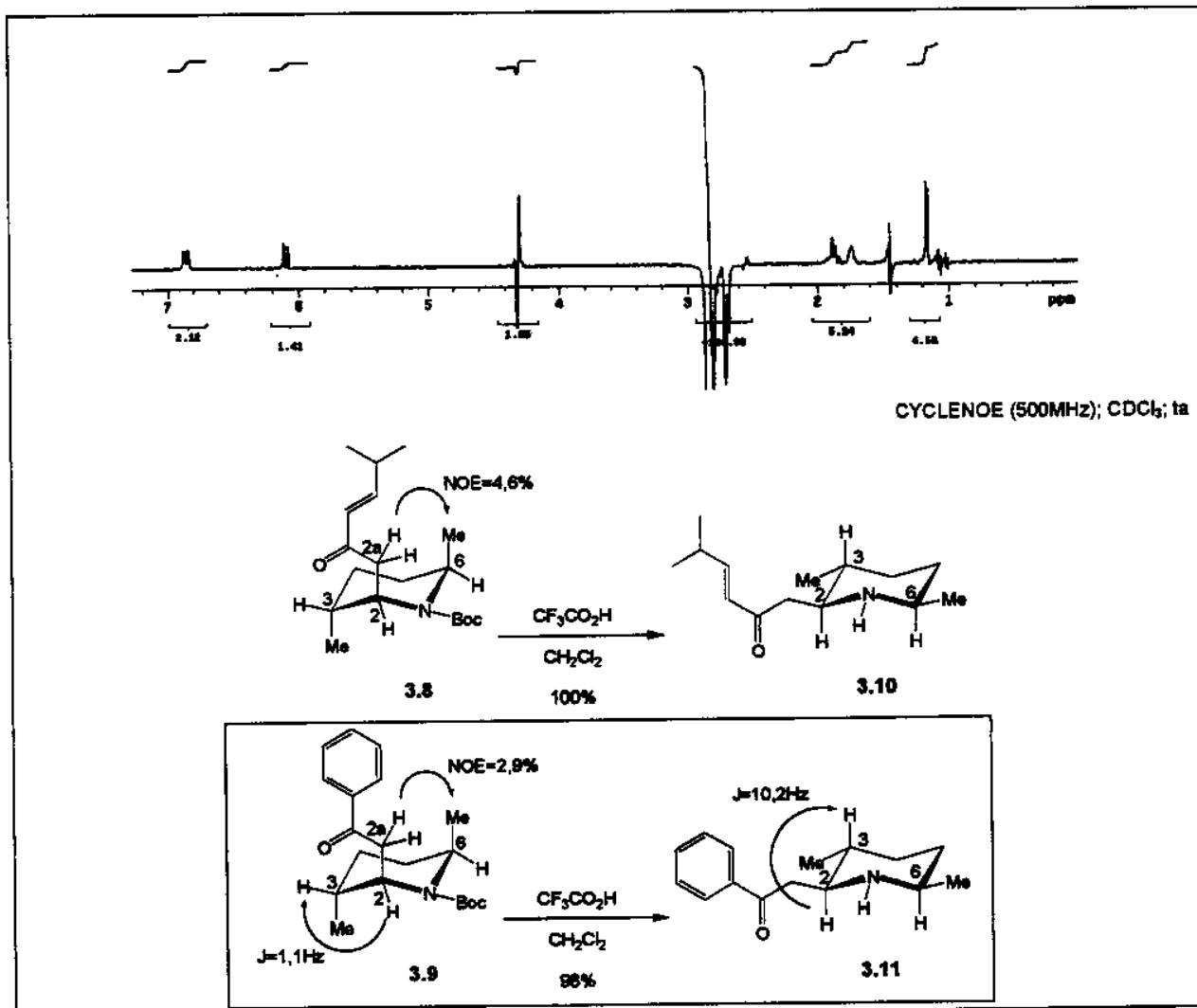
Uma série de tentativas foram realizadas visando a otimização desses processos até que se obtivesse uma metodologia confiável e reproduzível para a obtenção das piperidinas desejadas. A exemplo das reações de redução das lactamas, a maior dificuldade encontrada foi a grande facilidade de formação do enecarbamato 3.4. Esse foi o único produto observado quando o meio reacional apresentou-se básico ou ácido e a temperatura de reação atingiu valores próximos à da temperatura ambiente.

Depois de todas estas otimizações foi possível chegar à síntese e ao isolamento das piperidinas 3.8 e 3.9 em bons rendimentos (Esquema 39).



Esquema 39: Adições de sililoxidienos ao íon N-acilimínio 3.7

A determinação da estereoquímica dos produtos 3.8 e 3.9 foi realizada através da medida de constantes de acoplamento entre os hidrogênios de centros substituídos do anel piperidínico e de estudos de nOe diferencial nos espectros de ^1H -RMN. Admitindo-se que efeitos alílicos A^(1,3) possam estar orientando axialmente o substituinte mais volumoso em C-2 do anel piperidínico em 3.8 e 3.9, as constantes de acoplamento entre os hidrogênios H-2 e H-3 devem ter valores coerentes com um posicionamento gauche. As medidas das constantes de acoplamento para 3.8 não puderam ser feitas devido à sobreposição de sinais no espectro de ^1H -RMN (tanto em CDCl_3 como em CCl_4), mas para o composto 3.9 foi possível verificar que o valor da constante de acoplamento entre H-2 (δ 4,5) e H-3 é de somente 1,1 Hz, após desacoplamento de H-2 através de irradiação seletiva do grupo metíleno em C-2a originário do nucleófilo adicionado (δ 3,29 e 3,14) (Esquema 40).



Esquema 40: Atribuição da estereoquímica das piperidinas 3.8-3.11 e CYCLENOE de 3.8

Além disso, se ambos os substituintes mais volumosos vizinhos ao nitrogênio do anel adotarem um posicionamento axial no anel piperidínico poderia-se observar efeitos do tipo nOe entre o grupo metíleno em C-2a e a metila em C-6.

De fato, estas características foram observadas nos produtos de condensação 3.8 e 3.9, já que ambos mostraram nOe nos grupos metila em C-6 (δ 1,16 em 3.8 e δ 1,26 em 3.9) através da irradiação nos hidrogênios em C-2a (δ 2,80 em 3.8 e δ 3,14 em 3.9). O Esquema 40 mostra o espectro de CYCLOENOE utilizado na atribuição de 3.8.

A obtenção de todos estes dados através dos espectros de RMN nos levou a propor que todos os grupos mais volumosos ligados ao anel piperidínico devem estar posicionados axialmente, devido à forte interação alílica A^(1,3) entre estes e o grupo carbamato.

Por outro lado, a desproteção do nitrogênio dessas piperidinas e a consequente alívio de efeitos alílicos, deve possibilitar um posicionamento equatorial para estes grupos volumosos, resultando em um posicionamento *trans*-diametral entre H-2 e H-3 e levando a constantes de acoplamento muito maiores do que as dos produtos protegidos. Esse raciocínio pode ser confirmado para o produto 3.9 [$^3J(H_2-H_3)=1,1\text{Hz}$], que após a desproteção do grupo Boc por tratamento ácido, leva à piperidina 3.11 [$^3J(H_2-H_3)=10,2\text{ Hz}$]. Mais uma vez a sobreposição de sinais em 3.10 impossibilita a medida de constantes de acoplamento para este composto (Esquema 40).

Tanto as análises por cromatografia gasosa como as de RMN envolvendo as reações que levaram à síntese das piperidinas 3.8-3.11 indicaram que estes produtos foram obtidos em seletividades superiores a 99%, pois nenhum sinal correspondente à formação de outros estereoisômeros pode ser observado através destas técnicas.

Estes resultados estão em concordância com aqueles descritos na literatura para a adição de nucleófilos a íons N-acilimínio substituídos, levando preferencialmente aos produtos 2,6-cis-dissubstituídos com altos valores de seletividades (Tabela 18).

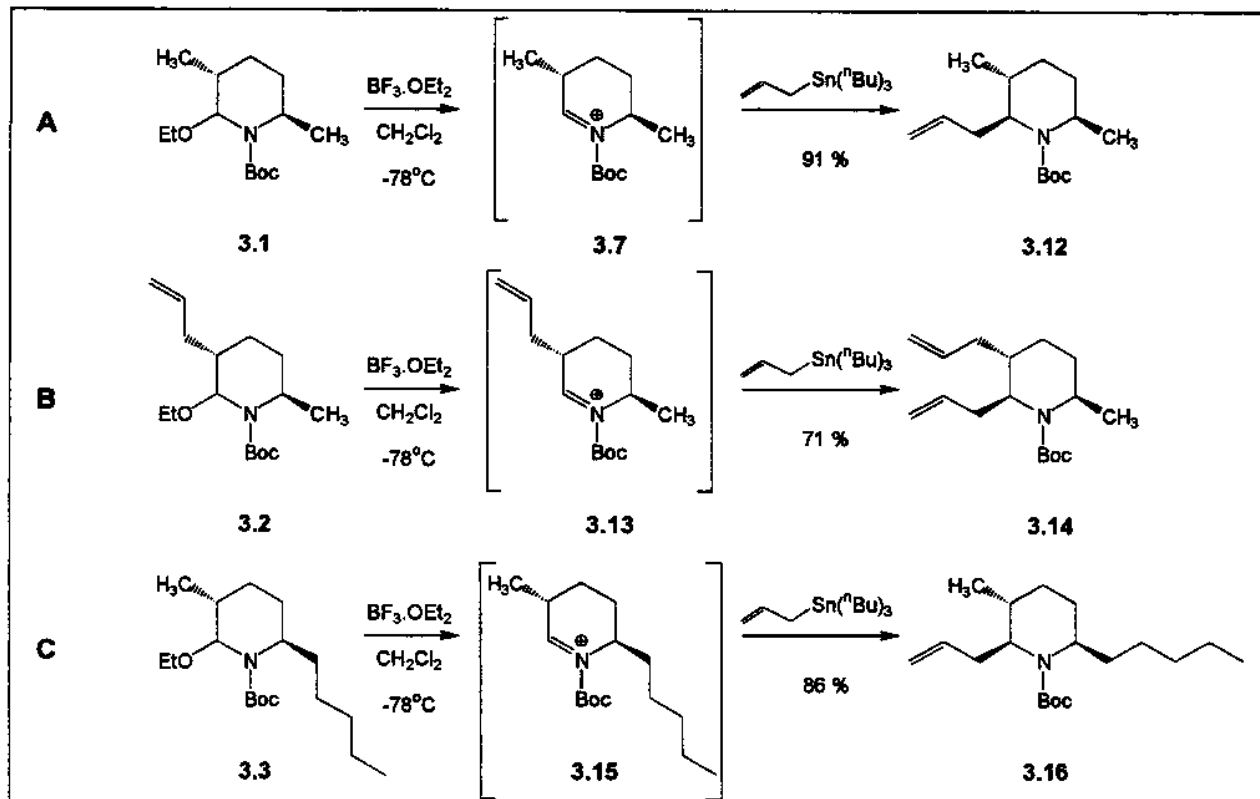
3.3.1.3 Adição de Aliltributilestanana a Íons N-acilimínio

Assim como na adição de sililoxidienos ao íon N-acilimínio 3.7 foi proposta a adição de alilmetais a esses sistemas. Mais uma vez, vários testes foram realizados a fim de alcançar a melhor condição reacional para a adição de um grupo alil na posição 2 do anel piperidínico e a posterior análise da estereoquímica do produto formado.

Inicialmente foram testadas uma série condições reacionais com a etapa de formação do íon N-acilimínio 3.7 realizada da mesma forma que nas reações anteriores envolvendo sililoxidienos (adição de TMSOTf a uma solução do α -etoxicarbamato em CH_2Cl_2 , à -78°C), que possibilitaria a reação com outros nucleófilos. Os primeiros testes foram realizados com a adição de aliltrimetilsilano como nucleófilo e a escolha deste reagente foi baseada na sua disponibilidade em nosso laboratório, na relativa facilidade de manuseio e por ser um dos

reagentes mais utilizados na literatura na adição a íons N-acilimínio. Porém a utilização de aliltrimetilsilano nesta reação foi prejudicada pela sua baixa reatividade nas condições de temperatura exigidas para estes sistemas.

Por outro lado, a utilização de aliltributilestanana⁹⁹ em CH₂Cl₂, à -78°C e com TMSOTf, permitiu o isolamento de 3.12 em 49 % de rendimento. A posterior troca do TMSOTf pelo ácido de Lewis trifluoreto de boro eterato (BF₃.OEt₂) mostrou-se muito eficiente, levando à obtenção do sistema piperidínico 3.12 em 91 % de rendimento (Esquema 41 - A).



Esquema 41: Adição de aliltributilestanana à íons N-acilimínio piperidínicos

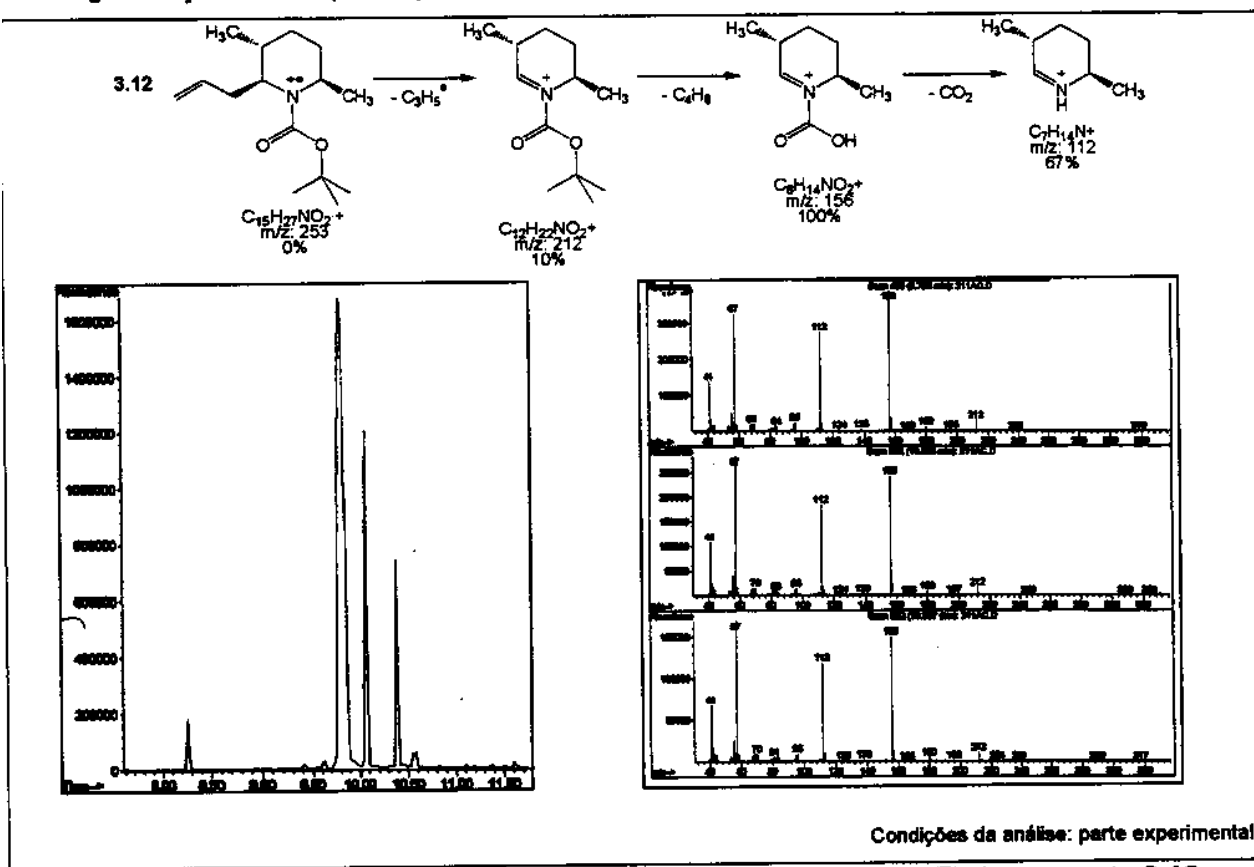
Da mesma forma, a utilização dos α -etoxicarbamatos 3.2 e 3.3 nestas mesmas condições reacionas levou à formação dos íons N-acilimínio 3-alil-6-metil-dissubstituído 3.13 e 3-metil-6-pentil-dissubstituído 3.15, e forneceu os produtos alilados 3.14 e 3.16 em 71% e 86% de rendimento, respectivamente (Esquema 41 – B e C).

Apesar destas reações levarem à obtenção de um estereoisômero majoritariamente, as respectivas análises por CG/EM mostraram a presença de outros dois componentes, com fragmentações nos espectros de massa muito semelhantes às do produto majoritário, indicando a presença de outros isômeros nestas reações de obtenção das piperdininas [proporções relativas dos sinais observados: 3.12 (88,2: 6,8: 5,0 %), 3.14 (89,4: 6,7: 3,9 %) e 3.16 (90,1: 7,7: 2,2 %)]. A análise destes dados demonstrou que, ao contrário das adições de sililoxidienos, a seletividade nas reações com aliltributilestanana como nucleófilo não é total em favor de um

único isômero. Além disso, a troca do TMSOTf por $\text{BF}_3 \cdot \text{OEt}_2$ na etapa de formação dos íons N-acilimínio não deve estar influenciando neste comportamento, pois reações realizadas visando a obtenção de 3.12 através da utilização de TMSOTf, também levaram a este mesmo padrão de mistura de epímeros.

A caracterização destes compostos piperidínicos substituídos por espectrometria de massas mostrou que há uma grande tendência da perda dos grupos vizinhos ao nitrogênio durante o processo de ionização das moléculas por impacto de elétrons (IE) e, em particular, o grupo alila demonstrou uma particular facilidade de eliminação para a formação do íon N-acilimínio correspondente. Isto resultou em uma difícil observação de íons contendo ambos substituintes em C-2 e C-6, prejudicando também a caracterização do sistema por espectrometria de massas de alta resolução. Por outro lado, experimentos conduzidos através de ionização química (isobutileno como gás ionizante) levaram à observação do sinal correspondente ao íon molecular $M+1$ complementando a caracterização destes sistemas.

Um cromatograma e um espectro de massas (CG/EM-IE) típico para estes compostos é apresentado no Esquema 42, correspondendo ao três picos presentes na análise por CG em 3.12 (tempos de retenção: 9,8; 10,1 e 10,4 min.), identificados como isômeros pela similaridade da fragmentação obtida (no esquema estão representados os fragmentos mais significativos).

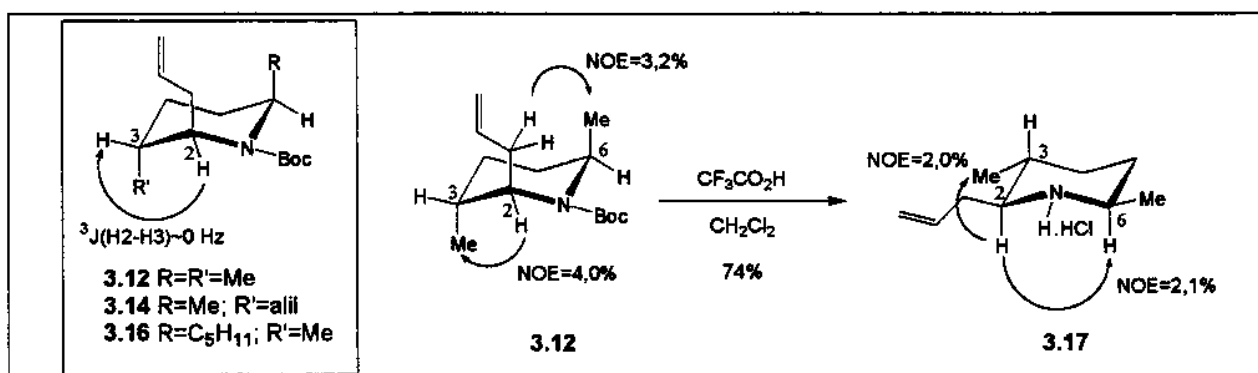


Esquema 42: Cromatografia gasosa e espectrometria de massas (IE) do composto 3.12

Outros aspectos referentes a esta menor seletividade observada na adição de alilestanana a íons N-acilimínio serão abordados na próximas seção (3.3.1.4).

Mesmo com a presença de outros isômeros como produtos de condensação foi possível atribuir a estereoquímica relativa dos produtos majoritários através de medidas das constantes de acoplamento entre H₂-H₃ e por experimentos de nOe diferencial.

Da mesma forma realizada com os produtos 3.8 e 3.9, a irradiação dos hidrogênios metilênicos em C-2a e o consequente desacoplamento com H-2 (δ 3,84 em 3.12) mostra que os valores de $^3J(H_2\text{-}H_3)$ estão próximos de 0 Hz, indicando novamente um posicionamento *gauche* entre esses hidrogênios nos produtos de condensação (Esquema 43). Para o composto 3.16 foi necessário elevar a temperatura utilizada nos experimentos de RMN para que a presença de isômeros rotacionais, resultantes de rotação restrita em torno da ligação N-CO do grupo carbamato à temperatura ambiente, fosse diminuída e os sinais de ¹H e ¹³C-RMN não se apresentassem largos e sem definição.



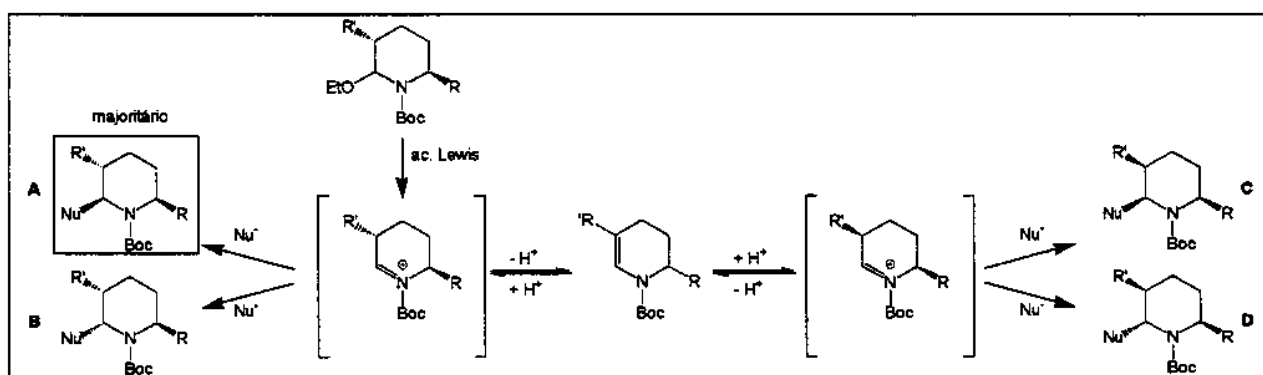
Esquema 43: Constantes de acoplamento em piperidinas aliladas e experimentos de nOe-diferencial com os compostos 3.12 e 3.17

Também os incrementos observados nos espectros de nOe realizados com 3.12 (Esquema 43) confirmam que a estereoquímica relativa do composto deve ser igual àquela apresentada para a adição dos sililoxidienos, sugerindo que efeitos alílicos A^(1,3) devem levar a uma orientação axial dos substituintes em C-2, C-3 e C-6 do anel piperidínico também para estes compostos alilados.

A desproteção do nitrogênio 3.12 e isolamento da piperidina 3.17 (na forma de seu hidrocloreto após tratamento da amina livre com HCl/MeOH) também permitiu a análise de nOe do sistema, confirmando a estereoquímica relativa *cis* entre os hidrogênios H-2 e H-6 e entre H-2 e o grupo metila em C-3. Esta análise também sugere que a aproximação espacial entre estes hidrogênios está condicionada à retirada do grupo carbamato e consequente posicionamento equatorial dos grupos mais volumosos do sistema piperidínico.

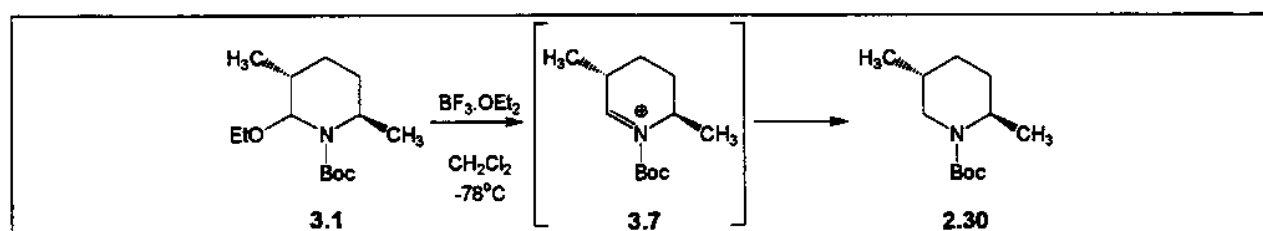
3.3.1.4 Adição de Trietilsilano

A redução na seletividade observada na adição de aliltributilestanana (~90%) comparada aos obtidos na adição de sililoxidienos (>98%) aos íons N-acilimínio piperidínicos até então estudados pode estar baseada em vários fatores. Dentre eles inclui-se a possibilidade de equilibração dos próprios íons N-acilimínio através das suas conversões aos enecarbamatos correspondentes e a posterior protonação destas espécies, levando à formação de sistemas reativos com proporções 3,6-trans/cis menores que as obtidas nas reações de alquilação que originaram os substratos para esta etapa (Esquema 44). A possibilidade de equilibração da metila em C-3 pode também ser favorecida energéticamente, já que este grupo não deve estar sofrendo os mesmos efeitos alílicos A^(1,3) que os grupos em C-2 e C-6, podendo assumir posicionamento equatorial. Dessa forma, a presença de íons N-acilimínio epiméricos em C-3 pode levar a alterações da seletividade, levando à misturas de produtos (C e D -Esquema 44) pela alteração dos efeitos estereoeletrônicos e estéricos do sistema. Porém não foi possível isolar nem caracterizar os produtos minoritários obtidos nestas reações.



Esquema 44: Possível equilibração dos íons N-acilimínio 3,6-substituídos

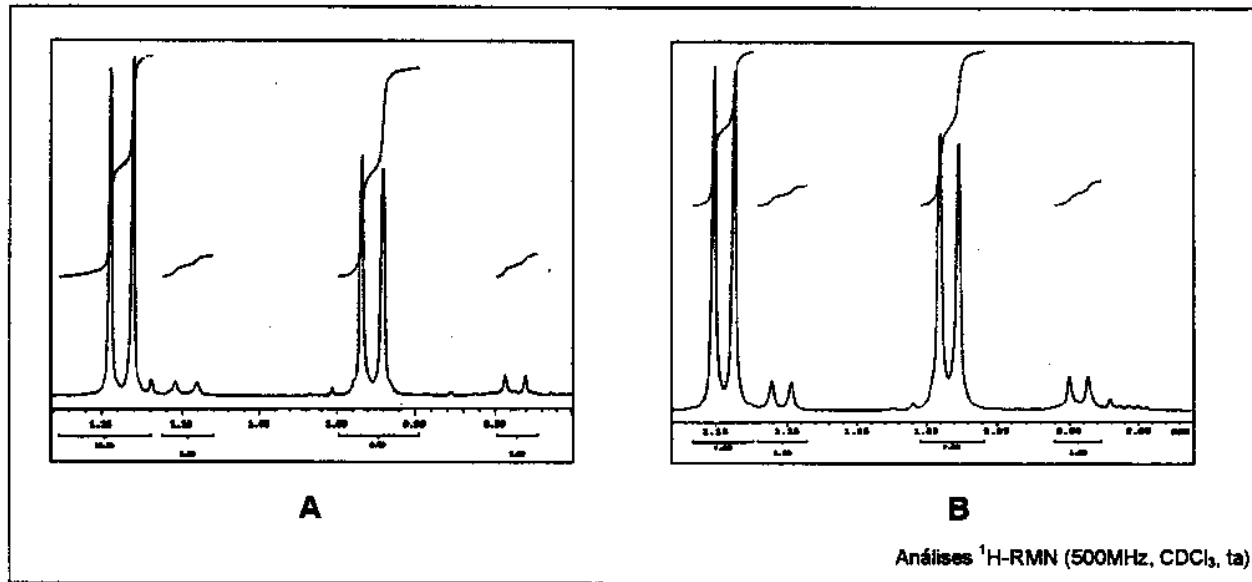
A fim de confirmar se este mecanismo de equilibração está realmente operando no sistema, promovemos a redução do íon N-acilimínio 3.7, gerado *in situ* pela adição de 2 equivalentes de $\text{BF}_3 \cdot \text{OEt}_2$ em CH_2Cl_2 e à -78°C , seguida da adição de trietilsilano¹⁰⁰ (3 equivalentes), chegando à obtenção e isolamento da piperidina 2.30 em 50% de rendimento (Esquema 45).



Esquema 45: Obtenção da piperidina 2.30 através da redução do íon N-acilimínio 3.7

A comparação dos espectros de $^1\text{H-RMN}$ desta amostra (Esquema 46-B) com aqueles obtidos quando esse mesmo composto foi obtido através da redução da N-Boc-3,6-dimetil-2-

piperidinona com $\text{BH}_3\cdot\text{SMe}_2$ (Esquema 46-A), mostrou que há realmente uma diminuição na seletividade *trans/cis* (de ~11:1 para ~7:1) na amostra que passou pela formação do ion N-acilimínio 3.7 em duas oportunidades (após a redução da lactama e nessa adição de trietilsilano, mediado por $\text{BF}_3\cdot\text{OEt}_2$) sugerindo que processos de equilíbrio devem estar envolvidos nas reações de ions N-acilimínio com alilestananas nas condições reacionais implementadas.



Esquema 46: Comparação dos espectros de 1H-RMN (região das metilas) de amostras de 2.30 obtidas por diferentes rotas - redução da lactama 2.22 (A) e do íon N-acilimínio 3.7 (B)

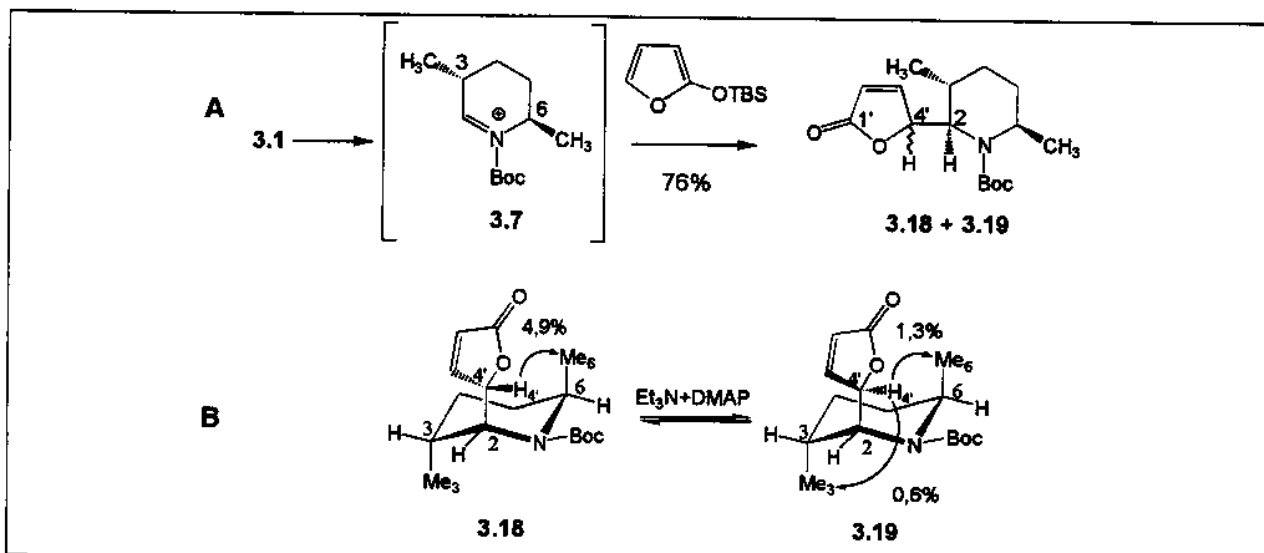
3.3.1.5 Adição de 2-(terc-butil-dimetil-sililoxi)-furan o

A partir dos bons resultados para a adição de sililoxidienos e alilestanana a íons N-acilimínio piperidínicos foram iniciados testes utilizando novos nucleófilos para este mesmo substrato. Como os 2-(trialquil-sililoxi)-furanos tem sido amplamente utilizados como nucleófilos em reações com cetonas, aldeídos, acetais, enonas e outros eletrófilos, na presença de ácidos de Lewis para levar aos respectivos butenolídeos 4-substituídos,^{101,102} resolvemos testá-lo também em nossos sistemas. É importante notar que, além do potencial sintético que o grupo furanona pode conferir ao sistema, esta reação também envolve processos de seletividade facial tanto em relação ao íon N-acilimínio como ao nucleófilo.

A reação foi realizada em condições semelhantes às utilizadas anteriormente [CH_2Cl_2 , $\text{BF}_3 \cdot \text{OEt}_2$ (2eq.), -78°C e TBSOF [2-(*tert*-butil-dimetil-sililoxi)-furano] (2eq.)]. A análise por CG e CG/EM do bruto de reação mostrou dois componentes majoritários numa proporção de 1,8:1 e espectros de massa muito semelhantes entre si e com fragmentações similares às de 3.12 [Esquema 42 - m/z: 212 (8%); 156 (100%), 112 (63%)], indicando a obtenção de produtos com grandes semelhanças estruturais. A confirmação de que os sinais de CG/EM correspondiam aos produtos de adição 3.18 e 3.19 foi obtida após o isolamento destes após coluna

cromatográfica flash, em 76 % de rendimento total, na forma de dois sólidos brancos (Esquema 47-A). Foram realizadas análises de RMN nos produtos 3.18 (minoritário) e 3.19 (majoritário), tanto à temperatura ambiente como à alta temperatura (55°C), tentando melhorar a resolução dos sinais, que se mostraram largos e duplicados devido à presença de isômeros rotacionais.

A princípio, poder-se-ia obter 4 produtos na adição de TBSOF ao íon N-acilimínio em questão, isto é, a entrada do nucleófilo pode ser *trans* ou *cis* em relação à metila em C-6 e, em cada caso, o eletrófilo poderia atacar por qualquer uma de suas faces pró-quirais. De acordo com os resultados anteriores, na adição de vários nucleófilos a este substrato, esperariamos que um ataque *cis* à metila em C-6 do imínio 3.7 fosse o mais provável e que a mistura dos produtos 3.18+3.19 deveria ser atribuída aos dois produtos epiméricos em C-4' (Esquema 47-A).



Esquema 47: Obtenção de 3.18 e 3.19 e atribuição de C-2 e C-4' por nOe

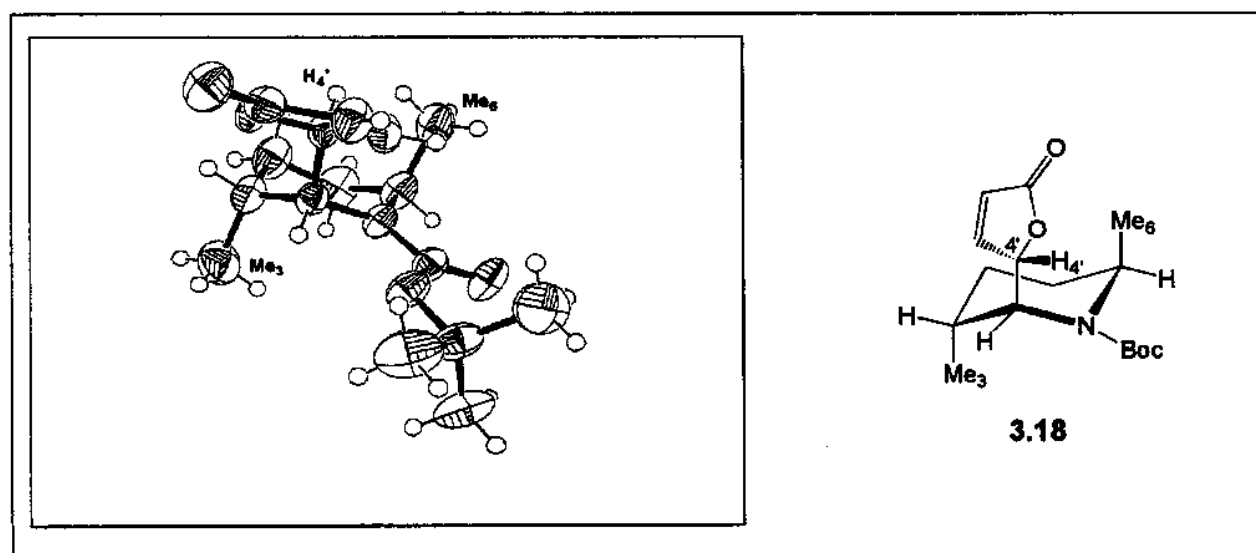
Para tentar confirmar essa suposição realizamos inicialmente experimentos de nOe (NOESY-1D) para o isômero minoritário 3.18. Para isso irradiamos seletivamente o sinal correspondente ao hidrogênio H-4' (δ 5,15), obtendo um grande incremento (4,9%) no sinal do grupo metila em C-6 do anel piperidínico (δ 1,23), indicando que a exemplo de todos os outros casos por nós estudados, os grupos volumosos α ao nitrogênio estão posicionados axialmente e a adição do nucleófilo foi realizada com estereoquímica relativa *cis* entre C-2 e C-6 (Esquema 47-B).

As análises de nOe (CYCLOENO) realizadas para o isômero majoritário 3.19 exigiram o aquecimento da amostra à 50°C, pois nos espectros de ¹H-RMN à temperatura ambiente não era possível distinguir os sinais correspondentes às metilas do sistema piperidínico devido à presença de isômeros rotacionais e sobreposição de sinais. Dessa forma foi possível, mais uma vez através da irradiação do hidrogênio H-4' (δ 5,05) observar um incremento de 1,3% para a metila em C-6 (δ 1,15), indicando que estes grupos devem estar *cis* (Esquema 47-B). Nesta

temperatura várias conformações devem estar envolvidas e uma média entre elas estaria sendo refletida nos espectros de RMN. Um reflexo disto pode ser a observação de incrementos de δ entre H-4' e Me-3 em δ 1,10 que apesar de relativamente pequeno (0,6%), não havia sido observado em nenhum dos outros casos por nós estudados anteriormente.

Por outro lado, foi observada a possibilidade de interconversão entre os isômeros desta reação quando submetidos a condições básicas¹⁰¹ (Et_3N , DMAP em CH_2Cl_2) e nas análises por CG observa-se claramente a diminuição de 3.19 em relação a 3.18, indicando que os produtos isolados devem realmente ser isômeros em C4' e não em C2.

Por fim, cristais do isômero minoritário 3.18 foram encaminhados para análise por difração de raio-X (Esquema 48). Os resultados confirmam inequivocamente que a configuração relativa de 3.18 é C2(RS); C3(RS); C6(RS); C4'(SR), oferecendo mais uma prova à argumentação desenvolvida com base em estudos de RMN de que esta seria a estereoquímica nos centros do anel piperidínico. Dessa forma a estereoquímica de 3.19, epímero em C4', é atribuída como C2(RS); C3(RS); C6(RS); C4'(RS). Além destas informações, a análise por difração de raio-X revela que em fase sólida há posicionamento axial de todos os grupos volumosos do anel piperidínico, a exemplo do que é proposto para estes mesmos compostos em solução.

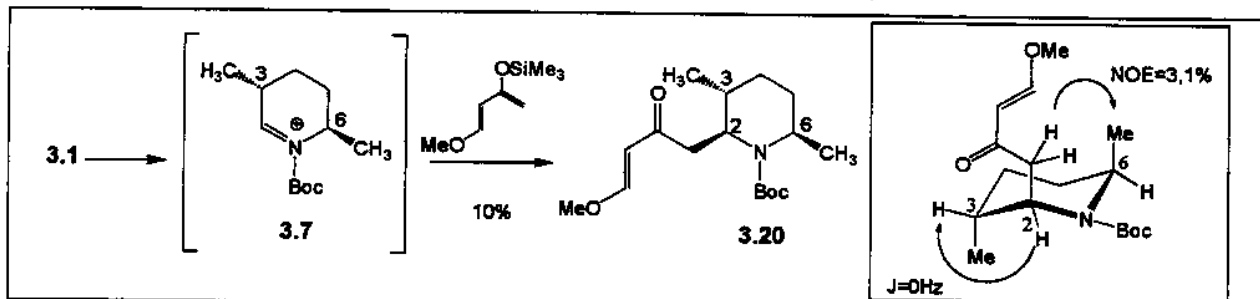


Esquema 48: Análise por raio-X de 3.18

3.3.1.6 Adição de 1-metóxi-3-(trimetilsiloxi)-1,3-butadieno (dieno de Danishefsky)

O 1-metóxi-3-(trimetilsiloxi)-1,3-butadieno (dieno de Danishefsky^{103,104}) foi outro nucleófilo testado frente ao íon N-acilímínio 3.7 (Esquema 49). Devido à baixa disponibilidade de tempo visando a otimização das condições reacionais para a utilização desse nucleófilo, não foi possível contornar os problemas que surgiram nos testes iniciais deste sistema, pois a adição de ácidos de Lewis à soluções do dieno de Danishefsky levou a formação de um precipitado preto gelatinoso, indicando decomposição do reagente. Além disso, as análises por CG desta

reação mostraram a formação do enecarbamato 3.4, sugerindo que o problema pode estar baseado na quantidade insuficiente de nucleófilo no meio reacional ou que, como nas adições de aliltrimetilsilano a este mesmo sistema, a reatividade do nucleófilo não é compatível com as condições de baixa temperatura exigidas para evitar a decomposição do sistema.



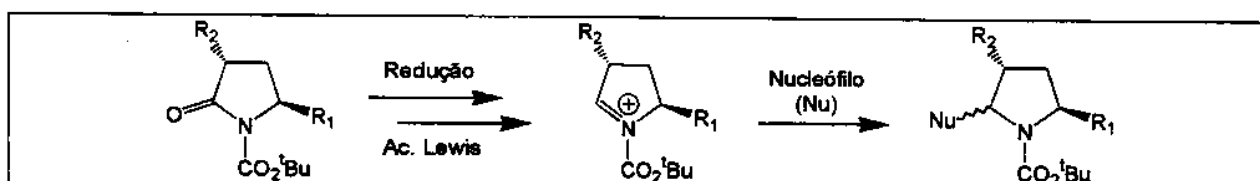
Esquema 49 Adição do dieno de Danishefsky ao imídio 3.7

Mesmo assim, os resultados que levaram ao isolamento do produto 3.20 em rendimentos baixos (10%), permitiram a sua caracterização através da realização de várias análises espectroscópicas, evidenciando através da medida das constantes de acoplamento entre os hidrogênios do anel piperidínico e análises de nOe (Esquema 49), que a estereoquímica relativa deve ser a mesma encontrada para todos os outros exemplos obtidos.

Procedimentos de análise e purificação do dieno de Danishefsky e testes como outros ácidos de Lewis podem ser propostos como alternativas visando a melhora destes rendimentos.

3.3.2 Adição de Nucleófilos a íons N-acilimínio Pirrolidínicos Dissubstituídos

A partir do isolamento e caracterização das N-Boc-2-pirrolidinonas *trans*-dissubstituídas, foram também realizados testes visando a utilização destas lactamas na formação de íons N-acilimínio dissubstituídos que poderiam ser testados frente a diversos nucleófilos (Esquema 50)



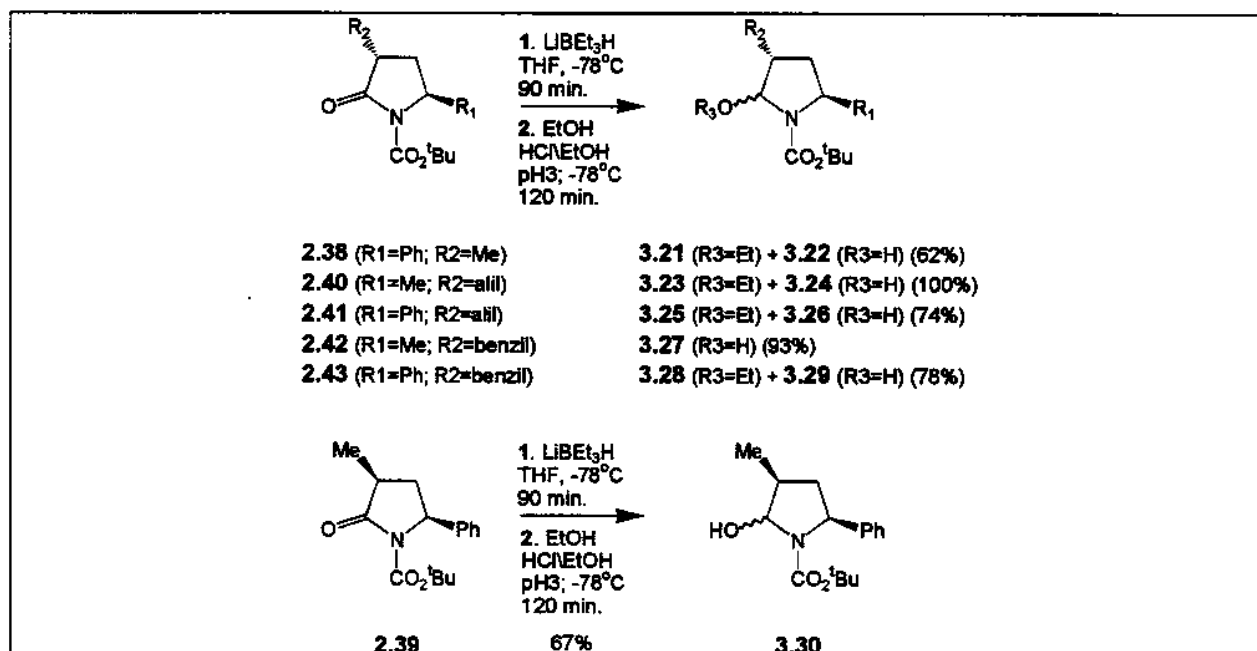
Esquema 50: Adição de nucleófilos a sistemas pirrolidínicos *trans*-disubstituídos

3.3.2.1 Obtenção de precursores dos íons N-acilimínio

A obtenção dos íons N-acilimínio dissustituídos foi planejada através da redução das pirrolidinonas obtidas através de reações de alquilação, utilizando-se as mesmas condições já testadas com sucesso para sistemas piperidínicos.

Porém, apesar da reação de redução com LiEt₃BH transcorrer normalmente, foi observado que, ao contrário dos sistemas piperidínicos, os produtos etoxilados (3.21, 3.23, 3.25 e 3.28; R=Et—Esquema 51) demandam um tempo de reação maior para sua completa formação. Esta característica reacional do sistema acabou levando ao isolamento conjunto

destes produtos etoxilados com os respectivos produtos ainda hidroxilados (3.22, 3.24, 3.26 e 3.29; R=H—Esquema 51). As únicas exceções ocorreram nas reduções de 2.39 (com estereoquímica 3,5-cis) e 2.42, onde somente os produtos hidroxilados 3.25 e 3.30 puderam ser isolados.

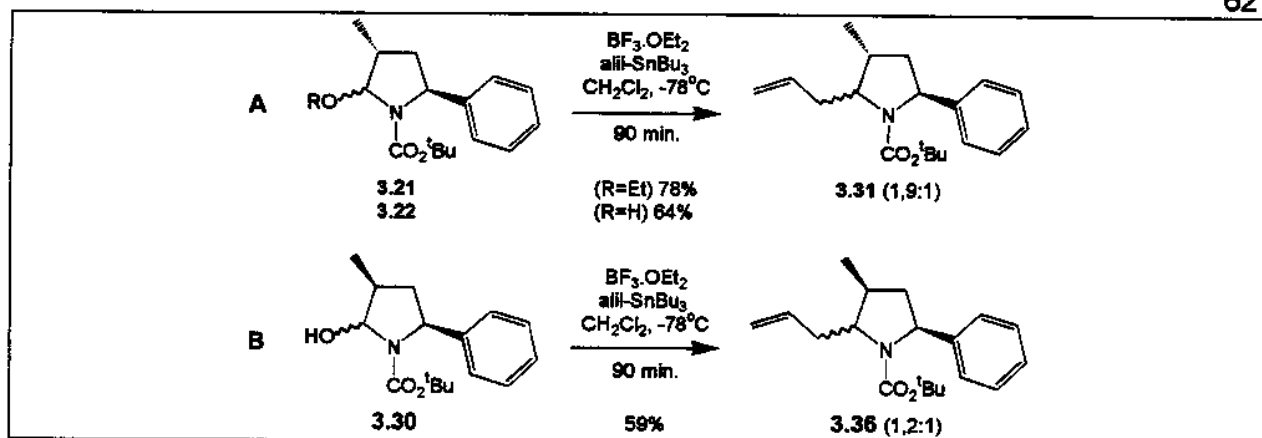


Esquema 51: Redução das pirrolidinonas 2.38-2.43

A caracterização completa desses produtos de redução por espectroscopia de RMN ficou prejudicada pela grande complexidade dos espectros (sinais largos e duplicados) devido à presença de isômeros conformacionais e da provável mistura de isômeros no centro reduzido. Por outro lado, a espectroscopia na região do infravermelho mostrou tanto a presença de bandas em $\sim 3450 \text{ cm}^{-1}$ quanto o deslocamento da banda correspondente à carbonila do grupo Boc nos produtos hidroxilados de $\sim 1680 \text{ cm}^{-1}$ para $\sim 1700 \text{ cm}^{-1}$ quando comparados com os respectivos produtos etoxilados.

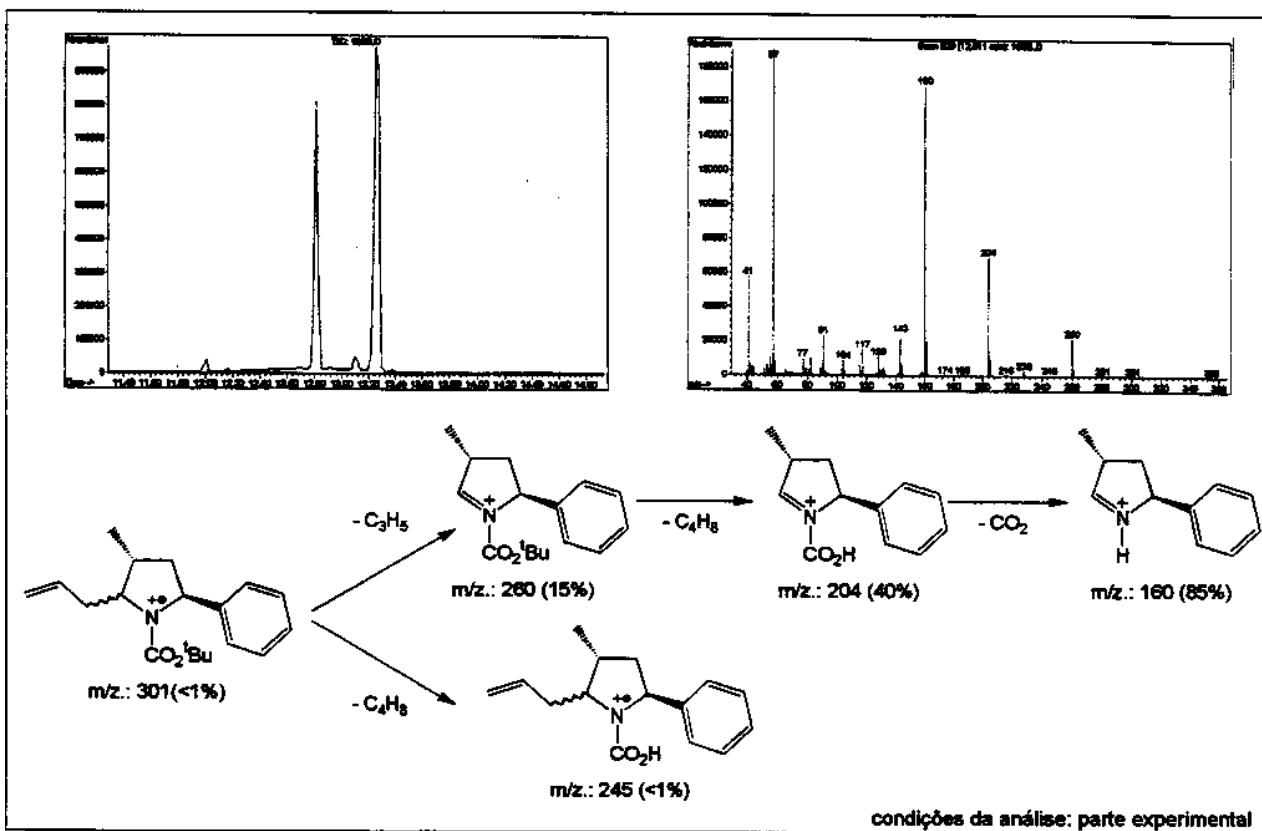
3.3.2.2 Adição de Aliltributilestanana a Íons N-acili mísio

Com a obtenção dos produtos reduzidos iniciamos os estudos de adição da aliltributilestanana ($\text{CH}_2=\text{CHCH}_2\text{Sn}^{\text{IV}}\text{Bu}_3$) a esses substratos utilizando $\text{BF}_3\cdot\text{OEt}_2$ como ácido de Lewis. Tanto a reação dos produtos etoxilados como hidroxilados foram realizadas em CH_2Cl_2 , a -78°C com 2 equivalentes da alilestanana e 2 equivalentes do ácido de Lewis (trabalhos em andamento em nosso laboratório indicam que, para α -hidroxicarbamatos, $\text{BF}_3\cdot\text{OEt}_2$ como ácido de Lewis apresenta melhores resultados que outras alternativas, como TMSOTf ou TiCl_4) (Esquema 52).



Esquema 52: Obtenção e caracterização de 3.31 e 3.36

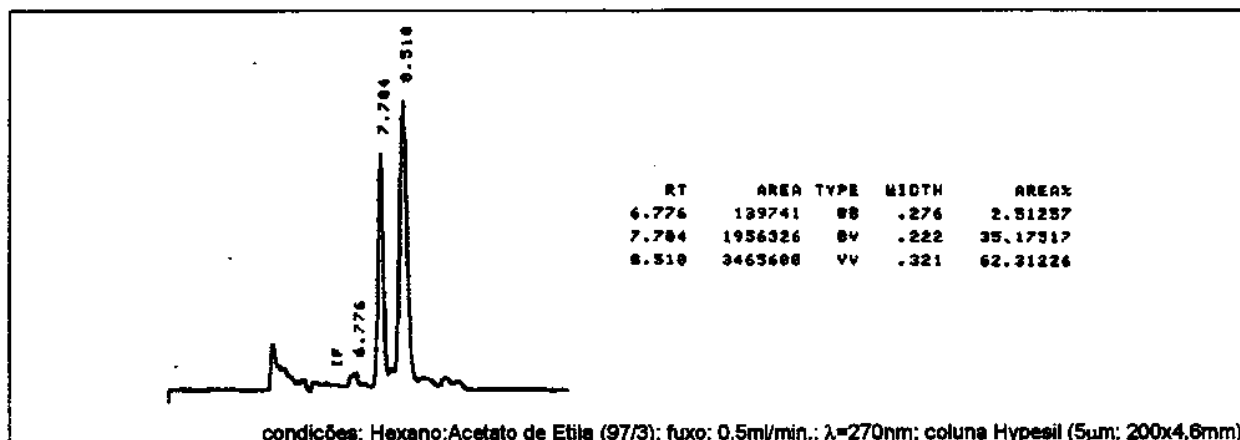
Os testes foram iniciados com duas reações paralelas envolvendo os produtos de redução de estereoquímica 3,5-trans 3.21 (R=Et) e 3.22 (R=H) (Esquema 52-A). Foi observada a mesma seletividade de 1,9:1 em ambas as reações através da análise em CG da mistura 3.31. As fragmentações em CG/EM (impacto de elétrons) idênticas e com padrão similares às observadas nos sistemas piperidínicos confirmaram a obtenção dos dois isômeros possíveis no ataque da alilestanana sobre o íon N-acilimínio (Esquema 53).



Esquema 53: Caracterização de 3.31 por CG/EM

Como esta mistura de produtos apresentava absorções na região do UV, foi realizada também a análise por HPLC que mostrou uma proporção de 1,8:1 (coerente com os dados de

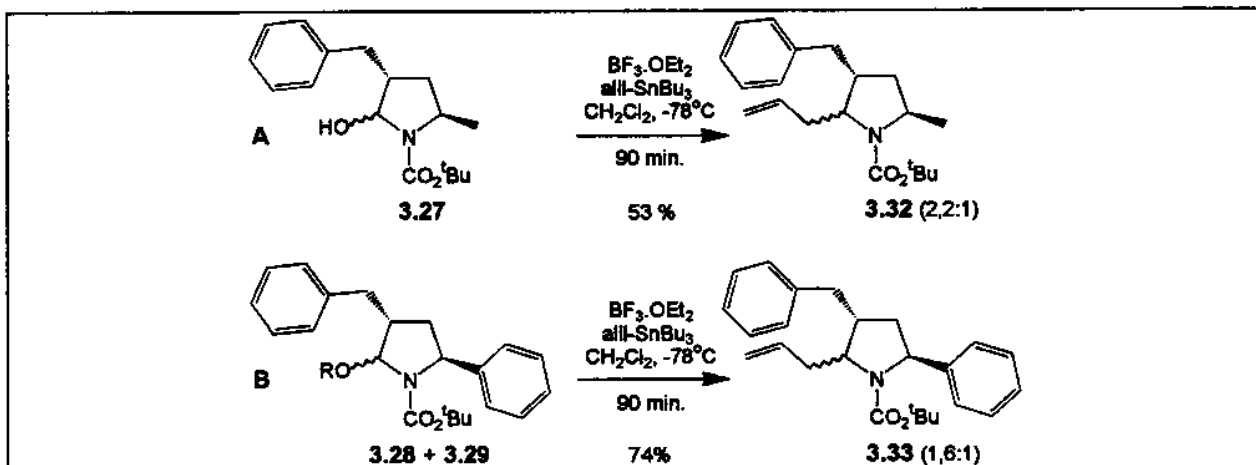
CG) (Esquema 54). A análise por espectroscopia de RMN ficou prejudicada devido à impossibilidade de separação da mistura e da presença de isômeros conformacionais, impedindo a determinação de proporções através esta técnica.



Esquema 54: Caracterização de 3.31 por HPLC

Por sua vez a adição de aliltributilestanana ao íon N-acilimínio pirrolidínico 3,5-cis-dissubstituído originado do α -hidroxicarbamato 3.30 (3,5-cis dissustituído) também levou ao isolamento da misturas de produtos 3.36 (Esquema 52-B). A analise por CG/EM evidencia também baixa seletividade (1,2:1) na adição a este substrato (epímero em C-3 de todos os outros íons N-acilimínio pirrolidínicos estudados), indicando que a inversão neste centro e a presença de uma metila não influenciam significativamente a preferência facial da adição de aliltributilestanana.

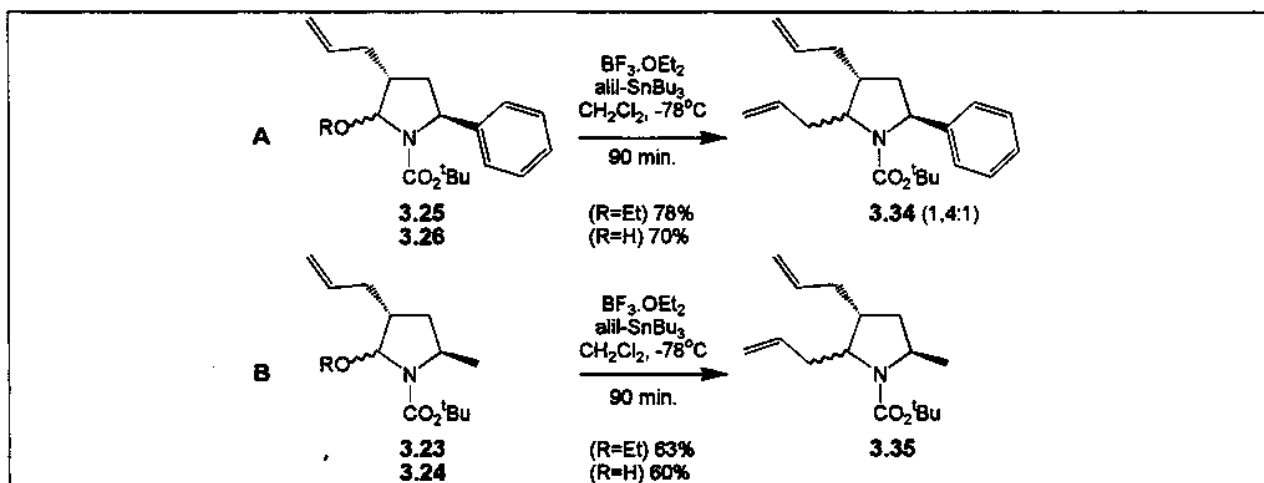
Foram realizados também os testes com os produtos de redução 3.27 e a mistura 3.28 e 3.29 (Esquema 55-A e B) nas mesmas condições e foram isoladas novamente misturas dos produtos de adição. As respectivas proporções (2,2:1 para 3.32 e 1,6:1 para 3.33) também foram determinadas por CG e CG/EM, pois os espectros de RMN para estas misturas mostraram novamente a presença de isômeros conformacionais.



Esquema 55: Obtenção dos sistemas pirrolidínicos 3.32 e 3.33

Nas adições aos produtos de redução 3.25 e 3.26 (Esquema 56-A) foi observada uma mistura de dois produtos na análise por CG, na proporção de 1,4:1 e as técnicas de CG/EM e EM/Inserção-direta indicaram que estes dois produtos têm, além de idêntica, fragmentações análogas às descritas para o produto 3.31 (Esquema 53). A proporção de 3.34 também foi determinada por HPLC, já que o produto absorve na região do UV, mostrando uma proporção de 1,2:1 (coerentemente com as análises em CG). Os espectros de RMN também mostraram sinais largos e duplicados, indicando a presença de misturas de epímeros e isômeros rotacionais.

As reações com os produtos de redução 3.23 e 3.24 também levaram a uma mistura de produtos 3.35 (Esquema 56-B). Pela análise em CG foram observados 4 picos, mas as análises em HPLC realizadas mostraram somente um pico largo nas diversas condições testadas, sendo pouco conclusiva e deixando dúvidas a respeito da proporção obtida. As análises de EM/Inserção-direta, IV e ^1H -RMN indicaram a obtenção dos produtos, apesar desta última ter mostrado, como em todos os casos, vários sinais duplicados e largos. Dessa forma não foi possível determinar a seletividade desta reação de forma direta, obrigando-nos a realizar derivatizações com esta amostra a fim de esclarecer a seletividade obtida.



Esquema 56: Obtenção dos sistemas pirrolidínicos 3.34 e 3.35

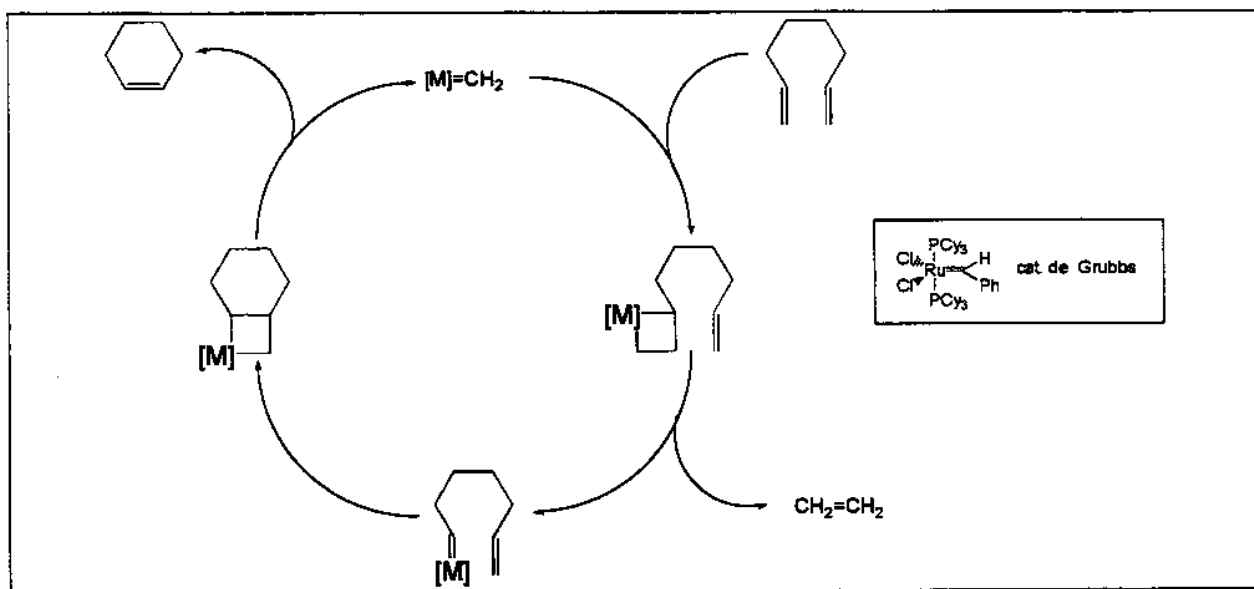
Todas os compostos obtidos na adição de aliltributilestanana a íons N-acilimínio pirrolidínicos 3.31-3.36 foram analisados por espectrometria de massas de alta resolução (HRMS-impacto de elétrons), porém a exemplo dos sistemas piperidínicos e das análises de CG/EM foi muito difícil detectar íons que contenham em sua estrutura o radical alila, devido a sua grande facilidade de eliminação (a única exceção foi para 3.33). A confirmação da presença desses grupos alila nas misturas pode ser feita pelas análises de RMN, que apesar de apresentarem sinais largos e duplicados contém sinais coerentes com a atribuição proposta (multipletos em δ 5,9 e 5,1, integrando para 1 e 2 hidrogênios, respectivamente). Por fim, análises de espectrometria de massas utilizando ionização química (isobutileno como gás

ionizante) confirma inequivocamente a presença de todos os produtos de condensação alilados 3.31-3.36 pela presença dos sinais correspondentes ao íon molecular M+1.

3.3.2.3 Reações de Metátese de Olefinas com os sistemas pirrolidínicos

Devido à dificuldade na determinação da proporção obtida na reação que levou a 3.35 (não apresentou separação em HPLC e múltiplos sinais em CG) foi proposta a preparação de um derivado esperando melhor separação em HPLC, CG ou RMN. Uma das alternativas foi a formação de um derivado bicíclico, através de uma reação de metátese de olefinas entre os dois grupos alila adjacentes promovida pelo catalisador de Grubbs.¹⁰⁵

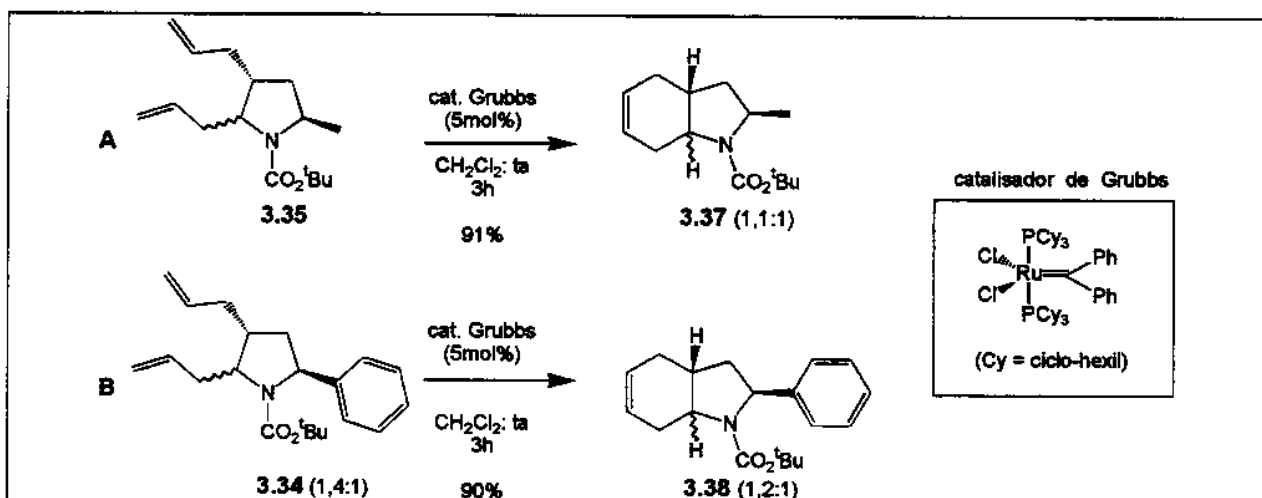
A metátese de olefinas tem sido muito estudada do ponto de vista mecanístico e na síntese de polímeros, aparecendo só recentemente com destaque como uma metodologia visando a síntese de sistemas orgânicos mais complexos. O mecanismo proposto para esta reação envolve uma cicloadição [2+2] entre o alquilideno metálico (catalisador) e uma ligação insaturada do substrato, levando a um intermediário metalo-ciclobutano. A eliminação de olefina e a permanência do metal, agora na cadeia do substrato, pode levar à formação de um metalaciclo intramolecular que, após nova eliminação de olefina (o produto da reação) regenera o catalisador para reiniciar o processo.¹⁰⁵



Esquema 57: Ciclo catalítico proposto para a metátese de olefinas

Dessa forma, a reação de metátese realizada com 3.35 em CH₂Cl₂, à temperatura ambiente (Esquema 58) levou ao isolamento de uma mistura de produtos 3.37 (Esquema 58-A) com proporção de 1,1:1 determinada através de análises de CG e CG/EM, que mostrou fragmentação idêntica em EM. Não foi possível separar a mistura de produtos em coluna cromatográfica, mas a análise dos espectros de ¹H e ¹³C-RMN evidencia a formação da mistura dos sistemas bicíclicos 3.37.

A fim de confirmar se esta derivatização não poderia estar alterando as proporções obtidas nas reações de condensação que levaram a 3.35, promovemos também a reação de metátese de olefinas para a mistura de produtos 3.34. Foi obtida uma mistura dos produtos ciclizados 3.38 (Esquema 58-B) que, por análise do produto bruto de reação por CG, mostrou uma proporção de 1,2:1 similar àquela observada para o reagente 3.34 na análise por HPLC, indicando que a metodologia pode ser estendida para a mistura 3.35.



Esquema 58: Fechamento de anel por metátese de olefinas das misturas 3.34 e 3.35

A obtenção de misturas em todas as adições de aliltributilestana aos íons N-acilimínio pirrolidínicos dissustituídos estudados mostra que, a exemplo dos trabalhos da literatura (Tabela 16 e Tabela 17), efeitos de seletividade estão competindo e levando a estas misturas. Para os sistemas por nós estudos, a simples repulsão estérica dos grupos alquila e arila presentes no anel pirrolidínico não é suficientemente intensa a ponto de favorecer o ataque por uma das faces do sistema.

3.4 Conclusões

A utilização das lactamas, obtidas estereoseletivamente através de reações de alquilação, na formação de íons N-acilimínio dissustituídos *in situ* foi possível após a redução da carbonila endocíclica com LiBEt₃H, isolamento e caracterização dos correspondentes etóxi ou hidroxicarbamatos e o posterior tratamento com agentes silitantes ou ácidos de Lewis.

As reações de adição foram realizadas através da utilização de vários nucleófilos de carbono (sililenoléteres, aliltrimetsilanos e aliltributilestanana). Os melhores resultados foram obtidos para os sistemas pipridínicos, que levaram ao isolamento dos produtos 3.8, 3.9 pela adição de sililenoléteres (em sistemas que passaram por processos de otimizações) em rendimentos acima de 70% e como únicos produtos observados. As adições de aliltributilestanana mostraram boa seletividade ($\geq 9:1$ em favor dos isômeros 2,6-cis/2,3-trans) e

rendimentos significativos (>70%) na obtenção das piperidinas trissubstituídas 3.12, 3.14 e 3.16.

A adição de trietilsilano ao íon N-acilimínio substituído 3.7 levou ao isolamento do produto de redução 2.30 com menor seletividade que a observada pela redução da lactama 2.22, indicando que podem estar ocorrendo processos de epimerização no sistema, que seriam responsáveis pela observação dos isômeros minoritários nas adições de aliltributilestanana.

A caracterização, atribuição e discussão dos resultados obtidos na síntese dessas piperidinas substituídas foram conduzidas levando-se em conta os aspectos conformatacionais do sistema. Dessa forma, a seletividade obtida foi atribuída à presença de interações alílicas A^(1,3), posicionando axialmente os substituintes do anel e favorecendo o ataque axial por parte dos nucleófilos aos íons N-acilimínio piperidínicos. A possibilidade da realização de análise de difração de raio-X do composto 3.18 confirmou tanto a estereoquímica atribuída para os centros do anel piperidínico deste composto como o posicionamento axial dos substituintes em fase sólida.

Já os testes de adição de aliltributilestanana a íons N-acilimínio pirrolidínicos substituídos não mostraram a mesma seletividade facial (de 2,2:1 a 1,1:1), isolando-se misturas dos produtos de adição, que tiveram suas proporções determinadas por técnicas cromatográficas (CG e HPLC) ou através da derivatização e análises dos produtos bicíclicos obtidos por metátese de olefianas. Este comportamento foi observado tanto para os vários sistemas 3,5-*trans*-dissubstituídos, como para o sistema 3,5-*cis*-dissubstituído derivado do hidroxicarbamato 3.30. Provavelmente, nestes casos a competição entre as interações estéricas entre o nucleófilo e os substituintes no anel pirrolidínico levam à formação das mistura obtidas e a inversão do centro em C-3 não se mostrou suficientemente efetiva para levar à formação de produtos de adição em melhores seletividades.

4 Preparação Estereosseletiva de Sistemas Bicíclicos Nitrogenados Substituídos

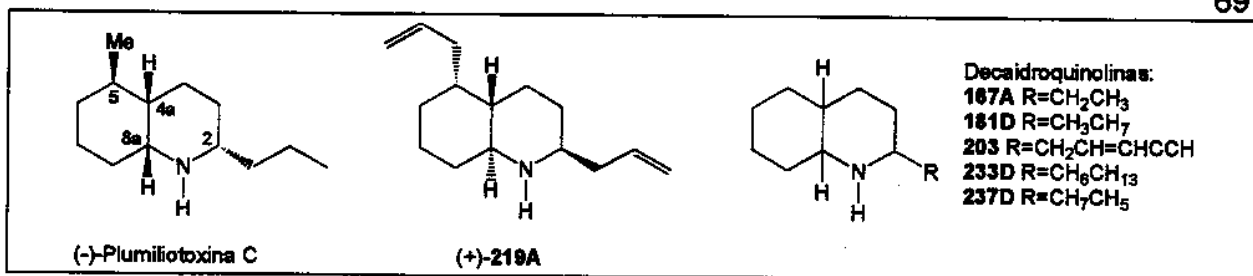
A partir da obtenção estereosseletiva de vários sistemas piperidínicos substituídos, foi proposta a utilização desses compostos como intermediários na síntese de sistemas de interesse sintético, que são encontrados na Natureza e que podem apresentar diversos níveis de atividade biológica. Vários sistemas nitrogenados podem ser obtidos a partir destes intermediários, porém nossos estudos foram focalizados na obtenção de sistemas decaidroquinolínicos, indolizídicos e quinolizídicos, sempre no sentido de comprovar a versatilidade sintética das metodologias por nós desenvolvidas, bem como confirmar as estereoquímicas relativas propostas para nossos sistemas por comparação com produtos já descritos na literatura.

4.1 Introdução

Uma grande série de alcalóides é encontrada em sapos da família *Dendrobatidae*, estimando-se que mais de 200 “alcalóides dendrobáticos” diferentes já tenham sido detectados. Estes compostos são agrupados em classes que refletem suas características estruturais, porém em muitas oportunidades estas identificações e classificações estão baseadas somente em análises de CG/EM ou, mais recentemente, em CG/IV (cromatografia gasosa acoplada a espectroscopia na região do infravermelho). Dessa forma, a nomenclatura adotada para estes compostos emprega como base a massa molecular do alcalóide obtida nos espectros de massa e a adição de letras, se necessário, para distinguir compostos com a mesma massa molecular.¹⁰⁶

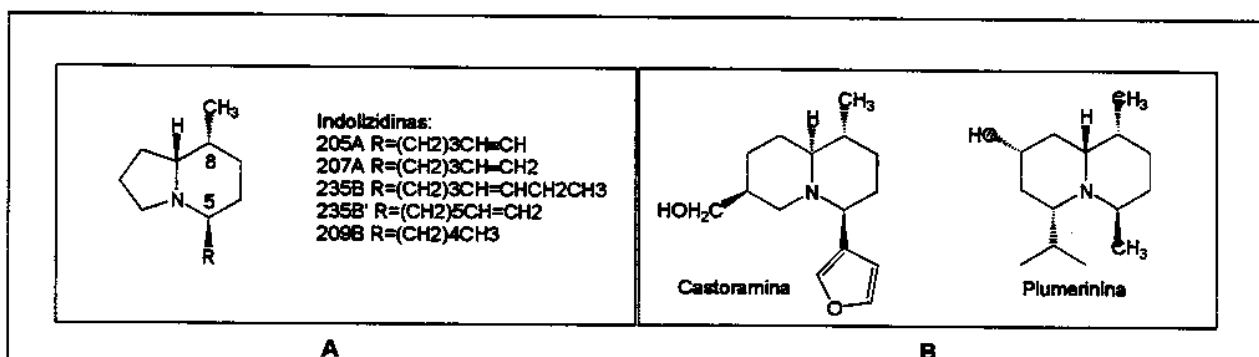
As decaidroquinolinas 2,5-dissubstituídas representam uma das classes de alcalóides majoritariamente presente nesses extratos de peles de anfíbios. O primeiro alcalóide desta classe, chamado Pumiliotoxina C, foi isolado de populações de *Dendrobates pumilio* encontrados no Panamá e teve sua estrutura elucidada por cristalografia de raio-X (2S, 4aS, 5R, 8aR-5-metil-2-propil-cis-decaidroquinolina - Esquema 59). Outras decaidroquinolinas, mas com estereoquímica da fusão de anéis *trans* [(+)-219A-Esquema 59], também foram isoladas de extratos de outra espécie de sapos colombianos (*Dendrobates histrionicus*). Por fim, várias outras decaidroquinolinas tiveram suas estruturas propostas com base em espectros de massas em razão de seu isolamento em ínfimas quantidades (167A, 181D, 203, 223D, 237D-Esquema 59).¹⁰⁷

As lacunas no que se refere à determinação estrutural destas espécies e o interesse do estudo de atividade biológica desses alcalóides tem impulsionado vários grupos em direção à síntese desses compostos ou análogos.¹⁰⁸



Esquema 59: Sistemas decahydroquinolínicos

Outra subclasse presente nos alcalóides dendrobátidos é a que engloba as 8-metil-indolizidinas 5-substituídas, cujos membros 205A, 207A, 235B, 235B' e 209B (Esquema 60-A)¹⁰⁶ foram isolados e tiveram suas estruturas atribuídas a partir da análise de espectros de RMN, observando-se que os grupos em C-8 e C-5 estão posicionados equatorialmente no anel indolizidínico.¹⁰⁶ Os alcalóides indolizidínicos são também encontrados em fungos, plantas ou outros animais (como formigas, por exemplo), tornando-se uma fonte atrativa de alvos sintéticos (como a lentiginosina, swansonina, etc.).^{110,111}



Esquema 60: Sistemas indolizidínicos (A) e quinolizidínicos (B)

Alcalóides quinolizidínicos também são amplamente observados em várias fontes naturais como pele de anfíbios, plantas (plumerinina-Esquema 60-B)¹¹² e até mesmo em mamíferos (castoramina-Esquema 60-B)¹¹³, constituindo-se portanto numa fonte atrativa de alvos sintéticos.

A análise desses alcalóides por espectroscopia na região do infravermelho mostrou-se de grande utilidade para as determinações estruturais preliminares da estereoquímica relativa, pois a análise de bandas de Bohlmann nestes espectros (bandas que aparecem na região entre 2800 e 2600 cm⁻¹) podem servir como indicativo da presença de sistemas piperidínicos 2,6-cis-dissubstituídos (aspectos mais detalhados a respeito de bandas de Bohlmann serão discutidos mais adiante).

4.2 Formação de Sistemas Decaidroquinolinícos

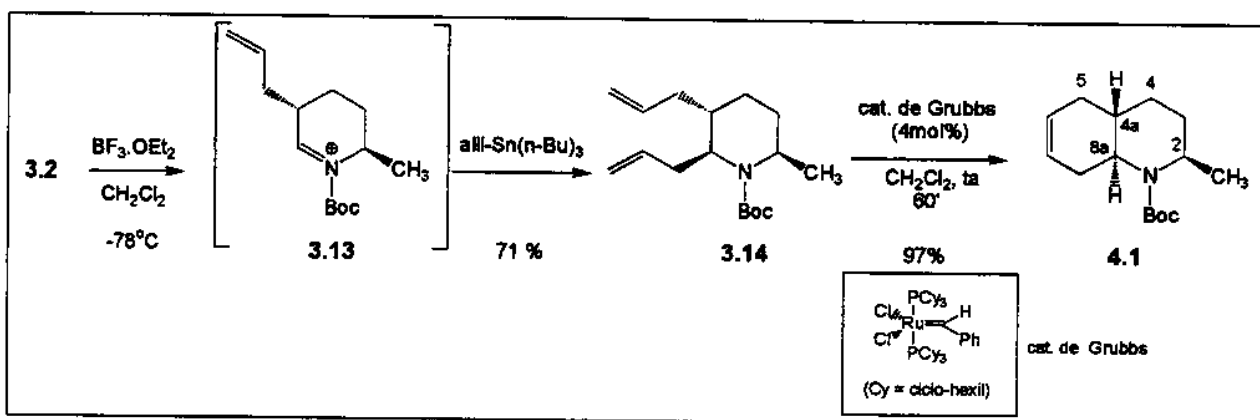
4.2.1 Introdução

O isolamento do produto de adição 3.14 permitiu a realização de testes visando a obtenção de sistemas bicíclicos nitrogenados do tipo hidroquinolínico, encontrados em vários produtos naturais na forma de sistemas decaidroquinolinícos.^{114,115} O fechamento do segundo anel pode ser feito através da reação de metátese de olefinas utilizando o catalisador de Grubbs¹⁰⁵.

4.2.2 Resultados

A reação de metátese de olefinas com 3.14 foi conduzida à temperatura ambiente em CH_2Cl_2 e com 4 mol% do catalisador de Grubbs, sendo isolado o sistema octahidroquinolínico 4.1 em 97 % de rendimento após purificação cromatográfica (Esquema 2). A análise de CG/EM mostra a presença de dois picos, na proporção de 88:12, que apresentaram fragmentação semelhante nos espectros de massa, indicando a obtenção de uma mistura isomérica nesta reação.*

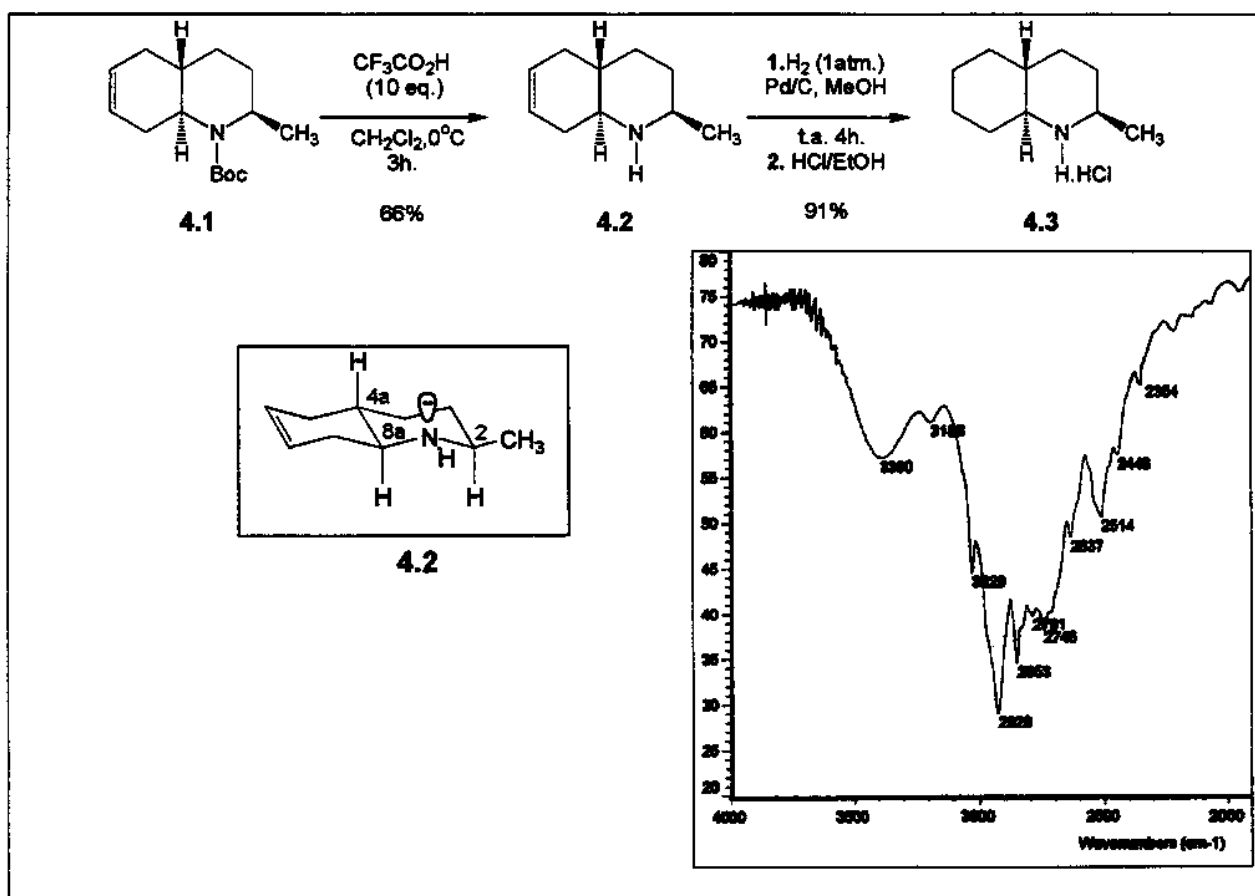
As análises de RMN estão de acordo com a obtenção do produto 4.1, porém observou-se, ao contrário dos sistemas piperidínicos protegidos estudados até então, que a irradiação seletiva da metila em C-2 (δ 1,25) simplifica o multiplo a δ 4,45 e indica que H-2 deve estar posicionado axialmente [$^3J(\text{H-2/H-3}) = 10,0$ e 1,2 Hz)]. Nos sistemas monocíclicos (como no reagente 3.14) os efeitos de tensão alilica A^(1,3) entre o grupo Boc e os substituintes do anel devem favorecer um posicionamento axial dos substituintes do anel piperidínico, porém, no sistema bicíclico 4.1, com fusão de anéis *trans*, este posicionamento não deve ser energeticamente favorável, levando os substituintes do anel a posicionamentos *pseudo-equatorial* e resultando em maiores constantes de acoplamento entre os hidrogênios do anel que adotariam posicionamentos *pseudo-axiais*.



Esquema 61: Síntese do sistema octahidroquinolínico 4.1

* o reagente 3.14 empregado apresentava-se sob a forma de uma mistura de isômeros 89,4: 6,7: 3,9 %, resultando também na obtenção de misturas após a reação de metátese.

Para confirmar a atribuição da estereoquímica do produto majoritário, foi realizada a desproteção de 4.1 em meio ácido (10 equivalentes de ácido trifluoroacético, em CH_2Cl_2 e à 0°C) que forneceu a octaidroquinolina 4.2 em 66 % de rendimento. O produto majoritário foi separado por coluna cromatográfica flash e totalmente caracterizado por técnicas de RMN (^1H , ^{13}C , dept, HETCOR e gCOSY), HR/MS (obtido: 151,1361; calculado: 151,1361) e IV, que mostrou uma série de bandas de absorção entre 2800-2600 cm^{-1} (bandas de Bohlmann), evidenciando que os hidrogênios H₂ e H_{8a} estão posicionados axialmente e em uma relação *cis*. Coerentemente, a constante de acoplamento entre H-4a e H-8a ($^3J=10,7$ Hz) indica um posicionamento *trans*-dialixal destes hidrogênios de fusão de anéis (Esquema 62).



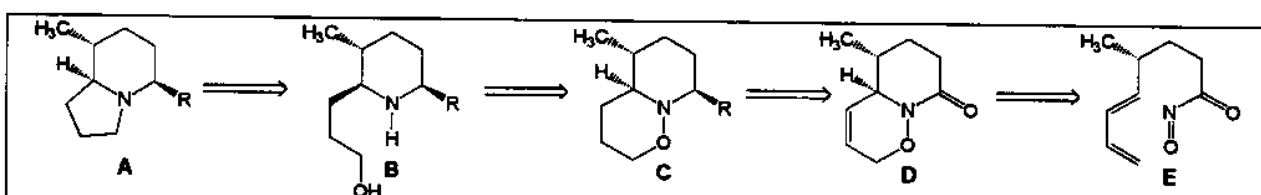
4.3 Formação de Sistemas Indolizídicos: Síntese da (±)-Indolizidina 209B

4.3.1 Introdução

Um número considerável (pelo menos 18) de alcalóides indolizídicos 8-metil 5-substituídos foram detectados em extratos de peles de sapos membros da família *Dendrobatidae*, utilizando-se para isso técnicas de CG/EM. Todos apresentaram como característica principal a formação de picos base m/z=138 devido à perda do grupo em C-5 pela fragmentação do íon molecular. Dentre estes compostos somente 4 puderam ser isolados em quantidades suficientes para a realização de outras análises (Indolizidinas 205A, 207A, 235B e 235B'). As análise de ^1H e ^{13}C -RMN destes compostos mostraram que os grupos em C-8 (metila) e C-5 encontram-se posicionados equatorialmente, o que acabou sendo também confirmado pelas respectivas sínteses racêmicas desses produtos por Holmes e colaboradores.^{117,118,119}

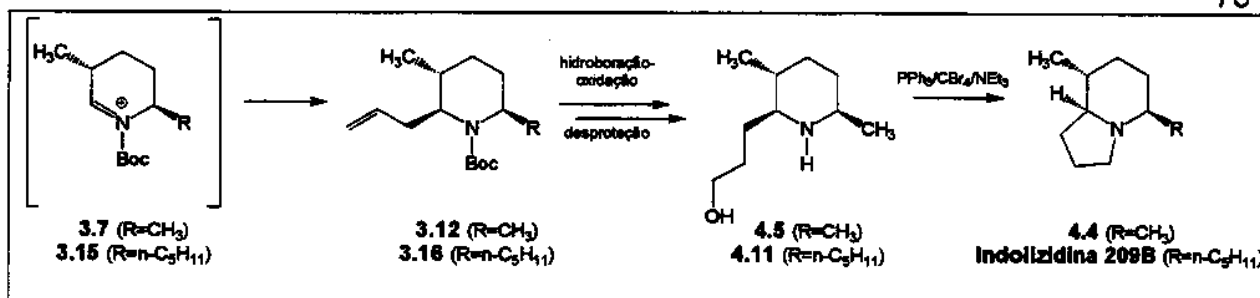
Já a Indolizidina 209B teve sua estrutura inequivocamente atribuída após a síntese de ambos enantiômeros.^{119,120} Porém, a estereoquímica absoluta do produto natural continua desconhecida por não ter sido isolado em quantidades suficientes para a realização de medidas de rotação ótica.

Por sua vez, o trabalho de Shishido e Kibayashi¹⁰⁹ utilizou-se de uma cicloadição intramolecular [4+2] estereoseletiva como passo-chave na construção de sistemas piperidínicos trissubstituídos (Esquema 63-B) que posteriormente formaram as indolizidinas de interesse por ciclização intramolecular.



Esquema 63: Obtenção de sistemas indolizídicos por Shishido e Kibayashi

Nossa proposta está baseada na obtenção estereoseletivas de piperidinas com o mesmo padrão de substituição, que seriam obtidas através da hidroboração e desproteção de sistemas formados pela adição de aliltributilestanana ao íon N-acilimônio 3.7 e a ciclização promovida por $\text{PPh}_3/\text{CBr}_4/\text{NEt}_3$ entre um álcool e uma amina (Esquema 64). Esta síntese serviu como um modelo para a obtenção do produto natural Indolizidina 209B, cuja diferença em relação à síntese de 4.4 residiria na substituição de um grupo metila por um grupo n-pentila no sistema piperidínico.



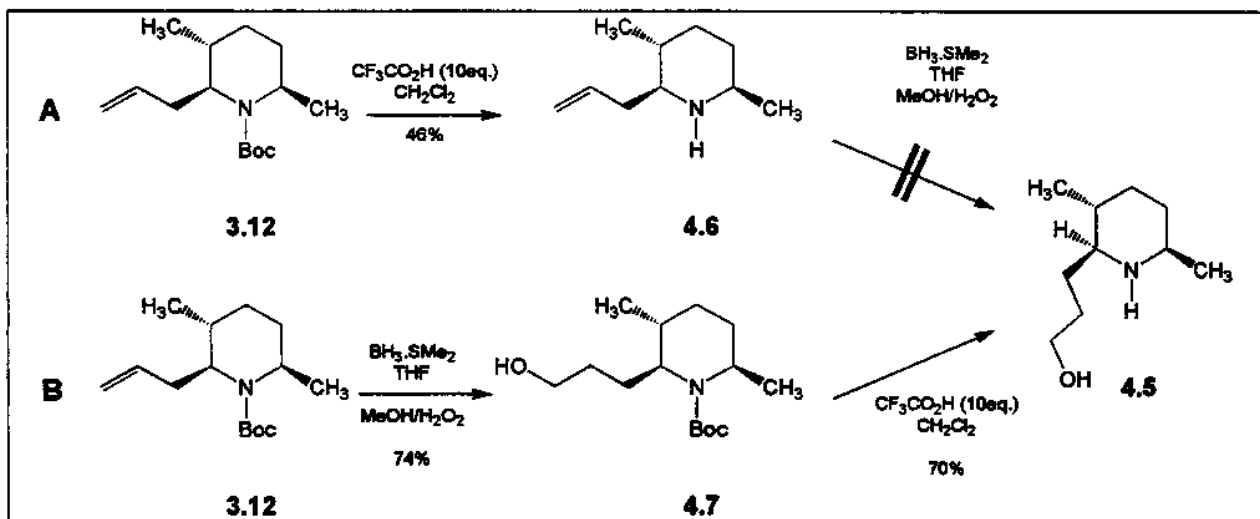
Esquema 64: Proposta para síntese de sistemas indolizidínicos

4.3.2 Resultados

4.3.2.1 Síntese da Indolizidina Modelo 4.4

A desproteção de 3.12 nas condições usadas rotineiramente (CF_3CO_2H) levou ao isolamento da piperidina 4.6 em baixos rendimentos (46%) e, independentemente deste resultado, tentativas de prosseguir com esta rota sintética através da hidroboração de 4.6 não levaram à obtenção de 4.5, o que resultou no abandono desta rota (Esquema 65- A).

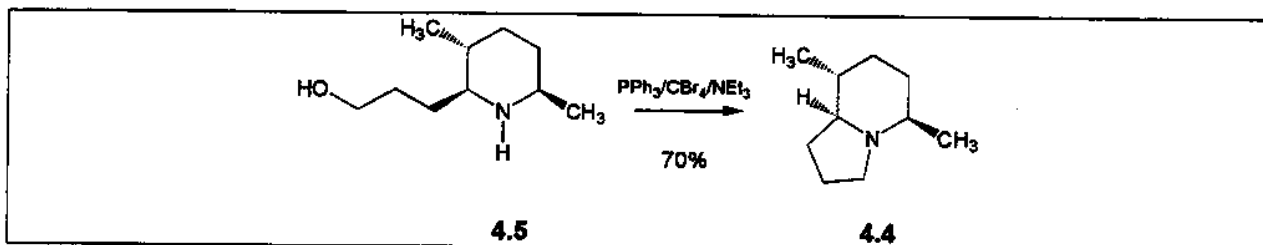
Como alternativa foi realizada inicialmente a hidroboração-oxidação da piperidina trissubstituída 3.12, através da reação em THF com 10 equivalentes do complexo Boranadimetilsulfeto e reação por 18 horas à temperatura ambiente, seguida de oxidação com peróxido de hidrogênio em metanol (Esquema 65-A), levando ao álcool primário 4.7 em 74% de rendimento após isolamento por coluna cromatográfica flash. O aminoalcool 4.5 foi obtido em 70% de rendimento após remoção do grupo Boc em meio ácido.



Esquema 65: Sequências reacionais para formação de 4.5

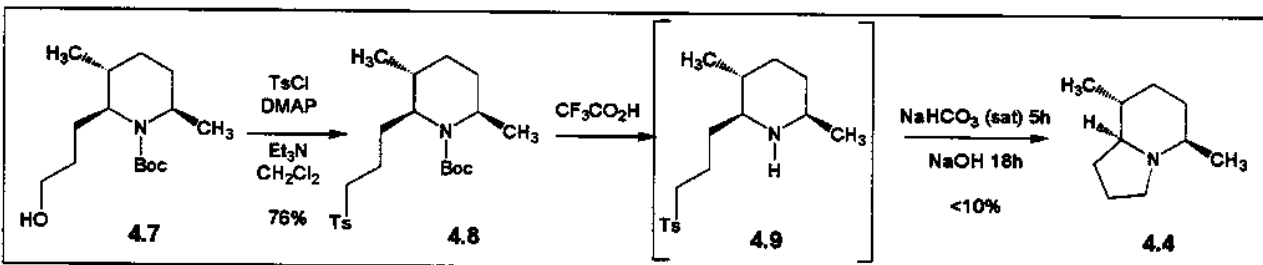
Finalmente, a partir do amino-álcool 4.5 foi utilizado o sistema reacional $PPh_3/CBr_4/NEt_3$ para a formação do sistema indolizidínico (Esquema 66), seguindo-se o procedimento de Shishido e Kibayashi.¹⁰⁹ O composto 4.4 foi isolado após coluna cromatográfica flash em 70% de rendimento, sendo caracterizado por cromatografia gasosa, CG/EM, IV, 1H e ^{13}C -RMN,

DEPT (90 e 135°), COSY, HETCOR e HR/MS (valor calculado para 4.4: 153,15175 g/mol; valor obtido: 153,15173 g/mol).



Esquema 66: Fechamento de anel para obtenção da indolizidina 4.4

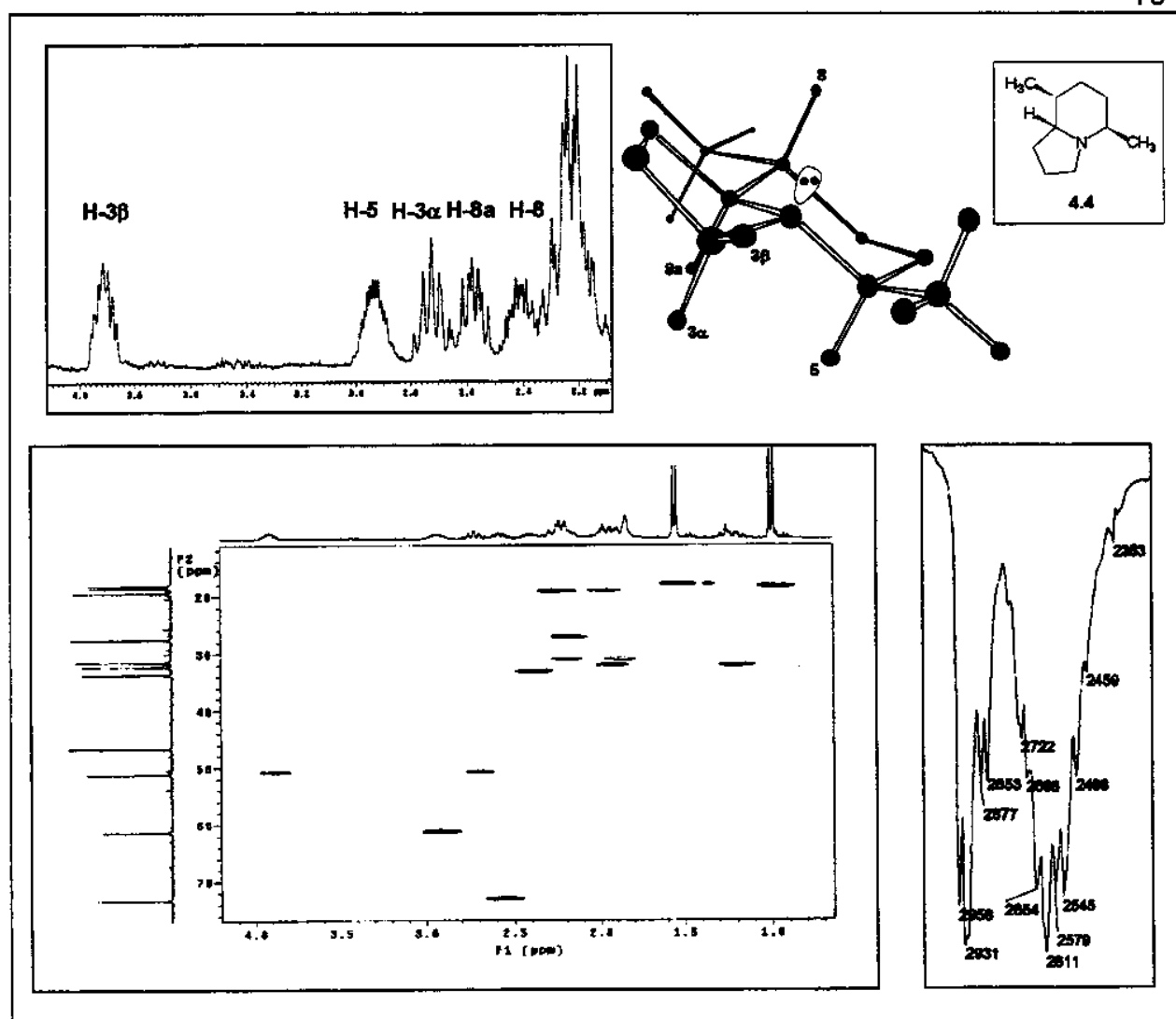
Como uma alternativa para essa reação de ciclização também foi testada a tosilação do álcool 4.7, obtendo-se o composto 4.8 em 76 % de rendimento. A posterior desproteção e imediato tratamento de 4.9 em meio básico também levou ao isolamento de 4.4, mas em rendimentos baixos (Esquema 67).



Esquema 67: Obtenção do sistema indolizídínico 4.4 através do tosilato 4.8

Nessas reações de ciclização e nas etapas de purificação que as acompanham é necessário tomar uma série de cuidados visando minimizar perdas da indolizidina 4.4, que mostrou ser volátil e passível de perda quando deixada sob vácuo. A análise dos espectros de COSY e HETCOR mostra que os sinais entre δ 3,8 e 2,0 correspondem aos hidrogênios H-3β, H-5, H-3α, H-8a e H-8, respectivamente (Esquema 68).

A presença de um hidrogênio mais desprotegido no espectro de ¹H-RMN e a sua atribuição como estando ligado ao carbono 3 (H-3β—Esquema 68), sugere que a conformação adotada por este sistema deve ter fusão de anel *trans*, pois dessa forma, de todos os hidrogênios vizinhos ao nitrogênio, somente H-3β ficaria *cis* com o par de elétrons do nitrogênio, enquanto que os outros três (H-5, H-3α e H-8a), ficariam num posicionamento *anti* em relação ao par de elétrons e estariam sujeitos a efeitos de proteção. A análise do espectro de infravermelho da indolizidina 4.4 (Esquema 68), também indica a presença de três hidrogênios *trans* ao par de elétrons do nitrogênio, já que as bandas em 2873, 2850, 2774, 2694, 2648, 2613 cm⁻¹ (bandas de Bohlinmann) evidenciam essa situação. Irradiações seletivas realizadas nas metilas em C-5 e C-8 também indicam um posicionamento equatorial destes grupos e, em consequência, um posicionamento axial dos hidrogênios H-5 e H-8.



Esquema 68: Espectros de ^1H -RMN, HETCOR e IV da indolizidina 4.4

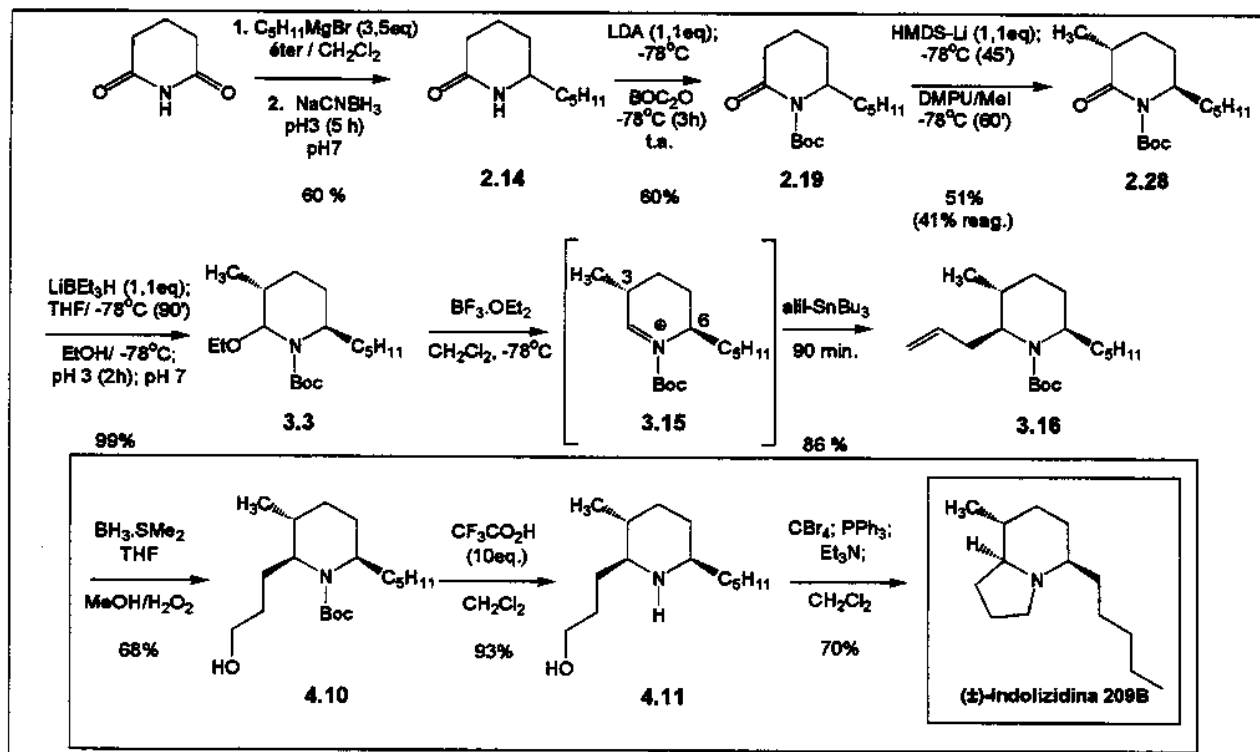
4.3.2.2 Síntese da (\pm)-Indolizidina 209B

A obtenção de indolizidina modelo 4.4 tomou a tarefa de obtenção da forma racêmica do produto natural Indolizidina 209B bem mais direta, pois a princípio poderia-se esperar que ambos os sistemas reacionais tivessem comportamentos muito semelhantes.

Isto foi realmente observado e as etapas de hidroboração-oxidação, desproteção e ciclização (Esquema 69), realizadas a partir da piperidina trissubstituída 3.16, transcorreram normalmente, levando ao isolamento da Indolizidina 209B em 44% de rendimento após estas 4 etapas. A caracterização do sistema teve seus dados de RMN, IV e HRMS em plena concordância com àqueles descritos na literatura para este mesmo composto (Tabela 20).¹⁰⁹

Dessa forma, a obtenção estereosseletiva do produto natural (\pm)-Indolizidina 209B foi alcançada, através das reações-chave de alquilação de sistemas piperidínicos e adição de alilestanana à ions N-acilimínio substituídos, em 10 etapas e aproximadamente 7% de rendimento, a partir da glutarimida (Esquema 69), servindo tanto para a aplicação das

metodologias desenvolvidas em nosso laboratório, como para confirmação das atribuições das estereoquímicas relativas propostas no decorrer do processo por técnicas espectroscópicas.



Esquema 69: Obtenção da (\pm)-Indolizidina 209B

Tabela 20: Comparação dos dados espectroscópicos da (\pm)-Indolizidina 209B com a literatura^a

Análise	Dados obtidos para a (\pm)-Indolizidina 209B	Dados da Literatura ¹⁰⁹
¹ H-RMN	3,27 (dt, $^3J=8,8$ e $1,9$ Hz, 1H), 1,80-2,05 (m, 3H), 1,60-1,80 (m, 5H), 1,15-1,60 (m, 11H), 0,95 (ddt, $^3J=13,4$; 11,8 e 4,3Hz, 1H), 0,88 (t, $^3J=6,8$ Hz, 1H), 0,85 (d, $^3J=6,4$ Hz, 3H)	3,27 (dt, $^3J=8,7$ e $1,2$ Hz, 1H), 1,80-2,02 (m, 3H), 1,57-1,79 (m, 5H), 1,14-1,55 (m, 11H), 0,95 (ddt, $^3J=13,5$; 11,7 e 4,4Hz, 1H), 0,88 (t, $^3J=7,0$, 3H), 0,86 (d, $^3J=7,0$ Hz, 3H)
¹³ C-RMN	71,4; 63,6; 51,8; 36,4; 33,6; 32,2; 31,1; 29,0; 25,5; 22,6; 20,3; 18,9; 14,0	71,5; 63,7; 51,9; 36,6; 34,7; 33,9; 32,4; 31,3; 29,2; 25,6; 22,7; 20,5; 19,0; 14,1
IV (filme)	2955, 2926, 2871, 2856, 2777, 2700, 1732, 1457, 1376, 1331, 1287, 1260, 1244, 1165, 1132, 1112, 1083	2956, 2929, 2860, 2777, 2701, 2444, 2361, 1341, 1458, 1377, 1332, 1243, 1220, 1166, 1133, 1113, 1087, 1034, 921, 892
HRMS ^b	209,2142	209,2143

^atodas análises de RMN utilizaram CDCl₃ como solvente; ^bvalor calculado: 209,2142

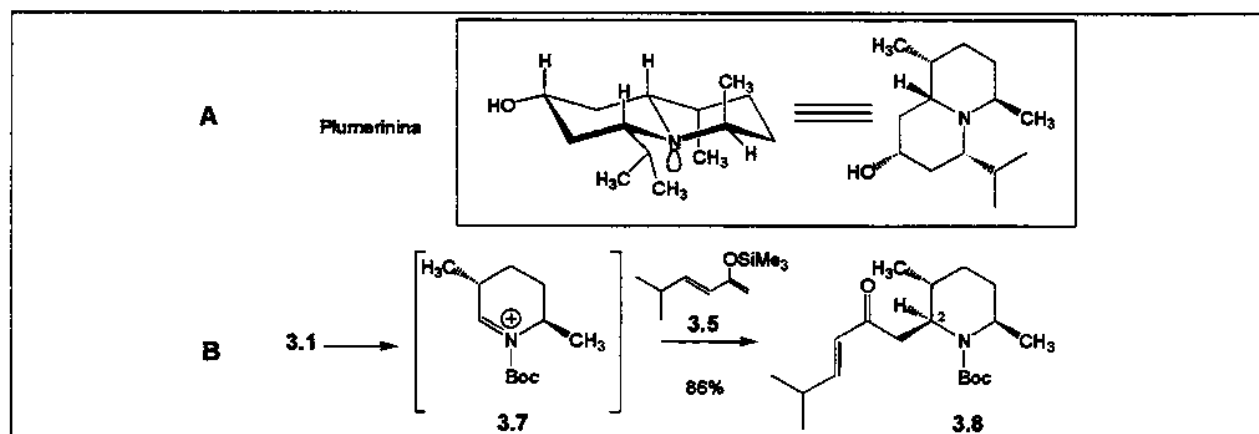
4.4 Formação de Sistemas Quinolizidínicos: Síntese dos epímeros em C-2 e C-4 da (±)-Plumerinina

4.4.1 Introdução

A Plumerinina é um alcalóide isolado do caule de exemplares da planta ornamental *Plumeria Rubra* (Apocynaceae), encontrada no sudeste asiático (particularmente no Paquistão e Índia) e que tem como reputação apresentar propriedades purgativas, diuréticas e anti-tuberculose, sendo também usada como remédio para reumatismo, diarréia, sífilis e outras doenças.¹¹² O isolamento do alcalóide na forma de um óleo marrom claro, permitiu a sua caracterização por HRMS, apresentando o pico ión molecular para a composição C₁₄H₂₇NO [M⁺ (m/z) calculado: 225,2094; obtido: 225,2078]. Por sua vez o espectro de IV mostrou, entre outras, uma banda forte em 3650 cm⁻¹ (hidroxila) e bandas de Bohlmann em 2820 e 2720 cm⁻¹, indicando a presença de um sistema quinolizídico com fusão de anéis *trans*. As análises por espectrometria de massas também confirmam a presença de grupos álcool pela perda de H₂O (m/z: 207), assim como de um grupo isopropila (m/z: 182).

A estrutura e estereoquímica dos centros quirais foram também atribuídas com base em estudos de RMN, onde os hidrogênios H-2 (carbinólico), H-4 e H-9a (cabeça de ponte) foram atribuídos como estando posicionados axialmente, enquanto que H-6 e H-9 posicionam-se equatorialmente, deixando as metilas em posição axial no sistema quinolizídico (Esquema 70-A).

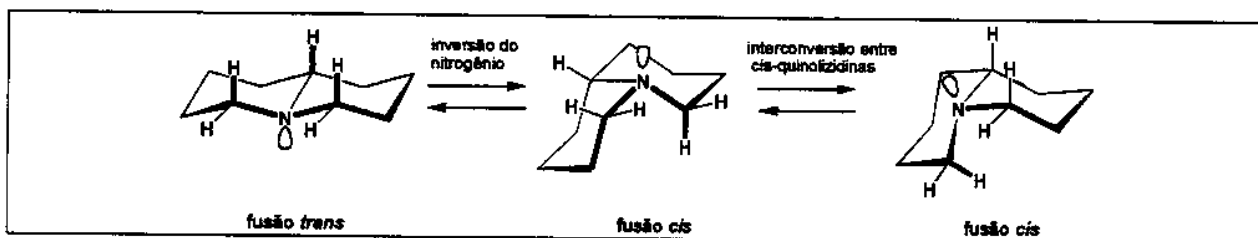
O objetivo inicial deste projeto estava baseado na obtenção estereosseletiva de piperidinas substituídas, que poderiam levar a sistemas quinolizídicos via reações de Michael intramolecular, de maneira similar a trabalhos anteriores já desenvolvidos em nosso laboratório para sistemas com menor grau de substituição.¹⁴ Dessa forma foi proposto que o alcalóide Plumerinina poderia ser alvo sintético, pelo padrão de substituição apresentado e por não ter sido objeto, pelo que temos conhecimento, de nenhuma síntese até então.



Esquema 70: Relação epimérica em C-2 entre 3.8 e a Plumerinina

Porém, foi observada que a adição do sililenoletéter 3.5 ao íon N-acilimínio 3.7 levava ao epímero em C-2 do intermediário-chave 3.8 na proposta de síntese para o produto natural Plumerinina¹¹² (Esquema 70-B). Mesmo assim foi proposta a continuidade destes estudos visando a obtenção e o estudo de outros sistemas quinolizidínicos.

Neste tipo de sistema é possível a livre interconversão das quinolizidinas em seus conformeros de fusão *trans* e *cis* entre os anéis e, dentre estas possibilidades, estimou-se que a conformação com fusão *trans* pode ser até 4 kcal/mol mais estável que as de fusão *cis* (Esquema 71)¹²¹.

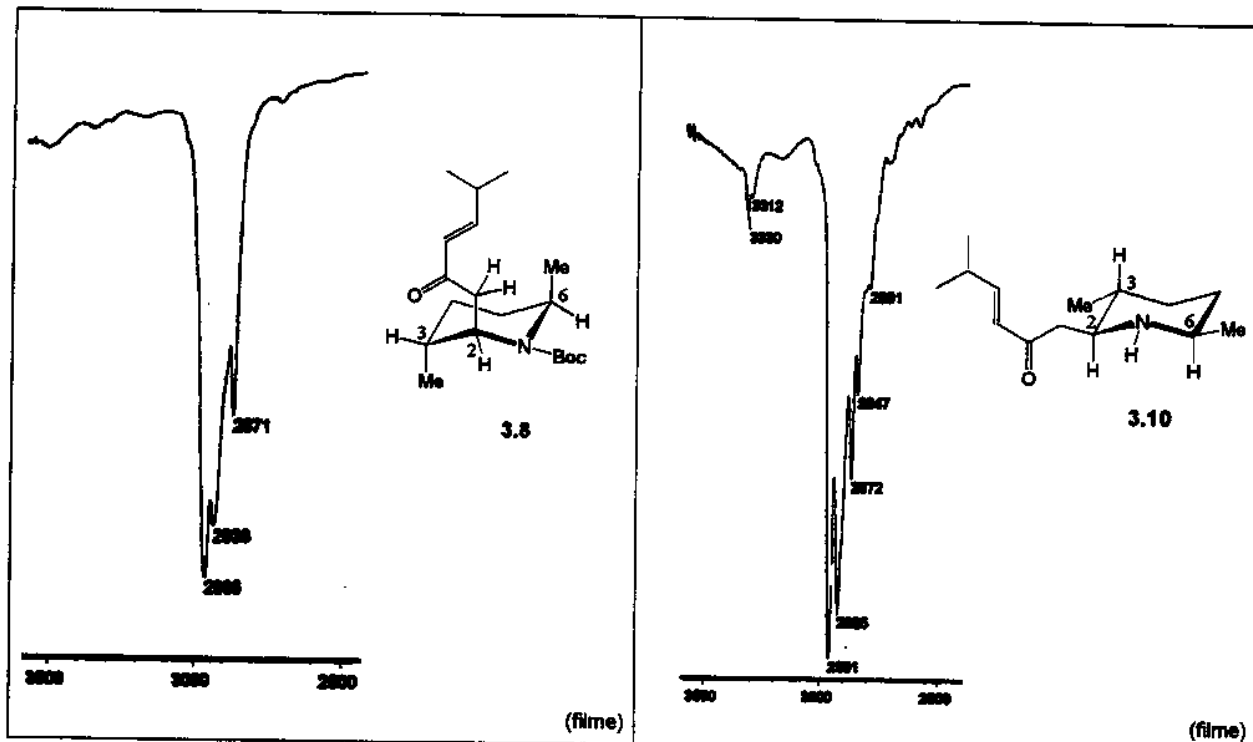


Esquema 71: Possível interconversão entre sistemas quinolizidínicos.

A primeira correlação entre a conformação preferencial adotada pelo sistema (tipo de fusão de anel) e o aparecimento de bandas nos espectros de IV entre 2800-2700 cm⁻¹ foi feita por Wenkert e colaboradores, mas logo a seguir Bohlmann e colaboradores, estudando um grande número de alcalóides contendo núcleos quinolizidínicos propõem que o aparecimento de tais bandas é devido à presença de ligações C-H axiais, α ao nitrogênio e *trans* em relação ao par de elétrons não ligante.¹²²

Dessa forma, a análise desta região do espectro de infravermelho tem sido utilizada amplamente na elucidação dos centros estereogênicos de um grande número de sistemas nitrogenados, inclusive para os sistemas que são tratados neste trabalho, como as piperidinas (sistemas monocíclicos), decaidroquinolinas, indolizidinas e quinolizidinas (sistemas bicíclicos).

A análise dos espectros de infravermelho de todas as piperidinas trissubstituídas obtidas através da adição de nucleófilos de carbono a íons N-acilimínio substituídos e atribuídas, com base em técnicas de RMN, como tendo a estereoquímica relativa *cis* entre os centros C-2 e C-6, mostra que somente nos produtos desprotegidos são observadas bandas de Bohlmann. A ausência destas bandas nos produtos protegidos no nitrogênio com o carbamato *tert*-butílico vem de encontro à proposta de posicionamento axial dos grupos volumosos do anel, em decorrências de interações alílicas A^(1,3), que deixariam de existir nos respectivos produtos desprotegidos. A desproteção deve favorecer um posicionamento equatorial dos grupos mais volumosos, resultando num posicionamento *trans*-dialixial dos hidrogênios H-2 e H-6 em relação ao par de elétrons do nitrogênio e levando à formação de bandas de Bohlmann nos espectros de IV (exemplo para piperidinas 3.8 e 3.9 no Esquema 72).

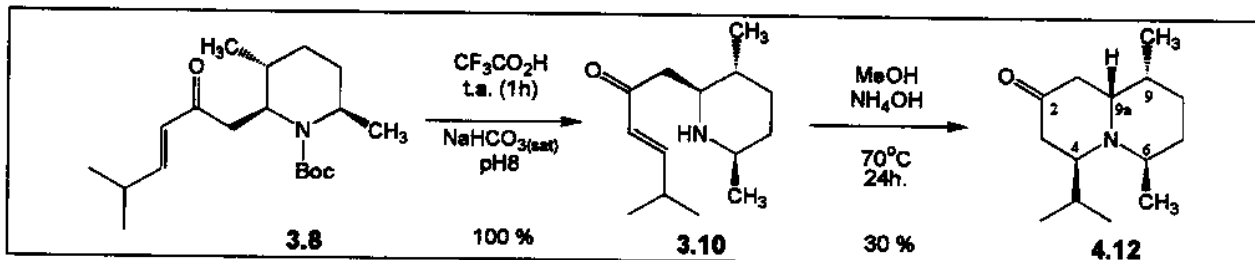


Esquema 72: Espectros de infravermelho de 3,8 e 3,10

Outras técnicas são utilizadas para a análise conformacional de compostos quinolizidínicos, como ^{13}C -RMN¹²³ e estudos de nOe-diferencial¹²⁴, e a combinação de todas é que parece ser a abordagem mais confiável para a determinação da conformação predominante desses sistemas.

4.4.2 Resultados

Para iniciar os estudos de ciclização via reação de Michael intramolecular a piperidina 3.10, obtida quantitativamente após desproteção de 3.8, foi submetida a várias condições experimentais tradicionalmente utilizadas para estas reações,¹²⁵ que variaram de diversas bases, como NH₄OH, KOH e NaHCO₃ e ácidos de Lewis, como triflatos de lantanídeos¹²⁶ (Tabela 21), mas que não levaram a bons rendimentos no isolamento de produtos ciclizados. Estes resultados preliminares mostraram que a melhor condição encontrada [NH₄OH/MeOH (1:1 em volume)] leva ao isolamento de 4.12 em 30% de rendimento (Esquema 73).¹²⁷



Esquema 73: Obtenção da quinolizidinona 4.12

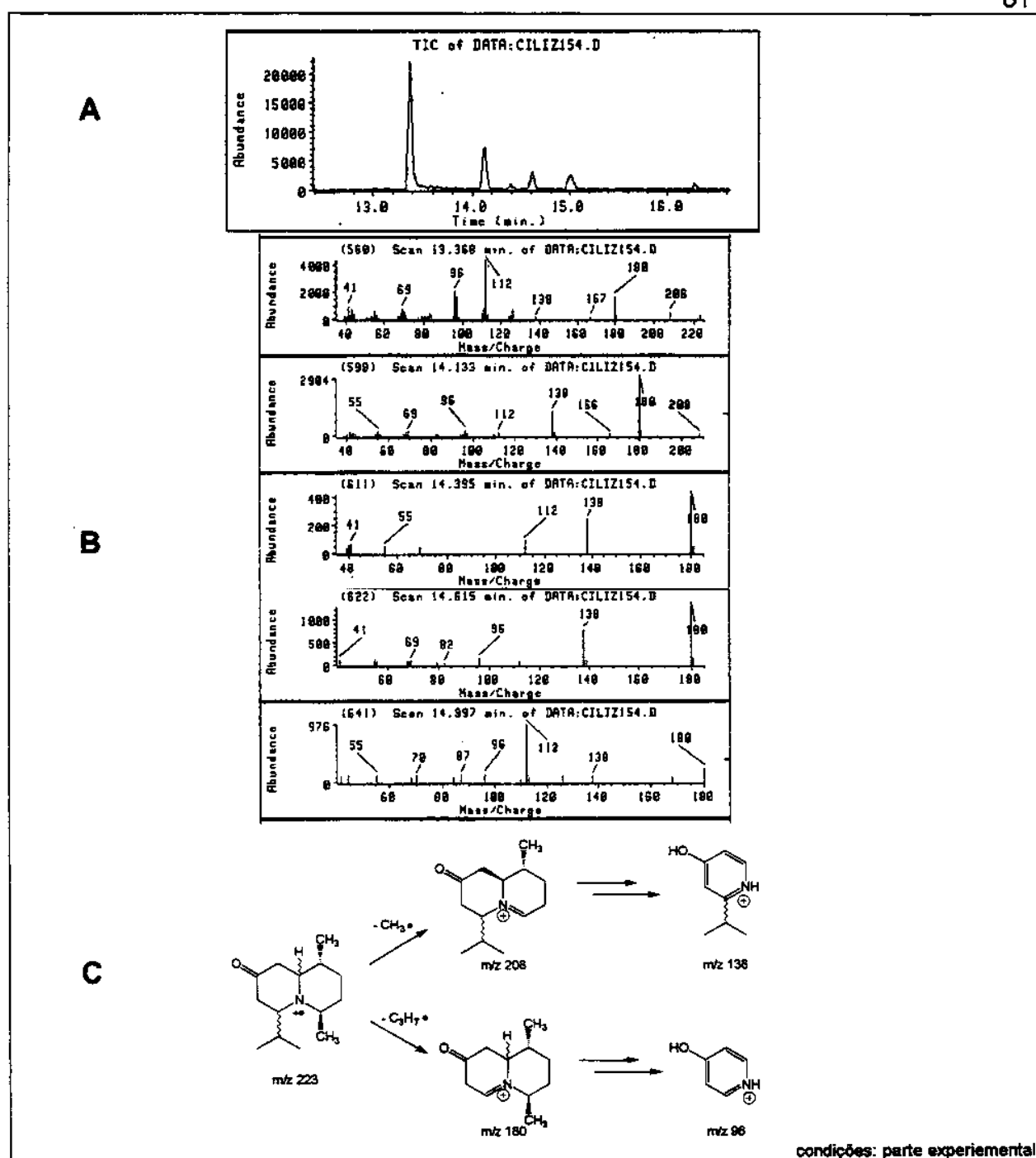
Tabela 21: Testes de ciclização intramolecular na formação de sistemas Quinolizidínicos

Entrada	Reagentes	Temperatura	Tempo (dias)	Rendimento (%)
1	NH ₄ OH/MeOH (1:1)vol.	60°C	6	30
2	NH ₄ OH/MeOH (1:1)vol.	t.a.	2	-
3	KOH/MeOH	t.a.	2	-
4	MeOH	t.a. - 60°C	10 + 5	10
5	K ₂ CO ₃ /MeOH	t.a.	14	20
6	DBU/MeOH (1 eq.)	t.a.	1	-
7	NaHCO _{3(sat)} /CH ₂ Cl ₂ (1:1)vol.	t.a.	5	-
8	Sm(OTf) ₃ /CH ₂ Cl ₂ (0,1 eq.)	t.a.	5	-
9	Yb(OTf) ₃ /CH ₂ Cl ₂ (0,1 eq.)	t.a.	5	-
10	Yb(OTf) ₃ /THF (0,2 eq.)	t.a.	7	-
11	Al ₂ O ₃ /MeOH	t.a.	14	20

O mais importante em todos os testes realizados visando a obtenção dos sistemas quinolizidínicos foi a observação da presença de vários produtos de ciclização e/ou equilíbrio presentes no meio reacional. Essa presença pode ser confirmada através da realização de análises por CG/EM, mostrando que os vários picos obtidos tem fragmentação praticamente idêntica e coerente com a estrutura proposta para o sistema quinolizídínico. O Esquema 74 mostra um cromatograma típico (A) (obtido através das condições da Tabela 21—entrada 1), os espectros de massa dos picos presentes (B) e uma proposta de fragmentações que este sistema quinolizidínico pode estar sofrendo (C). O sinal mais intenso observado no cromatograma e com menor tempo de retenção corresponde ao reagente 3.10 e os posteriores correspondem a 4.12 ($t_r=14,1$ min.) e aos outros produtos formados ($t_r=14,4; 14,6; 15,0; 16,2$ min.).

A partir destes resultados preliminares e da identificação e isolamento de produtos em baixos rendimentos, iniciamos novos testes em sistemas fechados, visando evitar a perda de solvente e reagentes voláteis. Para isto as reações foram todas conduzidas em tubos Pírex com tampa de rosca e foram realizados primeiramente com pequenas quantidades de 3.10 (3-5 mg; 0,018 mmol) em 2-3 ml de solvente (faixa de concentração 10^{-2} - 10^{-3} M), procurando-se evitar possíveis reações intermoleculares.

Esses testes puderam ser realizados com relativa facilidade pois o acompanhamento também pode ser feito pela retirada de alíquotas destas reações e análises no cromatógrafo gasoso (FID – condições de injeção diferentes daquelas utilizadas na análise de CG/EM no Esquema 74), fornecendo dados esclarecedores a respeito do consumo de reagente (tempo de retenção 8,7 min.) e o andamento da reação através da formação dos produtos (9,0; 9,2; 9,4 min., etc...).



Esquema 74: Análises por CG/EM das ciclizações via reação de Michael intramolecular

Nas reações em sistemas abertos (Tabela 21) a mistura NH₄OH/MeOH (1:1) em volume, sob aquecimento, mostrou ser a melhor condição para essas ciclizações. Mesmo assim foram testadas outras condições em sistema fechado que poderiam levar a bons resultados. Foi testada a utilização de hexametildissilazana (HMDS) como solvente e também sua combinação com cloreto de trimetilsila (Cl-TMS), buscando uma possível sililação do nitrogênio e aumento de sua nucleofilicidade.¹²⁸ Além disso testamos, da mesma forma que em sistemas abertos, a utilização de triflatos de lantanídeos (triflato de itérbio III) na tentativa de aumentar a

eletrofilicidade da dupla α,β -insaturada pela coordenação do lantanídeo ao oxigênio da carbonila.¹²⁶ Porém, como mostram os dados da Tabela 22, os resultados não foram satisfatórios e essas abordagens foram descartadas.

Tabela 22: Testes de ciclização intramolecular na formação de sistemas Quinolizídnicos:

Sistemas Fechados

Entra- da	Condições Testadas	Temp.	Tempo	Produtos Obtidos (% relativa da integração obtida no CG)*							
				reagente	9,0	9,2	9,5	9,8	10,3	10,4	10,8
					min	min	min	min	min	min	min
1	HMDS	t.a.	24 h.	100	-	-	-	-	-	-	-
2	HMDS / Cl-TMS	t.a.	24 h.	100	-	-	-	-	-	-	-
3	HMDS / Cl-TMS	55 °C	24 h.	6	2	20	19	17	31	9	19
4	Yb(OTf) ₃ /EtOH	t.a.	14 h.	93	3	3	1	-	-	-	-
5	Yb(OTf) ₃ /EtOH	55 °C	24 h.	59	17	9	10	5	-	-	-
6	Yb(OTf) ₃ /THF/H ₂ O	t.a.	14 h.	100	-	-	-	-	-	-	-
7	Yb(OTf) ₃ /THF/H ₂ O	55 °C	24 h.	80	7	8	5	-	-	-	-
8	Yb(OTf) ₃ /CH ₃ NO	ta-100°C	48 h.	100	-	-	-	-	-	-	-

* Os valores destas colunas correspondem à porcentagem da integração dos picos obtidos nos cromatogramas gasosos de cada condição testada, onde cada coluna corresponde a um composto identificado pelo seu tempo de retenção (reagente que sobra na reação: 3.10 tr=8,7 e produto 4.12 tr=9,0;)

Condições da análise cromatográfica: gás de arraste: N₂; detetor: FID; Temperatura injetor=detetor=250°C; Tempo inicial: 1 min.; Taxa de aquecimento: 5°C/min; Temperatura final: 150°C; Tempo final: 0 min.; Taxa de aquecimento A:20°C/min; Temperatura final A: 250°C; Tempo final A:10 min.; coluna HP-5-semi-capilar).

Tabela 23: Testes de ciclização intramolecular na formação de sistemas Quinolizídnicos:

Sistemas Fechados com NH₄OH/ROH (1:1)

En- tra- da	Condições Testadas	Temp (°C)	Tempo	Produtos Obtidos (% relativa da integração obtida no CG)*							
				reagente	9,0	9,2	9,5	9,8	10,3	10,4	10,8
					min	min	min	min	min	min	min
1	NH ₄ OH/MeOH (1:1)vol.	100	18 h.	-	-	-	10	90	-	-	-
2	NH ₄ OH/MeOH (1:1)vol.	t.a.	2 dias	65	17	8	8	-	-	-	-
3	NH ₄ OH/PrOH (1:1)vol.	100	18 h.	3	13	17	-	8	57	-	2
4	NH ₄ OH/MeOH (1:1)vol.	55	24 h.	43	37	12	5	1	-	-	2
5	NH ₄ OH/MeOH (1:1)vol.	55	38 h.	31	43	14	6	5	-	-	-
6	NH ₄ OH/MeOH (1:1)vol.	55	3 dias	34	28	15	5	10	5	-	3
7	NH ₄ OH/MeOH (1:1)vol.	55	6 dias	17	17	14	-	24	7	21	-
8	NH ₄ OH/MeOH (1:1)vol.	95	1 h.	36	36	13	6	5	4	-	-
9	NH ₄ OH/MeOH (1:1)vol.	95	2 h.	37	33	11	5	4	10	-	-
10	NH ₄ OH/MeOH (1:1)vol.	95	7 ½ h.	-	-	-	-	77	-	23	-
11	NH ₄ OH/MeOH (1:1)vol.	100	1 h.	22	39	17	22	-	-	-	-
	NH ₄ Cl										
12	NH ₄ OH/MeOH (1:1)vol.	80	3 h.	7	48	-	-	45	-	-	-

* Os valores destas colunas correspondem à porcentagem da integração dos picos obtidos nos cromatogramas gasosos de cada condição testada, onde cada coluna corresponde a um composto identificado pelo seu tempo de retenção (reagente que sobra na reação: 3.10 tr=8,7 e produto 4.12 tr=9,0;)

Condições da análise cromatográfica: idem Tabela 22

Como nos testes preliminares os melhores resultados tinham sido obtidos com a reação de ciclização utilizando uma mistura NH₄OH/MeOH, (1:1), resolvemos testar também este meio reacional em sistemas fechados.

Foi testada também (Tabela 23 - entrada 3) a substituição de metanol por isopropanol (PrOH), na tentativa de evitar a formação de produtos laterais, já que o uso de um álcool mais volumoso poderia inibir possíveis ataques desses solventes à dupla eletrofílica, mas não foi observada nenhuma melhora significativa com essa alteração.

A partir dos dados da Tabela 23 observa-se que essa reação, quando realizada em sistema fechado, com NH₄OH/MeOH (1:1) em volume, leva às melhores taxas de conversão até então obtidas. Porém as variáveis tempo e temperatura de reação também mostraram fundamental importância para o processo.

À temperatura ambiente (entrada 2) a reação transcorre com conversão muito lenta para produtos e atinge-se um ponto onde não se observa mais nenhum progresso. Aquecendo-se a amostra a 55-60 °C (entradas 4-7) há uma rápida evolução na reação, ao ponto de se observar após somente 3 horas, situações que demorariam dias para serem alcançadas à temperatura ambiente. Porém, mantendo-se essa temperatura há também uma relativa paralisação da reação, com o discreto surgimento de outros compostos.

Porém quando promove-se o aquecimento da amostra entre 90 e 100 °C é que pode-se observar as grandes alterações no sistema. Em um primeiro teste com tempo mais prolongado (18 horas: entrada 1) há um total consumo do reagente e o aparecimento de um sinal no cromatograma gasoso, com tempo de retenção de 9,8 minutos, que não era detectado em condições mais brandas de reação ou em condições similares e desenvolvidas em sistemas abertos (como nos refluxos utilizados nas condições da Tabela 21). A análise por CG/EM indica uma fragmentação coerente desse novo composto com a obtenção de um isômero de 4.12.

Nota-se que, deixando-se a reação a 100°C por somente 1 hora (entrada 8) que o produto majoritário, com tempo de retenção de 9,0 min., é a quinolizidinona 4.12, obtida também majoritariamente em condições mais brandas. Porém observa-se também a formação de um possível isômero ($t_r=9,8$ min.) e sobras de reagente.

Por fim, se este sistema é fechado novamente após esta análise cromatográfica e o aquecimento é mantido por mais tempo, nota-se um progressivo desaparecimento dos produtos com tempo de retenção menores e o surgimento de outros picos com tempos de retenção maiores, com o composto com $t_r=9,8$ minutos sendo o majoritário nessas condições. Esse comportamento reacional sugere a ocorrência de uma interconversão envolvendo estes compostos quinolizídnicos.

Porém, mesmo após o desenvolvimento de todos estes testes visando a otimização das reações de ciclização só foi possível isolar 4.12 em quantidades suficientes para realizar as

análises espectroscópicas. Tentativas de purificação e isolamento de outros isômeros observados nas análises por CG não foram bem sucedidas.

Da mesma forma, a aplicação das metodologias que se mostravam mais promissoras, como, por exemplo, a reação com NH₄OH/MeOH em sistemas fechados, aquecimento a 100°C por períodos relativamente curtos de tempo (Tabela 23 - entrada 12), não forneceu o isolamento das quinolizidinonas em melhores rendimentos em relação aos obtidos inicialmente (~30%). Trabalhos da literatura também registram comportamentos desse tipo, onde condições drásticas demais levam a decomposição de sistemas similares ao nosso¹²⁹.

4.4.3 Caracterização da quinolididinona 4.12

Desde as primeiras reações de ciclização que levaram ao isolamento da quinolizidinona 4.12 como isômero majoritário (Esquema 73), haviam algumas dúvidas quanto à atribuição de sua estereoquímica relativa. Estas dúvidas estavam baseadas principalmente na ausência de bandas de Bohlmann evidentes no espectro de IV, indicando que uma fusão de anel *cis* poderia estar contribuindo majoritariamente para a conformação da molécula ou que, pela estereoquímica relativa dos centros vizinhos ao nitrogênio, o sistema não apresentava hidrogênios *trans* ao par de elétrons do nitrogênio. Porém, as análises preliminares de ¹H-RMN, baseadas em irradiações seletivas e medidas de constantes de acoplamento, indicavam que o mais provável seria uma fusão *trans* de anéis no sistema quinolizidínico.

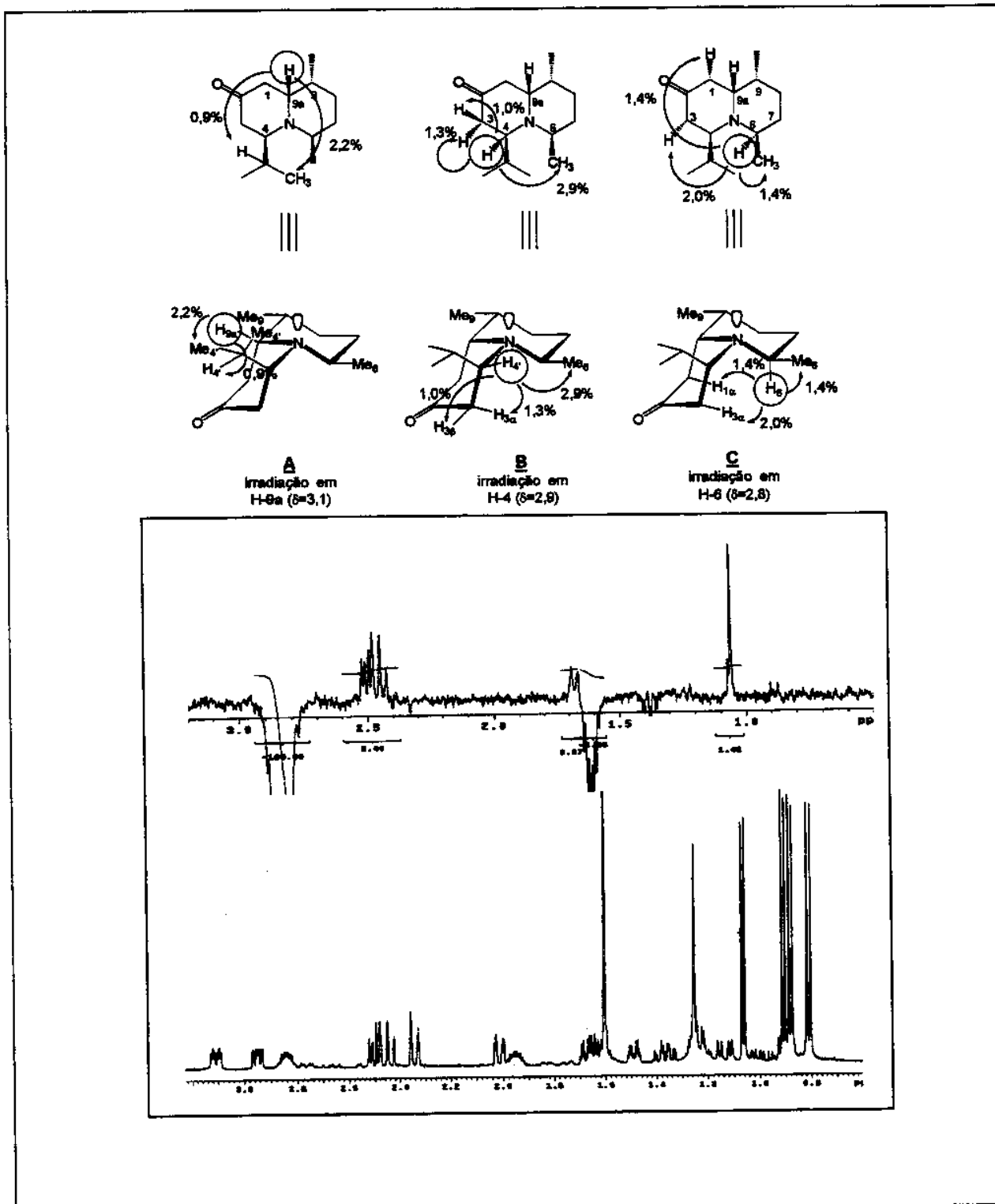
Para resolver este impasse foram realizados estudos espectroscópicos com 4.12 através de uma série de experimentos de nOe (NOESY-1D), irradiando-se os 3 hidrogênios α ao nitrogênio do sistema quinolizidínico (Esquema 75; A, B e C).

Em C foi observado um incremento nos hidrogênios H-3 e H-1 (α à carbonila) através da irradiação em H-6, que só pode ser explicado se tiver havido epimerização no centro 9a em relação ao reagente 3.10, colocando H-3 e H-1 próximos a H-6 (Esquema 75). Com este forte argumento em favor de uma epimerização neste centro passamos a considerar que 4.12 teve a estereoquímica invertida em C-9a em relação ao reagente utilizado 3.10. A partir dessa análise todos os dados espectroscópicos convergiram para uma mesma estrutura, com fusão de anel *cis* (atendendo também aos resultados obtidos por IV) e coerentes com os dados de nOe.

Também foram realizados espectros de nOe com o sais hidrocloreto (4.12.HCl) e trifluoroacetato (4.12.CF₃CO₂H) deste composto, confirmando esta mesma atribuição e estereoquímica.

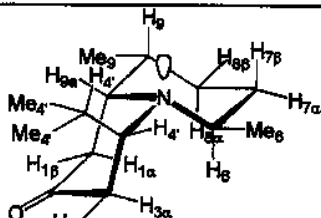
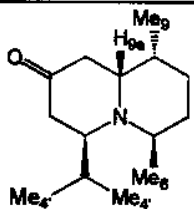
Esse mesmo padrão conformacional é proposto por Lounasmaa (Esquema 79-A) pelas irradiações no hidrogênio cabeça de ponte (H-9a em nosso caso) e observação de incrementos na posição em C-4 axial (na isopropila em nosso caso) e nenhum incremento em substituintes de C-6.¹²⁴

Essa interpretação também só foi possível após a completa atribuição de todos os sinais de hidrogênio e carbono através de experimentos de RMN em 2 dimensões: Cosy(Esquema 76) e Hetcor (Esquema 77).



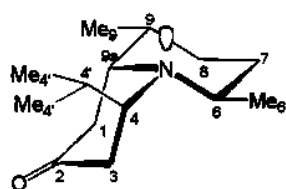
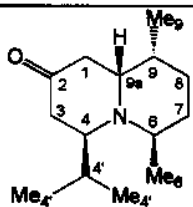
Esquema 75: Principais incrementos de nOe observados para H-9a (A), H-4 (B) e H-6 (C).

Espectro de ^1H -RMN e Irradiação C (2,8 ppm-H-6) na quinolizidinona 4.12



δ (ppm)	Atribuição (H)	correlações com (ppm)
3,11	H9a	2,45 (H1 α)
2,94	H4	2,95 (H3 α); 1,60 (H4')
2,84	H6	1,00 (Me6); 1,35 (H7 α)
2,50	H3 α	2,35 (H3 β); 2,94 (H4)
2,45	H1 α	2,00 (H1 β)
2,35	H3 β	2,50 (H3 α)
2,00	H1 β	2,45 (H1 α)
1,95	H9	0,80 (Me9); 1,22 (H8 α)
1,65	H7 β	1,35 (H7 α)
1,60	H4'	0,90 (Me4'); 2,94 (H4)
1,48	H8 β	1,22 (H8 α)
1,35	H7 α	1,65 (H7 β)
1,22	H8 α	1,48 (H8 β); 1,95 (H9)
1,06	Me6	2,84 (H6)
0,90	Me4'	1,60 (H4')
0,80	Me9	1,95 (H9)

Esquema 76: Atribuição da quinolizidinona 4.12 por COSY

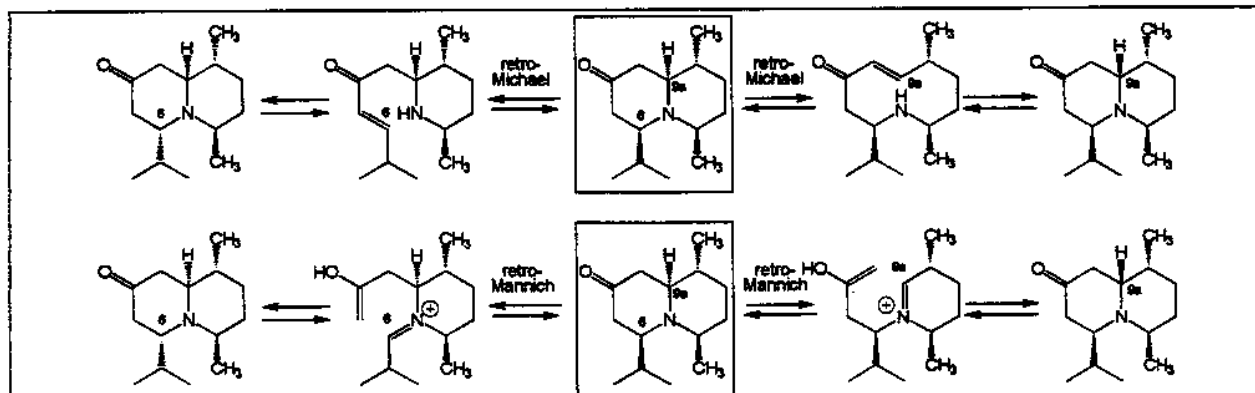


δ (ppm)	Atribuição (C)	correlações com H (ppm)
62,7	4	2,94
56,7	9a	3,11
46,7	6	2,84
38,3	3	2,35; 2,50
36,4	1	2,00; 2,45
35,7	7	1,35; 1,65
34,1	9	1,95
28,8	4'	1,60
27,5	8	1,22; 1,48
21,2	Me6	1,06
20,7	Me4'	0,90
19,8	Me4'	0,90
18,5	Me9	0,81

Esquema 77: Atribuição da quinolizidinona 4.12 por HETCOR

4.4.4 Epimerização de sistemas quinolizidínicos

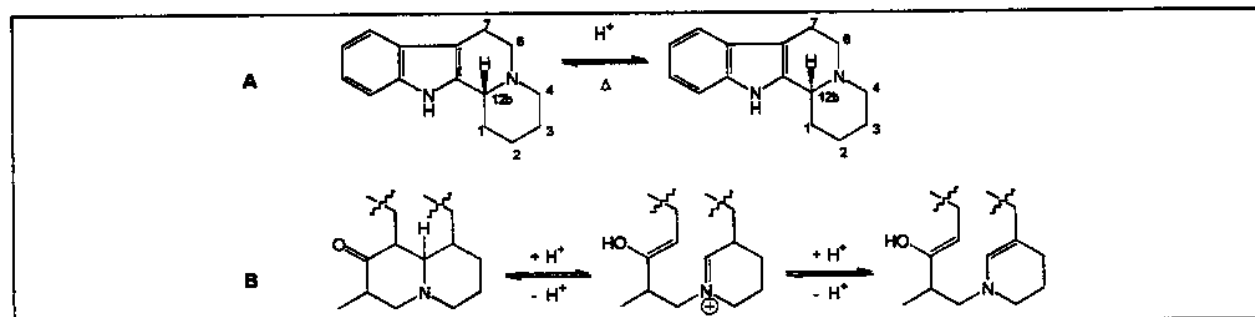
A observação que mais de um produto quinolizídico está se formando no meio reacional e o isolamento do produto majoritário com estereoquímica invertida em C-9a em relação ao reagente utilizado, indica claramente que o isolamento de 4.12 ocorre após um mecanismo tipo retro-Michael ou retro-Mannich, onde sistemas quinolizidínicos já fechados, formados cineticamente no meio reacional, quando submetidos à condições mais drásticas (temperatura, reagentes ácidos ou básicos) poderia se abrir novamente e inverter a estereoquímica relativa dos centros em C-6 e C-9a (Esquema 78).



Esquema 78: Mecanismos retro-Michael e retro-Mannich na possível epimerização em C-6 e 9a

Este comportamento é descrito em alguns trabalhos da literatura onde é conhecido que o hidrogênio da cabeça de ponte para sistemas indolo-quinolizidínicos (que faz parte do esqueleto de uma grande série de alcalóides) pode ser epimerizado por bases e ácidos (Esquema 79- A)¹²³. Trabalhos recentes mostram comportamento similar para alcalóides como a petrosina^{130,129} e isosaraina-1.¹³¹

A síntese de Heathcock e colaboradores para a petrosina e seus isômeros¹²⁹ se utiliza da possibilidade de epimerizações e não se preocupa com o controle prévio dos centros dos anéis quinolizidínicos, pois as condições de equilíbrio, baseadas em sucessivas reações de Mannich e retro-Mannich e equilíbrio entre íons imínio e enaminas (Esquema 79- B) levam à estereoquímica desejada no final da síntese através do produto termodinamicamente mais estável.



Esquema 79: Equilíbrios em sistema quinolizidínico

4.4.5 Análise conformacional de quinolizidinonas por métodos de química computacional

A discussão dessas equilizações passa necessariamente pelos fatores que podem levar um isômero a ser termodinamicamente mais estável que os outros. Nesse contexto a utilização de química computacional tem um papel importante, podendo levar a indicações de quais, dentre os possíveis produtos, são os mais estáveis, permitindo avaliar com mais segurança as chances de equilíbrio entre eles.

Tanto Heathcock¹²⁹ como Lounasmaa¹²³ utilizaram cálculos de mecânica molecular para tentar prever ou explicar os resultados experimentais nos respectivos contextos de equilíbrio reacional. Lounasmaa tenta explicar porque certos compostos não adotam uma junção de anel *cis* ou *trans* bem definida em sistemas quinolizídicos, atribuindo este comportamento à pequena diferença calculada entre as duas conformações. Já Heathcock e colaboradores vão mais além e realizam os cálculos para todos os possíveis isômeros de um sistema quinolizídico modelo, descobrindo que aquele que corresponde à estereoquímica do produto natural de interesse é o mais estável e portanto deve ser o produto majoritário numa situação de equilíbrio (o que é posteriormente confirmado experimentalmente).

Da mesma forma descrita por Heathcock e colaboradores desenvolvemos um estudo computacional amplo, avaliando quais seriam as conformações mais prováveis dos sistemas quinolizídicos formados na reação de Michael intramolecular. Para isto conduzimos uma série de cálculos, utilizando o programa Gaussian 98W, com métodos de mecânica molecular (UFF e Dreiding), semi-empíricos (AM1 e PM3) e *ab initio* (STO-3G e 3-21G).

A metodologia utilizada envolve cálculos para quatro possíveis epímeros nos centros C-9a e C-4 (possíveis de epimerização). Para cada epímero foi calculada a energia relativa da conformação com os anéis em fusão *trans* e também para as duas conformações possíveis com fusão de anéis *cis*. Os resultados obtidos para a quinolizidinona 4.12 e de seus epímeros em C-9a e C-4 4.13, 4.14 e 4.15 estão representados do Esquema 80 até Esquema 83, respectivamente.

Para chegar a estes resultados primeiramente foi realizada uma análise conformacional utilizando-se cálculos de mecânica molecular. Cada epímero foi analisado em várias conformações, variando-se uma série de ângulos diedros dos grupos com maior grau de liberdade (principalmente a isopropila) em busca das conformações de menor energia. É interessante destacar que, em alguns casos, conformações do tipo barco foram energeticamente favorecidas em relação às correspondentes conformações cadeira (no epímero 4.14 com fusão de anéis *trans*, por exemplo)

Após esta busca inicial, os sistemas otimizados por mecânica molecular foram submetidas também a cálculos de otimização de geometria por métodos semi-empíricos. No Esquema 84 até o Esquema 87 estão representadas graficamente as conformações mais

estáveis para cada epímero e suas diferenças de energia relativas calculadas por métodos de mecânica molecular e semi-empíricos.

Quinolizidinona	Conformação	Conformação	Conformação
Método de Cálculo	(kcal/mol)	(kcal/mol)	(kcal/mol)
UFF	19,8	0	14,2
Dreiding	12,0	0	10,2
AM1	5,6	0	4,8
PM3	4,6	0,3	5,5

Esquema 80: Resultados de cálculos para quinolizidinona 4.12 (energia relativa)

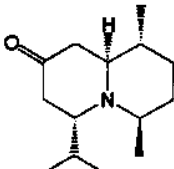
Quinolizidinona	Conformação	Conformação	Conformação
Método de Cálculo	(kcal/mol)	(kcal/mol)	(kcal/mol)
UFF	2,8	7,4	11,2
Dreiding	1,8	6,6	2,7
AM1	2,0	4,0	6,1
PM3	1,9	3,3	5,8

Esquema 81: Resultados de cálculos para quinolizidinona 4.13 (energia relativa)

Quinolizidinona	Conformação	Conformação	Conformação
Método de Cálculo	(kcal/mol)	(kcal/mol)	(kcal/mol)
UFF	10,0	7,5	10,8
Dreiding	12,9	5,0	5,1
AM1	6,9	2,9	0,6
PM3	7,1	2,3	0,5

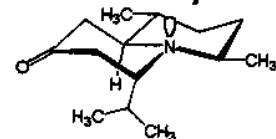
Esquema 82: Resultados de cálculos para quinolizidinona 4.14 (energia relativa)

Quinolizidinona

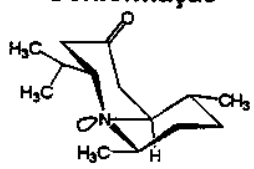


4.15

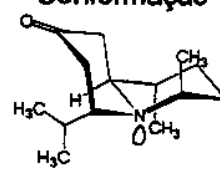
Conformação



Conformação

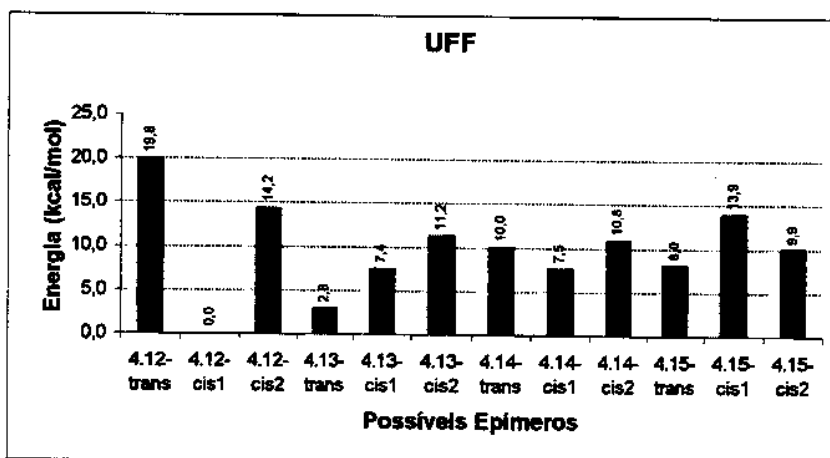


Conformação

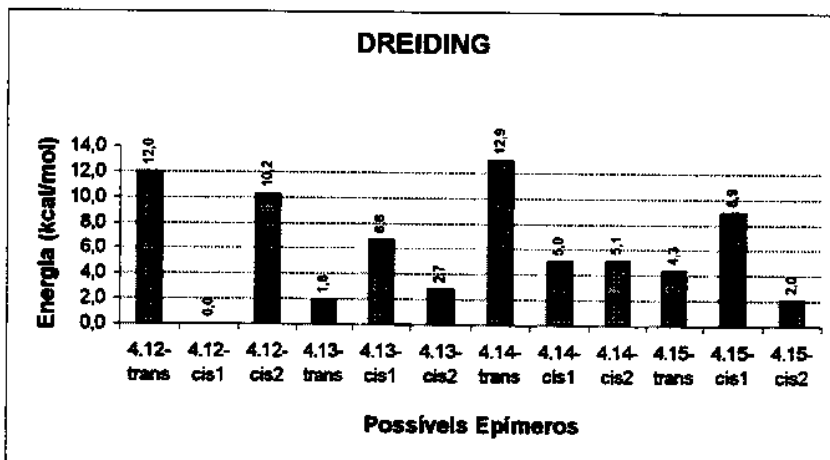


Método de Cálculo	4.15 – trans (kcal/mol)	4.15 – cis1 (kcal/mol)	4.15 – cis2 (kcal/mol)
UFF	8,0	13,9	9,9
Dreiding	4,3	8,9	2,0
AM1	2,4	4,0	0,3
PM3	1,2	3,3	0

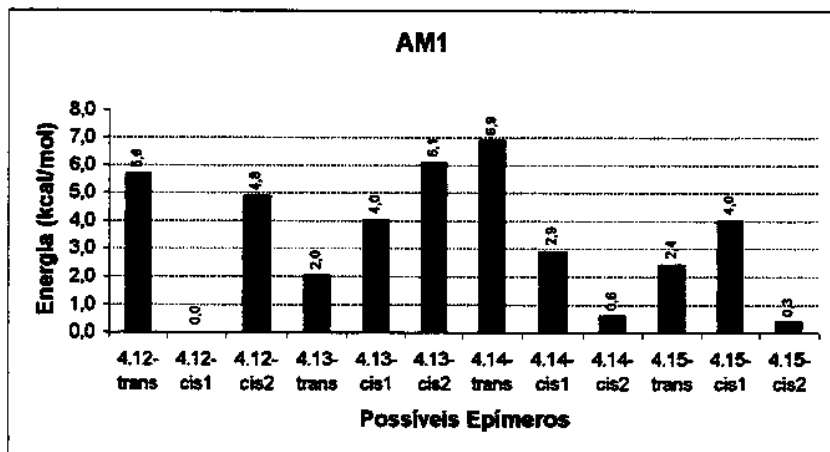
Esquema 83: Resultados de cálculos para quinolizidinona 4.15 (energia relativa)



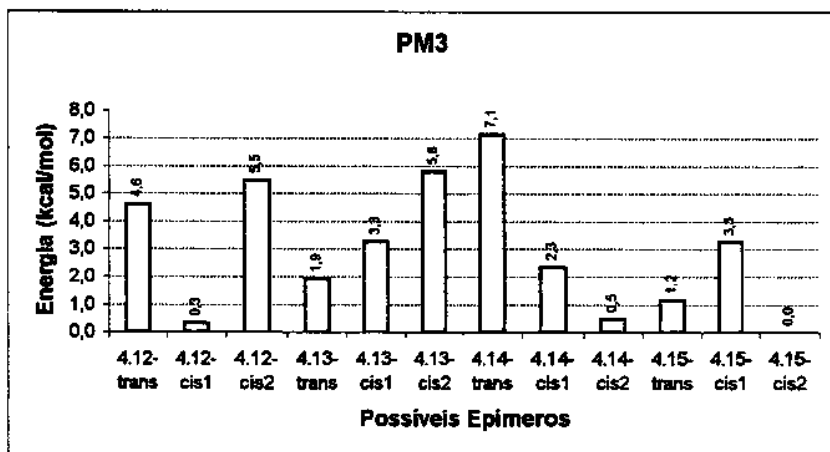
Esquema 84: Resultados de cálculos: mecânica molecular UFF (energia relativa)



Esquema 85: Resultados de cálculos: mecânica molecular Dreiding (energia relativa)

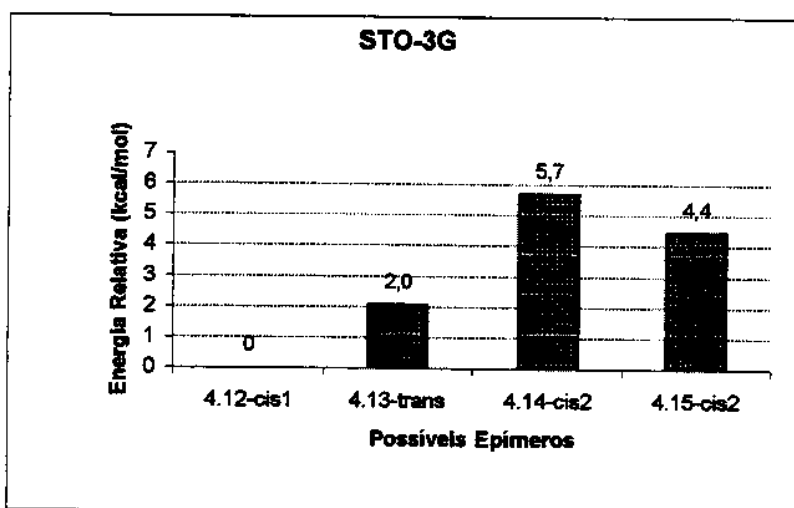


Esquema 86: Resultados de cálculos: semi-empírico AM1 (energia relativa)

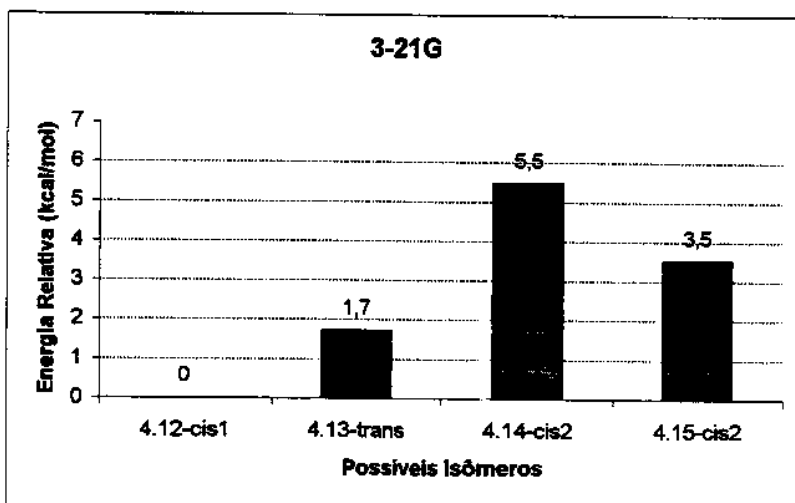


Esquema 87: Resultados de cálculos com método semi-empírico PM3 (energia relativa)

Pode-se notar que, através dos métodos de mecânica molecular, a energia relativa para o epímero 4.12 com fusão cis (Esquema 84 e Esquema 85) é pelo menos 1,8 kcal/mol menor do que a de qualquer outro possível epímero. Porém, os cálculos semi-empíricos de AM1 não apresentam esta diferença tão evidente (< 0,3 kcal/mol), enquanto que os cálculos de PM3 chegam à conclusão de que o epímero 4.15 cis poderia ser o de menor energia relativa. Apesar de Heathcock e colaboradores¹²⁹ terem se baseado somente em cálculos de mecânica molecular em seus estudos com total sucesso, resolvemos utilizar também métodos *ab initio* em cálculos de otimização de geometria, aplicando-os somente aos epímeros que mostraram energias muito similares nos métodos semi-empíricos, visando esclarecer qualquer dúvida a respeito da confiabilidade dos resultados obtidos (Esquema 88 e Esquema 89).



Esquema 88: Resultados de cálculos com método *ab initio* STO-3G (energia relativa)

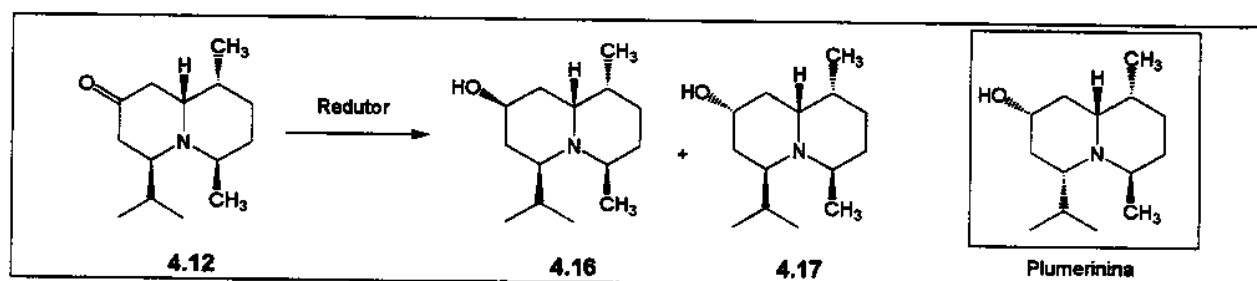


Esquema 89: Resultados de cálculos com método *ab initio* 3-21G (energia relativa)

A análise desses resultados vem de encontro com o observado experimentalmente, isto é, o composto **4.12** é o produto quinolizidínico isolado majoritariamente nas reações de Michael intramolecular e a conformação atribuída a esse composto nas análises de RMN (técnicas de nOe) e IV (ausência de bandas de Bohlmann) coincide com a conformação proposta pela utilização dos cálculos. Além disso, dentre todos os possíveis isômeros e suas diversas conformações, a conformação em particular **4.12-cis1** (Esquema 80) é favorecida em, no mínimo, 1,8 kcal/mol sobre todas as outras (nos cálculos de mecânica molecular) e 1,7 kcal/mol sobre outras conformações pelos cálculos utilizando métodos *ab initio*. Os cálculos por métodos semi-empíricos mostram diferenças de energia muito menores entre os vários epímeros, mostrando que este tipo de cálculo pode não estar levando em conta diferenças estruturais importantes entre os epímeros.

4.4.6 Redução da Quinolizidinona 4.12

Com a obtenção e total atribuição da quinolizidinona 4.12, iniciamos os testes para a redução da carbonila e a obtenção dos epímeros da Plumerinina em C-4 (Esquema 90).



Esquema 90: Redução da quinolizidinona 4.12 e obtenção das hidroxiquinolizidinas 4.16 e 4.17

Os primeiros testes foram realizados pela adição de uma solução de 4.12 em THF a uma suspensão de LiAlH₄/THF, que fomerceu, após 24 horas de reação à temperatura ambiente, uma mistura de 1,2:1 de dois produtos de redução em 49% de rendimento (Tabela 24-entrada 1).

Na tentativa de melhorar a seletividade em favor de um dos produtos de redução alguns testes foram realizados utilizando NaBH₄ em MeOH, mas a proporção obtida foi aproximadamente a mesma (entrada 2). Porém, a utilização do redutor L-Selectride®, em reações à baixa temperatura, levou à formação de somente um dos produtos de redução (entrada 3).

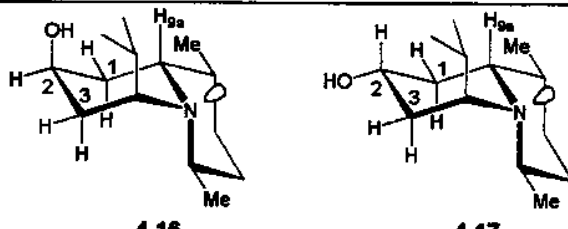
A fim de evitar que a etapa de purificação e isolamento da quinolizidinona 4.12 levasse a uma redução de rendimentos, realizamos a redução direta de brutos reacionais de reações de ciclização intramolecular via reação de Michael, obtidos após agitação da piperidina 3.10 em metanol com alumina básica (Tabela 21). Apesar desta condição de ciclização não ter levado aos melhores rendimentos, a maneira suave em que ocorre, evitando a formação de muitos compostos laterais, justifica a sua utilização. Estes testes foram também realizados com a posterior redução com NaBH₄, mas os melhores resultados foram obtidos com a utilização de Li(sec-Bu)₃BH, levando ao isolamento do produto de redução 4.16 em 30% de rendimento após estas duas etapas (Tabela 24-entrada 3).

Tabela 24: Testes das reduções da quinolizidinona 4.12

Entra- da	Redutor / Condições	Rendimento	Proporção (4.16 / 4.17)
1	LiAlH ₄ (2eq.) / THF / t.a. / 40h.	49 %	1,2 : 1
2	NaBH ₄ (2eq.) / MeOH / t.a. / 18h.	não isolado	1,3 : 1*
3	Li(sec-Bu) ₃ BH (2eq.) / THF / -78°C / 90min.	30 % ^b	1 : 0

*proporção determinado por ¹H-RMN; ^brendimento a partir de 3.10 após duas etapas: ciclização e redução

Os produtos de redução não apresentaram suficiente separação em cromatografia gasosa, nos obrigando a determinar as proporções destas reações por isolamento ou por análise de RMN do bruto reacional (comparação entre as áreas de sinais característicos).



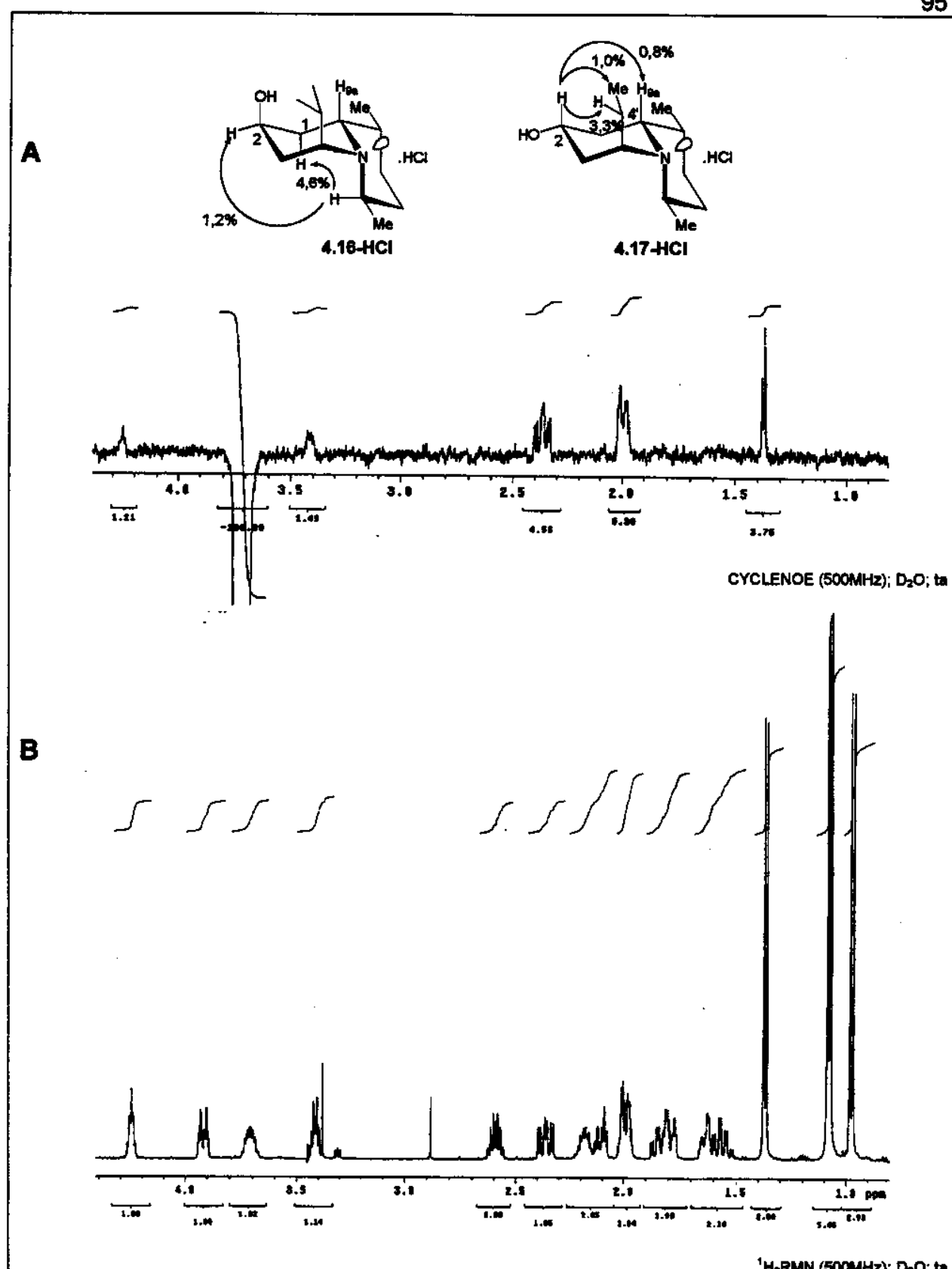
Esquema 91: As possíveis conformações das hidroxiquinolizidinas 4.16 e 4.17

Os compostos 4.16 e 4.17 foram totalmente caracterizados por ^1H - e ^{13}C -RMN, IV, HRMS e CG/EM, indicando claramente a obtenção dos sistemas hidroxiquinolizidínicos esperados. Porém, a atribuição da estereoquímica relativa do centro em C-2 (carbinólico) foi prejudicada pela sobreposição de sinais em espectros de ^1H -RMN, o que acabou impedindo a utilização de técnicas de nOe para este fim. Mesmo assim, a análise da multiplicidade apresentada pelo hidrogênio carbinólico H-2 pode ser utilizada como indicativo do posicionamento relativo deste hidrogênio no sistema quinolizídico.

No composto 4.16, obtido sempre majoritariamente nas reduções, o sinal de H-2 em 4,2 ppm aparece como um quinteto, indicando que ele deve estar acoplando com os 4 hidrogênios adjacentes (em C-1 e C-3) com valores de ^3J equivalentes (4,3 Hz) e que não deve estar em posicionamentos *trans*-dialixial com nenhum outro hidrogênio. Considerando que o produto possa manter a mesma conformação do reagente, numa fusão de anéis *cis*, pode-se considerar que H-2 está posicionado equatorialmente na face α do anel, deixando o grupo hidroxila em axial (Esquema 91).

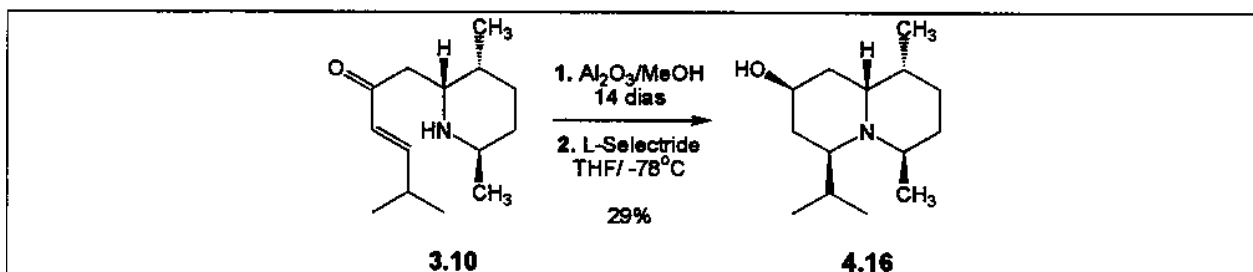
O mesmo raciocínio foi feito com o produto minoritário 4.17, pois o sinal de H-2 se mostrou mais complexo ainda (hepteto), indicando a possibilidade deste hidrogênio estar acoplando com dois hidrogênios adjacentes com constantes de acoplamento grandes e com os outros dois com constantes menores. Este padrão é coerente com posicionamento axial de H-2, deixando a hidroxila na face α do anel (Esquema 91).

Toda esta hipótese a respeito da estereoquímica relativa no centro C-2 foi confirmada após as análises espectroscópicas dos respectivos hidrocloreto das hidroxiquinolizidinas, formados pela simples adição de uma solução de HCl em metanol e posterior evaporação do excesso de solventes. Além dos espectros de ^1H -RMN apresentarem uma separação dos sinais muito melhor, as análises dos produtos por nOe mostraram incrementos coerentes com a atribuição apresentada no Esquema 91 e ilustradas no Esquema 92-A. A confirmação dessa estereoquímica por técnicas de nOe foi realizada pela irradiação de H-6 em 4.16-HCl (Esquema 92-B), enquanto que H-2 foi irradiando em 4.17-HCl.



Esquema 92: A-Determinação da estereoquímica de 4.16 e 4.17 por nOe; B-Espectros de ¹H-RMN e CYCLENDE de 4.16)

Dessa forma a obtenção estereosseletiva do produto de redução 4.16, alcançado através das reações de ciclização via reação de Michael intramolecular, levou ao isolamento do composto quinolizídínico epimérico em C-2 e C-4 em relação ao produto natural Plumerinina (Esquema 93).



Esquema 93: Obtenção da hidroxiquinolizidina 4.16

4.5 Conclusões

A obtenção de sistemas piperidínicos trissubstituídos de forma estereosseletiva pela adição de nucleófilos de carbono a íons N-acilimínio possibilitou a construção de sistemas bicíclicos nitrogenados de interesse sintético.

A piperidina 3.14, contendo dois grupos alila adjacentes e com estereoquímica relativa *trans* forneceu, após reação de metátese de olefinas com a utilização do catalisador de Grubbs, o sistema octaidroquinolínico 4.1 em 97% de rendimento. A desproteção e posterior hidrogenação permitiu o isolamento do hidrocloreto da decaidroquinolina 4.3. A análise espectroscópica do sistema confirmou a atribuição da estereoquímica relativa do reagente 3.14.

A obtenção de sistemas indolizídicos foi possível através da hidroboração-oxidação das piperidinas 3.12 e 3.16, obtenção dos respectivos álcoois primários e a desproteção do nitrogênio em meio ácido. Por fim, ciclizações intramoleculares envolvendo substituição nucleofílica entre o nitrogênio e um haleto primário formado *in situ*, levaram à obtenção da indolizidina modelo 4.4 e à forma racêmica do alcalóide Indolizidina 209B. A comparação dos dados espectrais deste último com os disponíveis na literatura confirmou inequivocamente o isolamento da Indolizidina 209B e, por extensão, confirmou também a atribuição da estereoquímica relativa realizada nas piperidinas 3.12 e 3.16.

A utilização da piperidina 3.10 visando a construção de sistemas quinolizídicos não ocorreu com os rendimentos desejados na etapa de ciclização intramolecular via reação de Michael, mas levou ao isolamento da quinolizidinona 4.12 como produto majoritário, possibilitando um estudo aprofundado do sistema. A atribuição dos sinais obtidos em CG/EM como sendo originados de diversos isômeros formados nestas reações facilitou, através do acompanhamento das reações por análises em cromatografia gasosa, o estudo que buscou esclarecer quais eram as melhores condições reacionais de ciclização e que efeitos estas alterações poderiam causar na proporção de produtos formados.

A caracterização total de **4.12** através de análises espectroscópicas de RMN e IV permitiu a atribuição de todos os centros do sistemas quinolizidínico, evidenciando um processo de inversão da estereoquímica relativa do centro C-9a em relação ao reagente **3.10** durante a etapa de ciclização. Este processo também foi observado em trabalhos da literatura que levaram ao isolamento de sistemas quinolizidínicos termodinamicamente mais estáveis em condições reacionais que favoreçam esta equilíbrio.

Dessa forma foi realizado um estudo de química computacional buscando a análise das energias relativas de todos os possíveis epímeros de **4.12**, em cada uma das conformações com fusão de anéis *trans* e *cis*. Os resultados obtidos pelos cálculos de mecânica molecular, também utilizados com sucesso em trabalhos da literatura para análises conformacionais de sistemas quinolizidínicos, indicaram uma preferência energética ($>1,8 \text{ kcal/mol}$) para o epímero de **4.12**, com fusão de anéis *cis*, em relação aos outros sistemas calculados (o mesmo resultado foi obtido através dos cálculos *ab initio*). Estes resultados foram de encontro tanto com a estereoquímica atribuída por espectroscopia ao produto majoritário através de estudos de nOe. Os cálculos semi-empíricos também indicam uma estabilização significativa deste epímero, porém as diferenças de energia em relação às outras possibilidades mostraram-se pequenas e menos representativas para o sistema estudado em comparação com os dados experimentais.

Finalmente, a redução da carbonila de **4.12** com NaBH_4 e LiAlH_4 forneceu uma mistura de produtos epiméricos em C-2 e C-4 da Plumerinina (**4.16** e **4.17**), enquanto que a utilização de um redutor mais volumoso $[(\text{Li}(\text{sec-Bu})_3\text{BH}]$ levou ao isolamento do sistema 2,4-*bis*-epiplumerinina **4.16** estereoseletivamente, em 29% de rendimento após duas etapas (ciclização de **3.10** e redução de **4.12**). Estudos de nOe com **4.16** e **4.17** confirmaram a similaridade com a atribuição da estereoquímica de **4.12** e sugerem que estes produtos de redução também devem adotar conformações semelhantes ao do reagente (fusão de anel *cis* com metilas do sistema quinolizidínico na posição equatorial).

5 Conclusão Geral

A obtenção de N-Boc-2-piperidinonas e N-Boc-2-pirrolidinonas substituídas através da adição de reagentes de Grignard à glutarimida e succinimida, respectivamente, e a posterior proteção do nitrogênio das lactamas possibilitou a realização de um estudo sistemático de reações de alquilação dos carbamatos obtidos.

As alquilações de enolatos de lítio e sódio das N-Boc-2-piperidinonas com iodeto de metila, brometo de alila e brometo de benzila mostraram preferência em favor dos produtos de alquilação de estereoquímica 3,6-*trans*, sendo atribuída a efeitos estereoelétrônicos e interações alílicas A^(1,3) envolvendo o substituinte metil ou n-pentil em C-6 e o grupo carbamato protetor.

Os resultados obtidos para a alquilação das N-Boc-2-pirrolidinonas 2.20 e 2.21 também revelaram preferência na formação dos produtos 3,5-*trans*-dissubstituídos na adição dos mesmos eletrófilos acima, porém ao contrário das alquilações de sistemas piperidínicos com iodeto de metila, as metilações dos enolatos de lítio de 2.20 e 2.21 mostraram valores de seletividade inferiores aos observados para os derivados piperidínicos. Dessa forma, os altos valores de seletividade *trans/cis* observados para os casos onde utilizou-se eletrófilos mais volumosos, são atribuídos a efeitos de impedimentos estéricos originados das interações entre estes eletrófilos e os grupos metil ou fenil posicionados em C-5.

A utilização destas lactamas na formação de íons N-aciliminio dissubstituídos foi possível após a redução da carbonila endocíclica e tratamento dos α-etóxi ou α-hidroxicarbamatos correspondentes com ácidos de Lewis.

As reações de adição de vários nucleófilos de carbono (sililenoléteres, aliltrimetilsilano e aliltributilestanana) forneceu os sistemas piperidínicos em bons rendimentos e seletividade ($\geq 9:1$ em favor dos isômeros 2,6-*cis*/2,3-*trans*).

A adição de trietilsilano ao íon N-aciliminio substituído 3.7 levou ao isolamento do produto de redução 2.30 com menor seletividade que a observada pela redução da lactama 2.22, indicando que podem estar ocorrendo processos de epimerização no sistema, que seriam responsáveis pela observação dos isômeros minoritários nas adições de aliltributilestanana.

A seletividade observada foi atribuída à presença de interações alílicas A^(1,3), posicionando axialmente os substituintes do anel e favorecendo o ataque axial por parte dos nucleófilos aos íons N-aciliminio piperidínicos. A possibilidade da realização de análise de difração de raio-X do composto 3.18 confirmou tanto a estereoquímica atribuída para os centros do anel piperidínico deste composto como o posicionamento axial dos substituintes em fase sólida.

Já os testes de adição de aliltributilestanana a íons N-aciliminio pirrolidínicos dissubstituídos mostraram baixa seletividade facial (1,1/1 - 2,2/1), isolando-se misturas dos

produtos de adição, que tiveram suas proporções determinadas por técnicas cromatográficas (CG e HPLC) ou através da derivatização e análises dos produtos bicíclicos obtidos por metátese de olefinas. Este comportamento foi observado tanto para os vários sistemas 3,5-*trans*-dissubstituídos, como para o sistema 3,5-*cis*-dissubstituído derivado do hidroxicarbamato 3.30. Provavelmente, nestes casos a competição entre as interações estéricas entre o nucleófilo e os substituintes no anel pirrolidínico levam à formação das mistura obtidas e a inversão do centro em C-3 em 3.30 não se mostrou suficientemente efetiva para levar à formação de produtos de adição em melhores seletividades.

A piperidina 3.14, contendo dois grupos alila adjacentes e com estereoquímica relativa *trans* forneceu, após reação de metátese de olefinas com a utilização do catalisador de Grubbs, o sistema octaidroquinolínico 4.1 em 97% de rendimento. A desproteção e posterior hidrogenação permitiu o isolamento do hidrocloreto da decaidroquinolina 4.3 e confirmou a atribuição da estereoquímica relativa do reagente 3.14.

A obtenção de sistemas indolizidínicos foi possível através da hidroboração-oxidação das piperidinas 3.12 e 3.16, obtenção dos respectivos álcoois primários e a desproteção do nitrogênio em meio ácido. Por fim, ciclizações intramoleculares envolvendo substituição nucleofílica entre o nitrogênio e um haleto primário formado *in situ*, levaram à obtenção da indolizidina modelo 4.4 e da forma racêmica do alcalóide Indolizidina 209B. A comparação dos dados espectrais deste último com os disponíveis na literatura confirmou inequivocamente o isolamento da Indolizidina 209B e, por extensão, confirmou também a atribuição da estereoquímica relativa realizada nas piperidinas 3.12 e 3.16.

Por fim, a utilização da piperidina 3.10 visando a construção de sistemas quinolizidínicos não ocorreu com os rendimentos desejados na etapa de ciclização intramolecular via reação de Michaelis mas levou ao isolamento da quinolizidinona 4.12 como produto majoritário.

A caracterização total de 4.12 através de análises espectroscópicas de RMN e IV permitiu a atribuição de todos os centros do sistemas quinolizidínico, evidenciando a presença de um processo de inversão da estereoquímica relativa do centro C-9a em relação ao reagente 3.10 durante a etapa de ciclização. Este processo também foi observado em trabalhos da literatura que levaram ao isolamento de sistemas quinolizidínicos termodinamicamente mais estáveis em condições reacionais que favoreçam esta equilíbrio.

Dessa forma foi realizado um estudo de química computacional buscando a análise das energias relativas de todos os possíveis epímeros de 4.12, em cada uma das conformações com fusão de anéis *trans* e *cis*. Os resultados obtidos pelos cálculos de mecânica molecular, também utilizados com sucesso em trabalhos da literatura para análises conformacionais de sistemas quinolizidínicos, indicaram uma preferência energética (>1,8 kcal/mol) para o epímero de 4.12, com fusão de anéis *cis*, em relação aos outros sistemas calculados (o mesmo

resultado foi obtido através dos cálculos *ab initio*). Estes resultados foram de encontro tanto com a estereoquímica atribuída por espectroscopia ao produto majoritário quanto com a conformação atribuída através de estudos de nOe.

A redução da carbonila de **4.12** ($\text{Li}(\text{sec-Bu})_3\text{BH}$) levou ao isolamento do sistema 2,4-*bis*-epiplumerinina **4.16** em 29% de rendimento após duas etapas (cyclização de **3.10** e redução de **4.12**), cuja estereoquímica foi atribuída por estudos de nOe.

6 Parte Experimental

6.1 Preparação dos reagentes e aparelhos utilizados

Tetraidrofurano (THF) e éter etílico foram tratados com sódio/benzofenona e destilados imediatamente antes do uso. Diisopropilamina, trietilamina e diclorometano foram tratados com hidreto de cálcio e destilados antes do uso. TMSOTf foi destilado imediatamente antes da uso. Os demais reagentes foram obtidos de fornecedores especializados e usados sem purificação previa.

As purificações por coluna cromatográfica foram feitas em sílica gel Aldrich (70-230 mesh e 230-400 mesh).

Os espectros de ^1H -RMN e ^{13}C -RMN foram realizados em aparelhos Bruker AW-80, Varian Gemini 300, Bruker AC 300/P e Varian Inova 500. Os valores de deslocamento químico tem como padrão tetrametilsilano (^1H -RMN) e clorofórmio ou clorofórmio deuterado (^{13}C -RMN). Os espectros de hidrogênio tem seus dados expressos como: multiplicidade (s, singlet; d, doublet; t, triplet; dd, duplo-doublet; dt, duplo-triplet; td, triplet-duplo; q, quarteto; m, multiplet; ddd, duplo-duplo-doublet; sl, sinal largo), constante de acoplamento em Hz e número relativo de hidrogênios (integração). Os espectros de infravermelho foram registrados no aparelho Nicolet Impact 410 (FTIR).

Os pontos de fusão foram determinados em um aparelho Electrothermal 9100 e os valores não foram corrigidos.

Análises de Espectrometria de Massas em Alta Resolução (HRMS) foram realizadas no aparelho Autospec-Micromass – EBE.

Análises por HPLC utilizaram coluna Hypersil 5 μm ; 200mm x 4,6 mm (eluentes e outros parâmetros indicados em cada caso).

As análises por cromatografia gasosa foram realizadas em aparelho HP 5890A, utilizando-se coluna semi-capilar HP-5 (5% PhMe silicone, 30m x 0.53mm x 1.3 μm). A maioria das análises por CG foram realizadas utilizando-se a seguinte “condição-padrão” (os casos onde esta condição foi alterada serão citados individualmente).

Condição-padrão para análise por cromatografia gasosa (CG) – Condição usualmente utilizada nas análises de cromatografia gasosa: T(injetor)=T(detector)=250°C; T(inicial)=120 °C; Tempo(inicial)=1 min.; taxa=5 °C/min.; T(final)=150 °C; taxaA= 20°C/min; T(final)=250 °C; Tempo(final)=10min.; gás de arraste: N₂; detetor: FID.

6.2 Capítulo 2

(±)-6-metil-2-piperidinona (2.13). A uma suspensão de Magnésio metálico (0,90 g; 37,0 mmol) em éter etílico (15 mL), à 0°C e sob atmosfera de argônio, foi adicionado iodeto de metila (2,20 mL; 35,0 mmol). Retirou-se o banho de gelo e deixou-se agitando por 30 minutos. Resfriou-se o sistema à -78°C, adicionou-se 15 mL de CH₂Cl₂ e canulou-se uma solução de glutarimida (1,00 g; 8,85mmol) em 30 mL de CH₂Cl₂. A reação foi aquecida à temperatura ambiente e manteve-se a agitação por 18 horas.

Adicionou-se NaCNBH₃ (0,65g; 10,6 mmol) e uma solução de HCl_(aq) 6M, gota a gota, até que o pH da solução fique próximo de 3 (acompanha-se com papel indicador universal de pH). Agitou-se por 5 horas, neutralizou-se a solução com a adição de NaOH_(aq) 10% e extraiu-se com CH₂Cl₂ (5 x 20 mL). Após coluna cromatográfica flash, utilizando-se acetato de etila:metanol: 9:1 como eluente, isolou-se a lactama 2.13 (0,82 g, 7,27 mmol) em 82 % de rendimento como sólido branco (p.f.:87-87,8°C).

¹H-RMN (CDCl₃, 500MHz) δ 6,5 (s, 1H), 3,49 (m, 1H), 2,34 (m, 1H), 2,25 (m, 1H), 1,88 (m, 2H), 1,68 (m, 1H), 1,32 (m, 1H), 1,18 (d, ³J=6,3 Hz, 3H) (**anexo 2.13_H**). ¹³C-RMN (CDCl₃, 75,4MHz) δ 173,1; 48,7; 31,1; 30,5; 22,7; 19,9; (**anexo 2.13_C**). IV (Pastilha de KBr) 3194, 3090, 2967, 2937, 2912, 2836, 1677, 1636, 1484, 1406, 1307, 1181, 1090, 794, 637 cm⁻¹. (**anexo 2.13_IV**)

Outras análises (CD): DEPT, Análise Elementar.

(±)-6-n-pentil-2-piperidinona (2.14). A uma suspensão de Magnésio metálico (0,90 g; 37,0 mmol) em éter etílico (15 mL), à 0°C e sob atmosfera de argônio, foi adicionado brometo de n-pentila (3,90 mL; 31,0 mmol). Retirou-se o banho de gelo e deixou-se agitando por 30 minutos. Resfriou-se o sistema a -78°C, adicionou-se 15 mL de CH₂Cl₂ e canulou-se uma solução de glutarimida (1,00 g; 8,85mmol) em 30 mL de CH₂Cl₂. A reação foi aquecida à temperatura ambiente e manteve-se a agitação por 18 horas.

Adicionou-se NaCNBH₃ (0,65g; 10,6 mmol) e uma solução de HCl_(aq) 6M, gota a gota, até que o pH da solução fique próximo de 3 (acompanha-se com papel indicador universal de pH). Agitou-se por 5 horas, neutralizou-se a solução com a adição de NaOH_(aq) 10% e extraiu-se com CH₂Cl₂ (5 x 20 mL). Após coluna cromatográfica flash, utilizando-se acetato de etila como eluente, isolou-se a lactama 2.14 (0,90 g, 5,34 mmol) em 60 % de rendimento como um óleo amarelado.

¹H-RMN (CDCl₃, 500MHz) δ 6,35 (s, 1H), 3,31 (m, 1H), 2,2-2,4 (m, 3H), 1,85 (m, 2H), 1,2-1,7 (m, 9H), 0,86 (t, ³J=7,0 Hz, 3H) (**anexo 2.14_H**). ¹³C-RMN (CDCl₃, 75,4MHz) δ 172,7; 53,0; 36,7; 31,4; 31,2; 28,2; 24,7; 22,3; 19,6; 13,8; (**anexo 2.14_C**) IV (filme) 3206, 3087, 2951, 2930,

2859, 1665, 1467, 1408, 1346 cm⁻¹ (anexo 2.14_IV). HRMS (M⁺) Calculado: 169,1466; Obtido: 169,1467.

Outras análises (CD): DEPT, HRMS.

(±)-5-metil-2-pirrolidinona (2.15). A uma suspensão de Magnésio metálico (0,97 g; 40,0 mmol) em éter etílico (25 mL), à 0°C, e sob atmosfera de argônio, foi adicionado lentamente iodeto de metila (2,20 mL; 35,0 mmol). Retirou-se o banho de gelo e deixou-se agitando por 1 hora. Resfriou-se o sistema novamente à 0°C e canulou-se uma solução de succinimida (0,99 g; 10,0mmol) em 40 mL de CH₂Cl₂. A reação foi levada à temperatura ambiente e manteve-se a agitação por 18 horas.

Adicionou-se NaCNBH₃ (0,75g; 12,0 mmol) e uma solução de HCl_(aq) 6M, gota a gota, até que o pH da solução fique próximo de 3 (acompanha-se com papel indicador universal de pH). Agitou-se por 1 hora, neutralizou-se a solução com a adição de NaOH_(aq) 10% e extraiu-se com CH₂Cl₂ (5 x 20 mL). Após coluna cromatográfica flash, utilizando-se acetato de etila como eluente, isolou-se a lactama 2.15 (0,66 g, 6,67 mmol) em 66 % de rendimento como um óleo amarelado.

¹H-RMN (CDCl₃, 300MHz) δ 7,17 (s, 1H), 3,73 (m, 1H), 1,5-2,4 (m, 4H), 1,17 (d, ³J=6,2 Hz, 1H) (anexo 2.15_H). ¹³C-RMN (CDCl₃, 75,4MHz) δ 178,9; 50,0; 30,4; 28,8; 21,8; (anexo 2.15_C). IV (filme) 3248, 2967, 2931, 1694, 1682, 1423, 1378, 1278 cm⁻¹ (anexo 2.15_IV).

Outras análises (CD): DEPT.

(±)-5-fenil-2-pirrolidinona (2.16). A uma suspensão de Magnésio metálico (0,97 g; 40,0 mmol) em éter etílico (20 mL), à 0°C, e sob atmosfera de argônio, foi adicionado lentamente bromobenzeno (3,70 mL; 35,0 mmol). Retirou-se o banho de gelo e deixou-se agitando por 1 hora. Resfriou-se o sistema novamente à 0°C e canulou-se uma solução de succinimida (0,99 g; 10,0mmol) em 40 mL de CH₂Cl₂. A reação foi levada à temperatura ambiente e manteve-se a agitação por 18 horas.

Adicionou-se NaCNBH₃ (0,75g; 12,0 mmol) e uma solução de HCl_(aq) 6M, gota a gota, até que o pH da solução fique próximo de 3 (acompanha-se com papel indicador universal de pH). Agitou-se por 1 hora, neutralizou-se a solução com a adição de NaOH_(aq) 10% e extraiu-se com CH₂Cl₂ (5 x 20 mL). Após coluna cromatográfica flash, utilizando-se acetato de etila como eluente, isolou-se a lactama 2.16 (1,08 g, 6,70 mmol) em 67 % de rendimento sólido branco (p.f.:103-103,5°C).

¹H-RMN (CDCl₃, 300MHz) δ 7,2-7,4 (m, 5H), 6,7 (s, 1H), 4,76 (t, ³J=7,1 Hz, 1H), 2,3-2,7 (m, 3H), 1,95 (m, 1H) (anexo 2.16_H). ¹³C-RMN (CDCl₃, 75,4MHz) δ 179,1; 142,7; 129,0; 128,0; 125,7; 58,0; 31,0; 30,1; (anexo 2.16_C). IV (Pastilha de KBr) 3450, 3208, 3093, 3033, 2986,

2947, 2362, 2216, 1663, 1494, 1458, 1395, 1352, 1264, 1154, 790, 757, 702, 641 cm⁻¹ (anexo 2.16_IV). Análise Elementar Calculada para C₁₀H₁₁NO: C, 74,51; H, 6,88; N, 8,69; Obtido: C, 74,24; H, 6,93; N, 8,65,

Outras análises (CD): DEPT, Análise Elementar.

(±)-5-fenil-tetrahidro-2-furanona (2.17). A uma suspensão de Magnésio metálico (0,97 g; 40,0 mmol) em éter etílico (15 mL), à 0°C, e sob atmosfera de argônio, foi adicionado lentamente bromobenzeno (3,70 mL; 35,0 mmol). Retirou-se o banho de gelo e deixou-se agitando por 1 hora. Resfriou-se o sistema novamente à 0°C e canulou-se uma solução de succinimida (0,99 g; 10,0mmol) em 40 mL de THF. A reação foi levada à temperatura ambiente e manteve-se a agitação por 18 horas.

Adicionou-se NaCNBH₃ (0,75g; 12,0 mmol) e uma solução de HCl_(aq) 6M, gota a gota, até que o pH da solução fique próximo de 3 (acompanha-se com papel indicador universal de pH). Agitou-se a solução por 18 horas e extraiu-se com CH₂Cl₂ (5 x 20 mL). Após coluna cromatográfica flash, utilizando-se acetato de etila como eluente, isolou-se a lactona 2.17 (1,23g 6,70 mmol) em 76 % de rendimento como um óleo amarelado

¹H-RMN (CDCl₃, 300MHz) δ 7,4-7,2 (m, 5H), 5,47 (dd, ³J=8,1 e 5,9 Hz, 1H), 2,7-2,5 (m, 3H), 2,2-2,0 (m, 1H) (anexo 2.17_H). ¹³C-RMN (CDCl₃, 75,4MHz) δ 177,2; 139,4; 128,7; 128,4; 125,3; 81,0; 30,5; 28,5 (anexo 2.17_C). IV (filme) 3062, 3033, 2983, 2946, 1778, 1496, 1455, 1328, 1215, 1175, 1141, 1025, 939, 700 cm⁻¹ (anexo 2.17_IV).

Outras análises (CD): DEPT.

(±)-1-(terc-butoxicarbonil)-6-metil-2-piperidinona (2.18). A uma solução de diisopropilamina (1,68 mL; 12,0 mmol) em THF (20 mL), sob atmosfera de argônio e à -78°C, adicionou-se n-butil-lítio (4,80 mL; 2,5 M; 12,0 mmol) e deixou-se agitando por 20 minutos. Adicionou-se uma solução de 6-metil-2-piperidinona (1,34 g; 12,0 mmol) em 15 mL de THF e após 30 minutos adicionou-se di-terc-butil-dicarbonato (2,75 mL; 12,0 mmol). Após 30 minutos agitando-se -78°C deixou-se o sistema atingir à temperatura ambiente e adicionou-se 15 mL de uma solução saturada de NH₄Cl_(aq). Extraiu-se a reação com CH₂Cl₂ (5 x 20 mL) obtendo-se 2.18 como um óleo amarelado (2,28 g; 10,72 mmol) em 90 % de rendimento após coluna cromatográfica flash, utilizando-se hexano:acetato de etila (8:2) como eluente.

¹H-RMN (CDCl₃, 300MHz) δ 4,29 (m, 1H), 2,4 (m, 2H), 1,6-2,0 (m, 4H), 1,53 (s, 9H), 1,27 (d, ³J=6,6 Hz, 3H) (anexo 2.18_H). ¹³C-RMN (CDCl₃, 75,4MHz) δ 171,4; 152,9; 82,7; 51,7; 34,2; 29,1; 27,9; 20,4; 17,2 (anexo 2.18_C). IV (filme) 2975, 2935, 1766, 1714, 1286, 1251, 1151cm⁻¹ (anexo 2.18_IV). Análise Elementar Calculada para C₁₁H₁₉NO₃: C, 61,95; H, 8,98; N, 6,57; Obtido: C, 61,84; H, 8,55; N, 6,27,

Outras análises (CD): DEPT, Análise Elementar.

(±)-1-(terc-butoxicarbonil)-6-n-pentil-2-piperidinona (2.19). A uma solução de diisopropilamina (0,61 mL; 4,4 mmol) em THF (9 mL), sob atmosfera de argônio e à -78°C, adicionou-se n-butil-lítio (2,22 mL; 1,96 M; 4,4 mmol) e deixou-se agitando por 20 minutos. Adicionou-se uma solução de 6-n-pentil-2-piperidinona (0,67 g; 3,97 mmol) em 6 mL de THF e após uma espera de 30 minutos adicionou-se di-terc-butil-dicarbonato (1,0 mL; 4,4 mmol). Após 3 horas agitando-se -78°C deixou-se o sistema atingir à temperatura ambiente e adicionou-se 5 mL de uma solução saturada de NH₄Cl_(aq). Extraiu-se a reação com CH₂Cl₂ (5 x 10 mL) obtendo-se 2.19 como um óleo amarelado (662 mg; 2,38 mmol) em 60 % de rendimento após coluna cromatográfica flash, utilizando-se hexano:acetato de etila (8:2) como eluente.

¹H-RMN (CDCl₃, 300MHz) δ 4,16 (m, 1H); 2,5 (m, 2H); 1,4-2,0 (m, 6H); 1,52 (s, 9H); 1,2-1,4 (m, 6H); 0,89 (t, ³J=6,8 Hz, 3H) (anexo 2.19_H). ¹³C-RMN (CDCl₃, 75,4MHz) δ 171,7; 153,0; 82,6; 55,6; 34,1; 33,8; 31,4; 27,8; 25,4; 22,4; 16,9; 13,8 (anexo 2.19_C). IV (filme) 2956, 2932, 2860, 1768, 1715, 1392, 1367, 1288, 1251, 1155, 1115, 1066, 854 cm⁻¹ (anexo 2.19_IV). HRMS [M⁺-CO₂C(CH₃)₃ +1] Calculado: 169,1466; Obtido: 169,1464;

Outras análises (CD): DEPT, CG/EM, HRMS.

(±)-1-(terc-butoxicarbonil)-5-metil-2-pirrolidinona (2.20). A uma solução de diisopropilamina (0,78 mL; 5,60 mmol) em THF (10 mL), sob atmosfera de argônio e à -78°C, adicionou-se n-butil-lítio (2,84 mL; 1,96 M; 5,60 mmol) e deixou-se agitando por 20 minutos. Adicionou-se uma solução de 5-metil-2-pirrolidinona (0,50 g; 5,06 mmol) em 7 mL de THF e após uma espera de 30 minutos adicionou-se di-terc-butil-dicarbonato (1,3 mL; 5,6 mmol). Após 2 horas agitando-se -78°C adicionou-se 5 mL de uma solução saturada de NH₄Cl_(aq). Extraiu-se a reação com CH₂Cl₂ (5 x 10 mL) obtendo-se 2.20 como um óleo amarelado (869 mg; 4,26 mmol) em 86 % de rendimento após coluna cromatográfica flash, utilizando-se hexano:acetato de etila (7:3) como eluente.

¹H-RMN (CDCl₃, 300MHz) δ 4,20 (m, 1H), 2,55 (m, 1H), 2,38 (m, 1H), 2,12 (m, 1H), 1,60 (m, 1H), 1,48 (s, 9H), 1,27 (d, ³J=6,2 Hz, 3H) (anexo 2.20_H). ¹³C-RMN (CDCl₃, 75,4MHz) δ 174,56; 150,1; 82,5; 53,7; 30,9; 27,7; 24,8; 19,9 (anexo 2.20_C). IV (filme) 2978, 2934, 1785, 1752, 1713, 1367, 1310, 1155, 1026, 850, 780 cm⁻¹ (anexo 2.20_IV). Análise Elementar Calculada para C₁₀H₁₇NO₃: C, 60,28; H, 8,60; N, 7,03; Obtido: C, 60,47; H, 8,89; N, 7,57,

Outras análises (CD): DEPT, Análise Elementar.

(±)-1-(terc-butoxicarbonil)-5-fenil-2-pirrolidinona (2.21). A uma solução de diisopropilamina (0,38 mL; 2,7 mmol) em THF (5 mL), sob atmosfera de argônio e à -78°C,

adicionou-se n-butil-lítio (1,44 mL; 1,9 M; 2,70 mmol) e deixou-se agitando por 20 minutos. Adicionou-se uma solução de 5-fenil-2-pirrolidinona (0,40 g; 2,50 mmol) em 5 mL de THF e após uma espera de 30 minutos adicionou-se di-*terc*-butil-dicarbonato (0,63 mL; 2,70 mmol). Após 90 minutos agitando-se -78°C deixou-se o sistema atingir à temperatura ambiente e adicionou-se 5 mL de uma solução saturada de NH₄Cl_(sat). Extraiu-se a reação com CH₂Cl₂ (5 x 10 mL) obtendo-se 2.21 (475 mg; 1,75 mmol) em 70% de rendimento após coluna cromatográfica flash, utilizando-se hexano:acetato de etila (1:1) como eluente como um sólido branco (p.f.:97,5-98,5°C).

¹H-RMN (CDCl₃, 300MHz) δ 7,2-7,4 (m, 5H), 5,15 (dd, ³J= 8,0 e 4,0 Hz, 1H), 2,4-2,8 (m, 3H), 1,9 (m, 1H), 1,26 (s, 9H) (anexo 2.21_H). ¹³C-RMN (CDCl₃, 75,4MHz) δ 175,1; 149,6; 142,6; 128,8; 127,6; 125,1; 82,7; 61,4; 31,0; 27,3; 27,1 (anexo 2.21_C). IV (Pastilha de KBr) 3053, 3033, 2977, 2936, 1774, 1689, 1477, 1463, 1450, 1366, 1336, 1310, 1295, 1257, 1173, 1144, 1056, 853, 834, 785, 759, 715, 700 cm⁻¹ (anexo 2.21_IV). Análise Elementar Calculada para C₁₅H₁₉NO₃: C, 68,94; H, 7,33; N, 5,36; Obtido: C, 68,56; H, 7,39; N, 5,33,

Outras análises (CD): DEPT, Análise Elementar.

(3RS,6RS)-1-(*terc*-butoxicarbonil)-3,6-dimetil-2-piperidinona (2.22). Adicionou-se uma solução comercial de hexametildisilazida de sódio (1,20 mL; 1,0 M; 1,20 mmol) em THF a uma solução de N-*terc*-butoxicarbonil-6-metil-2-piperididona (2.18) (51,0 mg; 0,24 mmol) em THF (2,0 mL) à -78°C. Após 40 minutos adicionou-se DMPU (0,11 mL; 0,96 mmol) e após 25 minutos uma solução de iodeto de metila (0,06 mL; 0,96 mmol) em THF (0,5 mL). Após 30 minutos adicionou-se 2 mL de uma solução de NH₄Cl_(sat) e deixou-se o sistema chegar à temperatura ambiente. Extraiu-se a fase aquosa com CH₂Cl₂ (4 X 5 mL) e obteve-se 2.22 (42,2 mg; 0,19 mmol), como um óleo amarelado, em 77% de rendimento rendimento e 2% da piperidinona 2.18 recuperada após coluna cromatográfica flash, utilizando-se hexano:acetato de etila (8:2) como eluente.

¹H-RMN (CDCl₃, 300MHz) δ 4,16 (m, 1H), 2,45 (m, 1H), 2,00 (m, 1H), 1,4-1,6 (m, 2H), 1,49 (s, 9H), 1,22 (d, ³J=6,6 Hz, 3H), 1,19 (d, ³J=7,0 Hz, 3H) (anexo 2.22_H). ¹³C-RMN (CDCl₃, 75,4MHz) δ 175,2; 153,9; 82,8; 52,3; 37,5; 28,2; 27,6; 26,3; 20,7; 17,0 (anexo 2.22_C). IV (filme) 2976, 2936, 2875, 1766, 1716, 1458, 1391, 1381, 1368, 1272, 1254, 1157 cm⁻¹ (anexo 2.22_IV). Análise Elementar Calculada para C₁₂H₂₁NO₃: C, 63,41; H, 9,31; N, 6,16; Obtido: C, 63,36; H, 9,34; N, 6,00,

Outras análises (CD): DEPT, Análise Elementar.

(3SR,6RS)-1-(*terc*-butoxicarbonil)-3-alil-6-metil-2-piperidinona (2.23). A uma solução de diisopropilamina (0,07 mL; 0,53 mmol) em THF (2,0 mL), à -78°C, e sob atmosfera de

argônio, adicionou-se n-butil-lítio (0,27 mL; 1,96 M; 0,53 mmol) e deixou-se agitando por 20 minutos. Adicionou-se uma solução da N-*terc*-butoxicarbonil-6-metil-2-piperidinona (**2.18**) (103,0 mg; 0,48 mmol) em THF (1,0 mL). Após 30 minutos adicionou-se DMPU (0,23 mL; 1,92 mmol) e adicionou-se uma solução de brometo de alila (0,16 mL; 1,92 mmol) em THF (0,5 mL). Após 4 horas adicionou-se 2 mL de uma solução de NH₄Cl_(sat) e deixou-se o sistema chegar à temperatura ambiente. Extraiu-se a fase aquosa com CH₂Cl₂ (4 X 5 mL) e obteve-se **2.23** (53,0 mg; 0,21 mmol), em 44% de rendimento como um óleo incolor e 26% da piperidinona **2.18** recuperada após coluna cromatográfica flash, utilizando-se hexano:acetato de etila (9:1) como eluente.

¹H-RMN (CDCl₃, 300MHz) δ 5,6-5,8 (m, 1H), 5,05 (m, 2H), 4,14 (m, 1H), 2,62 (m, 1H), 2,40 (m, 1H), 2,22 (m, 1H), 1,9-2,1 (m, 2H), 1,4-1,6 (m, 2H), 1,50 (s, 9H), 1,23 (d, ³J=6,6 Hz, 3H) (**anexo 2.23_H**). ¹³C-RMN (CDCl₃, 75,4MHz) δ 174,1; 153,8; 136,8; 117,2; 82,8; 52,1; 42,3; 35,7; 27,9; 27,6; 22,8; 20,7 (**anexo 2.23_C**). IV (filme) 3076, 2978, 2937, 2874, 1766, 1716, 1392, 1641, 1457, 1368, 1288, 1272, 1255, 1155, 915, 853 cm⁻¹ (**anexo 2.23_IV**). HRMS (M⁺) Calculado 253,1678; Obtido 253,1677,

Outras análises (CD): DEPT, HRMS.

(3SR,6RS)-1-(terc-butoxicarbonil)-3-benzil-6-metil-2-piperidinona (2.24). A uma solução de diisopropilamina (0,05 mL; 0,38 mmol) em THF (2,0 mL), à -78°C, e sob atmosfera de argônio, adicionou-se n-butil-lítio (0,20 mL; 1,96 M; 0,38 mmol) e deixou-se agitando por 20 minutos. Adicionou-se uma solução da N-*terc*-butoxicarbonil-6-metil-2-piperidinona (**2.18**) (75,0 mg; 0,35 mmol) em THF (1,0 mL). Após 30 minutos adicionou-se DMPU (0,17 mL; 1,40 mmol) e adicionou-se uma solução de brometo de benzila (0,16 mL; 1,40 mmol) em THF (0,5 mL). Após 4 horas adicionou-se 2 mL de uma solução de NH₄Cl_(sat) e deixou-se o sistema chegar à temperatura ambiente. Extraiu-se a fase aquosa com CH₂Cl₂ (4 X 5 mL) e obteve-se **2.24** (61,0 mg; 0,20 mmol), em 57% de rendimento como um óleo incolor e 19% da piperidinona **2.18** recuperada após coluna cromatográfica flash, utilizando-se hexano:acetato de etila (9:1) como eluente.

¹H-RMN (CDCl₃, 300MHz) δ 7,3-7,6 (m, 5H), 4,35 (m, 1H), 3,60 (q, ³J=9,5 Hz, 1H), 2,80 (m, 2H), 2,20 (m, 1H), 2,00 (m, 1H), 1,75 (s, 9H), 1,65 (m, 2H), 1,44 (d, ³J=6,6 Hz, 3H) (**anexo 2.24_H**). ¹³C-RMN (CDCl₃, 75,4MHz) δ 173,8; 153,6; 139,5; 129,2; 128,4; 126,2; 82,9; 52,3; 44,7; 37,4; 28,2; 27,9; 22,9; 21,1 (**anexo 2.24_C**). IV (filme) 3085, 3061, 3026, 2977, 2935, 2872, 1765, 1732, 1714, 1603, 1496, 1454, 1392, 1368, 1287, 1272, 1255, 1152, 853, 701 cm⁻¹ (**anexo 2.24_IV**). Análise Elementar Calculada para C₁₈H₂₆NO₃: C, 71,26; H, 8,31; N, 4,62; Obtido: C, 71,11; H, 8,26; N, 4,56;

Outras análises (CD): DEPT, Análise Elementar.

Procedimento geral para desproteção do grupo Boc em 2-piperidinonas 3,6-disubstituídas 2.22-2.24. Adicionou-se a uma solução da respectiva lactama (0,1 mmol) em CH₂Cl₂ (3 mL) e à 0°C, ácido trifluoroacético (1,0 mmol). Retirou-se o banho de gelo e deixou-se o sistema sob agitação por 3 horas à temperatura ambiente. Neutralizou-se a mistura reacional com NaHCO_{3(aq)} saturado e extraiu-se a fase aquosa com CH₂Cl₂ (4 X 5 mL), levando à obtenção das respectivas lactamas desprotegidas que foram isoladas por cromatografia em sílica gel (eluente e rendimentos indicados em cada caso).

(3RS,6RS)-3,6-dimetil-2-piperidinona (2.25). Eluente: acetato de etila:metanol: 8:2; 74% de rendimento. Sólido branco (p.f.: 64,0-66,0°C). ¹H-RMN (CDCl₃, 300MHz) δ 5,96 (s, 1H), 3,49 (m, 1H), 2,30 (m, 1H), 1,9-2,0 (m, 2H), 1,3-1,5 (m, 2H), 1,22 (d, ³J=7,3 Hz, 3H), 1,17 (d, ³J=6,6 Hz, 3H) (anexo 2.25_H). ¹³C-RMN (CDCl₃, 75,4MHz) δ 175,7; 49,4; 35,6; 30,6; 29,0; 22,7; 16,8 (anexo 2.25_C). IV (filme) 3284, 3193, 3070, 2990, 2963, 2929, 2867, 1656, 1485, 1448, 1413, 1377, 1333, 1307, 1219, 850, 831 cm⁻¹ (anexo 2.25_IV). HRMS (M⁺) Calculado 127,0997; Obtido 127,1001.

Outras análises (CD): DEPT, CG/EM, CG, HRMS.

(3SR,6RS)-3-alil-6-metil-2-piperidinona (2.26). Eluente: acetato de etila; 100% de rendimento. Sólido branco (p.f.: 69,5-71,0°C). ¹H-RMN (CDCl₃, 300MHz) δ 5,6-5,8 (m, 2H), 5,10 (m, 2H), 3,47 (m, 1H), 2,70 (m, 1H), 2,30 (m, 2H), 1,95 (m, 2H), 1,2-1,5 (m, 2H), 1,17 (d, ³J=6,2 Hz, 3H) (anexo 2.26_H). ¹³C-RMN (CDCl₃, 75,4MHz) δ 173,8; 136,1; 116,8; 49,3; 40,3; 35,7; 30,7; 25,8; 23,0 (anexo 2.26_C). IV (filme) 3280, 3191, 3073, 2968, 2937, 2911, 2852, 1663, 1644, 1486, 1443, 1419, 1339, 1319, 901, 846, 640 cm⁻¹ (anexo 2.26_IV). HRMS (M⁺) Calculado 153,1153; Obtido 153,1152.

Outras análises (CD): DEPT, CG/EM, CG, HRMS.

(3SR,6RS)-3-benzil-6-metil-2-piperidinona (2.27). Eluente: acetato de etila; 83% de rendimento. Sólido branco (p.f.: 149,5-150,5°C). ¹H-RMN (CDCl₃, 300MHz) δ 7,4-7,6 (m, 5H), 6,1 (s, 1H), 3,60 (m, 2H), 2,86 (dd, ³J=13,5 e 9,9 Hz, 1H), 2,65 (m, 1H), 1,9-2,1 (m, 2H), 1,4-1,7 (m, 2H), 1,35 (d, ³J=6,2 Hz, 3H) (anexo 2.27_H). ¹³C-RMN (CDCl₃, 75,4MHz) δ 173,8; 139,9; 129,3; 128,3; 126,1; 49,3; 42,5; 37,3; 30,6; 25,7; 22,9 (anexo 2.27_C). IV (filme) 3276, 3187, 3062, 3026, 2964, 2946, 2928, 2866, 1659, 1485, 1454, 1443, 1415, 1337, 1221, 845, 744 cm⁻¹ (anexo 2.27_IV). HRMS (M⁺) Calculado 203,1310; Obtido 203,1310.

Outras análises (CD): DEPT, CG/EM, HRMS.

(3RS,6RS)-1-(terc-butoxicarbonil)-3-metil-6-n-pentil-2-piperidinona (2.28). A uma solução de hexametildisilazana (0,44 mL; 2,10 mmol) em THF (5,0 mL), à -78°C, e sob atmosfera de argônio, adicionou-se n-butil-lítio (1,07 mL; 1,96 M; 2,10 mmol) e deixou-se agitando por 30 minutos. Adicionou-se uma solução da N-terc-butoxicarbonil-6-n-pentil-2-piperidinona (2.19) (514,0 mg; 1,91 mmol) em THF (5,0 mL). Após 45 minutos adicionou-se DMPU (0,92 mL; 7,64 mmol) e uma solução de iodeto de metila (0,47 mL; 7,64 mmol) em THF (1,0 mL). Após 1 hora adicionou-se 5 mL de uma solução de NH₄Cl_(sat) e deixou-se o sistema chegar à temperatura ambiente. Extraiu-se a fase aquosa com CH₂Cl₂ (4 X 10 mL) e obteve-se 2.28 (279,0 mg; 0,98 mmol), em 51% de rendimento como um óleo amarelado e 41% da piperidinona 2.19 recuperada após coluna cromatográfica flash, utilizando-se hexano:acetato de etila (85:15) como eluente.

¹H-RMN (CDCl₃, 500MHz) δ 4,09 (m, 1H); 2,47 (m, 2H); 1,9-2,05 (m, 2H); 1,4-1,8 (m, 4H); 1,49 (s, 9H); 1,2-1,4 (m, 6H); 1,19 (d, ³J=6,8 Hz, 3H); 0,86 (t, ³J=6,8 Hz, 3H) (anexo 2.28_H). ¹³C-RMN (CDCl₃, 125,7MHz) δ 175,2; 153,5; 82,6; 56,1; 37,6; 34,5; 31,5; 27,8; 26,2; 25,4; 24,8; 22,5; 17,3; 13,9 (anexo 2.28_C). IV (filme) 2957, 2933, 2871, 1768, 1715, 1457, 1392, 1367, 1285, 1253, 1158, 1086, 995, 854 cm⁻¹ (anexo 2.28_IV). HRMS [M⁺-CO₂C(CH₃)₃ +1] Calculado 183,1623; Obtido 183,1621.

Outras análises (CD): DEPT, CG/EM, HRMS.

(3RS,6RS)-3-metil-6-n-pentil-2-piperidinona (2.29). Adicionou-se a uma solução da lactama 2.28 (43 mg; 0,15 mmol) em CH₂Cl₂ (3,0 mL) e à 0°C, ácido trifluoroacético (0,12 mL; 1,52 mmol). Retirou-se e o banho de gelo e deixou-se o sistema sob agitação por 3 horas à temperatura ambiente. Neutralizou-se a mistura reacional com NaHCO_{3(sat)} saturado e extraiu-se a fase aquosa com CH₂Cl₂ (4 X 5 mL), levando à obtenção da lactama desprotegida 2.29 (24 mg; 0,13 mmol) que foram purificadas por cromatografia em sílica gel, utilizando-se acetato de etila como eluente, em 87% de rendimento, como sólido branco (p.f. 53,0-53,5°C).

¹H-RMN (CDCl₃, 300MHz) δ 5,79 (s, 1H); 3,32 (m, 1H); 2,26 (m, 1H); 1,8-2,0 (m, 2H); 1,2-1,5 (m, 10H); 1,21 (d, ³J=6,9 Hz, 3H); 0,88 (t, ³J=6,8 Hz, 3H) (anexo 2.29_H). ¹³C-RMN (CDCl₃, 75,4MHz) δ 175,3; 53,8; 37,1; 36,2; 31,6; 29,2; 28,9; 24,8; 22,5; 17,0; 13,9 (anexo 2.29_C). IV (filme) 3288, 3214, 3081, 2984, 2951, 2927, 2868, 2859, 1660, 1468, 1415, 1367, 1354, 1343, 1300, 1283, 1266, 1218, 1149, 1111, 1026, 943, 838, 811 cm⁻¹ (anexo 2.29_IV). HRMS (M⁺) Calculado 183,1623; Obtido 183,1625.

Outras análises (CD): DEPT, CG/EM, HRMS.

Procedimento geral para redução de N-Boc-2-piperidinonas 3,6-disubstituídas (2.30-2.33). Adicionou-se a uma solução da respectiva lactama (0,1 mmol) em THF (2 mL) e à 0°C, o

complexo de borana-dimetilsulfeto (1,0 mmol). Retirou-se o banho de gelo, deixou-se o sistema sob agitação por 18 horas à temperatura ambiente e adicionou-se 5 mL de metanol. A mistura reacional foi concentrada sob vácuo e dissolvida em metanol (3 mL) repetidamente (4 vezes). Os produtos foram purificados por cromatografia em sílica gel (eluente e rendimentos indicados em cada caso).

(2RS,5RS)-1-(terc-butoxicarbonil)-2,5-dimetil-piperidina (2.30). Eluente: hexano:acetato de etila: 8:2; 36% de rendimento. Óleo incolor. ^1H -RMN (CDCl_3 , 300MHz) δ 4,35 (m, 1H), 3,63 (d, $^3\text{J}=13,4$ Hz, 1H), 3,05 (dd, $^3\text{J}=13,4$ e 3,2 Hz, 1H), 1,7-1,9 (m, 2H), 1,45 (s, 9H), 1,25 (m, 2H), 1,13 (d, $^3\text{J}=7,0$ Hz, 3H), 0,97 (d, $^3\text{J}=6,9$ Hz, 3H) (anexo 2.30_H). ^{13}C -RMN (CDCl_3 , 75,4MHz) δ 155,6; 78,9; 46,2; 43,7; 28,5; 27,9; 24,9; 24,8; 16,6; 16,2 (anexo 2.30_C). IV (filme) 2966, 2933, 2861, 1692, 1475, 1454, 1415, 1363, 1337, 1310, 1261, 1245, 1182, 1155, 1078, 874cm $^{-1}$ (anexo 2.30_IV). HRMS (M $^+$) Calculado 231,1729; Obtido 213,1725,

Outras análises (CD): DEPT, ^1H -RMN: Irradição Seletiva, HRMS.

(2RS,5SR)-1-(terc-butoxicarbonil)-2-metil-5-(3-hidróxi-propil)-piperidina (2.31). Eluente: hexano:acetato de etila: 1:1; 63% de rendimento. Óleo incolor. ^1H -RMN (CDCl_3 , 500MHz) δ 4,33 (m, 1H), 3,80 (d, $^3\text{J}=13,8$ Hz, 1H), 3,65 (m, 2H), 3,00 (dd, $^3\text{J}=13,8$ e 3,4 Hz, 1H), 1,82 (m, 2H), 1,2-1,8 (m, 8H), 1,45 (s, 9H), 1,14 (d, $^3\text{J}=6,8$ Hz, 3H) (anexo 2.31_H). ^{13}C -RMN (CDCl_3 , 75,4MHz) δ 155,6; 79,2; 62,9; 46,4; 41,2; 33,4; 30,9; 28,5; 26,2; 25,3; 23,9; 16,3 (anexo 2.31_C). IV (filme) 3444, 2972, 2932, 2863, 1690, 1668, 1476, 1453, 1420, 1392, 1365, 1340, 1256, 1176, 1150, 1081, 1060, 1033, 872, 768 cm $^{-1}$ (anexo 2.31_IV). HRMS (M $^+$) Calculado 257,1991; Obtido 257,2000,

Outras análises (CD): DEPT, ^1H -RMN: Irradição Seletiva, CYCLENOE, HRMS.

(2RS,5SR)-1-(terc-butoxicarbonil)-2-metil-5-benzil-piperidina (2.32). Eluente: hexano:acetato de etila: 1:1; 55% de rendimento. Sólido branco (p.f.: 48,5-50,0°C). ^1H -RMN (CDCl_3 , 300MHz) δ 7,1-7,3 (m, 5H), 4,41 (m, 1H), 3,76 (d, $^3\text{J}=13,7$ Hz, 1H), 2,99 (dd, $^3\text{J}=13,7$ e 3,6 Hz, 1H), 2,74 (dd, $^3\text{J}=13,6$ e 8,3 Hz, 1H), 2,57 (dd, $^3\text{J}=13,6$ e 7,0 Hz, 1H), 1,95 (m, 2H), 1,75 (m, 1H), 1,46 (s, 9H), 1,3-1,5 (m, 2H), 1,14 (d, $^3\text{J}=6,9$ Hz, 3H) (anexo 2.32_H). ^{13}C -RMN (CDCl_3 , 75,4MHz) δ 155,4; 141,1; 129,1; 128,2; 125,8; 79,1; 46,0; 41,2; 36,7; 35,5; 28,5; 25,0; 22,9; 16,0 (anexo 2.32_C). IV (filme) 3086, 3060, 3026, 2973, 2934, 2861, 1689, 1496, 1474, 1454, 1415, 1391, 1338, 1363, 1257, 1172, 1150, 1135, 1056, 1047, 1036, 739, 700 cm $^{-1}$ (anexo 2.32_IV). HRMS (M $^+$) Calculado 289,2042; Obtido 289,2041,

Outras análises (CD): DEPT, ^1H -RMN: Irradição Seletiva, CYCLENOE, COSY, HETCOR, HRMS.

(2RS,5RS)-1-(terc-butoxicarbonil)-2-n-pentil-5-metil-piperidina (2.33). Eluente: hexano; 31% de rendimento. Óleo incolor. ^1H -RMN (CDCl_3 , 500MHz) δ 4,19 (m, 1H); 3,70 (d, $^3\text{J}=13,6$ Hz, 3H); 2,97 (dd, $^3\text{J}=13,6$ e 3,3 Hz, 3H); 1,6-1,9 (m, 4H); 1,45 (s, 9H); 1,2-1,4 (m, 10H); 0,97 (d, $^3\text{J}=6,8$ Hz, 3H); 0,88 (t, $^3\text{J}=6,8$ Hz, 3H) (anexo 2.33_H). ^{13}C -RMN (CDCl_3 , 125,7MHz) δ 155,8; 78,8; 50,4; 43,6; 31,8; 29,8; 28,5; 27,9; 25,9; 25,1; 23,0; 22,7; 16,4; 14,0 (anexo 2.33_C). IV (filme) 2960, 2930, 2860, 1693, 1469, 1454, 1417, 1389, 1364, 1317, 1259, 1245, 1179, 1149, 1084, 1047, 869, 765 cm^{-1} (anexo 2.33_IV).

Outras análises (CD): DEPT, gCOSY, HSQC.

(3RS,5RS) e (3SR,5RS)-1-(terc-butoxicarbonil)-3,5-dimetil-2-pirrolidinona (2.34 e 2.35). A uma solução de hexametildisilazana (0,07 mL; 0,33 mmol) em THF (1,5 mL) à -78°C e sob atmosfera de argônio, adicionou-se n-butil-lítio (0,17 mL; 1,9 M; 0,33 mmol) e deixou-se agitando por 30 minutos. Adicionou-se uma solução da N-terc-butoxicarbonil-5-metil-2-pirrolidona (2.20) (56,0 mg; 0,28 mmol) em THF (1 mL). Após 60 minutos adicionou-se DMPU (0,13 mL; 1,12 mmol) e uma solução de iodeto de metila (0,07 mL; 1,12 mmol) em THF (0,5 mL). Após 2 horas e 30 minutos adicionou-se 2 mL de uma solução de $\text{NH}_4\text{Cl}_{(\text{aq})}$ e deixou-se o sistema chegar à temperatura ambiente. Extraiu-se a fase aquosa com CH_2Cl_2 (4 X 5 mL) e obteve-se 2.34 e 2.35 (34,7 mg; 0,162 mmol), como um óleo amarelado, em 58 % de rendimento rendimento de uma mistura inseparável 2:1 (*trans:cis*) e 16% da pirrolidinona 2.20 recuperada após coluna cromatográfica flash, utilizando-se hexano:acetato de etila (8:2) como eluente.

2.34 (*trans*): ^1H -RMN (CDCl_3 , 300MHz) δ 4,18 (m, 1H), 2,70 (m, 1H), 1,75-1,95 (m, 2H), 1,54 (s, 9H), 1,30 (d, $^3\text{J}=6,2$ Hz, 3H), 1,20 (d, $^3\text{J}=6,9$ Hz, 3H) (anexo 2.34+2.35_H). ^{13}C -RMN (CDCl_3 , 75,4MHz) δ 176,4; 150,5; 82,6; 51,5; 36,1; 34,1; 27,9; 19,5; 14,9 (anexo 2.34+2.35_C).

2.35 (*cis*): ^1H -RMN (CDCl_3 , 300MHz) δ 4,02 (m, 1H), 2,3-2,6 (m, 2H), 1,54 (s, 9H), 1,38 (d, $^3\text{J}=6,2$ Hz, 3H), 1,2-1,3 (m, 1H), 1,24 (d, $^3\text{J}=6,9$ Hz, 3H) (anexo 2.34+2.35_H). ^{13}C -RMN (CDCl_3 , 75,4MHz) δ 177,1; 150,6; 82,6; 52,1; 37,4; 34,2 27,9; 21,8; 16,1 (anexo 2.34+2.35_C). IV (filme) 2976, 2933, 1784, 1747, 1716, 1455, 1367, 1302, 1254, 1152 cm^{-1} (anexo 2.34+2.35_IV).

Outras análises (CD): DEPT

(3RS,5RS) e (3SR,5RS)-3,5-dimetil-2-pirrolidinona (2.36 e 2.37). Adicionou-se a uma solução das lactamas 2.34 e 2.35 (25 mg; 0,11 mmol) em CH_2Cl_2 (1,5 mL) e à 0°C, ácido trifluoroacético (0,1 mL; 1,1 mmol). Retirou-se o banho de gelo e deixou-se o sistema sob agitação por 1 hora à temperatura ambiente. Neutralizou-se a mistura reacional com $\text{NaHCO}_3_{(\text{aq})}$ saturado e extraiu-se a fase aquosa com CH_2Cl_2 (4 X 5 mL), levando à obtenção das lactamas

desprotegidas **2.36** e **2.37** (11 mg; 0,10 mmol) que foram purificadas por cromatografia em sílica gel, utilizando-se acetato de etila como eluente, em 88% de rendimento, como um óleo incolor. (os sinais dos espectros de RMN estão duplicados pois não foi possível separar os produtos desprotegidos)

¹H-RMN (CDCl₃, 300MHz) δ 6,33 (sI, 2H); 3,6-3,8 (m, 2H); 2,3-2,6 (m, 2H); 1,8-2,0 (m, 2H); 1,19 (d, ³J=6,59 Hz, 3H), 1,10 (d, ³J=7,33Hz, 3H) (anexo **2.36+2.37_H**). ¹³C-RMN (CDCl₃, 75,4MHz) δ 181,0; 180,8; 47,9; 47,5; 38,7; 37,1; 37,1; 35,0; 22,0; 21,9; 15,9; 15,7 (anexo **2.36+2.37_C**). IV (filme) 3249, 2963, 2923, 1693, 1455, 1378, 1201, 1133 cm⁻¹ (anexo **2.34+2.35_IV**). Condições da análise por cromatografia gasosa: gás de arraste: N₂; detetor: FID; Temperatura injetor=detetor=250°C; Tempo inicial: 5 min.; Taxa de aquecimento: 20°C/min; Temperatura final: 250°C; Tempo final: 10 min.; coluna HP-5-semi-capilar.

Outras análises (CD): DEPT

(3RS,5RS) e (3SR,5RS)-1-(terc-butoxicarbonil)-3-metil-5-fenil-2-pirrolidinona (2.38 e 2.39). A uma solução de diisopropilamina (0,10 mL; 0,77 mmol) em THF (1,5 mL) à -78°C e sob atmosfera de argônio, adicionou-se n-butil-litio (0,39 mL; 1,96 M; 0,77 mmol) e deixou-se agitando por 20 minutos. Adicionou-se uma solução da N-terc-butoxicarbonil-5-fenil-2-pirrolidona (**2.21**) (50,0 mg; 0,19 mmol) em THF (0,5 mL). Após 20 minutos adicionou-se DMPU (0,45 mL; 3,83 mmol) e, novamente após 20 minutos, uma solução de iodeto de metila (0,05 mL; 0,77 mmol) em THF (0,5 mL). Após 4 horas adicionou-se 2 mL de uma solução de NH₄Cl_(sat) e deixou-se o sistema chegar à temperatura ambiente. Extraiu-se a fase aquosa com CH₂Cl₂ (4 X 5 mL) e obteve-se **2.38** (27,2 mg; 0,10 mmol), como um sólido branco (p.f.:61,5-62,5°C) e **2.39**, também como um sólido branco (p.f.:97,0-98,0°C), em 71% e 12% de rendimento, respectivamente, após coluna cromatográfica flash, utilizando-se hexano:acetato de etila (8:2) como eluente.

2.38 (trans): ¹H-RMN (CDCl₃, 300MHz) δ 7,1-7,4 (m, 5H), 5,15 (dd, ³J=6,2 e 4,0 Hz, 1H), 2,75 (m, 1H), 2,0-2,6 (m, 2H), 1,32 (s, 9H), 1,24 (d, ³J=7,0 Hz, 3H) (anexo **2.38_H**). ¹³C-RMN (CDCl₃, 75,4MHz) δ 177,4; 150,0; 142,2; 128,9; 127,6; 125,0; 82,7; 59,0; 35,9; 35,8; 27,5; 14,9 (anexo **2.38_C**). IV (filme) 3062, 3030, 2976, 2932, 2875, 1784, 1748, 1717, 1454, 1368, 1311, 1151, 970, 701 cm⁻¹ (anexo **2.38_IV**). HRMS [M⁺-CO₂C(CH₃)₃ +1] Calculado 175,0997; Obtido 175,0997,

Outras análises (CD): DEPT, HRMS, nOe

2.39 (cis): ¹H-RMN (CDCl₃, 300MHz) δ 7,2-7,4 (m, 5H), 4,89 (dd, ³J=5,1 e 6,8 Hz, 1H), 2,5-2,7 (m, 2H), 1,4-1,8 (m, 2H), 1,27 (d, ³J=6,6 Hz, 3H), 1,19 (s, 9H) (anexo **2.39_H**). ¹³C-RMN (CDCl₃, 75,4MHz) δ 177,5; 149,8; 128,9; 127,7; 125,6; 82,7; 60,4; 37,8; 37,2; 27,3; 15,4 (anexo

2.39_C). IV (filme) 3062, 3030, 2976, 2931, 2874, 1783, 1747, 1722, 1456, 1328, 1292, 1153, 1124, 970, 701 cm⁻¹ (anexo 2.39_IV). HRMS [M⁺-CO₂C(CH₃)₃ +1] Calculado 175,0997; Obtido 175,0997;

Outras análises (CD): DEPT, NOESY-1D, HRMS

(3RS,5RS)-1-(terc-butoxicarbonil)-3-alil-5-metil-2-pirrolidinona (2.40). A uma solução de diisopropilamina (0,16 mL; 1,16 mmol) em THF (2,4 mL) à 0°C e sob atmosfera de argônio, adicionou-se n-butil-lítio (0,49 mL; 2,35 M; 1,16 mmol) e deixou-se agitando por 20 minutos. Adicionou-se uma solução da N-terc-butoxicarbonil-5-metil-2-pirrolidona (2.20) (58,0 mg; 0,29 mmol) em THF (0,6 mL). Após 20 minutos adicionou-se DMPU (0,45 mL; 3,83 mmol) e, novamente após 20 minutos resfriou-se o sistema à -78°C e adicionou-se uma solução de brometo de alila (0,10 mL; 1,16 mmol) em THF (0,5 mL). Após 4 horas adicionou-se 2 mL de uma solução de NH₄Cl_(sat) e deixou-se o sistema chegar à temperatura ambiente. Extraiu-se a fase aquosa com CH₂Cl₂ (4 X 5 mL) e obteve-se 2.40 (31,5 mg; 0,13 mmol), em 52% de rendimento como um óleo amarelado e 16% da pirrolidinona 2.20 recuperada após coluna cromatográfica flash, utilizando-se hexano:acetato de etila (9:1) como eluente

¹H-RMN (CDCl₃, 500MHz) δ 5,75 (m, 1H), 5,1 (m, 2H), 4,2 (m, 1H), 2,6-2,8 (m, 2H), 2,3 (m, 1H), 1,9 (m, 2H), 1,53 (s, 9H), 1,30 (d, ³J=6,6 Hz, 3H) (anexo 2.40_H). ¹³C-RMN (CDCl₃, 75,4MHz) δ 175,2; 150,1; 135,2; 117,2; 82,7; 51,8; 41,0; 34,5; 31,5; 27,9; 19,9 (anexo 2.40_C). IV (filme) 3077, 2977, 2931, 2875, 2854, 1783, 1748, 1713, 1642, 1456, 1367, 1332, 1317, 1302, 1278, 1255, 1156, 1096, 1040, 1006, 970, 917, 780 cm⁻¹ (anexo 2.40_IV). HRMS (M⁺) Calculado 239,1521; Obtido 239,1531.

Outras análises (CD): DEPT, NOESY-1D, COSY, HETCOR, HRMS

(3RS,5RS)-1-(terc-butoxicarbonil)-3-benzil-5-metil-2-pirrolidinona (2.41). A uma solução de diisopropilamina (0,06 mL; 0,44 mmol) em THF (2,0 mL) à -78°C e sob atmosfera de argônio, adicionou-se n-butil-lítio (0,19 mL; 2,3 M; 0,44 mmol) e deixou-se agitando por 20 minutos. Adicionou-se uma solução da N-terc-butoxicarbonil-5-metil-2-pirrolidona (2.20) (73,7 mg; 0,37 mmol) em THF (1,0 mL). Após 60 minutos adicionou-se DMPU (0,18 mL; 1,48 mmol) e uma solução de brometo de benzila (0,18 mL; 1,48 mmol) em THF (0,5 mL). Após 4 horas adicionou-se 2 mL de uma solução de NH₄Cl_(sat) e deixou-se o sistema chegar à temperatura ambiente. Extraiu-se a fase aquosa com CH₂Cl₂ (4 X 5 mL) e obteve-se 2.41 (53,0 mg; 0,19 mmol), em 52% de rendimento como um óleo amarelado e 13% da pirrolidinona 2.20 recuperada após coluna cromatográfica flash, utilizando-se hexano:acetato de etila (9:1) como eluente.

¹H-RMN (CDCl₃, 500MHz) δ 7,1-7,4 (m, 5H); 4,13 (m, 1H); 3,31 (dd, 1H, ³J=13,8 e 4,0 Hz); 2,89 (m, 1H); 2,61 (dd, 1H, ³J=13,8 e 10,0 Hz); 1,85 (m, 1H); 1,70 (m, 1H); 1,53 (s, 9H); 1,25 (d, 3H, ³J=6,3 Hz) (anexo 2.41_H). ¹³C-RMN (CDCl₃, 125,7MHz) δ 174,8; 149,9; 138,9; 128,8; 128,4; 126,3; 82,6; 51,7; 43,4; 36,3; 31,8; 28,0; 19,8 (anexo 2.41_C). IV (filme) 3056, 3020, 2976, 2932, 2872, 1783, 1748, 1713, 1603, 1497, 1454, 1367, 1318, 1303, 1255, 1155, 1106, 1010, 847, 779, 748, 731, 701 cm⁻¹ (anexo 2.41_IV). HRMS (M⁺-C₄H₈) Calculado 233,10519; Obtido 233,10511,

Outras análises (CD): DEPT, NOESY-1D, gCOSY, HSQC, HRMS

(3RS,5SR)-1-(terc-butoxicarbonil)-3-allil-5-fenil-2-pirrolidinona (2.42). A uma solução de diisopropilamina (0,10 mL; 0,77 mmol) em THF (1,5 mL) à 0°C e sob atmosfera de argônio, adicionou-se n-butil-lítio (0,39 mL; 1,96 M; 0,77 mmol) e deixou-se agitando por 20 minutos. Adicionou-se uma solução da N-terc-butoxicarbonil-5-fenil-2-pirrolidona (2.21) (50,0 mg; 0,19 mmol) em THF (0,5 mL). Após 20 minutos adicionou-se DMPU (0,45 mL; 3,83 mmol) e, novamente após 20 minutos, resfriou-se o sistema à -78°C e adicionou-se uma solução de brometo de alila (0,07 mL; 0,77 mmol) em THF (0,5 mL). Após 4 horas adicionou-se 2 mL de uma solução de NH₄Cl_(sat) e deixou-se o sistema chegar à temperatura ambiente. Extraiu-se a fase aquosa com CH₂Cl₂ (4 X 5 mL) e obteve-se 2.42 (53,0 mg; 0,19 mmol), em 45% de rendimento como um sólido branco e 34% da pirrolidinona 2.21 recuperada após coluna cromatográfica flash, utilizando-se hexano:acetato de etila (8:2) como eluente (p.f.:56,0-58,0°C).

¹H-RMN (CDCl₃, 500MHz) δ 7,1-7,4 (m, 5H), 5,75 (m, 1H), 5,0-5,15 (m, 3H), 2,79 (m, 1H), 2,65 (m, 2H); 2,2 (m, 1H), 2,05 (m, 1H), 1,31 (s, 9H) (anexo 2.42_H). ¹³C-RMN (CDCl₃, 75,4MHz) δ 176,0; 149,8; 142,2; 134,9; 128,9; 127,5; 125,0; 117,5; 82,9; 59,2; 40,7; 34,5; 33,3; 27,6 (anexo 2.42_C). IV (filme) 3064, 3030, 3002, 2978, 2929, 1782, 1748, 1716, 1641, 1496, 1454, 1393, 1368, 1313, 1252, 1151, 1030, 1015, 999, 958, 917, 853, 799, 773, 758, 701 cm⁻¹ (anexo 2.42_IV). HRMS (M⁺) Calculado 301,1678, Obtido 301,1675,

Outras análises (CD): DEPT, NOESY-1D, gCOSY, HSQC, HRMS, Análise Elementar.

(3RS,5SR)-1-(terc-butoxicarbonil)-3-benzil-5-fenil-2-pirrolidinona (2.43). A uma solução de diisopropilamina (0,10 mL; 0,77 mmol) em THF (1,5 mL) à -78°C e sob atmosfera de argônio, adicionou-se n-butil-lítio (0,39 mL; 1,96 M; 0,77 mmol) e deixou-se agitando por 20 minutos. Adicionou-se uma solução da N-terc-butoxicarbonil-5-fenil-2-pirrolidona (2.21) (50,0 mg; 0,19 mmol) em THF (0,5 mL). Após 20 minutos adicionou-se DMPU (0,45 mL; 3,83 mmol) e, novamente após 20 minutos, adicionou-se uma solução de brometo de benzila (0,09 mL; 0,77 mmol) em THF (0,5 mL). Após 4 horas adicionou-se 2 mL de uma solução de NH₄Cl_(sat) e deixou-se o sistema chegar à temperatura ambiente. Extraiu-se a fase aquosa com CH₂Cl₂ (4 X

5 mL) e obteve-se **2.43** (40,4 mg; 0,11 mmol), em 60,5% de rendimento como um sólido amarelado após coluna cromatográfica flash, utilizando-se hexano:acetato de etila (8:2) como eluente (p.f.:127,3-129,2°C).

¹H-RMN (CDCl_3 , 500MHz) δ 7,1-7,4 (m, 10H); 5,04 (dd, 1H, ³J=8,8 e 1,9 Hz); 3,30 (dd, ³J=13,9 e 4,1 Hz, 1H); 2,95 (m, 1H); 2,71 (dd, 1H, ³J=13,9 e 9,5 Hz); 2,20 (m, 1H); 1,95 (m, 1H); 1,30 (s, 9H) (anexo 2.43_H). ¹³C-RMN (CDCl_3 , 125,7MHz) δ 175,6; 149,5; 141,9; 138,6; 129,0; 128,7; 128,5; 127,4; 126,4; 124,8; 82,9; 59,2; 42,9; 36,3; 33,5; 27,7 (anexo 2.43_C). IV (filme) 3086, 3061, 3028, 2978, 2927, 2862, 1782, 1748, 1717, 1603, 1495, 1454, 1393, 1368, 1312, 1250, 1204, 1151, 1029, 947, 772, 750, 700 cm^{-1} (anexo 2.43_IV). HRMS ($M^+ \cdot \text{C}_4\text{H}_8$) Calculado 295,12084; Obtido 295,12083,

Outras análises (CD): DEPT, NOESY-1D, gCOSY, HRMS.

(3RS,5RS)-3-metil-5-fenil-2-pirrolidinona (2.44). Adicionou-se a uma solução das lactamas **2.38** (49,0 mg; 0,18 mmol) em CH_2Cl_2 (1,0 mL) e à 0°C, ácido trifluoroacético (0,14 mL; 1,18 mmol). Retirou-se o banho de gelo e deixou-se o sistema sob agitação por 1 hora à temperatura ambiente. Neutralizou-se a mistura reacional com $\text{NaHCO}_{3(\text{aq})}$ saturado e extraiu-se a fase aquosa com CH_2Cl_2 (4 X 3 mL), levando à obtenção da lactama desprotegida **2.44** (23 mg; 0,03 mmol) que foi purificada por cromatografia em sílica gel, utilizando-se acetato de etila como eluente, em 73% de rendimento, como um sólido amarelado (p.f.:107,0-108,7°C).

¹H-RMN (CDCl_3 , 300MHz) δ 7,2-7,4 (m, 5H), 6,67 (sl, 1H), 4,75 (t, ³J=6,0 Hz, 1H), 2,61 (m, 1H), 2,1-2,3 (m, 2H), 1,23 (d, ³J=7,3 Hz, 3H) (anexo 2.44_H). ¹³C-RMN (CDCl_3 , 75,4MHz) δ 181,6; 142,9; 129,0; 127,8; 125,6; 55,5; 39,2; 34,6; 15,6 (anexo 2.44_C). IV (filme) 3244, 3081, 3066, 2979, 2933, 2877, 1698, 1488, 1458, 1345, 1269, 763, 697 cm^{-1} (anexo 2.44_IV). HRMS (M^+) Calculado 175,0997; Obtido 175,0997,

Outras análises (CD): DEPT, ¹H-RMN: Irradiações Seletivas, CYCLENOE, CG/EM, HRMS.

6.3 Capítulo 3

Procedimento geral para redução de N-Boc-2-piperidinonas 3,6-disubstituídas (2.22, 2.23 e 2.28). Adicionou-se a uma solução da respectiva lactama protegida (0,44 mmol) em THF (0,5 mL), à -78°C e sob atmosfera de argônio, uma solução de LiBEt₃H em THF (0,66 mL, 1M, 0,66 mmol) e deixou-se agitando por 90 minutos. Adicionou-se etanol (10mL) gelado à -78°C e uma solução HCl/EtOH 2M até pH 3 (acompanhamento com papel indicador universal). Após 2 horas à -78°C adicionou-se uma solução de KOH/10% em etanol, até pH 7. Deixou-se o sistema chegar à temperatura ambiente e extraiu-se a fase aquosa com CH₂Cl₂ (4 X 5 mL). Os etoxicarbamatos foram isolados após coluna cromatográfica em sílica gel (Hexano/Acetato de Etila 8/2, com 1% (v/v) de Et₃N (rendimentos indicados em cada caso).

[2RS(2SR),3RS,6RS]-1-(terc-butoxicarbonil)-2-etoxy-3,6-dimethyl-piperidina (3.1).

90% rendimento. Óleo incolor. ¹H-RMN (CDCl₃, 300MHz) δ 5,14 (s, 1H), 4,22 (m, 1H), 3,3-3,5 (m, 2H), 1,8-2,4 (m, 3H), 1,47 (s, 9H), 1,3-1,4 (m, 2H), 1,20 (d, ³J=6,9 Hz, 3H), 1,17 (t, ³J=7,0 Hz, 3H), 0,94 (d, ³J=7,1, 3H) (anexo 3.1_H). IV (filme) 2972, 2934, 2897, 1696, 1456, 1408, 1366, 1349, 1310, 1256, 1220, 1177, 1113, 1098, 1074, 997, 950, 866, 821, 771, 748 cm⁻¹ (anexo 3.1_IV).

[2RS(2SR),3RS,6RS]-1-(terc-butoxicarbonil)-2-etoxy-3-allyl-6-methyl-piperidina (3.2).

81% rendimento. Óleo incolor. ¹H-RMN (CDCl₃, 300MHz) δ 5,75 (m, 1H), 5,2 (s, 1H), 5,0 (m, 2H), 3,2-3,6 (m, 3H), 1,6-2,2 (m, 5H), 1,1-1,6 (m, 2H), 1,46 (s, 9H), 1,25 (d, ³J=7,0 Hz, 3H), 1,16 (t, ³J=7,0 Hz, 3H) (anexo 3.2_H). ¹³C-RMN (CDCl₃, 75,4MHz) δ 136,8; 119,6; 116,5; 115,9; 83,6; 80,2; 58,5; 39,8; 38,1; 35,3; 28,3; 19,4; 18,4; 15,0 (anexo 3.2_C). IV (filme) 3076, 2974, 2933, 2870, 1696, 1641, 1455, 1403, 1392, 1367, 1317, 1256, 1177, 1115, 1100, 1077, 1003, 961, 912, 866, 771, 750 cm⁻¹ (anexo 3.2_IV).

[2RS(2SR),3RS,6RS]-1-(terc-butoxicarbonil)-2-etoxy-3-methyl-6-n-pentyl-piperidina (3.3).

99% rendimento. Óleo incolor. ¹H-RMN (CDCl₃, 500MHz) δ 5,1(m, 2H), 4,0 (m, 1H), 3,5 (m, 2H), 2,0 (m, 2H), 1,81 (m, 1H), 1,47 (s, 9H), 1,2-1,7 (m, 9H), 1,17 (t, ³J=6,8 Hz, 3H), 0,98 (m, 3H), 0,9 (s, 3H) (sinais largos devido a presença de isômeros rotacionais) (anexo 3.3_H). IV (filme) 2957, 2933, 2871, 1768, 1715, 1457, 1392, 1367, 1285, 1253, 1158, 1086, 995, 854 cm⁻¹ (anexo 3.3_IV).

(±)-1-(terc-butoxicarbonil)-3,6-dimethyl-1,4,5,6-tetrahydro-piridina (3.4). Mesmo

procedimento para obtenção dos etoxicarbamatos 3.1-3.3, porém deixando-se a temperatura do

sistema se aproximar da temperatura ambiente enquanto o pH do meio reacional esteja ainda ácido (após a adição de etanol). Isolado em 45% de rendimento após coluna cromatográfica em sílica gel (Hexano/Aacetato de Etila 8/2) Óleo amarelado. ^1H -RMN (CDCl_3 , 300MHz) (alguns sinais estão duplicados devido à presença de isômeros rotacionais) δ 6,57 e 6,42 (s, 1H), 4,35 e 4,22 (s, 1H), 2,0-2,2 (m, 2H), 1,6-1,9 (m, 3H), 1,65 e 1,47 (s, 9H), 0,8-1,2 (m, 2H), 0,97 (d, $^3J=6,9$ Hz, 3H) (anexo 3.4_H). ^{13}C -RMN (CDCl_3 , 125,7MHz) δ 152,5 e 151,9; 118,7 e 118,4; 113,1 e 112,7; 80,1 e 79,9; 45,8 e 44,7; 28,4; 26,7 e 26,6; 22,9 e 22,7; 21,0; 17,1 e 16,8 (anexo 3.4_C). IV (filme) 3095, 2973, 2928, 2885, 2842, 1700, 1476, 1455, 1396, 1367, 1343, 1318, 1308, 1280, 1256, 1164, 1104, 1075, 1046, 1022, 979, 939, 879, 818, 764 cm^{-1} (anexo 3.4_IV). HRMS (M $^+$) Calculado 211,1572; Obtido 211,1571.

Outras análises (CD): DEPT, CG/EM, HRMS.

2-trimetil-siloxi-5-metil-1,3-hexadieno (3.5). A uma solução de diisopropilamina (0,54 mL; 3,9 mmol) em THF (8 mL), à -78°C e sob atmosfera de argônio, adicionou-se n-butil-lítio (3,24 mL; 1,2 M; 3,9 mmol) e deixou-se agitando por 20 minutos. Adicionou-se a 5-metil-3-hexen-2-ona (0,64 mL; 4,86 mmol) e após uma espera de 30 minutos adicionou-se clorotrimetilsilano (0,74 mL; 5,83 mmol). Depois de mais 30 minutos adicionou-se 1,0 mL de uma solução saturada de NaCl e transferiu-se todo o sistema de reação para um funil de separação. Não deixando que o sistema chegue à temperatura ambiente adicionou-se mais 1 mL de água destilada e a colocou-se a fase orgânica foi colocada em um Erlenmayer com MgSO₄, já resfriado em um banho de gelo. Extraiu-se a fase aquosa com éter de petróleo (4 X 5 mL) e evaporou-se em um evaporador rotativo mantidas em banho de gelo. Obteve-se um óleo incolor que é colocado por alguns minutos na bomba de alto vácuo. Dilui-se o sistema em CH₂Cl₂, resfria-se a -78°C e utiliza-se para a adição em 3.1 (0,5 mmol). Tentativas de isolamento por destilação e coluna cromatográfica, assim como caracterização por ^1H -RMN, mostraram-se ineficientes devido à rápida decomposição de 3.5 à temperatura ambiente.

1-trimetil-siloxi-1-fenil-etenó (3.6). A uma solução de diisopropilamina (3,0 mL; 21,6 mmol) em THF (9 mL), à 0°C e sob atmosfera de argônio, adicionou-se n-butil-lítio (13,5 mL; 1,6M; 21,6 mmol) e deixou-se agitando por 20 minutos. Resfriou-se o sistema à -78°C e adicionou-se a acetofenona (2,3 mL; 19,7 mmol) e após uma espera de 45 minutos adicionou-se clorotrimetilsilano (3,0 mL; 23,6 mmol). Depois de mais 60 minutos adicionou-se 5,0 mL de uma solução saturada de NH₄Cl, extraiu-se a fase aquosa com CH₂Cl₂ e evaporou-se a fase orgânica. Destilou-se o extrato bruto à pressão reduzida e obteve-se 3.6 (1,84 g; 9,6 mmol) em 48% de rendimento como um óleo amarelado. ^1H -RMN (CDCl_3 , 80MHz) δ 7,2-7,6 (m, 5H), 4,8 (d, $^3J=2,0$ Hz, 1H), 4,4 (d, $^3J=2,0$ Hz, 1H), 0 (s, 9H) (anexo 3.6_H).

(2RS,3RS,6RS)-1-(terc-butoxicarbonil)-2-(5-metil-3-hepten-2-ona)-3,6-dimetil-piperidina (3.8) A uma solução do 2-trimetil-sililoxi-5-metil-1,3-hexadieno 3.5 (4 mmol) em 6 mL de CH₂Cl₂, resfriada à -78°C e sob atmosfera de argônio, adicionou-se 0,07 mL de TMSOTf (0,4 mmol) e uma solução do etoxi-carbamato 3.1 (211 mg; 0,82 mmol) em 3 mL de CH₂Cl₂ e agitou-se a reação por 30 minutos. Adicionou-se 2 mL de uma solução aquosa de NH₄Cl, extraiu-se a fase aquosa com CH₂Cl₂ (5 vezes com 5mL) e evaporou-se a fase orgânica. O composto 3.8 (230 mg; 0,71 mmol) foi isolado com um óleo incolor em 86% de rendimento, após coluna cromatográfica flash, utilizando-se Hexano:Acetato de Etila (9:1) como eluente. ¹H-RMN (CDCl₃, 500MHz) δ 6,84 (dd, ³J=15,9 e 6,6 Hz, 1H), 6,08 (dd, ³J=15,9 e 1,5 Hz, 1H), 4,28 (m, 2H), 2,82 (dd, ³J=15,0 e 10,6 Hz, 1H), 2,68 (dd, ³J=15,0 e 3,0 Hz, 1H), 2,46 (m, 1H), 1,6-1,95 (m, 3H), 1,44 (s, 9H), 1,2 (m, 2H), 1,16 (d, ³J=7,1 Hz, 3H), 1,06 (d, ³J=6,8 Hz, 3H), 1,00 (d, ³J=7,1 Hz, 3H) (anexo 3.8_H). ¹³C-RMN (CDCl₃, 125,7MHz) δ 198,8; 155,6; 153,8; 127,0; 79,3; 52,4; 46,8; 45,6; 31,0; 29,9; 28,8; 23,8; 21,3; 21,2; 20,9; 20,5; 18,8 (anexo 3.8_C). IV 2965, 2936, 2870, 1685, 1627, 1376, 1365, 1353, 1315, 1303, 1177, 1009 cm⁻¹ (anexo 3.8_IV). HR/MS (M⁺) Calculado: 323,2460; Obtido: 323,2454; (anexo 3.8_CYCLENDE).

Outras análises (CD): DEPT, gCOSY, HSQC, CG/EM, HRMS.

(2RS,3RS,6RS)-1-(terc-butoxicarbonil)-2-(2-fenil-etan-2-ona)-3,6-dimetil-piperidina (3.9) A uma solução do etoxicarbamato 3.1 (16 mg; 0,062 mmol) em 1 mL de CH₂Cl₂, resfriada à -78°C e sob atmosfera de argônio, adicionou-se o 1-trimetil-sililoxi-1-fenil-etenô 3.6 (13,1 mg 0,07 mmol) e, logo a seguir, 1 gota de TMSOTf (1mol%) e agitou-se a reação por 30 minutos. Adicionou-se 2 mL de uma solução aquosa de NH₄Cl, extraiu-se a fase aquosa com CH₂Cl₂ (5 vezes com 5mL) e evaporou-se a fase orgânica. O composto 3.9 (13,6 mg; 0,041 mmol) foi isolado com um óleo incolor em 66% de rendimento, após coluna cromatográfica flash, utilizando-se Hexano:Acetato de Etila (9:1) como eluente. ¹H-RMN (CDCl₃, 500MHz) δ 7,4-8,1 (m, 5H), 4,50 (dd, ³J=10,5 e 1,9 Hz, 1H), 4,35 (sl, 1H), 3,29 (dd, ³J=15,5 e 10,4 Hz, 1H), 3,14 (dd, ³J=15,4 e 3,2 Hz, 1H), 1,8-2,0 (m, 3H), 1,44 (s, 9H), 1,2-1,4 (m, 2H), 1,26 (d, ³J=7,1 Hz, 3H), 1,05 (d, ³J=7,1 Hz, 3H) (anexo 3.9_H). ¹³C-RMN (CDCl₃, 75,4MHz) δ 198,4; 155,7; 136,8; 133,7; 128,2; 79,5; 52,7; 45,7; 44,7; 30,1; 28,4; 23,9; 21,1; 20,6; 18,9 (anexo 3.9_C). IV (filme) 3062, 2970, 2937, 2869, 1682, 1597, 1581, 1449, 1392, 1365, 1353, 1303, 1251, 1177, 1101, 1087, 1002, 871, 755, 691 cm⁻¹ (anexo 3.9_IV). HR/MS (M⁺-CO₂C(CH₃)₃ +1) Calculado: 231,1623; Obtido: 231,1623. (anexo 3.9_CYCLENDE_CDCl₃).

Outras análises (CD): ¹H-RMN (CCl₄), ¹³C-RMN (CCl₄), DEPT (CDCl₃, CCl₄), CYCLENDE (CDCl₃), COSY (CCl₄), HETCOR (CCl₄), ¹H-RMN (CDCl₃): Irradiação Seletiva, CG/EM, HRMS.

Procedimento geral para desproteção do grupo Boc em piperidinas 2,3,6-trissubstituídas 3.8 e 3.9. Adicionou-se a uma solução da respectiva piperidina (0,1 mmol) em CH₂Cl₂ (3 mL) e à 0°C, ácido trifluoroacético (1,0 mmol). Retirou-se o banho de gelo e deixou-se o sistema sob agitação por 3 horas à temperatura ambiente. Neutralizou-se a mistura reacional com NaHCO_{3(aq)} saturado e extraiu-se a fase aquosa com CH₂Cl₂ (4 X 5 mL), levando à obtenção das respectivas piperidinas desprotegidas que foram isoladas por cromatografia em sílica gel (eluente e rendimentos indicados em cada caso).

(2RS,3RS,6RS)-2-(5-metil-3-hepten-2-ona)-3,6-dimetil-piperidina (3.10) Eluente: Acetato de Etila/Metanol (9/1). 100% de rendimento. Óleo amarelado. ¹H-RMN (CCl₄, 500MHz) δ 6,68 (dd, ³J=15,9 e 6,6 Hz, 1H), 5,92 (dd, ³J=15,9 e 1,5 Hz, 1H), 5,1 (s, 1H), 2,68-2,82 (m, 3H), 2,62 (dd, ³J=17,2 e 7,2 Hz, 1H), 2,39 (m, 3H), 1,70 (m, 1H), 1,55 (m, 1H), 1,1-1,5 (m, 3H), 1,07 (d, ³J=6,1 Hz, 3H), 1,03 (d, ³J=6,9 Hz, 6H), 0,78 (d, ³J=6,6 Hz, 3H) (anexo 3.10_H). ¹³C-RMN (CCl₄, 125,4MHz) δ 197,1; 152,9; 127,8; 58,8; 52,8; 43,6; 34,9; 34,0; 33,2; 31,4; 21,8 (3C); 18,8 (anexo 3.10_C). IV (filme) 3330, 3312, 2961, 2925, 2872, 2801, 1693, 1668, 1628, 1464, 1440, 1377, 1336, 1309, 1275, 1199, 1131, 1076, 982, 927 cm⁻¹ (anexo 3.10_IV). HR/MS (M⁺) Calculado: 223,1936; Obtido: 223,1936.

Outras análises (CD): ¹H-RMN (CDCl₃), ¹³C-RMN (CDCl₃), DEPT (CDCl₃, CCl₄), gCOSY (CCl₄), HSQC (CCl₄), CG/EM, HRMS.

(2RS,3RS,6RS)-2-(2-fenil-etan-2-ona)-3,6-dimetil-piperidina (3.11) Eluente: Acetato de Etila/Metanol (7/3). 98% de rendimento. Óleo incolor. ¹H-RMN (CDCl₃, 300MHz) δ 7,44-7,98 (m, 5H), 3,8 (s, 1H), 3,40 (dd, ³J=18,1 e 3,3 Hz, 1H), 3,29 (dd, ³J=18,1 e 8,3 Hz, 1H), 3,04 (ddd, ³J=10,2; 7,8 e 3,3 Hz, 1H), 2,94 (m, 1H), 1,9-1,1 (m, 5H), 1,19 (d, ³J=6,4 Hz, 3H), 0,93 (d, ³J=6,6 Hz, 3H) (anexo 3.11_H). ¹³C-RMN (CDCl₃, 75,4MHz) δ 200,0; 136,6; 133,7; 128,7; 128,1; 59,3; 52,8; 40,5; 33,9; 33,3; 32,8; 21,5; 18,4 (anexo 3.11_C). IV (filme) 3367, 2965, 2933, 2855, 2817, 2749, 2552, 1682, 1597, 1450, 1417, 1386, 1376, 1353, 1285, 1202, 1178, 1131, 1002, 831, 799, 753, 720, 691 cm⁻¹ (anexo 3.11_IV). HR/MS (M⁺) Calculado: 231,1623; Obtido: 231,1623.

Outras análises (CD): DEPT, gCOSY, CG/EM, HRMS.

Procedimento geral para adição de aliltributilestanana aos etoxicarbamatos 3.1-3.3. A uma solução do etoxicarbamato correspondente (3.1-3.3) (0,5 mmol) em CH₂Cl₂ (5,0 mL), sob atmosfera de argônio e à -78°C, adicionou-se aliltributilestanana (1,0 mmol) e, logo a seguir, BF₃.OEt₂ (1,0 mmol). Deixou-se agitando por 90 minutos. Adicionou-se uma solução aquosa de KF 10% (2 mL) e agitou-se à temperatura ambiente por 1 hora. Separou-se a fase aquosa e

adicou-se mais solução de KF 10 % (2 mL) à fase orgânica, deixando-se mais 30 minutos agitando. Extraiu-se as fases aquosas com CH_2Cl_2 (5 X 4 mL) e evaporou-se a fase orgânica. Extraiu-se o sólido branco obtido com Acetato de Etila (5 X 10 mL) e os produtos de adição foram isolados por cromatografia em coluna flash (eluente e rendimentos obtidos indicados em cada caso).

(2RS,3RS,6RS)-1-(terc-butoxicarbonil)-2-aliil-3,6-dimetil-piperidina (3.12) Eluente: Hexano:Acetato de Etila (95/5). 91% de rendimento. Óleo amarelado. ^1H -RMN (CDCl_3 , 300MHz) δ 5,77 (m, 1H), 5,02 (m, 2H), 4,25 (sl, 1H), 3,84 (dd, $^3J=7,7$ e $7,0$ Hz, 1H), 2,30 (m, 2H), 1,2-2,0 (m, 5H), 1,45 (s, 9H), 1,16 (d, $^3J=7,0$ Hz, 3H), 0,99 (d, $^3J=7,0$ Hz, 3H) (anexo 3.12_H). ^{13}C -RMN (CDCl_3 , 75,4MHz) δ 156,3; 136,9; 116,6; 79,0; 56,0; 45,6; 40,8; 28,8; 28,3; 23,9; 20,9; 20,6; 18,9 (anexo 3.12_C). IV (filme) 3076, 2971, 2938, 2868, 1688, 1641, 1455, 1402, 1391, 1364, 1352, 1255, 1179, 1096, 1050, 1029, 1002, 912, 874, 770 cm^{-1} (anexo 3.12_IV). HR/MS ($M^+ - \text{CH}_2\text{CHCH}_2$) Calculado: 212,1651; Obtido: 212,1624. EM/IQ (M+1): 254 (12%). (anexo 3.12_NOE).

Outras análises (CD): DEPT, COSY, HETCOR, ^1H -RMN: Irradiação Seletiva, CG/EM, EM/IQ, HRMS.

(2RS,3RS,6RS)-1-(terc-butoxicarbonil)-2,3-dialil-6-metil-piperidina (3.14) Eluente: Hexano:Acetato de Etila (95/5). 71% de rendimento. Óleo incolor. ^1H -RMN (CDCl_3 , 500MHz) δ 5,7-5,9 (m, 2H), 4,9-5,1 (m, 4H), 4,27 (sl, 1H), 4,00 (m, 1H), 2,2-2,4 (m, 2H), 2,0-2,2 (m, 2H), 1,6-1,9 (m, 3H), 1,2-1,4 (m, 2H), 1,46 (s, 9H), 1,18 (d, $^3J=6,8$ Hz, 3H) (anexo 3.14_H). ^{13}C -RMN (CDCl_3 , 75,4MHz) δ 155,9; 137,2; 136,5; 116,6; 116,3; 79,0; 53,3; 40,8; 37,0; 34,4; 28,4; 28,4; 24,4; 20,9; 19,1 (anexo 3.14_C). IV (filme) 3076, 2974, 2935, 2867, 1687, 1640, 1458, 1364, 1318, 1256, 1178, 1110, 1098, 1062, 1014, 994, 912, 874, 771 cm^{-1} (anexo 3.14_IV). HR/MS ($M^+ - \text{CH}_2\text{CHCH}_2$) Calculado: 238,1807; Obtido: 238,1807. EM/IQ (M+1): 280 (30%).

Outras análises (CD): DEPT, gCOSY, HMQC, ^1H -RMN: Irradiação Seletiva, CG/EM, EM/IQ, HRMS.

(2RS,3RS,6RS)-1-(terc-butoxicarbonil)-2-aliil-3-metil-6-n-pentil-piperidina (3.16) Eluente: Hexano:Acetato de Etila (98/2). 86% de rendimento. ^1H -RMN (CDCl_3 , 500MHz, 50°C) δ 5,7-5,9 (m, 1H), 4,9-5,1 (m, 2H), 4,06 (sl, 1H), 3,89 (t, $^3J=6,5$ Hz, 1H), 2,3 (m, 2H), 1,4-1,9 (m, 5H), 1,45 (s, 9H), 1,1-1,4 (m, 8H), 1,00 (d, $^3J=7,1$ Hz, 3H), 0,89 (t, $^3J=6,8$ Hz, 3H) (anexo 3.16_H). ^{13}C -RMN (CDCl_3 , 75,4MHz, 50°C) δ 155,8; 136,8; 116,3; 78,9; 56,3; 50,5; 40,6; 35,7; 31,8; 29,5; 28,4; 27,0; 22,5; 22,0; 21,5; 19,2; 13,8 (anexo 3.16_C). IV (filme) 3075, 2958, 2932,

2860, 1687, 1640, 1456, 1406, 1364, 1316, 1254, 1177, 1111, 995, 911, 872, 769 cm⁻¹ (anexo 3.16_IV). HR/MS (M⁺-CH₂CHCH₂) Calculado: 268,2277; Obtido: 268,2274.

Outras análises (CD): ¹H-RMN (ta), ¹³C-RMN (ta), DEPT (ta), gCOSY (50°C), HSQC (ta), ¹H-RMN: Irradiação Seletiva (ta), CG/EM, HRMS.

(2RS,3RS,6RS)-2-allyl-3,6-dimetil-piperidina-hidrocloreto (3.17) Adicionou-se a uma solução de 3.12 (13,0mg, 0,05 mmol) em CH₂Cl₂ (1 mL) e à 0°C, ácido trifluoroacético (0,04 mL, 0,51 mmol). Retirou-se e o banho de gelo e deixou-se o sistema sob agitação por 3 horas à temperatura ambiente. Neutralizou-se a mistura reacional com NaHCO_{3(aq)} saturado e extraiu-se a fase aquosa com CH₂Cl₂ (4 X 5 mL). Isolou-se o produto de desproteção por cromatografia em coluna flash (Acetato de Etila/Metanol 90/10). Adicionou-se uma solução HCl/MeOH 2M e evaporou-se o solvente, fornecendo 3.17 em 74% de rendimento como um sólido amarelado. ¹H-RMN (D₂O, 500MHz) δ 5,74 (m, 1H), 5,17 (m, 2H), 3,12 (m, 1H), 2,82 (m, 1H), 2,54 (m, 1H), 2,29 (m, 1H), 1,82 (m, 1H), 1,78 (m, 1H), 1,53 (m, 1H), 1,38 (m, 1H), 1,21 (m, 1H), 1,18 (d, ³J=6,6 Hz, 3H), 0,91 (d, ³J=6,6 Hz, 3H) (anexo 3.17_H). IV (filme) 3360, 3077, 2960, 2929, 2854, 2748, 2544, 1770, 1761, 1715, 1614, 1557, 1456, 1441, 1417, 1404, 1377, 1318, 1260, 1203, 1180, 1091, 1064, 1041, 931, 802, 769 cm⁻¹ (anexo 3.11_IV).

Outras análises (CD): CYCLENOE

Procedimento para adição de 2-(terc-butildimetil-silioxi)-furano ao etoxicarbamato 3.1. A uma solução do etoxi-carbamato 3.1 (50 mg; 0,19 mmol) em 5 mL de CH₂Cl₂, resfriada à -78°C e sob atmosfera de argônio, adicionou-se 2,0 equivalentes de 2-(terc-butildimetil-silioxi)-furano (107 mg; 0,4 mmol) e de BF₃.OEt₂ (0,05 mL; 0,4 mmol) e agitou-se a reação por 90 minutos. Adicionou-se 2 mL de uma solução aquosa de NH₄Cl, extraiu-se a fase aquosa com CH₂Cl₂ (5 vezes com 5mL) e evaporou-se a fase orgânica. Os compostos 3.18 e 3.19 (43 mg; 0,15 mmol) foram obtidos, na proporção de 1:1,8 (determinada por CG), como sólidos brancos em 76% de rendimento, após coluna cromatográfica flash, utilizando-se Hexano:Acetato de Etila (8:2) como eluente.

(2RS,3RS,6RS)-1-(terc-butoxicarbonil)-2-[(2SR)-5-oxo-2,5-dihidro-2-furani]-3,6-dimetil-piperidina (3.18) ¹H-RMN (CDCl₃, 300MHz, ta) δ 7,3 (m, 1H), 6,13 (d, ³J=4,8 Hz, 1H), 5,30 (sI, 1H), 3,6-4,6 (m, 2H), 1,8-2,2 (m, 3H), 1,2-1,7 (m, 11H), 1,23 (d, ³J=6,9 Hz, 3H), 1,02 (d, ³J=7,0 Hz, 3H) (anexo 3.18_H). ¹³C-RMN (CDCl₃, 75,4MHz, 55°C) δ 172,5; 155,5; 121,5; 84,5; 80,3; 59,2; 46,4; 29,7; 28,4; 27,9; 24,9; 22,6; 21,4; 19,5 (anexo 3.18_C). IV (filme) 3093, 2970, 2937, 2872, 1790, 1761, 1687, 1651, 1456, 1399, 1367, 1355, 1319, 1299, 1255, 1167, 1093,

1032, 1008, 895, 868, 817, 799, 772 cm⁻¹ (anexo 3.18_IV). HR/MS (M⁺-C₄H₈) Calculado:239,1158; Obtido: 239,1158. (anexo 3.18_NOESY-1D_TA).

Outras análises (CD): ¹H-RMN (55°C), DEPT (55°C), HRMS, Difração de Raio-X

(2RS,3RS,6RS)-1-(terc-butoxicarbonil)-2-[(2RS)-5-oxo-2,5-dihidro-2-furani]-3,6-dimetil-piperidina (3.19) ¹H-RMN (CDCl₃, 500MHz, 50°C) δ 7,56 (d, ³J=5,1 Hz, 1H), 6,03 (d, ³J=4,1 Hz, 1H), 5,04 (dt, ³J=5,1 e 1,8 Hz, 1H), 4,1 (sI, 2H), 2,00 (m, 1H), 1,92 (m, 1H), 1,83 (m, 1H), 1,2-1,6 (m, 2H), 1,42 (s, 9H); 1,15 (d, ³J=6,6 Hz, 3H), 1,10 (d, ³J=6,6 Hz, 3H) (anexo 3.19_H). ¹³C-RMN (CDCl₃, 75,4MHz, 50°C) δ 20,6; 21,5; 24,9; 26,9; 28,2; 30,8; 47,1; 59,1; 79,9; 85,7; 121,3; 155,1; 156,4; 173,1 (anexo 3.19_C). IV (filme) 3091, 2971, 2934, 2872, 1787, 1759, 1683, 1600, 1456, 1407, 1391, 1366, 1316, 1288, 1253, 1164, 1093, 1041, 1008, 915, 893, 826, 817, 771 cm⁻¹ (anexo 3.19_IV). HR/MS (M⁺-C₄H₈) Calculado:239,1158; Obtido: 239,1172. (anexo 3.19_CYCLOENOE_50GR).

Outras análises (CD): ¹H-RMN (ta), ¹³C-RMN (ta), gCOSY (50°C), ¹H-RMN (50°C): Irradiação Seletiva, HPLC, CG, CG/EM, HRMS.

(2RS,3RS,6RS)-1-(terc-butoxicarbonil)-2-(4-metoxi-3-buten-2-ona)-3,6-dimetil-piperidina (3.20) A uma solução do etoxi-carbamato 3.1 (56 mg; 0,22 mmol) em 5 mL de CH₂Cl₂, resfriada à -78°C e sob atmosfera de argônio, adicionou-se 2,0 equivalentes de (0,1 mL; 0,47 mmol) e de BF₃.OEt₂ (0,05 mL; 0,43 mmol) e agitou-se a reação por 90 minutos. Adicionou-se 2 mL de uma solução aquosa de NH₄Cl, extraiu-se a fase aquosa com CH₂Cl₂ (5 vezes com 5mL) e evaporou-se a fase orgânica. O composto 3.20 (6,8 mg; 0,02 mmol) foi obtido, como um óleo incolor em 10% de rendimento, após coluna cromatográfica flash, utilizando-se Hexano:Acetato de Etila (8:2) como eluente. ¹H-RMN (CDCl₃, 300MHz) δ 7,77 (d, ³J=12,6 Hz, 1H), 5,64 (d, ³J=12,6 Hz, 1H), 4,35 (m, 2H), 3,73 (s, 3H), 2,68 (m, 2H), 1,6-2,0 (m, 3H), 1,47 (s, 9H), 1,0-1,4 (m, 2H), 1,15 (d, ³J=7,0 Hz, 3H), 1,01 (d, ³J=7,0 Hz, 3H) (anexo 3.20_H). ¹³C-RMN (CDCl₃, 125,7MHz) δ 198,6; 164,3; 156,5; 106,1; 80,2; 58,3; 53,9; 48,5; 46,5; 30,4; 30,2; 29,2; 24,5; 23,8; 21,7; 21,1; 19,6 (anexo 3.20_C). IV (filme) 2969, 2936, 2869, 1682, 1651, 1644, 1621, 1596, 1455, 1440, 1393, 1366, 1354, 1312, 1254, 1242, 1222, 1176, 1137, 1099, 1043, 1005, 972, 958, 870, 810, 771 cm⁻¹ (anexo 3.20_IV). HR/MS (M⁺-C₄H₈) Calculado:255,1471; Obtido: 255,1471.

Outras análises (CD): DEPT, CYCLOENOE, gCOSY, ¹H-RMN: Irradiação Seletiva, HSQC, CG/EM, HRMS.

Procedimento para redução de N-Boc-2-pirrolidinonas dissustituídas 2.38-2.43. A uma solução da lactama (0,25 mmol) em THF (1 mL), à -78°C, e sob atmosfera de argônio,

adicionou-se LiBEt₃H-solução 1M em THF (0,38 mmol) e deixou-se agitando por 60 minutos. Adicionou-se etanol (10mL) gelado à -78°C e uma solução HCl/EtOH 2M até pH 3 (acompanhamento com papel indicador universal). Após 2 horas à -78°C adicionou-se uma solução de KOH/10% em etanol, até a neutralização a solução. Deixou-se o sistema chegar à temperatura ambiente e extraiu-se a fase aquosa com CH₂Cl₂ (4 X 5 mL) e obteve-se os produtos de redução após coluna cromatográfica em sílica gel com a adição de 1mL de Et₃N (os eluentes e rendimentos estão indicados em cada caso). Nas reações onde produtos hidroxilados foram isolados juntamente com os etoxicarbamatos o rendimento total é representado pela soma dos rendimentos de ambos.

[2RS(2SR),3RS,5RS]-1-(terc-butoxicarbonil)-2-etoxi-3-metil-5-fenil-pirrolidina (3.21).

Eluente: Hexano/Aacetato de Etila 90/10. 26% de rendimento. Óleo incolor. IV (filme) 3458, 3064, 3029, 2971, 2931, 2875, 1700, 1604, 1495, 1478, 1456, 1381, 1365, 1256, 1169, 1126, 1094, 1078, 1018, 924, 897, 860, 759, 701, 603 cm⁻¹ (anexo 3.21_IV). Isolado juntamente com 3.22

Outras análises (CD): ¹H-RMN

[2RS(2SR),3RS,5RS]-1-(terc-butoxicarbonil)-2-hidroxi-3-metil-5-fenil-pirrolidina

(3.22). Eluente: Hexano/Aacetato de Etila 90/10. 36% de rendimento. Óleo incolor. IV (filme) 3445, 3062, 3028, 2970, 2932, 2875, 1785, 1749, 1679, 1604, 1495, 1478, 1456, 1393, 1366, 1312, 1249, 1164, 1105, 1040, 1031, 924, 908, 760, 702, 612 cm⁻¹ (anexo 3.22_IV).

Outras análises (CD): ¹H-RMN

[2RS(2SR),3RS,5RS]-1-(terc-butoxicarbonil)-2-etoxi-3-alil-5-metil-pirrolidina (3.23).

Eluente: Hexano/Aacetato de Etila 80/20. 20% de rendimento. Óleo incolor. ¹H-RMN (CDCl₃, 300MHz) δ 5,7-5,9 (m, 1H), 4,9-5,2 (m, 2H), 4,0-3,4 (m, 2H), 1,8-2,4 (m, 4H), 1,2-1,7 (m, 3H), 1,45 (s, 9H), 1,33 (s, 3H), 1,19 (m, 3H) (sinais largos) (anexo 3.23_H). Isolado juntamente com 3.24

Outras análises (CD): ¹³C-RMN

[2RS(2SR),3RS,5RS]-1-(terc-butoxicarbonil)-2-hidroxi-3-alil-5-metil-pirrolidina (3.24).

Eluente: Hexano/Aacetato de Etila 80/20. 80% de rendimento. Óleo incolor. IV (filme) 3444, 3076, 2974, 2932, 2874, 1681, 1642, 1478, 1455, 1393, 1367, 1346, 1256, 1172, 1129, 1101, 1033, 997, 912, 868, 774 cm⁻¹ (anexo 3.24_IV).

Outras análises (CD): ¹H-RMN

124

[2RS(2SR),3RS,5RS]-1-(terc-butoxicarbonil)-2-etoxi-3-aliil-5-fenil-pirrolidina (3.25).

Eluente: Hexano/Aacetato de Etila 90/10. 25% de rendimento. Óleo incolor. ^1H -RMN (CDCl_3 , 300MHz) δ 7,4-7,0 (m, 5H), 5,9-5,7 (m, 1H), 5,3-4,6 (m, 4H), 3,9-3,5 (m, 2H), 2,2-2,4 (m, 4H), 1,6-1,1 (m, 13H) (sinais largos) (anexo 3.25_H). Isolado juntamente com 3.26

Outras análises (CD): ^1H -RMN, ^{13}C -RMN, DEPT

[2RS(2SR),3RS,5RS]-1-(terc-butoxicarbonil)-2-hidroxi-3-aliil-5-fenil-pirrolidina (3.26).

Eluente: Hexano/Aacetato de Etila 80/20. 49% de rendimento. Óleo incolor. IV (filme) 3445, 3064, 3028, 3008, 2975, 2930, 1681, 1642, 1495, 1477, 1455, 1393, 1366, 1340, 1282, 1256, 1166, 1133, 1076, 1041, 1030, 901, 769, 759, 702, 610 cm^{-1} (anexo 3.26_IV).

Outras análises (CD): ^1H -RMN, ^{13}C -RMN, DEPT

[2RS(2SR),3RS,5RS]-1-(terc-butoxicarbonil)-2-hidroxi-3-benzil-5-metil-pirrolidina

(3.27). Eluente: Hexano/Aacetato de Etila 80/20. 93% de rendimento. Óleo incolor. IV (filme) 3445, 3062, 3026, 2971, 2930, 2872, 1678, 1496, 1478, 1454, 1393, 1367, 1344, 1255, 1169, 1130, 1097, 1065, 1030, 1011, 866, 774, 751, 700 cm^{-1} (anexo 3.27_IV).

Outras análises (CD): ^1H -RMN

[2RS(2SR),3RS,5RS]-1-(terc-butoxicarbonil)-2-etoxi-3-benzil-5-fenil-pirrolidina (3.28).

Eluente: Hexano/Aacetato de Etila 80/20. 13% de rendimento. Óleo incolor. IV (filme) 3062, 3027, 2972, 2926, 2870, 2854, 1701, 1603, 1495, 1478, 1454, 1377, 1366, 1255, 1165, 1118, 1072, 1030, 897, 750, 700 cm^{-1} (anexo 3.28_IV). Isolado juntamente com 3.29

[2RS(2SR),3RS,5RS]-1-(terc-butoxicarbonil)-2-hidroxi-3-benzil-5-metil-pirrolidina

(3.29). Eluente: Hexano/Aacetato de Etila 80/20.65% de rendimento. Óleo incolor. IV (filme) 3435, 3086, 3062, 3027, 3003, 2975, 2929, 1948, 1847, 1678, 1603, 1495, 1477, 1454, 1393, 1366, 1310, 1283, 1256, 1163, 1128, 1085, 1065, 1050, 1030, 906, 893, 858, 754, 701 cm^{-1} (anexo 3.29_IV).

Outras análises (CD): ^1H -RMN

[2RS(2SR),3SR,5RS]-1-(terc-butoxicarbonil)-2-hidroxi-3-metil-5-fenil-pirrolidina

(3.30). Eluente: Hexano/Aacetato de Etila 80/20. 67% de rendimento. Óleo incolor. IV (filme) 3439, 3062, 3028, 2974, 2931, 2876, 1679, 1456, 1396, 1366, 1257, 1164, 1150, 1127, 1074, 989, 898, 762, 700 cm^{-1} (anexo 3.30_IV).

Procedimento para formação de N-Boc-pirrolidinas aliladas 3.31-3.36. A uma solução dos hidroxicarbamatos ou etoxicarbamatos (reagentes utilizados indicados em cada caso) 3.21-3.30 (0,15 mmol) em CH₂Cl₂ (3 mL), à -78°C, e sob atmosfera de argônio, adicionou-se alatributilestanana (0,30 mmol) e, logo a seguir, BF₃.OEt₂ (0,30 mmol). Deixou-se agitando por 90 minutos e Adicionou-se uma solução aquosa de KF 10% (3 mL) e agitou-se à temperatura ambiente por 1 hora. Separou-se a fase aquosa e adicionou-se mais 3 mL da solução de KF 10% à fase orgânica, deixando-se agitando por mais 30 minutos. Extraiu-se as fases aquosas com CH₂Cl₂ (5 X 5 mL) e evaporou-se a fase orgânica. Extraiu-se novamente o sólido branco obtido com Acetato de Etila (5 X 5 mL). Os produtos de adição foram isolados por cromatografia em coluna flash (rendimentos e eluentes indicados em cada caso). Os sinais dos espectros de ¹H-RMN não estão listados nesta parte experimental devido à presença de misturas de epímeros e de isômeros rotacionais (apesar disto eles encontram-se disponíveis na parte de anexos).

[2RS(2SR),3RS,5RS]-1-(terc-butoxicarbonil)-2-alil-3-metil-5-fenil-pirrolidina (3.31)

Eluente: Hexano/Aacetato de Etila 95/5. Reagente: 3.21: 78% de rendimento. Reagente: 3.22: 64% de rendimento. Óleo incolor. Mistura de produtos 1,9/1,0 determinada por CG (Condição-padrão). IV (filme) 3074, 3064, 3028, 3002, 2972, 2930, 2876, 1693, 1639, 1604, 1495, 1477, 1452, 1388, 1365, 1256, 1173, 1121, 1078, 1062, 1029, 952, 913, 862, 769, 754, 700 cm⁻¹ (anexo 3.31_IV). HR/MS (M⁺-CH₂CHCH₂) Calculado: 260,1651; Obtido: 260,1649. EM/IQ (M+1): 302 (100%). ¹H-RMN (anexo 3.31_H).

Outras análises (CD): ¹³C-RMN, DEPT, EM/IQ, CG/EM, HPLC, HRMS

[2RS(2SR),3RS,5RS]-1-(terc-butoxicarbonil)-2-alil-3-benzil-5-metil-pirrolidina (3.32)

Eluente: Hexano/Aacetato de Etila 90/10. 53% de rendimento. Óleo incolor. Mistura de produtos 2,2/1,0 determinada por CG (Condição-padrão). IV (filme) 3074, 3063, 3026, 3002, 2972, 2929, 2869, 1693, 1640, 1496, 1454, 1388, 1365, 1347, 1255, 1176, 1123, 1096, 1030, 1004, 912, 773, 746, 700 cm⁻¹ (anexo 3.32_IV). HR/MS (M⁺-CH₂CHCH₂) Calculado: 274,1807; Obtido: 274,1805. EM/IQ (M+1): 316 (100%). ¹H-RMN (anexo 3.32_H).

Outras análises (CD): ¹³C-RMN, EM/IQ, CG, CG/EM, HRMS

[2RS(2SR),3RS,5RS]-1-(terc-butoxicarbonil)-2-alil-3-benzil-5-fenil-pirrolidina (3.33)

Eluente: Hexano/Aacetato de Etila 90/10. Reagente: mistura de 3.28 e 3.29: 74% de rendimento. Óleo incolor. Mistura de produtos 1,6/1,0 determinada por CG (Condição-padrão). IV (filme) 3062, 3027, 3002, 2974, 2929, 1693, 1640, 1603, 1495, 1454, 1386, 1365, 1255, 1169, 1121,

1075, 1030, 914, 745, 699 cm^{-1} (anexo 3.33_IV). HR/MS ($M^+ \text{-C}_4\text{H}_8$) Calculado: 320,1650; Obtido: 320,1656. EM/IQ ($M+1$): 378 (37%). $^1\text{H-RMN}$ (anexo 3.33_H).

Outras análises (CD): $^{13}\text{C-RMN}$, EM/IQ, CG, CG/EM, HRMS,

[2RS(2SR),3RS,5RS]-1-(terc-butoxicarbonil)-2,3-dialil-5-fenil-pirrolidina (3.34)

Eluente: Hexano/Aacetato de Etila 90/10. Reagente: 3,25: 78% de rendimento. Reagente: 3,26: 70% de rendimento. Óleo incolor. Mistura de produtos 1,4/1,0 determinada por CG (Condição-padrão). IV (filme) 3075, 3028, 3002, 2975, 2928, 1694, 1641, 1494, 1478, 1452, 1386, 1365, 1320, 1255, 1172, 1121, 1075, 994, 913, 767, 700 cm^{-1} (anexo 3.34_IV). HR/MS ($M^+ \text{-CH}_2\text{CHCH}_2$) Calculado: 286,1807; Obtido: 286,1805. EM/IQ ($M+1$): 328 (83%). $^1\text{H-RMN}$ (anexo 3.34_H).

Outras análises (CD): EM/Inserção direta, EM/IQ, CG, CG/EM, HPLC, HRMS

[2RS(2SR),3RS,5RS]-1-(terc-butoxicarbonil)-2,3-dialil-5-metil-pirrolidina (3.35)

Eluente: Hexano/Aacetato de Etila 95/5. Reagente: 3,23: 63% de rendimento. Reagente: 3,24: 60% de rendimento. Óleo incolor. IV (filme) 3076, 2974, 2928, 2872, 2855, 1695, 1641, 1478, 1455, 1388, 1366, 1255, 1176, 1122, 995, 912, 773 cm^{-1} (anexo 3.35_IV). HR/MS ($M^+ \text{-CH}_2\text{CHCH}_2$) Calculado: 224,1651; Obtido: 224,1650. EM/IQ ($M+1$): 266 (100%). $^1\text{H-RMN}$ (anexo 3.35_H).

Outras análises (CD): EM/Inserção direta, EM/IQ, CG, HPLC, HRMS

[2RS(2SR),3SR,5RS]-1-(terc-butoxicarbonil)-2-alil-3-metil-5-fenil-pirrolidina (3.36)

Eluente: Hexano/Aacetato de Etila 95/5. Reagente: 3,30: 59% de rendimento. Óleo incolor. Mistura de produtos 1,2/1,0 determinada por CG (Condição-padrão). IV (filme) 3072, 3028, 2963, 2928, 2875, 1694, 1455, 1385, 1365, 1256, 1168, 1134, 1074, 912, 699 cm^{-1} (anexo 3.36_IV). HR/MS ($M^+ \text{-CH}_2\text{CHCH}_2$) Calculado: 260,1651; Obtido: 260,1651. EM/IQ ($M+1$): 302 (96%). $^1\text{H-RMN}$ (anexo 3.36_H).

Outras análises (CD): $^{13}\text{C-RMN}$, EM/IQ, CG/EM, HPLC, HRMS

[2RS,3aSR,7aRS(SR)]-1-(terc-butoxicarbonil)-2-metil-2,3,3a,4,7,7a-hexahidro-indol

(3.37) Preparou-se uma solução em CH_2Cl_2 (2 mL) do catalisador de Grubbs (4 mol%; 2,6 mg) à temperatura ambiente, sob atmosfera de argônio e adicionou-se solução da pirrolidina trissubstituída 3.35 (21,0 mg; 0,08 mmol) em CH_2Cl_2 (1 mL). Deixou-se agitando por 3 horas, evaporou-se o solvente e isolou-se o produto de metátese de olefinas 3,37 (17,0 mg; 0,07 mmol) através cromatografia em coluna flash (Hexano/Aacetato de Etila 95/5) em 91% de rendimento como um óleo incolor. Mistura de produtos 1,1/1,0 determinada por CG (Condição-

padrão). IV (filme) 3024, 2964, 2928, 2849, 1695, 1478, 1456, 1391, 1365, 1304, 1254, 1177, 1144, 1123, 1089, 1077, 1009, 985, 773, 664 cm⁻¹ (anexo 3.37_IV). HR/MS (M⁺) Calculado: 237,1729; Obtido: 237,1727. ¹H-RMN (anexo 3.37_H).

Outras análises (CD): ¹³C-RMN, gCOSY, CG, CG/EM, HRMS

[2RS,3aSR,7aRS(SR)]-1-(terc-butoxicarbonil)-2-fenil-2,3,3a,4,7,7a-hexahidro-indol

(3.38) Preparou-se uma solução em CH₂Cl₂ (2 mL) do catalisador de Grubbs (4 mol%; 2,7 mg) à temperatura ambiente, sob atmosfera de argônio e adicionou-se solução da pirrolidina trissubstituída 3.34 (27,0 mg; 0,08 mmol) em CH₂Cl₂ (1 mL). Deixou-se agitando por 3 horas, evaporou-se o solvente e isolou-se o produto de metátese de olefinas 3,38 (22,2 mg; 0,07 mmol) através cromatografia em coluna flash (Hexano/Aacetato de Etila 95/5) em 90% de rendimento como um óleo incolor. Mistura de produtos 1,2/1,0 determinada por CG (Condição-padrão). IV (filme) 3086, 3060, 3024, 3003, 2972, 2927, 2900, 2849, 1697, 1494, 1451, 1394, 1364, 1346, 1308, 1294, 1255, 1172, 1138, 1122, 1074, 945, 916, 766, 699, 666 cm⁻¹ (anexo 3.38_IV). HR/MS (M⁺) Calculado: 243,1259; Obtido: 243,1260. ¹H-RMN (anexo 3.38_H).

Outras análises (CD): ¹³C-RMN, DEPT, CG, CG/EM, HRMS

6.4 Capítulo 4

(2RS,4aRS,8aSR)-1-(terc-butoxicarbonil)-2-metil-3,4,4a,5,8,8a-octaidroquinolina (4.1)

A uma solução do catalisador de Grubbs (2,8 mg; 0,0034mmol; 4 mol%) em 2,5 mL de CH_2Cl_2 adiciona-se outra solução de N-Boc-2,3-dialil-6-metil-piperidina **3.14** (24 mg; 0,086 mmol) em 1 mL CH_2Cl_2 , à temperatura ambiente, e sob atmosfera de argônio e deixou-se agitando por 1 hora. Retirou-se o solvente em evaporador rotativo e o produto de metátese de olefinas **4.1** (21 mg; 0,083 mmol) foi isolado após cromatografia em coluna flash, utilizando-se Hexano:Acetato de Etila (95/5) como eluente, em 97 % de rendimento na forma de um óleo incolor. ^1H -RMN (CDCl_3 , 500MHz) δ 5,1 (m, 2H), 4,45 (m, 1H), 3,47 (ddd, $^3\text{J}= 11,0; 11,0$ e 4,8 Hz 1H), 2,7 (m, 1H), 2,1-2,25 (m, 2H), 1,7-2,0 (m, 3H), 1,2-1,7 (m, 3H), 1,46 (s, 9H), 1,25 (d, $^3\text{J}= 7,3$ Hz, 3H) (anexo **4.1_H**). ^{13}C -RMN (CDCl_3 , 125,7MHz) δ 155,6; 126,39; 126,38; 79,0; 57,0; 44,5; 34,2; 33,9; 33,8; 29,0; 28,6; 26,1; 25,8 (anexo **4.1_C**). IV (filme) 3024, 2966, 2928, 2871, 2855, 1731, 1689, 1646, 1454, 1401, 1365, 1348, 1315, 1255, 1175, 1151, 1117, 1097, 1075, 1058, 1024, 990, 961, 887, 770, 664 cm^{-1} (anexo **4.1_IV**). HR/MS (M $^+$) Calculado: 251,1885; Obtido: 251,1886.

Outras análises (CD): DEPT, gCOSY, HSQC, ^1H -RMN: Irradiação Seletiva, CG/EM, HRMS.

(2RS,4aRS,8aSR)-2-metil-3,4,4a,5,8,8a-octaidroquinolina (4.2) Preparou-se uma solução octaidroquinolina **4.1** (11,6 mg; 0,046 mmol) em 1 mL de CH_2Cl_2 , e resfriou-se à 0°C em um banho de gelo. Adicionou-se, gota a gota, 10 equivalentes do ácido trifluoroacético (0,035 mL; 0,46 mmol). Retirou-se o banho de gelo e deixou-se a reação agitando à temperatura ambiente por 3 horas. Após esse tempo adicionou-se solução saturada de NaHCO_3 (3mL) e extraiu-se a fase aquosa com CH_2Cl_2 (4 X 5mL). Obteve-se **4.2** (4,6 mg, 0,03 mmol) como um óleo incolor, em 66 % de rendimento, após coluna cromatográfica flash utilizando-se Acetato de Etila/Metanol/ NH_4OH (80mL/20mL/20gotas) como eluente. ^1H -RMN (CDCl_3 , 500MHz) δ 5,63 (m, 1H), 5,58 (m, 1H), 4,30 (m, 1H), 3,00 (m, 1H), 2,84 (td, $^3\text{J}=10,5$ e 5,3 Hz, 1H), 2,42 (dt, $^3\text{J}=17,1$ e 5,3 Hz, 1H), 2,1-2,3 (m, 2H), 1,92 (m, 1H), 1,7-1,9 (m, 3H), 1,64 (m, 1H), 1,32 (d, $^3\text{J}=6,4$ Hz, 3H), 1,2-1,3 (m, 1H) (anexo **4.2_H**). ^{13}C -RMN (CDCl_3 , 125,7MHz) δ 126,0; 123,8; 56,9; 52,8; 34,5; 31,7; 31,5; 30,7; 29,8; 19,9 (anexo **4.2_C**). IV (filme) 3390, 3188, 3029, 2928, 2853, 2791, 2746, 2637, 2514, 2446, 2354, 1738, 1732, 1668, 1633, 1621, 1615, 1584, 1575, 1568, 1557, 1462, 1456, 1442, 1385, 1354, 1337, 1306, 1260, 1202, 1175, 1152, 1112, 1067, 1039, 1015, 997, 987, 801, 780, 666 cm^{-1} (anexo **4.2_IV**). HR/MS (M $^+$) Calculado: 151,1361; Obtido: 151,1361.

Outras análises (CD): DEPT, gCOSY, HSQC, ^1H -RMN: Irradiação Seletiva, HRMS.

(2RS,4aRS,8aSR)-2-metil-3,4,4a,5,6,7,8,8a-decaidroquinolina-hidrocloreto (4.3)

Preparou-se uma solução decaidroquinolina 4.2 (3,5 mg; 0,023 mmol) em 5 mL de metanol e adicionou-se aproximadamente 2 mg de Pd/C (~10mol%). Manteve-se o sistema sob agitação e atmosfera de H₂ (1 atm) por 4 horas, filtrou-se o sistema em celite utilizando-se metanol como solvente. Adicionou-se uma solução de HCl/EtOH 2M até pH2 e evaporou-se os solventes em evaporador rotativo, fornecendo 4 mg (0,021mmol) de 4.3 na forma de um hidrocloreto. ¹H-RMN (D₂O, 300MHz) δ 3,0 (m, 1H), 2,60 (dt, ³J=11,0; e 3,4 Hz, 1H), 1,7-1,8 (m, 2H), 1,5-1,7 (m, 3H), 1,0-1,4 (m, 7H), 1,11 (d, ³J=6,6 Hz, 3H), 0,90 (m, 1H) (anexo 4.3_H). ¹³C-RMN (D₂O, 125,7MHz) δ 61,3; 54,1; 39,2; 31,8; 31,0; 30,4; 30,0; 25,3; 24,9; 19,2 (anexo 4.3_C). IV (filme) 3390, 2930, 2855, 2793, 2735, 2629, 2524, 2355, 1737, 1583, 1462, 1455, 1383, 1287, 1259, 1122, 1028, 955, 750 cm⁻¹ (anexo 4.3_IV). HR/MS (M⁺) Calculado: 153,1518; Obtido: 153,1524.

Outras análises (CD): DEPT, gCOSY, HRMS

(5RS,8RS,8aSR)-5,8-dimetil-indolizidina (4.4) A uma solução de 4.5 (22,0 mg; 0,13 mmol) em 2 mL de CH₂Cl₂, à 0°C, adicionou-se tetrabrometo de carbono (53 mg; 0,16 mmol) e trifenil-fosfina (50 mg, 0,19 mmol). Agitou-se por 30 minutos, adicionou-se Et₃N (0,27 mL, 1,90 mmol) e após 60 minutos evaporou-se o solvente do bruto reacional em evaporador rotativo. Isolou-se um sólido alaranjado, que após coluna cromatográfica em sílica flash, com clorofórmio:metanol (9:1) como eluente, forneceu 4.4 (13 mg, 0,09 mmol) em 70 % de rendimento como um sólido marrom claro amorf. ¹H-RMN (CDCl₃, 300MHz) δ 3,9 (m, 1H), 2,94 (m, 1H), 2,72 (m, 1H), 2,57 (m, 1H), 2,4 (m, 1H), 1,7-2,3 (m, 7H), 1,54 (d, ³J=6,8 Hz, 3H), 1,2 (m, 1H), 0,98 (d, ³J=6,2 Hz, 3H) (anexo 4.4_H). ¹³C-RMN (CDCl₃, 75,4MHz) δ 73,1; 61,2; 50,8; 33,3; 31,9; 30,9; 27,0; 18,0; 18,1; 17,7 (anexo 4.4_C). IV (filme) 2955, 2922, 2873, 2850, 2774, 2694, 2648, 2613, 2578, 2534, 2486, 2456, 1455, 1374, 1074, 1051 cm⁻¹ (anexo 4.4_IV). HR/MS (M⁺) Calculado: 154,1518; Obtido: 154,1602.

Outras análises (CD): DEPT, COSY, HETCOR, ¹H-RMN: Irradiações Seletivas, CG/EM, HRMS.

(2RS,3RS,6RS)-2-(3-hidroxipropil)-3,6-dimetil-piperidina (4.5) Preparou-se uma solução piperidina 4.7 (198,0 mg; 0,73 mmol) em 10 mL de CH₂Cl₂, e resfriou-se à 0°C em um banho de gelo. Adicionou-se, gota a gota, 10 equivalentes do ácido trifluoroacético (0,56 mL; 7,3 mmol). Retirou-se o banho de gelo e deixou-se a reação agitando à temperatura ambiente por 3 horas. Após esse tempo adicionou-se NH₄OH_(conc.) até pH neutro, seguido de 40 mL de CH₂Cl₂ e MgSO₄ e obteve-se 4,5 (81,0 mg, 0,51 mmol) como um óleo incolor, em 70 % de rendimento, após coluna cromatográfica flash utilizando-se Acetato de Etila/Metanol (8/2) como

eluente. ^1H -RMN (CDCl_3 , 300MHz) δ 4,9 (sl, 2H), 3,6 (m, 1H), 2,76 (m, 1H), 2,34 (ddd, $^3J=9,7$; 7,0 e 2,5 Hz, 1H), 1,2-1,9 (m, 8H), 1,15 (d, $^3J=6,6$ Hz, 3H), 0,87 (d, $^3J=6,6$ Hz, 3H) (anexo 4.5_H). ^{13}C -RMN (CDCl_3 , 75,4MHz) δ 62,4; 62,2; 52,4; 33,5; 33,3; 33,2; 31,7; 28,6; 21,3; 18,1 (anexo 4.5_C). IV (filme) 3365, 3272, 2952, 2924, 2869, 2849, 1682, 1456, 1447, 1379, 1201, 1176, 1132, 1061, 719 cm^{-1} (anexo 4.5_IV). HR/MS (M $^+$) Calculado: 171,1623; Obtido: 171,1623.

Outras análises (CD): DEPT, HRMS.

(2RS,3RS,6RS)-2-allyl-3,6-dimetil-piperidina (4.6) Adicionou-se a uma solução de 3.12 (13,0mg, 0,05 mmol) em CH_2Cl_2 (1 mL) e à 0°C, ácido trifluoroacético (0,04 mL, 0,51 mmol). Retirou-se o banho de gelo e deixou-se o sistema sob agitação por 3 horas à temperatura ambiente. Neutralizou-se a mistura reacional com $\text{NaHCO}_{3(\text{aq})}$ saturado e extraiu-se a fase aquosa com CH_2Cl_2 (4 X 5 mL). Isolou-se o produto de desproteção 4.6 por cromatografia em coluna flash (Acetato de Etila/Metanol 90/10) em 46% de rendimento como um óleo amarelado.

^1H -RMN (CDCl_3 , 300MHz) δ 9,0 (sl, 1H), 6,09 (m, 1H), 5,15 (m, 2H), 3,14 (m, 1H), 2,5-2,8 (m, 3H), 1,1-2,0 (m, 5H), 1,50 (d, $^3J=6,6$ Hz, 3H), 0,95 (d, $^3J=6,2$ Hz, 3H) (anexo 4.6_H). ^{13}C -RMN (CDCl_3 , 75,4MHz) δ 132,7; 119,4; 62,9; 54,8; 32,8; 32,4; 30,5; 19,1; 18,0 (anexo 4.6_C). IV (filme) 3408, 2927, 2849, 2797, 2732, 2531, 1687, 1641, 1590, 1459, 1436, 1385, 1351, 1312 cm^{-1} (anexo 4.6_IV). EM/IQ (M+1): 154 (100%).

Outras análises (CD): DEPT, EM/IQ

(2RS,3RS,6RS)-(1-terc-butoxicarbonil)-2-(3-hidroxipropil)-3,6-dimetil-piperidina (4.7) Preparou-se uma solução da piperidina 3.12 (155 mg; 0,61 mmol) em 6 mL de THF e resfriou-se à -78°C. Adicionou-se, gota a gota, 10 equivalentes de complexo borana-dimetilsulfeto (1,10 mL; 11,7 mmol). Retirou-se o banho e deixou-se a reação à temperatura ambiente por 18 horas. Adicionou-se 5 mL de metanol gota a gota e evaporou-se os solventes (repetiu-se este procedimento 4 vezes). Adicionou-se 6 mL de metanol ao bruto reacional e após total dissolução adicionou-se H_2O_2 30% (0,1 mL; 0,91 mmol) e uma solução aquosa de NaOH (10 %) até o pH do sistema ficar entre 8 e 9 (medido com papel indicador universal). Agitou-se a solução por 60 minutos, adicionou-se Acetato de Etila (20 mL), MgSO_4 , filtrou-se e evaporou-se o solvente em evaporador rotativo. Após coluna cromatográfica flash, com Hexano/Acetato de Etila (8/2) como eluente, isolou-se 4.7 (120,0 mg; 0,45 mmol) em 74 % de rendimento como um óleo incolor. ^1H -RMN (CDCl_3 , 300MHz) δ 4,25 (sl, 1H), 3,85 (m, 1H), 3,70 (m, 2H), 2,05 (sl, 2H), 1,91 (m, 1H), 1,76 (m, 1H), 1,65 (m, 2H), 1,46 (s, 9H), 1,2-1,6 (m, 4H), 1,16 (d, $^3J=7,0$ Hz, 3H), 1,02 (d, $^3J=7,0$ Hz, 3H) (anexo 4.7_H). ^{13}C -RMN (CDCl_3 , 75,4MHz) δ 177,0; 79,5; 62,1; 55,2; 46,0; 32,2; 30,1; 29,5; 28,2; 24,2; 21,2; 21,0; 18,5 (anexo 4.7_C). IV (filme) 3437, 2963, 2934,

2866, 1685, 1663, 1454, 1406, 1365, 1311, 1255, 1174, 1096, 1057, 1002 cm⁻¹ (anexo 4.7_IV). HR/MS (M⁺) Calculado: 271,2145; Obtido: 271,2148.

Outras análises (CD): DEPT, COSY, HETCOR, CG/EM, HRMS.

(2RS,3RS,6RS)-2-[3-(4-metil-fenilsulfoniloxi)-propil]-3,6-dimetil-piperidina (4.8) A uma solução de 4.7 (99,0 mg; 0,36 mmol) em 2 mL de CH₂Cl₂, adicionou-se cloreto de tosila (86 mg; 0,45 mmol), Et₃N (0,06 mL, 0,45 mmol) e DMAP (4,4 mg, 0,036 mmol) e deixou-se a reação sob agitação por 18 horas. Adicionou-se 3 mL de H₂O e 10 gotas de uma solução de HCl 10%. Extraiu-se a fase aquosa com CH₂Cl₂ (3x20 mL) e obteve-se 4.8 (118,0 mg, 0,28 mmol) em 76% de rendimento, após coluna cromatográfica flash utilizando-se Hexano/Acetato de Etila (8/2) como eluente. ¹H-RMN (CDCl₃, 300MHz) δ 7,79 (d, ³J=8,4 Hz, 2H), 7,35 (d, ³J=8,1 Hz, 2H), 4,2 (s, 1H), 4,0 (m, 2H), 3,73 (t, ³J=7,1 Hz, 1H), 2,45(s, 3H), 1,2-2,0 (m, 9H), 1,42 (s, 9H), 1,10 (d, ³J=7,0 Hz, 3H), 0,96 (d, ³J=7,0 Hz, 3H) (anexo 4.8_H). ¹³C-RMN (CDCl₃, 75,4MHz) δ 156,2; 144,8; 133,3; 129,9; 127,9; 79,0; 70,5; 55,5; 45,7; 32,2; 30,6; 28,2; 28,1; 26,3; 24,2; 21,3; 20,7 18,9 (anexo 4.8_C).

Outras análises (CD): DEPT

(2RS,3RS,6RS)-(1-terc-butoxicarbonil)-2-(3-hidroxipropil)-3-metil-6-n-pentil-piperidina (4.10) Preparou-se uma solução da piperidina 3.16 (111 mg; 0,36 mmol) em 8 mL de THF e resfriou-se à -78°C. Adicionou-se, gota a gota, 10 equivalentes de complexo borana-dimetilsulfeto (0,34 mL; 3,6 mmol). Retirou-se o banho e deixou-se a reação à temperatura ambiente por 18 horas. Adicionou-se 10 mL de metanol gota a gota e evaporou-se os solventes (repetiu-se este procedimento 4 vezes). Adicionou-se 10 mL de metanol ao bruto reacional e após total dissolução adicionou-se H₂O₂ 30% (0,06 mL; 0,54 mmol) e uma solução aquosa de NaOH (10 %) até o pH do sistema ficar entre 8 e 9 (medido com papel indicador universal). Agitou-se a solução por 60 minutos, adicionou-se Diclorometano (20 mL), MgSO₄, filtrou-se e evaporou-se o solvente em evaporador rotativo. Após coluna cromatográfica flash, com Hexano/Acetato de Etila (8/2) como eluente, isolou-se 4.10 (80,0 mg; 0,24 mmol) em 68 % de rendimento como um óleo incolor. ¹H-RMN (CDCl₃, 500MHz) δ 4,0 (s, 1H), 3,85 (s, 1H), 3,68 (m, 2H), 1,5-2,0 (m, 4H), 1,6 (m, 4H), 1,45 (s, 9H), 1,1-1,4 (m, 10H), 1,01 (d, ³J=6,8 Hz, 3H), 0,88 (t, ³J=6,8 Hz, 3H) (anexo 4.10_H). IV (filme) 3445, 2955, 2933, 2867, 1685, 1663, 1456, 1410, 1390, 1365, 1317, 1255, 1175, 1111, 1070, 865, 769 cm⁻¹ (anexo 4.10_IV). HR/MS (M⁺-C₄H₈) Calculado: 271,2147; Obtido: 271,2143.

Outras análises (CD): ¹³C-RMN, DEPT, CG/EM, HRMS.

(2RS,3RS,6RS)-2-(3-hidroxipropil)-3,metil-6-n-pentil-piperidina (4.11) Preparou-se uma solução piperidina **4.10** (80,0 mg; 0,24 mmol) em 6 mL de CH_2Cl_2 , e resfriou-se à 0°C em um banho de gelo. Adicionou-se, gota a gota, 10 equivalentes do ácido trifluoroacético (0,19 mL; 2,4 mmol). Retirou-se o banho de gelo e deixou-se a reação agitando à temperatura ambiente por 3 horas. Após esse tempo adicionou-se $\text{NH}_4\text{OH}_{(\text{conc.})}$ até pH neutro, seguido de 40 mL de CH_2Cl_2 e MgSO_4 e obteve-se **4.11** (51,4 mg, 0,23 mmol) como um óleo incolor, em 93 % de rendimento, após coluna cromatográfica flash utilizando-se Acetato de Etila/Metanol (95/5) como eluente. ^1H -RMN (CDCl_3 , 500MHz) δ 3,8 (s, 2H), 3,6 (m, 1H), 3,54 (m, 1H), 2,50 (m, 1H), 2,25 (m, 1H), 1,5-1,8 (m, 5H), 1,2-1,5 (m, 10H), 1,10 (m, 2H), 0,86 (7, $^3\text{J}=6,8$ Hz, 3H), 0,85 (d, $^3\text{J}=6,3$ Hz, 3H) (anexo **4.11_H**). ^{13}C -RMN (CDCl_3 , 125,7MHz) δ 62,7; 62,2; 56,8; 36,7; 34,4; 33,7; 32,9; 32,3; 31,9; 29,1; 25,5; 22,5; 18,5; 14,0 (anexo **4.11_C**). IV (filme) 3264, 2952, 2925, 2870, 2853, 2730, 1458, 1377, 1356, 1338, 1117, 1094, 1060, 1017 cm^{-1} (anexo **4.11_IV**). HR/MS (M^+) Calculado: 227,2249; Obtido: 227,2248.

Outras análises (CD): DEPT, CYCLENOE, gCOSY, HSQC, CG/EM, HRMS.

(5RS,8RS,8aSR)-5-n-pentil-8-metil-indolizidina [(\pm)-Indolizidina 209B] A uma solução de **4.11** (16,5 mg; 0,07 mmol) em 2 mL de CH_2Cl_2 , à 0°C, adicionou-se tetrabrometo de carbono (72 mg; 0,22 mmol) e trifenilfosfina (67 mg, 0,25 mmol). Agitou-se por 30 minutos, adicionou-se Et_3N (0,4 mL, 2,90 mmol) e após 60 minutos evaporou-se o solvente do bruto reacional em evaporador rotativo. Isolou-se um sólido alaranjado, que após coluna cromatográfica em sílica flash, com Clorofórmio/Metanol (9/1) como eluente, forneceu (\pm)-Indolizidina **209B** (10,6 mg, 0,05 mmol) em 70 % de rendimento como um sólido marrom claro amorf. ^1H -RMN (CDCl_3 , 500MHz) δ 3,27 (dt, $^3\text{J}=8,8$ e 1,9 Hz, 1H), 1,80-2,05 (m, 3H), 1,60-1,80 (m, 5H), 1,15-1,60 (m, 11H), 0,95 (ddt, $^3\text{J}=13,4$; 11,8 e 4,3 Hz, 1H), 0,88 (t, $^3\text{J}=6,8$ Hz, 1H), 0,85 (d, $^3\text{J}=6,4$ Hz, 3H) (anexo Indolizidina **209B_H**). ^{13}C -RMN (CDCl_3 , 125,7MHz) δ 71,4; 63,6; 51,8; 36,4; 33,6; 32,2; 31,1; 29,0; 25,5; 22,6; 20,3; 18,9; 14,0 (anexo Indolizidina **209B_C**). IV (filme) 2955, 2926, 2871, 2856, 2777, 2700, 1732, 1457, 1376, 1331, 1287, 1260, 1244, 1165, 1132, 1112, 1083 cm^{-1} (anexo Indolizidina **209B_IV**). HR/MS (M^+) Calculado: 209,2144; Obtido: 209,2142. (anexo Indolizidina **209B_gCOSY**), (anexo Indolizidina **209B_HSQC**)

Outras análises (CD): DEPT, ^1H -RMN: Irradiações Seletivas, CG/EM, HRMS.

(4RS,6RS,9RS,9aRS)-2-hidroxi-4-isopropil-6,9-dimetil-quinolizidina (4.12) A uma solução de **3.10** (16,0 mg; 0,07 mmol) em 3 mL de metanol, à 70°C, adicionou-se 3 mL de NH_4OH concentrado. Agitou-se por 24 horas e extraiu-se o sistema com CH_2Cl_2 (5 X 5 mL). Isolou-se a quinolizidinona **4.12** (4,8 mg; 0,02 mmol) como um óleo incolor em 30% de rendimento [recuperação de 6 mg (37%) de **3.10**], após coluna cromatográfica em sílica flash,

com Hexano/Acetato de Etila (9/1) como eluente. ^1H -RMN (CDCl_3 , 500MHz) δ 3,12 (dt, $^3J=12,5$ e 3,8Hz, 1H), 2,96 (ddd, $^3J=9,7$; 6,4 e 1,7Hz, 1H), 2,85 (m, 1H), 2,51 (dd, $^3J=14,0$ e 6,6 Hz, 1H), 2,35 (dt, $^3J=14,0$ e 1,8Hz, 1H), 2,02 (ddd, $^3J=14,0$; 2,9 e 1,9Hz, 1H), 1,96 (m, 1H), 1,68 (ddd, $^3J=12,8$; 6,5 e 2,9Hz, 1H), 1,64 (m, 1H), 1,50 (ddd, $^3J=11,7$; 6,9 e 3,4 Hz, 1H), 1,38 (m, 1H), 1,26 (m, 1H), 1,07 (d, $^3J=5,9$ Hz, 3H), 0,91 (d, $^3J=6,6$ Hz, 3H), 0,89 (d, $^3J=6,6$ Hz, 3H), 0,82 (d, $^3J=7,1$ Hz, 3H), (anexo 4.12_H). ^{13}C -RMN (CDCl_3 , 125,7MHz) δ 211,6; 62,7; 56,7; 46,7; 38,3; 36,4; 35,7; 34,1; 28,8; 27,5; 21,2; 20,7; 19,8; 18,5 (anexo 4.12_C). IV (filme) 3400, 2958, 2925, 2873, 2854, 2709, 2634, 1709, 1464, 1455, 1434, 1377, 1338, 1366, 1260, 1228, 1160, 1131, 1101, 1024, 1019, 984, 802, 747 cm^{-1} (anexo 4.12_IV). HR/MS ($M^+ \text{-C}_3\text{H}_7$) Calculado: 180,1388; Obtido: 180,1387. gCOSY (anexo 4.12_gCOSY). HETCOR (anexo 4.12_HETCOR). NOESY-1D (anexo 4.12_NOESY-1D).

Outras análises (CD): DEPT, ^1H -RMN: Irradiações Seletivas, CG/EM, HRMS,

Procedimentos para redução da quinolizidinona 4.12

Redução com LiAlH₄: A uma suspensão de LiAlH₄ (3,1 mg; 0,082 mmol) em 1 mL de THF, resfriada à 0°C, adicionou-se uma solução da quinolizidinona 4.12 (9,2 mg; 0,041 mmol) em 1 mL de THF. Aqueceu-se o sistema à temperatura ambiente e deixou-se sob agitação por 40 horas. Resfriou-se o sistema à 0°C e adicionou-se 2 gotas de água destilada. Após 15 minutos de agitação adicionou-se 2 gotas de uma solução de NaOH_(aq) 10% e agitou-se por mais 15 minutos. Adicionou-se mais 6 gotas de água destilada e manteve-se a agitação por duas horas à temperatura ambiente. Separou-se o precipitado formado da fase orgânica por filtração e lavou-se com CH₂Cl₂ (5 X 5mL). Evaporou-se a fase orgânica e isolou-se os produtos de redução 4.17 (primeira fração; 2mg; 0,009 mmol) e 4.16 (segunda fração; 2,5 mg; 0,011 mmol) em 49 % de rendimento total após coluna cromatográfica flash, utilizando-se Acetato de Etila/Metanol/NH₄OH (380/20/1) como eluente.

Ciclização de 3.10 e redução com L-Selectride: A uma solução de 3.10 (12,0 mg; 0,05 mmol) em 15 mL de metanol, à temperatura ambiente, adicionou-se 1 g de Alúmina Básica. Deixou-se sob agitação por 15 dias e filtrou-se o sistema lavando-se com CH₂Cl₂ (5 X 5 mL). Dissolveu-se o bruto de reação em 2,5 mL de THF, resfriou-se o sistema à -78°C e adicionou-se 0,12 mL (0,12 mmol) de uma solução de L-Selectride 1M em THF. Após 90 minutos adicionou-se 3 mL de metanol, neutralizou-se o sistema com HCl/EtOH 2M. Evaporou-se os solventes e isolou-se o produto de redução 4.16 (3,5 mg; 0,015 mmol) em 30 % de rendimento total após duas etapas reacionais e coluna cromatográfica flash, utilizando-se Acetato de Etila/Metanol/NH₄OH (380/20/1) como eluente.

134

(2RS,4RS,6RS,9RS,9aRS)-2-hidroxi-4-isopropil-6,9-dimetil-quinolizidina (4.16) ¹H-RMN (CDCl_3 , 500MHz) δ 4,18 (m, 1H), 3,22 (m, 1H), 2,78 (m, 1H), 2,5 (m, 1H), 2,2 (m, 1H), 1,99 (td, $^3J=13,2$ e $4,5$ Hz, 1H), 1,89 (m, 1H), 1,74 (m, 1H), 1,6 (m, 1H), 1,1-1,5 (m, 5H), 0,99 (d, $^3J=5,8$ Hz, 3H), 0,92 (t, $^3J=6,6$ Hz, 3H), 0,82 (d, $^3J=7,1$ Hz, 3H) (anexo 4.16_H). ¹³C-RMN (CDCl_3 , 125,7MHz) δ 66,7; 59,3; 50,1; 47,4; 36,0; 34,0; 30,1; 27,6; 26,9; 25,3; 21,2; 21,1; 20,4; 18,6 (anexo 4.16_C). IV (filme) 3384, 2956, 2925, 2871, 2855, 2706, 2630, 2594, 1725, 1664, 1461, 1374, 1335, 1260, 1149, 1135, 1089, 1071, 1047, 1031, 918, 802, 639 cm^{-1} (anexo 4.16_IV). HR/MS (M^+) Calculado: 225,2093; Obtido: 225,2092. CYCLENDE (anexo 4.16_CYCLENDE).

Outras análises (CD): DEPT, HRMS

(2SR,4RS,6RS,9RS,9aRS)-2-hidroxi-4-isopropil-6,9-dimetil-quinolizidina (4.17) ¹H-RMN (CDCl_3 , 500MHz) δ 3,83 (m, 1H), 2,8 (m, 2H), 2,61 (m, 1H), 1,1-1,9 (m, 11H), 0,95 (d, $^3J=5,8$ Hz, 3H), 0,89 (t, $^3J=6,6$ Hz, 3H), 0,84 (d, $^3J=7,1$ Hz, 3H) (anexo 4.17_H). ¹³C-RMN (CDCl_3 , 125,7MHz) δ 67,5; 60,4; 53,9; 46,1; 36,3; 34,5; 28,6; 28,1; 27,2; 27,1; 21,4; 20,9; 20,8; 18,9 (anexo 4.17_C). IV (filme) 3345, 2954, 2870, 2709, 2632, 2596, 1738, 1715, 1463, 1455, 1373, 1366, 1350, 1260, 1182, 1151, 1084, 1057, 1024, 997, 803, 737, 687 cm^{-1} (anexo 4.17_IV). HR/MS (M^+) Calculado: 225,2093; Obtido: 225,2092. CYCLENDE (anexo 4.17_CYCLENDE).

Outras análises (CD): DEPT, gCOSY, HRMS

Procedimentos para obtenção dos hidrocloreto de 4.16 e 4.17

Adicionou-se 5 mL de uma solução HCl/MeOH (saturada, após borbulhamento de HCl em um frasco contendo metanol) em amostras de 2 mg das respectivas quinolizidinas. Evaporou-se o metanol em bomba de vácuo e isolou-se os hidrocloreto como sólidos brancos em rendimentos quantitativos.

(2RS,4RS,6RS,9RS,9aRS)-2-hidroxi-4-isopropil-6,9-dimetil-quinolizidina-hidrocloreto (4.16-HCl) ¹H-RMN (D_2O , 500MHz) δ 4,25 (quinteto, $^3J=4,4$ Hz, 1H), 3,71 (m, 1H), 3,42 (dt, $^3J=8,5$ e $5,1$ Hz, 1H), 2,59 (m, 1H), 2,36 (ddd, $^3J=15,6$; $13,4$ e $5,1$ Hz, 1H), 2,18 (m, 1H), 2,10 (m, 1H), 1,94-2,04 (m, 2H) 1,74-1,88 (m, 2H), 1,5-1,65 (m, 2H), 1,37 (d, $^3J=6,3$ Hz, 3H), 1,08 (d, $^3J=6,7$ Hz, 3H), 1,07 (d, $^3J=6,7$ Hz, 3H), 0,98 (d, $^3J=7,1$ Hz, 3H) (anexo 4.16-HCl_H). ¹³C-RMN (D_2O , 125,7MHz) δ 64,8; 62,8; 55,8; 53,9; 32,6; 31,8; 29,0; 25,8; 25,0; 24,9; 19,7; 19,1; 17,5; 17,1 (anexo 4.16-HCl_C). IV (filme) 3334, 2963, 2931, 2875, 2709, 1732, 1651, 1463, 1455, 1417, 1393, 1284, 1260, 1066, 1016, 987, 800, 753, 662 cm^{-1} (anexo 4.16-HCl_IV). NOESY-1D (anexo 4.16-HCl_NOESY1D). HSQC (anexo 4.16-HCl_HSQC).

Outras análises (CD): gCOSY

(2SR,4RS,6RS,9aRS)-2-hidroxi-4-isopropil-6,9-dimetil-quinolizidina-hidrocloreto (4.17-HCl) $^1\text{H-RMN}$ (D_2O , 500MHz) δ 3,99 (hepteto, $^3J=5,6$ Hz, 1H), 3,72 (m, 1H), 3,65 (dt, $^3J=13,2$ e 3,6 Hz, 1H), 3,32 (ddd, $^3J=10,1$; 5,1 e 2,5 Hz, 1H), 2,11 (m, 1H), 1,6-2,6 (m, 3H), 1,81 (m, 1H), 1,58-1,73 (m, 3H), 1,35-1,48 (m, 2H), 1,17 (d, $^3J=6,4$ Hz, 3H), 0,89 (d, $^3J=6,4$ Hz, 3H), 0,88 (d, $^3J=6,4$ Hz, 3H), 0,78 (d, $^3J=6,8$ Hz, 3H), (anexo 4.17-HCl_H). CYCLENDE (anexo 4.17-HCl_CYCLENOE).

Outras análises (CD): $^1\text{H-RMN}$: Irradiação seletiva

7 Referências

- ¹ Hermitage, S. A.; Moloney, M. G. *Tetrahedron: Asymmetry* 1994, 5, 1463
- ² Baens, N. P.; Compemolle, F.; Toppet, S. M.; Hoomaert, G. J. *Tetrahedron* 1993, 49, 3193
- ³ Burgess, L. E.; Meyers, A. I. *J. Org. Chem.* 1992, 57, 1856
- ⁴ Bacos, D.; Célérier, J. P.; Marx, E.; Rosset, S. Lhommet, G. *J. Het. Chem.* 1991, 27, 1387
- ⁵ Conley, R. T. *J. Org. Chem.* 1958, 23, 1330
- ⁶ Anastaiou, D.; Jackson, W. R. *J. Organomet. Chem.* 1991, 413, 399
- ⁷ Dias, L. C. *Diestereoseletividade 1,3 na redução de β-aminoctonas acíclicas. Aplicação de íons N-acilimínio na síntese de alcaloides piperidínicos, quinolizidínicos e indolizidínicos*. Tese de Doutorado, IQ/UNICAMP, 1993
- ⁸ Drage, J. S.; Earl, R. A.; Vollhardt, K. P. C. *J. Heterocyclic Chem.* 1982, 19, 701
- ⁹ Meiching, K. H.; Hiemstra, H.; Klaver, W. J.; Speckamp, W. N. *Tetrahedron Lett.* 1986, 27, 4799
- ¹⁰ Hiemstra, H.; Speckamp, W. N. *Comprehensive Organic Synthesis*; Trost, B. M., Ed.; Pergamon Press: New York, 1991, Vol. 2, pp 1047-1082
- ¹¹ Evans, D. A.; Thomas, E. W.; Cherpeck, R. E. *J. Am. Chem. Soc.* 1982, 104, 3695
- ¹² Ezquerro, J.; Pedregal, C.; Rubio, A.; Yruretagoyena, B.; Escribano, A.; Sánchez-Ferrando, F. *Tetrahedron* 1993, 49, 8665
- ¹³ Hon, Y.-S.; Chang, Y.-C.; Gong, M. -L. *Heterocycles*, 1990, 31 , 191
- ¹⁴ Pilli, R. A.; Dias, L. C.; Maldaner, A. O. *J. Org. Chem.* 1995, 60, 717
- ¹⁵ McIntosh, J. M.; Acquaah, S. O. *Can. J. Chem.* 1988, 66, 1752
- ¹⁶ Jouglet, B.; Rousseau, G. *Tetrahedron Lett.* 1993, 34, 2307
- ¹⁷ Pirkle, W. H.; Robertson, M. R.; Hyun, M., H. *J. Org. Chem.* 1984, 49, 2433
- ¹⁸ Roma, D.; Meyers, A. I. *Tetrahedron* 1991, 47, 9503 e referências citadas.
- ¹⁹ Fréville, S.; Célérier, J. P.; Thuy, V. M.; Lhommet, G. *Tetrahedron: Asymmetry*, 1995, 6, 2651
- ²⁰ Royer, J.; Husson, H.-P. *Heterocycles*, 1993, 36, 1493
- ²¹ Lienard, P.; Varea, T.; Quirion, J.-C.; Husson, H.-P. *Synlett* 1994, 143
- ²² Caine, D. *Comprehensive Organic Synthesis*; Trost, B. M., Ed.; Pergamon Press: New York, 1991, Vol. 3, pp 1-62
- ²³ Evans, D. A.: Alkylation of Chiral Enolates. *Asymmetric Synthesis* Vol 3; Morrison, J. D. Ed.; Academic Press Inc.: Orlando, 1984; pp. 2-110
- ²⁴ Ezquerro, J.; Pedregal, C.; Yruretagoyena, B.; Rubio, A.; Carreño, M. C.; Escribano, A.; Ruano, J. L. G. *J. Org. Chem.* 1995, 60, 2925
- ²⁵ Ezquerro, J.; Pedregal, C.; Rubio, A.; Vaquero, J. J.; Matía, M. P.; Martín, J.; Diaz, A.; Navío, J. L. G.; Deeter, J. B. *J. Org. Chem.* 1994, 59, 4327
- ²⁶ Rubio, A.; Ezquerro, J.; Escribano, A.; Remuñán, M. J.; Vaquero, J. J. *Tetrahedron Lett.* 1995, 39, 2171
- ²⁷ Dikshit, D.L.; Panday, S. K. *J. Org. Chem.* 1992, 57, 1920
- ²⁸ Dikshit, D. K.; Bajpai, S. N. *Tetrahedron Lett.* 1995, 36, 3231
- ²⁹ Baldwin, J. E.; Miranda, T.; Moloney, M.; Hokelek, T. *Tetrahedron* 1989, 45, 7459
- ³⁰ Charrier, J-D; Duffy, J. E. S.; Hitchcock, P. B.; Young, D. W. *Tetrahedron Lett.* 1998, 39, 2199
- ³¹ Ezquerro, J.; Pedregal, C.; Micó, I.; Nájera, C. *Tetrahedron: Asymmetry* 1994, 5, 921
- ³² Langlois, N.; Rojas, A. *Tetrahedron Lett.* 1993, 34, 2477
- ³³ Hanessian, S.; Reinhold, U.; Gentile, G. *Angew. Chem. Int. Ed. Engl.* 1997, 36, 1881
- ³⁴ Ohta, T.; Hosoi, A.; Nozoe, S. *Tetrahedron Lett.* 1988, 29, 329
- ³⁵ Bowler, A. N.; Doyle, P. M.; Hitchcock, P. B.; Young, D. W. *Tetrahedron* 1997, 53, 10545 e referências citadas
- ³⁶ Coudert, E.; Acher, F.; Azerad, R. *Synthesis* 1997, 863
- ³⁷ Brena-Valle, L. J.; Sánchez, R. C.; Cruz-Almanza, R. *Tetrahedron: Asymmetry*, 1996, 7, 1019
- ³⁸ Klaver, W. J.; Moolenaar, M. J.; Hiemstra, H.; Speckamp, W. N. *Tetrahedron* 1988, 44, 3805
- ³⁹ Micouin, L.; Julian, V.; Quirion, J-C.; Husson, H-P. *Tetrahedron: Asymmetry* 1996, 7, 2839 e referências citadas

- ⁴⁰ Varea, T.; Dufour, M.; Micouin, L.; Riche, C.; Chiaroni, A.; Quirion, J.-C.; Husson, H.-P. *Tetrahedron Lett.* **1995**, *36*, 1035
- ⁴¹ Micouin, L.; Varea, T.; Riche, C.; Chiaroni, A.; Quirion, J.-C.; Husson, H.-P. *Tetrahedron Lett.* **1995**, *35*, 2529
- ⁴² Micouin, L.; Bonin, M.; Chemier, M.-P.; Mazurier, A.; Tomas, A.; Quirion, J.-C.; Husson, H.-P. *Tetrahedron* **1996**, *52*, 7719
- ⁴³ Baussanne, I.; Travers, C.; Royer, J. *Tetrahedron: Asymmetry* **1998**, *9*, 797
- ⁴⁴ Enders, D.; Gröbner, R.; Raabe, G.; Rumsink, J. *Synthesis* **1996**, 941
- ⁴⁵ Seebach, D.; Maetzke, T.; Petter, W.; Klotzer, B.; Plattner, D. A. *J. Am. Chem. Soc.* **1991**, *113*, 1781 e referências citadas
- ⁴⁶ Seebach, D.; Juaristi, E.; Miller, D. D.; Schickli, C.; Weber, T. *Helv. Chim. Acta* **1987**, *70*, 237
- ⁴⁷ Meyers, A.I.; Seefeld, M. A.; Lefker, B. A.; Blake, J. F.; *J. Am. Chem. Soc.* **1997**, *119*, 4565 e referências citadas
- ⁴⁸ Meyers, A.I.; Seefeld, M. A.; Lefker, B. A.; Blake, J. F.; Williard, P. G. *J. Am. Chem. Soc.* **1998**, *120*, 7429
- ⁴⁹ Meyers, A.I.; Seefeld, M. A.; Lefker, B. A. *J. Org. Chem.* **1996**, *61*, 5712
- ⁵⁰ Armstrong, R. W.; DeMattei, J. A. *Tetrahedron Lett.* **1991**, *32*, 5749
- ⁵¹ Zhang, R.; Brownell, F.; Madalengoitia, J. S. *Tetrahedron Lett.* **1999**, *40*, 2707
- ⁵² Arnat, M.; Pshenischnyi, G.; Bosch, J.; Mollins, E.; Miravilles, C. *Tetrahedron: Asymmetry* **1996**, *7*, 3091
- ⁵³ Mills, C. E.; Heightman, T. D.; Hermitage, S. A.; Moloney, M. G.; Woods, G. A. *Tetrahedron Lett.* **1998**, *39*, 1025
- ⁵⁴ Meyers, A. I.; Shawe, T. T.; Gottlieb, L. *Tetrahedron Lett.* **1992**, *33*, 867
- ⁵⁵ The Aldrich Library of Infrared Spectra, 3rd ed.; Charles J. Pouchert, Ed.; pp 1042A
- ⁵⁶ The Aldrich Library of Infrared Spectra, 3rd ed.; Charles J. Pouchert, Ed.; pp 468E
- ⁵⁷ Rigo, B.; Fasseur, D.; Cherepy, N.; Couturier, D. *Tetrahedron Lett.* **1989**, *30*, 7057
- ⁵⁸ Greene, T. W.; Wuts, P. G. M.: *Protective Groups in Organic Synthesis*, 2nd ed., Wiley-Interscience, New York, 1991
- ⁵⁹ Mukhopadhyay, T.; Seebach, D. *Helv. Chim. Acta* **1982**, *65*, 385
- ⁶⁰ Beak, P.; Lee, W. K. *J. Org. Chem.* **1993**, *58*, 1109
- ⁶¹ Pihko, P. M.; Koskinen, A. M. P. *J. Org. Chem.* **1998**, *63*, 92
- ⁶² Speckamp, W. N.; Hiemstra, H. *Tetrahedron* **1985**, *41*, 4367 e referências citadas
- ⁶³ Koning, H.; Speckamp, W. N.: Formation of C-C Bonds by Addition to Imino Groups via N-Acyliminium Ions. Em *Stereoselective Synthesis* (Houben-Weyl) Vol E21; Helmchen, G.; Hoffmann, R. W.; Mulzer, J.; Schaumann, E.; Ed.; Georg Thieme Verlag.: Stuttgart, 1996; pp. 1953-2009 e referências citadas
- ⁶⁴ Pedregal, C.; Esquerra, Escribano, A.; Carreño, M. C.; Ruano, J. L. G. *Tetrahedron Lett.* **1994**, *35*, 2053
- ⁶⁵ Shono, T.; Matsumura, Y.; Tsubata, K.; Uchida, K. *J. Org. Chem.* **1986**, *51*, 2590
- ⁶⁶ Asada, S.; Kato, M.; Asai, K.; Ineyama, T.; Nishi, S.; Izawa, K.; Shono, T. *J. Chem. Soc. Chem. Commun.* **1989**, 486
- ⁶⁷ Shono, T.; Fujita, T.; Matsumura, Y. *Chemistry Lett.* **1991**, 81
- ⁶⁸ Thaning, M.; Wistrand, L.-G. *Acta Chem. Scand.* **1992**, *46*, 194
- ⁶⁹ Chiesa, M. V.; Manzoni, L.; Scolastico, C. *Synlett* **1996**, 441
- ⁷⁰ Beal, L. M.; Moeller, K. D. *Tetrahedron Lett.* **1998**, *39*, 4639
- ⁷¹ Wistrand, L.-G.; Skrinjar, M. *Tetrahedron* **1991**, *47*, 573
- ⁷² Célimème, C.; Dhimane, H.; Lhommet, G. *Tetrahedron* **1998**, *54*, 10457
- ⁷³ Dhimane, H.; Vanucci-Bacque, C.; Hamon, L.; Lhommet, G. *Eur. J. Org. Chem.* **1998**, 1955
- ⁷⁴ Dhimane, H.; Vanucci, C.; Lhommet, G. *Tetrahedron Lett.* **1997**, *38*, 1415
- ⁷⁵ David, M.; Dhimane, H.; Vanucci-Bacqué, C.; Lhommet, G. *Synlett* **1998**, 206
- ⁷⁶ Li, H.; Sakamoto, T.; Kikugawa, Y. *Tetrahedron Lett.* **1997**, *38*, 6677
- ⁷⁷ Pichon, M.; Figadère, B. *Tetrahedron: Asymmetry* **1996**, *7*, 927
- ⁷⁸ Irie, K.; Aoe, K.; Tanaka, T.; Saito, S. *J. Chem. Soc. Chem. Commun.* **1985**, 633
- ⁷⁹ Leclercq, S.; Thirionet, I.; Broeders, F.; Dalozze, D.; Meer, R. V.; Braekman, J. C. *Tetrahedron* **1994**, *50*, 8465

- ⁸⁰ Ludwig, C.; Wistrand, L. —G *Acta Chem. Scand.* **1994**, *48*, 367
- ⁸¹ Hoffmann, R. W. *Chem. Rev.* **1989**, *89*, 1841
- ⁸² Mill, S.; Hootelé, C. *Can J. Chem.* **1996**, *74*, 2434
- ⁸³ de Koning, H.; Hiemstra, H.; Moolenaar, M. J.; Speckamp, W. N. *Eur. J. Org. Chem.* **1998**, 1729
- ⁸⁴ Thaning, M.; Wistrand, L. —G *J. Org. Chem.* **1990**, *55*, 1406
- ⁸⁵ Bernardi, A.; Micheli, F.; Potenza, D.; Scolastico, C.; Villa, R. *Tetrahedron Lett.* **1990**, *31*, 4949
- ⁸⁶ Louwrier, S.; Ostendorf, M.; Boom, A.; Hiemstra, H.; Speckamp, W. N. *Tetrahedron* **1996**, *52*, 2603
- ⁸⁷ Pilli, R. A.; Russowsky, D. *J. Org. Chem.* **1996**, *61*, 3187
- ⁸⁸ Koot, W. —J.; van Ginkel, R.; Kranenburg, M.; Hiemstra, H.; Louwrier, S.; Moolenaar, M. J.; Speckamp, W. N. *Tetrahedron Lett.* **1991**, *32*, 401
- ⁸⁹ Thaning, M.; Wistrand, L. —G *Acta Chem. Scand.* **1989**, *43*, 290
- ⁹⁰ Koot, W. —J.; Hiemstra, H.; Speckamp, W. N. *Tetrahedron Lett.* **1992**, *33*, 7969
- ⁹¹ Thaning, M.; Wistrand, L. —G *Helv. Chim. Acta* **1986**, *69*, 1711
- ⁹² Tanaka, K.; Sawanishi, H. *Tetrahedron* **1998**, *54*, 10029
- ⁹³ Collado, I.; Ezquerro, J.; Pedregal, C. *J. Org. Chem.* **1995**, *60*, 5011
- ⁹⁴ Luker, T.; Hiemstra, H.; Speckamp, W. N. *J. Org. Chem.* **1997**, *62*, 3592
- ⁹⁵ Shono, T.; Matsumura, Y.; Onomura, O.; Sato, M. *J. Org. Chem.* **1988**, *53*, 4118
- ⁹⁶ Plehiers, M.; Hootelé, C. *Can J. Chem.* **1996**, *74*, 2444
- ⁹⁷ Takacs, J. M.; Weidner, J. J. *J. Org. Chem.* **1994**, *59*, 6480
- ⁹⁸ Wanner, K. T.; Wadenstorfer, E.; Kärtner, A. *Synlett* **1991**, 797
- ⁹⁹ Yamamoto, Y.; Asao, N. *Chem. Rev.* **1993**, *93*, 2207
- ¹⁰⁰ Yoda, H.; Kawauchi, M.; Takabe, K. *Synlett* **1998**, 137
- ¹⁰¹ Martin, S. F.; Corbett, J. W. *Synthesis* **1992**, *93*, 55
- ¹⁰² Pichon, M.; Figadère, B.; Cavé, A. *Tetrahedron Lett.* **1996**, *37*, 7963
- ¹⁰³ Danishefsky, S.; Kerwin Jr., J. F. *J. Org. Chem.* **1982**, *47*, 3183
- ¹⁰⁴ Occhiato, E. G.; Scarpi, D.; Machetti, F.; Guarna, A. *Tetrahedron* **1998**, *54*, 11589
- ¹⁰⁵ Grubbs, R.; Miller, S. J.; Fu, G. C.; *Acc. Chem. Res.* **1995**, *28*, 446 e referências citadas
- ¹⁰⁶ Tokuyama, T.; Tsujita, T.; Shimada, A.; Garraffo, H. M.; Spande, T. F.; Daly, J. W. *Tetrahedron* **1991**, *47*, 5401
- ¹⁰⁷ Southon, I. W.; Buckingham J.: *Dictionary of alkaloids*; Chapman and Hall: New York, 1989; Vol 1, pp 37-46
- ¹⁰⁸ Michael, J. P. *Nat. Prod. Rep.* **1997**, *14*, 11 e referências citadas
- ¹⁰⁹ Shishido, Y.; Kibayashi, C. *J. Org. Chem.* **1992**, *57*, 2876
- ¹¹⁰ Michael, J. P. *Nat. Prod. Rep.* **1997**, *14*, 21 e referências citadas
- ¹¹¹ Michael, J. P. *Nat. Prod. Rep.* **1998**, *15*, 571 e referências citadas
- ¹¹² Kazmi, S. N. H.; Ahmed, Z.; Ahmed, W.; Malik, A. *Heterocycles* **1989**, *29*, 1901
- ¹¹³ Bohlmann, F.; Winterfeldt, E.; Laurent, H.; Ude, W. *Tetrahedron*, **1963**, *19*, 195
- ¹¹⁴ Daly, J. W. *J. Nat. Prod.* **1998**, *61*, 162
- ¹¹⁵ Daly, J. W.; Jain, P.; Garraffo, H. M.; Yeh, H. J. C.; Spande, T. F. *J. Nat. Prod.* **1996**, *59*, 1174
- ¹¹⁶ Meyers, A. I.; Milot, G. *J. Am. Chem. Soc.* **1993**, *115*, 6652
- ¹¹⁷ Smith, A. L.; Williams, S. F.; Holmes, A. B.; Hughes, L. R.; Lidert, Z.; Swithenbank, C. *J. Am. Chem. Soc.* **1988**, *110*, 8696.
- ¹¹⁸ Holmes, A. B.; Smith, A. L.; Williams, S. F.; Hughes, L. R.; Lidert, Z.; Swithenbank, C. *J. Org. Chem.* **1991**, *56*, 1393
- ¹¹⁹ Collins, I.; Fox, M. E.; Holmes, A. B.; Williams, S. F. *J. Chem. Soc., Perkin Trans. 1* **1991**, 175
- ¹²⁰ Gnecco, D.; Marazano, C.; Das, B. C. *J. Chem. Soc., Chem. Commun.* **1991**, 625
- ¹²¹ Crabb, T. A.; Newton, R. F.; Jackson, D. *Chem. Rev.* **1971**, *71*, 109 e referências citadas
- ¹²² Skolik, J.; Krueger, P. J.; Wiewiorowski, M. *Tetrahedron* **1968**, *24*, 5439 e referências citadas
- ¹²³ Lounasmaa, M.; Miikki, L.; Tolvanen, A. *Tetrahedron* **1997**, *53*, 5349
- ¹²⁴ Jokela, R.; Lounasmaa, M. *Heterocycles* **1993**, *36*, 3873
- ¹²⁵ Jung, M. E. *Comprehensive Organic Synthesis*; Trost, B. M., Ed.; Pergamon Press: New York, 1991, Vol. 4, pp 1-67 e referências citadas
- ¹²⁶ Kobayashi, S. *Synlett* **1994**, 689

- ¹²⁷ Pilli, R. A.; Maldaner, A. O. "Trisubstituted quinolizidinone via sequential N-acyliminium ion-Michael addition process", *7th BMOS*, 1996.
- ¹²⁸ Rothe, M.; Tóth, T. *Chemische Berichte*, 1966, **99**, 3820
- ¹²⁹ Scott, R. W.; Epperson, J. R.; Heathcock, C. H. *J. Org. Chem.* 1998, **63**, 5001
- ¹³⁰ Scott, R. W.; Epperson, J. R.; Heathcock, C. H. *J. Am Chem. Soc.* 1994, **116**, 8853
- ¹³¹ Guo, Y.; Trivellone, E.; Scognamiglio, G.; Cimino, G. *Tetrahedron Lett.* 1998, **39**, 463

8 Anexos

Todos os anexos estão listados nas próximas páginas. Eles foram separados em três partes (Anexos Capítulo 2; Anexos Capítulo 3 e Anexos Capítulo 4) contendo, em ordem numérica crescente, as principais análises espectroscópicas dos compostos sintetizados.

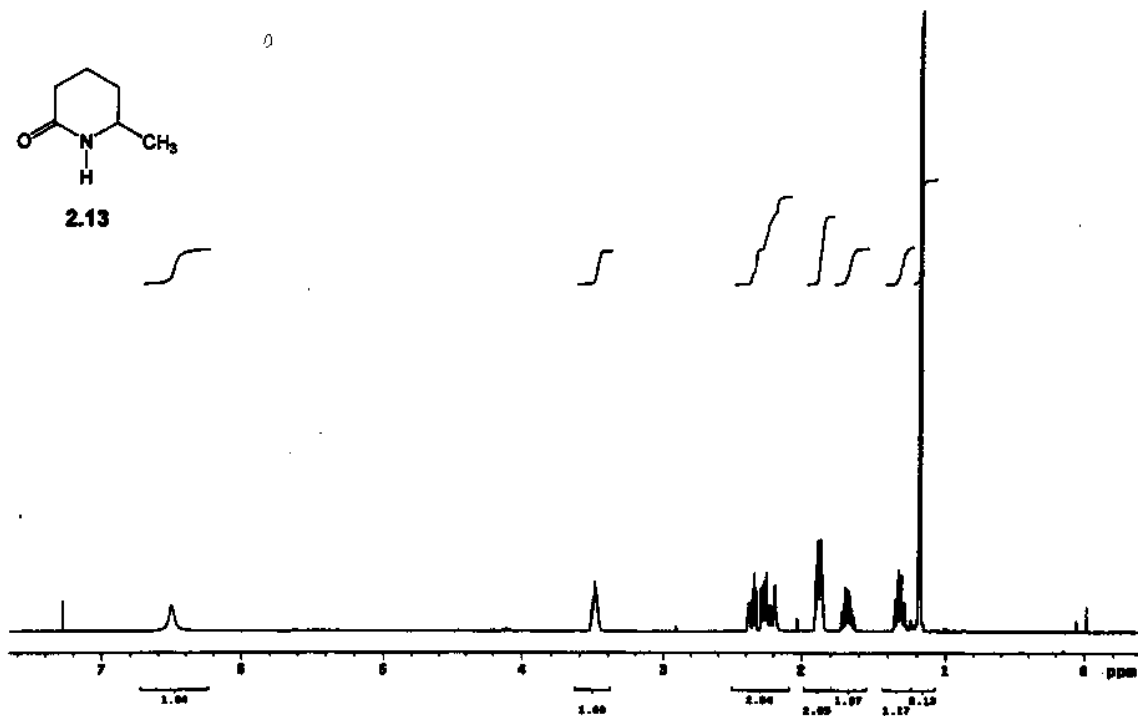
Está também anexado a esta tese um CD contendo, além dos anexos já impressos, todas as outras análises realizadas.

O acesso a estes documentos deve ser feito através do arquivo Microsoft Word (versão 7.0) **Parte Experimental.doc**. Para tal abra o programa Microsoft Word, clique Arquivo (File)-Abrir (Open) e localize o arquivo **Parte Experimental.doc** no seu drive de CD-ROM. Instruções mais detalhadas estão contidas neste arquivo.

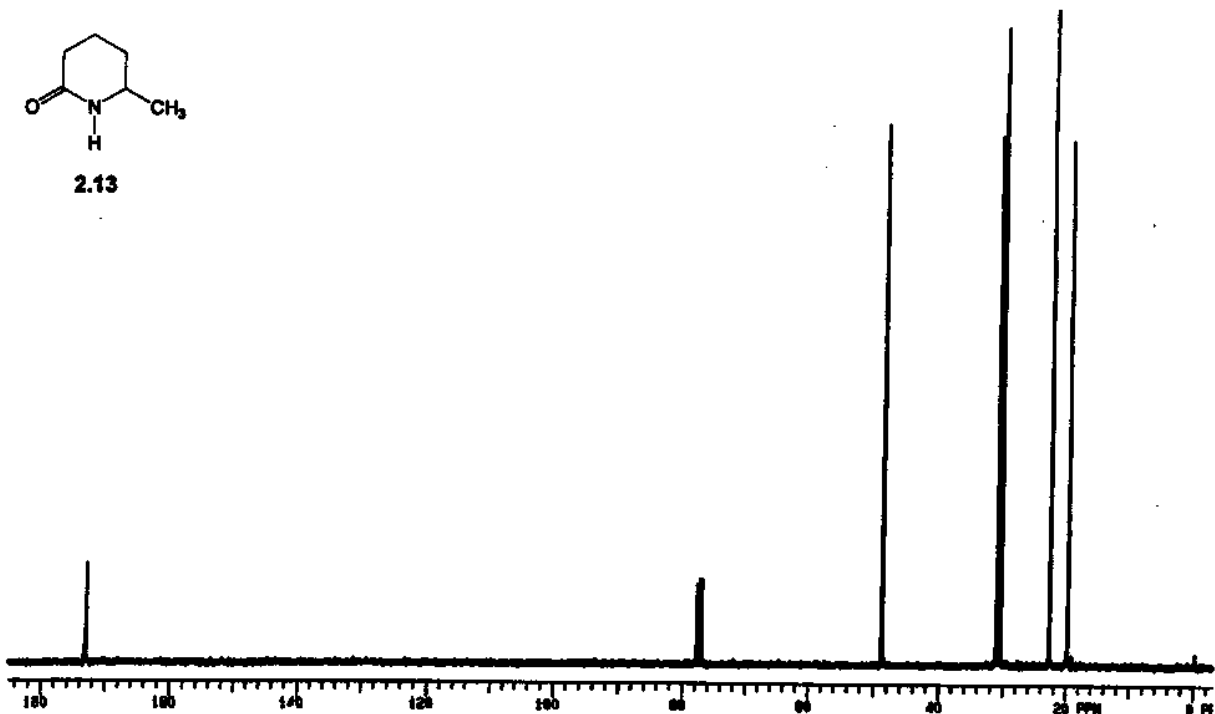
e-mail para contato:

amaldaner@hotmail.com
pilli@iqm.unicamp.br

Anexos Capítulo 2
Anexo 2.13_H: ^1H -RMN (CDCl_3 , 500MHz, ta)

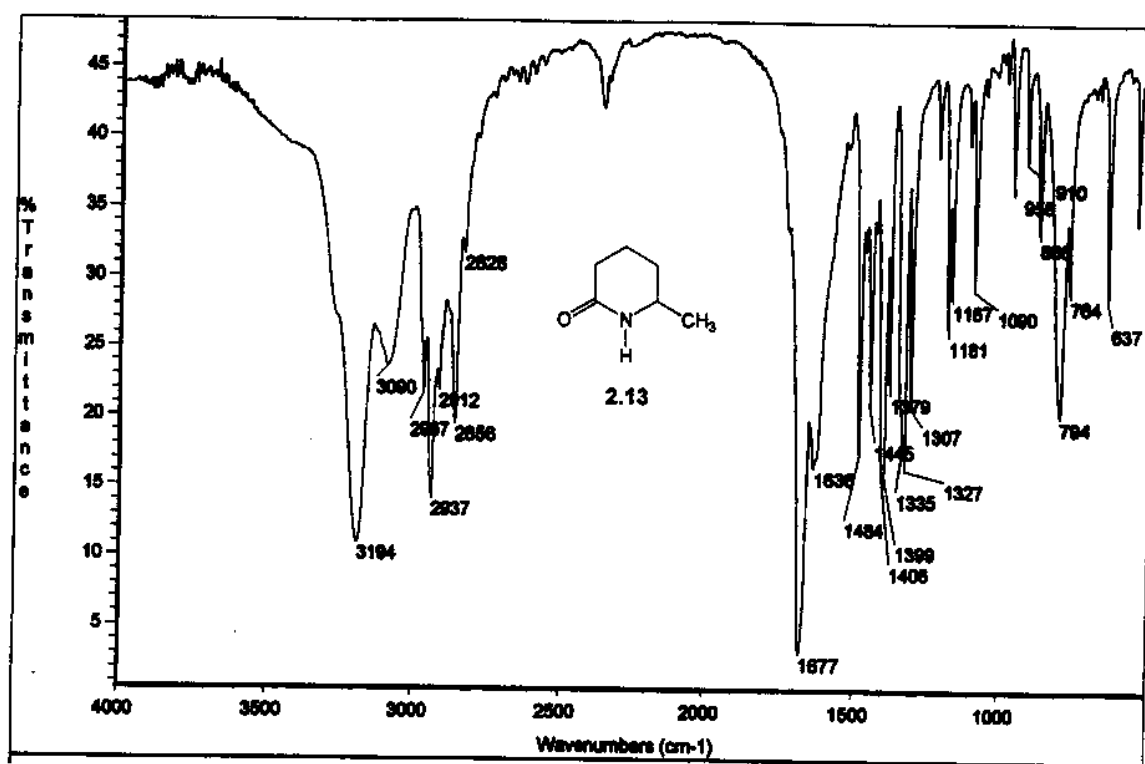


Anexo 2.13_C: ^{13}C -RMN (CDCl_3 , 75,4MHz, ta)



Anexos Capítulo 2
Anexo 2.13_IV: Pastilha de KBr

ii

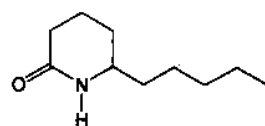


Anexo 2.14_H: ^1H -RMN (CDCl_3 , 500MHz, ta)

```

mestolo 220 cdcl3 out2dcont
Pulse Repetition: 0.001
Solvent: CDCl3
Acquisition temperature: 298K
TE=100 "Inversion"
Pulse sequence:
Pulse width: 1.000 sec
Pulse 180° degrees
Acc. time: 4.000 sec
WID: 6000 Hz
SI: 32768
Sweep time: 0.0012500 sec
Data processing:
PPM: 0.00-8.00
Total time: 2 minutes

```

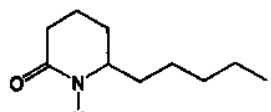


2.14

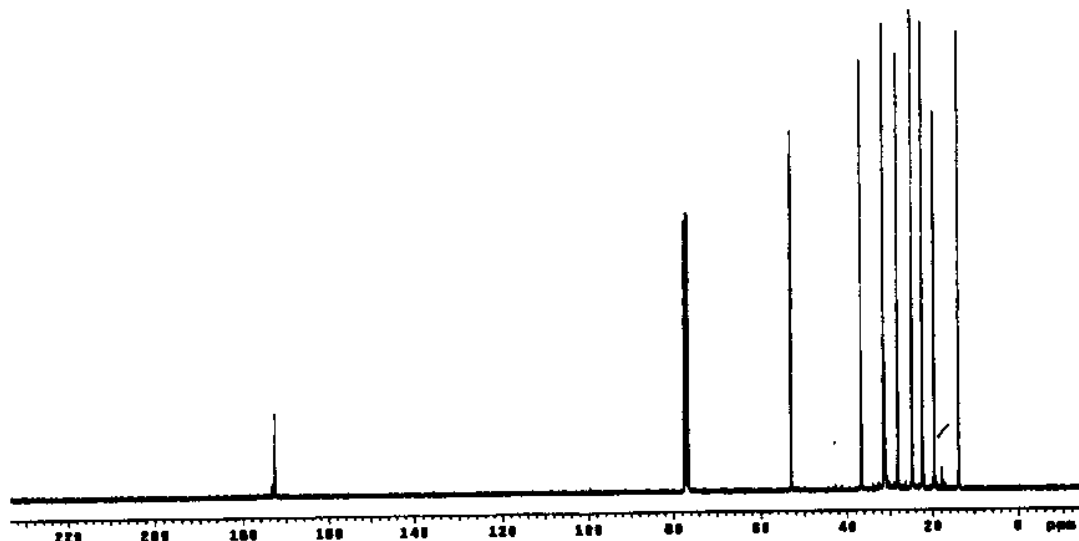
Anexos Capítulo 2

Anexo 2.14_C: ^{13}C -RMN (CDCl_3 , 75,4MHz, ta)

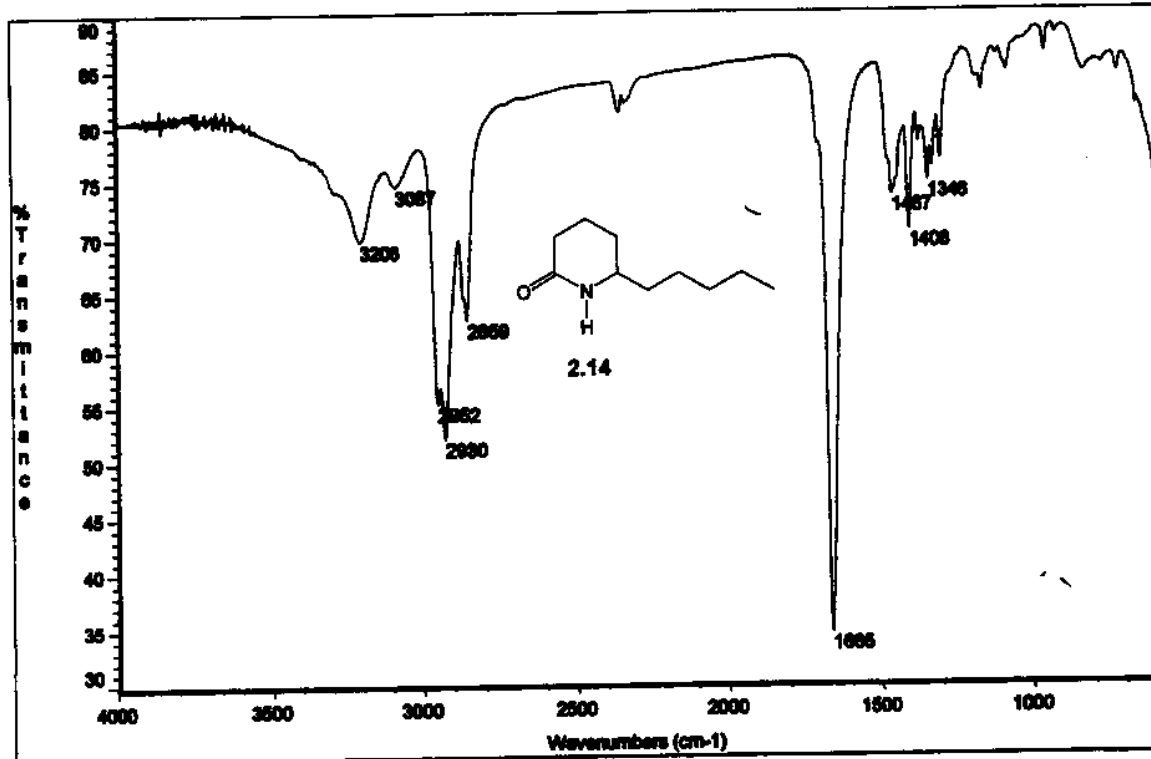
iii



2.14

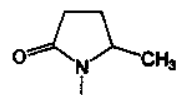
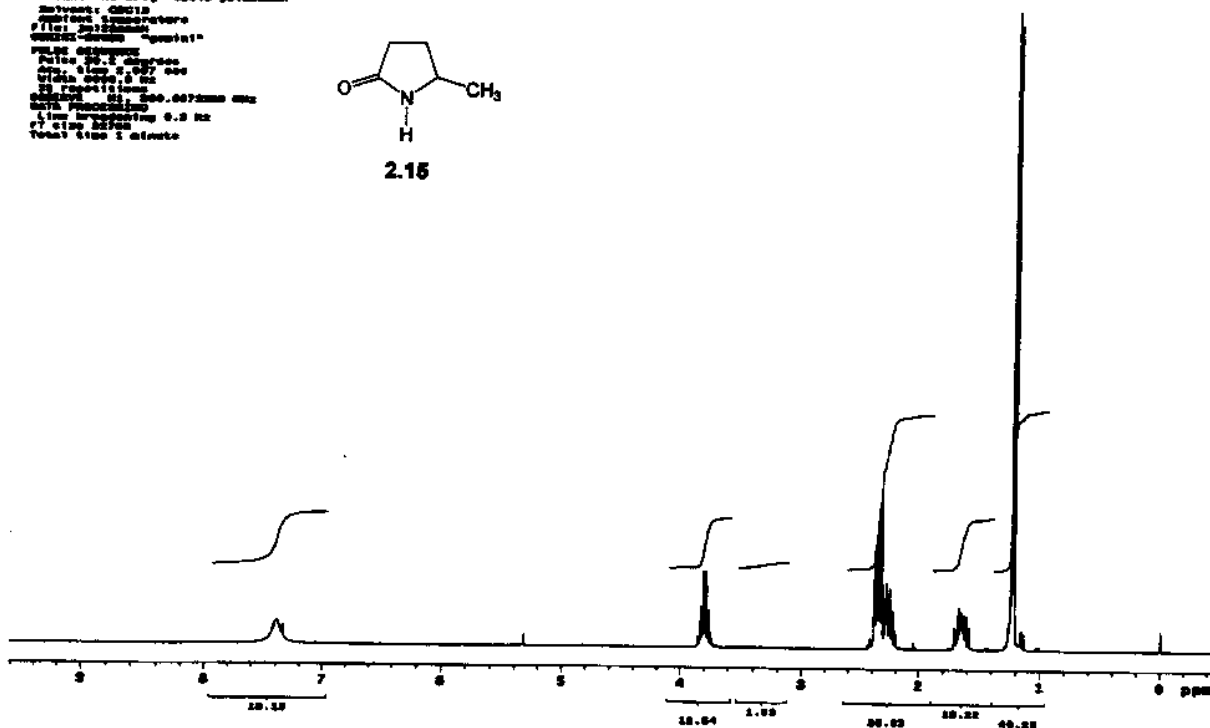


Anexo 2.14_IV: Filme em NaCl



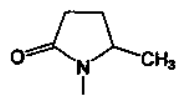
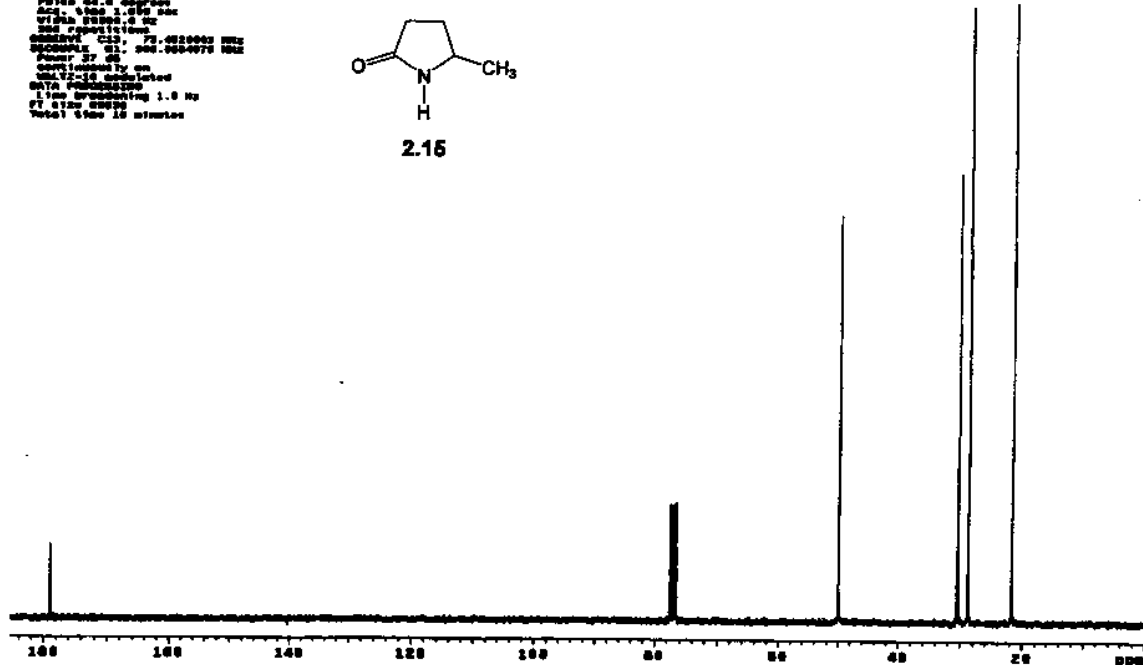
Anexos Capítulo 2
Anexo 2.15_H: ^1H -RMN (CDCl_3 , 300MHz, ta)

```
AcqTime "00:00:00" 00:00:00
SweepTime 00:00:00
AcqAvg 1
Pulse 90.0 deg
P1 10.0 deg
TD 32768 points
DW 40.0 us
R1 0.007 sec
TE 11.0 ms
DataSize 1024.0072000000000
DataDir PROCESSIONAL
L1 0.0072000000000
RT 0.0072000000000
Total Time 1 minute
```

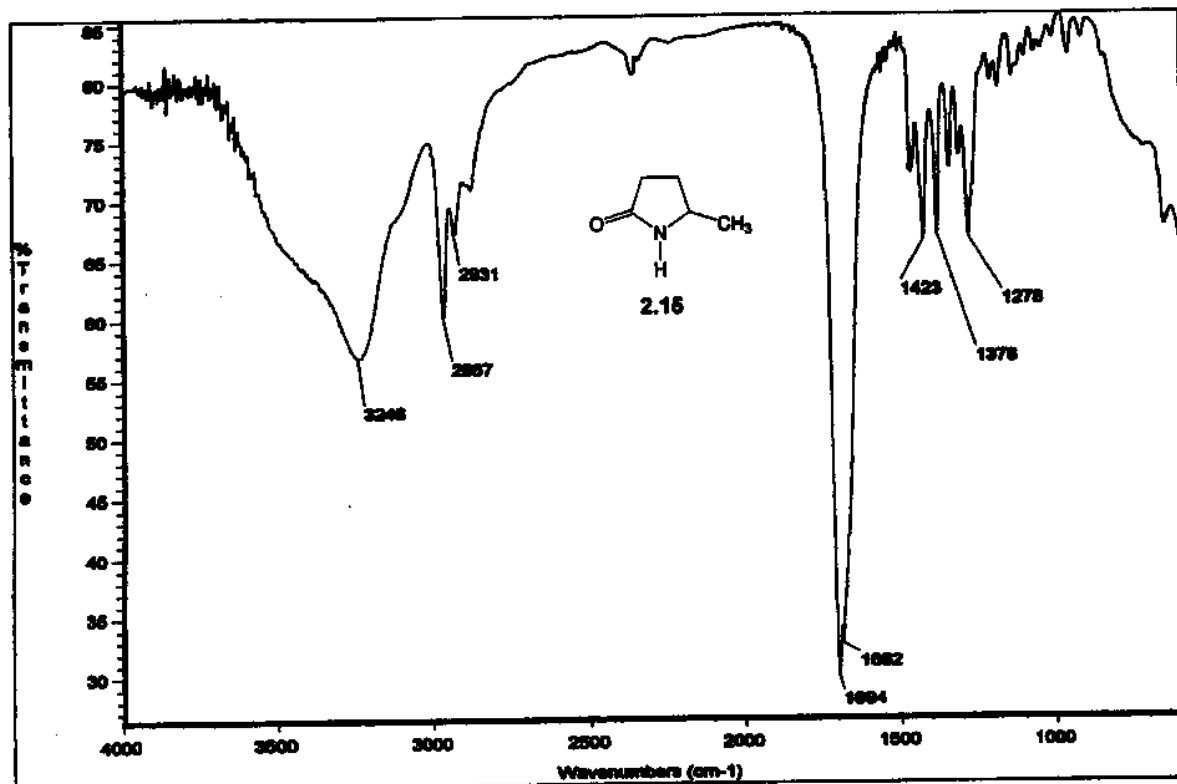
**2.15**

Anexo 2.15_C: ^{13}C -RMN (CDCl_3 , 75,4MHz, ta)

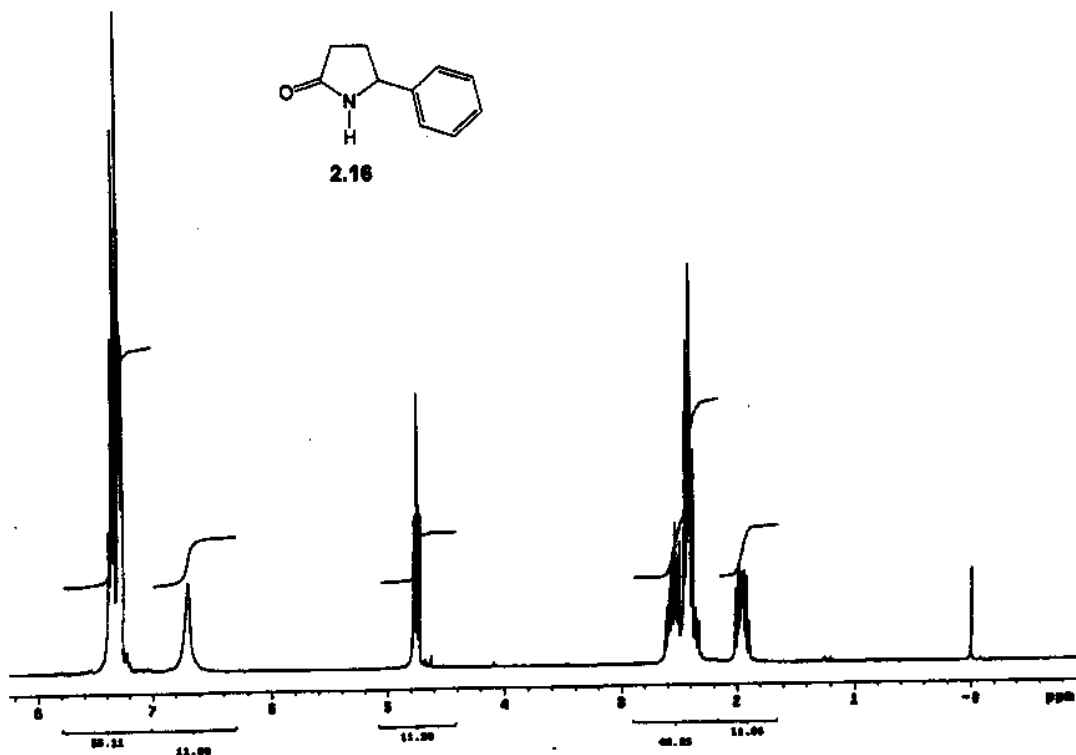
```
AcqTime "00:00:00" 00:00:00
SweepTime 00:00:00
AcqAvg 1
Pulse 90.0 deg
P1 10.0 deg
TD 32768 points
DW 40.0 us
R1 0.007 sec
TE 11.0 ms
DataSize 1024.0072000000000
DataDir PROCESSIONAL
L1 0.0072000000000
RT 0.0072000000000
Total Time 1 minute
```

**2.15**

Anexos Capítulo 2
Anexo 2.15_IV: Filme em NaCl



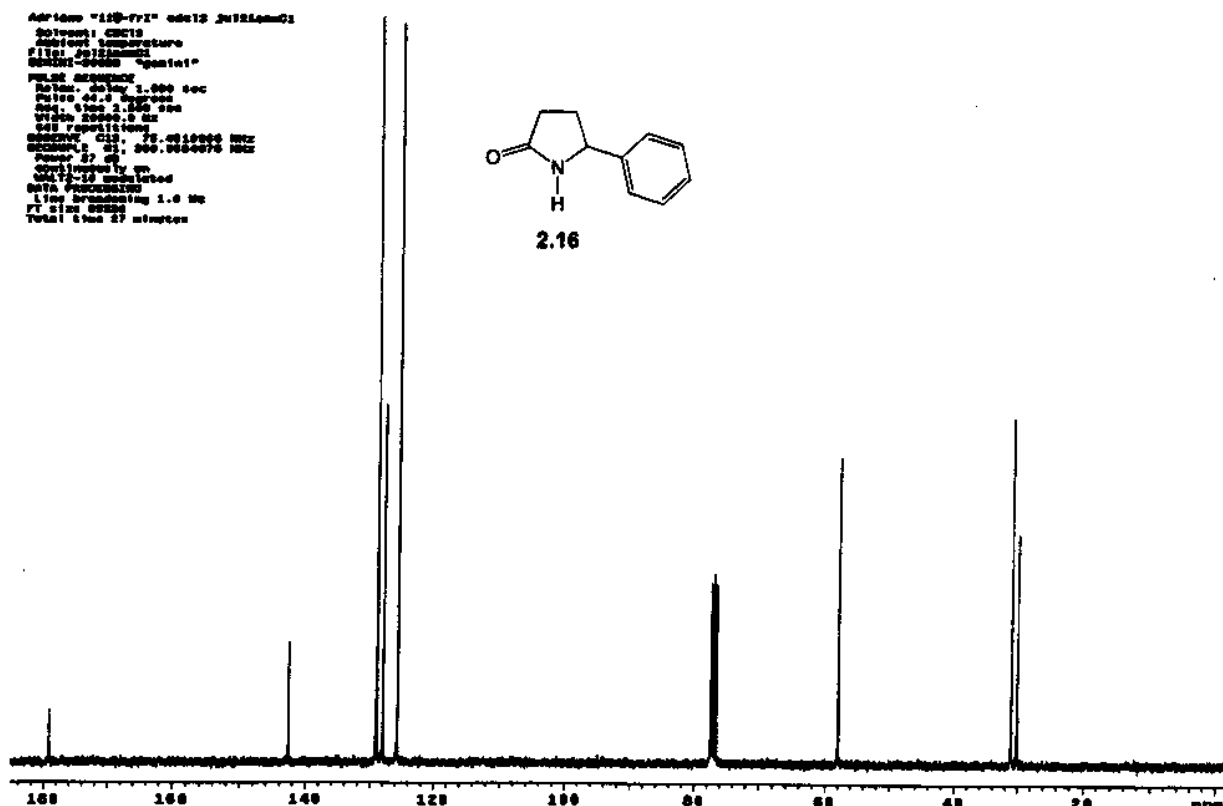
Anexo 2.16_H: ^1H -RMN (CDCl_3 , 300MHz, ta)



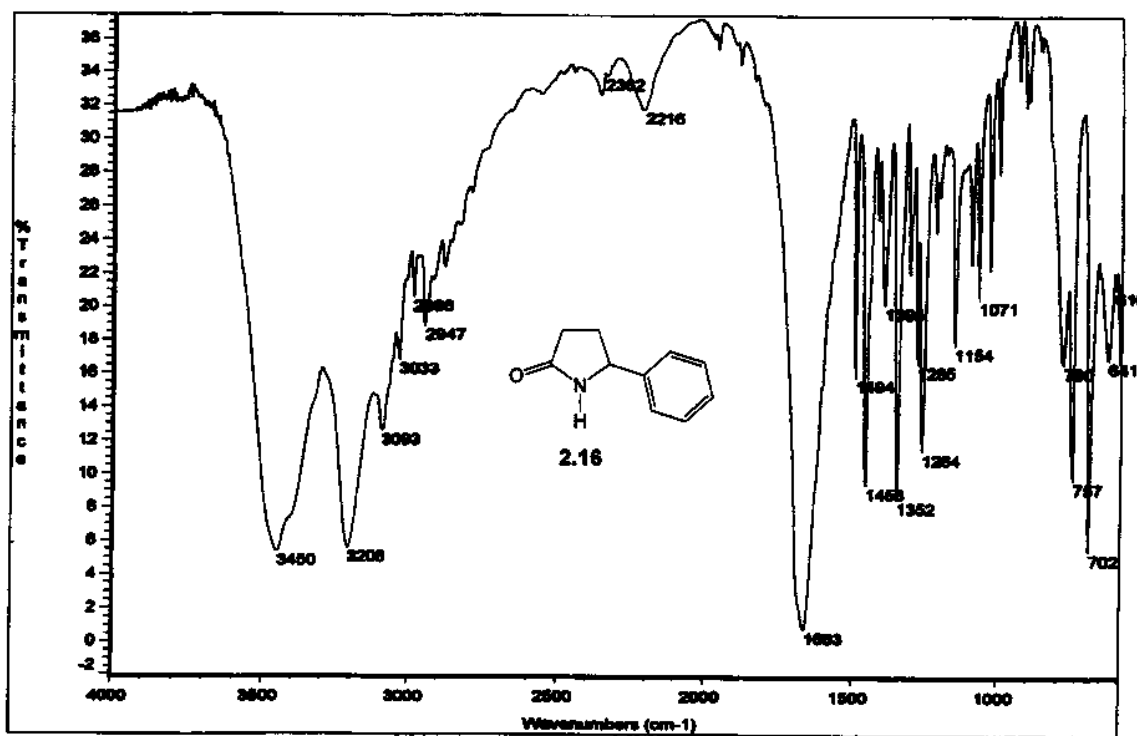
Anexos Capítulo 2

Anexo 2.16_C: ^{13}C -RMN (CDCl_3 , 75,4MHz, ta)

vi

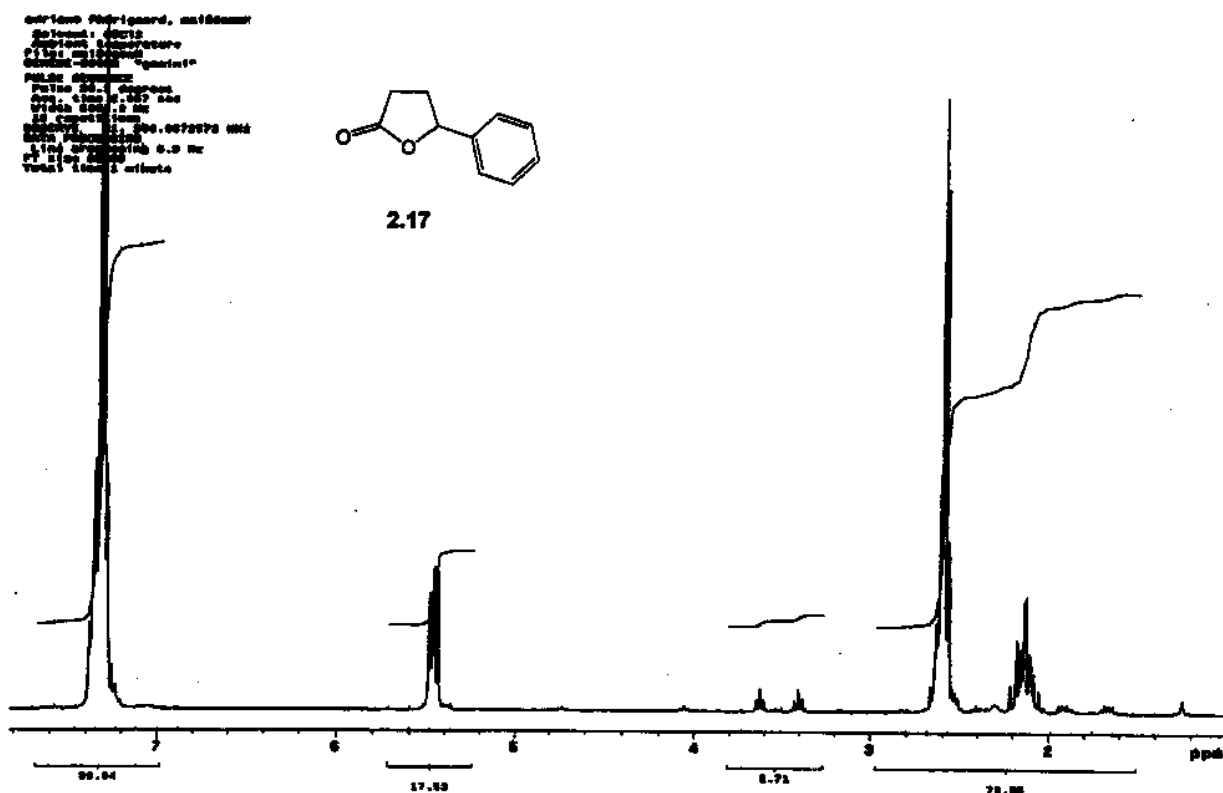


Anexo 2.16 IV: Pastilha de KBr

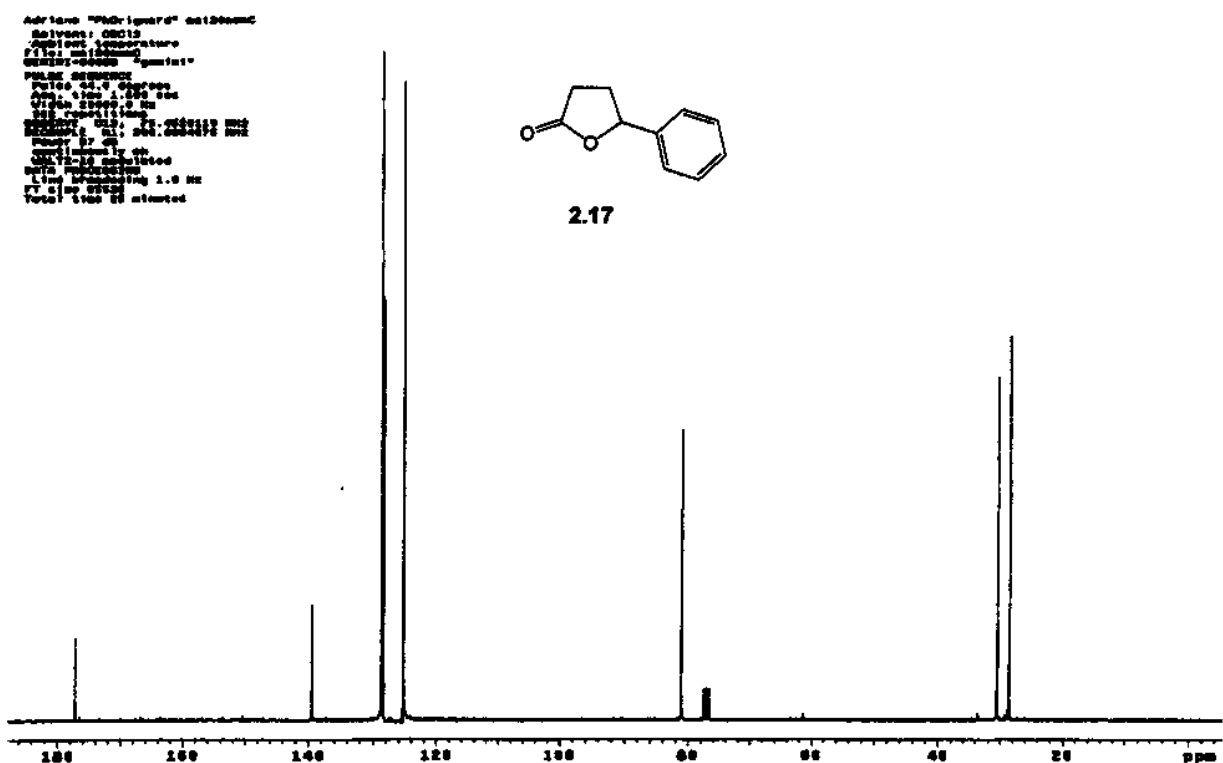


Anexos Capítulo 2
Anexo 2.17_H: ^1H -RMN (CDCl_3 , 300MHz, ta)

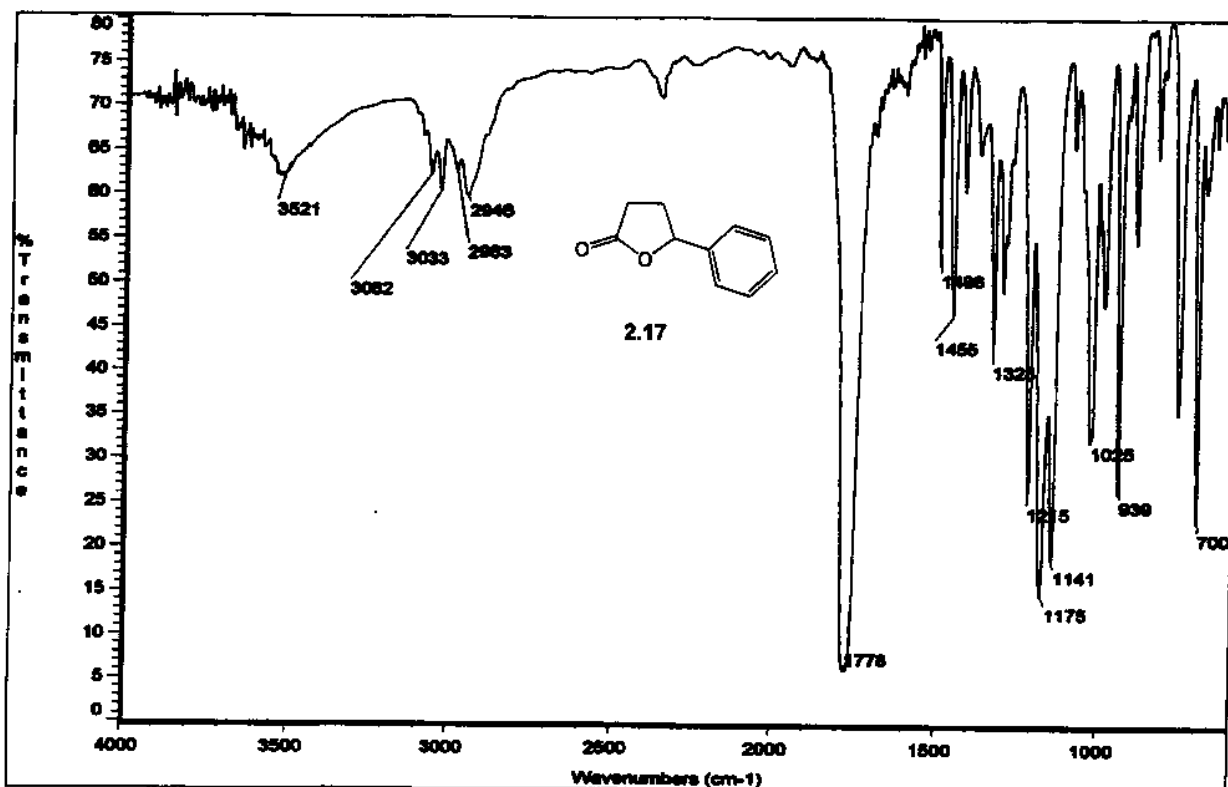
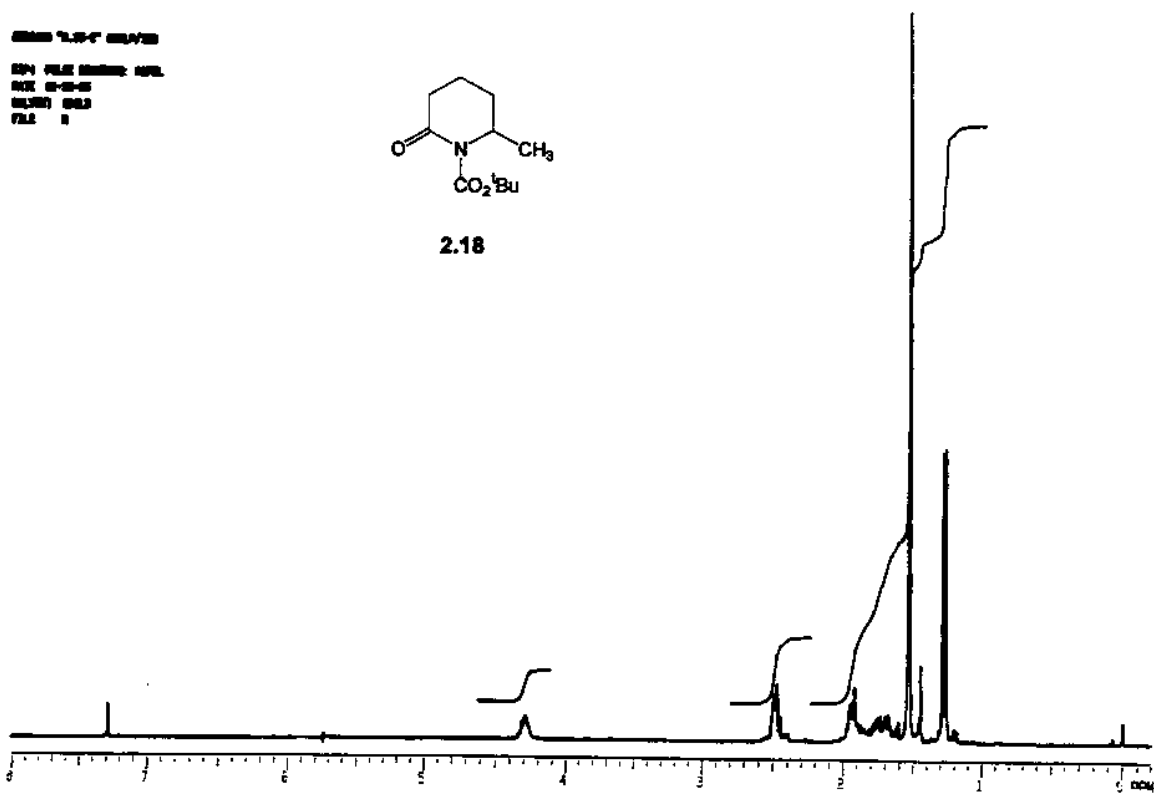
vii



Anexo 2.17_C: ^{13}C -RMN (CDCl_3 , 75,4MHz, ta)



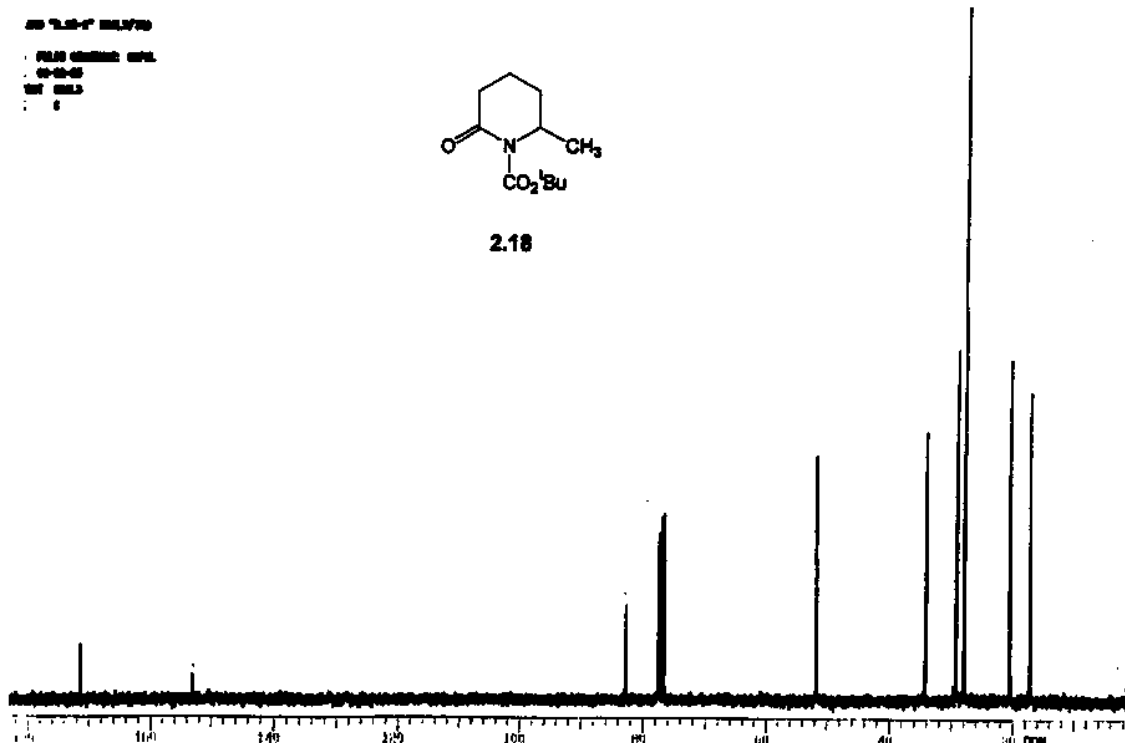
Anexo 2.17_IV: Pastilha de KBr

Anexo 2.18_H: ^1H -RMN (CDCl_3 , 300MHz, ta)

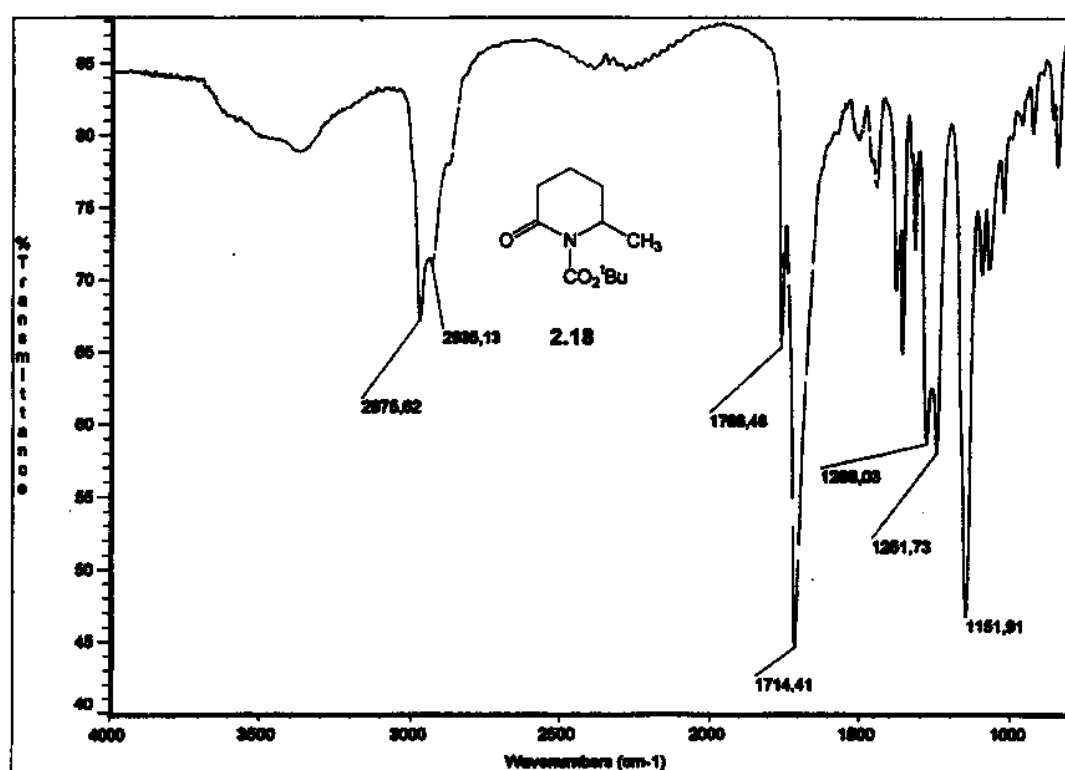
Anexos Capítulo 2

ix

Anexo 2.18_C: ^{13}C -RMN (CDCl_3 , 75,4MHz, ta)



Anexo 2.18_IV: Pastilha de KBr



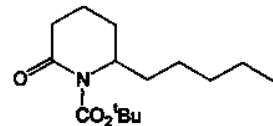
X

Anexos Capítulo 2
Anexo 2.19_H: ^1H -RMN (CDCl_3 , 300MHz, ta)

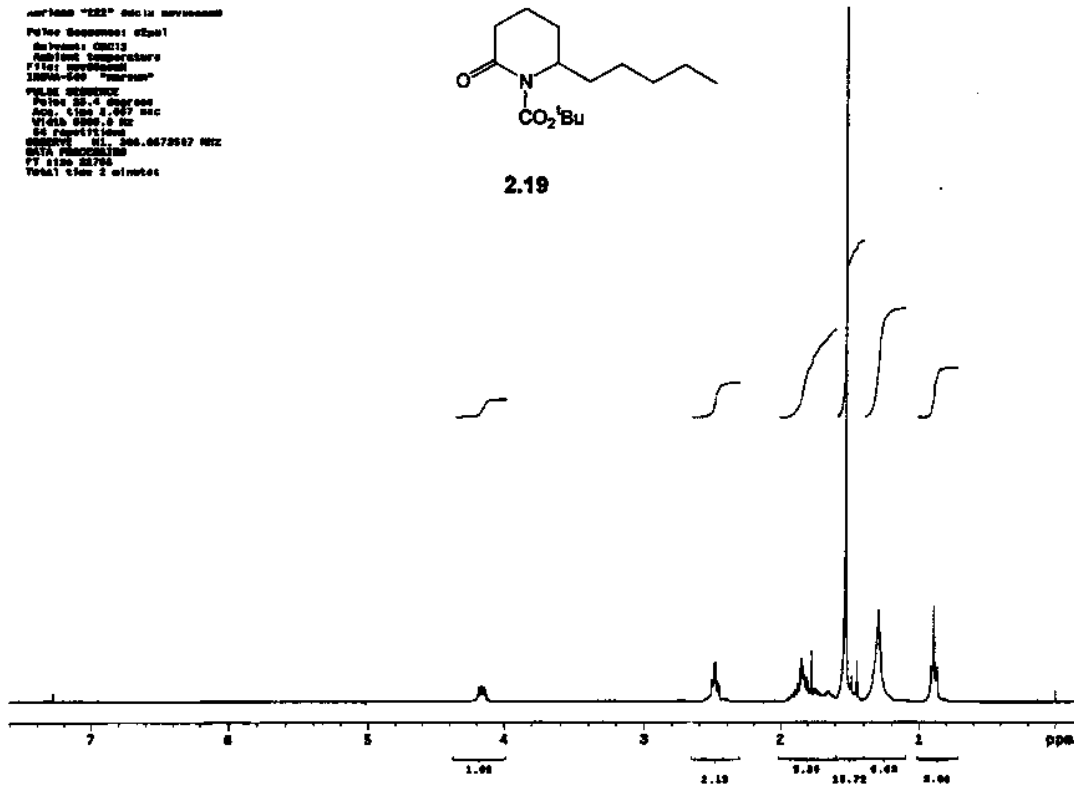
```

Anexo "222" adic movimento
Pulse Sequence: spin1
Solvent: CDCl3
Ambient temperature
File: adic movimento
Echos=500 "Turbo"
PULSE SEQUENCE
Pulse 90.4 degrees
Acq time 1.0 sec
W1=10000 Hz
64 repetitions
SW=1000 Hz, 300.067567 MHz
DATA PROCESSING
FT size 20768
Total time 2 minutes

```



2.19

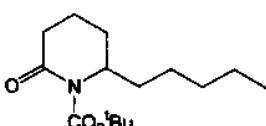


Anexo 2.19_C: ^1H -RMN (CDCl_3 , 75,4MHz, ta)

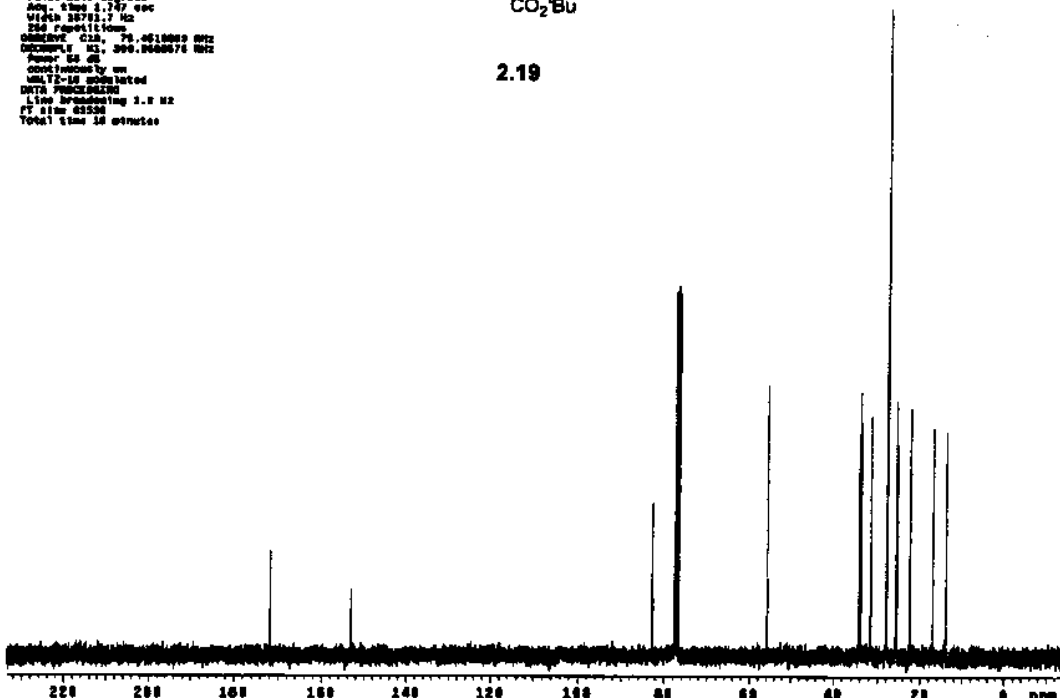
```

Anexo "222" cdcl3 novitmovC
Pulse Sequence: spin1
Solvent: CDCl3
Ambient temperature
File: novitmovC
Echos=500 "Turbo"
PULSE SEQUENCE
Relax delay 2.048 sec
Pulse 90.0 degrees
Acq time 2.747 sec
W1=10000 Hz
64 repetitions
SW=1000 Hz, 75.4610005 MHz
DATA PROCESSING
FT size 2048
Total time 10 minutes

```



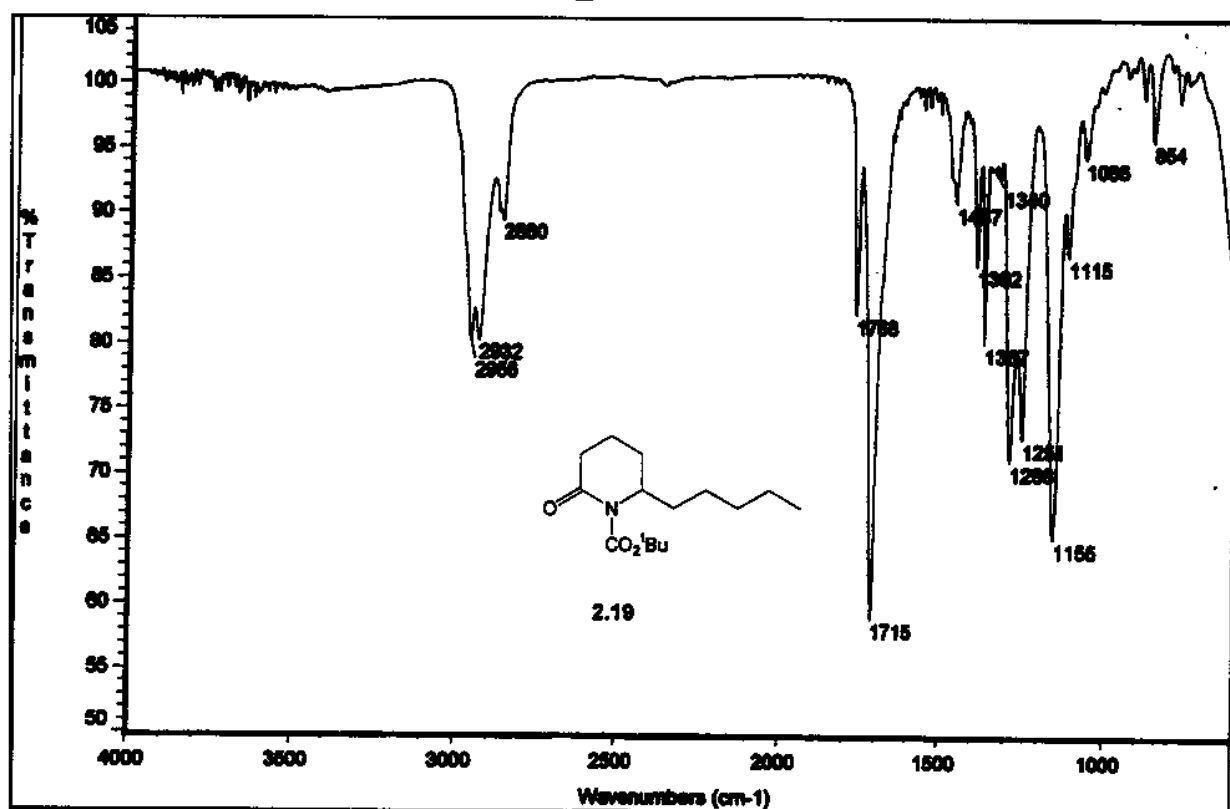
2.19



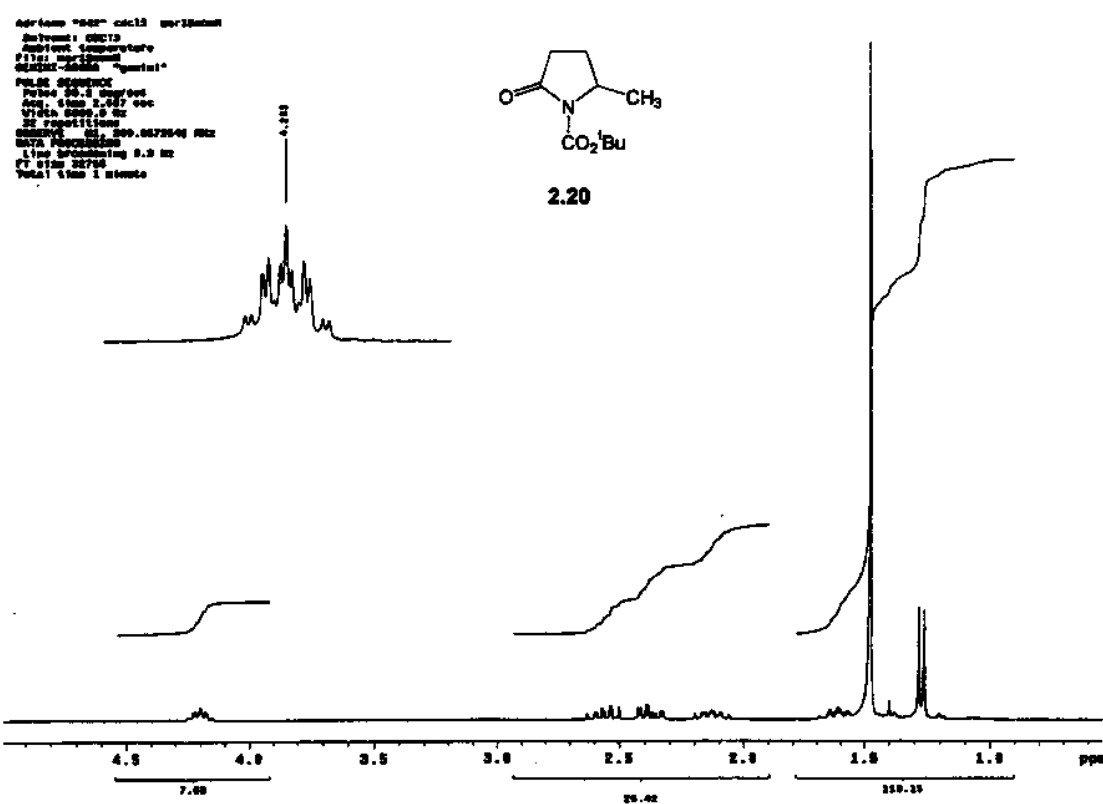
Anexos Capítulo 2

Anexo 2.19 IV: Filme em NaCl

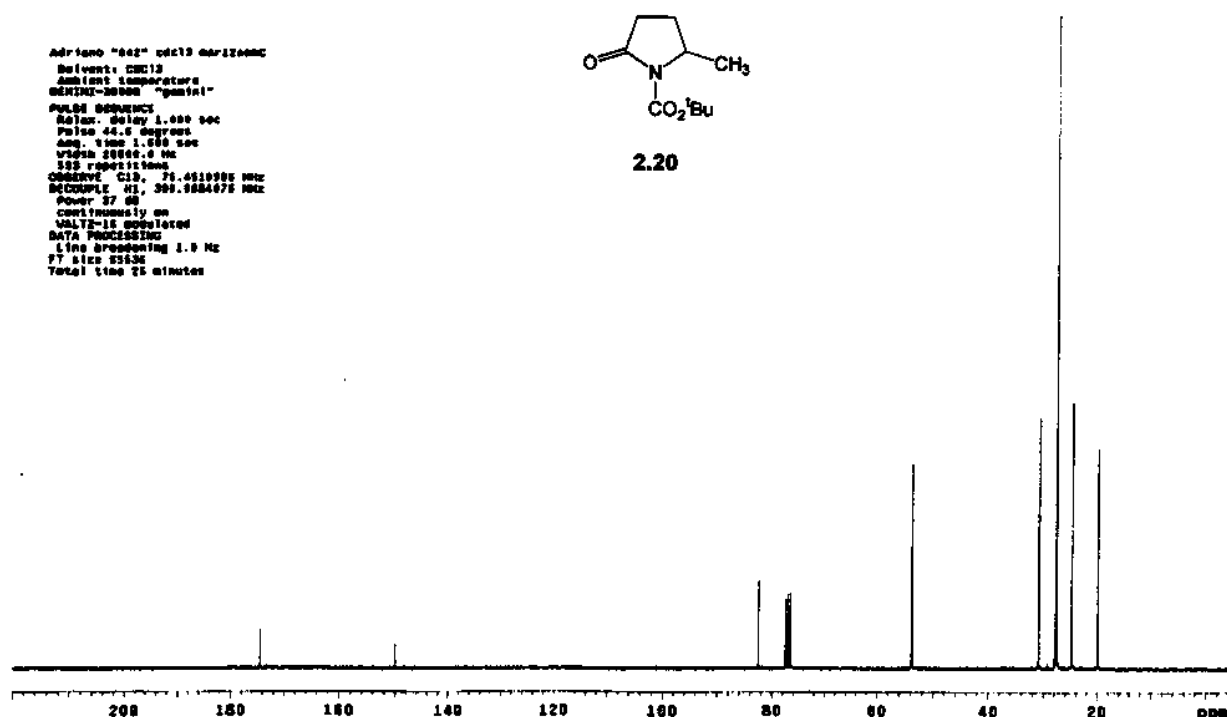
xi



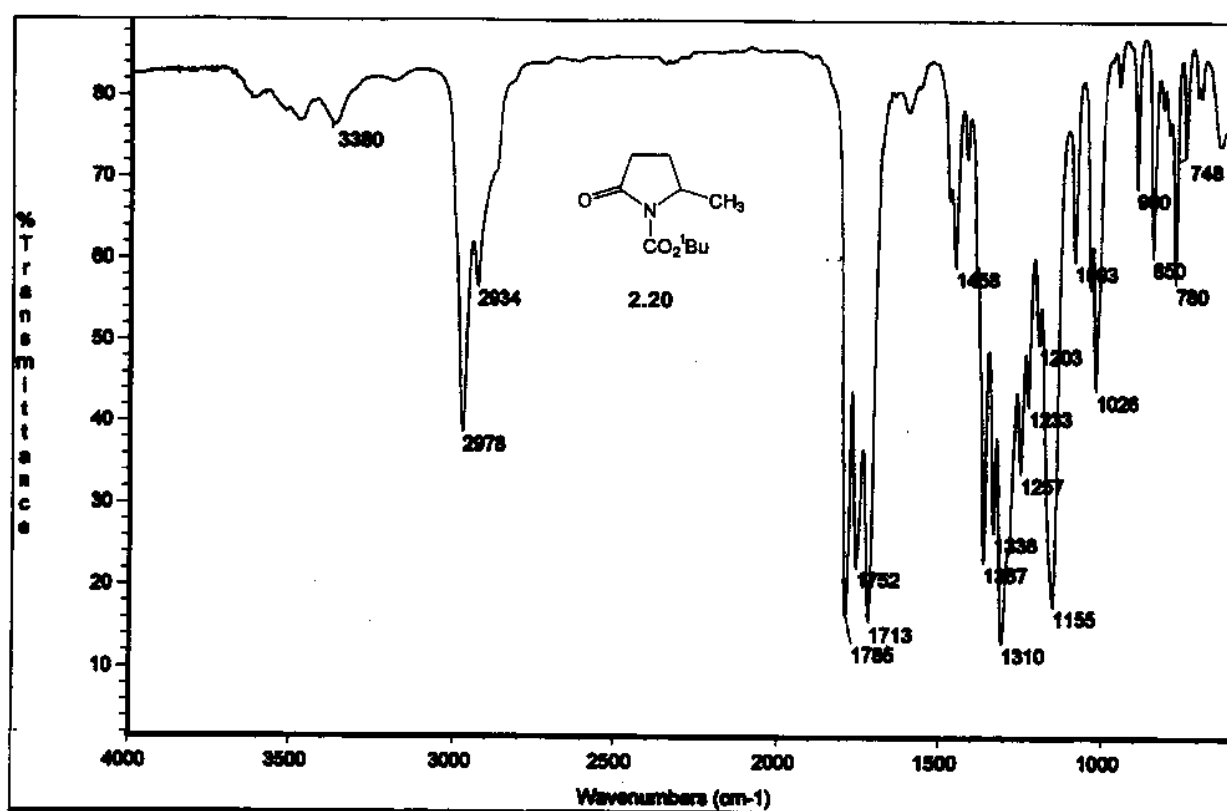
Anexo 2.20 H: ^1H -RMN (CDCl₃, 300MHz, ta)



Anexos Capítulo 2
Anexo 2.20_C: ^{13}C -RMN (CDCl_3 , 75,4MHz, ta)

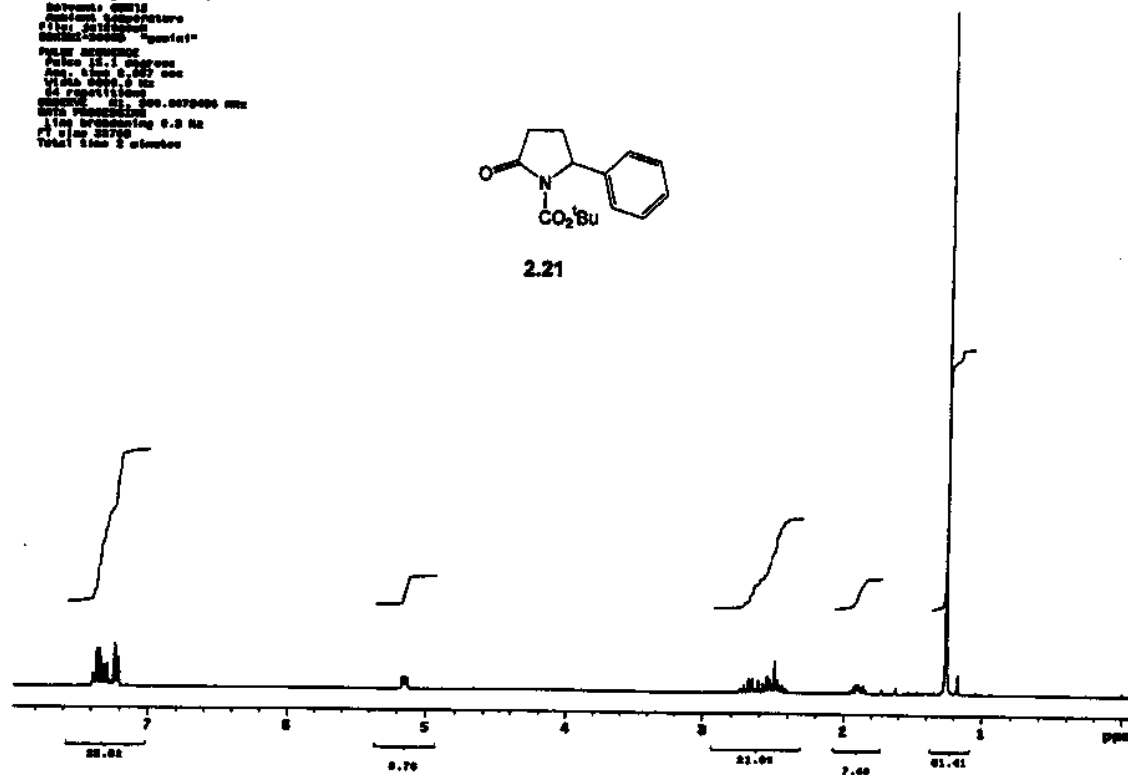
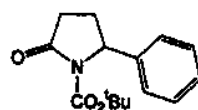


Anexo 2.20_IV: Filme em NaCl



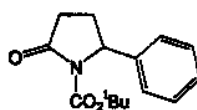
Anexos Capítulo 2
Anexo 2.21_H: ^1H -RMN (CDCl_3 , 300MHz, ta)

```
software: 300/edc10 JIntegration
scans: 10000
ppmwidth: 10.00000
FIDtime: 1.00000
SWtime: 0.00000 "panfile"
Pulse: 90.00000
PulseWidth: 1.00000
Data: 1.00000 sec
WIFD: 0.00000 sec
TD: 32768
SweepTime: 1.00000 sec
AcqTime: 0.00000 sec
DataProcess: 1.00000 sec
LineBreadth: 0.3 Hz
P1: 1.00 sec
Total time: 2 minutes
```

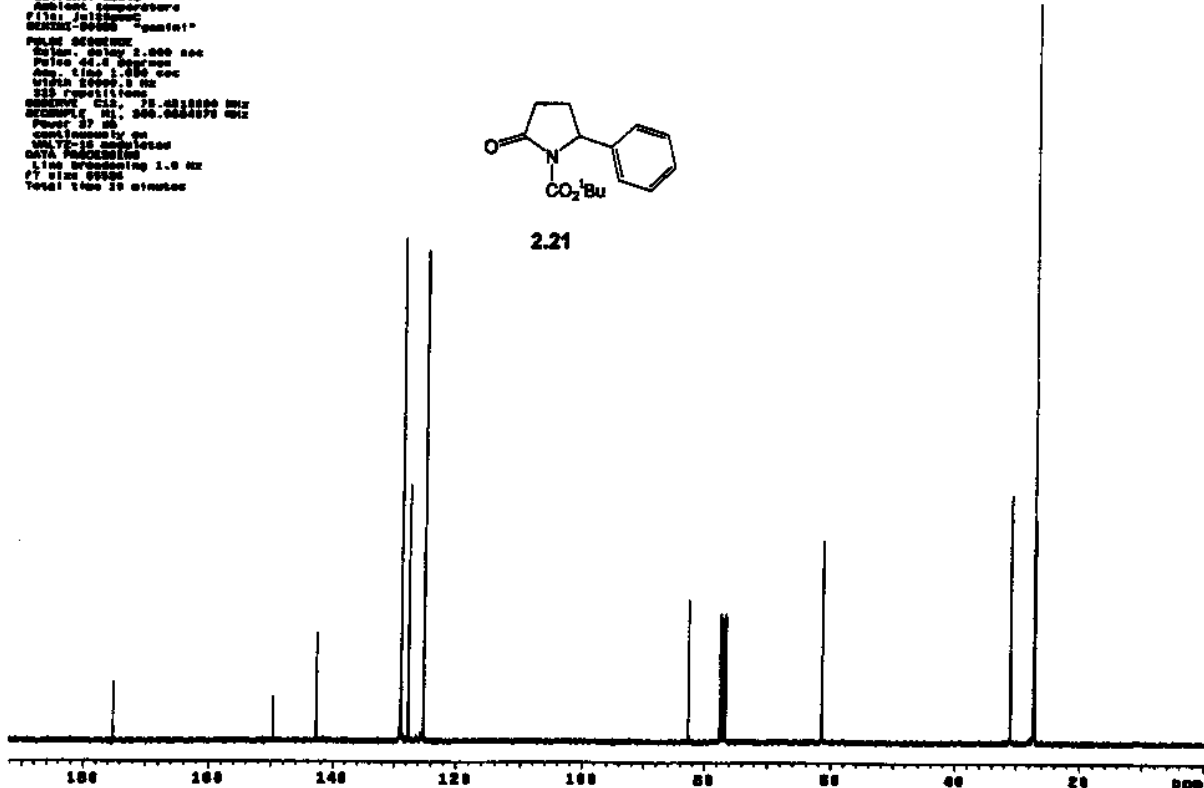


Anexo 2.21_C: ^{13}C -RMN (CDCl_3 , 75,4MHz, ta)

```
software: 300/edc10 JIntegration
scans: 10000
ppmwidth: 10.00000
FIDtime: 1.00000
SWtime: 0.00000 "panfile"
Pulse: 90.00000
PulseWidth: 1.00000
Data: 1.00000 sec
WIFD: 0.00000 sec
TD: 32768
SweepTime: 1.00000 sec
AcqTime: 0.00000 sec
DataProcess: 1.00000 sec
LineBreadth: 1.0 Hz
P1: 1.00 sec
Total time: 2 minutes
```



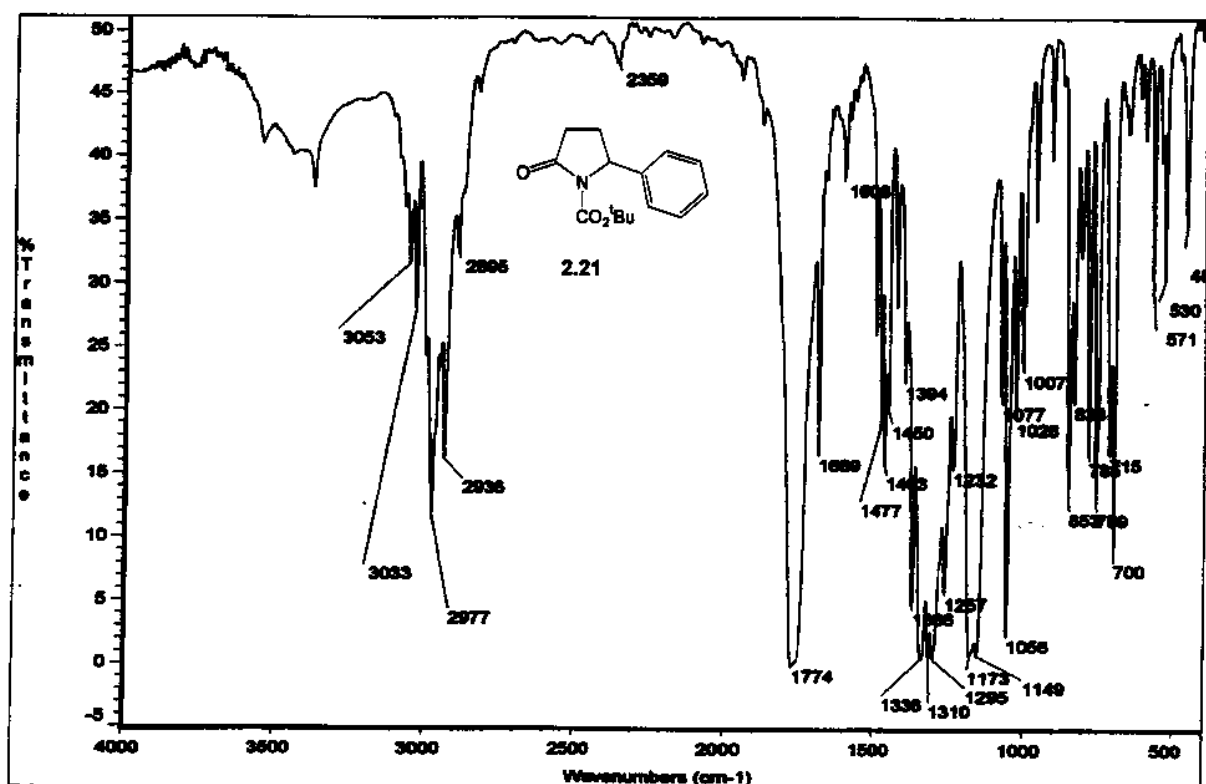
2.21



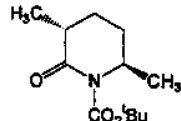
Anexos Capítulo 2

Anexo 2.21 IV: Filme em NaCl

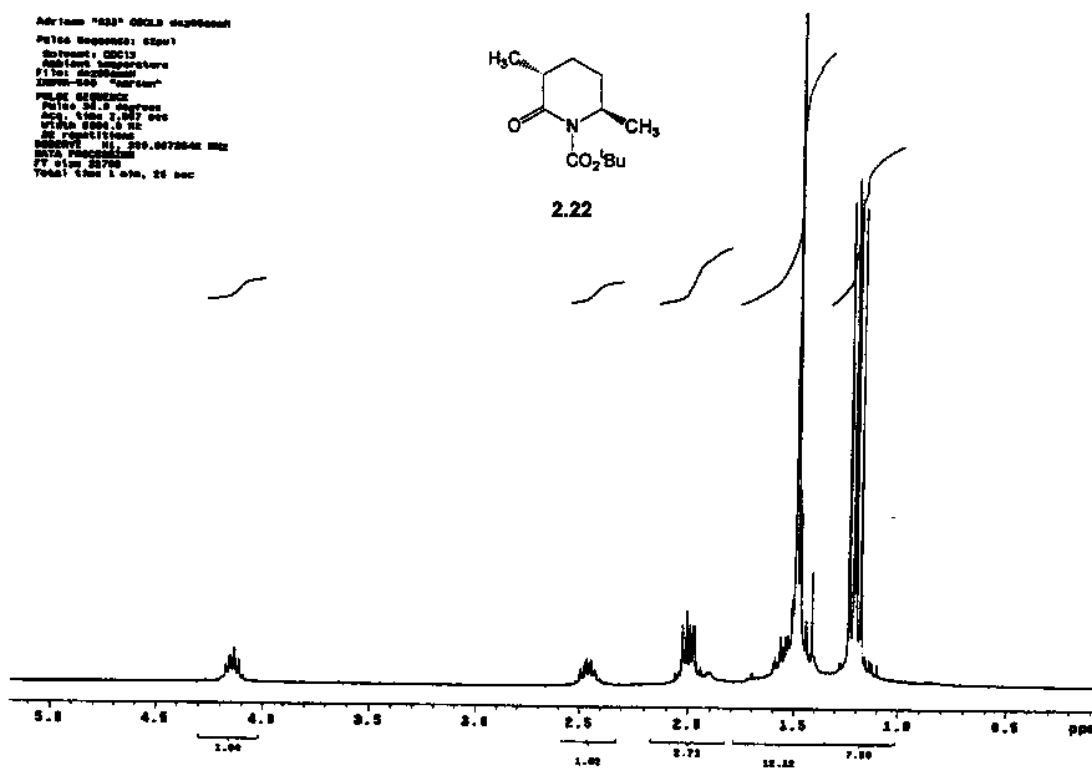
xiv



Anexo 2.22_H: ^1H -RMN (CDCl_3 , 300MHz, ta)

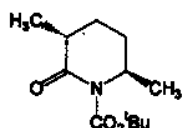


2.22

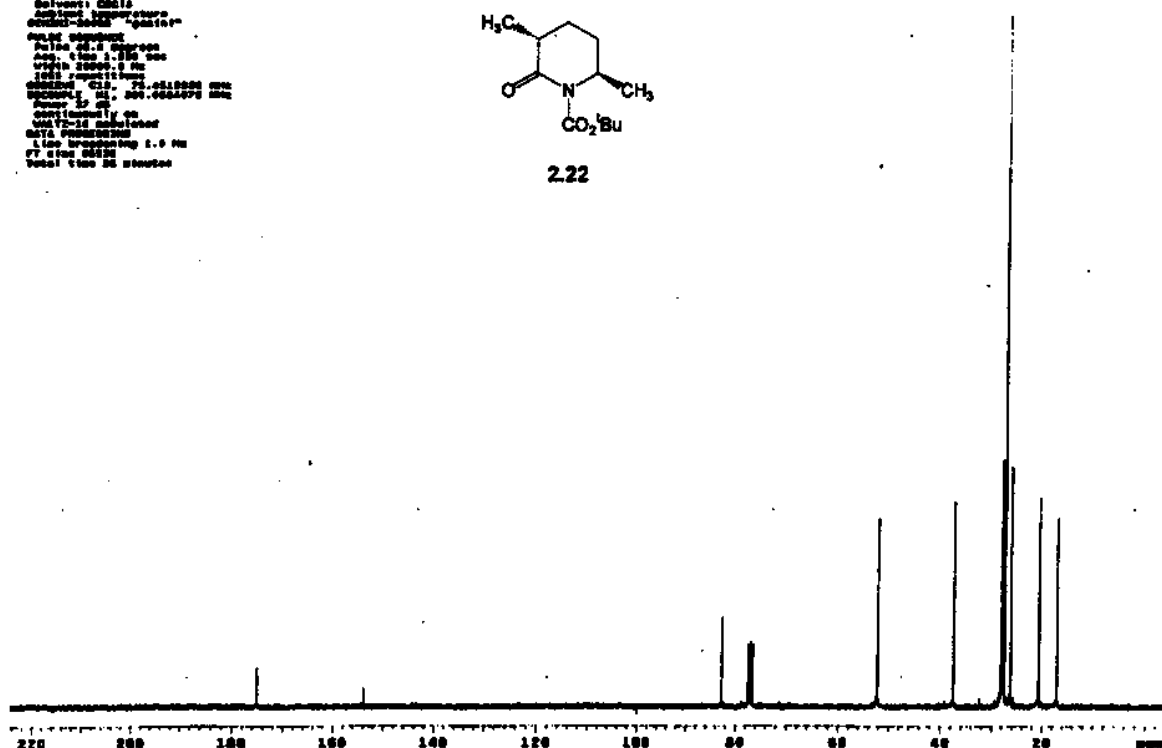


Anexo 2.22_C: ^{13}C -RMN (CDCl_3 , 75,4MHz, ta)

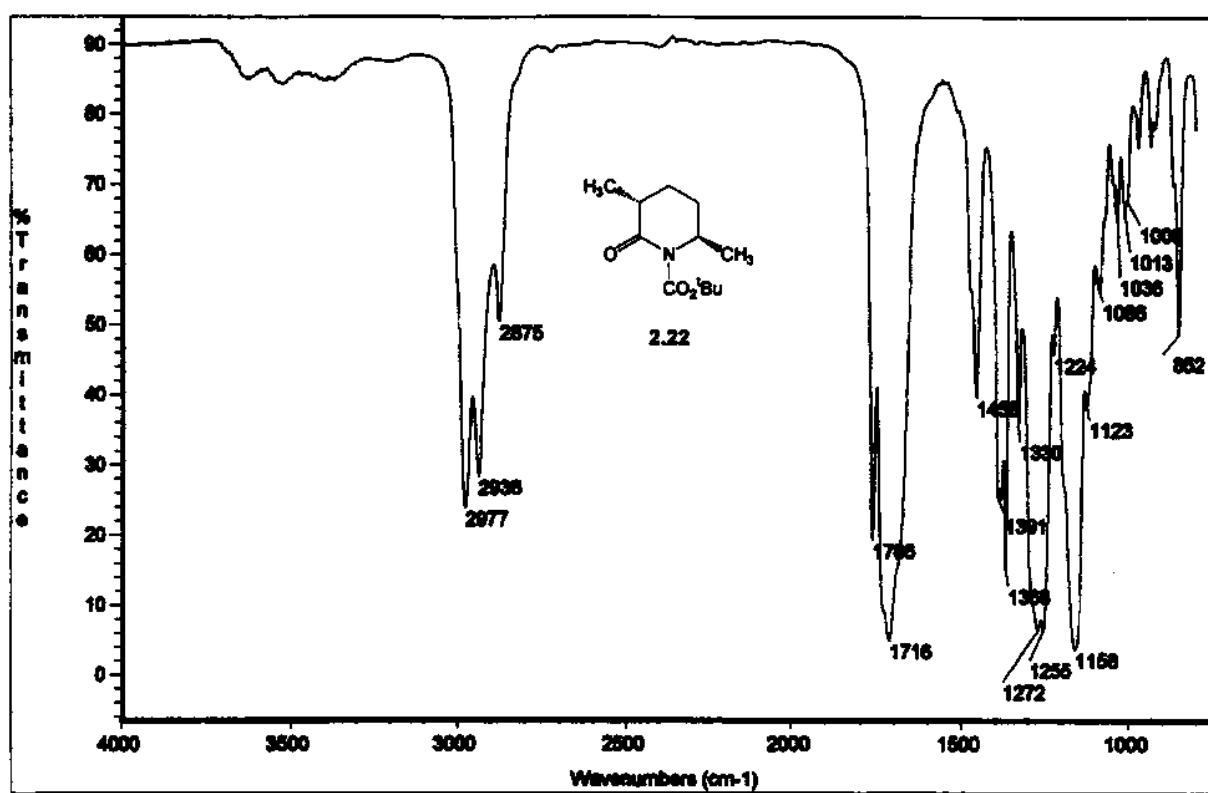
Acquisition Time: 00:00:00
 Solvent: CDCl_3
 Acquisition temperature:
 298.0000 °C
 Pulse width:
 9.8 μs , 64.8 deg
 FID time: 1.00 sec
 Scan time: 2.0000 sec
 Total time: 1.00 sec
 Suppression: G3(128,111,111,111)
 Decimation: 128
 Window: 2048.0 Hz
 FWHM: 1.00 Hz
 WET2D: 128 stacked
 NCO: 1000000
 T1: 1000 sec
 T2: 100 sec
 Total time: 00 minutes



2.22



Anexo 2.22_IV: Filme em NaCl



Anexos Capítulo 2

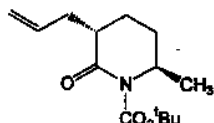
Anexo 2.23. ^1H -RMN (CDCl_3 , 300MHz, ta)

xvi

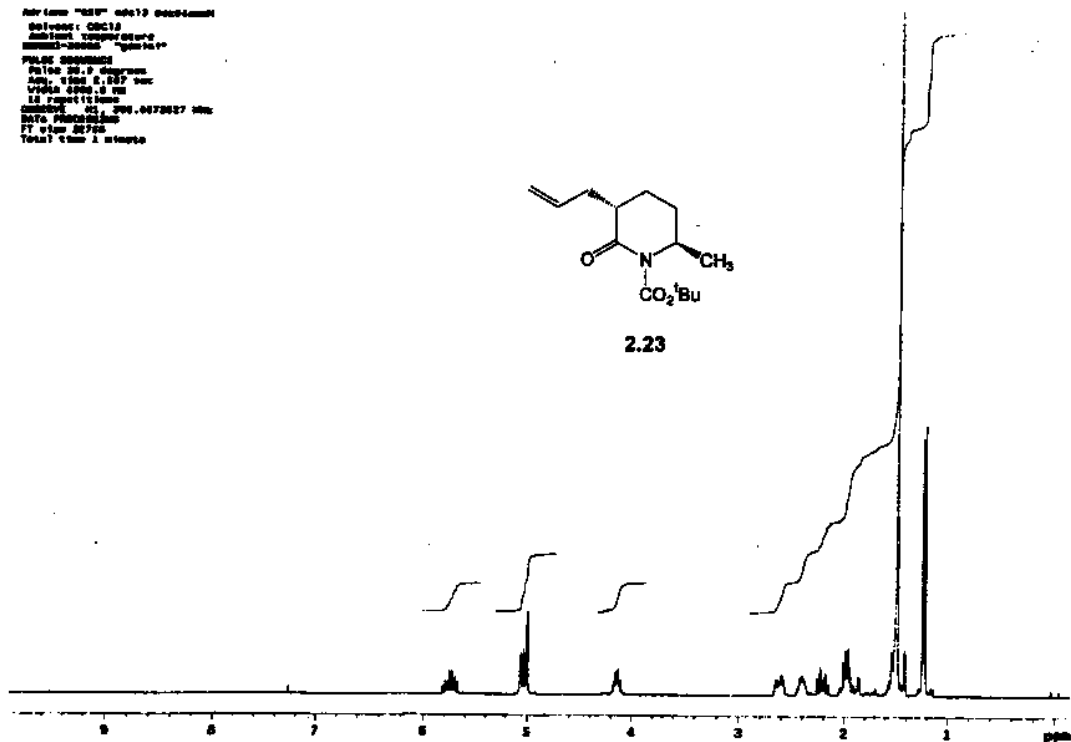
```

Adrienne "GIGI" adri102 adrianne
Bellevue: 0815
Ambient Temperature:
MM2000-20000 "quiet"?
Police Department
Police 20.0 degrees
Min. temp 8.267 sec
Wind 4000.0 KM
10 minutes time
Timestamp: 2006-04-26 20:27:58
Data Protection Group
FT wage 307.00
Total: 300.0 minutes

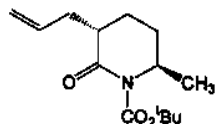
```



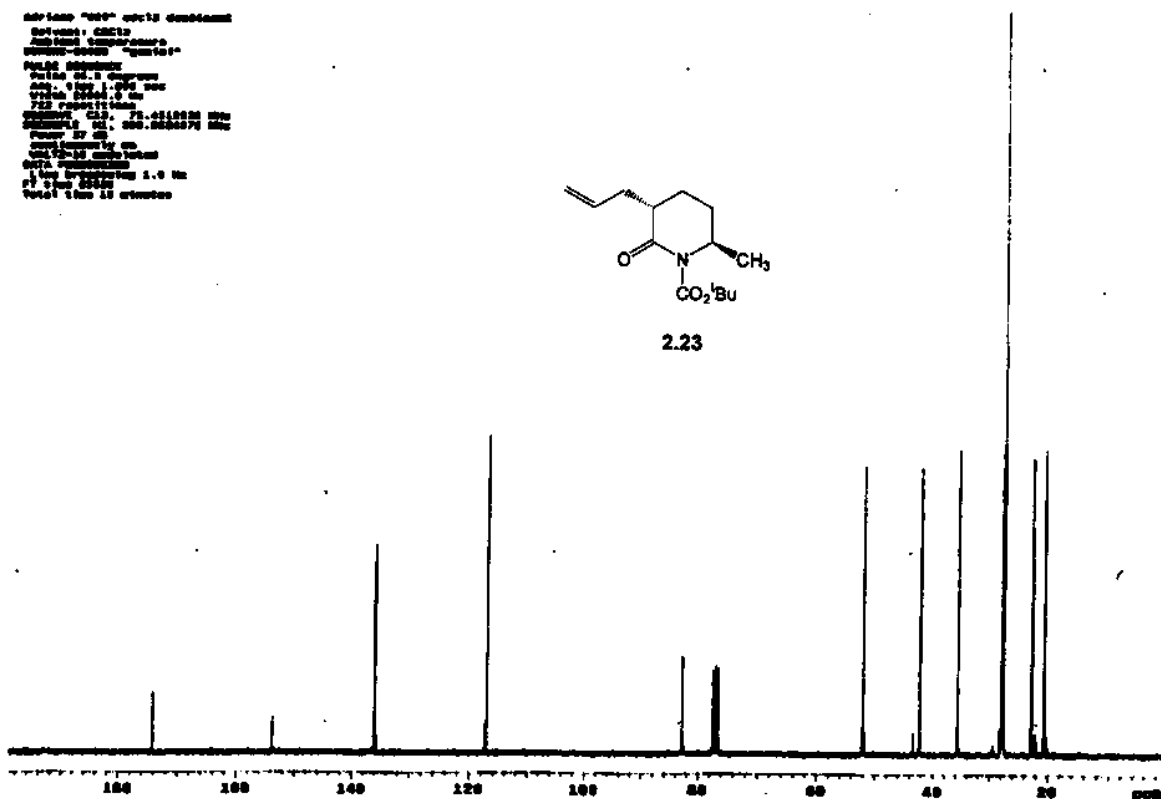
2.23



Anexo 2.23_C: ^{13}C -RMN (CDCl_3 , 75,4MHz, ta)

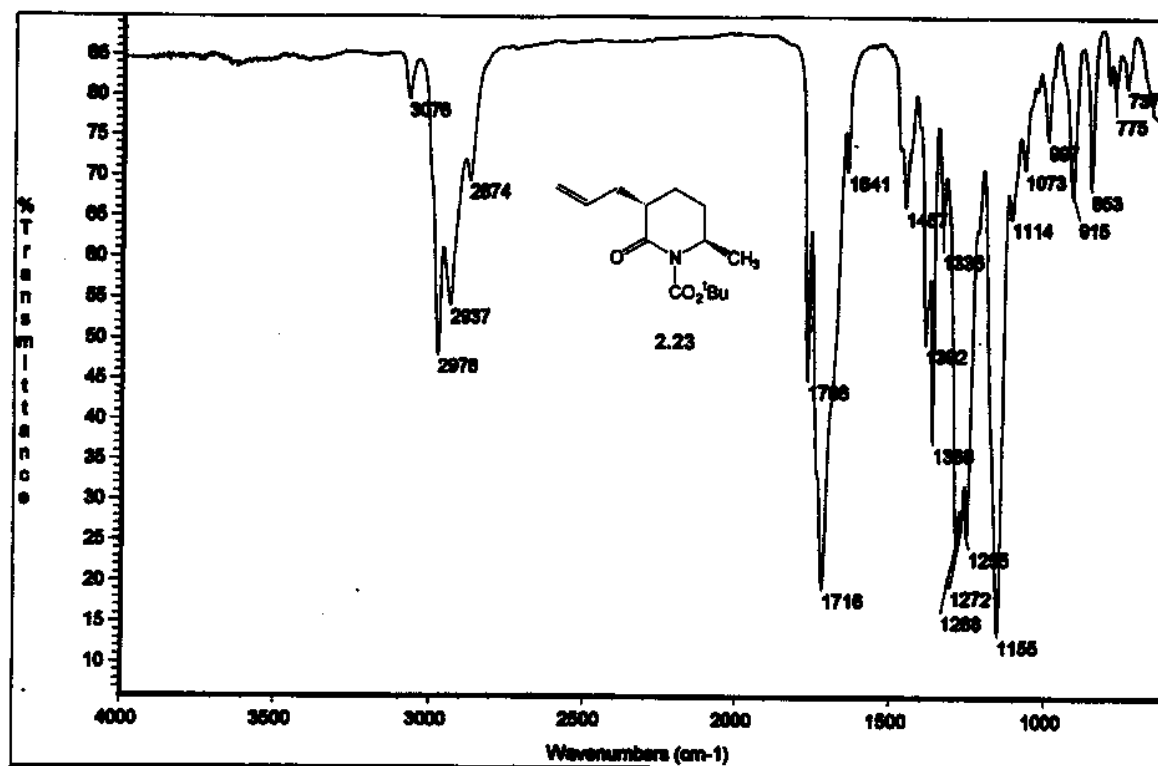


2.23

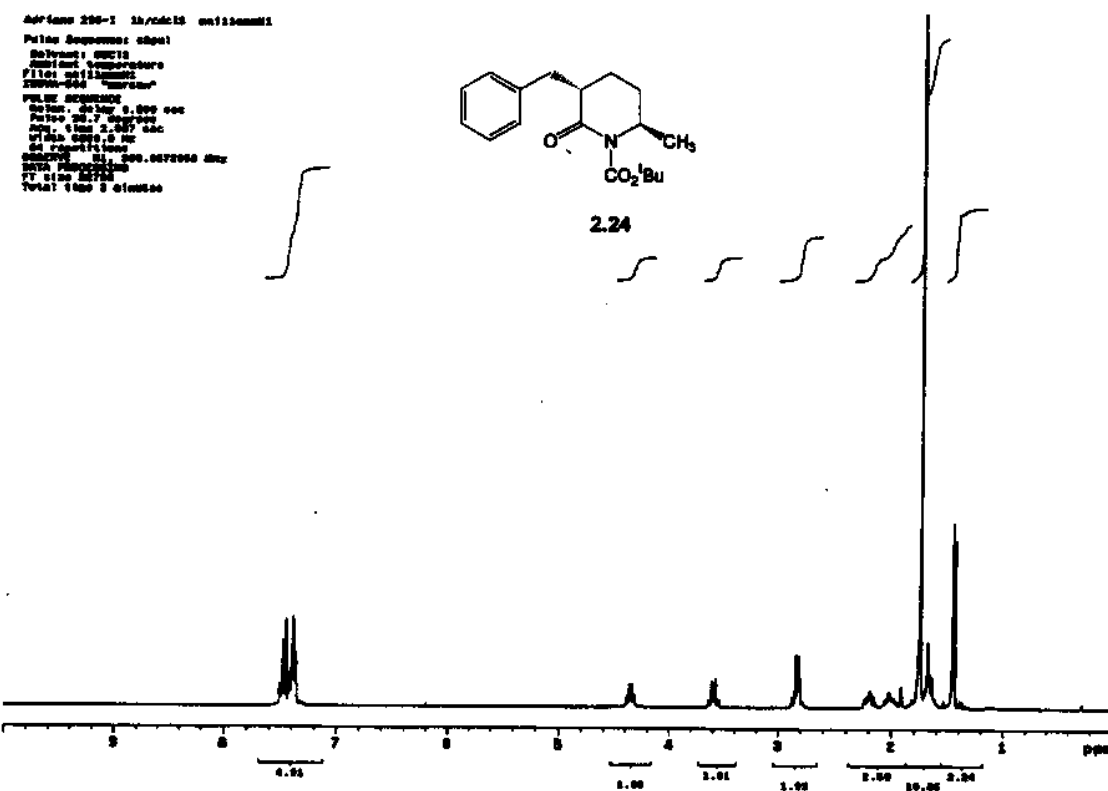


Anexos Capítulo 2
Anexo 2.23_ IV: Filme em NaCl

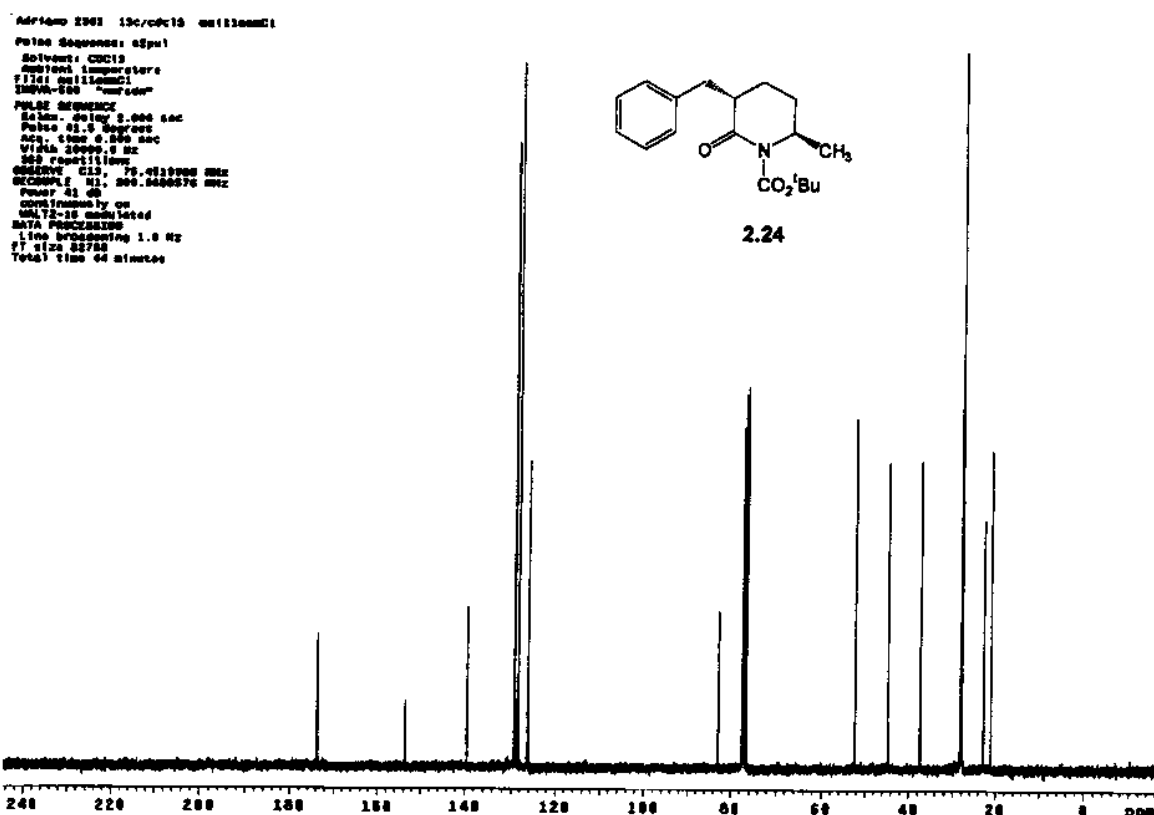
xvii



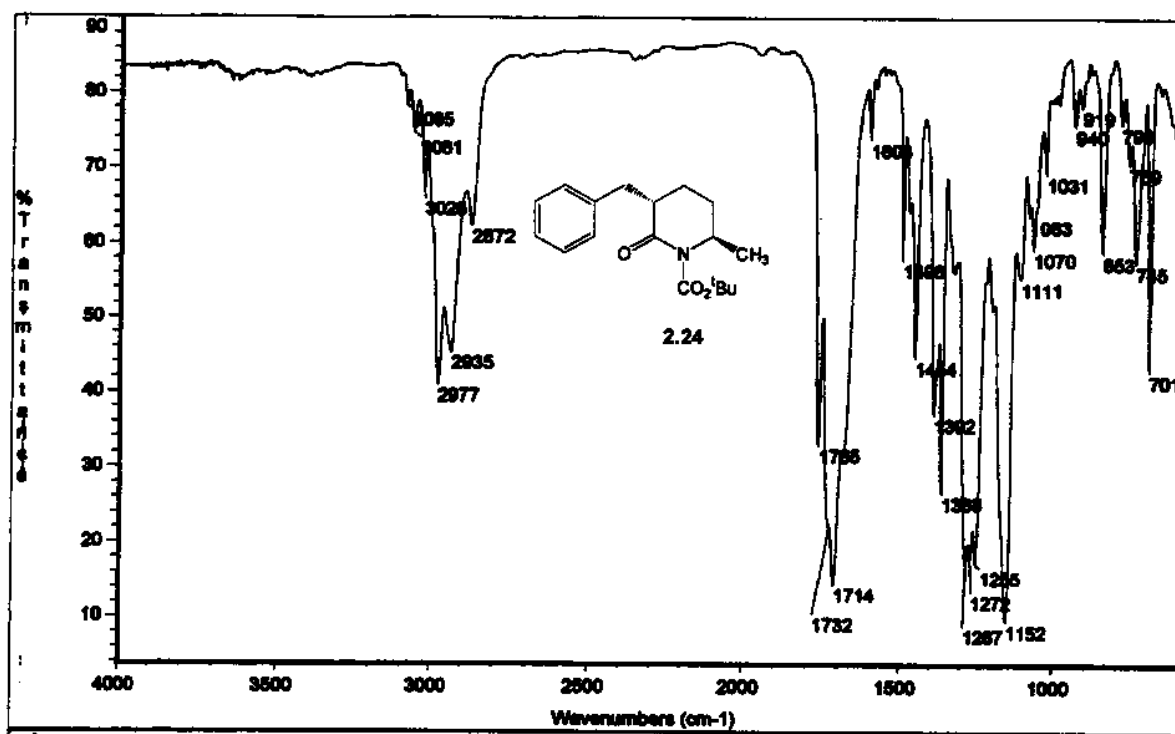
Anexo 2.24_H: ^1H -RMN (CDCl_3 , 300MHz, ta)



Anexos Capítulo 2
Anexo 2.24_C: ^{13}C -RMN (CDCl_3 , 75,4MHz, ta)

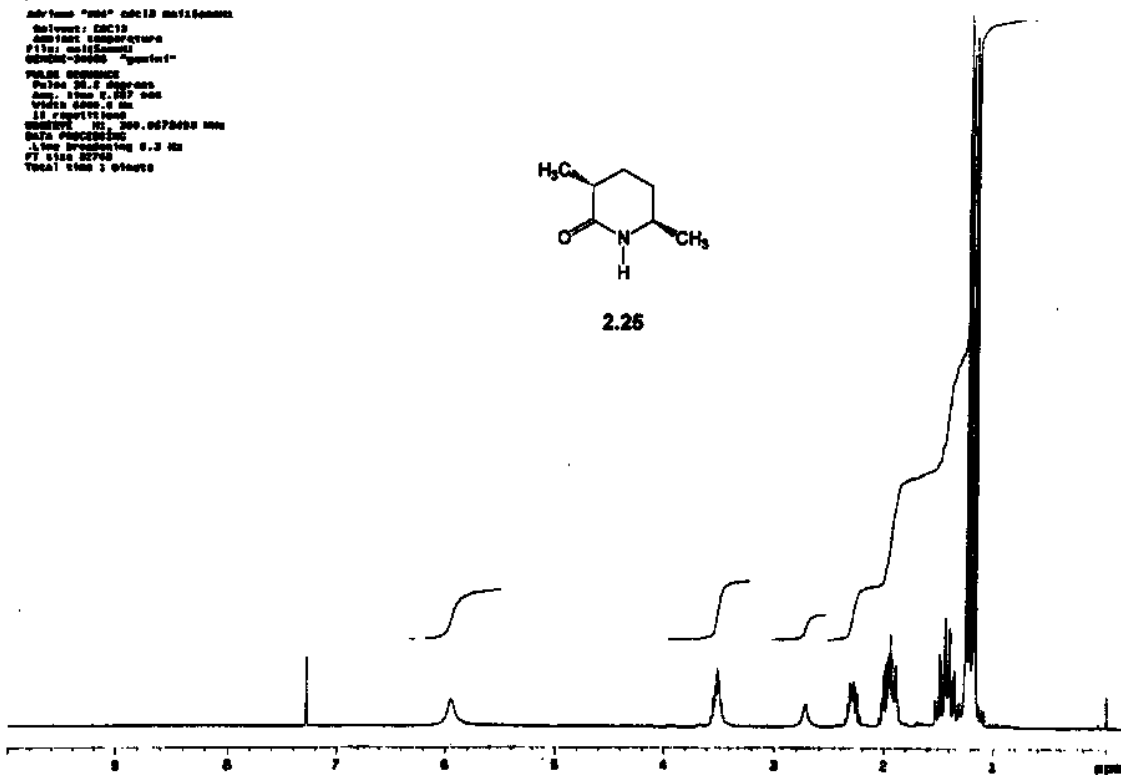
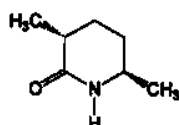


Anexo 2.24_IV: Filme em NaCl



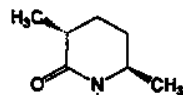
Anexos Capítulo 2
Anexo 2.25_H: ^1H -RMN (CDCl₃, 300MHz, ta)

```
Adriano "500" 00013 dati00001
Solvent: CDCl3
DPPM: 0.0000000000000000
Pulse: 90.0 degrees
SWEEP-30000 "pointed"
PULSE SEQUENCE
Pulse 90.0 degrees
Data time 1.00 sec
SWEEP 300.0 Hz
Line broadening 0.3 Hz
FT size 32768
Total time 20 minutes
```

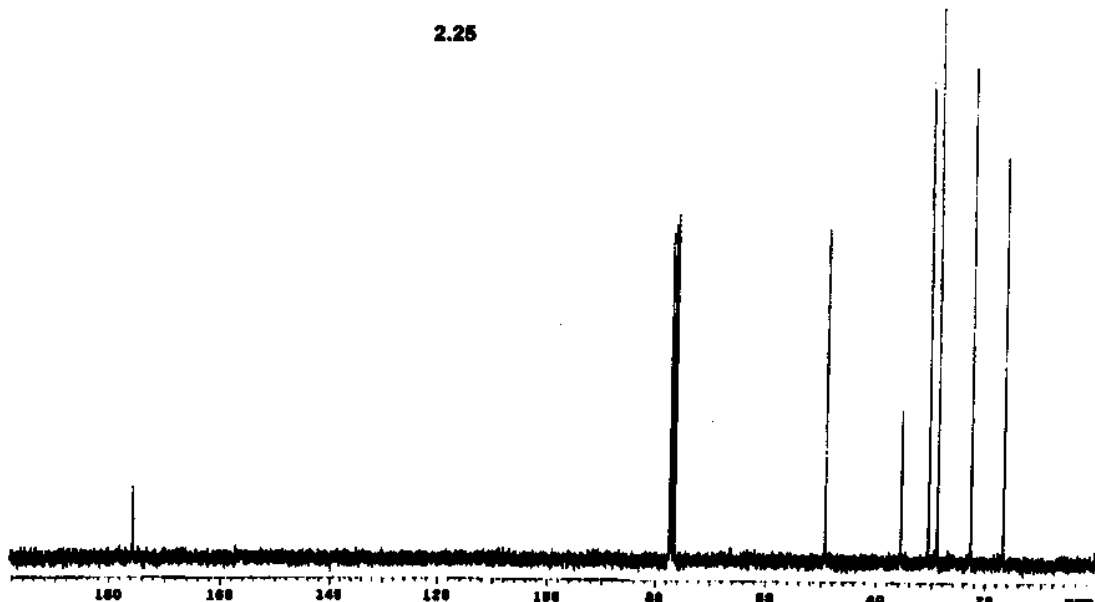


Anexo 2.25_C: ^{13}C -RMN (CDCl₃, 75,4MHz, ta)

```
Adriano "500" 00013 dati00001
Solvent: CDCl3
DPPM: 0.0000000000000000
Pulse: 90.0 degrees
SWEEP-30000 "pointed"
PULSE SEQUENCE
Pulse 90.0 degrees
Data time 1.00 sec
SWEEP 300.0 Hz
Line broadening 1.0 Hz
FT size 20480
Total time 20 minutes
```

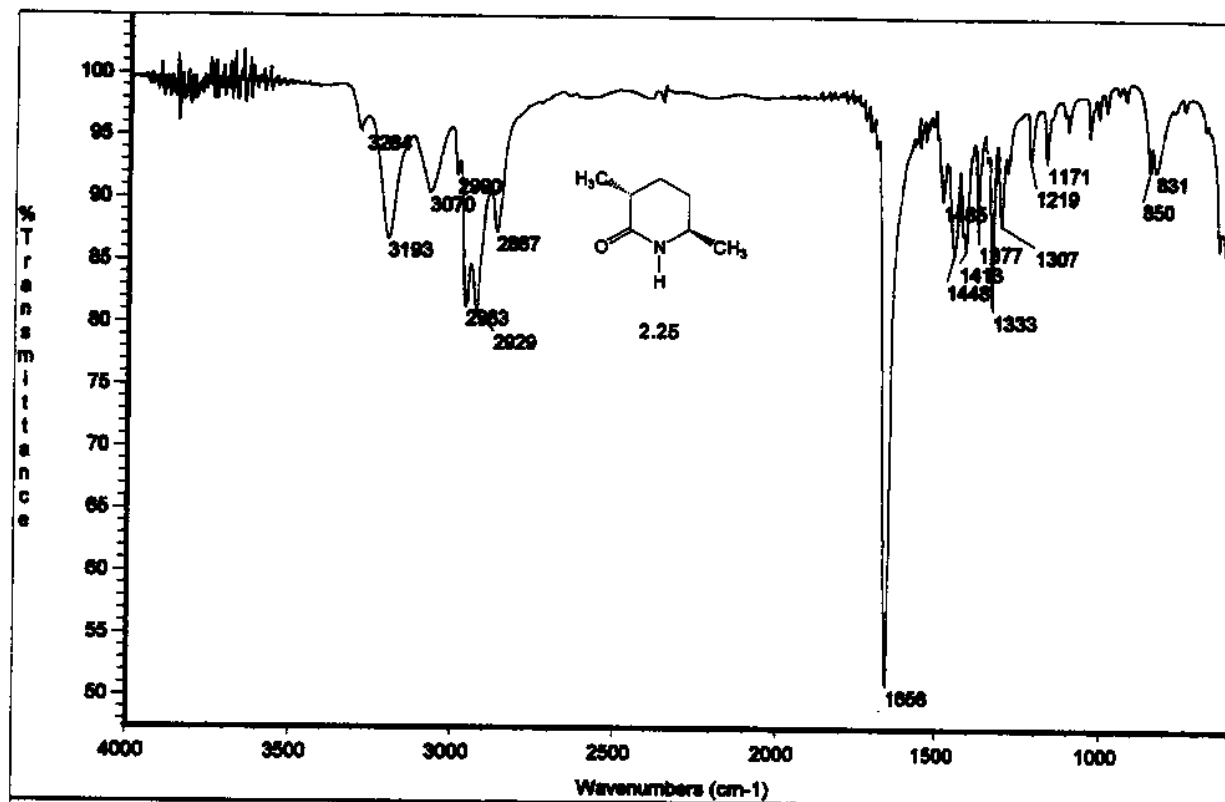


2.25



Anexos Capítulo 2
Anexo 2.25_IV: Filme em NaCl

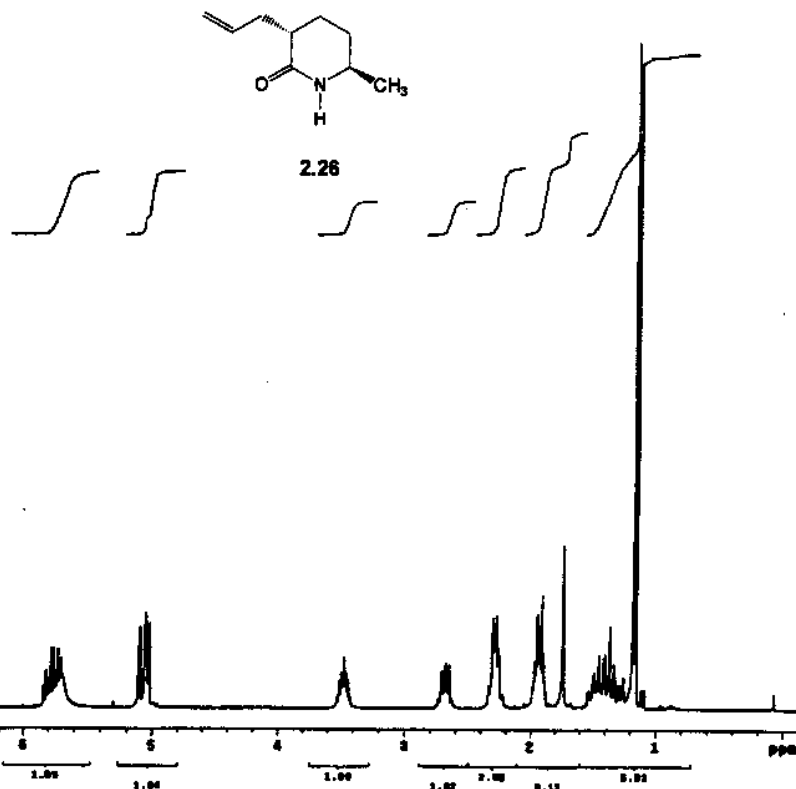
xx



Anexo 2.26_H: ^1H -RMN (CDCl_3 , 300MHz, ta)

• Quadrupole 300-3 mm Channel
Pulse Amplitude: 100%

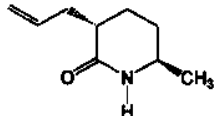
• Frequency: 300MHz
Reference Temperature
• Pulse width: 10.00 μs
• Scan time: 1.000 sec
• Pole: 10.000 Hz
• Pulse interval: 1.000 sec
• No. repetitions: 1000
• Scan range: 1.000-10.000 ppm
• Data processing:
FT 1000, 22700
Total time: 2 minutes



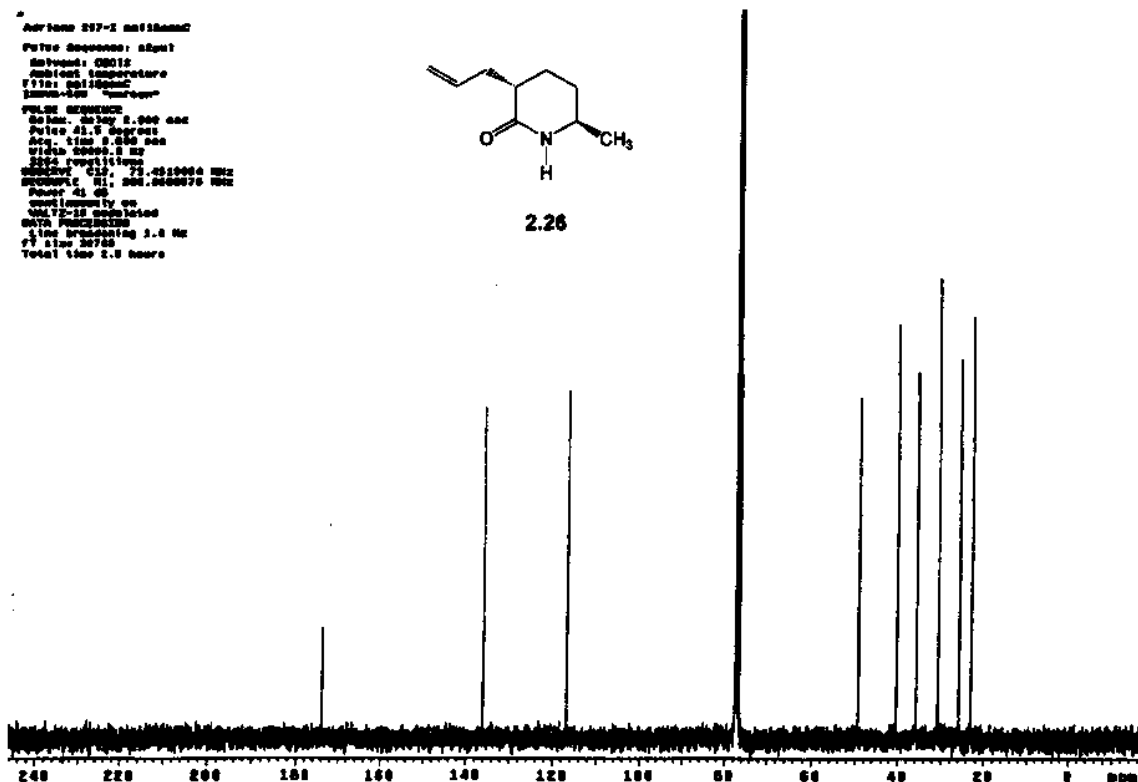
Anexos Capítulo 2

Anexo 2.26_C: ^{13}C -RMN (CDCl_3 , 75,4MHz, ta)

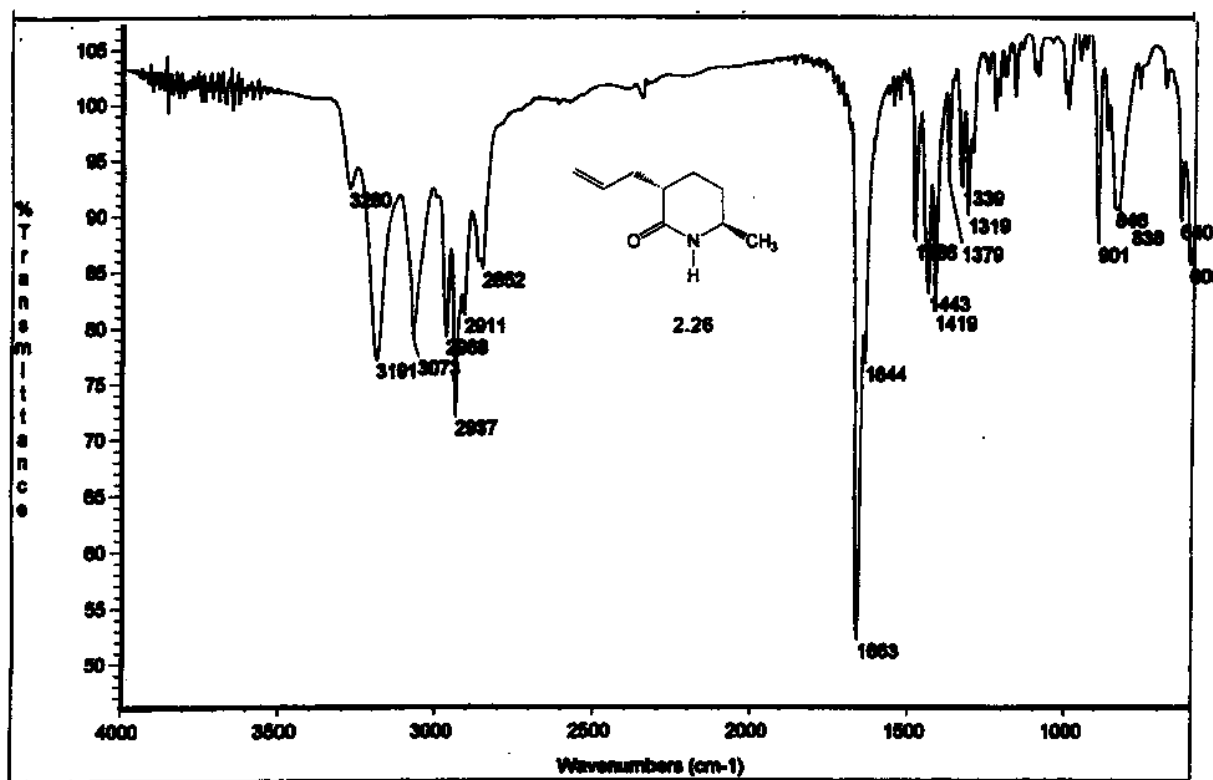
AcqTime: 297.2 minutes
 PFG90 sequence: ababt
 ScanTime: 0.0012
 TotalScan: 10000
 T1: 1.000000
 T2: 0.000000
 PFG90: 0.000000
 PFG90 sequence:
 0.0 sec, delay 2.0 sec
 Pulse 90.0 degrees
 0.0 sec, delay 1.0 sec
 0.0 sec, 0.000000
 256 scans
 256 averages
 Frequency: 75.4310000 MHz
 Decimation: 1.0
 Power: 4.0 dB
 Continuity: on
 FID: 1024 points
 DATA: 2048 points
 Line broadening: 3.0 Hz
 FT size: 20768
 Total time: 2.0 hours



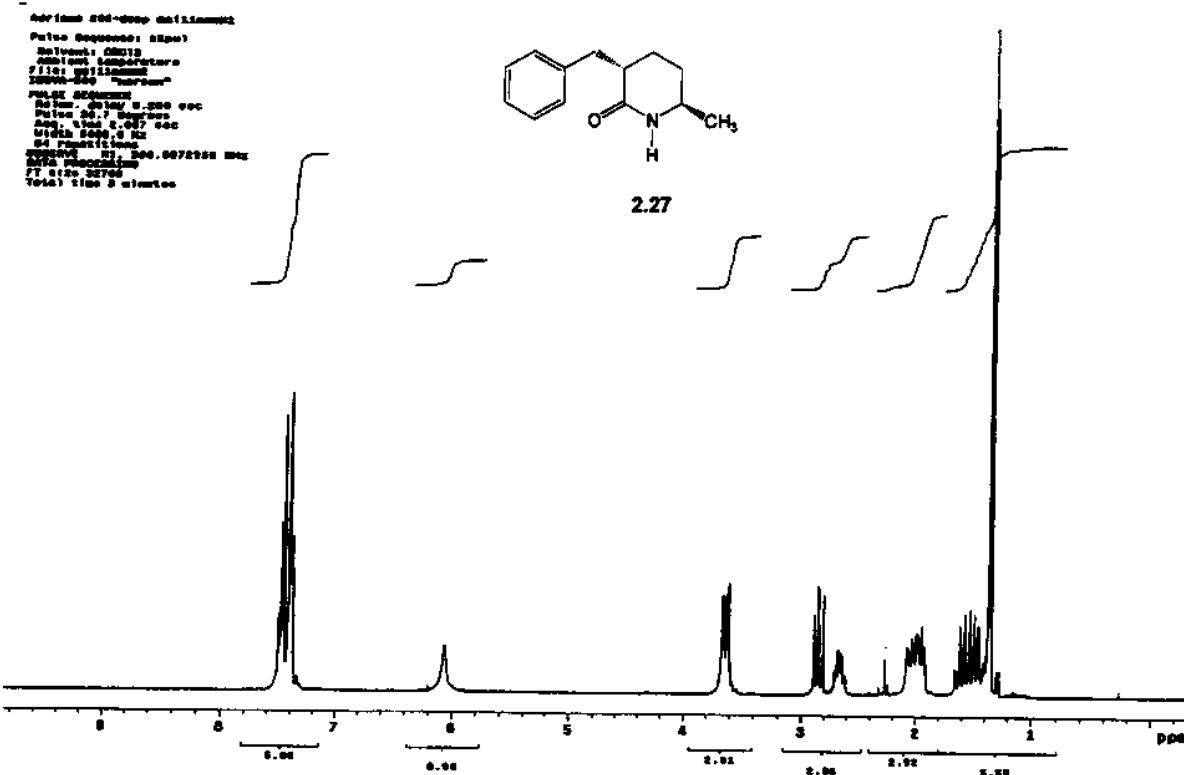
2.26



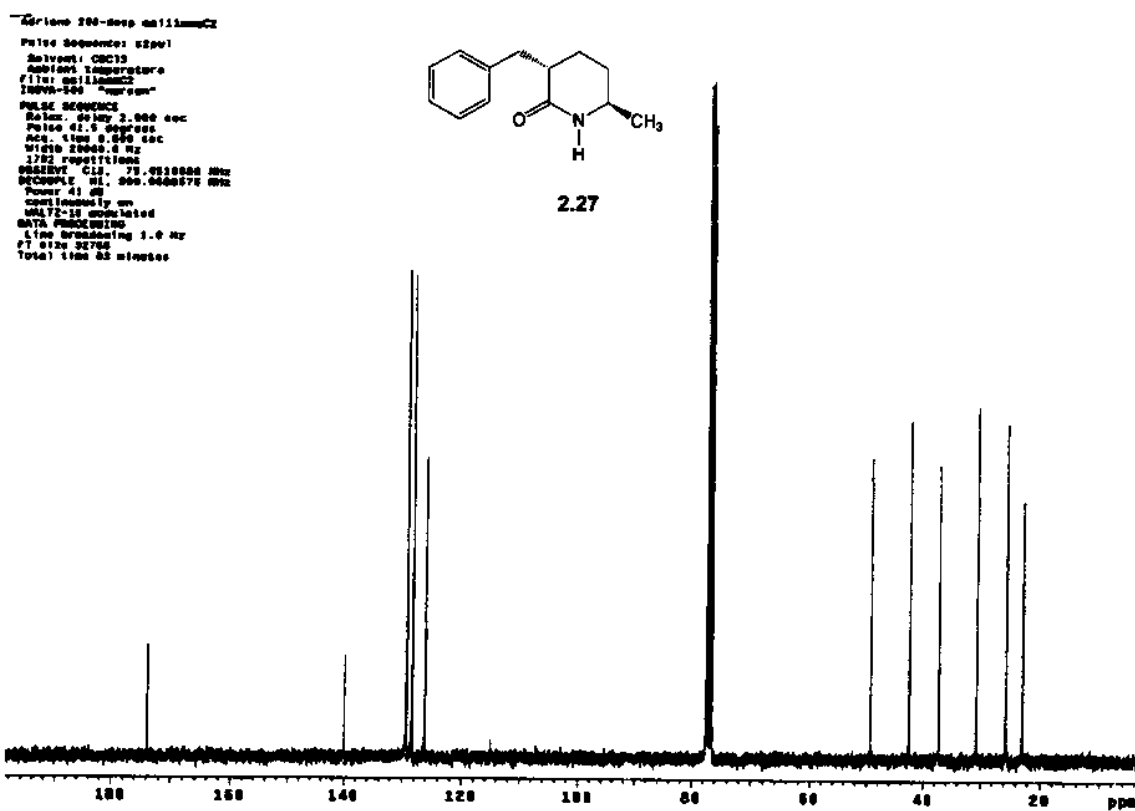
Anexo 2.26_IV: Filme em NaCl



Anexos Capítulo 2
Anexo 2.27_H: ^1H -RMN (CDCl_3 , 300MHz, ta)

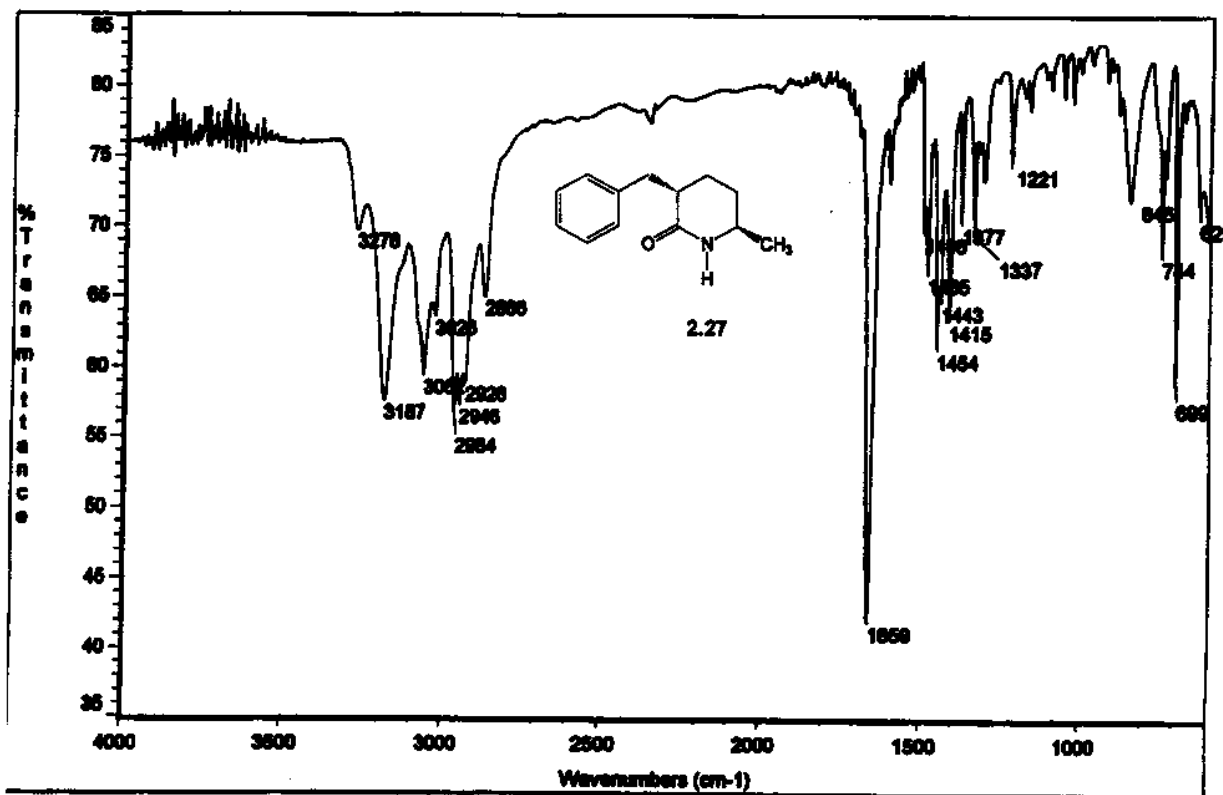


Anexo 2.27_C: ^{13}C -RMN (CDCl_3 , 75,4MHz, ta)



Anexos Capítulo 2
Anexo 2.27_IV: Filme em NaCl

xxiii

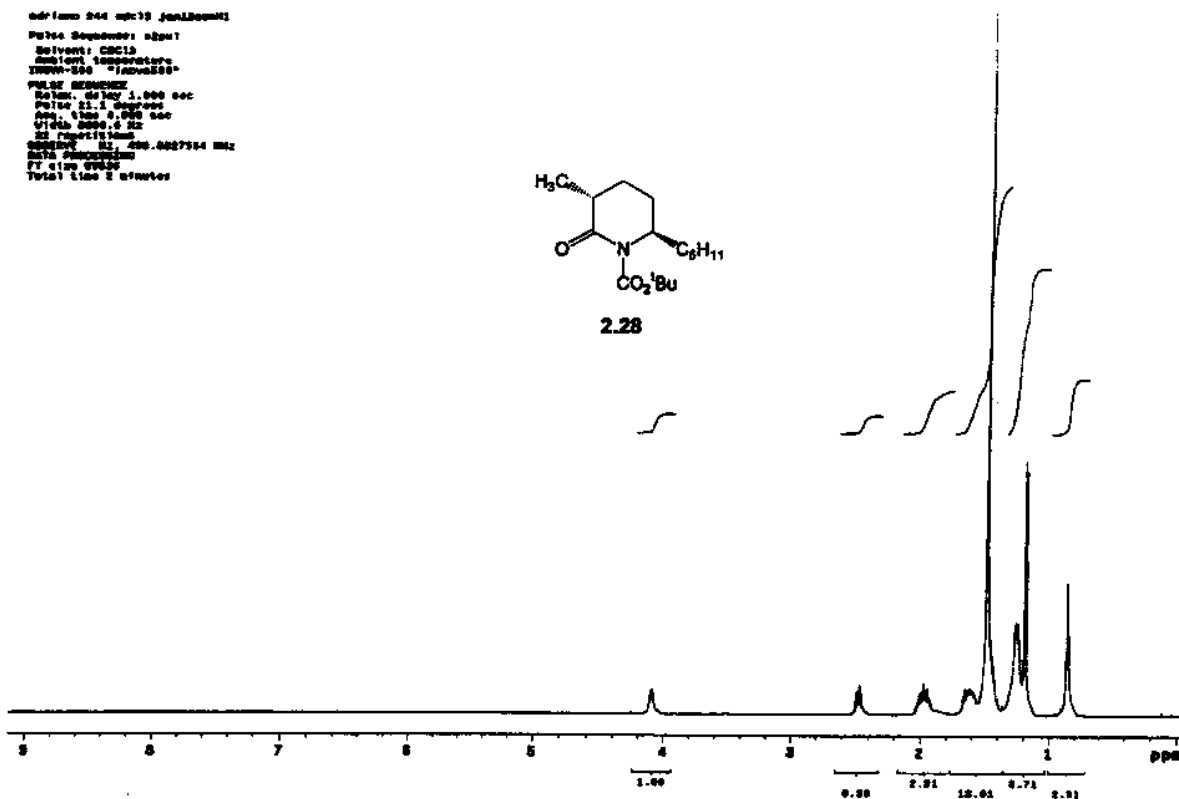


Anexo 2.28_H: ¹H-RMN (CDCl₃, 500MHz, ta)

```

adriano 244 wpc10 juno1200mz
Pulse Sequence: zg3072
Solvent: CDCl3
Acquisition temperature:
IRMMW-500 "Innovate500"
PULSE SEQUENCE:
Sweep: 2.00000 sec
S1: 2.00000 sec
Ave.: 1000 0.000 sec
Width: 0.00000 sec
SSB: 0.00000 sec
SWFID: Hz: 4000.0007954 Hz
DATA PROCESSING:
PT: 0.1000000
Total time 2 minutes

```

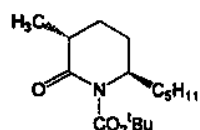


Anexos Capítulo 2
Anexo 2.28_C: ^{13}C -RMN (CDCl_3 , 125,7MHz, ta)

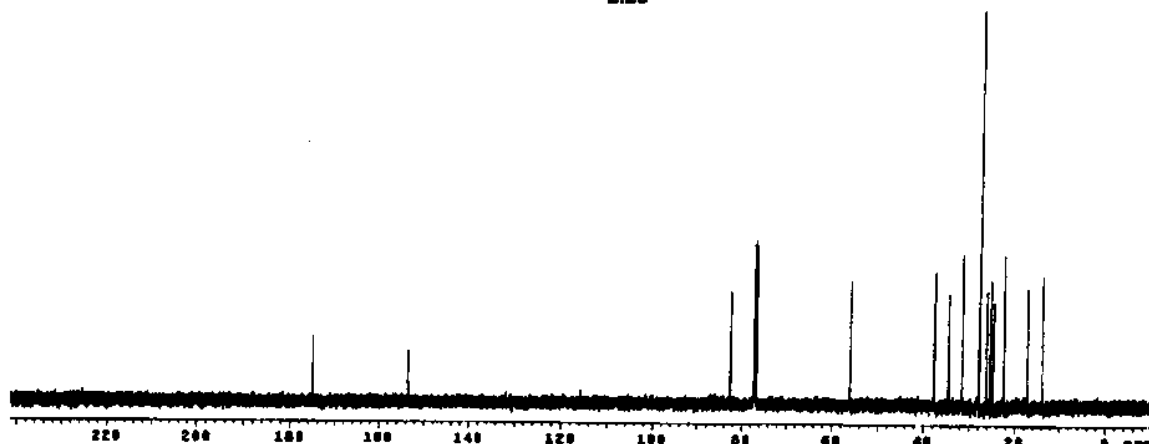
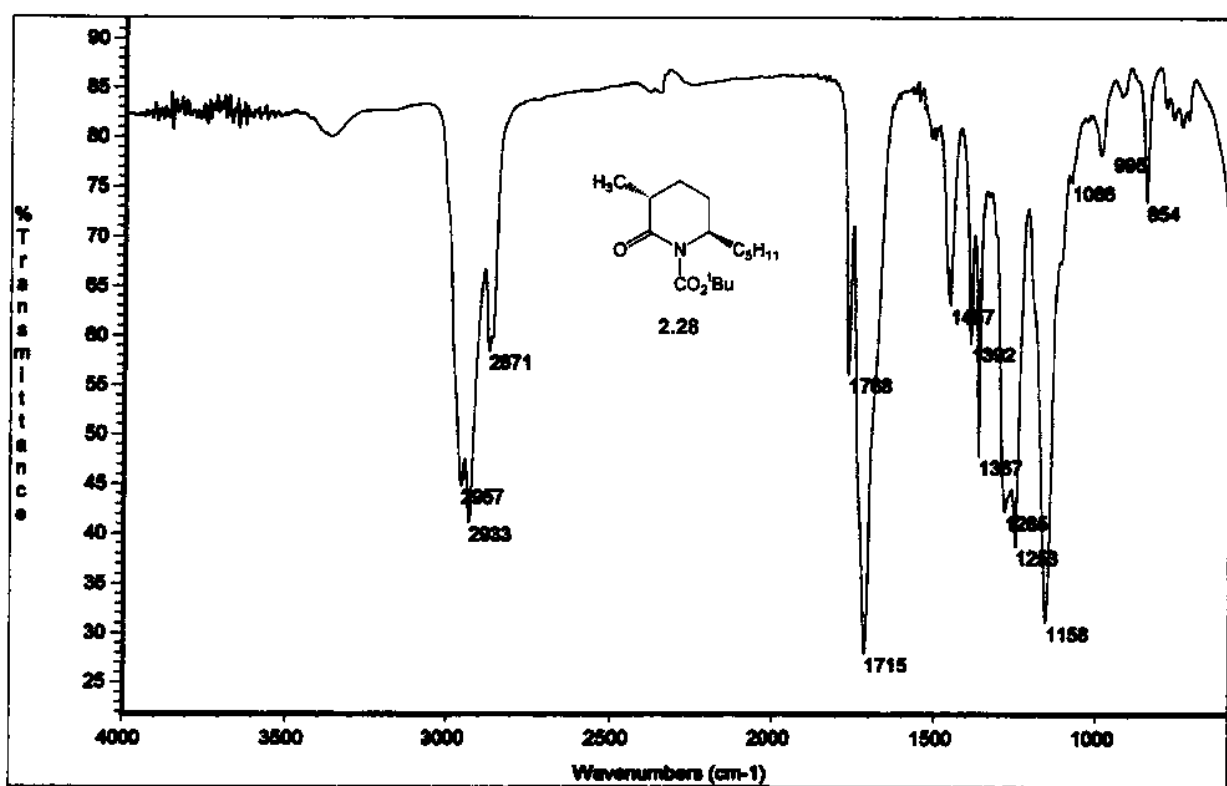
```

adqtime: 244.00002 JavSoft2002
Pulse Sequence: cpmrgppp1
Instrument: CDCl3
Acquisition: 125.7MHz
NS(PT): 3-10-87
SW0(ET): 500 "100000000"
Pulse sequence:
TD(ET): 1024.0 sec
TE(ET): 97.0 sec
PA(ET): 1.000 sec
W1(ET): 20000.0 Hz
Sweep(ET): 10000.0 Hz
Data(ET): 10000.0 Hz
Q(ET): 10000.0 Hz
PPM(ET): 125.700000 MHz
SC(ET): 1024.000000 Hz
DPPM(ET): 0.000000 Hz
Process(ET):
SWFID(ET): 1.0 Hz
T1(ET): 131073
Total Time: 9 minutes

```



2.28

**Anexo 2.28_IV: Filme em NaCl**

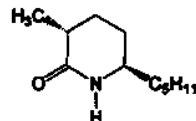
Anexos Capítulo 2
Anexo 2.29_H: ^1H -RMN (CDCl_3 , 300MHz, ta)

xxv

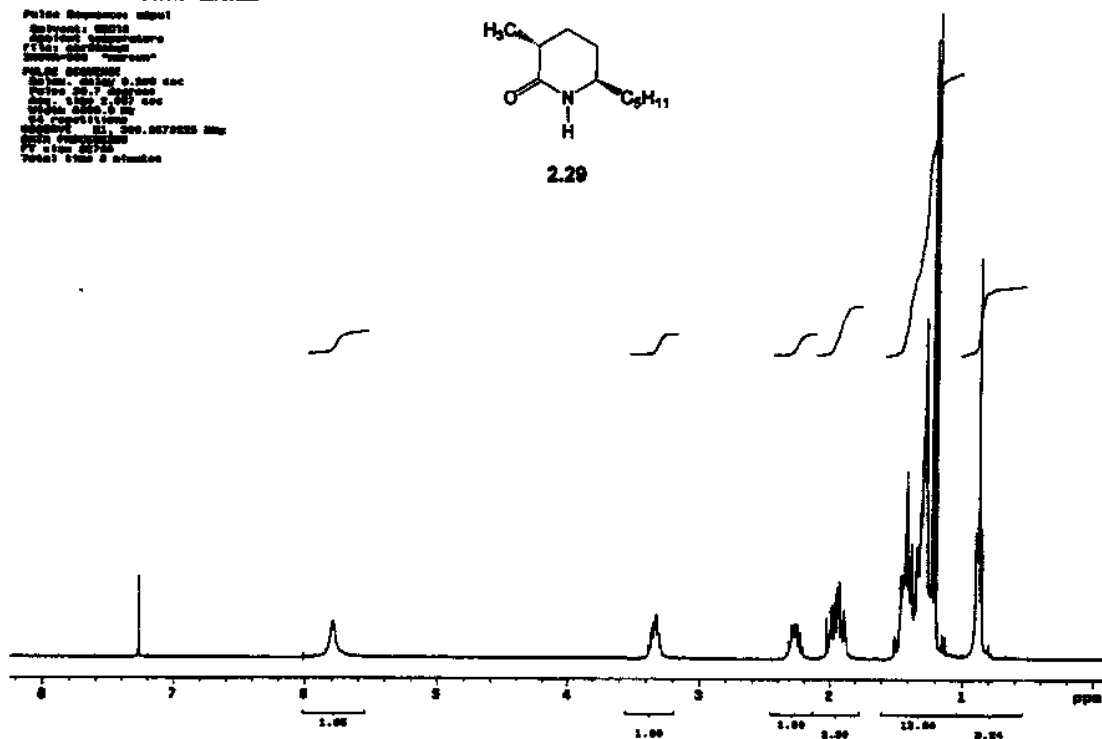
```

Aptitron 201-0 1H/60010 007000000000
Pulse Sequence: c1sp1
Solvvent: CDCl3
Acq. time: 0.000 sec
Pulse width: 1.000 sec
Pulse delay: 0.000 sec
TE(0): 0.7 0.000 sec
TE(1): 1.000 sec
ESR Repetition: 0.000 sec
Resonance: H1, 300.0070000 MHz
PPM: 0.00-12.000 ppm
Total time 0 minutes

```



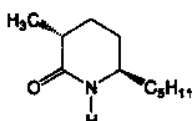
2.29



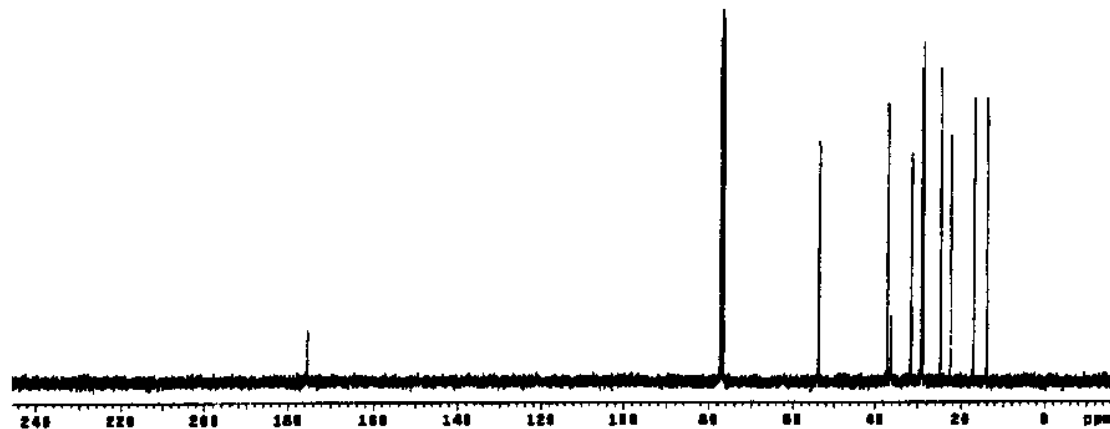
```

Aptitron 201-0 13C/CDCl3 007000000000
Pulse Sequence: c1sp1
Solvvent: CDCl3
Acq. time: 0.000 sec
Pulse width: 1.000 sec
Pulse delay: 0.000 sec
TE(0): 0.7 0.000 sec
TE(1): 1.000 sec
ESR Repetition: 0.000 sec
Resonance: C13, 75.0019370 MHz
Resonance: H1, 300.0070000 MHz
Pulse: 90
gfactor: 1.000
ppm: 0.00-240.000 ppm
WALTZ-16 simulated
DATA PROCESSING
LINE BROADENING 1.0 Hz
PPM: 0.00-240.000 ppm
Total time 05 minutes

```

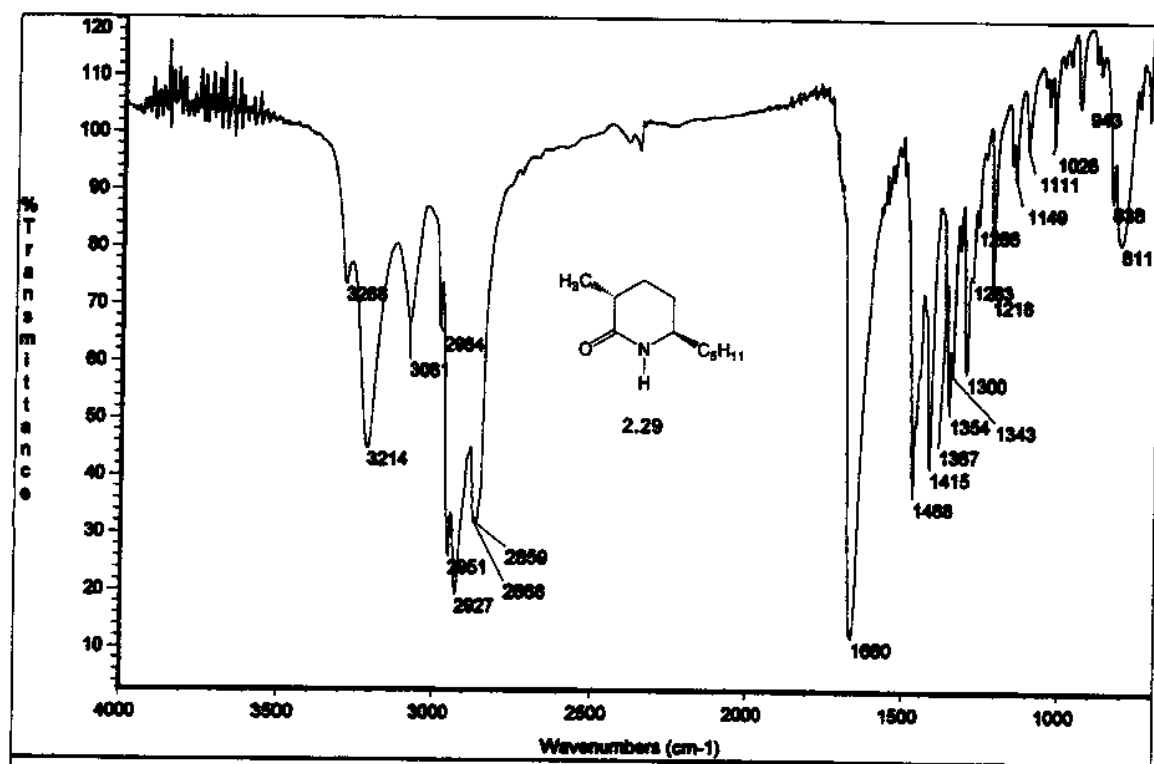


2.29

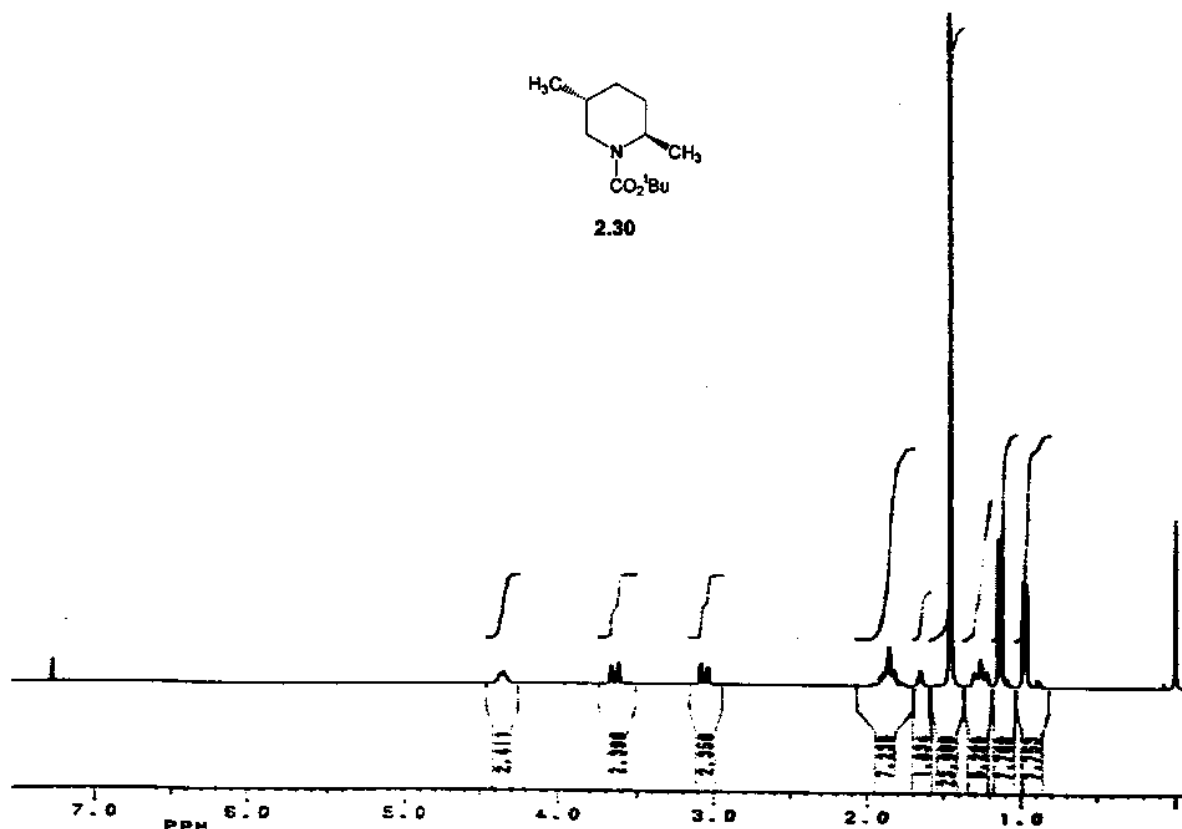


Anexos Capítulo 2
Anexo 2.29_IV: Filme em NaCl

xxvi



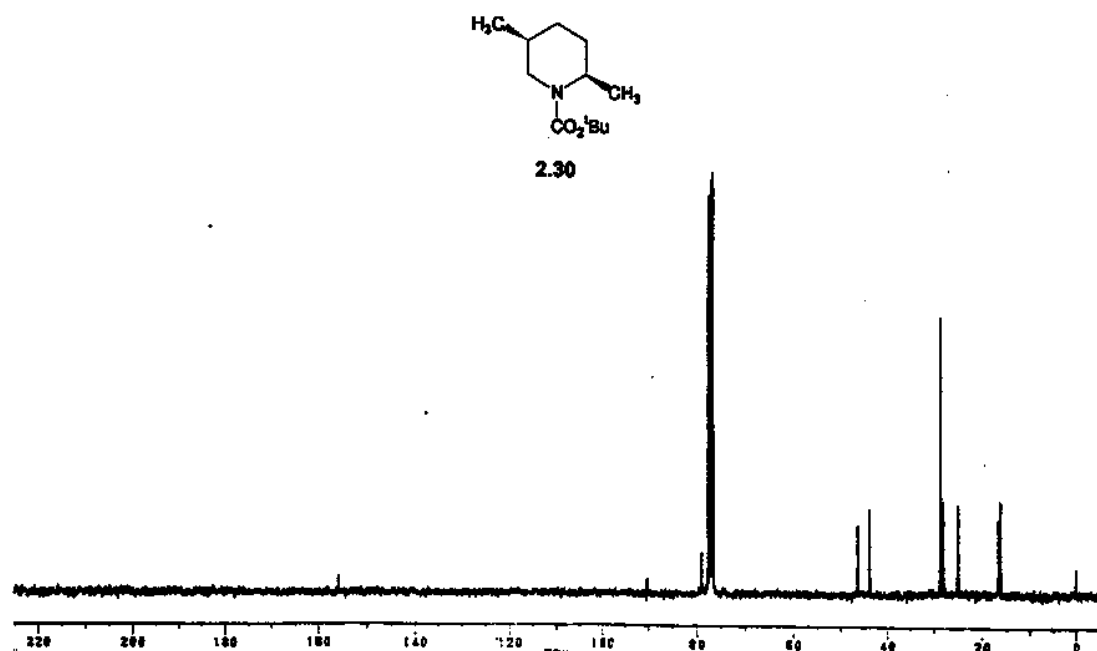
Anexo 2.30_H: ^1H -RMN (CDCl_3 , 300MHz, ta)



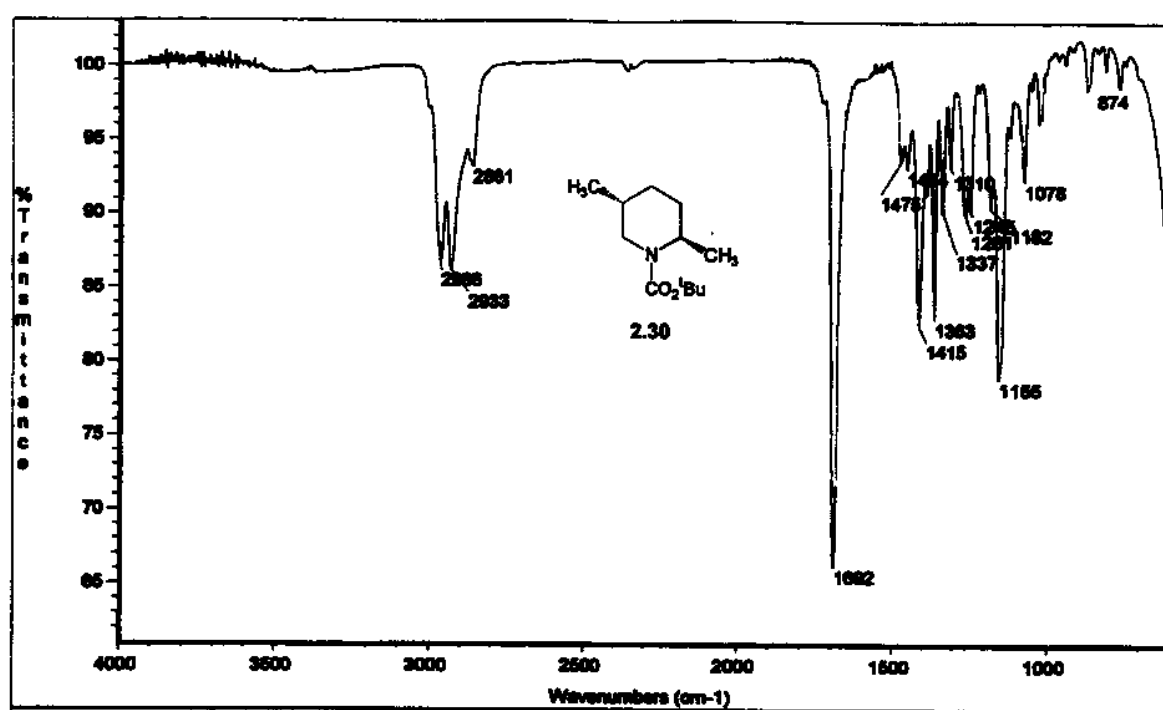
Anexos Capítulo 2
Anexo 2.30_C: ^{13}C -RMN (CDCl_3 , 75,4MHz, ta)

xxvii

ADRIANO PIPER.PHOT. 13C/CDCL3

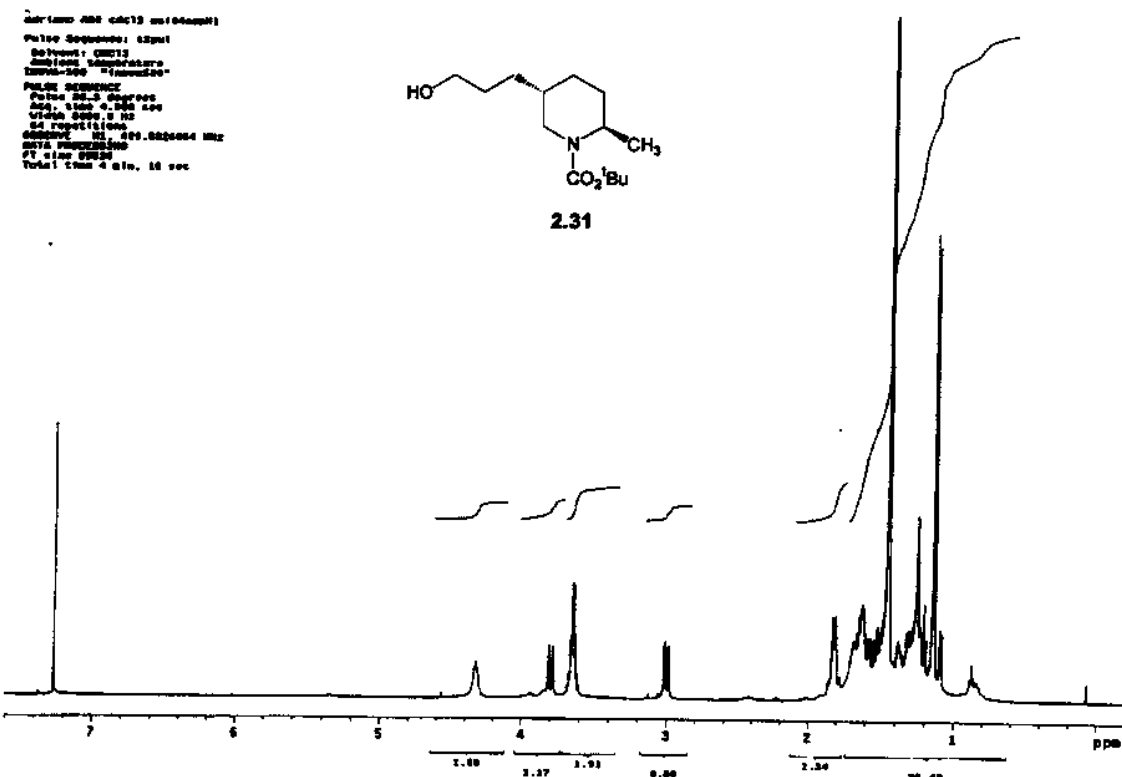


Anexo 2.30_IV: Filme em NaCl

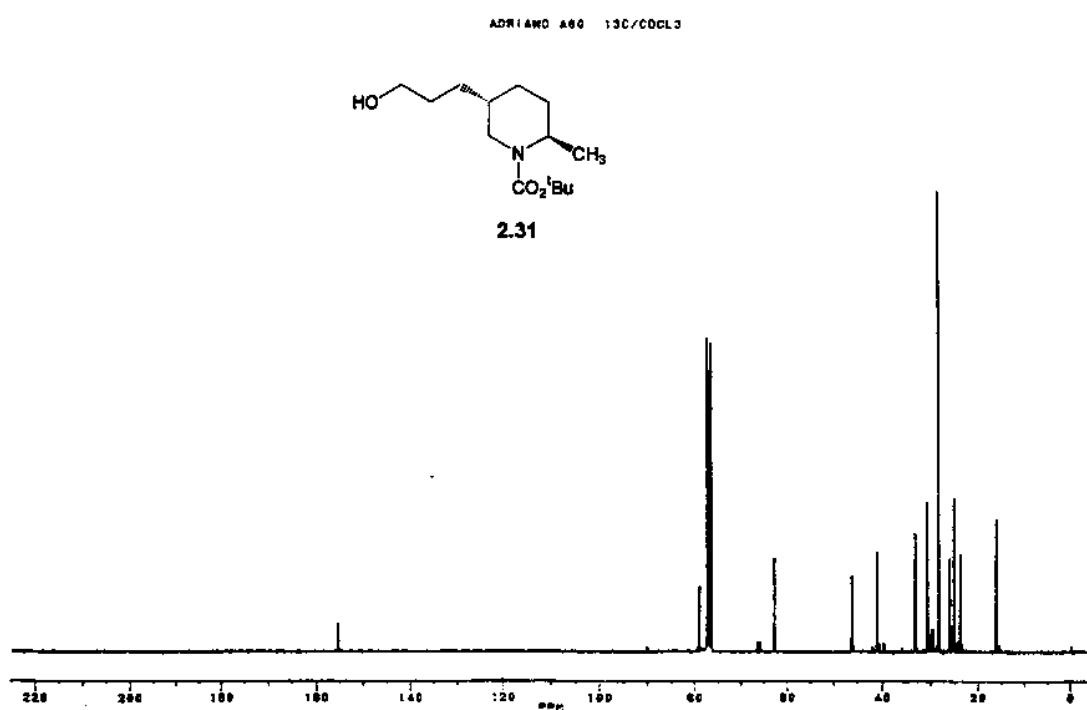


Anexos Capítulo 2
Anexo 2.31_H: ^1H -RMN (CDCl_3 , 500MHz, ta)

xxviii

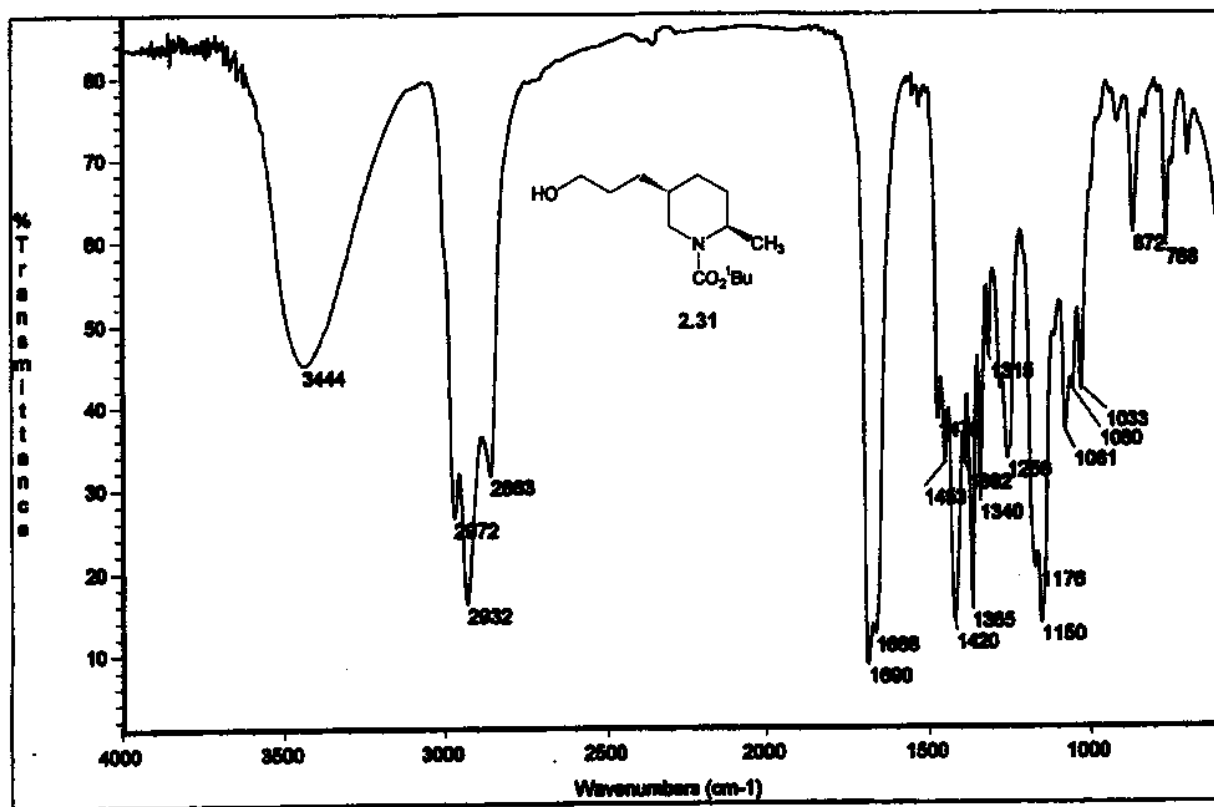


Anexo 2.31_C: ^{13}C -RMN (CDCl_3 , 75.4MHz, ta)

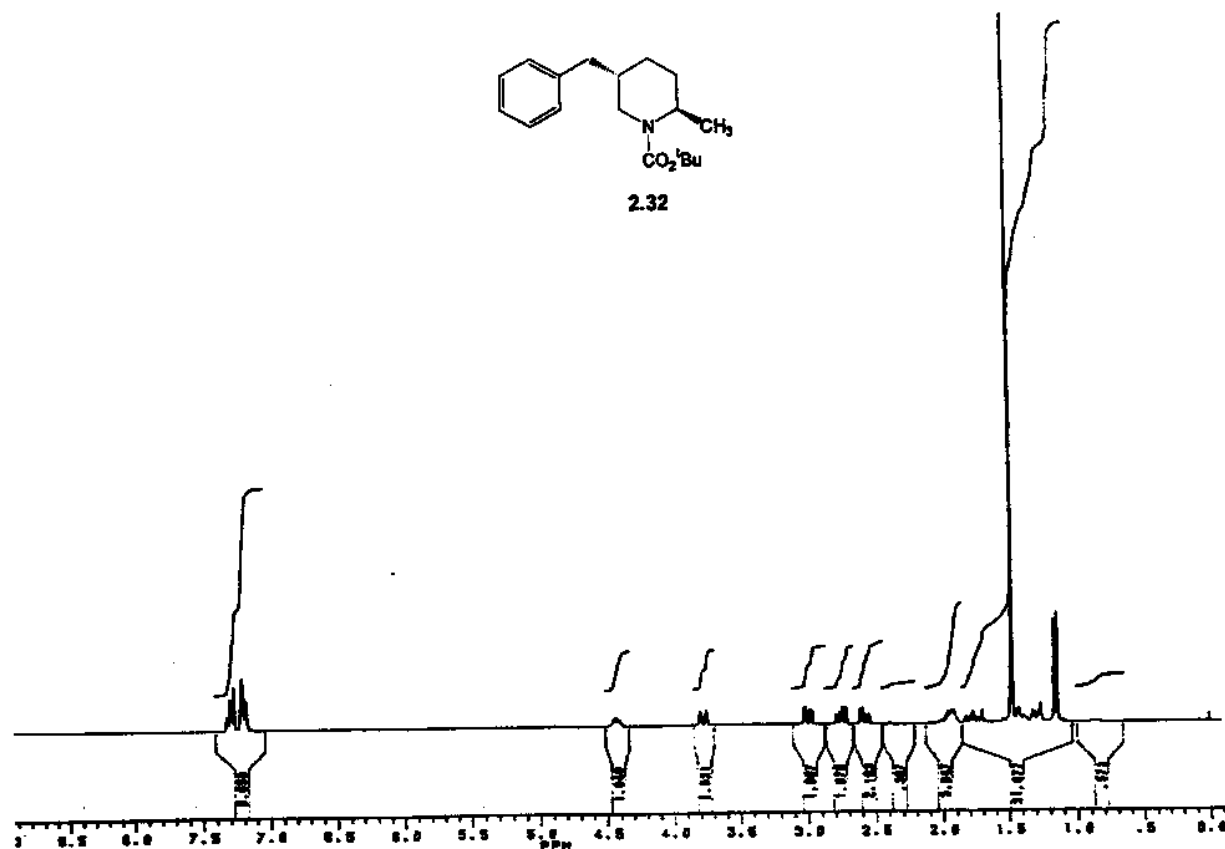


Anexos Capítulo 2
Anexo 2.31_ IV: Filme em NaCl

xxix



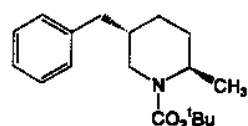
Anexo 2.32_H: ^1H -RMN (CDCl_3 , 300MHz, ta)



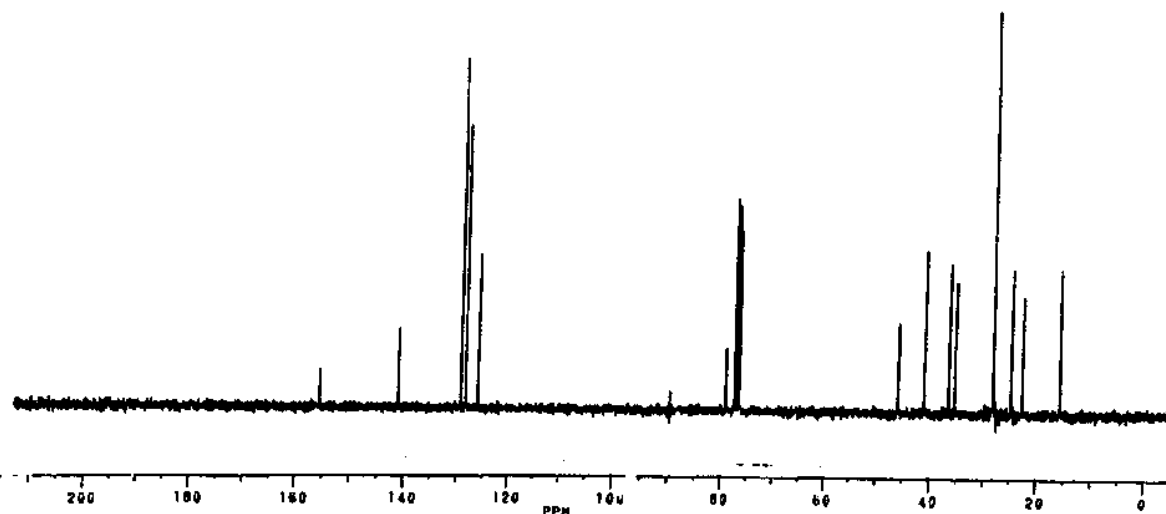
Anexos Capítulo 2

xxx

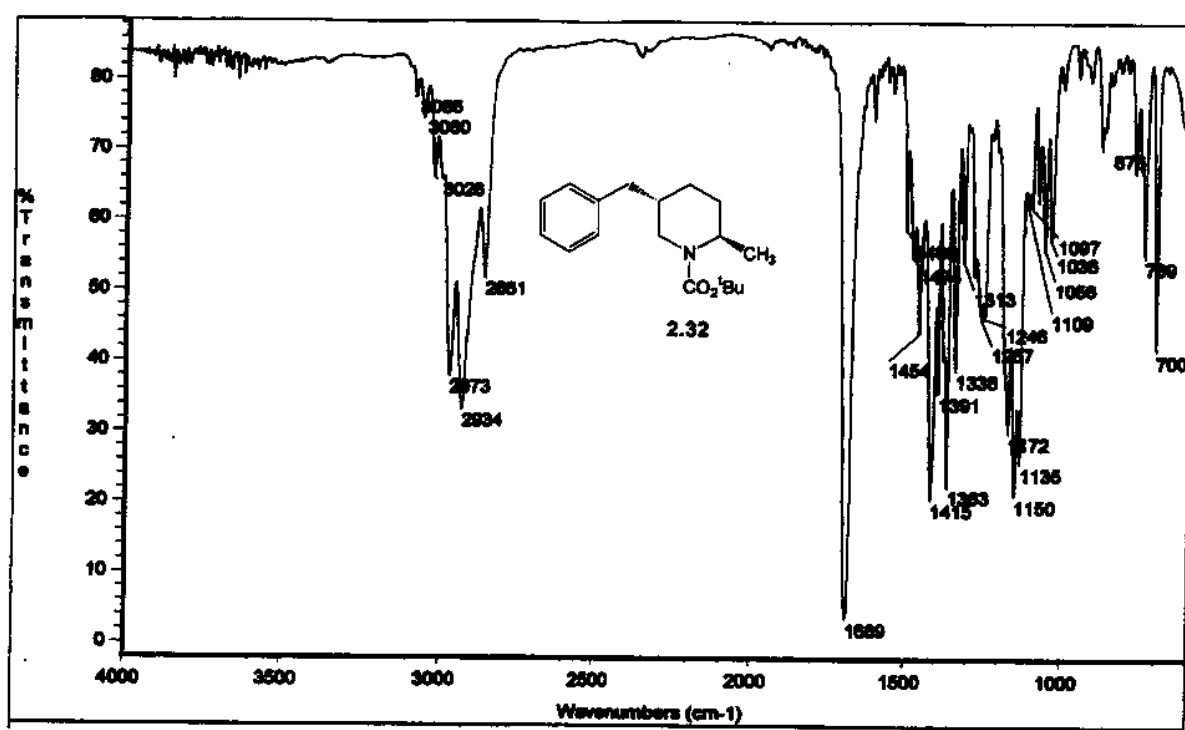
Anexo 2.32_C: ^{13}C -RMN (CDCl_3 , 75,4MHz, ta)



2.32



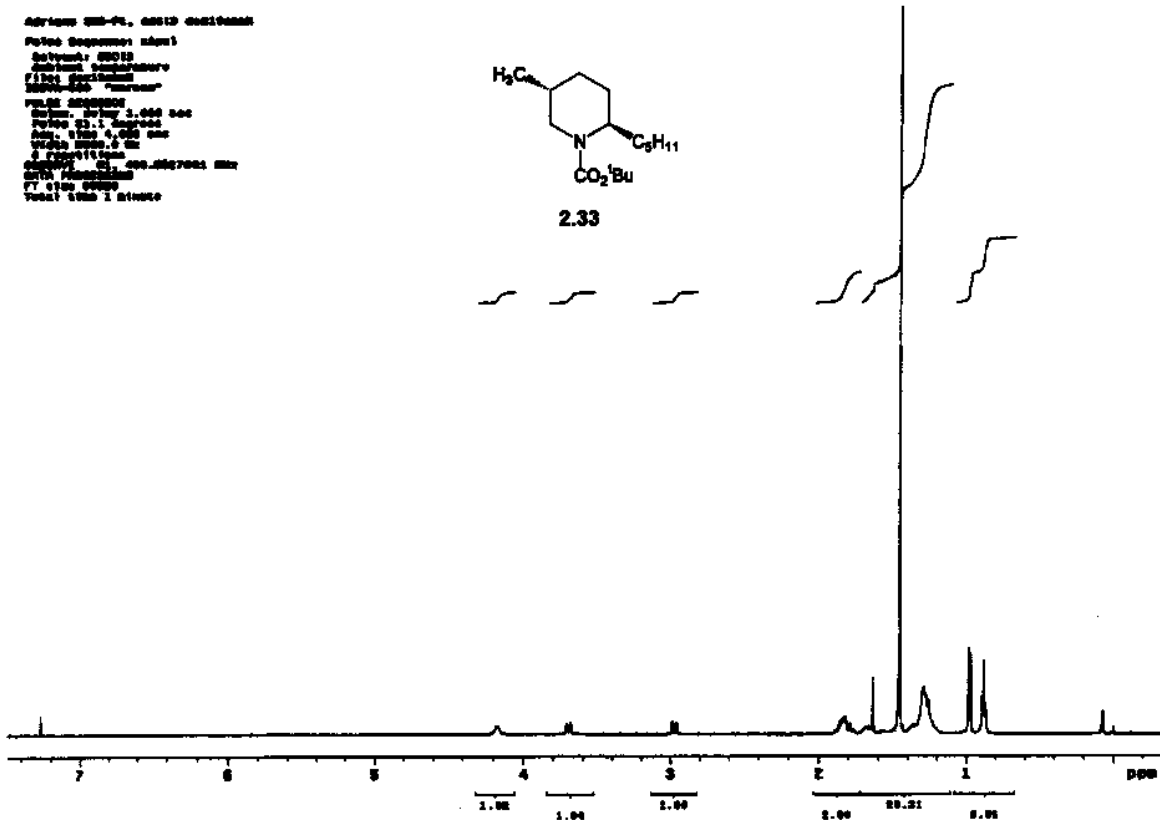
Anexo 2.32_IV: Filme em NaCl



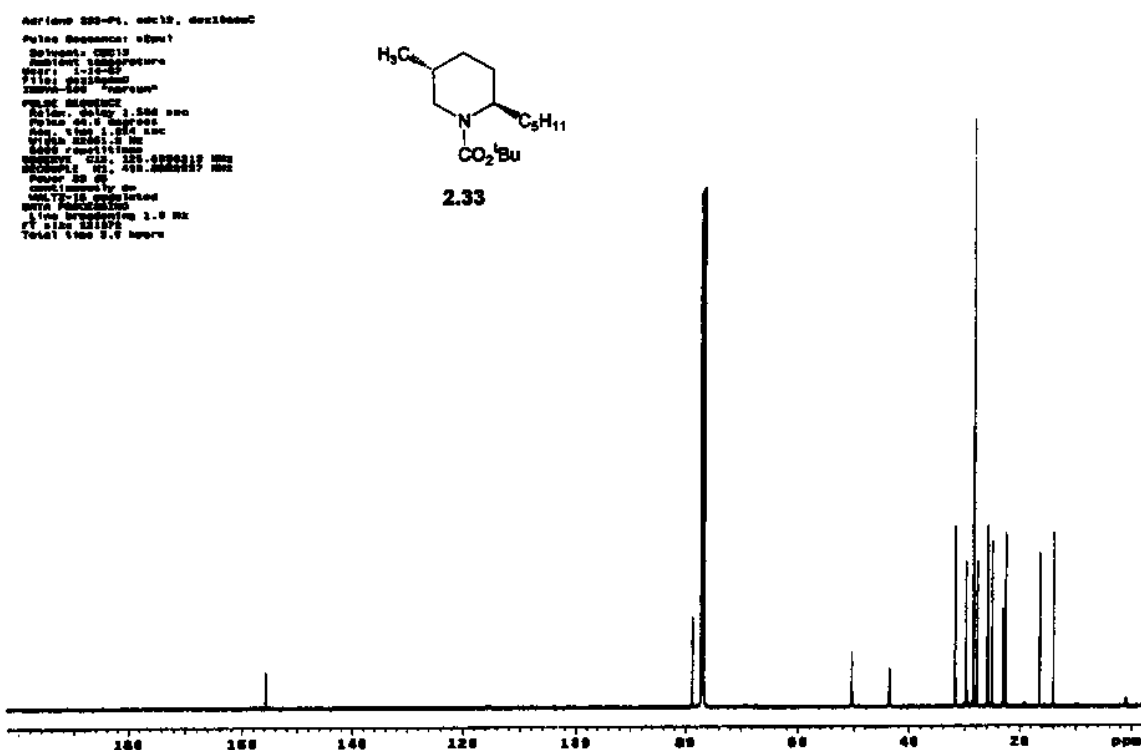
Anexos Capítulo 2

Anexo 2.33_H: ^1H -RMN (CDCl_3 , 500MHz, ta)

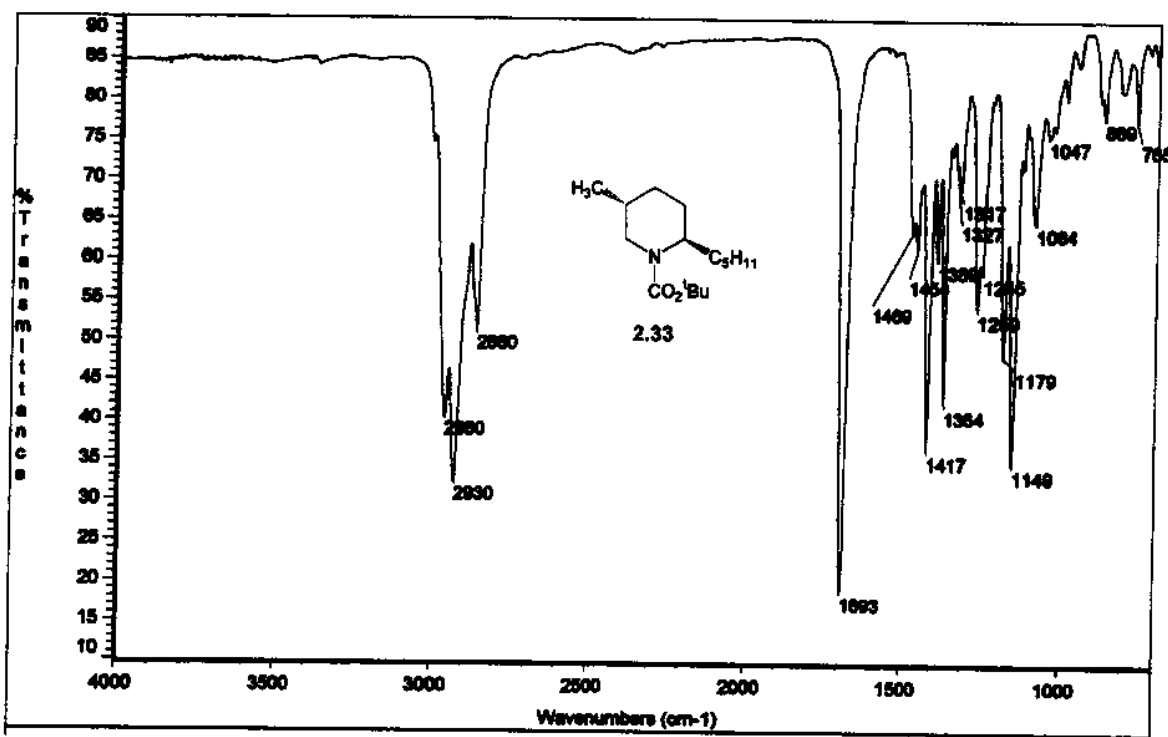
xxxii



Anexo 2.33 C: ^{13}C -RMN (CDCl_3 , 125,7MHz, ta)



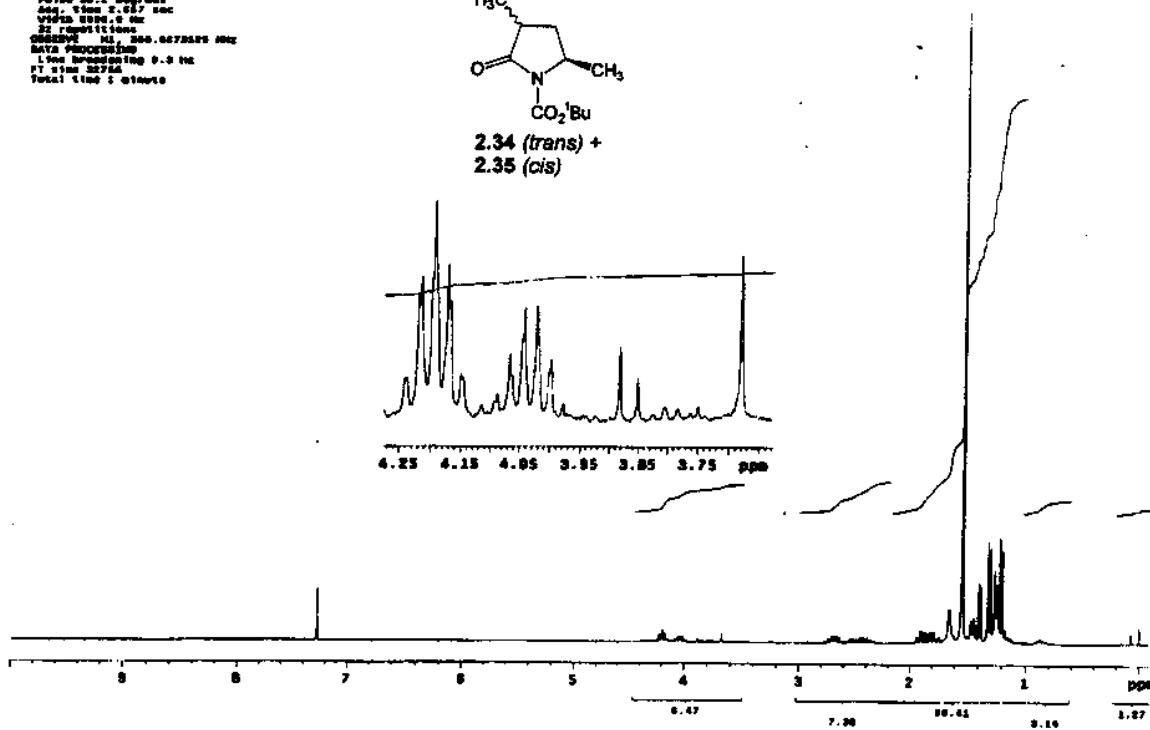
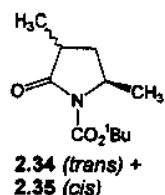
Anexo 2.33_IV: Filme em NaCl

Anexo 2.34+2.35_H: ^1H -RMN (CDCl₃, 300MHz, ta)

```

Ariane "652" edclx/bmz TMSAQUARIUS
Sweeping: CDCl3
Acq Time: 10.0000000000 sec
PulseTime:30.0000000000 "pulses"
PULSE SEQUENCE
Pulse 30.0° degrees
AcqTime 10.0000000000 sec
WATER SUPPRESS: 0.0 sec
32 repetitions
SWEEP: 400.0000000000 MHz
DATA PROCESSING
L1 FID Processing 0.0 ms
FT SINE: 32768
Total time 2 minutes

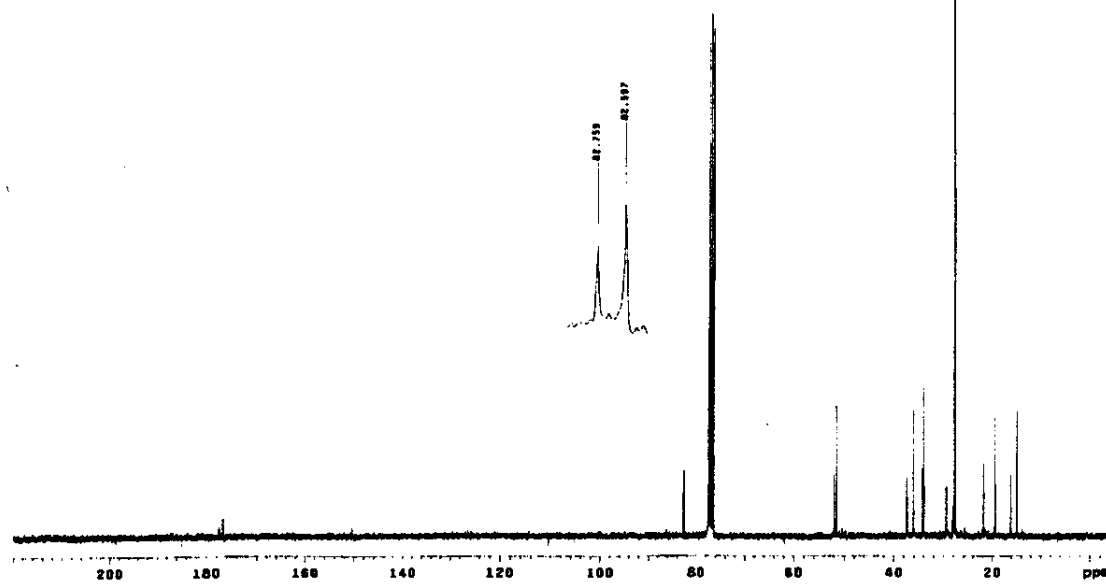
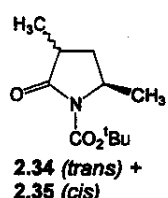
```



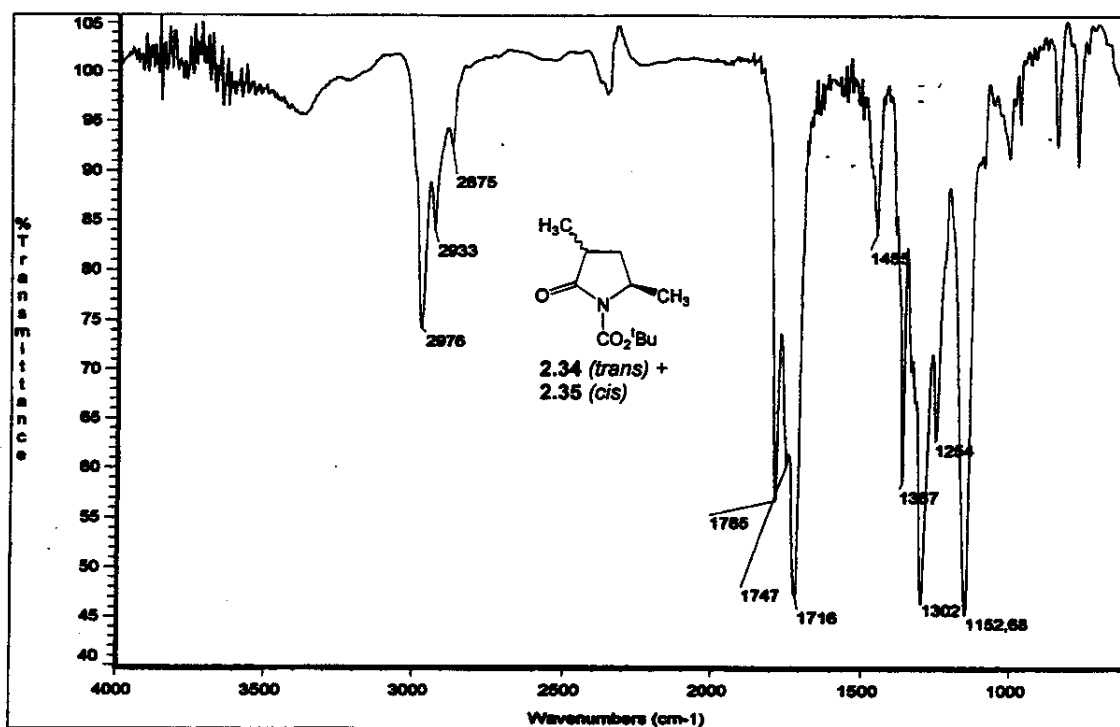
Anexos Capítulo 2
Anexo 2.34+2.35_C: ^{13}C -RMN (CDCl_3 , 75,4MHz, ta)

xxxiii

Aditivo "651" cdc13 Tevidance
 Solvente: CDCl_3
 Temperatura: 298.15 K
 QUESST-30000 "ganin"
 PULSE SEQUENCE
 Pulse 44.8 degrees
 Acc. time 1.00 sec
 W1 10.0 sec
 17832 repetitions
 OBSERVE: C13, 75.4519917 MHz
 SW1 10000.0 Hz, 300.0000000 MHz
 Power 37 dB
 continuously on
 GAIN12-16 uncalibrated
 DATA128K128K
 Line broadening 1.0 Hz
 FT size 65536
 Total time 8.0 hours



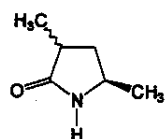
Anexo 2.34+2.35_IV: Filme em NaCl



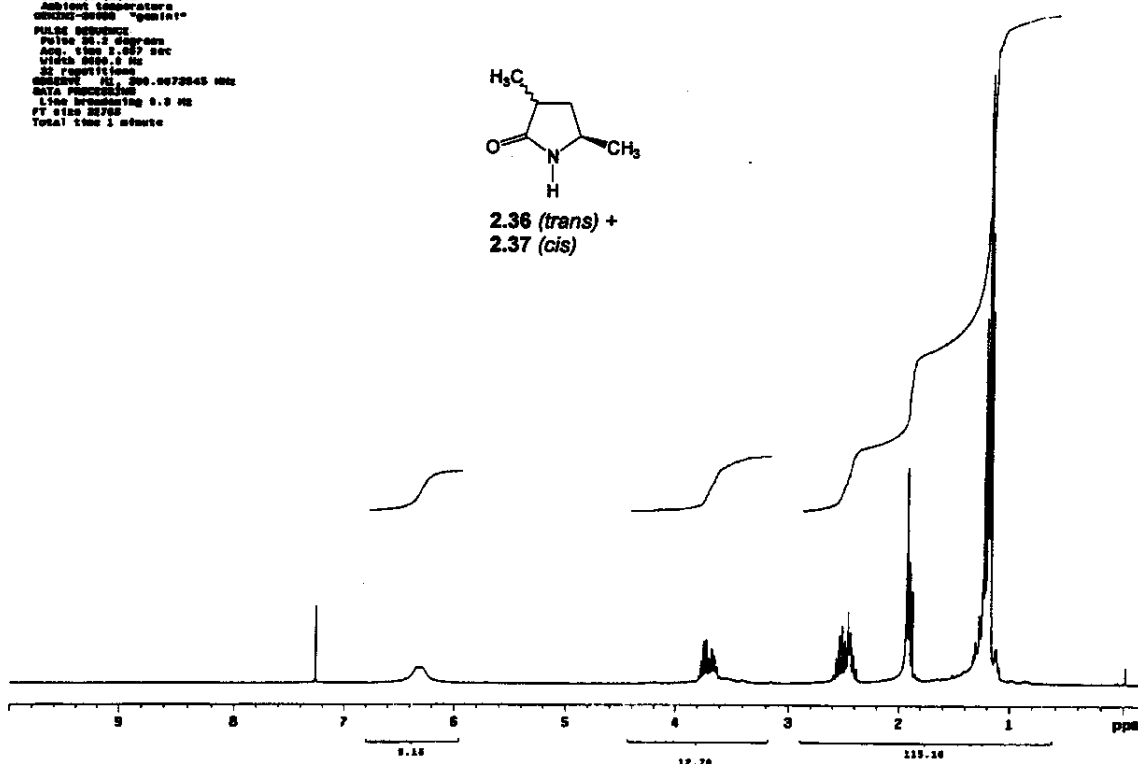
Anexos Capítulo 2
Anexo 2.36+2.37_H: ^1H -RMN (CDCl_3 , 300MHz, ta)

xxxiv

Adreno "036" calc12 mar12en011
 Solvente: CDCl_3
 Ambient temperature
 $\text{GENX22}-30000$ "gemini"
 PULSE SEQUENCE
 Pulse 90.2 degrees
 Pulse time 1.000 sec
 Acq. time 1.000 sec
 Total time 1 minute
 OBSERVE: Al , 300.0073045 MHz
 DPPM referencing
 Line broadening 0.3 Hz
 FT size 32768
 Total time 1 minute

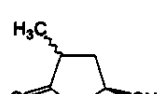


**2.36 (trans) +
 2.37 (cis)**

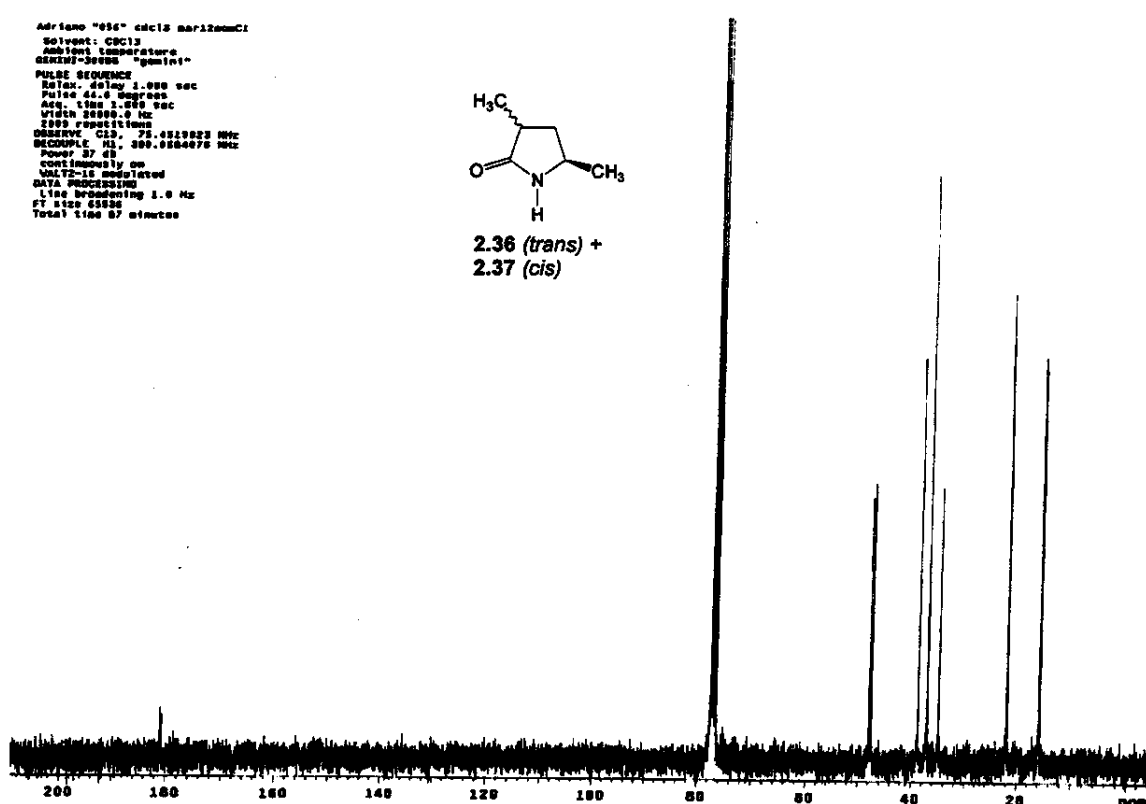


Anexo 2.36+2.37_C: ^{13}C -RMN (CDCl_3 , 75,4MHz, ta)

Adreno "036" calc12 mar12en011
 Solvent: CDCl_3
 Ambient temperature
 $\text{GENX22}-30000$ "gemini"
 PULSE SEQUENCE
 Pulse 90.0 degrees
 Pulse time 1.000 sec
 Acq. time 1.000 sec
 Total time 1 minute
 OBSERVE: C13 , 75.0519823 MHz
 DPPM, Al , 300.00730475 MHz
 continually on
 WALTZ-15 modulated
 GEMINI
 Line broadening 1.0 Hz
 FT size 65536
 Total time 0.7 minutes

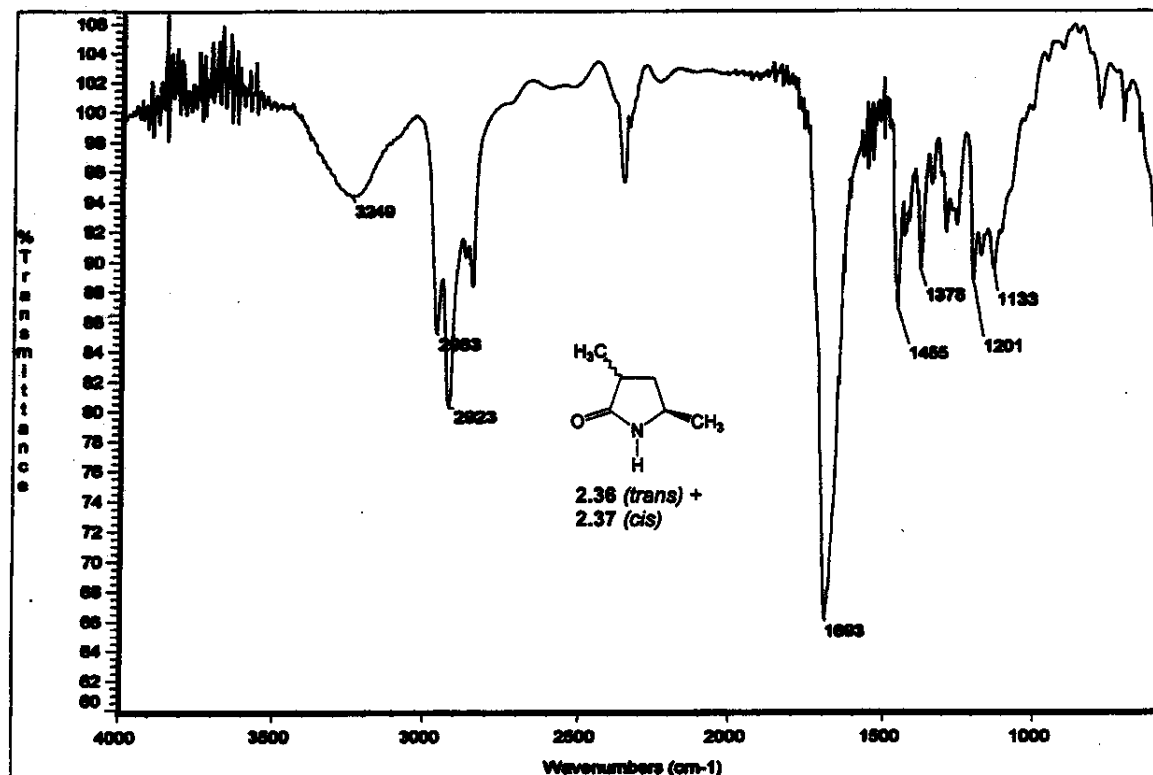


**2.36 (trans) +
 2.37 (cis)**



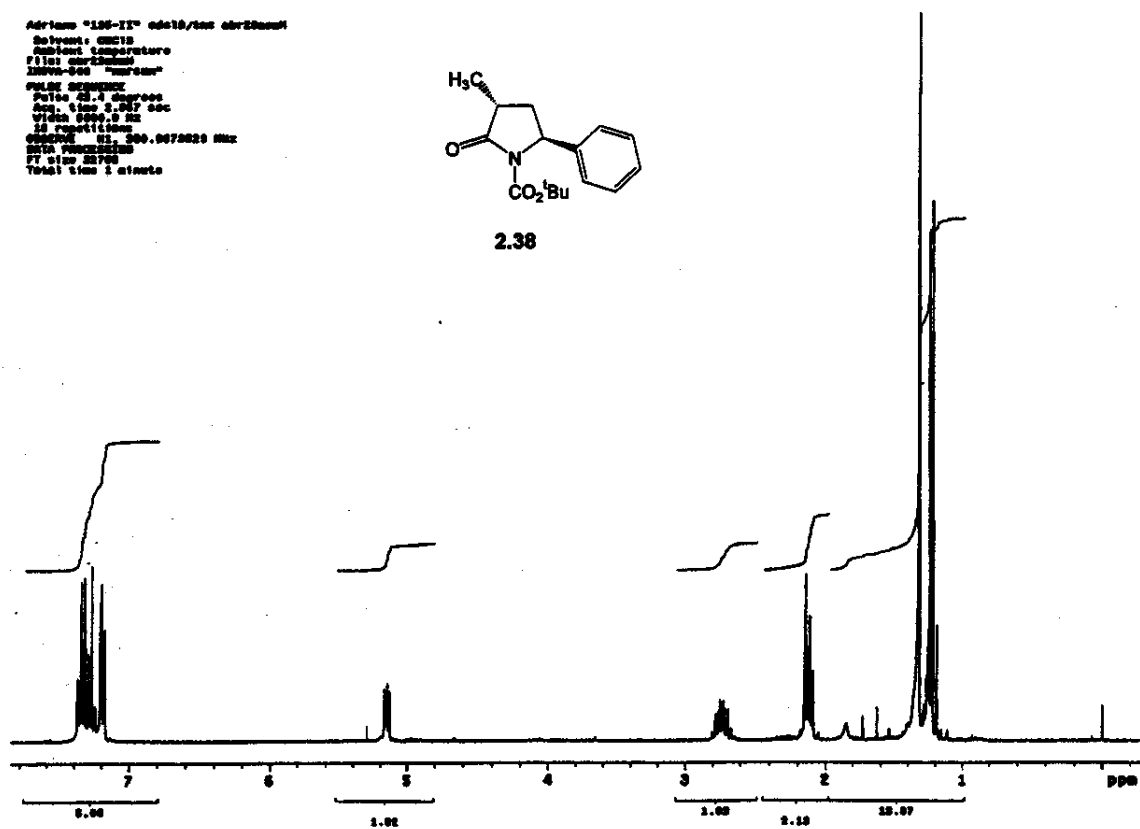
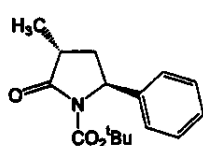
Anexos Capítulo 2
Anexo 2.36+2.37_IV: Filme em NaCl

xxxv



Anexo 2.38_H: ¹H-RMN (CDCl₃, 300MHz, ta)

Acetate "1H-11" edd10/tex cdv2000f
Solvent: CDCl₃
Polarimeter temperature:
21.000 °C "room"
21000-000
Pulse sequence:
Pulse 90.4 degrees
Delay time 3.001 sec
Width 1.00 sec
12 scans/line
Spectrum: 11, 300.0073029 MHz
DATA PROCESSING:
Filter: 20700 Hz
Total time 5 minutes



Anexos Capítulo 2

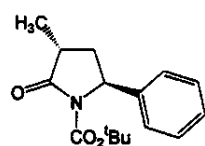
xxxvi

Anexo 2.38_C: ^{13}C -RMN (CDCl_3 , 75,4MHz, ta)

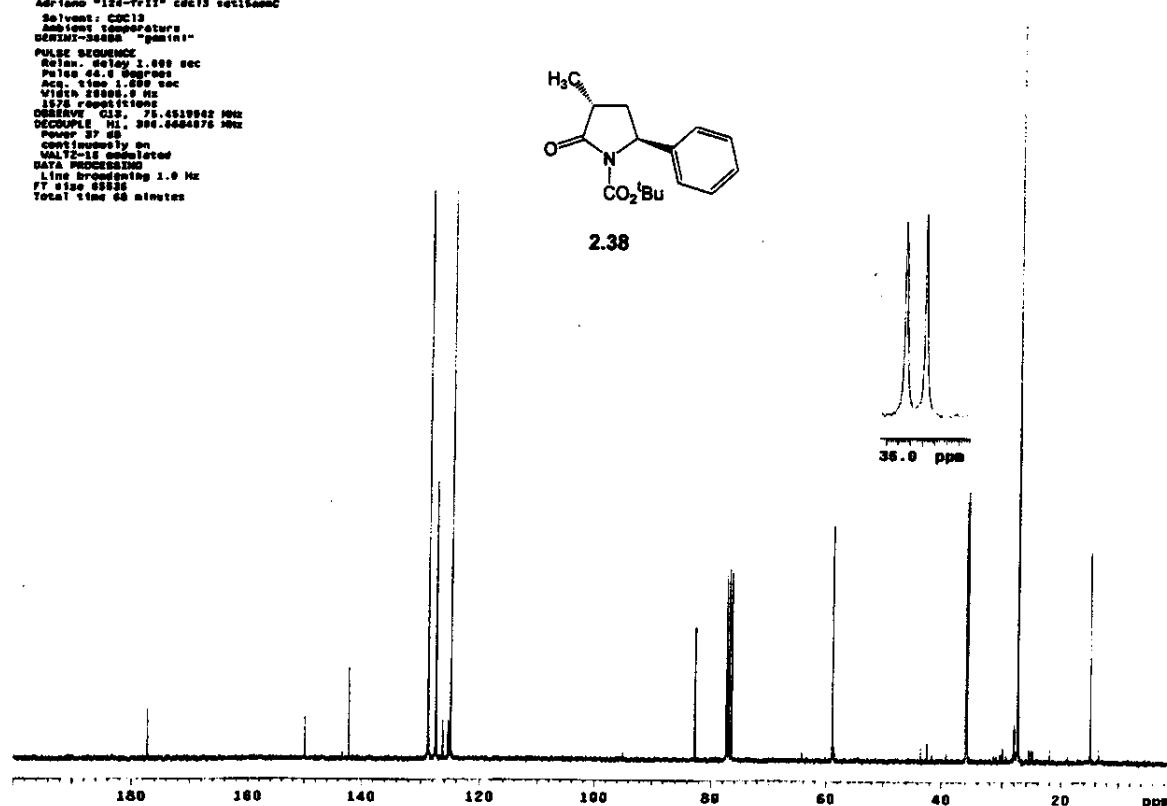
```

Adriano "124-FvII" cdcl3 set150mc
Solvent: CDCl3
Temperature: 298.15K
Decimx: 34488
PULSESSEQUENCE
Relax. delay 1.000 sec
Pulse 45.0 degrees
Accum. 1.000 sec
Width 20000.0 Hz
1576 repetitions
SWEEPING: CDCl3, 75.451992 MHz
DECIMATION: 380.004876 MHz
Power 37 dB
continuously on
Water peak gated
DATA PROCESSING
Line broadening 1.0 Hz
FT size 65536
Total time 60 minutes

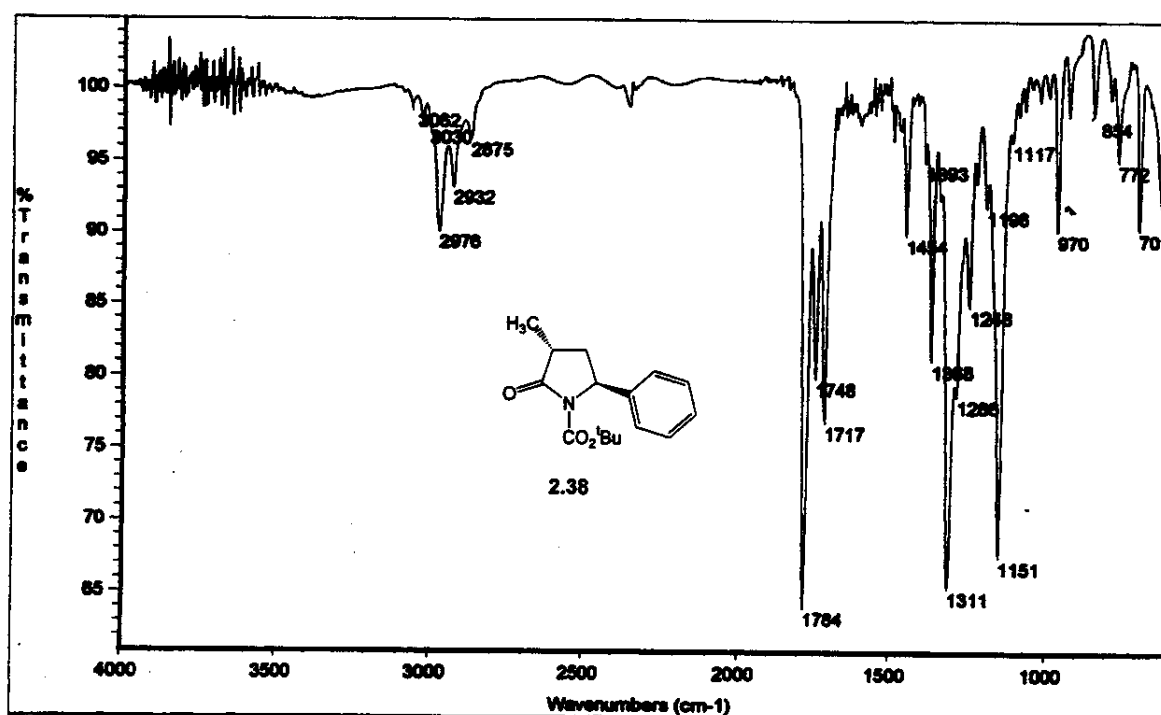
```



2.38



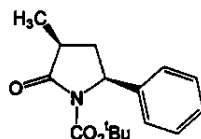
Anexo 2.38_IV: Filme em NaCl



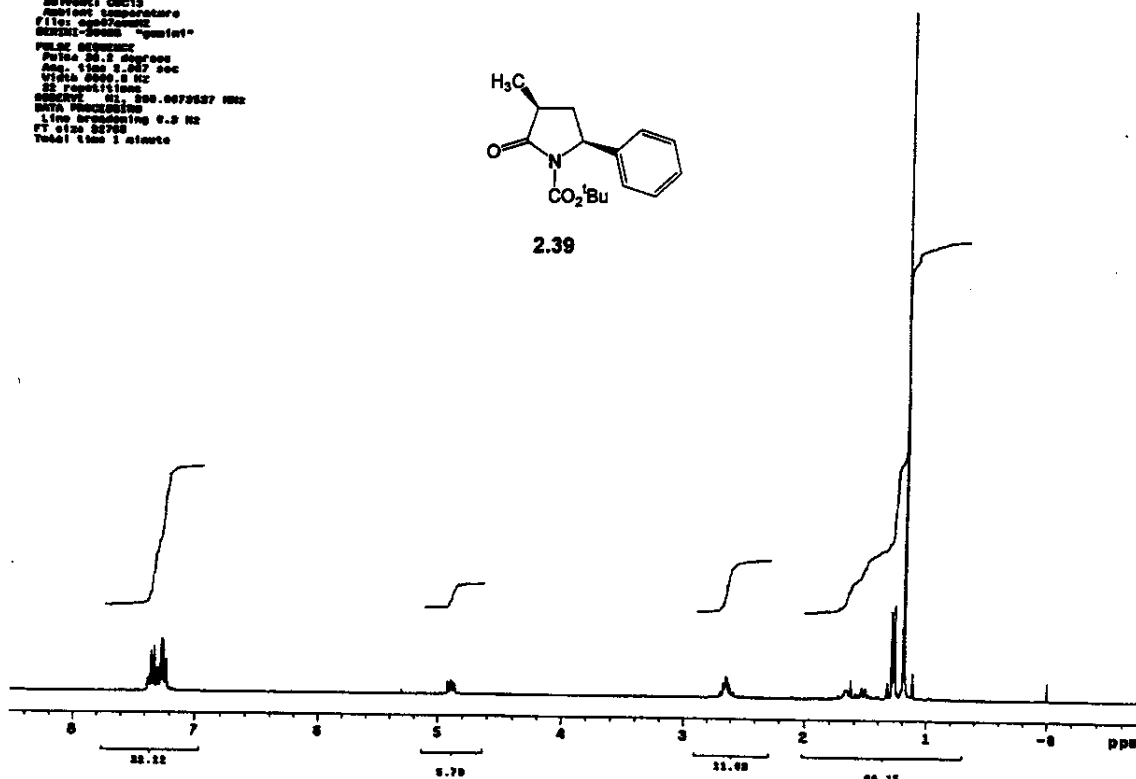
Anexos Capítulo 2
Anexo 2.39_H: ^1H -RMN (CDCl_3 , 300MHz, ta)

xxxvii

Adriano "122-Tr.II" cdcl3/tms agc07nmr2
 Solvent: CDCl₃
 Reference: TMS
 Filter: apodize=none
 DENSIT-METHOD: "gaussian"
 PULSE SEQUENCE:
 Pulse: 90.0 degrees
 Acc. time: 1.000 sec
 Scan: 0000.0 Hz
 22 repetitions
 DENSIT-METHOD: "gaussian", 0.0735327 Hz
 DATA PROCESSING:
 Line broadening 1.0 Hz
 FT size: 82768
 Total time: 1 minute

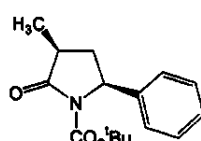


2.39

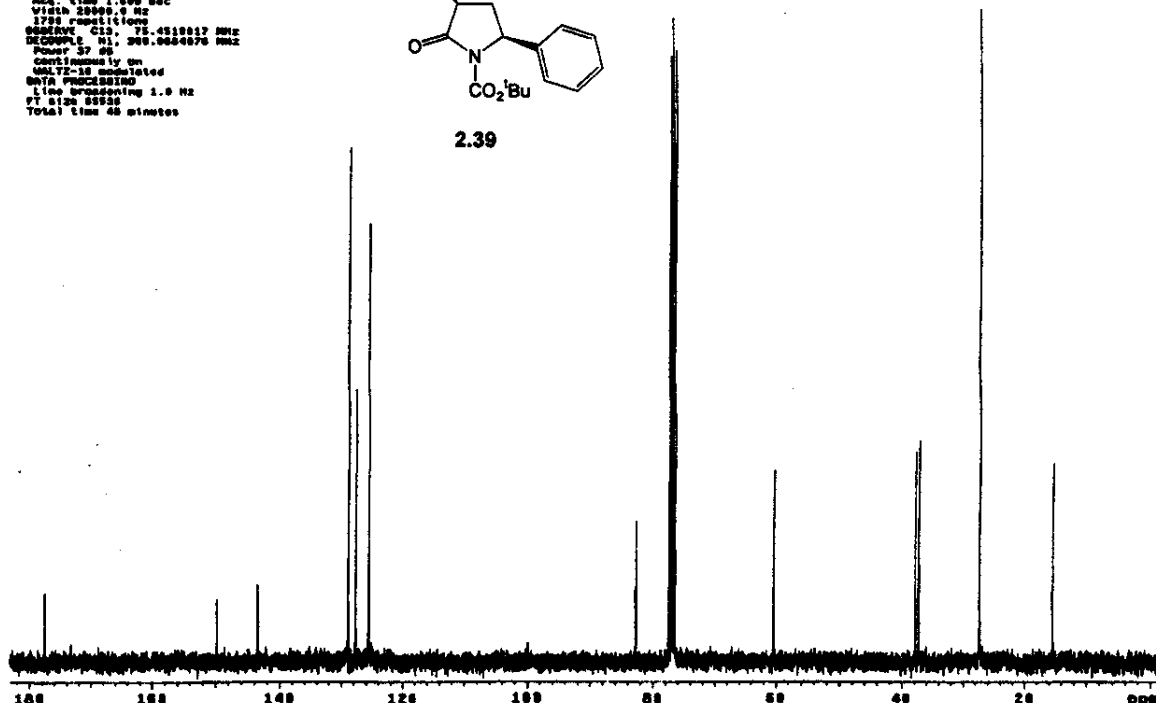


Anexo 2.39_C: ^{13}C -RMN (CDCl_3 , 75,4MHz, ta)

Adriano "122-Tr.II" cdcl3/tms agc07nmr2
 Solvent: CDCl₃
 Reference: TMS
 Filter: apodize=none
 DENSIT-METHOD: "gaussian"
 PULSE SEQUENCE:
 Pulse: 90.0 degrees
 Acc. time: 1.000 sec
 Scan: 0000.0 Hz
 17500 repetitions
 DENSIT-METHOD: "gaussian", 0.0735327 Hz
 Power: 57.00
 Continuously on
 QSL72-10 magnetized
 SWP: 10000 Hz
 Line broadening 1.0 Hz
 FT size: 82768
 Total time: 48 minutes

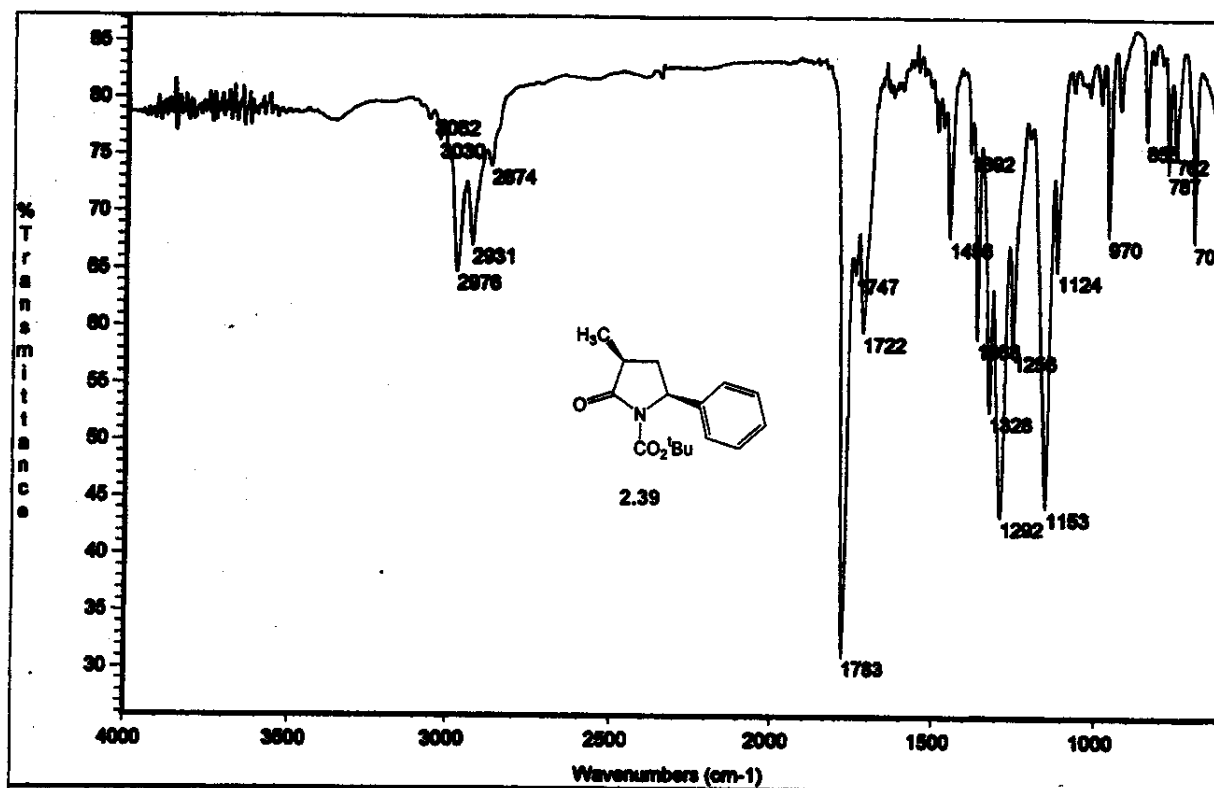


2.39



Anexos Capítulo 2
Anexo 2.39_IV: Filme em NaCl

xxxviii

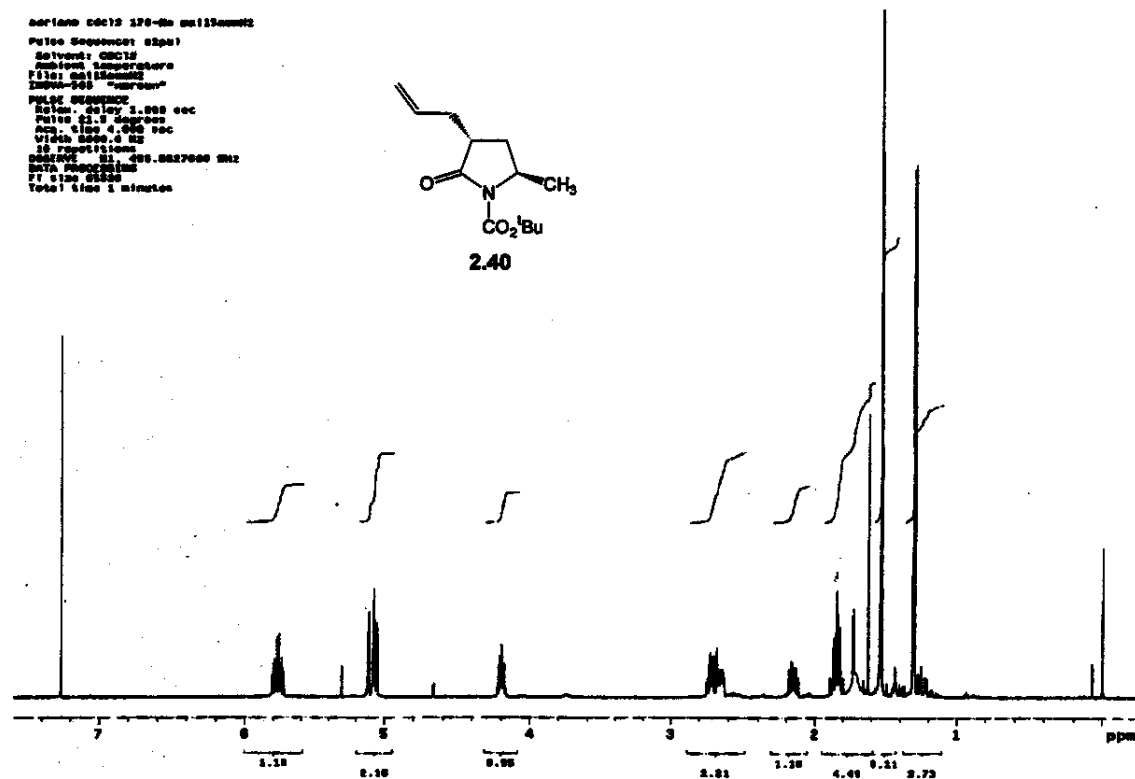


Anexo 2.40_H: ^1H -RMN (CDCl_3 , 500MHz, ta)

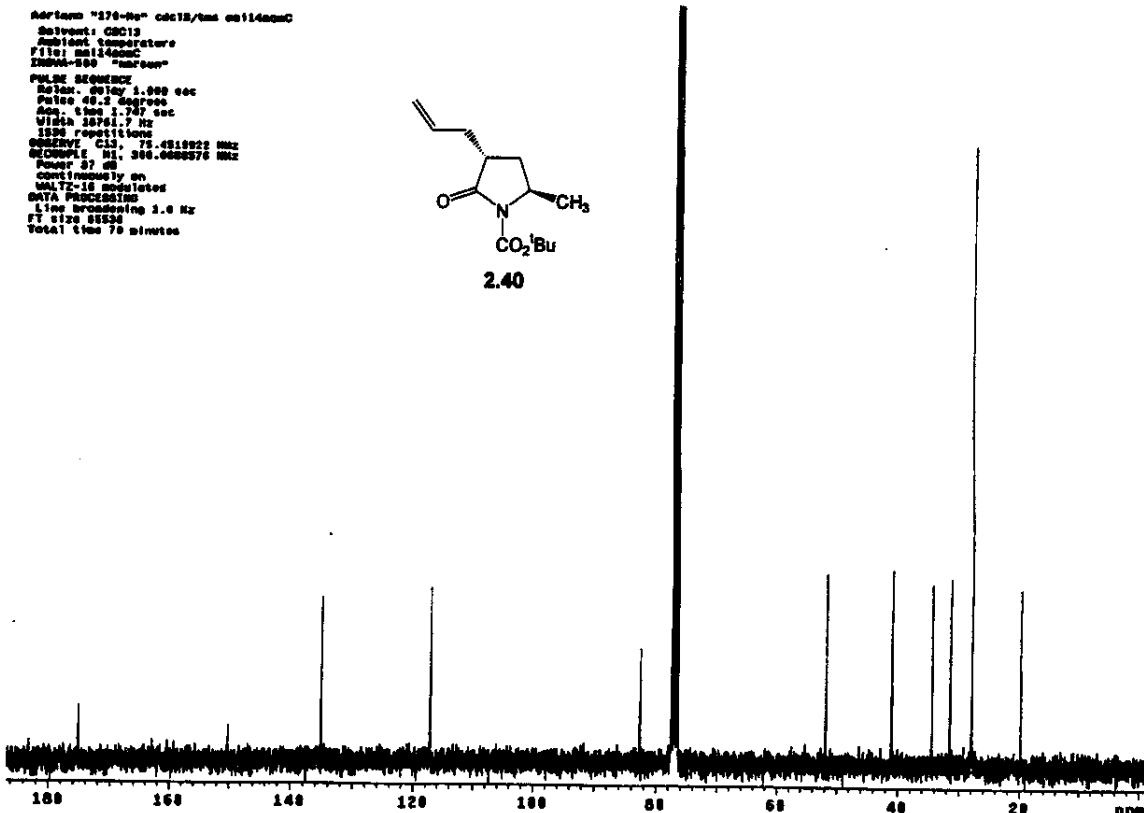
```

Mestram 370-00 rev1350002
Pulse Sequence: zgppr1
Solvent: CDCl3
Acquisition Temperature:
Pulse: 90.0°
SW0: 10000.0 Hz
Sweep Range: 10000.000-10027000 Hz
Pulse Sequence:
Pulse: 90.0°
Pulse: 1.000 sec
Pulse: 1.000 sec
Pulse: 1.000 sec
VR32k: 1024 FID
10 repetitions
Spectrum width: 1000.0027000 MHz
Data processing:
FT size: 65536
Total time: 1 minute

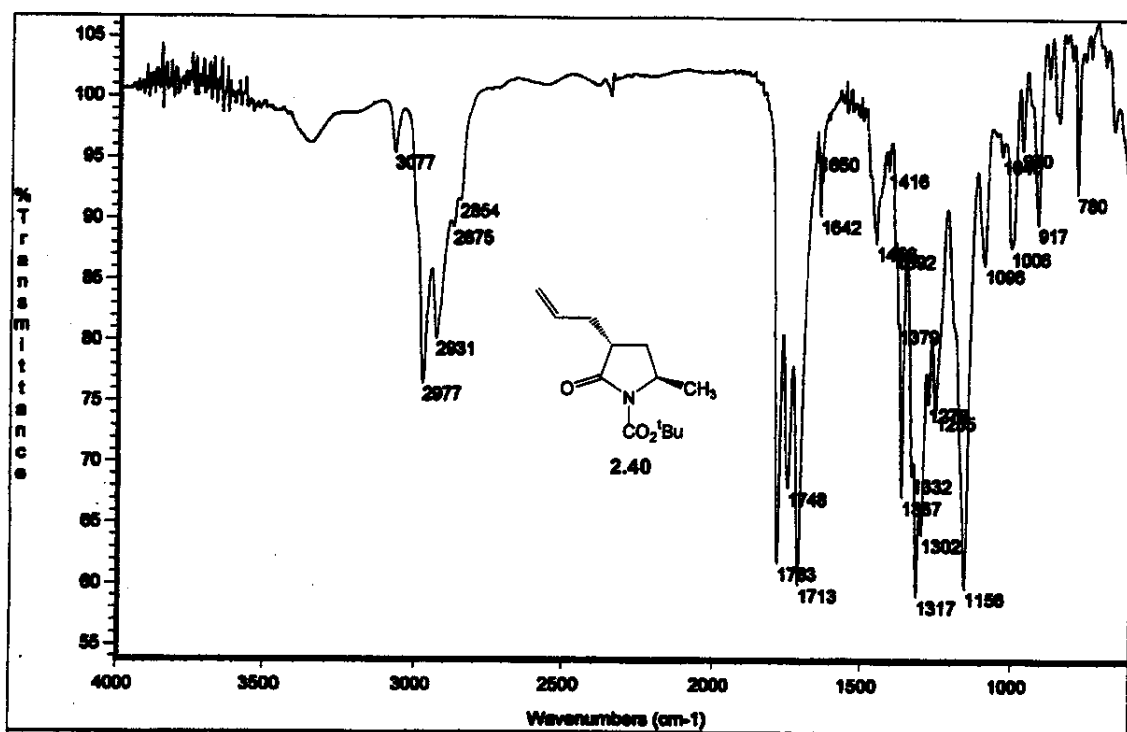
```



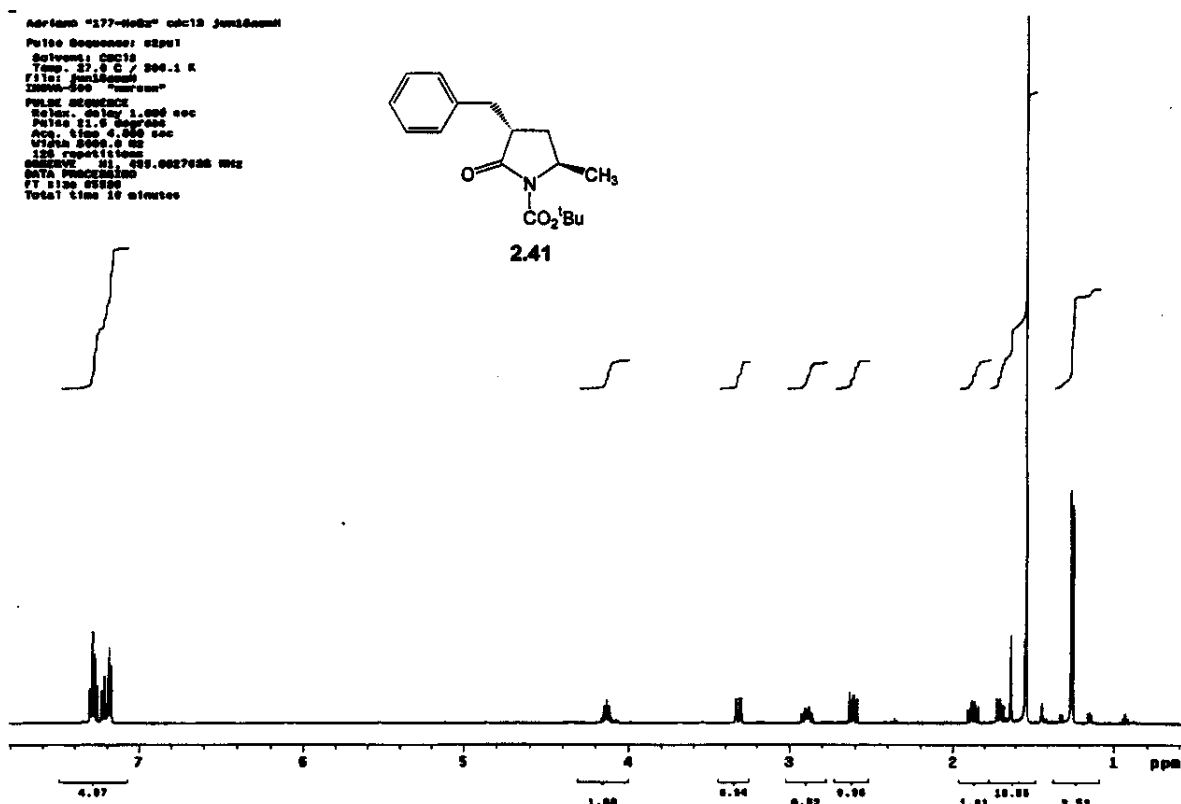
Anexos Capítulo 2
Anexo 2.40_C: ^{13}C -RMN (CDCl_3 , 75,4MHz, ta)



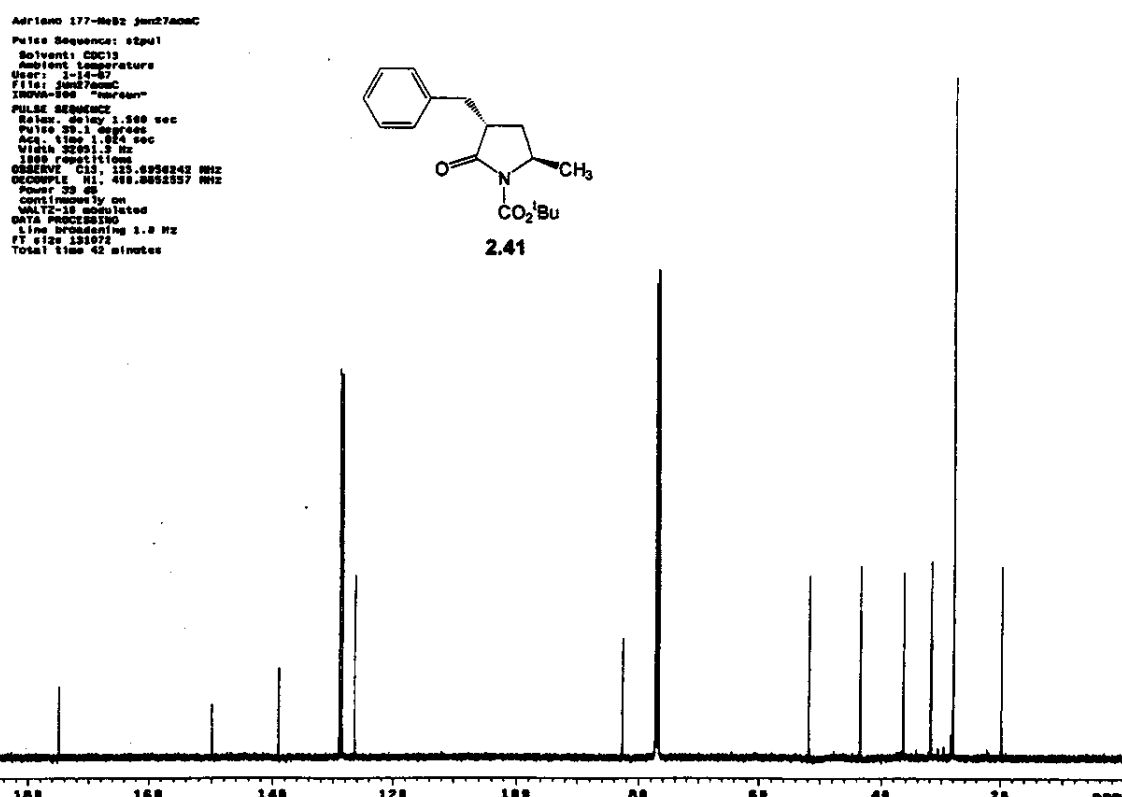
Anexo 2.40_IV: Filme em NaCl



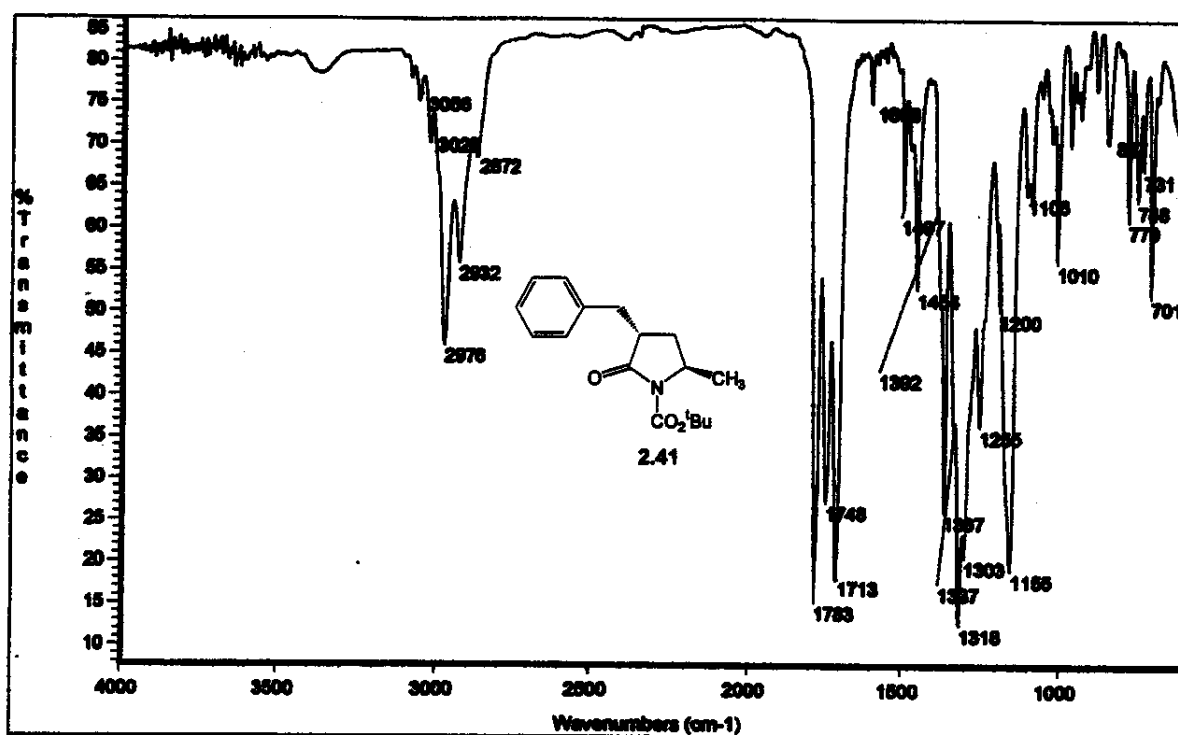
Anexos Capítulo 2
Anexo 2.41_H: ^1H -RMN (CDCl_3 , 500MHz, ta)



Anexo 2.41_C: ^{13}C -RMN (CDCl_3 , 125,7MHz, ta)



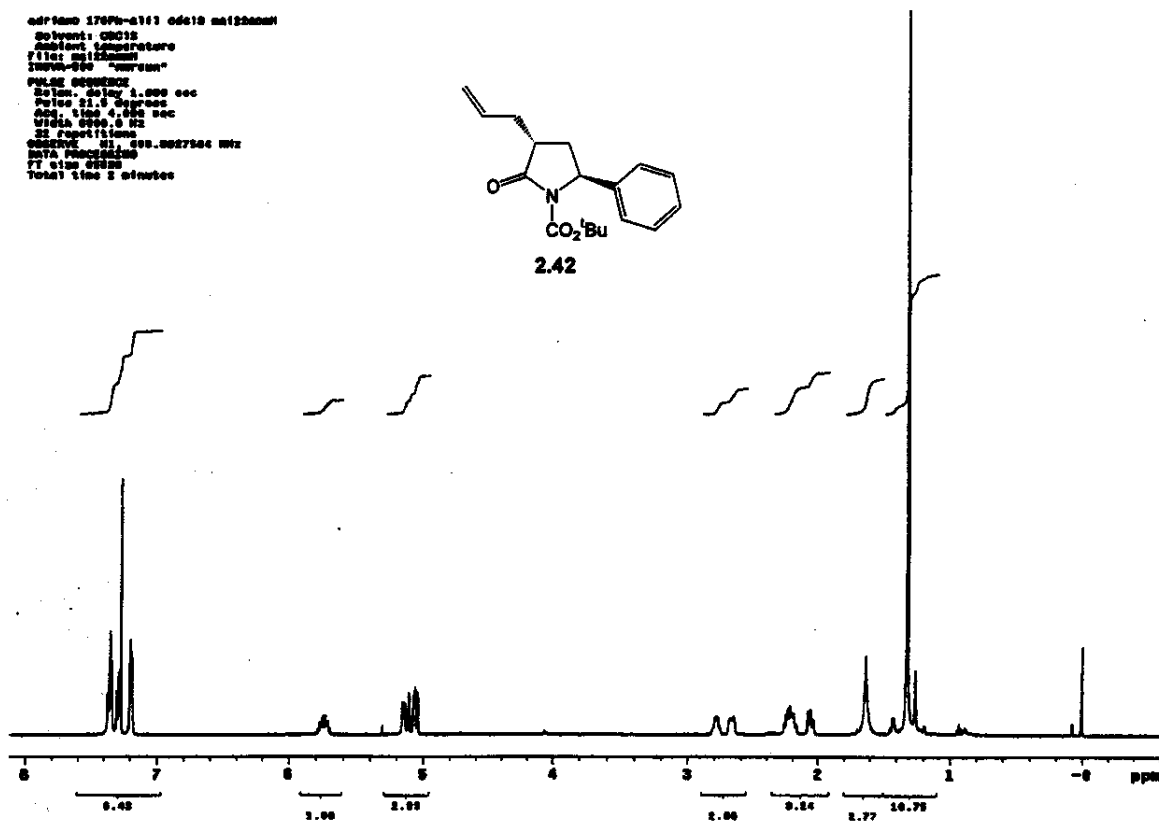
Anexo 2.41_IV: Filme em NaCl

Anexo 2.42_H: ^1H -RMN (CDCl_3 , 300MHz, ta)

```

adriano 170pm-a111 adel10 maiteam01
Solvent: CDCl3
Ambient Temperature
Filter width: "100.000"
Integration: "Integration"
Pulse sequence:
Solen. delay: 1.000 sec
Pulse: 90.0 degrees
Time: 1.000 sec
Width: 1.000 Hz
32 repetitions
Observe: H1, 300.0027364 MHz
Broadening: 0.00 sec
77.00000000000000
Total time: 2 minutes

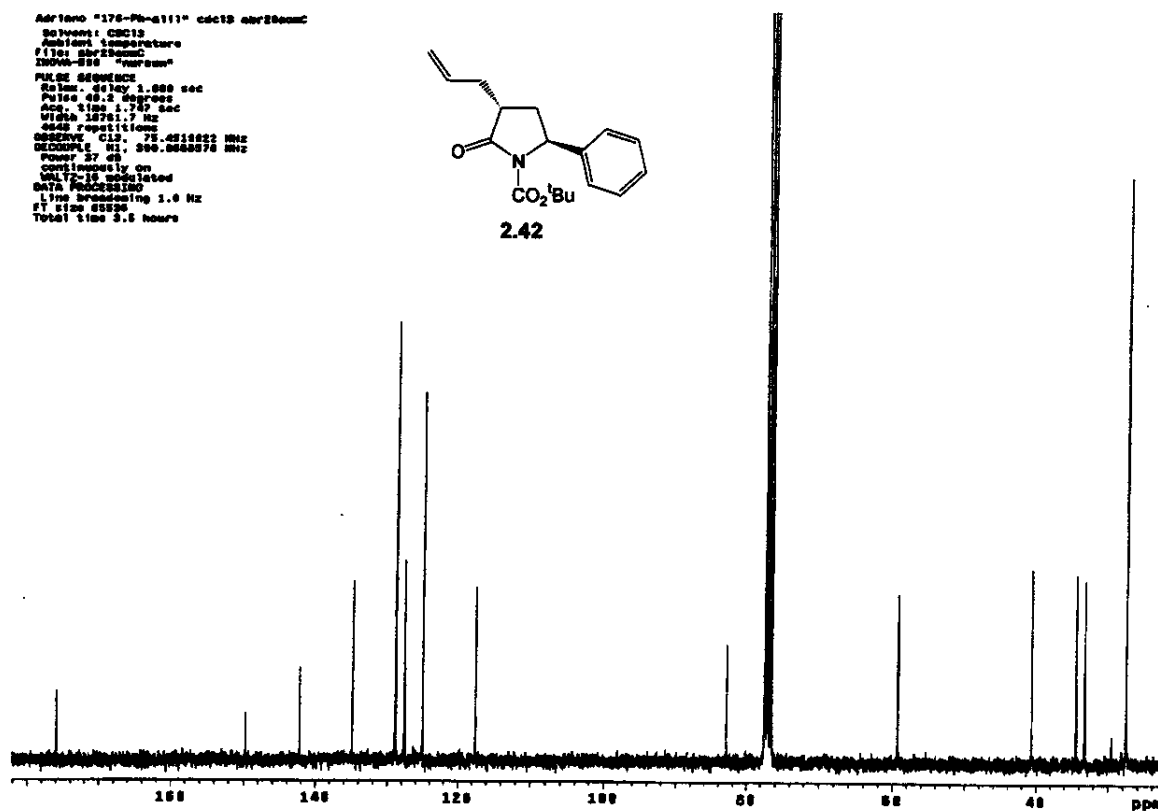
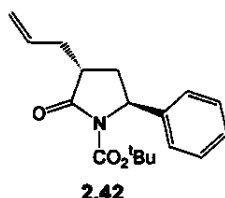
```



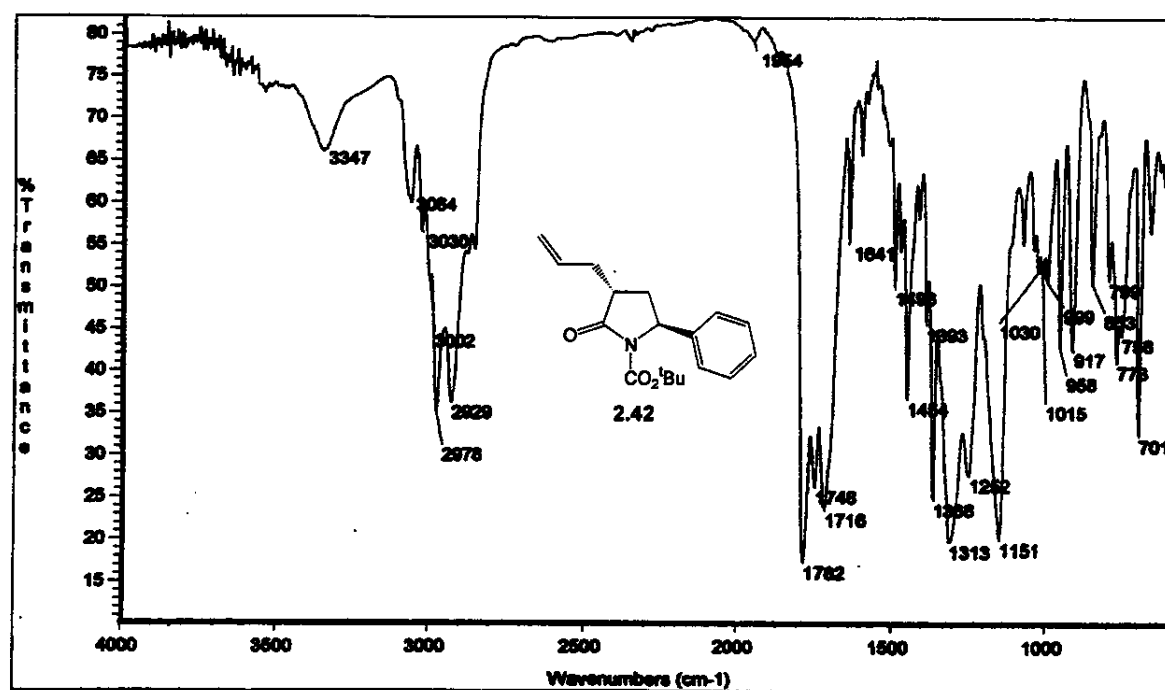
Anexos Capítulo 2
Anexo 2.42_C: ^{13}C -RMN (CDCl_3 , 75,4MHz, ta)

xlii

Adriano "176-Pb-a111" cdcl3 em 250nmic
 Solvente: CDCl_3
 Ambient temperature
 File name: 176-Pb-a111
 INOVA-500 "narrow"
 PULSE SEQUENCE:
 Relax. delay 1.000 sec
 Pulse 90.2 degrees
 Accq. time 0.01 sec
 Width 10781.7 Hz
 4000 repetitions
 Decoupling: 140.61662 MHz
 Decouple 61. 260.066676 MHz
 Power 27 dB
 Continuously on
 GALTZUS selected
 DATA PROCESSING:
 F1 sine broadening 1.0 Hz
 F2 sine broadening 0.02 Hz
 Total time 3.5 hours

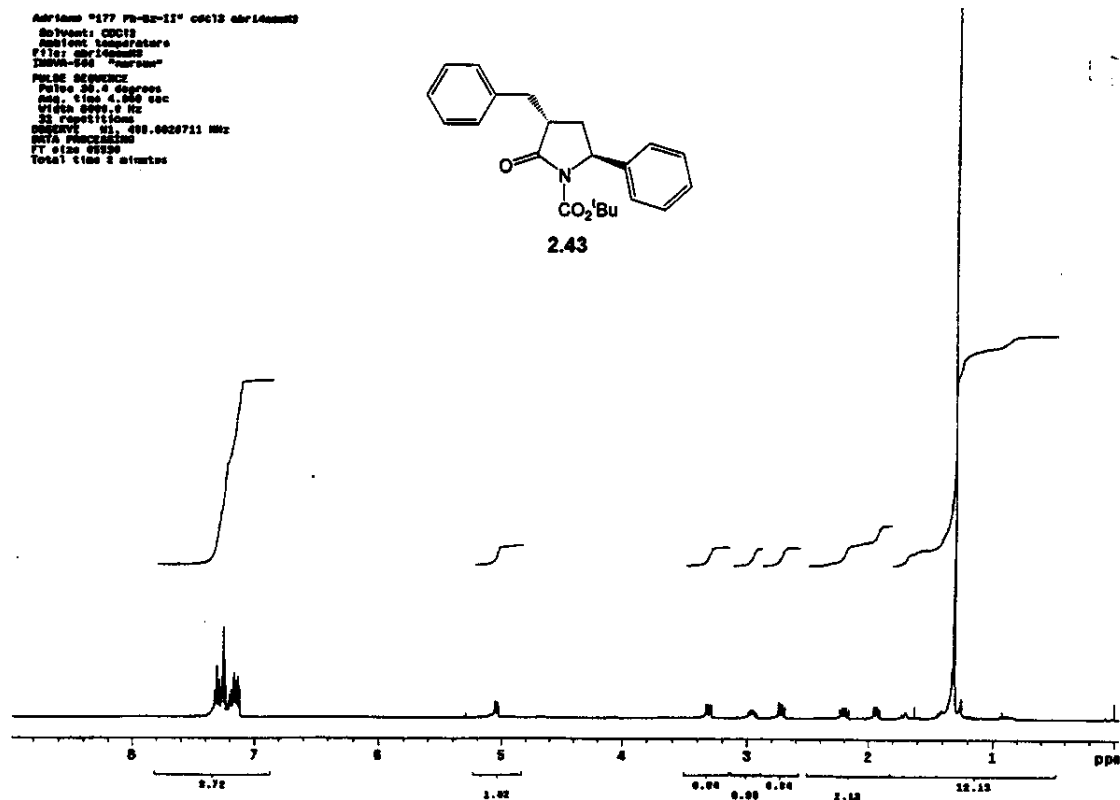
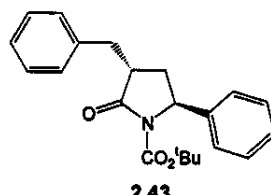


Anexo 2.42_IV: Filme em NaCl



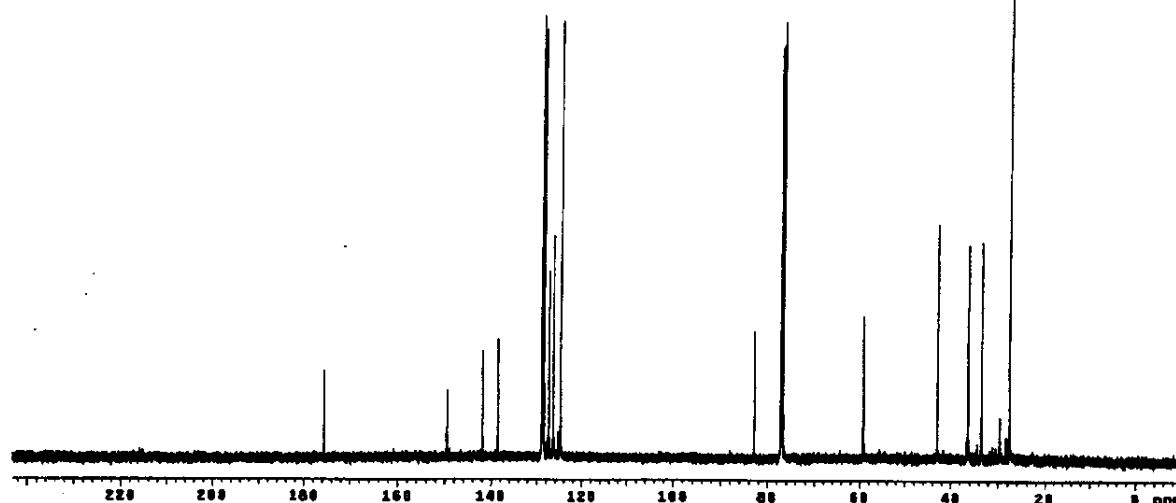
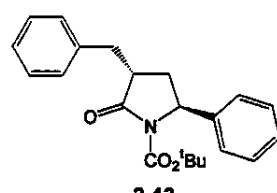
Anexos Capítulo 2
Anexo 2.43_H: ^1H -RMN (CDCl_3 , 500MHz, ta)

Adriano "i77_Pn-Bz-II" ccd12 abr140603
 Solvente: CDCl_3
 Acquisition parameters:
 P1=1.440000sec
 IRMMW-500 "Turbo"
 Pulse sequence:
 Pulse 90.0 degrees
 Acc. time 1.0 sec
 Width 6000.0 Hz
 32 repetitions
 OBSERVE FID 499.00020711 Hz
 DATA processed
 FT size 65536
 Total time 2 minutes

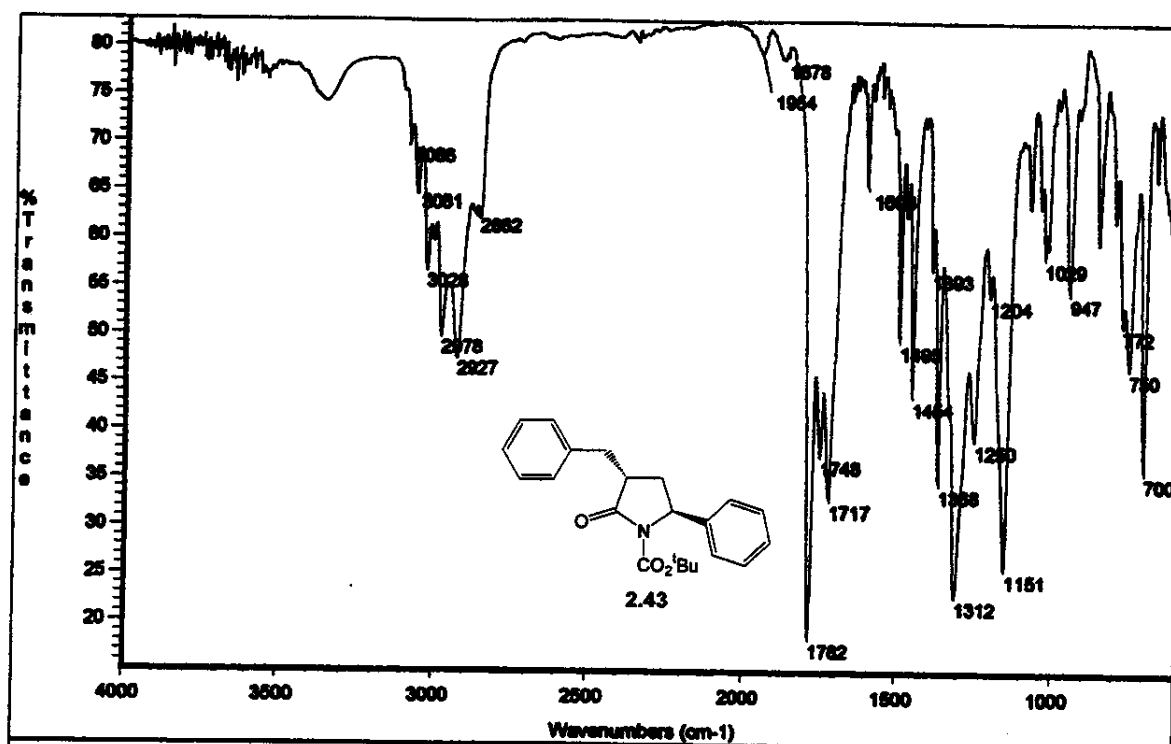


Anexo 2.43_C: ^{13}C -RMN (CDCl_3 , 125,7MHz, ta)

Adriano "i77_Pn-Bz-II" ccd12 abr140603
 Solvent: CDCl_3
 Acquisition parameters:
 User: 1-14-07
 File: abr140603
 IRMMW-500 "Turbo"
 Pulse sequence:
 Pulse 1.440 sec
 Pulse 90.0 degrees
 Acc. time 1.00 sec
 Width 12.0 Hz
 32000 repetitions
 OBSERVE C13, 125.4996816 Hz
 DATA processed
 FT size 65536
 Line broadening 1.0 Hz
 Total time 167 minutes



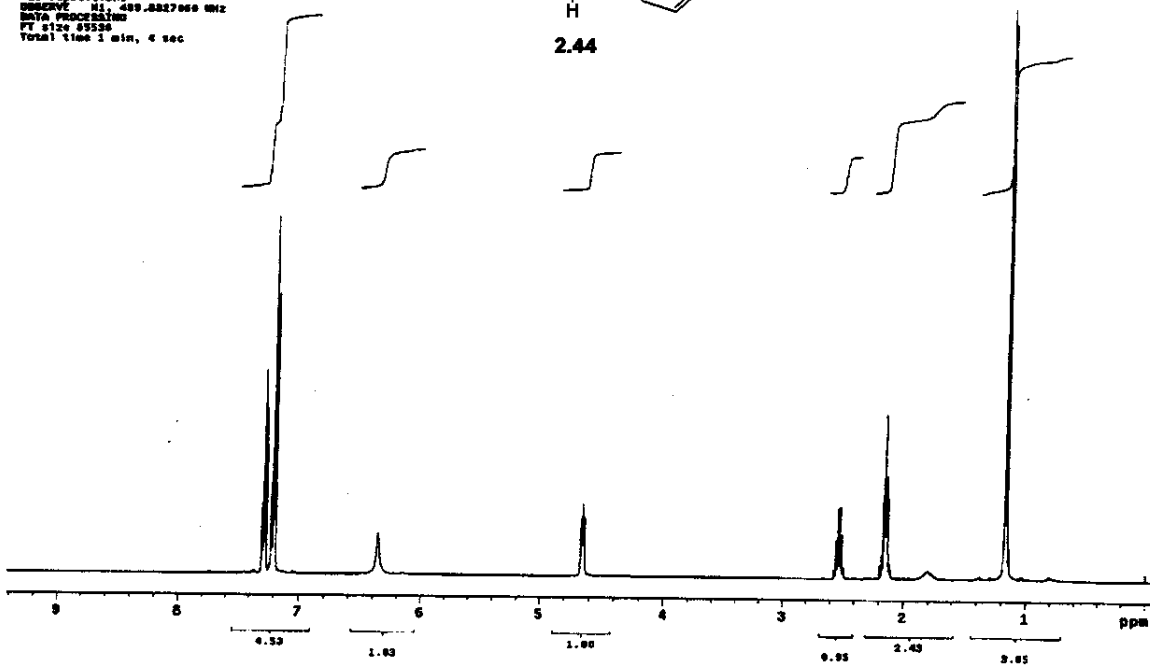
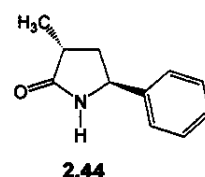
Anexo 2.43_ IV: Filme em NaCl

Anexo 2.44_H: ^1H -RMN (CDCl_3 , 500MHz, ta)

```

Anexo 2.44_H: CDCl3 Junc500mhz
Pulse Sequence: 82mu1
Solvent: CDCl3
Temp.: 29.0 C / 303.1 K
File: 2.44_500mhz
IRWAVE-500 "Inova500"
PULSE SEQUENCE
Pulse: 78.7 degrees
AcqTime: 4.0 sec
VNA: 8888.0 Hz
16 repetitions
SWRVE: R1: 489.0827060 MHz
SWRVE: R2: 489.0827060 MHz
SWRVE: R3: 489.0827060 MHz
FT size: 85528
Total time: 1 min, 4 sec

```

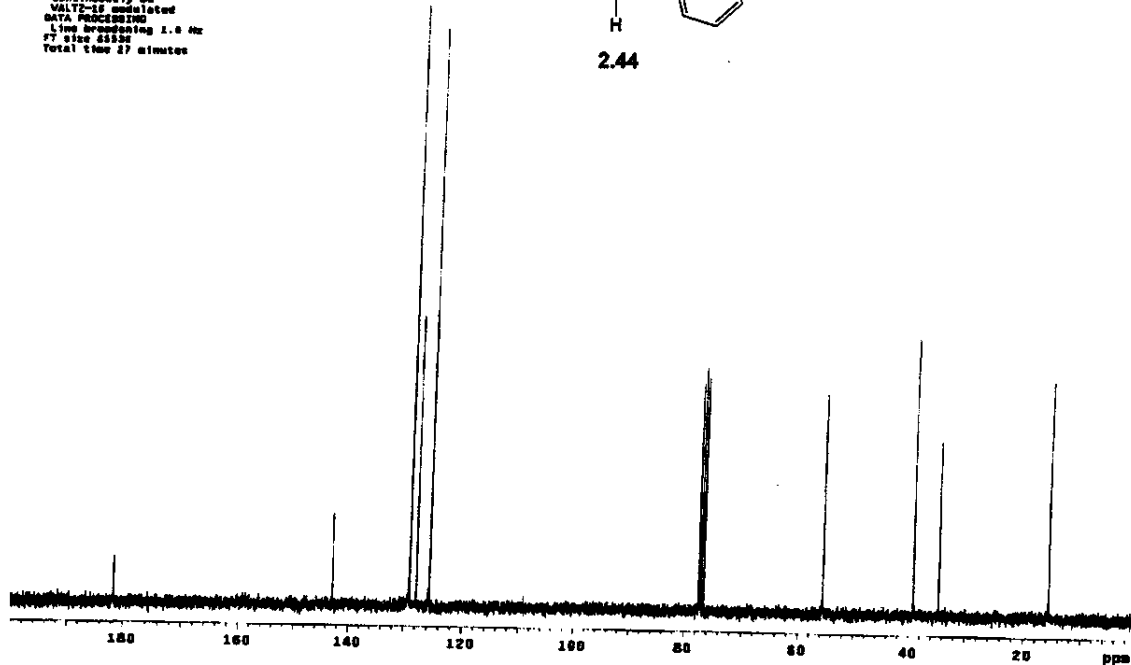
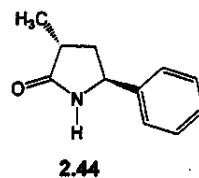


Anexos Capítulo 2
Anexo 2.44_C: ^{13}C -RMN (CDCl_3 , 75,4MHz, ta)

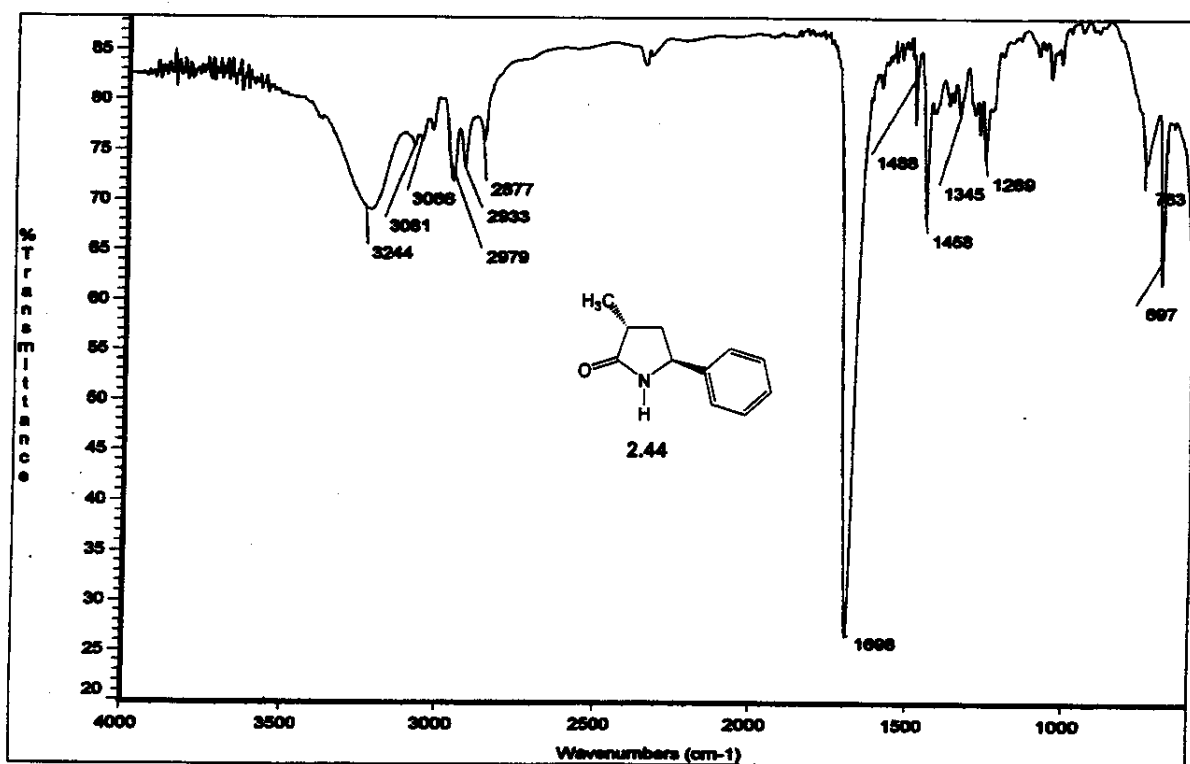
```

Aptname "10040" cdcl3/tao out16nmr
Solvent CDCl3
Acquisition temperature
CONTINUOUS-SWEEP "constant"
PULSE SEQUENCE
Pulse 90° by 1.000 sec
Pulse 45° by 0.500 sec
Acc. time 1.000 sec
Width 20000.0 Hz
SSB suppressed
DETECTOR CL1, 75.451942 MHz
DECOUPLE RL 305.1654476 MHz
Power 37 dB
CPPI 1.000 sec
GATE 2.000 sec
WALTZ-2D simulated
DATA PROCESSING
Line broadening 1.0 Hz
77 scans
Total time 27 minutes

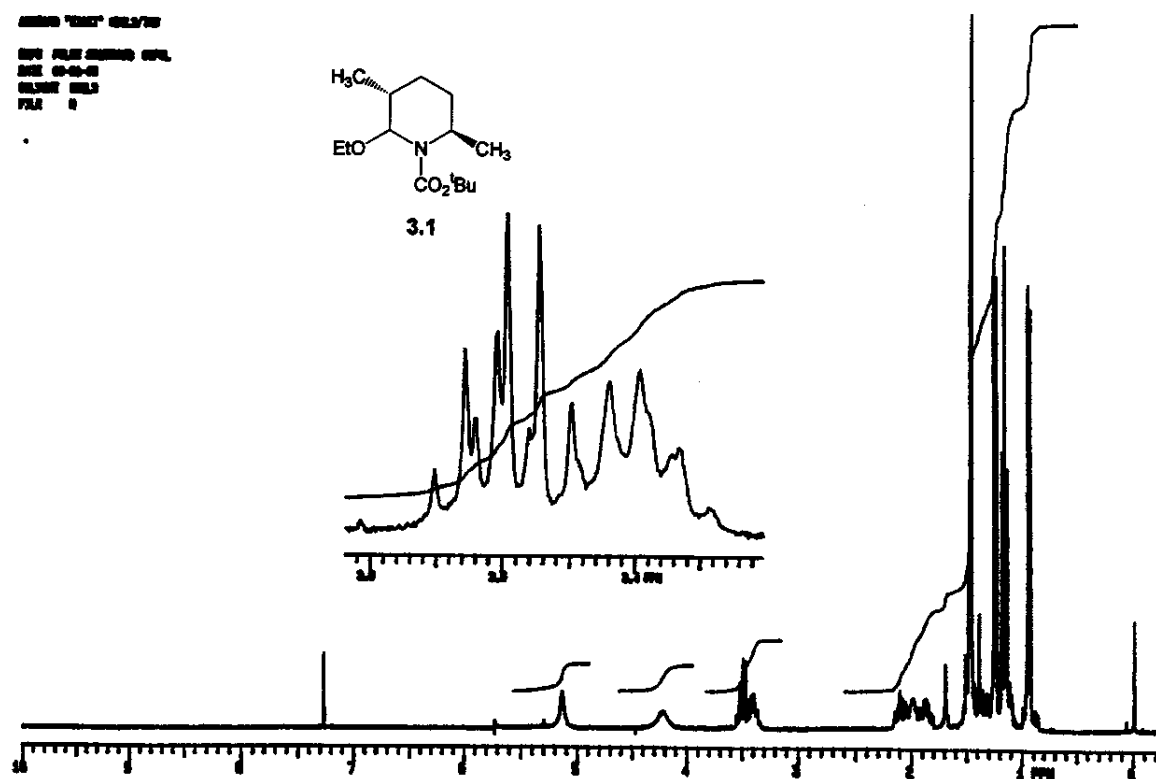
```



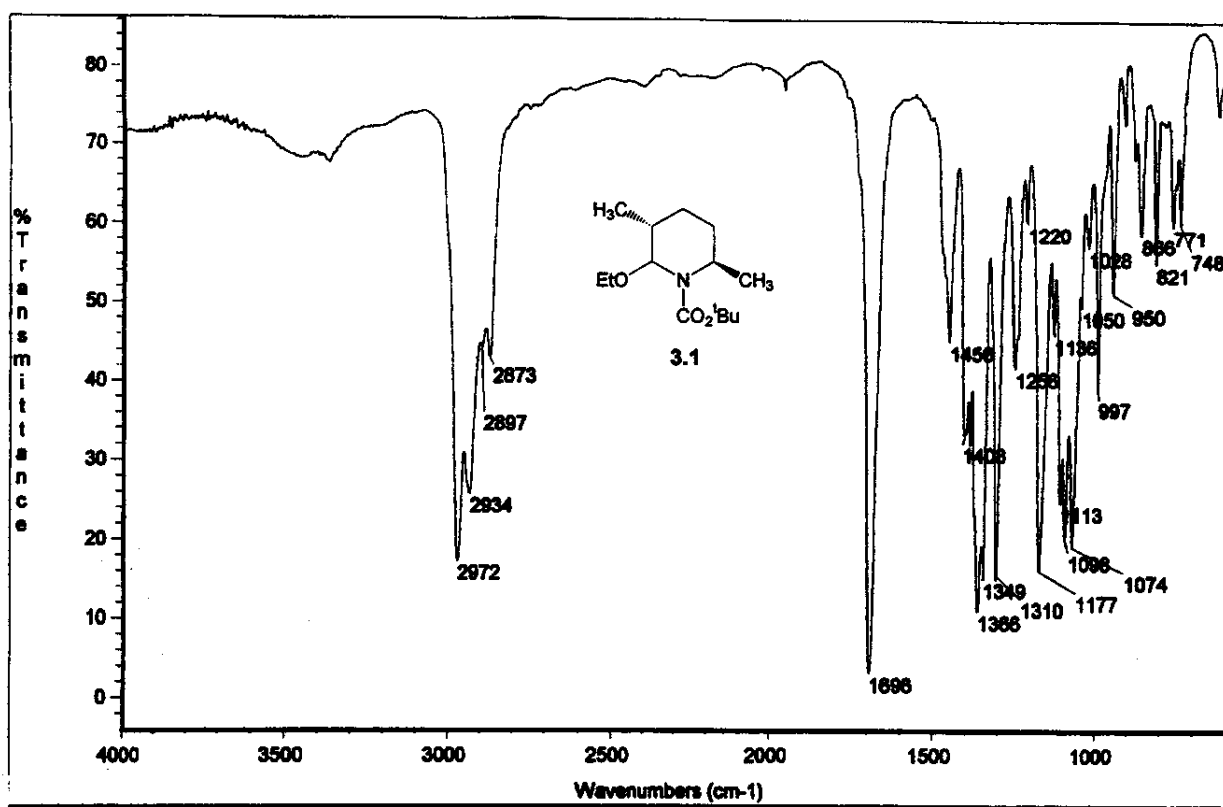
Anexo 2.44_IV: Filme em NaCl



Anexos Capítulo 3
Anexo 3.1_H: ^1H -RMN (CDCl_3 , 300MHz, ta)

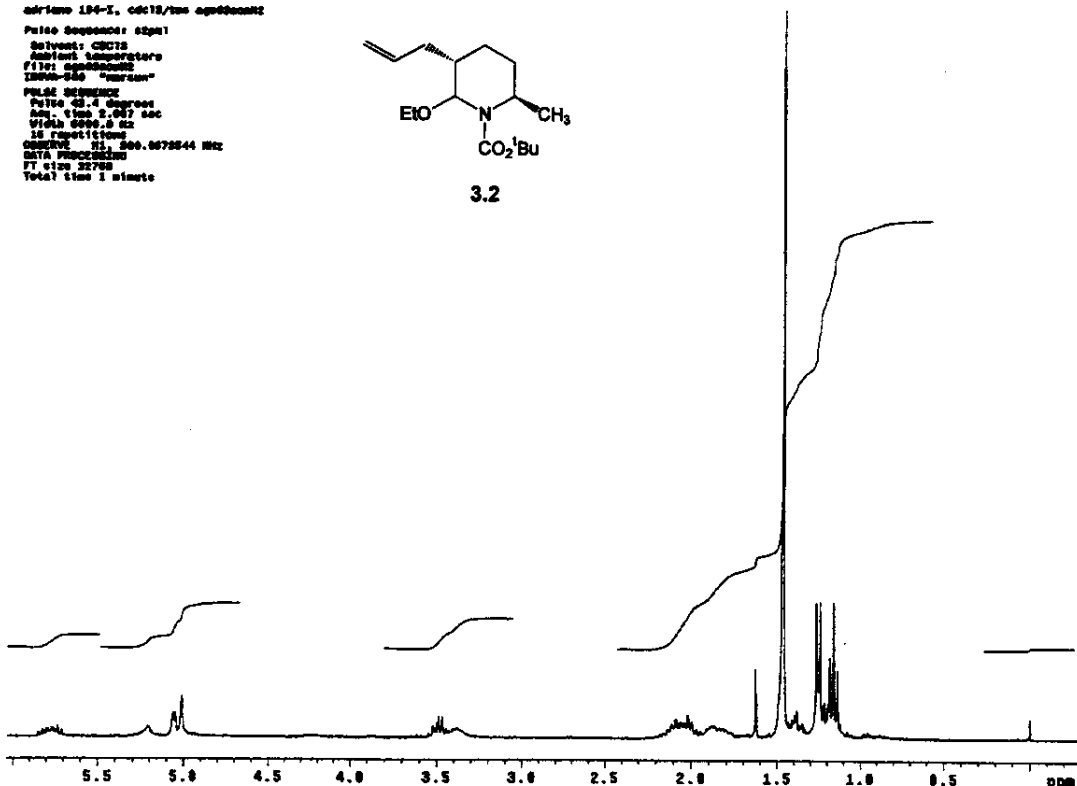
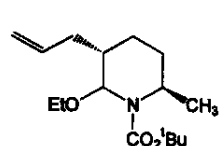


Anexo 3.1_IV: Filme em NaCl



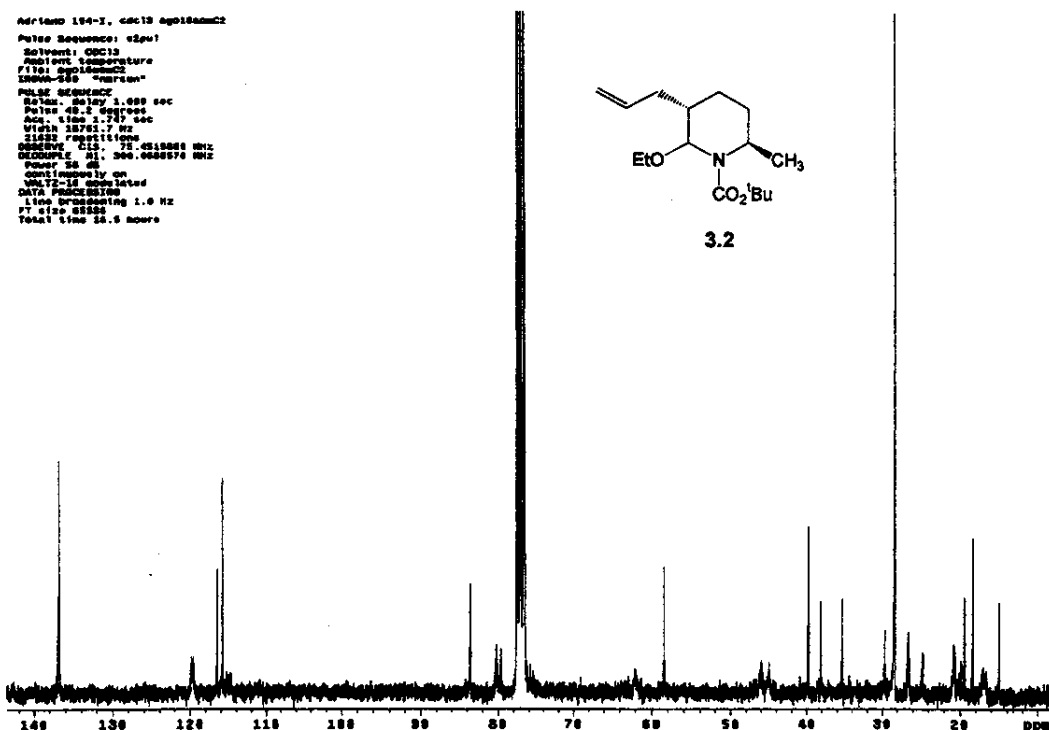
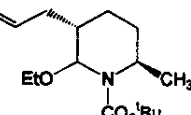
Anexos Capítulo 3
Anexo 3.2_H: ^1H -RMN (CDCl_3 , 300MHz, ta)

Adriano 194-I, cdcl3/ta apollonmr2
 Pulse Sequence: zgppmt2
 Solvent: CDCl₃
 Acquisition temperature:
 FID1=298.150000000 °C
 IRMMW-DSG "Varian"
 PULSE SEQUENCE
 Pulse 90.4 degrees
 Acq. time 1.00 sec
 Width 1.00 sec
 256 repetitions
 DECOUPLE_R1 260.0079544 Hz
 DATA PROCESSING
 FT size 20736
 Total time 1 minute



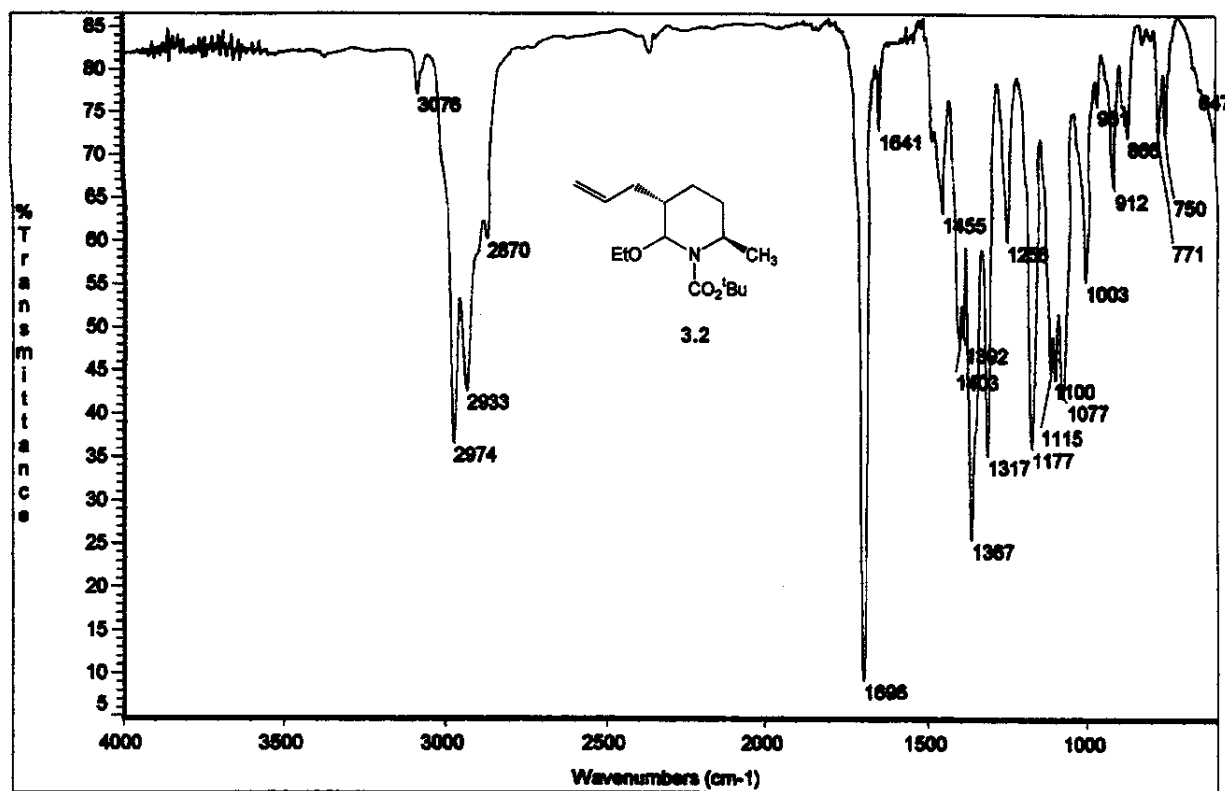
Anexo 3.2_C: ^{13}C -RMN (CDCl_3 , 75,4MHz, ta)

Adriano 194-I, cdcl3 apollonmr2
 Pulse Sequence: zgppmt2
 Solvent: CDCl₃
 Acquisition temperature:
 FID1=298.150000000 °C
 IRMMW-DSG "Varian"
 PULSE SEQUENCE
 Relaxation delay 1.000 sec
 Pulse 90.2 degrees
 Acq. time 1.00 sec
 Width 1.00 sec
 21632 repetitions
 DECOUPLE_R1 260.0079544 Hz
 DECOUPLE_R2 260.0068876 Hz
 Power 50%
 16384 tics
 VNA72-16 modulated
 DATA PROCESSING
 FT size 85584
 Total time 14.5 hours



Anexos Capítulo 3
Anexo 3.2_IV: Filme em NaCl

iii

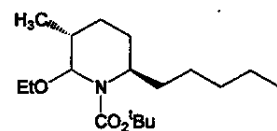


Anexo 3.3_H: ¹H-RMN (CDCl₃, 500MHz, ta)

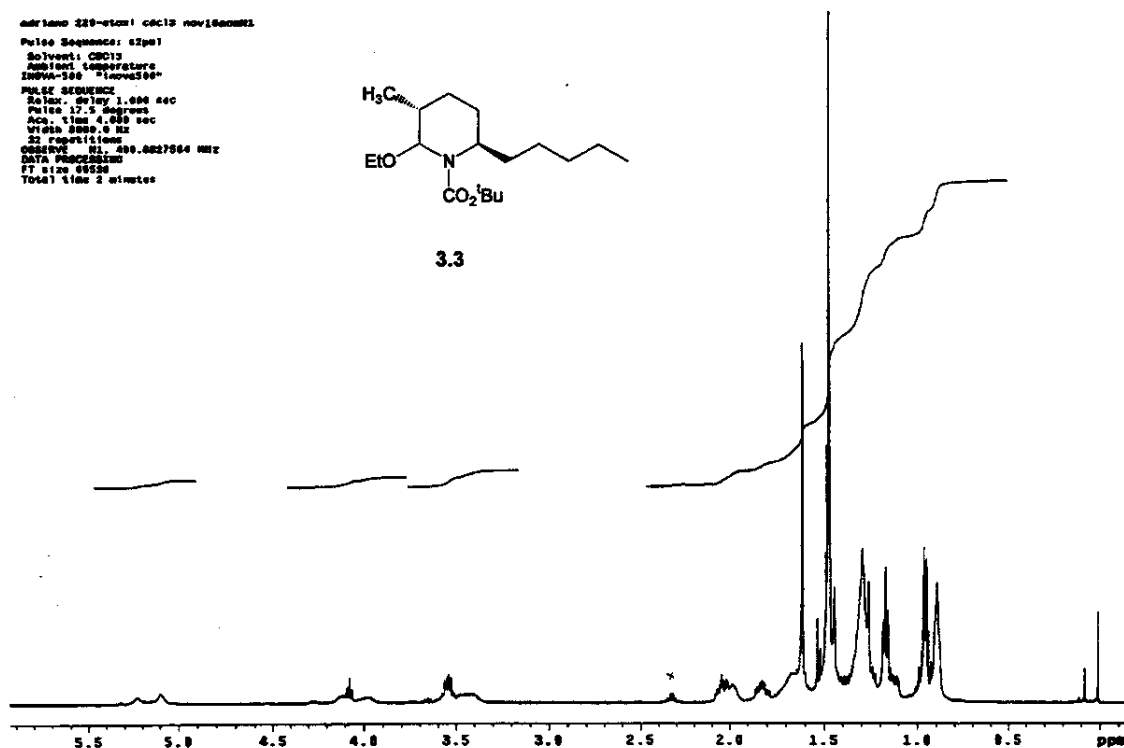
```

mestranol-33-d6-tetra dec13 nov140002
Pulse Sequence: zgppr1
Solvent: CDCl3
Ambient temperature
ZMQWA-Sec: "Inova500"
Prog. Sequence: zgppr1
R1=0.001 sec
Pulse 17.5 degrees
Acc. Int.: 4.000 sec
W1=3000 Hz
32 repetitions
OBSERVE F1: 499.6827564 MHz
SW1=10000 Hz
FT size: 85536
Total time: 2 minutes

```

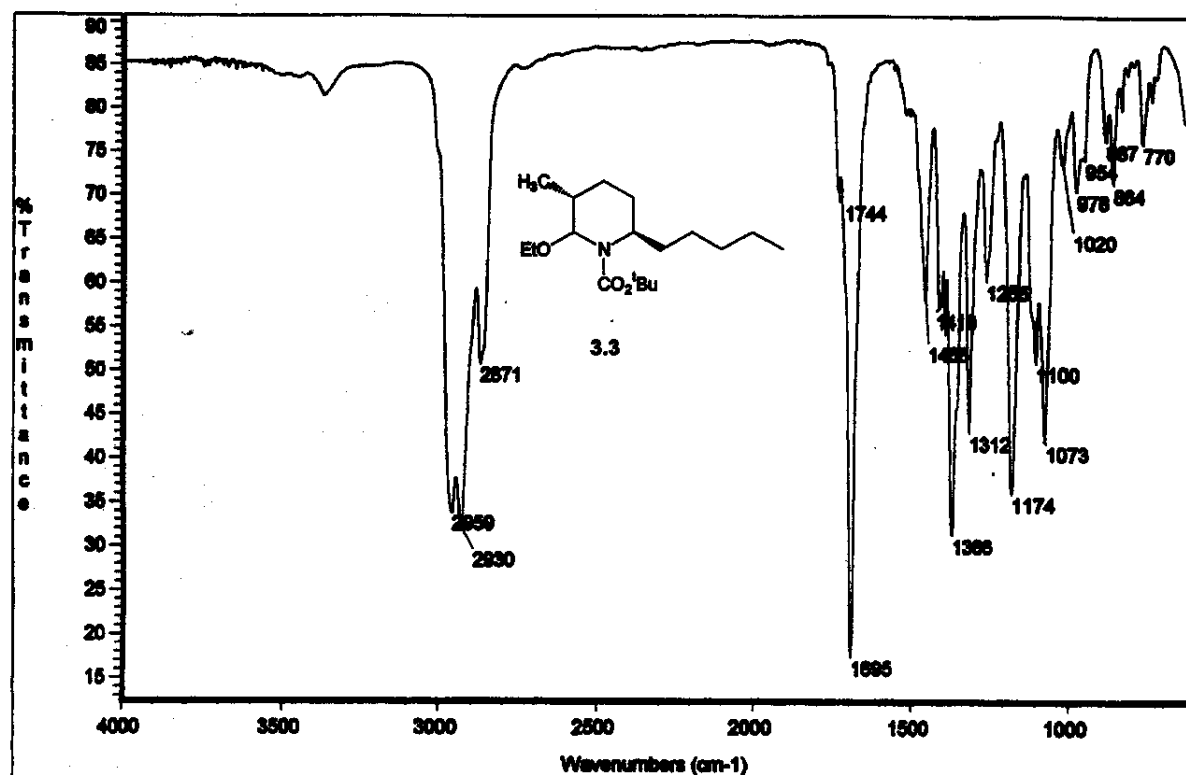


3.3



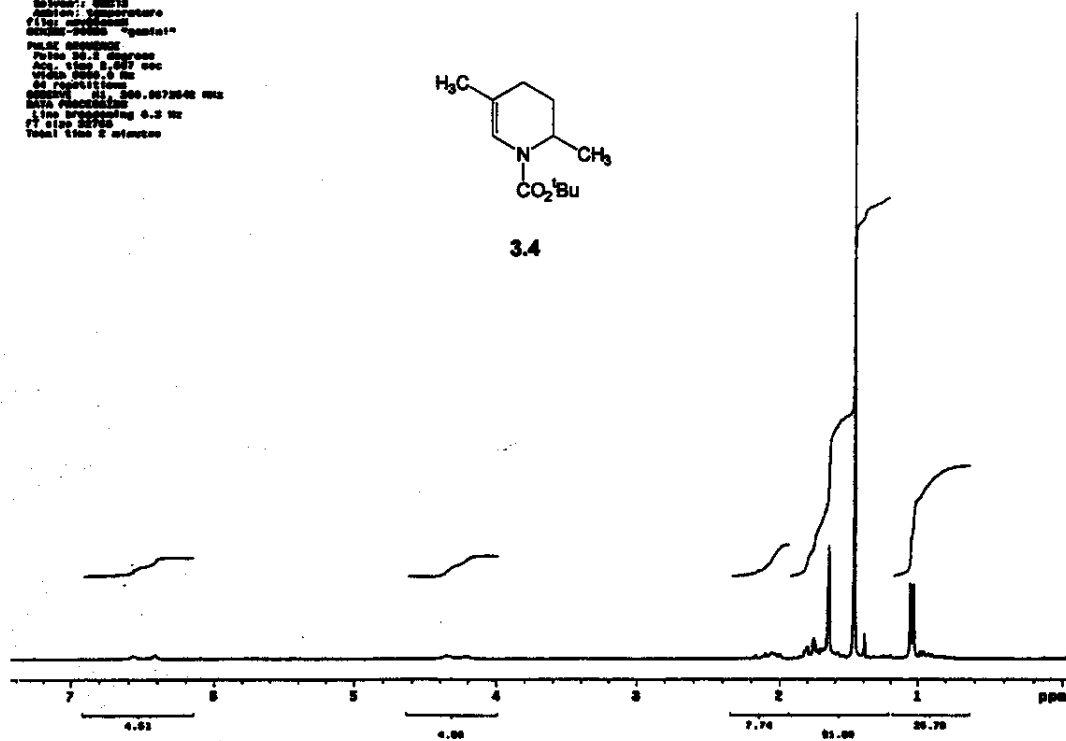
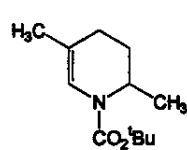
Anexos Capítulo 3
Anexo 3.3_IV: Filme em NaCl

iv



Anexo 3.4_H: ^1H -RMN (CDCl_3 , 300MHz, ta)

```
apenas "química" 00112
Salvo: 00112
Autor: Vagner Souza
Data: 08/08/2018
versão: 1.0
Formato: pdf
Polarizadores:
Pulse 90.0 degraus
Aq.: 1000.000 sec
W1: 10.0 sec
64 aplicações
Resolução: 0.03072048 MHz
Linha processada: 4.3 Hz
CP: 640000
Total: 10000000
Total: 2 minutos
```



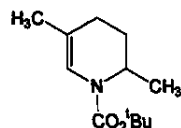
Anexos Capítulo 3

Anexo 3.4_C: ^{13}C -RMN (CDCl_3 , 75,4MHz, ta)

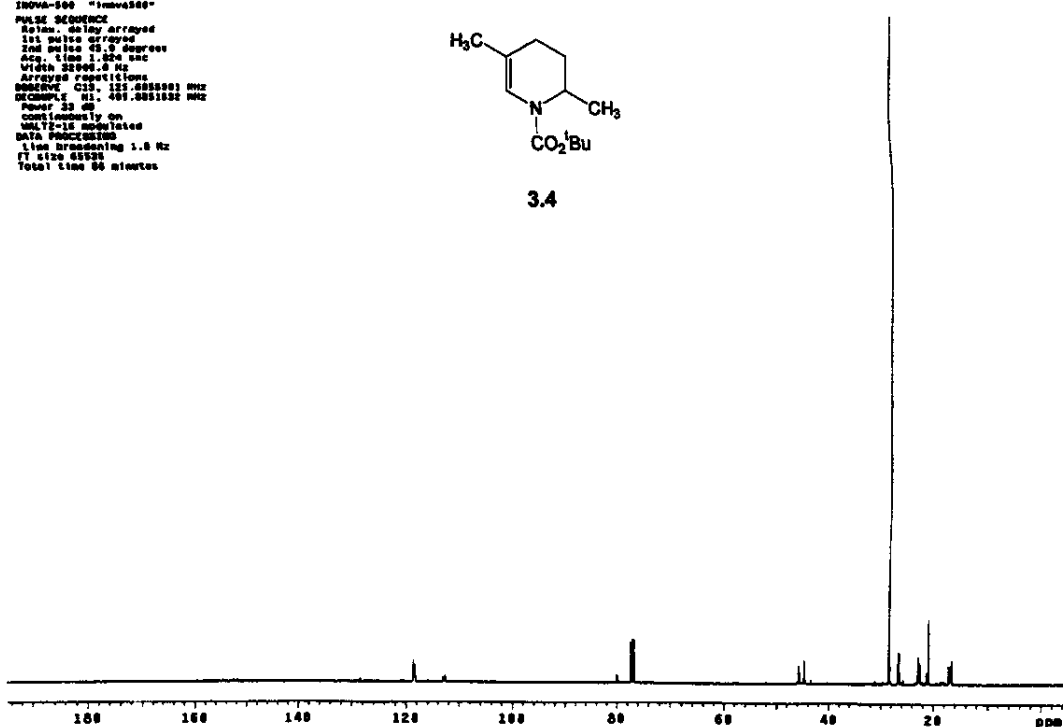
v

```

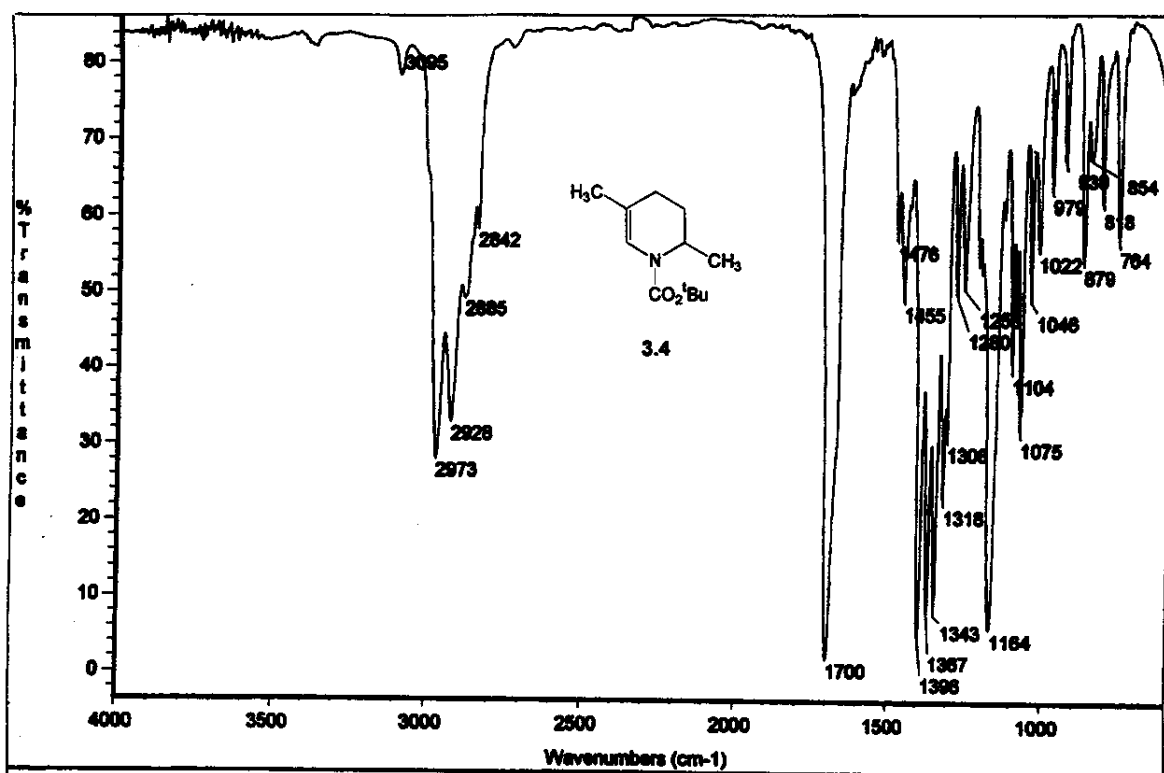
        401000 00000000000000000000000000000000
        Solvent: C6D13
        Frequency: 10.000000000000000000000000000000 Hz
        User: 1-14-87
        IRWIN-500 "imwave500"
        PULSE SEQUENCE
        Pulse: delay arrayed
        1st pulse delayed
        1st pulse duration: 1.000 microsec
        Acq time: 1.000 sec
        Width: 25000.0 Hz
        Arrayed repetitions
        OBSERVE: C13: 101.0000000 MHz
        T1: 101.0000000 MHz
        Paper: 33
        continuously on
        MULTI=16 modulated
        DATA PROCESSING
        FID length: 1024 points
        Sampling rate: 10.0 KHz
        FT size: 65536
        Total: 50 minutes
    
```



34

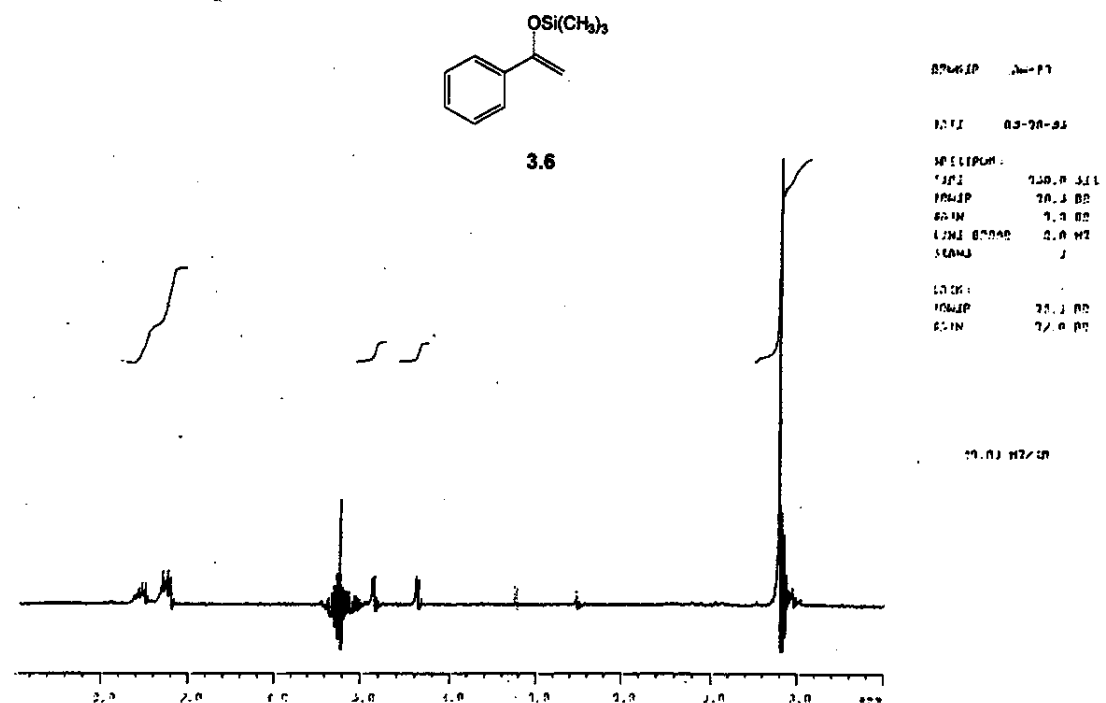


Anexo 3.4_IV: Filme em NaCl



Anexos Capítulo 3
Anexo 3.6_H: ^1H -RMN (CDCl_3 , 80MHz, ta)

vi

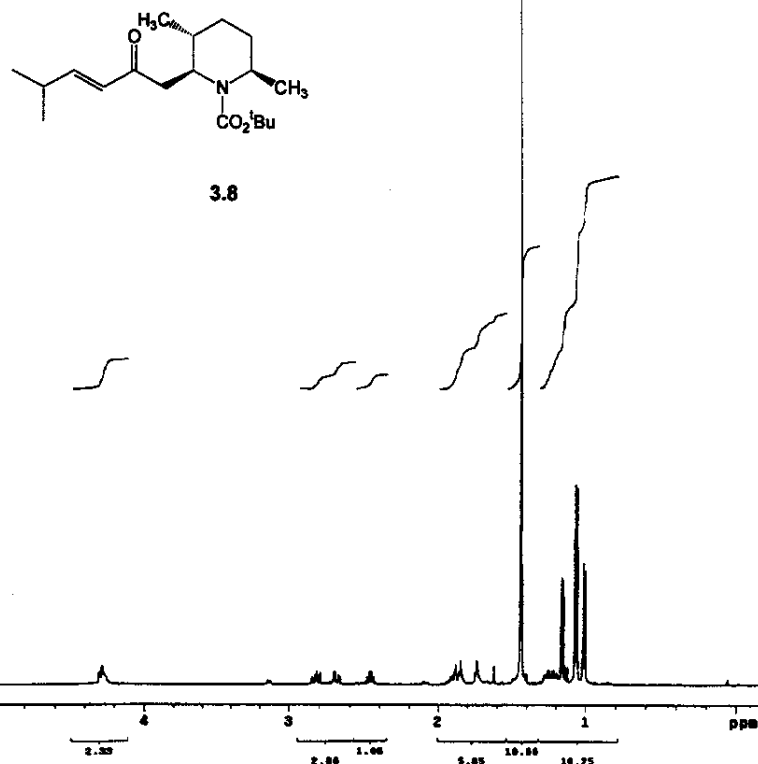


Anexo 3.8_H: ^1H -RMN (CDCl_3 , 500MHz, ta)

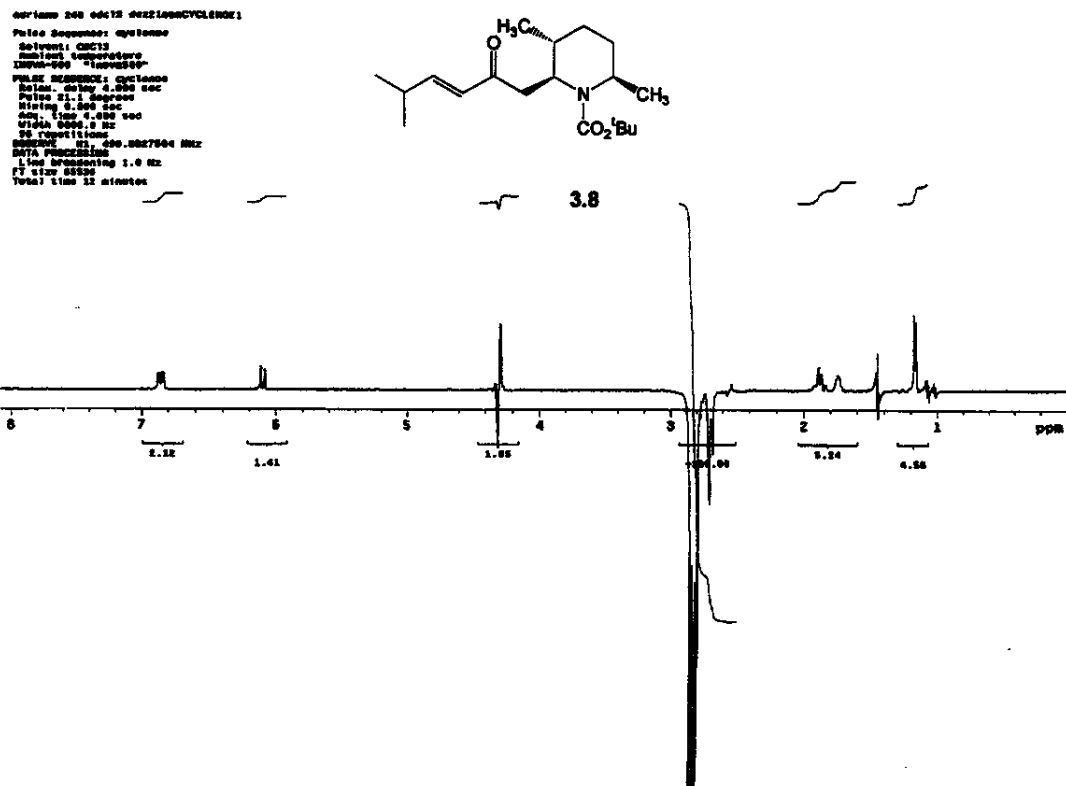
```

adriano 240 cdcl3 d62226mhi
Pulse Sequence: 2pul
Solvent: CDCl3
Ambient temperature
INDIA-500 "Inova500"
PULSE SEQUENCE
90° Pulse Time: 1.000 sec
Pulse 21.125 degrees
Acc.: Time 4.888 sec
Width 8888.8 Hz
TE: 10.000 sec
SOLVE: NL: 489.0827584 Hz
DATA PROCESSING
FT size: 45536
Total time 2 minutes

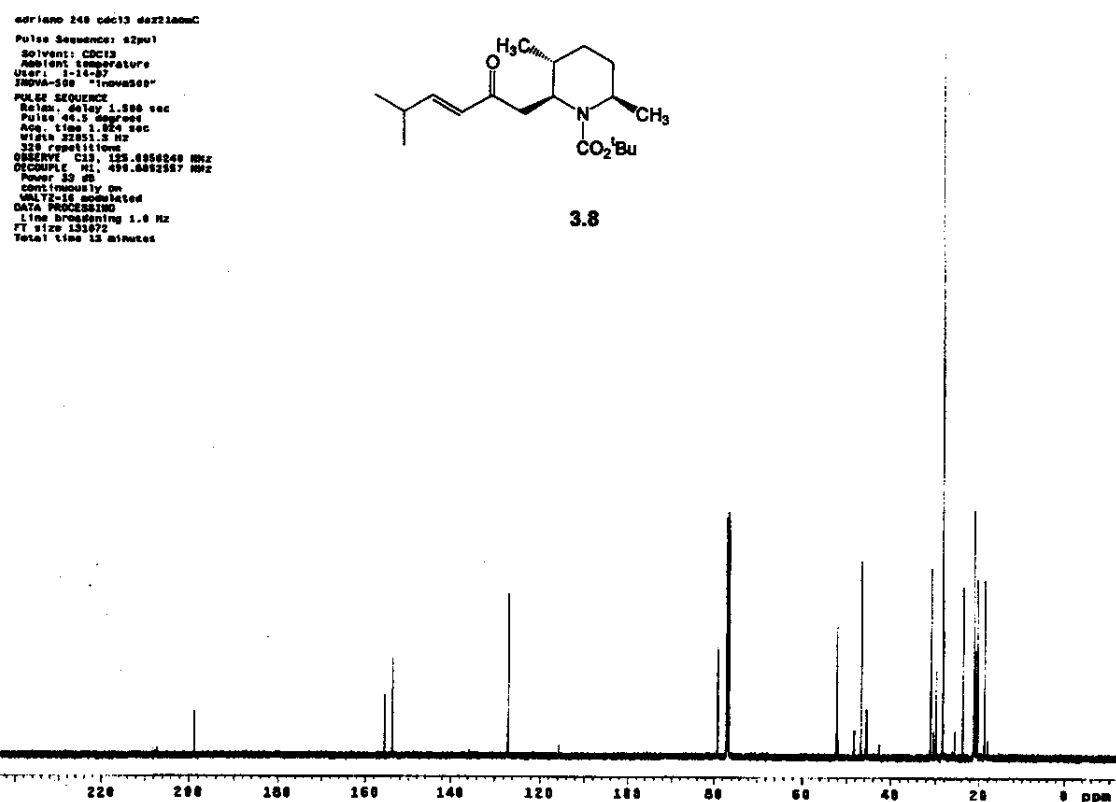
```



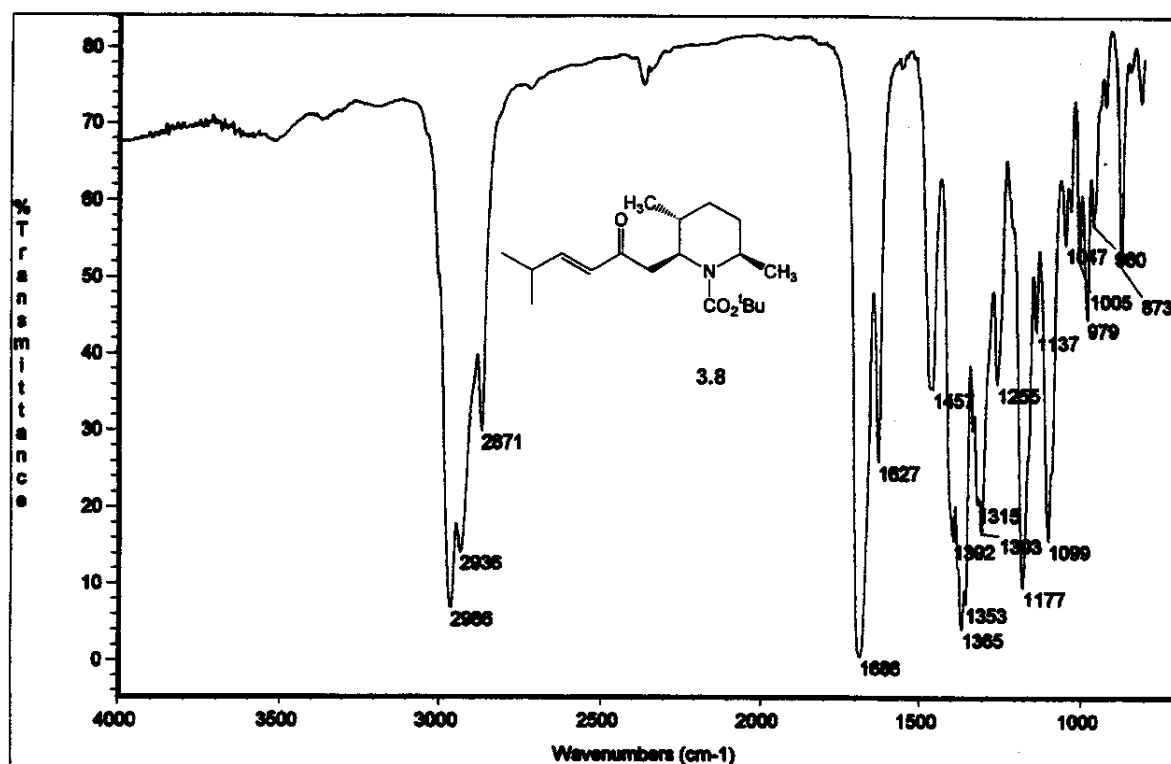
Anexos Capítulo 3
Anexo 3.8_CYCLENONE: CYCLENONE Irradiação δ 2,82 (CDCl₃, 500MHz, ta)



Anexo 3.8_C: ¹³C-RMN (CDCl₃, 125,7MHz, ta)



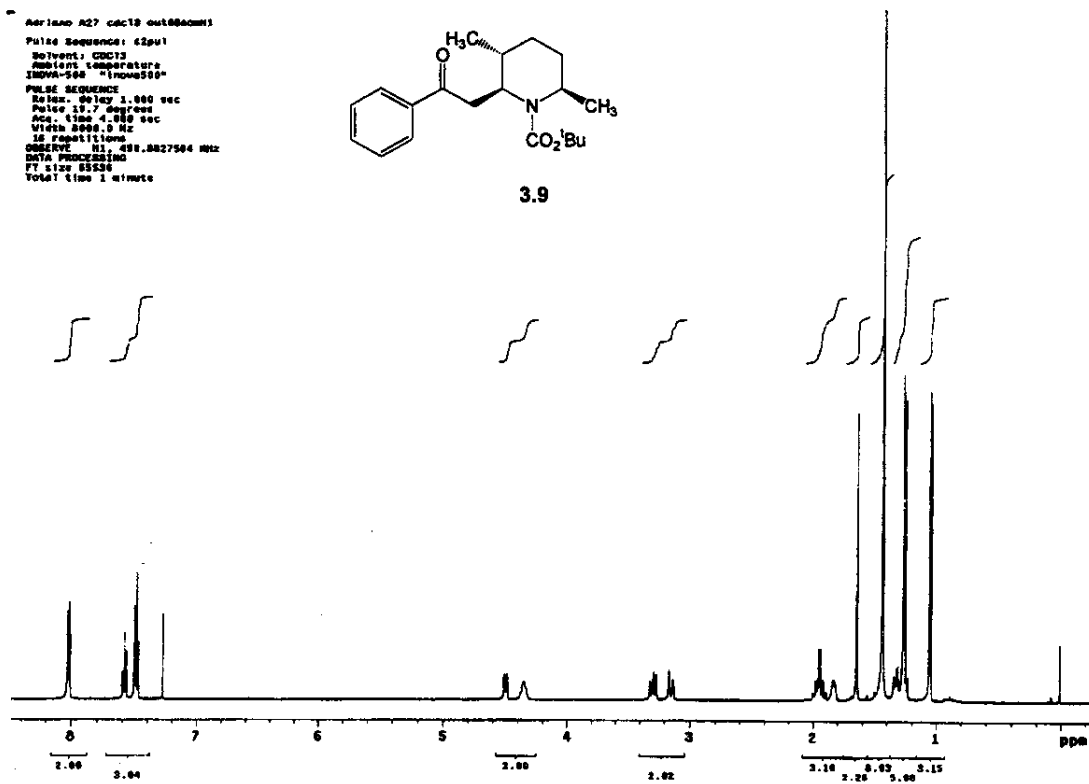
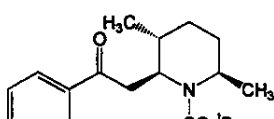
Anexo 3.8_IV: Filme em NaCl

Anexo 3.9_H_CDCl₃: ¹H-RMN (CDCl₃, 500MHz, ta)

```

Anexo A27 cdcl3 out00001
Pulse Sequence: 62pu1
Solvent: CDCl3
Acquisition temperature:
TE/DW=160 "1mmes50"
PULSE SEQUENCE:
Relax: Delay 2.000 sec
Pulse 90.000 deg
Acc 180.000 deg
Width 2000.0 Hz
Integration:
Observe: 1H, 500.0027504 MHz
DATA PROCESSING:
FT size: 65536
Total time: 1 minute

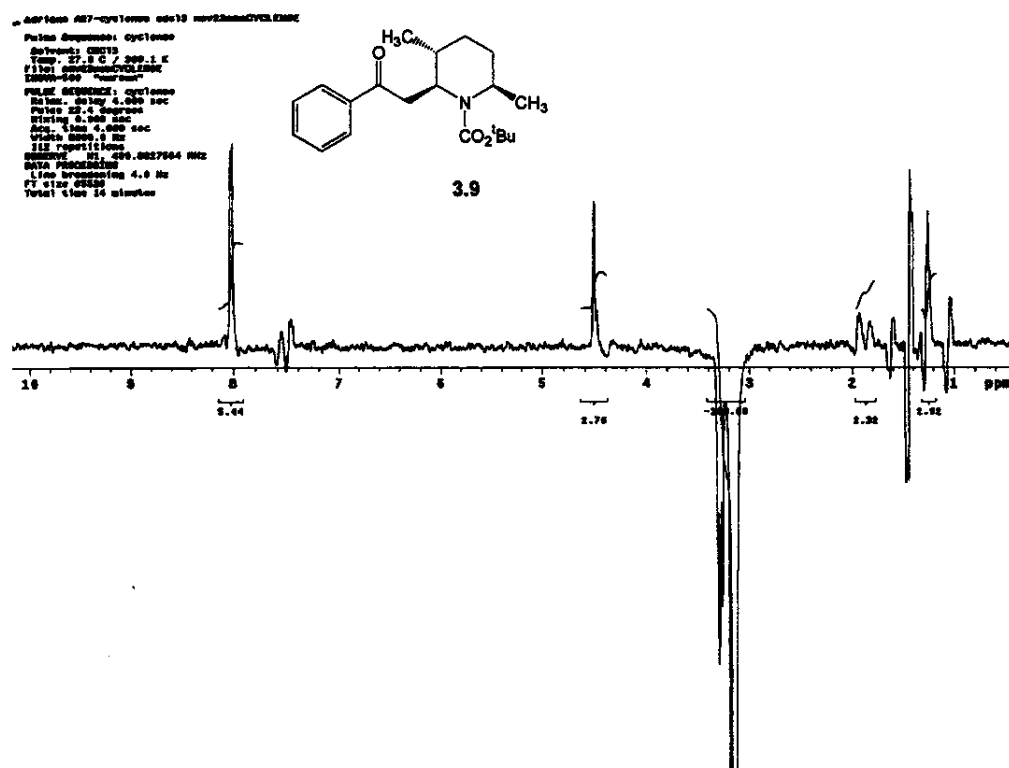
```



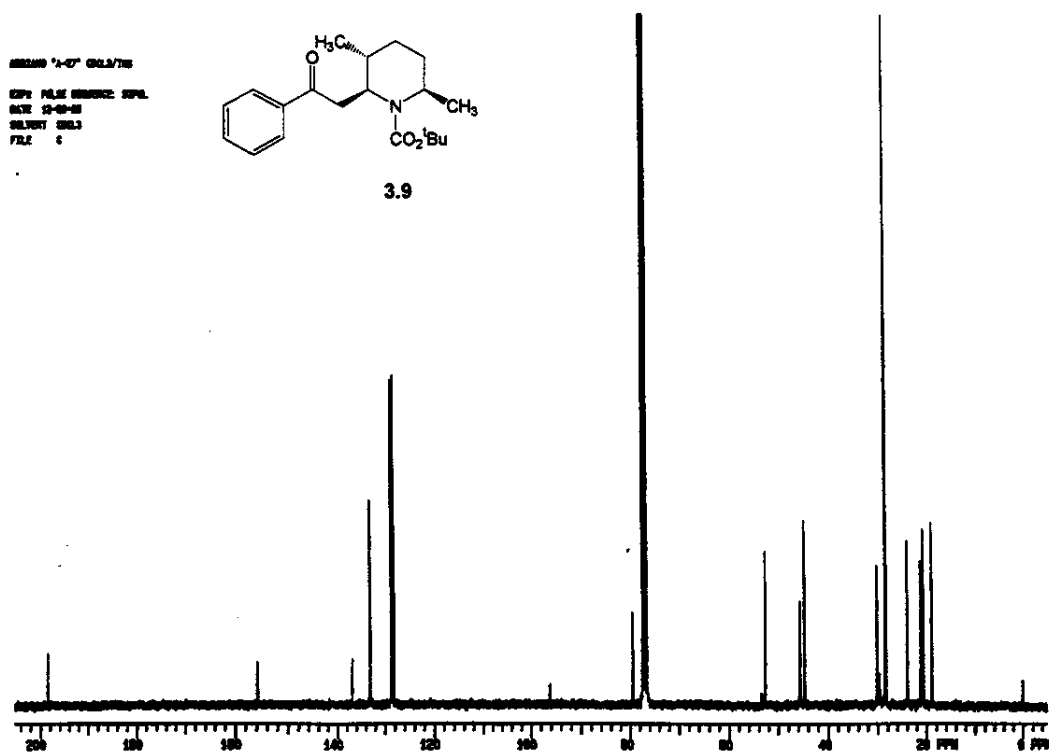
Anexos Capítulo 3

ix

Anexo 3.9_CYCLENONE_CDCL3: CYCLENONE Irradiação δ 3,14 (CDCl₃, 500MHz, ta)



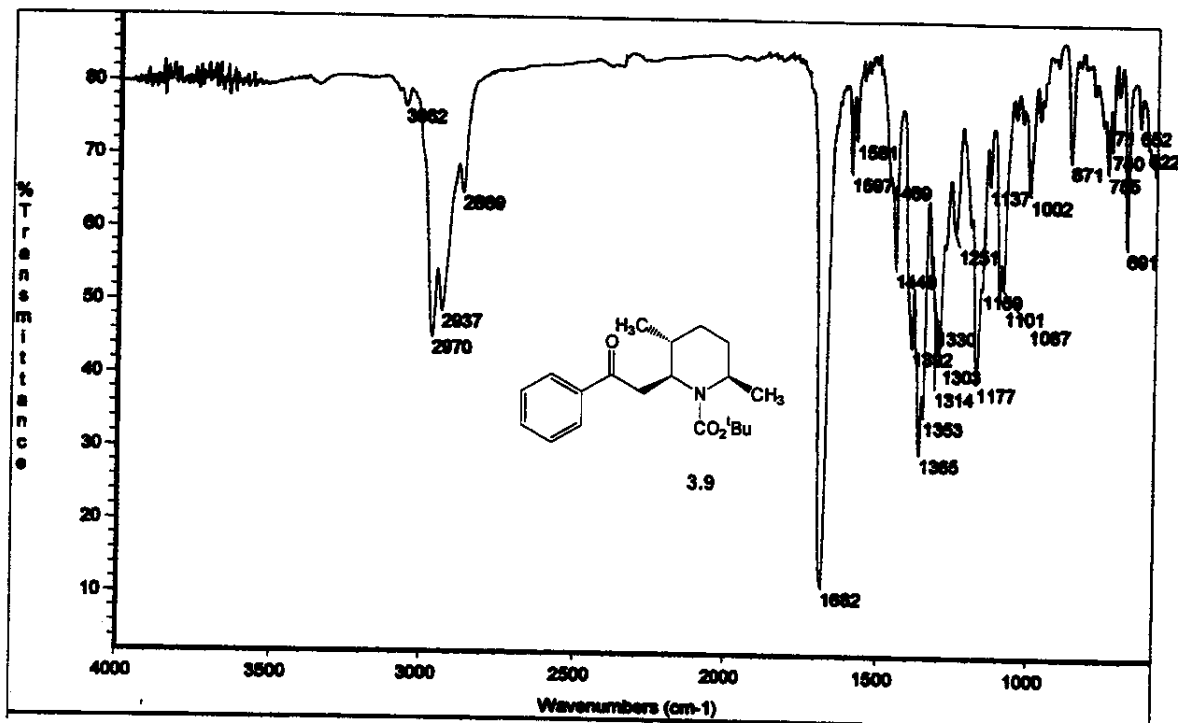
Anexo 3.9_C_CDCL3: ¹³C-RMN (CDCl₃, 75,4MHz, ta)



Anexos Capítulo 3

x

Anexo 3.9_IV: Filme em NaCl

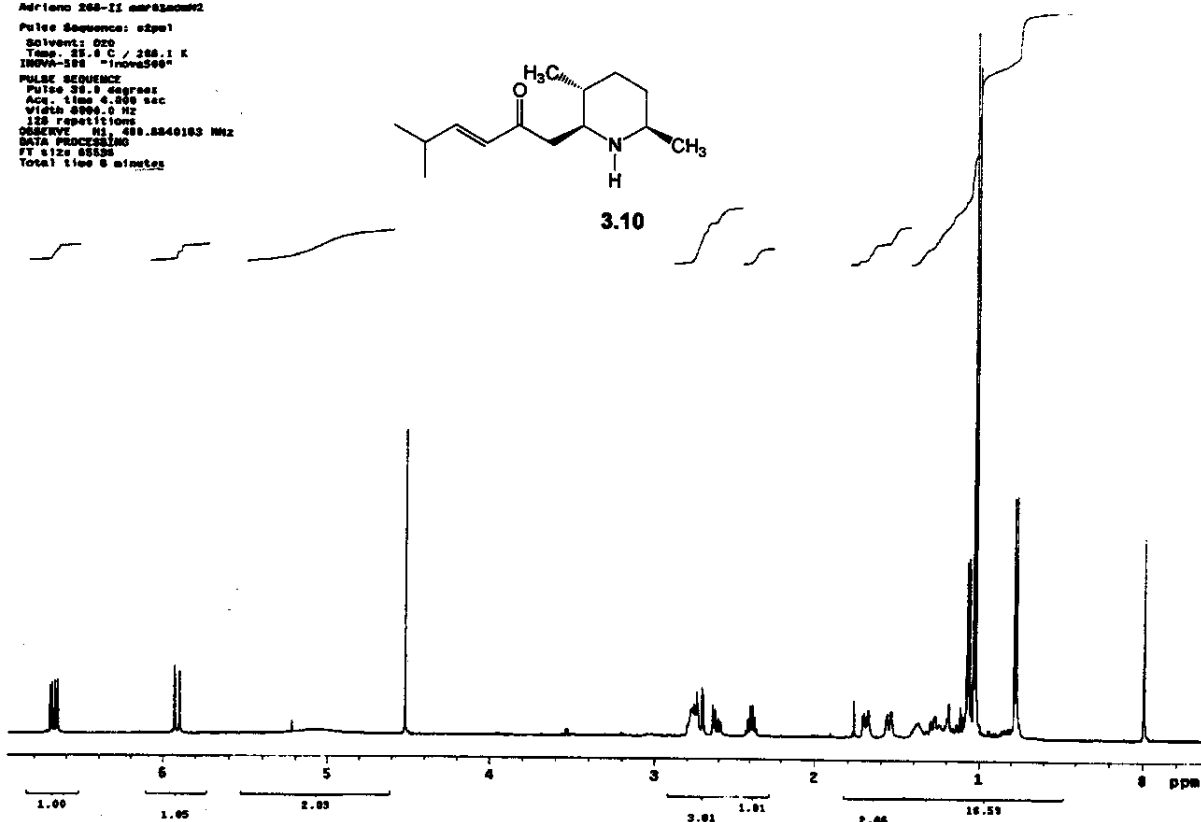


Anexo 3.10_H_CCl₄: ^1H -RMN (CCl₄, 500MHz, ta)

```

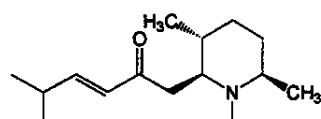
Adriano 268-II mrs330002
Pulse Sequence: zgppr1
Solvvent: CCl4
Temp: 298.0 C / 298.1 K
INNOVA-500 "Inova500"
PULSE SEQUENCE
Pulse 90.0 degrees
Acc. time: 0.000 sec
VRAM: 0.0 sec
128 repetitions
OBSERVE: H1, 499.8840163 MHz
DATA PROCESSING
FT-1D
Total time 8 minutes

```

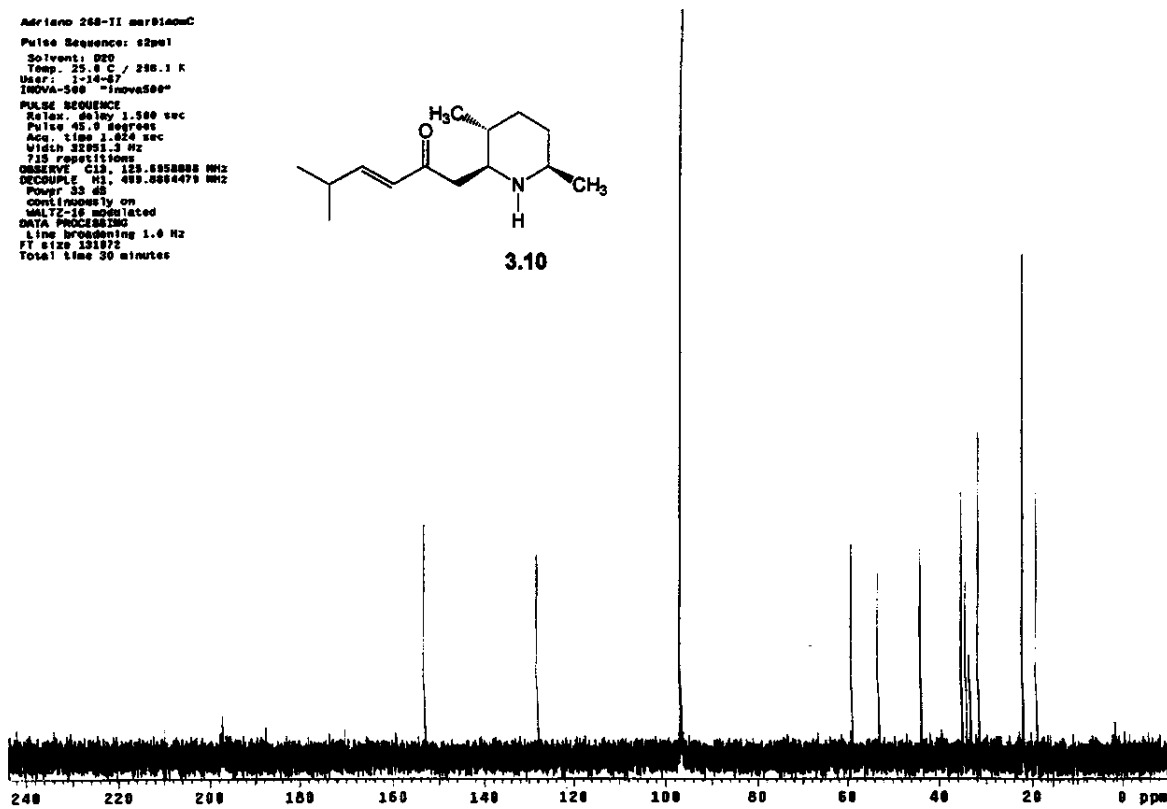


Anexos Capítulo 3
Anexo 3.10_C_CCl₄: ¹³C-RMN (CCl₄, 125,7MHz, ta)

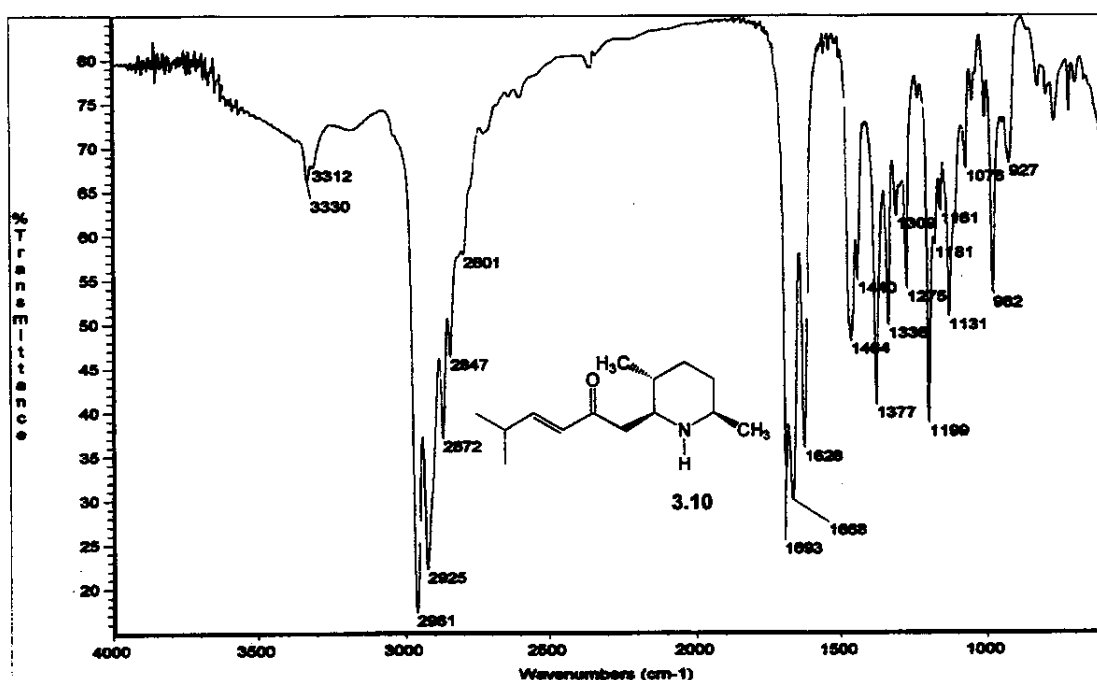
Adriano 268-II mer81mc
Pulse Sequence: 62pul
Solvent: D2O
Temp: 25,0 C / 298,1 K
User: 125,7 MHz
INNOVA-500 "Inova500"
Pulse Sequence:
Relax. delay 1.000 sec
Pulse 45,0 degrees
Acc. time 1.00 sec
Width 32000.3 Hz
715 repetitions
OBSERVE: C13, 125.0050000 MHz
DECOUPLE: H1, 499.0004790 MHz
Pulse 33
continuously on
WALTZ-16 modulated
DATA PROCESSING:
LINE SPACING 1.0 Hz
FT SIZE 128k72
Total time 30 minutes



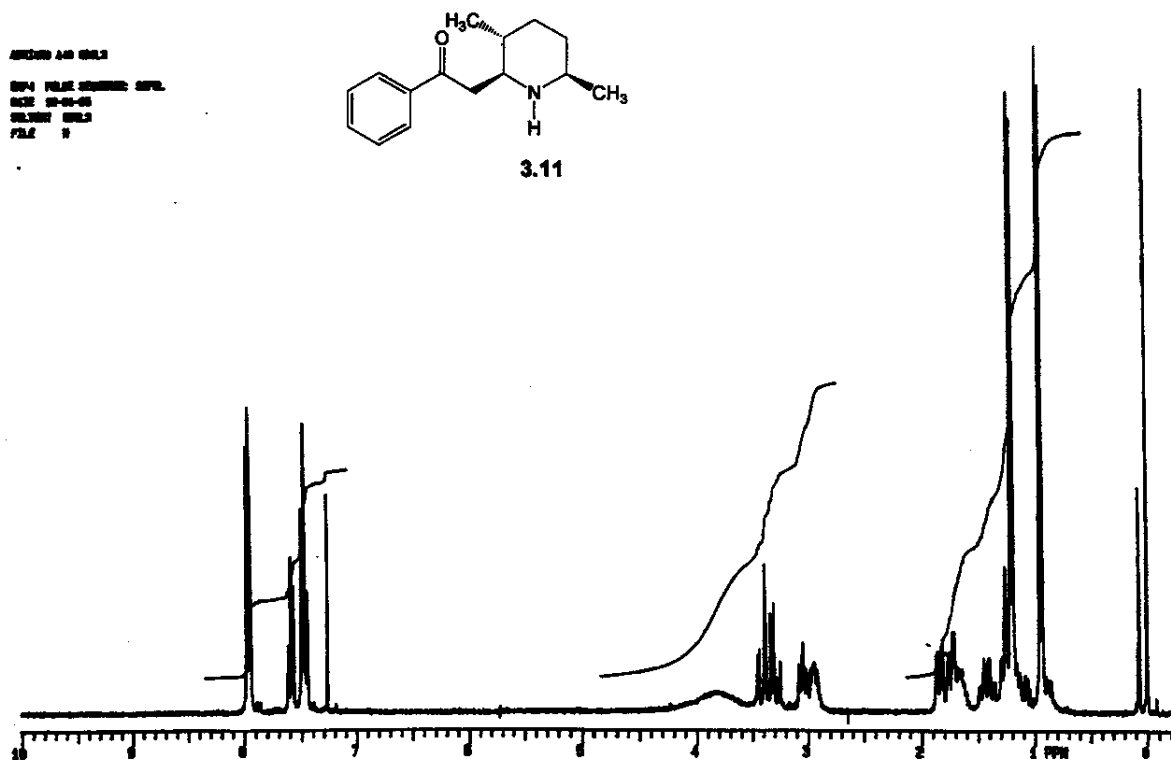
3.10



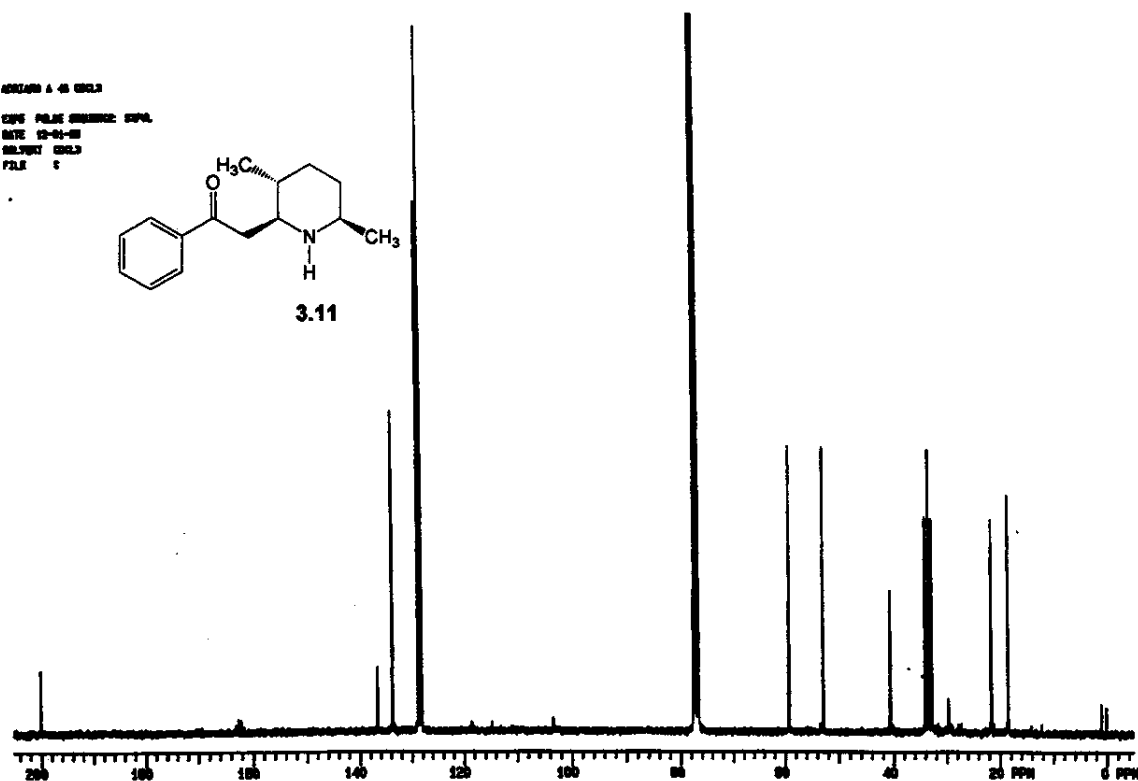
Anexo 3.10_IV: Filme em NaCl



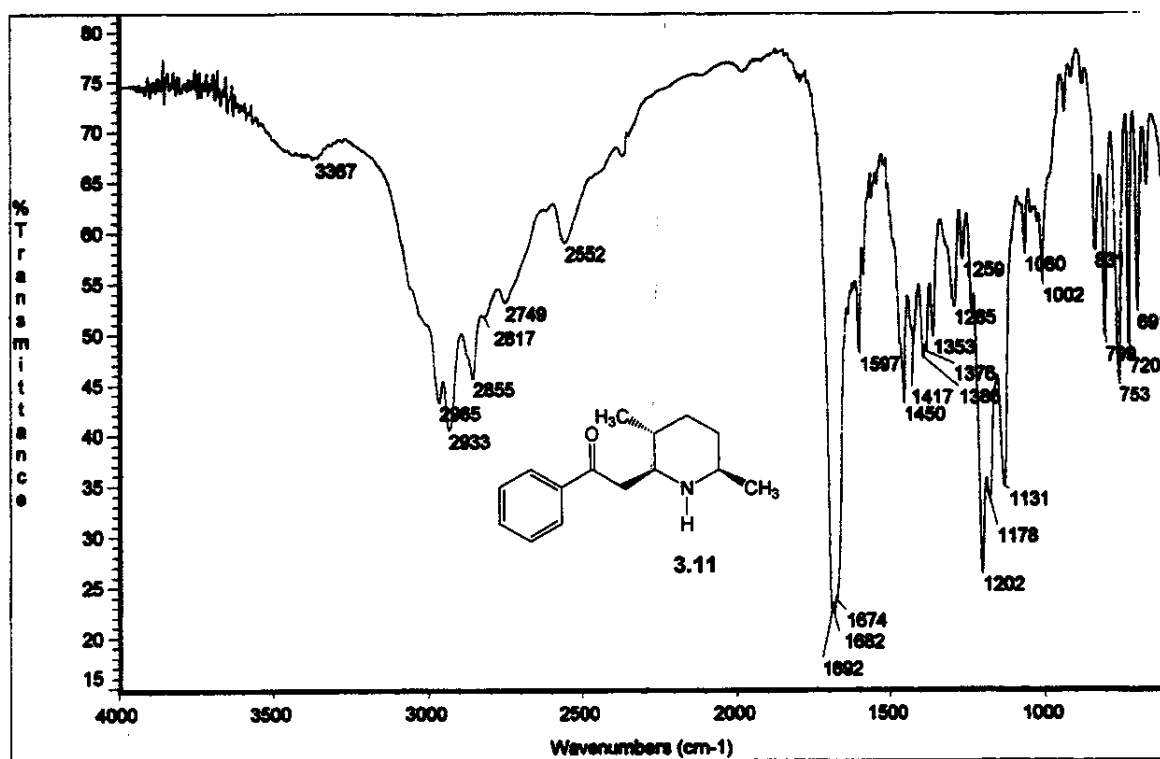
Anexos Capítulo 3
Anexo 3.11_H: ^1H -RMN (CDCl_3 , 300MHz, ta)



Anexo 3.11_C: ^{13}C -RMN (CDCl_3 , 75,4MHz, ta)



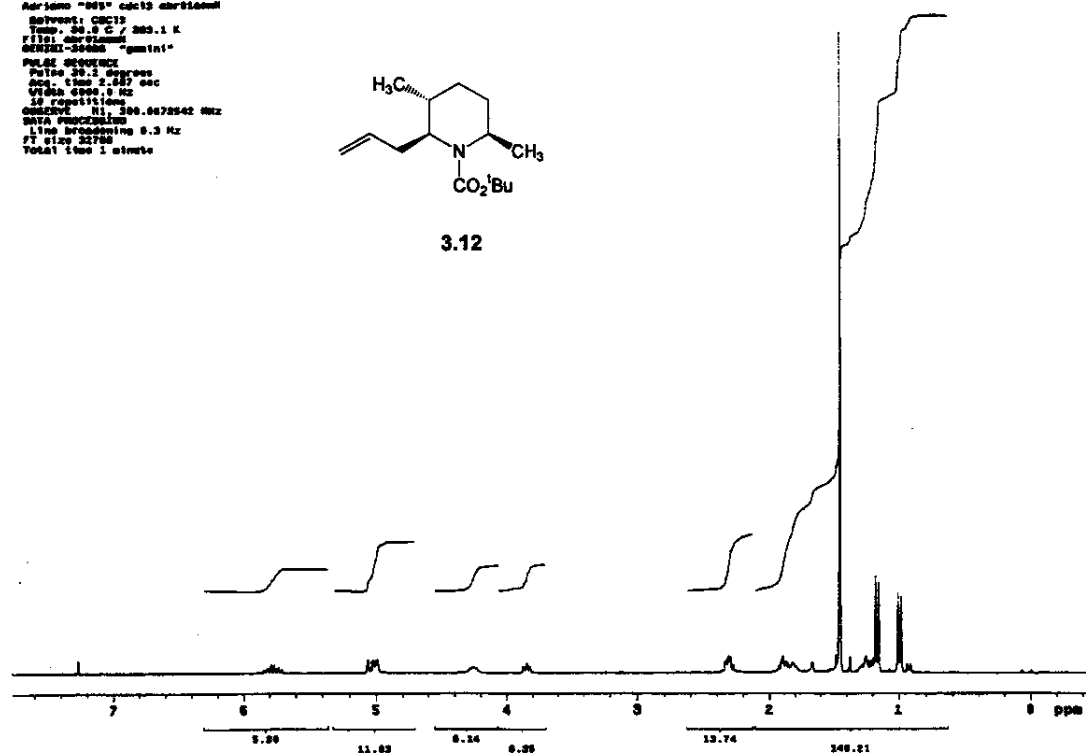
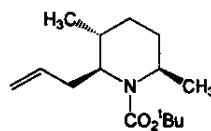
Anexo 3.11_IV: Filme em NaCl

Anexo 3.12_H: ^1H -RMN (CDCl_3 , 300MHz, ta)

```

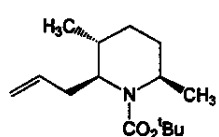
Adriano "905" calc13 carb13
Spectrometer: CDCl3
Temperature: 293.1 K
Pulse sequence: 90°
GRADIENT-3000Hz "gaussian"
PULSE SEQUENCE
Pulse: 90°
Scan time: 1.000 sec
Sweep time: 0.02 sec
Averaging: 2
Acquisition time: 300.0072542 Hz
DATA PROCESSING
FID time constant: 0.3 Hz
FID time: 20.00 sec
Total time: 1 minute

```



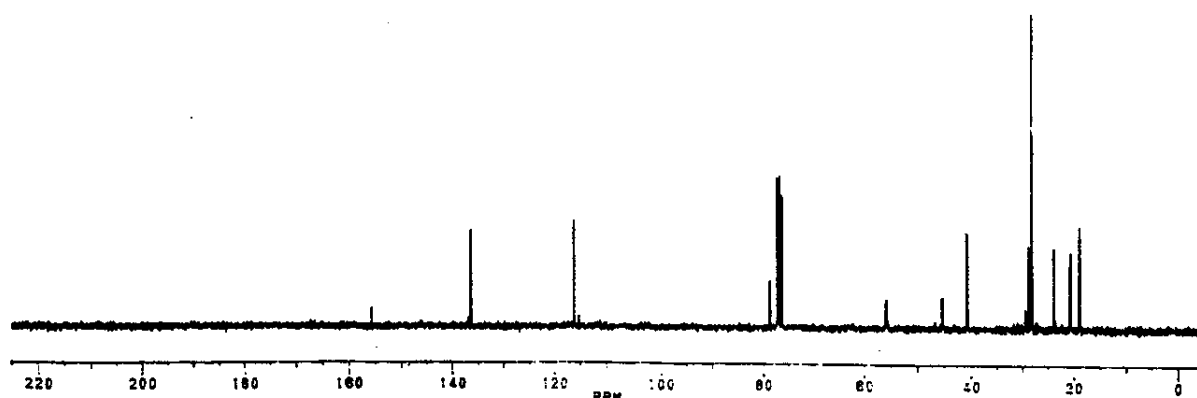
Anexos Capítulo 3
Anexo 3.12_C: ^{13}C -RMN (CDCl_3 , 75,4MHz, ta)

xiv

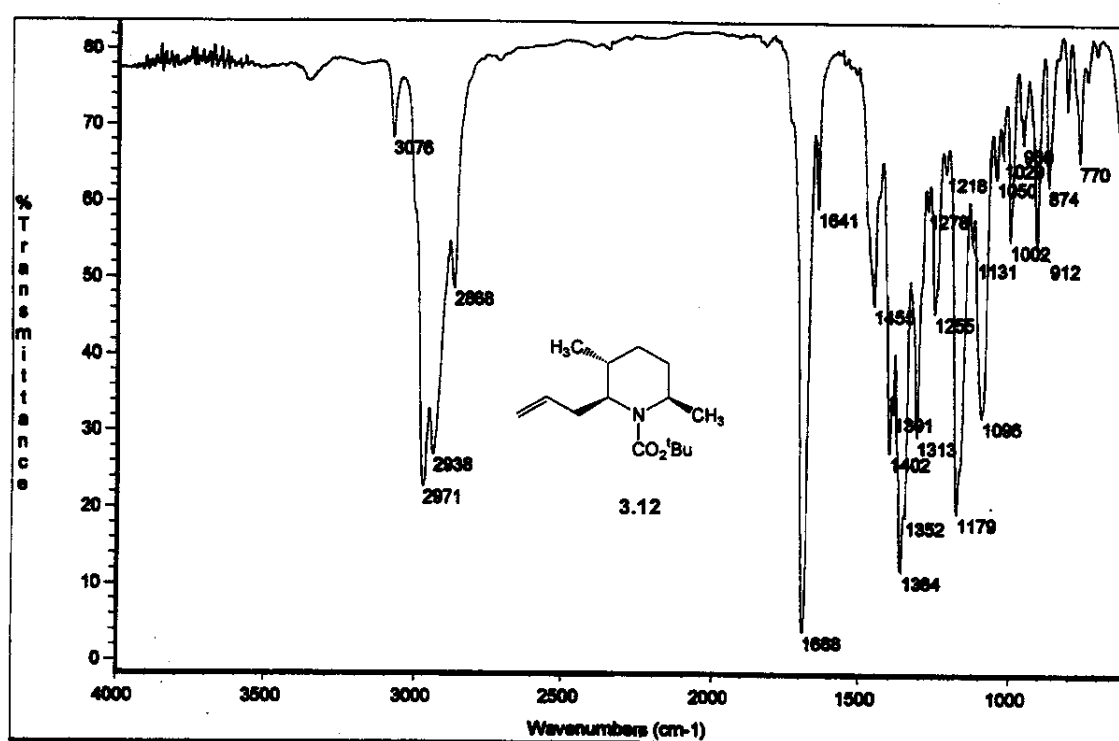


3.12

ADRIANO 043 13C/CDCL3

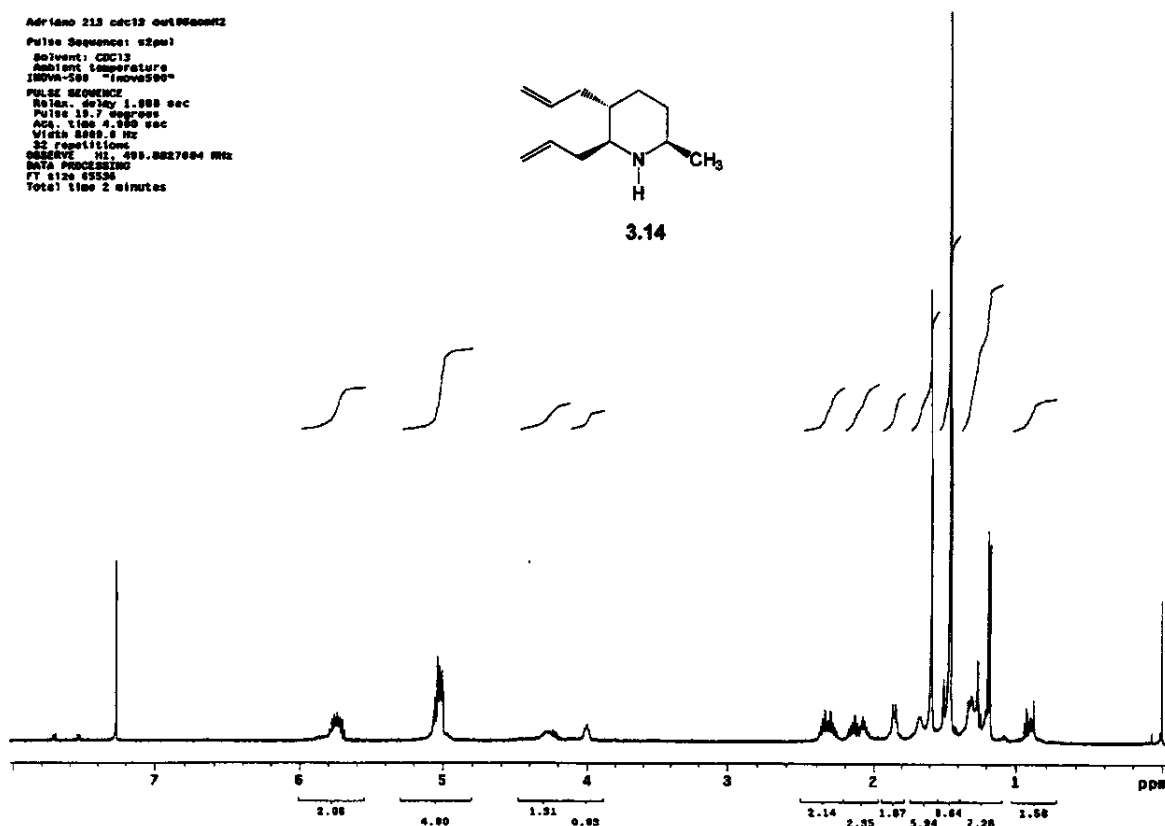
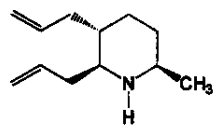


Anexo 3.12_IV: Filme em NaCl



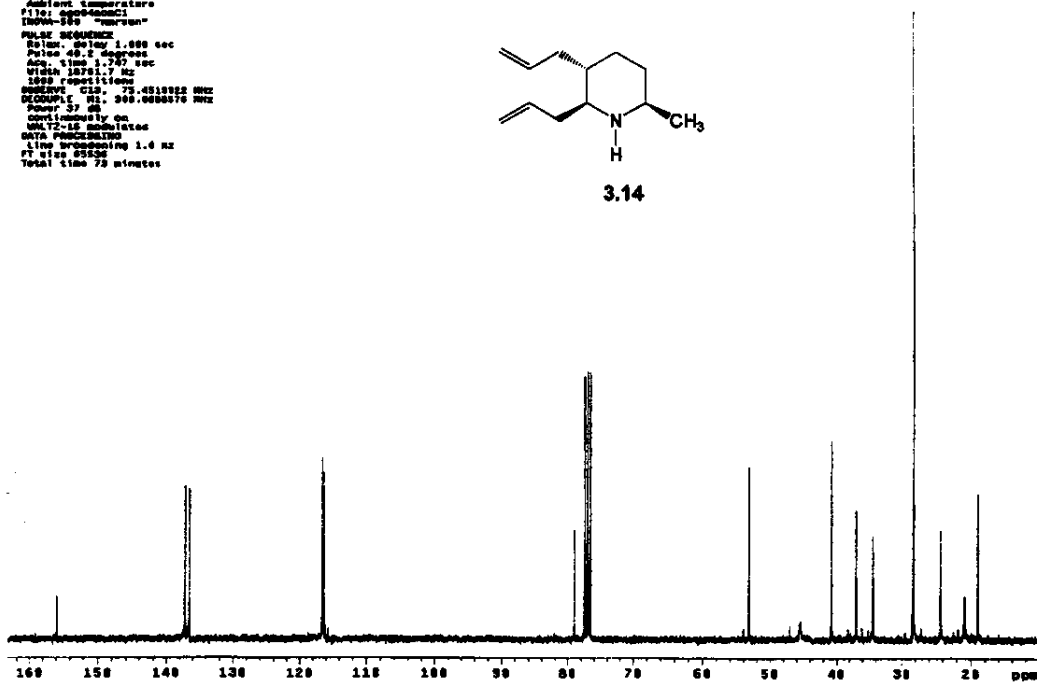
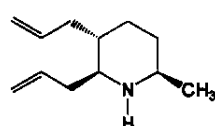
Anexos Capítulo 3
Anexo 3.14_H: ^1H -RMN (CDCl_3 , 500MHz, ta)

Adriano 213 cdc13 outPulse2
 Pulse Sequence: $\alpha_2\mu\text{l}$
 Solvent: CDCl_3
 Ambient Temperature
 INNOVA-500 "Inova500"
 PULSE SEQUENCE
 Relax: 60.0° 1.000 sec
 P1: 15.7° 1.000 sec
 ACP: 1.000 4.000 sec
 Vdata 8000.0 Hz
 32 repetitions
 Scan time: 1.000.000.000 MHz
 DATA PROCESSING
 FT size 45556
 Total time 2 minutes



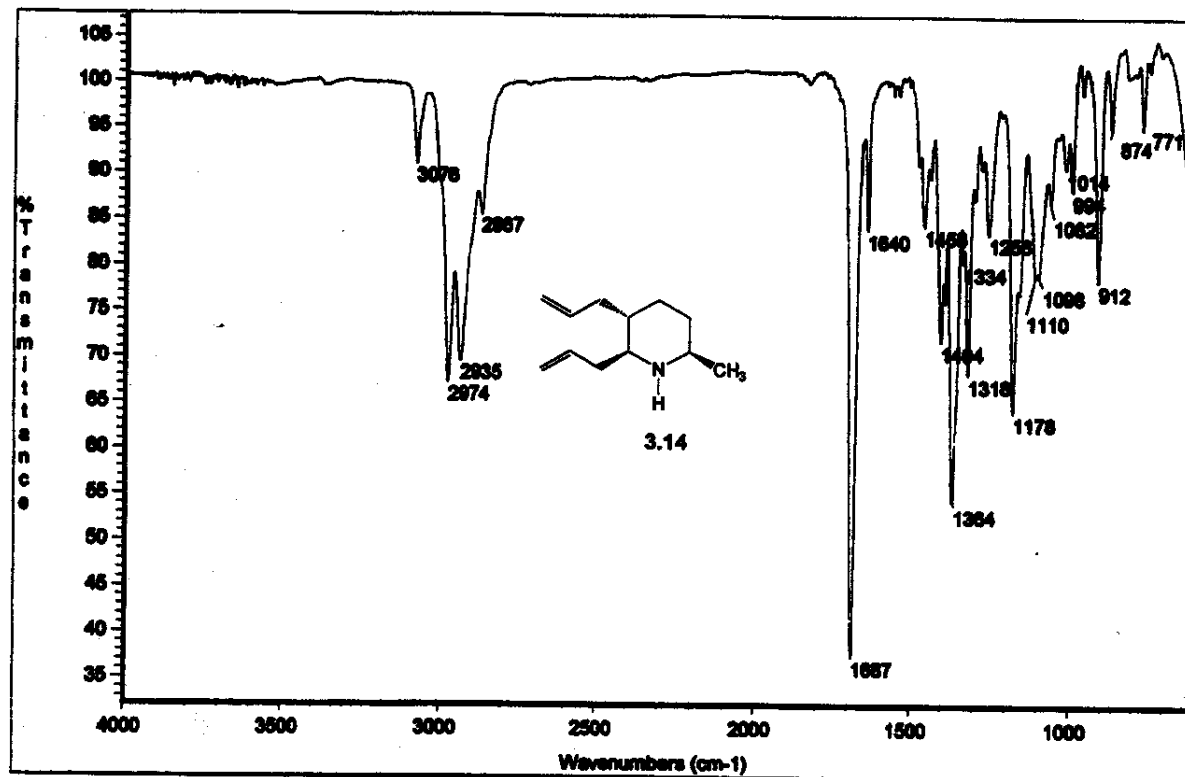
Anexo 3.14_C: ^{13}C -RMN (CDCl_3 , 75,4MHz, ta)

Adriano 1998, cdc13/tae 4964cmCl
 Pulse Sequence: $\alpha_2\mu\text{l}$
 Solvent: CDCl_3
 Ambient Temperature
 Filter: 0.002-4000
 INNOVA-500 "Inova500"
 PULSE SEQUENCE
 Relax: 60.0° 1.000 sec
 Pulse 49.2 degrees
 ACP: 1.000 1.7° sec
 Vdata 8000.0 Hz
 2000 repetitions
 Scan time: 0.003.001.000.000 MHz
 Power 37 dB
 Gated 1000000
 Center 135.000 Hz
 DATA PROCESSING
 Line broadening 1.0 Hz
 FT size 45556
 Total time 7.0 minutes



Anexos Capítulo 3
Anexo 3.14_IV: Filme em NaCl

xvi

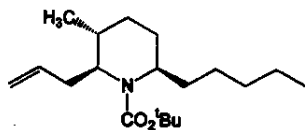


Anexo 3.16_H_50GR: ¹H-RMN (CDCl₃, 500MHz, 50°C)

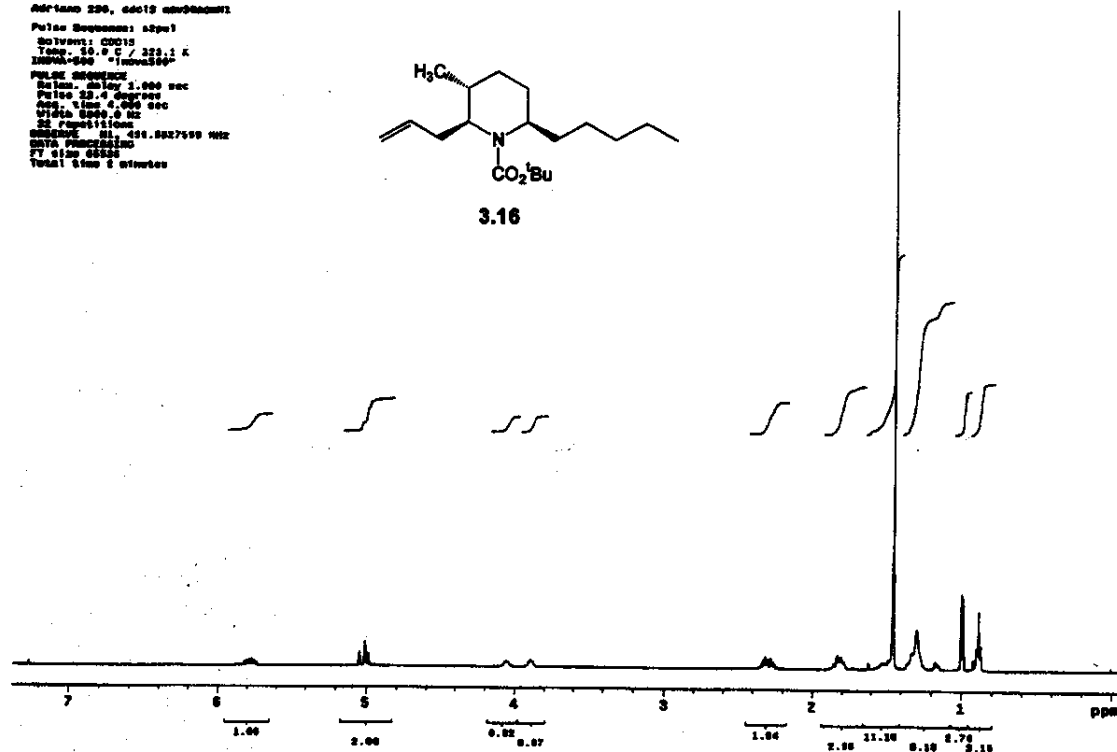
```

#D1-time 220, dcd19 command1
Pulse Sequence: ap511
Solvent: CDCl3
Temp: 50.0 C / 223.1 K
SW0=4000 "1HNUV30P"
#D1-time 220, dcd19 command2
Pulse: 90.4 degrees
SW1=4000 "1HNUV30P"
SW2=4000 "1HNUV30P"
32 repetitions
Sweep: 1.01, 499.9927599 MHz
SW1=4000 "1HNUV30P"
SW2=4000 "1HNUV30P"
Total time 2 minutes

```



3.16



Anexos Capítulo 3

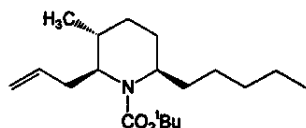
Anexo 3.16_C_50GR: ^{13}C -RMN (CDCl_3 , 125,7MHz, 50°C)

xvii

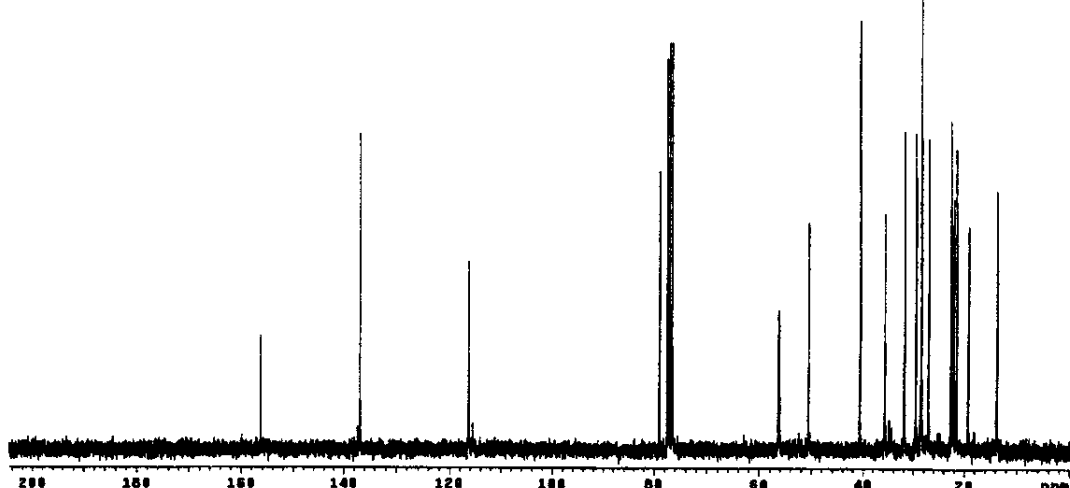
```

Adriano 290, CDCl3 T=50.00, nov27mm01
Pulse Sequences: w501
Solvent: CDCl3
Temp.: 50.00, 500.1 K
Filter: nov27mm01
INTEG:256 "nozero"
PULGE SEQUENCE
Sweep width 1,000 sec
Pulse 90.0 degrees
Acq. time 1.747 sec
W1 125.7 MHz
3272 acquisitions
RESERVE 75.015847 MHz
DECOUPLE 75.0000379 Hz
PFG90 50
CONTINUITY on
WALTZ-16 simulated
DPPM 1000000000
Line broadening 1.0 Hz
FT size 85536
Total time 40 minutes

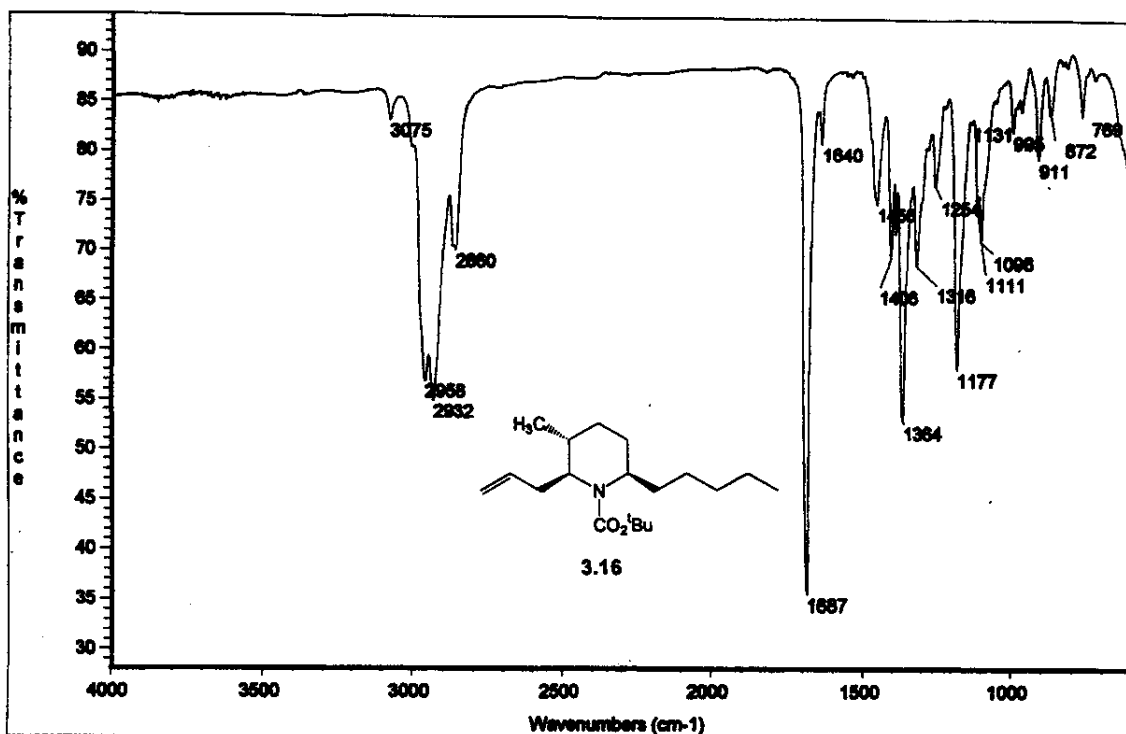
```



3.16



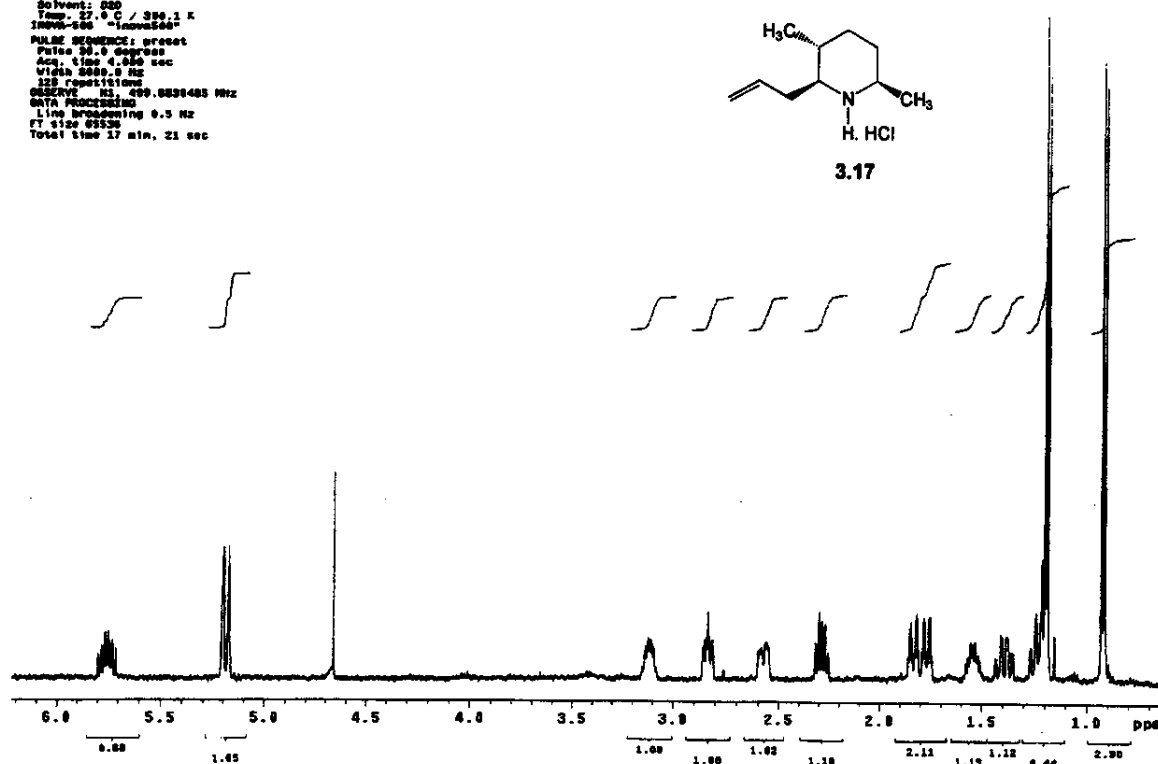
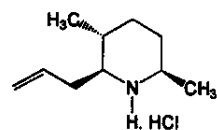
Anexo 3.16_IV: Filme em NaCl



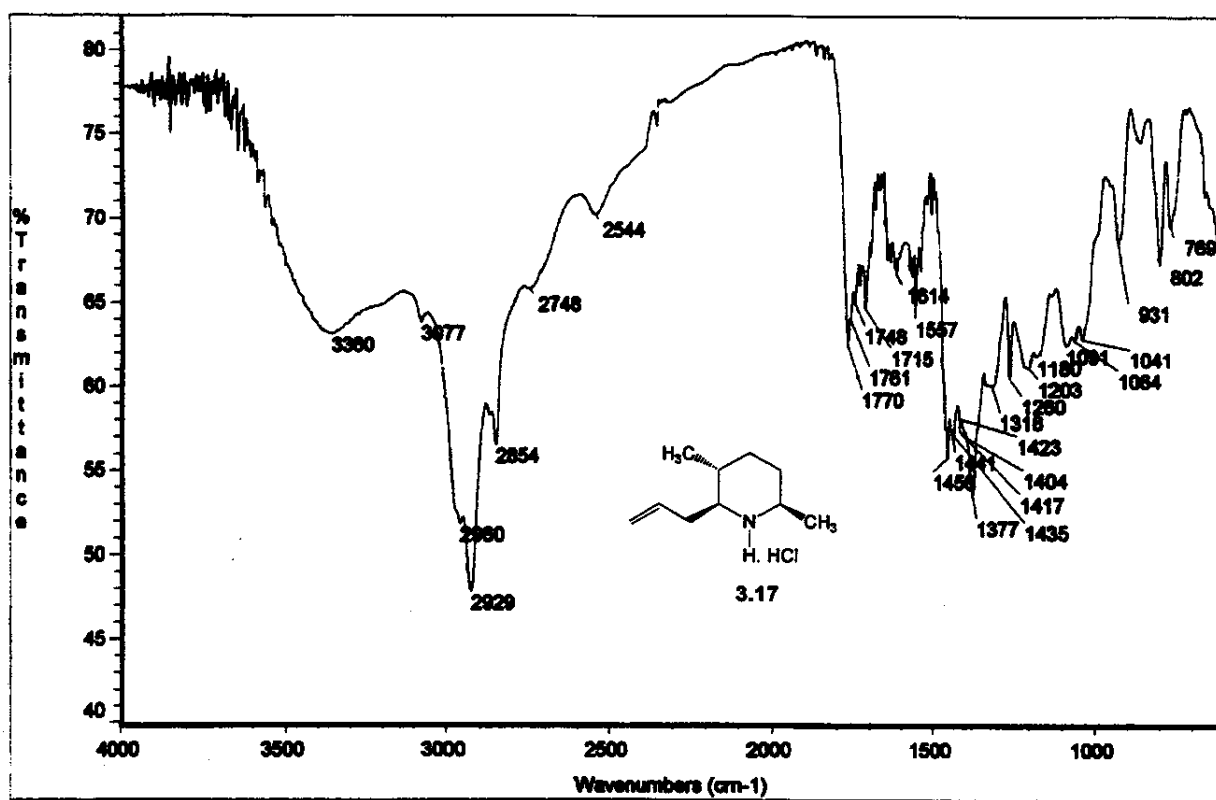
Anexos Capítulo 3
Anexo 3.17_H: ^1H -RMN (D_2O , 500MHz, ta)

xviii

```
Adriano 2906 Jul192006
Pulse Sequence: presat
Solvent: D2O
Temp: 27.0 C / 300.1 K
SW90=500 "Inves500"
PULSE SEQUENCE: presat
Pulse: 90.0 degrees
TD: 65536 points
WIDENING: 0.5 Hz
128 scans
DATA PROCESSING: 0.0030485 Hz
LINE BROADENING: 0.5 Hz
FT size: 65536
Total time 17 min, 21 sec
```



Anexo 3.17_IV: Filme em NaCl



Anexos Capítulo 3

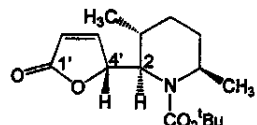
Anexo 3.18_H: ^1H -RMN (CDCl_3 , 300MHz, ta)

xix

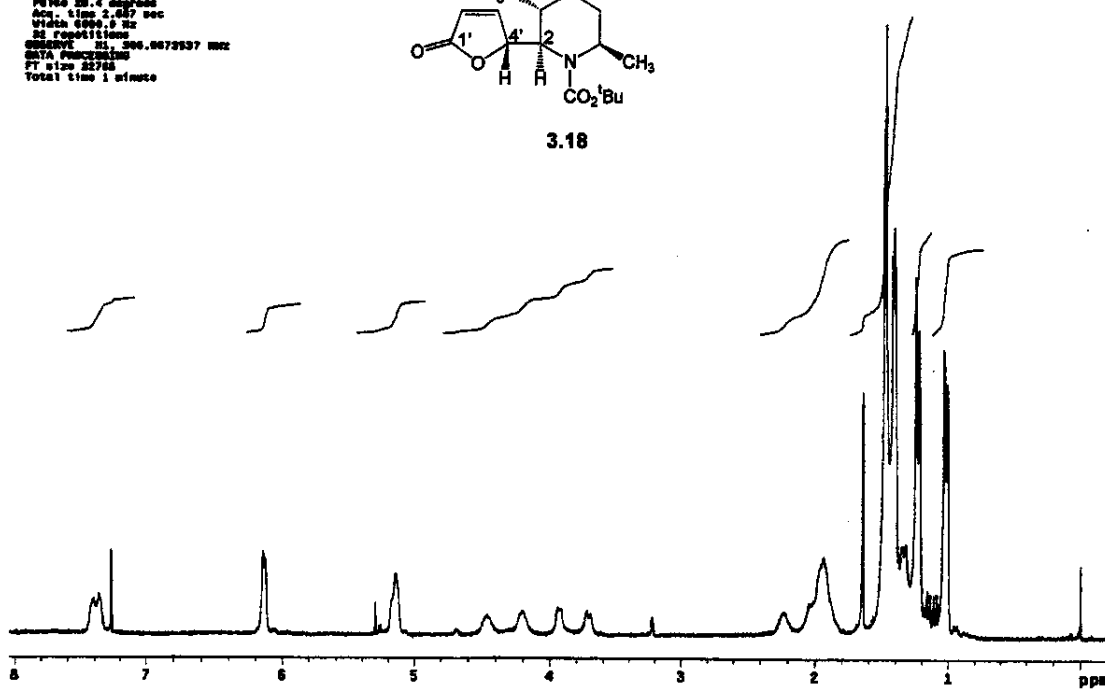
```

Ardmore 200-T, edc13 acquisition
PUT300 Sequence: abca1
  Software: CIRCUIT
  Ambient temperature: 
  FID(s): acquisition
  IRMM-266: "unseen"
  Pulse sequence:
    RF1: 90deg, 4.000 microseconds
    Acq. time: 2.057 sec
    Width: 6000.0 Hz
    SR: 0.001000000
    NEX: 1
    Total time: 2.057 sec
    NMR1: 300.0072537 Hz
    GATA: PREPROCESSING
    FID size: 32768
    Total time: 1 minute

```



3.18



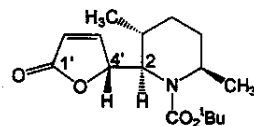
Anexo 3.18_NOESY-1D_TA: NOESY-1D: Irradiação δ 5,30 (CDCl₃, 500MHz, ta)

```

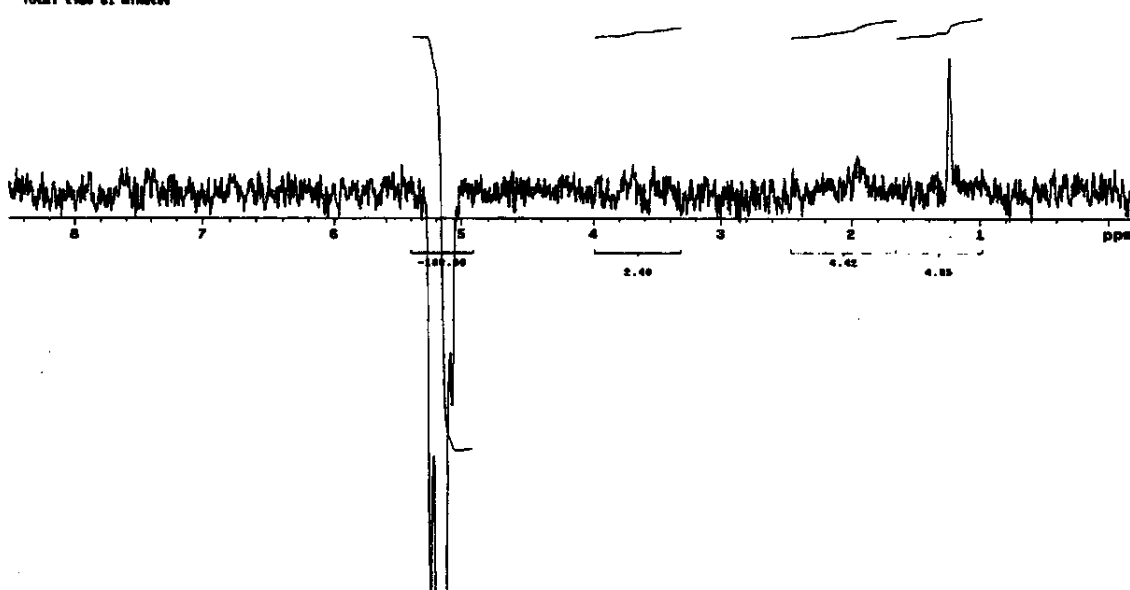
 Adriano "200-1" cdc19 sethjk@msn.com

Pulse Sequence: WEDV1D
Solvent: CHCl3
Polarization: 27 C 2.261 K
Filter: 1000-2000 Hz
TE/ETR: 500 "average"
Pulse Sequence: WEDV1D
RF1: 50.001 1.300 sec
RF2: 90 1.300 sec
Mixing: 0.500 sec
Acc. time: 4.000 sec
NEX: 1
7000 repetitions
Data width: 11.268 0.027564 MHz
Line broadening: 3.0 Hz
FT size: 8544c

```



3.18



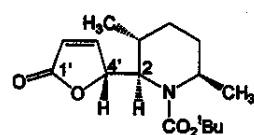
Anexos Capítulo 3
Anexo 3.18_C: ^{13}C -RMN (CDCl_3 , 75,4MHz, 55°C)

xx

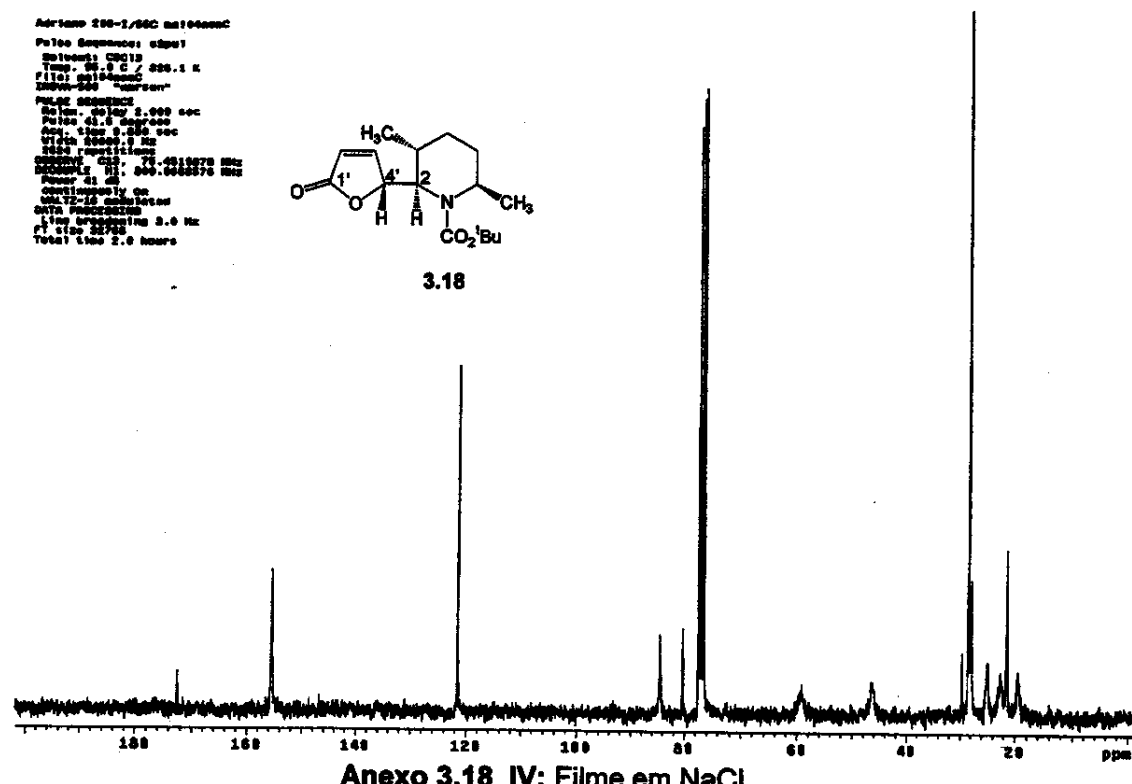
```

Adriano 200-1/50C netrodenoC
Pulse Sequence: cpmrgf
Solvent: CDCl3
Temp: 55.0 C / 255.1 K
File: adrianoC
Acquisition parameters:
    Pulse width: 10.000 sec
    Pulse delay: 2.000 sec
    Pulse time: 2.000 sec
    WIFC: 1.000 sec
    Total repetitions: 1
    Scan time: 2.000 sec
    Frequency: 75.4312675 MHz
    FID start: 400.0000000 Hz
    FID stop: 300.0000000 Hz
    FID step: 20.0000000 Hz
    Line broadening: 2.0 Hz
    RT size: 32768
    Total time: 2.0 hours

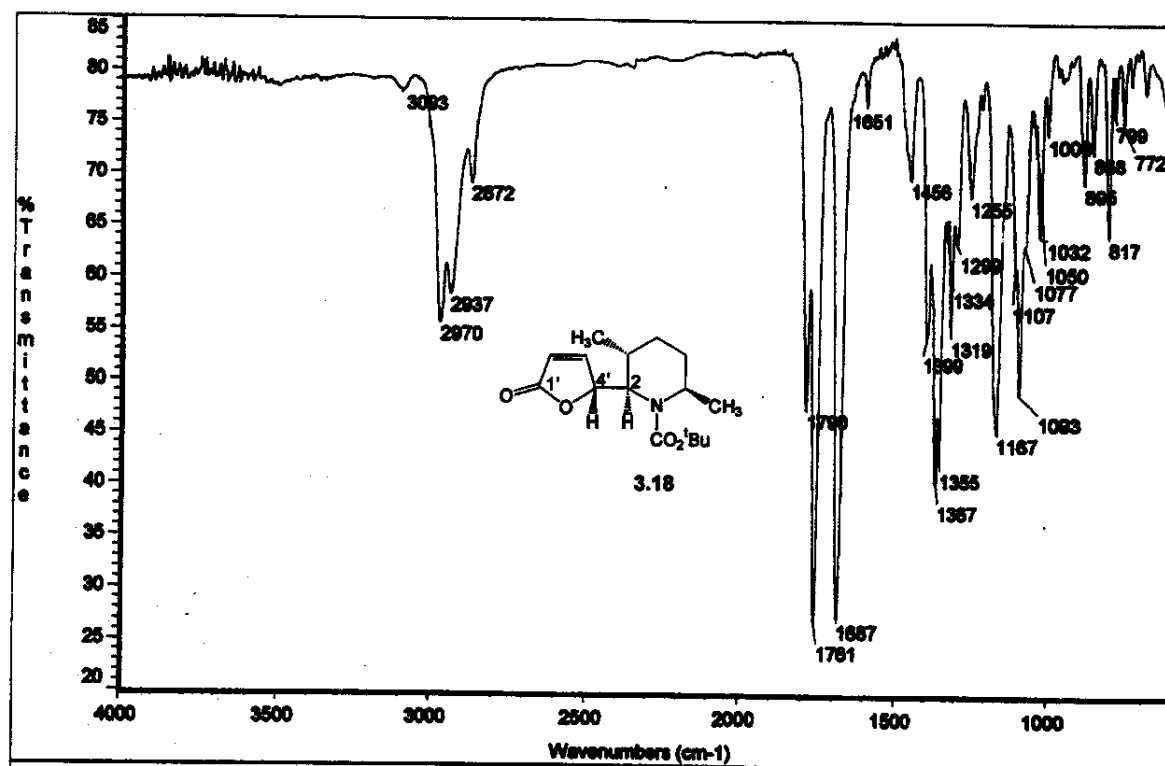
```



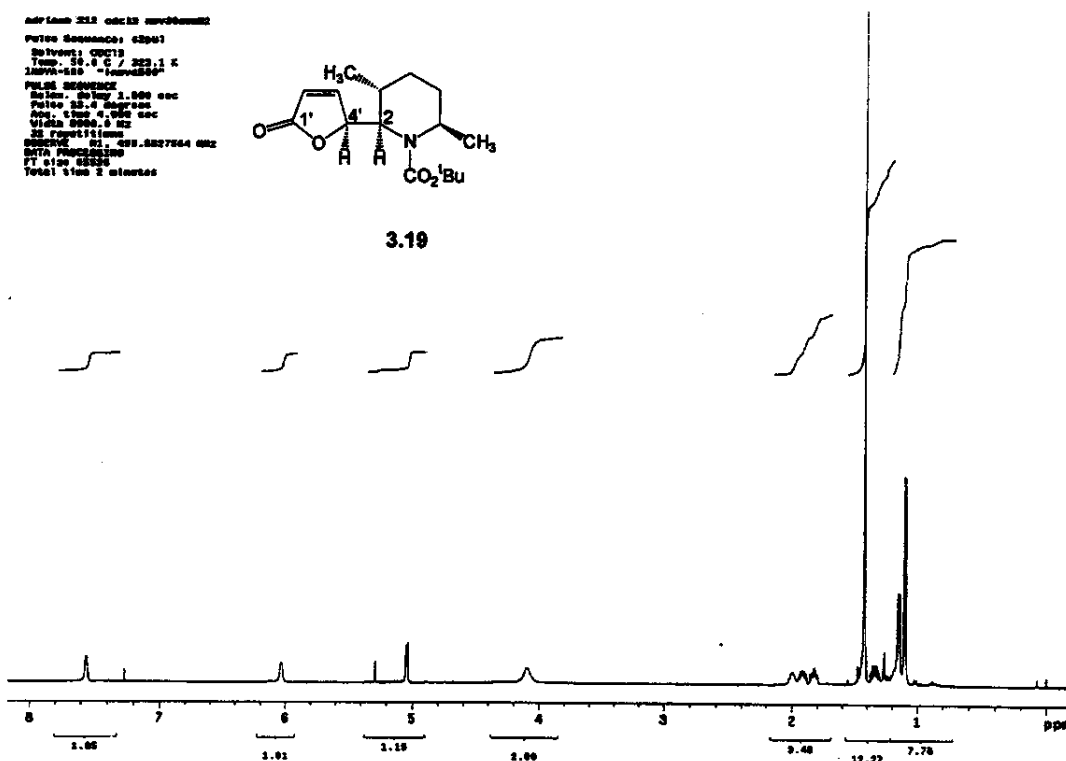
3.18



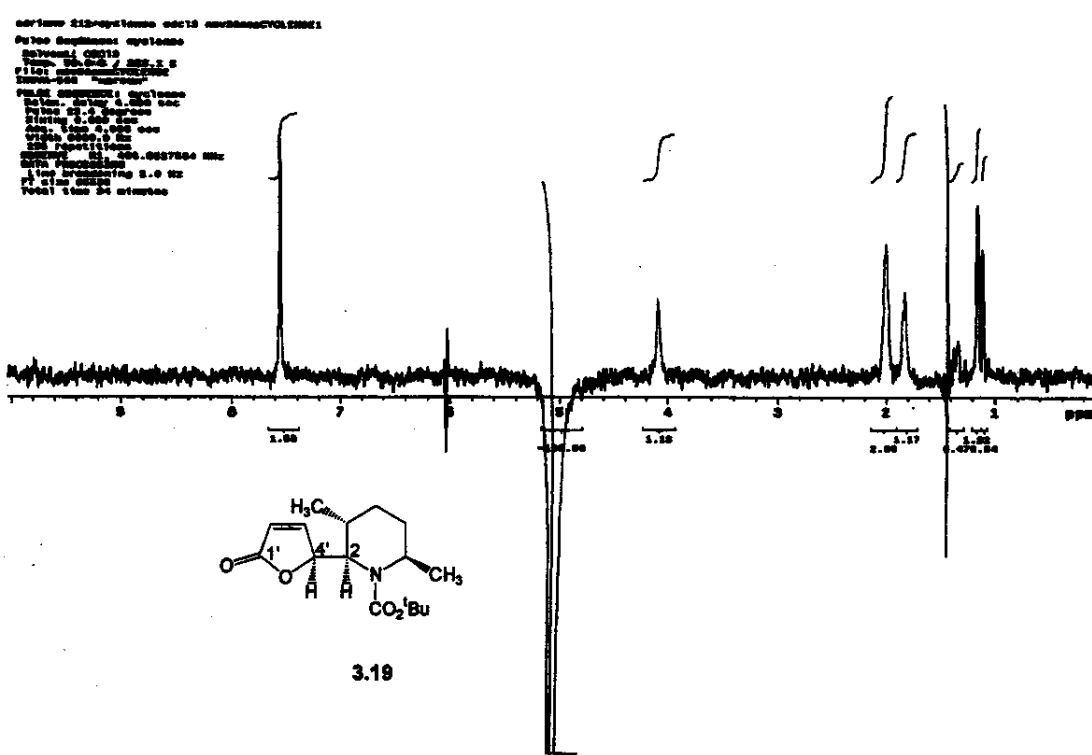
Anexo 3.18_IV: Filme em NaCl



Anexos Capítulo 3
Anexo 3.19_H_50GR: ^1H -RMN (CDCl_3 , 500MHz, 50°C)

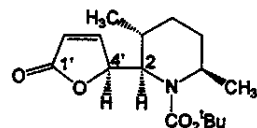


Anexo 3.19_CYCLENDE_50GR: nOe: Irradiação δ 5,04 (CDCl_3 , 500MHz, 50°C)

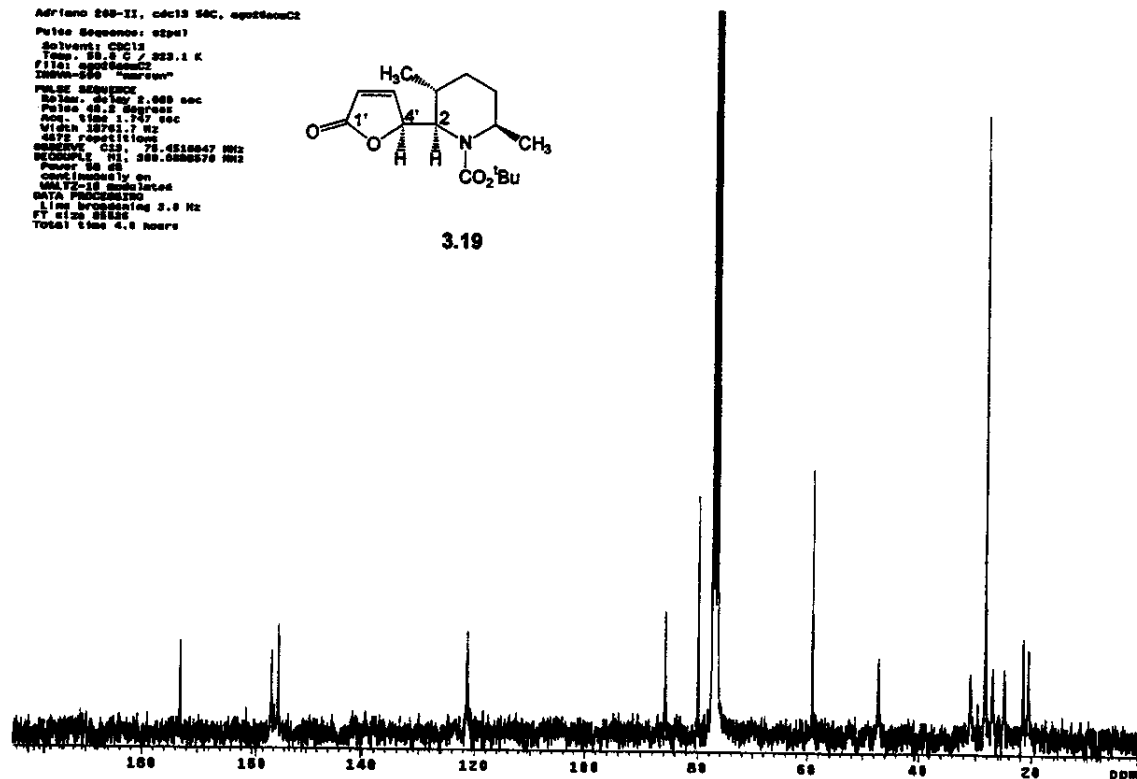


Anexos Capítulo 3
Anexo 3.19_C_50GR: ^{13}C -RMN (CDCl_3 , 75,4MHz, 50°C)

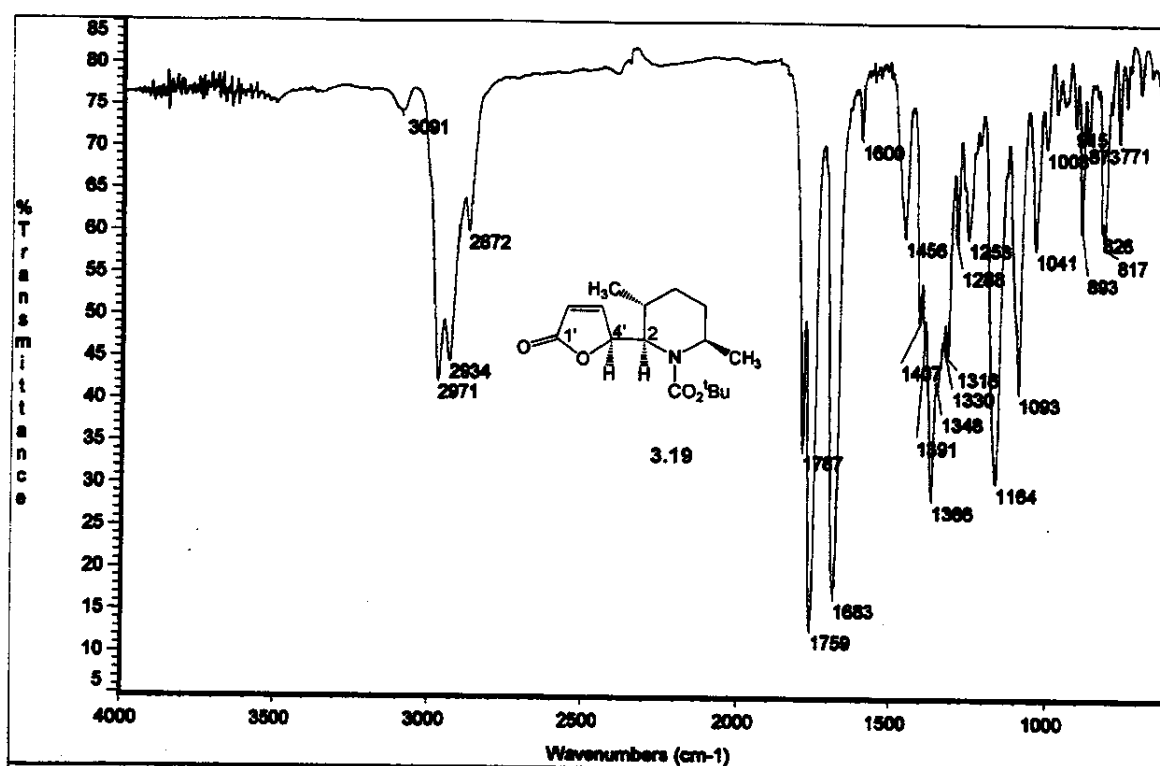
Adriano 200-II, cdcl3 50c, apodmsoe2
 Pulse Sequence: apod2
 Solvent: CDCl₃
 Temp.: 50.0 C 223.1 K
 Filter: 100 Hz
 IRWID=500 "medium"
 Pulse sequence:
 Pulse width: 2.000 sec
 Pulse delay: 1 sec
 Proc. time: 1.747 sec
 Width: 18761.7 Hz
 Acquisition time: 1.747 sec
 Frequency: 75.4518647 MHz
 Decouple: 135.3898670 MHz
 Power: 100%
 Continuously on
 MFTZ-16 modulated
 DATA PROCESSING
 1D FT processing 2.0 Hz
 FT size: 512K
 Total time: 4.0 hours



3.19



Anexo 3.19_IV: Filme em NaCl



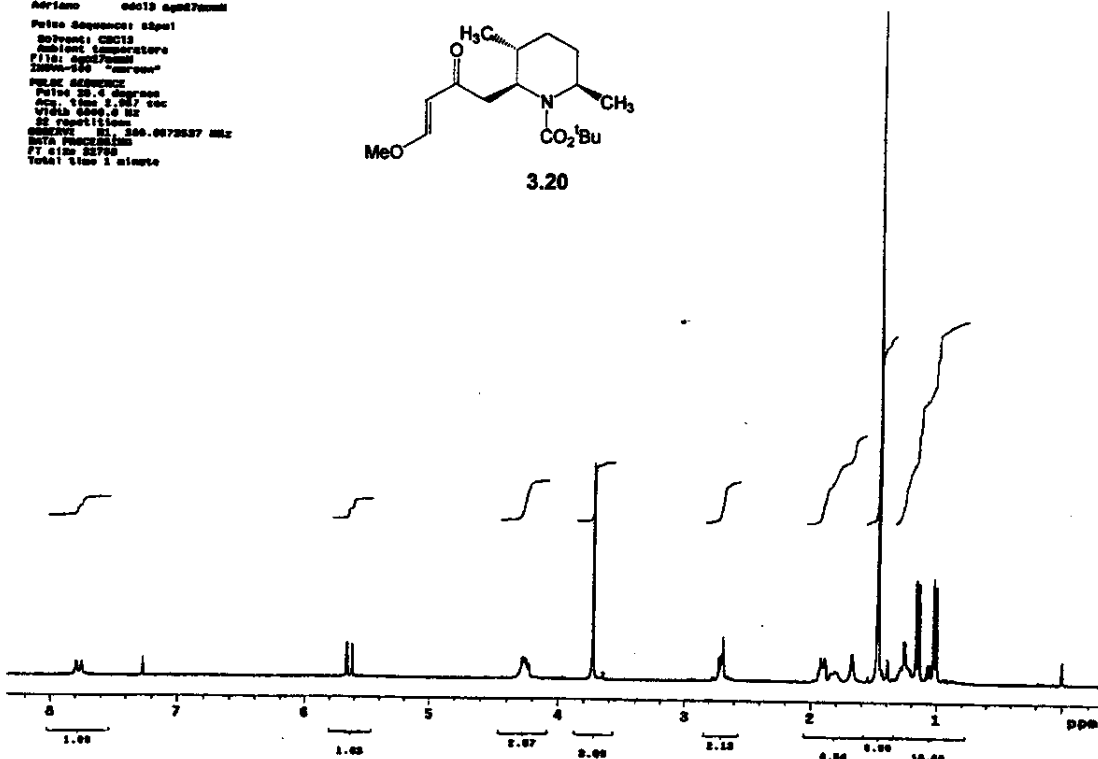
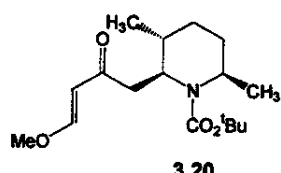
Anexos Capítulo 3
Anexo 3.20_H: ^1H -RMN (CDCl_3 , 300MHz, ta)

xxiii

```

Adriano      cdc13.set300mz
Pulse Sequence: zgppr1
Solvent: CDCl3
Reference: TMS
SWPPW=500 "versus"
PULS SEQUENCE
Pulse 90.0 degrees
Pulse Delay 1.000 sec
Vddia 32000.00
32 repetitions
OBSERVE: F1, 300.0073537 MHz
DECOMPL: M1, 400.0083537 MHz
LINE BROADENING: 1.0 Hz
FT size: 8192
Total time: 1 minute

```

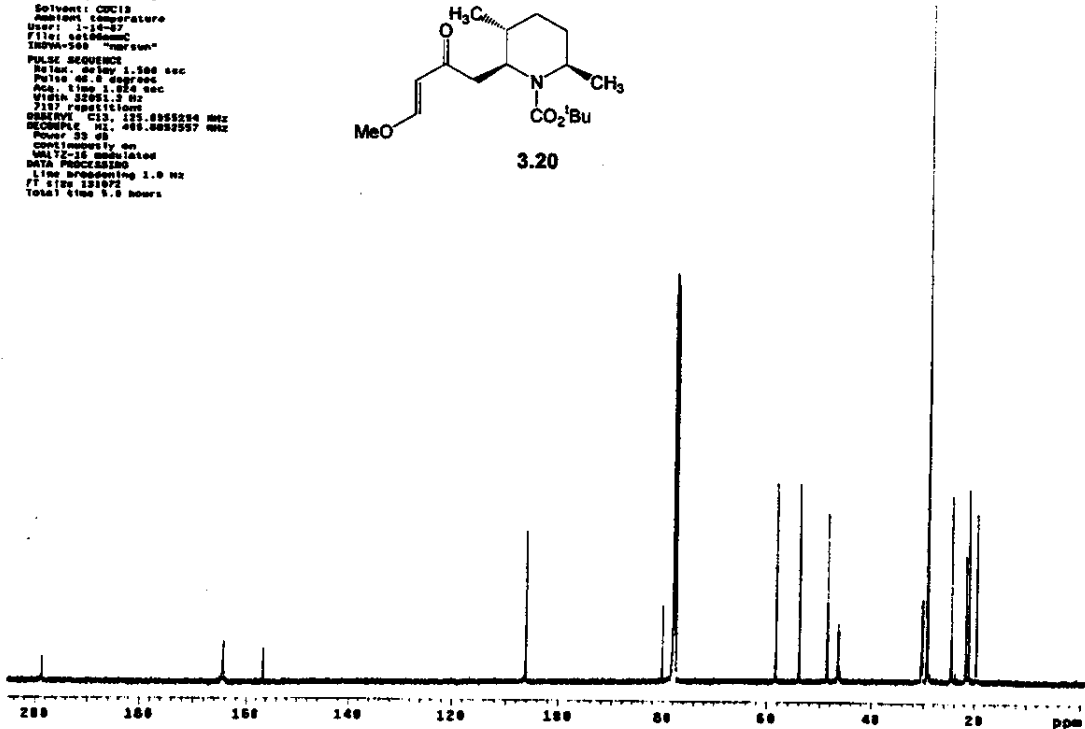
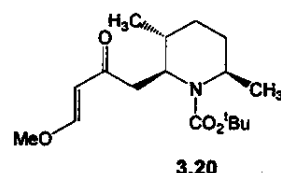


Anexo 3.20_C: ^{13}C -RMN (CDCl_3 , 125,7MHz, ta)

```

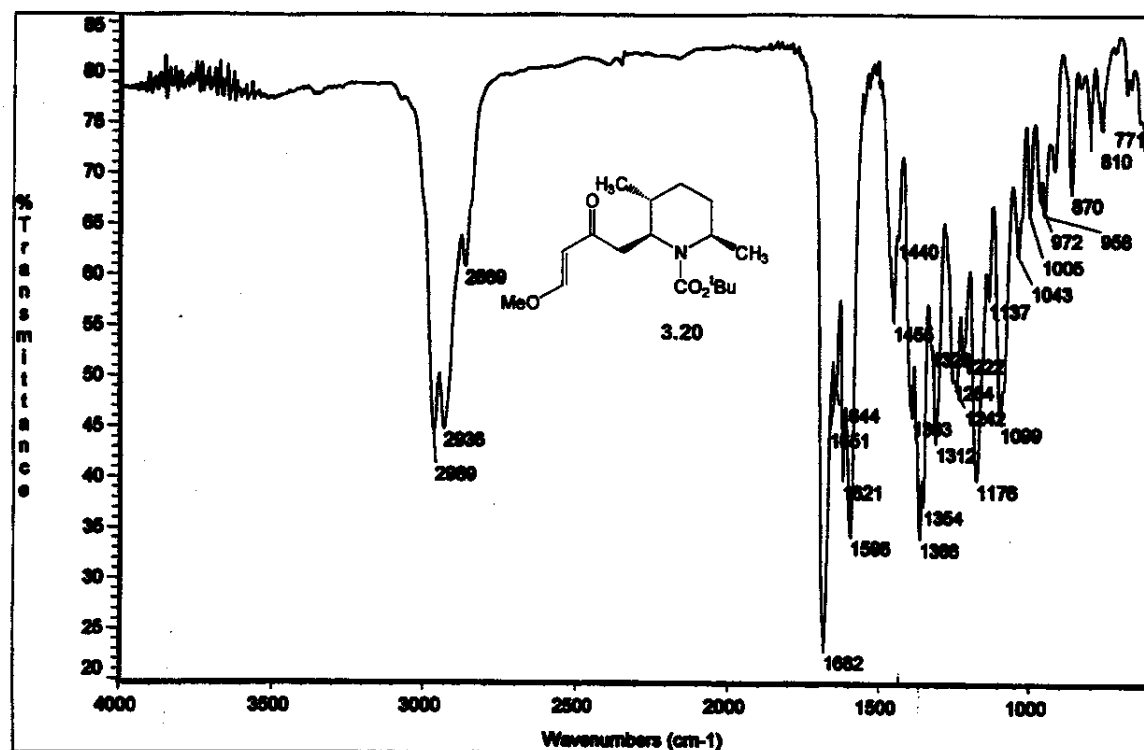
Adriano      cdc13.set300mz
Pulse Sequence: zgppr1
Solvent: CDCl3
Reference: TMS
SWPPW=500 "versus"
PULS SEQUENCE
Pulse 90.0 degrees
Pulse Delay 1.000 sec
Vddia 32000.00
32 repetitions
OBSERVE: C13, 125.0055254 MHz
DECOMPL: M1, 165.0055257 MHz
LINE BROADENING: 1.0 Hz
CONTINUITY: on
WALTZ-16 modulated
SWPPW=500 "versus"
LINE BROADENING: 1.0 Hz
FT size: 131072
Total time: 1.0 hours

```

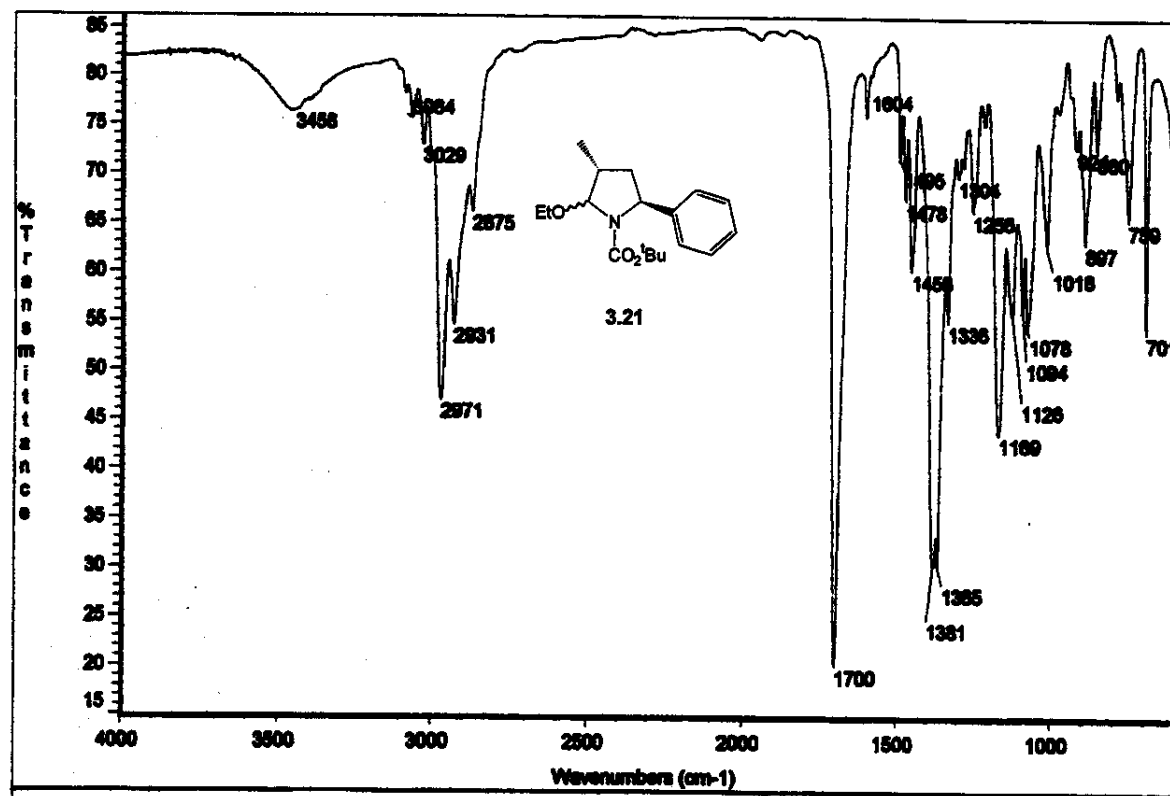


Anexos Capítulo 3
Anexo 3.20_IV: Filme em NaCl

xxiv

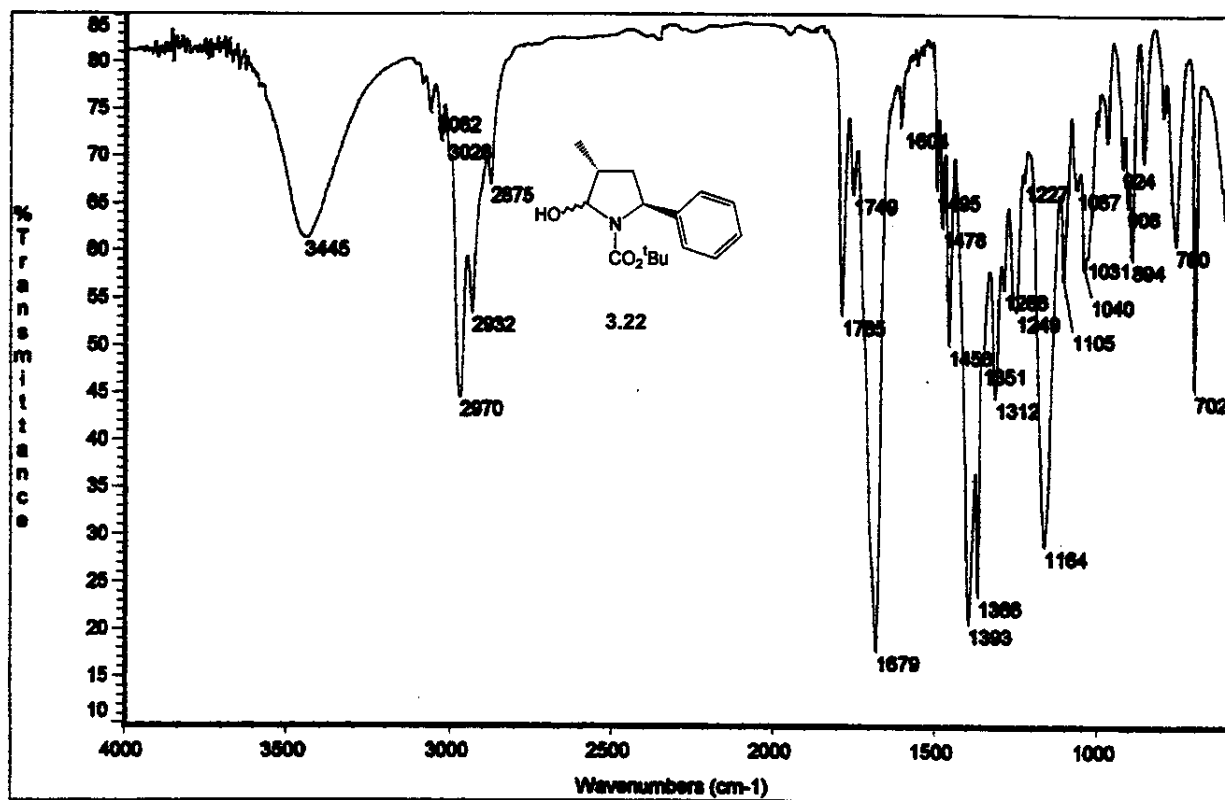


Anexo 3.21_IV: Filme em NaCl



Anexos Capítulo 3
Anexo 3.22_IV: Filme em NaCl

xxv

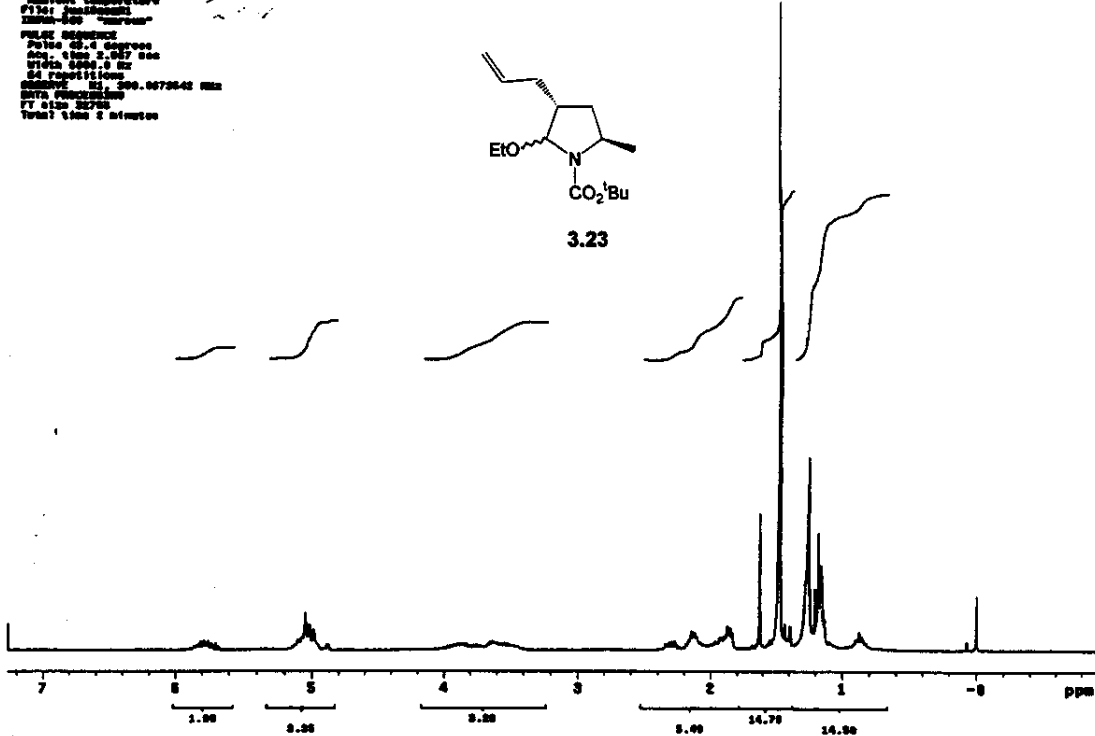


Anexo 3.23_H: ¹H-RMN (CDCl₃, 300MHz, ta)

```

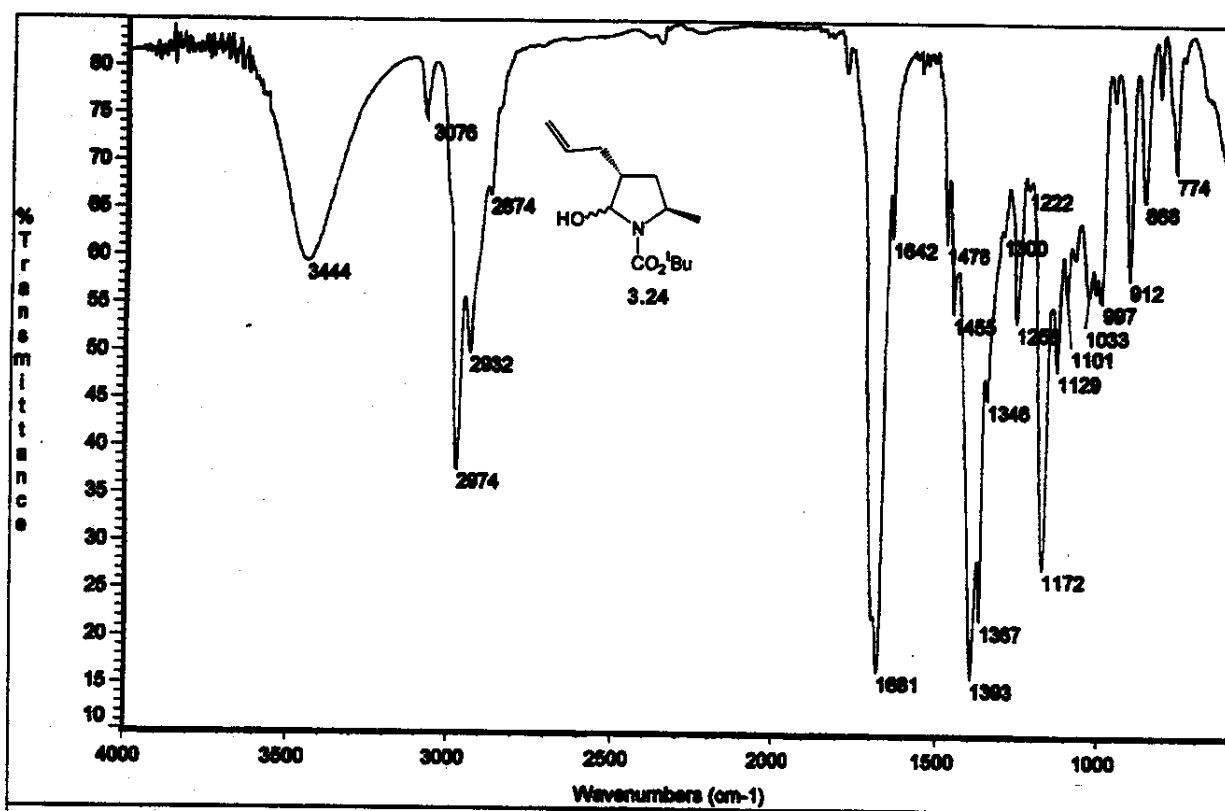
ariono 184 de-2, cdcl3/tms jantzen
Polar Segments: abcd
Solvent: CDCl3
Acquisition temperature: 298.15 K
Integration type: "area"
Pulse sequence:
Pulse 0.1 degrees
Acc. Time 2.007 sec
W1 10.0000 Hz
64 Scans
AcqTime: 12.000000 sec
RT: 298.15 K
T1: 500.00 sec
T2: 10.00 sec
T3: 1.00 sec

```



Anexos Capítulo 3
Anexo 3.24_IV: Filme em NaCl

xxvi

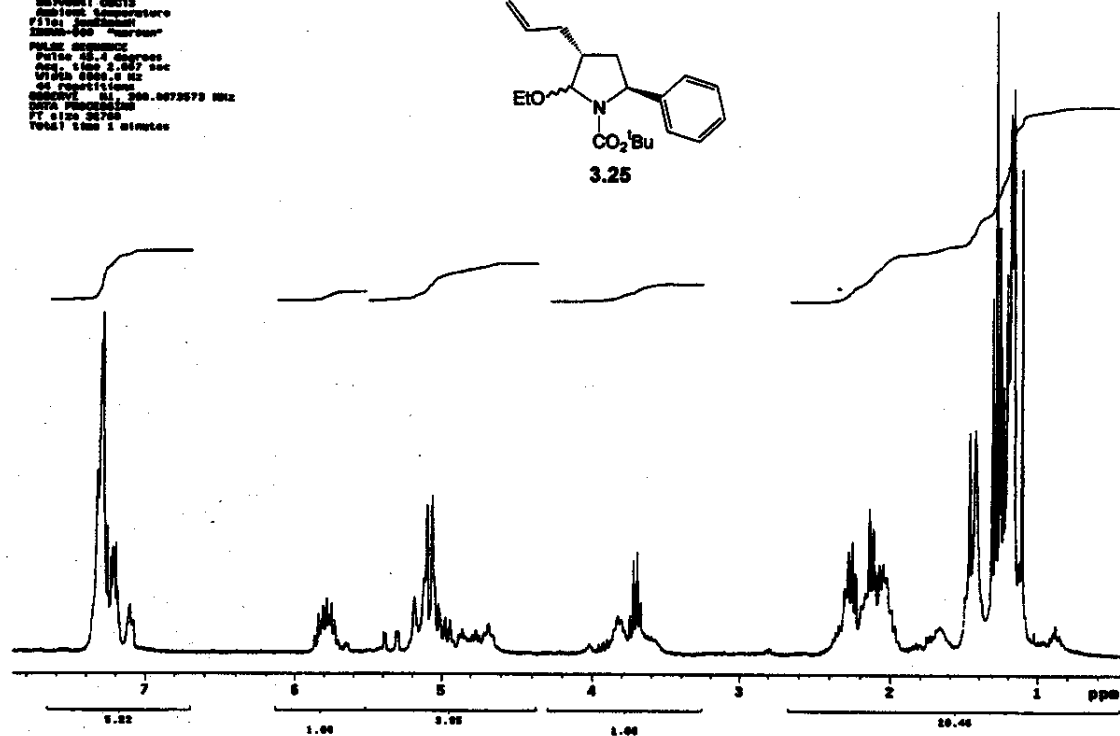
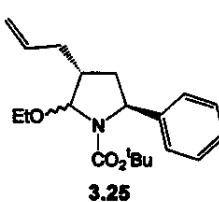


Anexo 3.25_H: ^1H -RMN (CDCl_3 , 300MHz, ta)

```

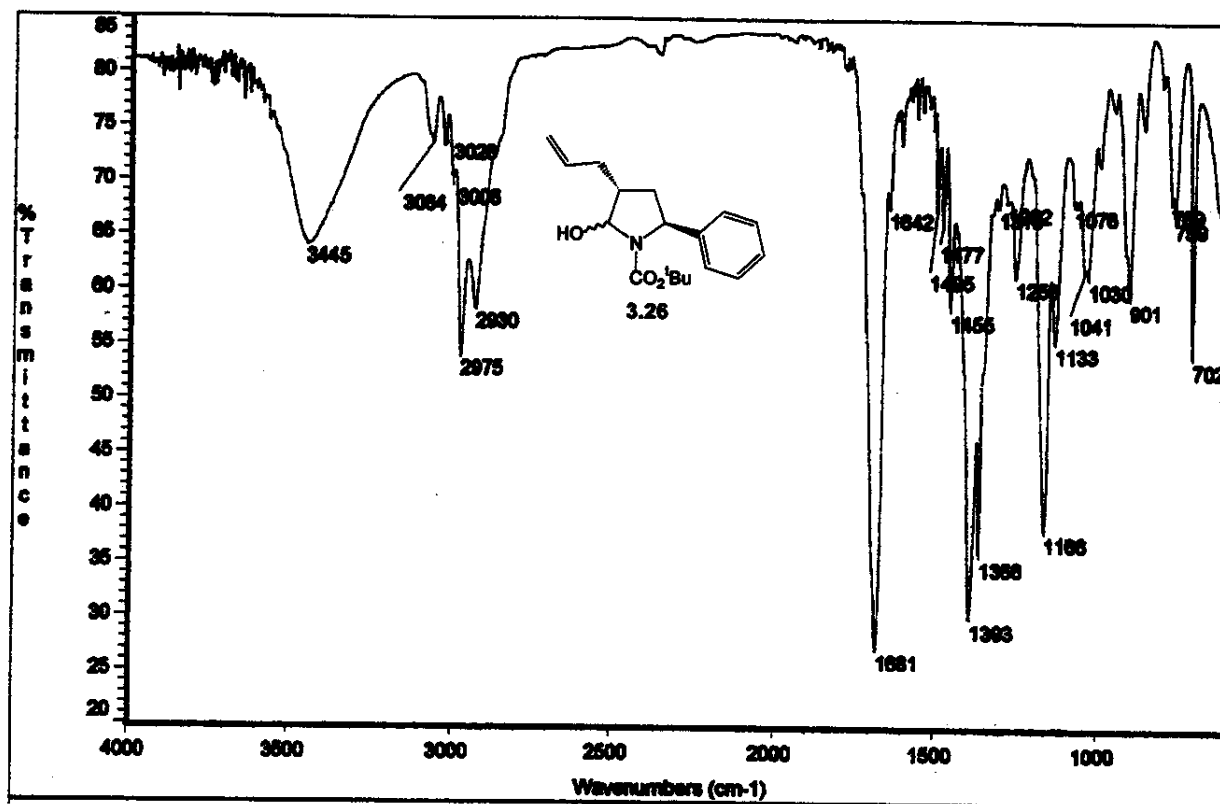
Aptero A440-2 300/CDCl3 30000000
Pulse sequence: apod1
SOLVENT: CDCl3
TELESCOPING: 1
SWEEP SPEED: 10000
SWEEP-BIN: 10000
PULSE SEQUENCE:
Pulse: 90°, 1.0000 usec
Offset: 6000.0 Hz
SC: 32768.0 Hz
64 repetitions
Data points: 32768.00000000
DATA PROCESSING:
PT: 0.120 0.0700
Total time: 1 minutes

```

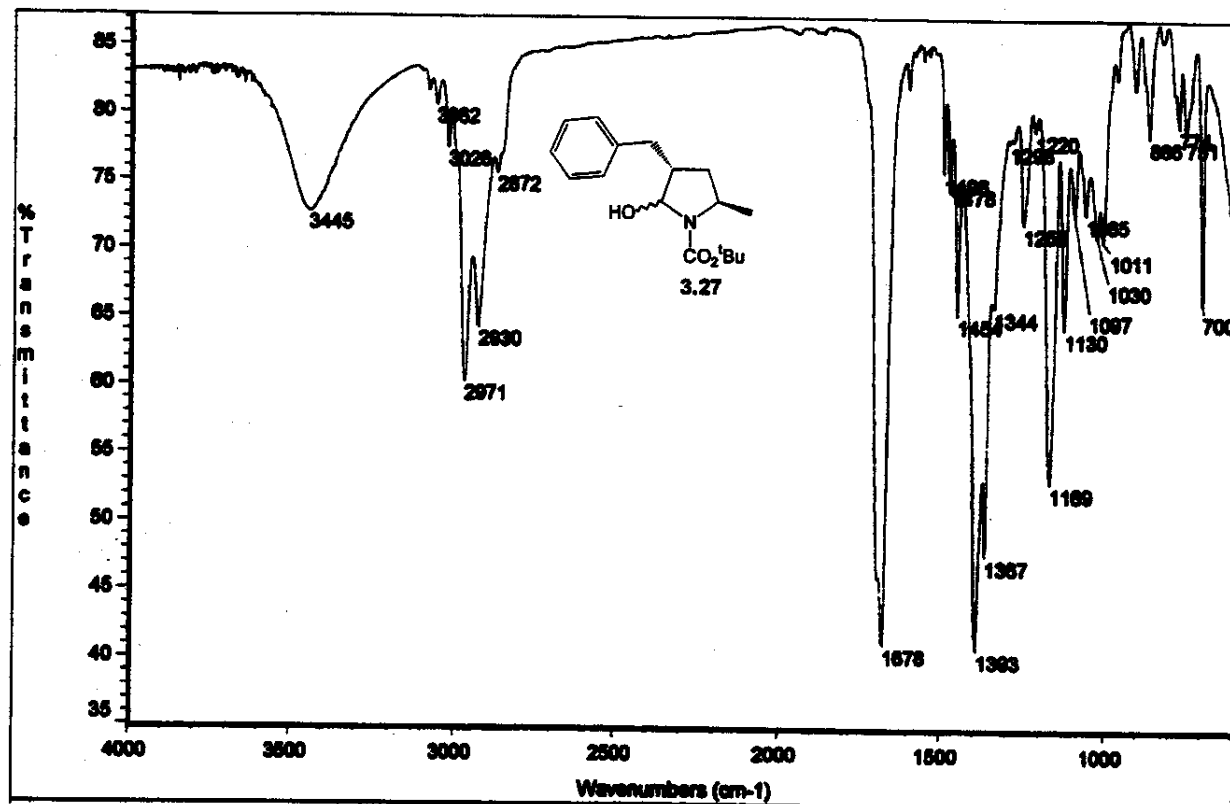


Anexos Capítulo 3
Anexo 3.26_IV: Filme em NaCl

xxvii

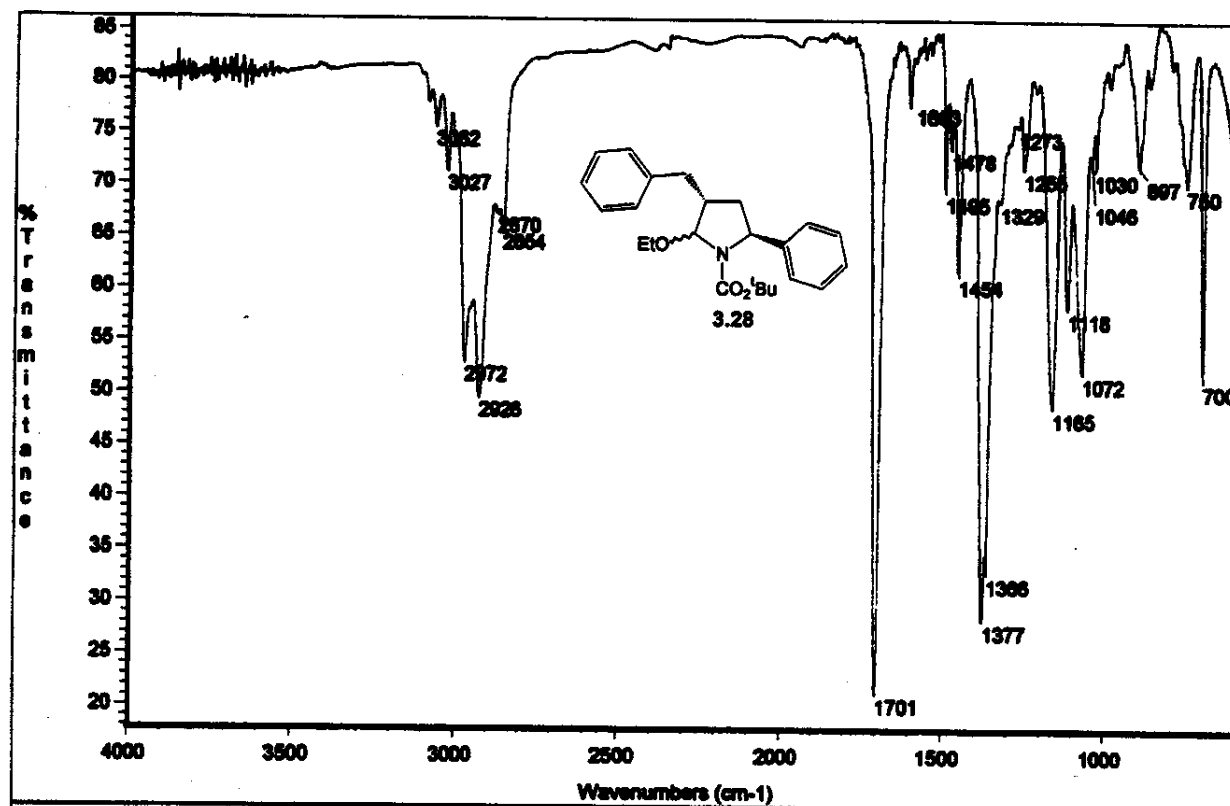


Anexo 3.27_IV: Filme em NaCl

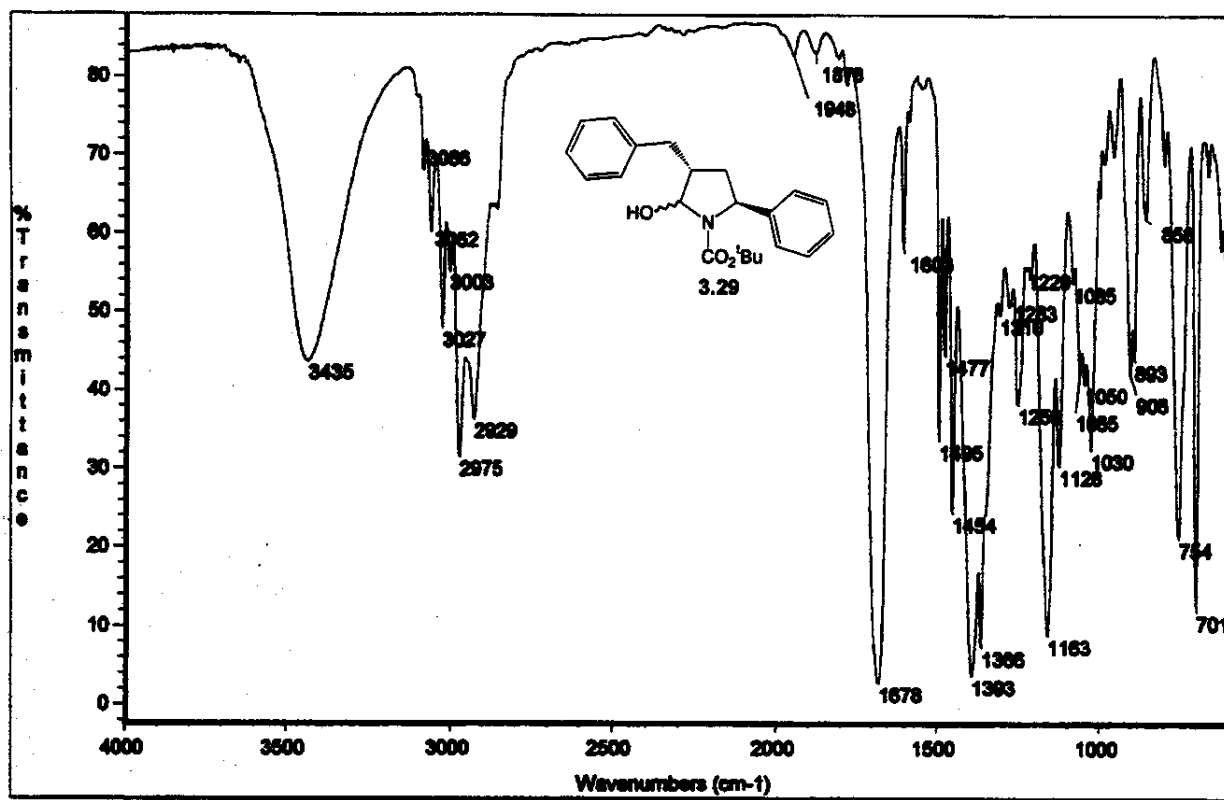


Anexos Capítulo 3
Anexo 3.28_IV: Filme em NaCl

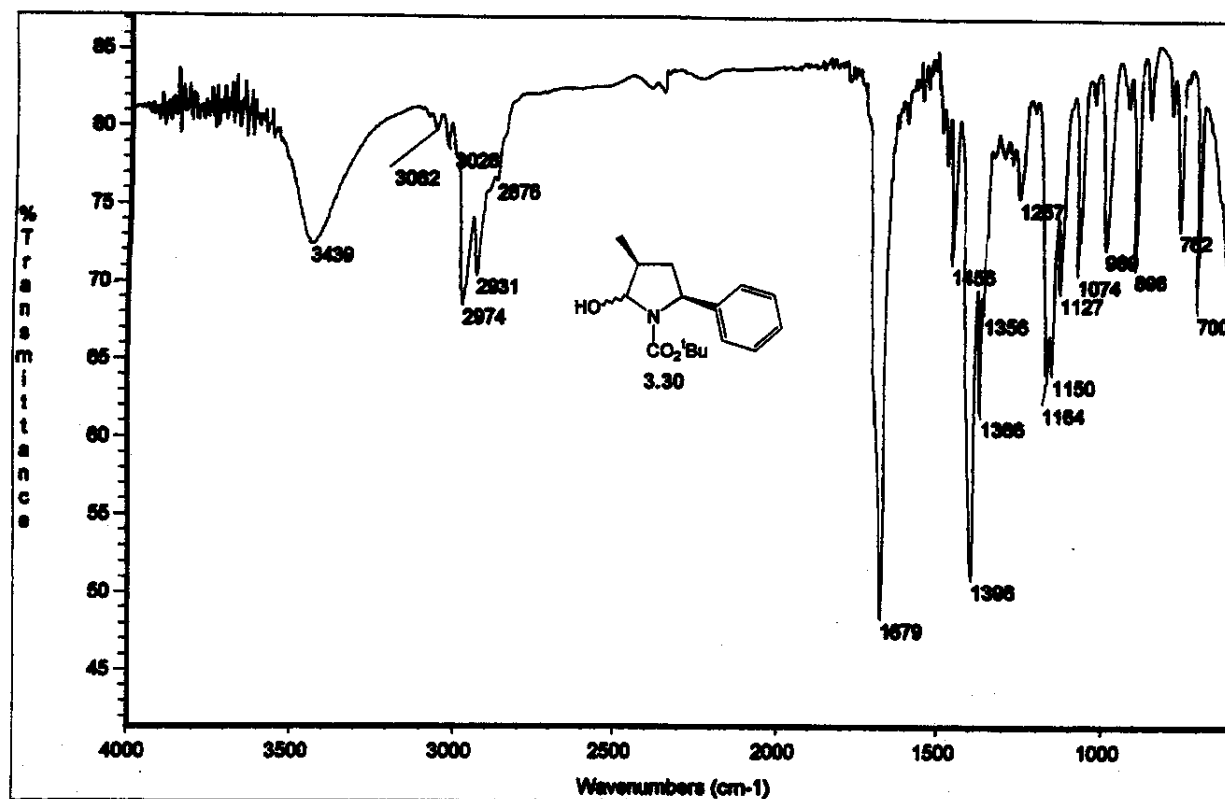
xxviii



Anexo 3.29_IV: Filme em NaCl



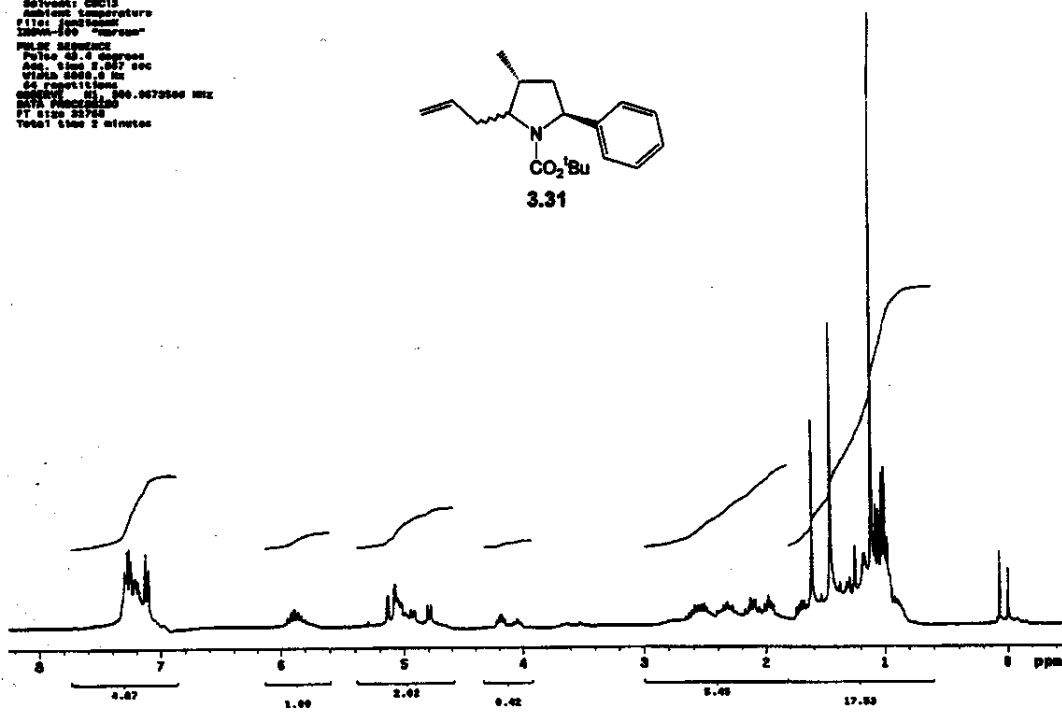
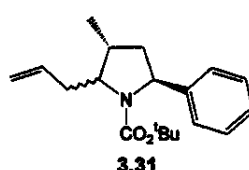
Anexo 3.30_IV: Filme em NaCl

Anexo 3.31_H: ^1H -RMN (CDCl_3 , 300MHz, ta)

```

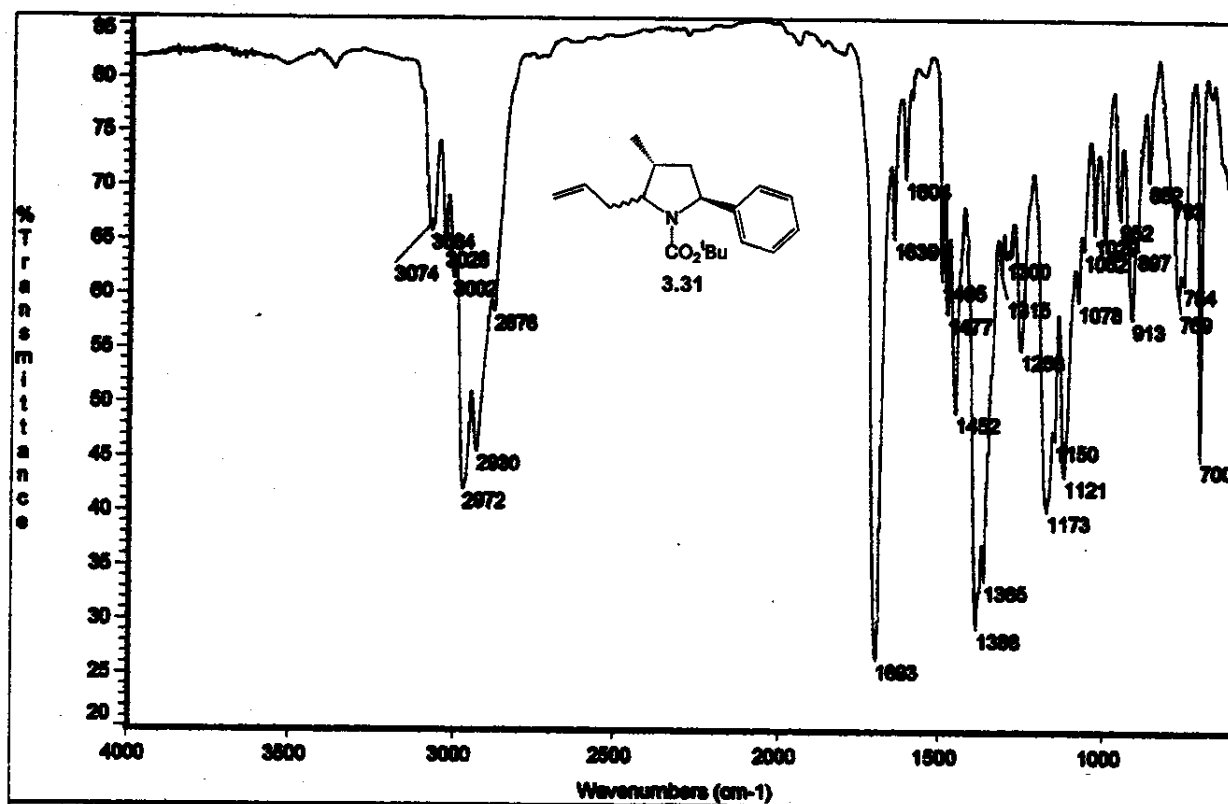
editnum 180-6, cdcl3/tms Jun2200ff
Pulse Sequence: 8sp1
SOLVENT: CDCl3
Acquisition Parameters
P1=10us, 90°
TDRW=100 "normal"
PR=1.0, 128 scans
TD=65536 points
Ave. Time 1.000 sec
W1=6000.0 Hz
G1=100.0 Hz
QF=1.0000000000000000 MHz
SWF=1000000
RT 8120 23700
Total 1 min 2 minutes

```



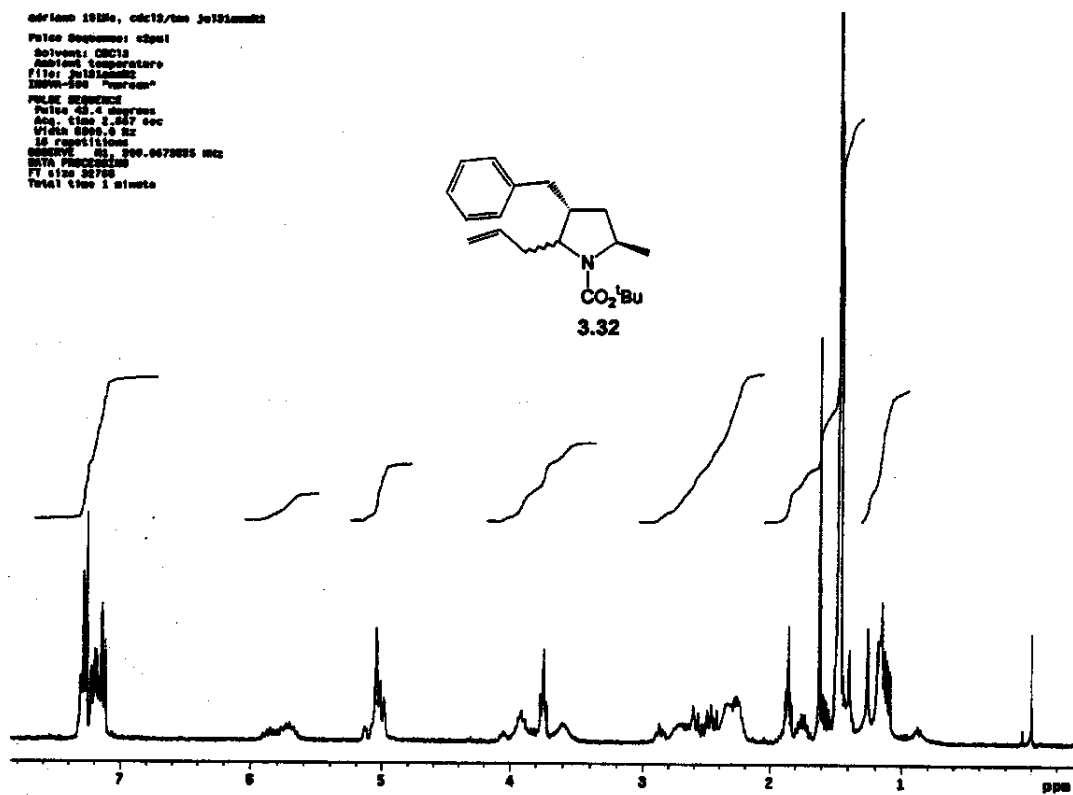
Anexos Capítulo 3
Anexo 3.31_IV: Filme em NaCl

xxx



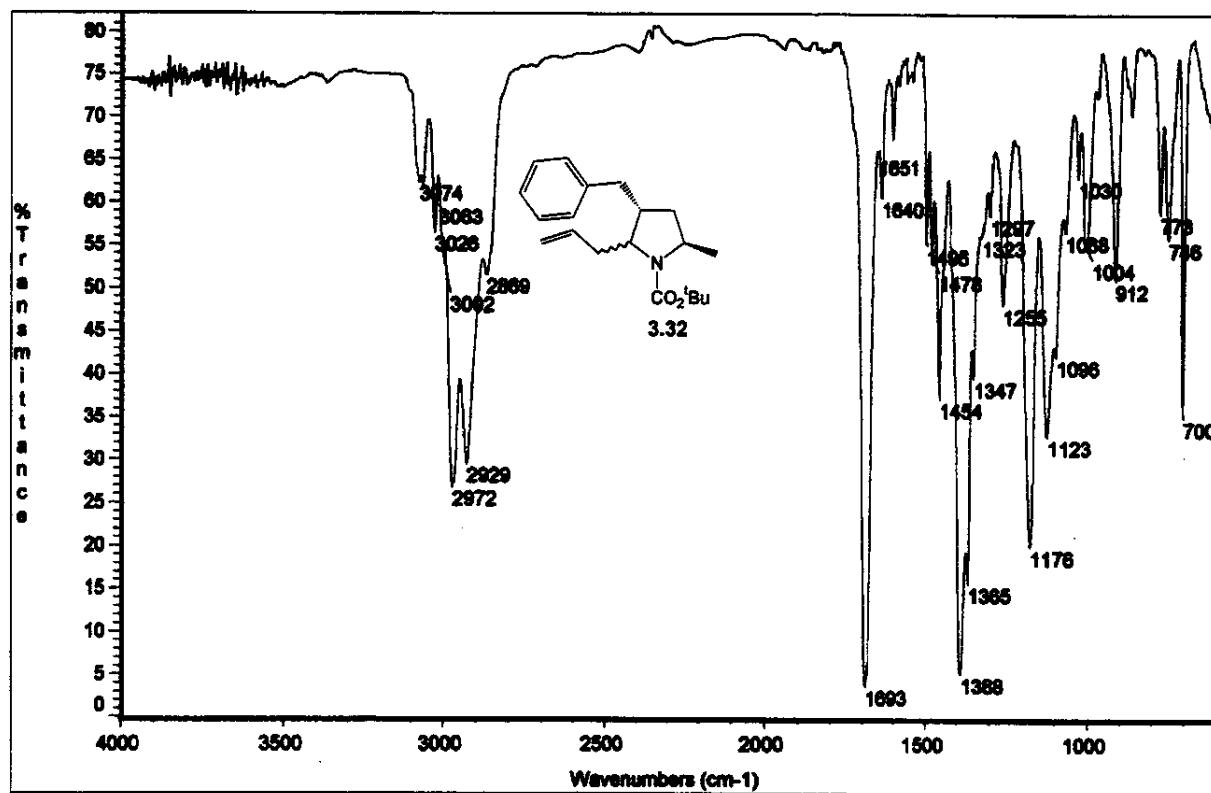
Anexo 3.32_H: ^1H -RMN (CDCl_3 , 300MHz, ta)

aditivo 10Mle, cdcl3/tms 3e13seconds
Pulse Suppression: 128pi
Solvent: CDCl₃
Acquisition temperature:
Filter: 10000.0Hz
SW0=300 "zeroes"
SW1=10000.0Hz
Integration: 0.001
Pulse 90°: 1.670msec
Acc. time: 2.047 sec
Width 6400.0 Hz
16 repetitions
Sweep time: 300.0073000 sec
DATA PROCESSING:
FT size: 32768
Total time: 1 minute



Anexos Capítulo 3
Anexo 3.32_IV: Filme em NaCl

xxxi

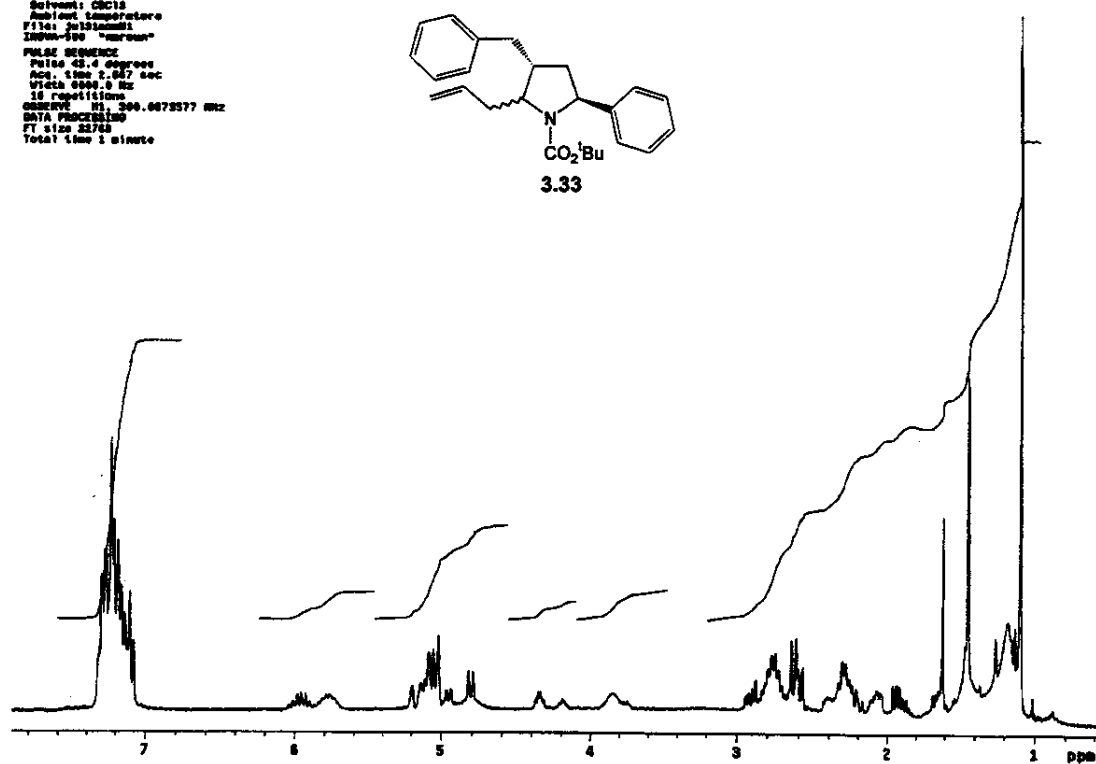


Anexo 3.33_H: ^1H -RMN (CDCl_3 , 300MHz, ta)

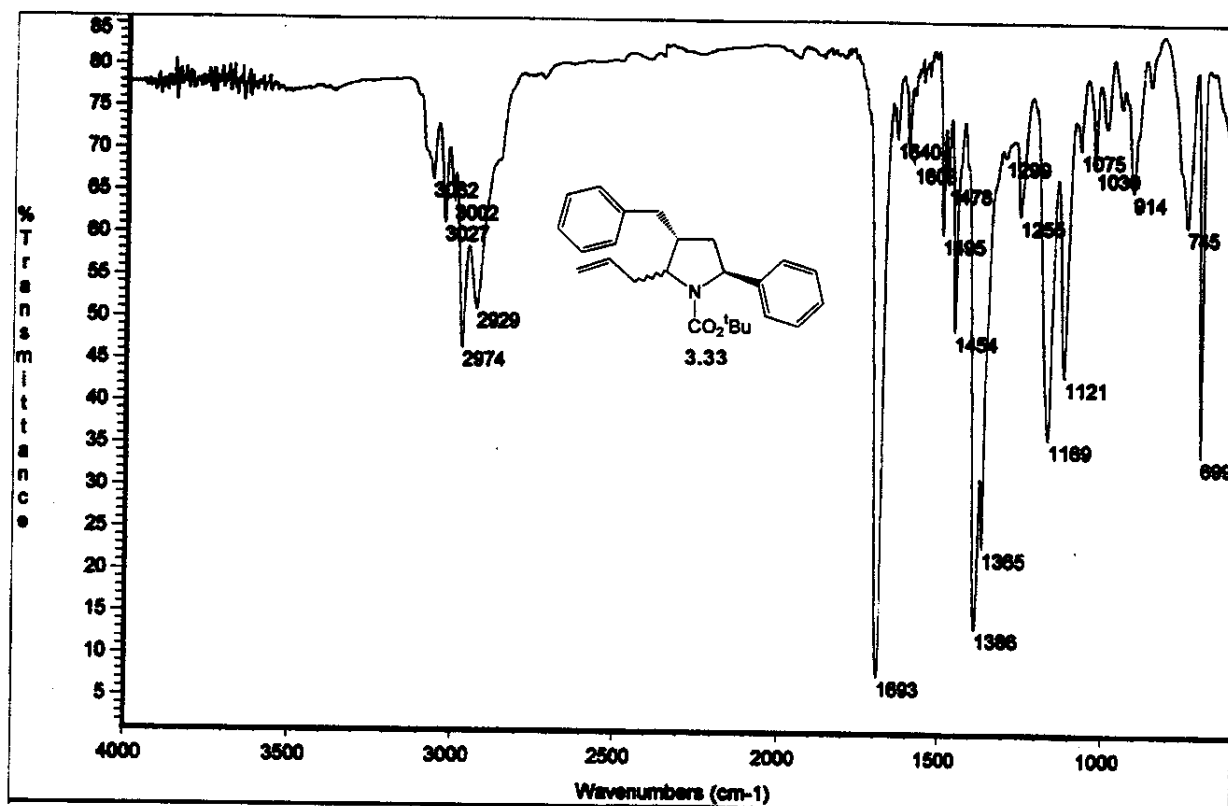
```

Arquivo 19150, cdcl3/tms Jw19150nmr1
Pulse Sequence: zgppr1
Solvent: CDCl3
Polarization: 1.000000
Print: FullScreen
Zeros: 500 "arrows"
PULSE SEQUENCE
Pulse 45.4 degrees
Pulse time: 1.007 sec
Print: 0.000 sec
10 repetitions
GROSSIVE: H1, 300.0079577 Hz
DATA PROCESSING
FT size: 25768
Total time: 2 minute

```



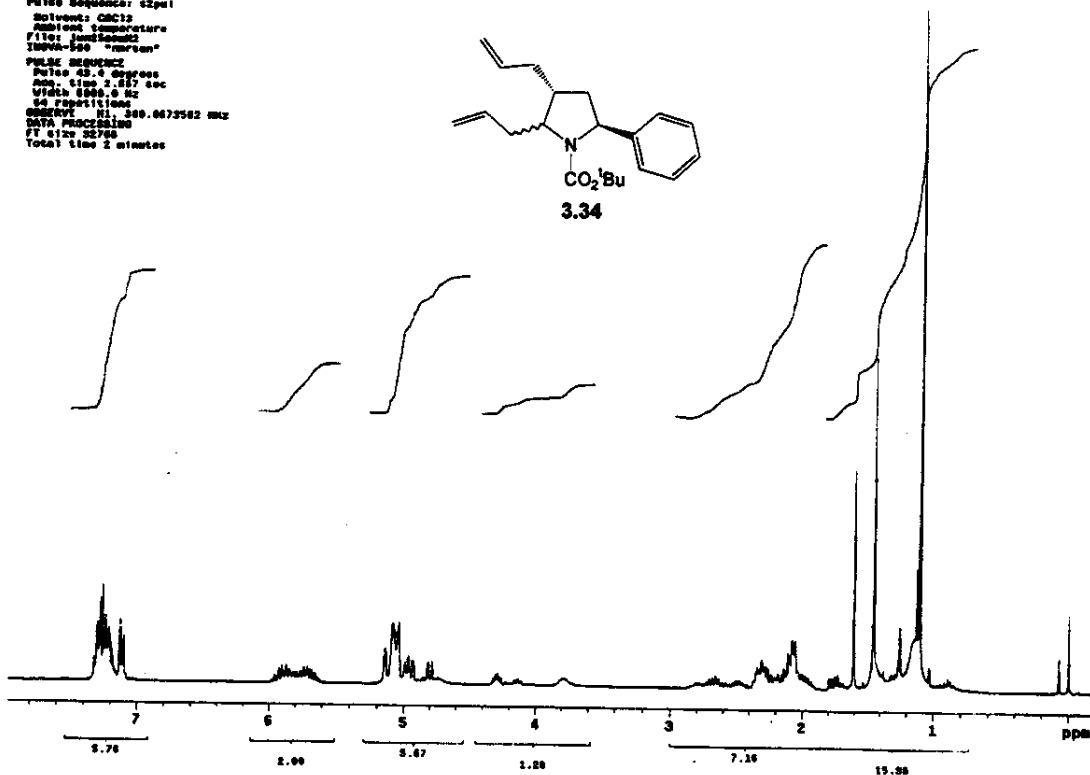
Anexo 3.33_IV: Filme em NaCl

Anexo 3.34_H: ^1H -RMN (CDCl_3 , 300MHz, ta)

```

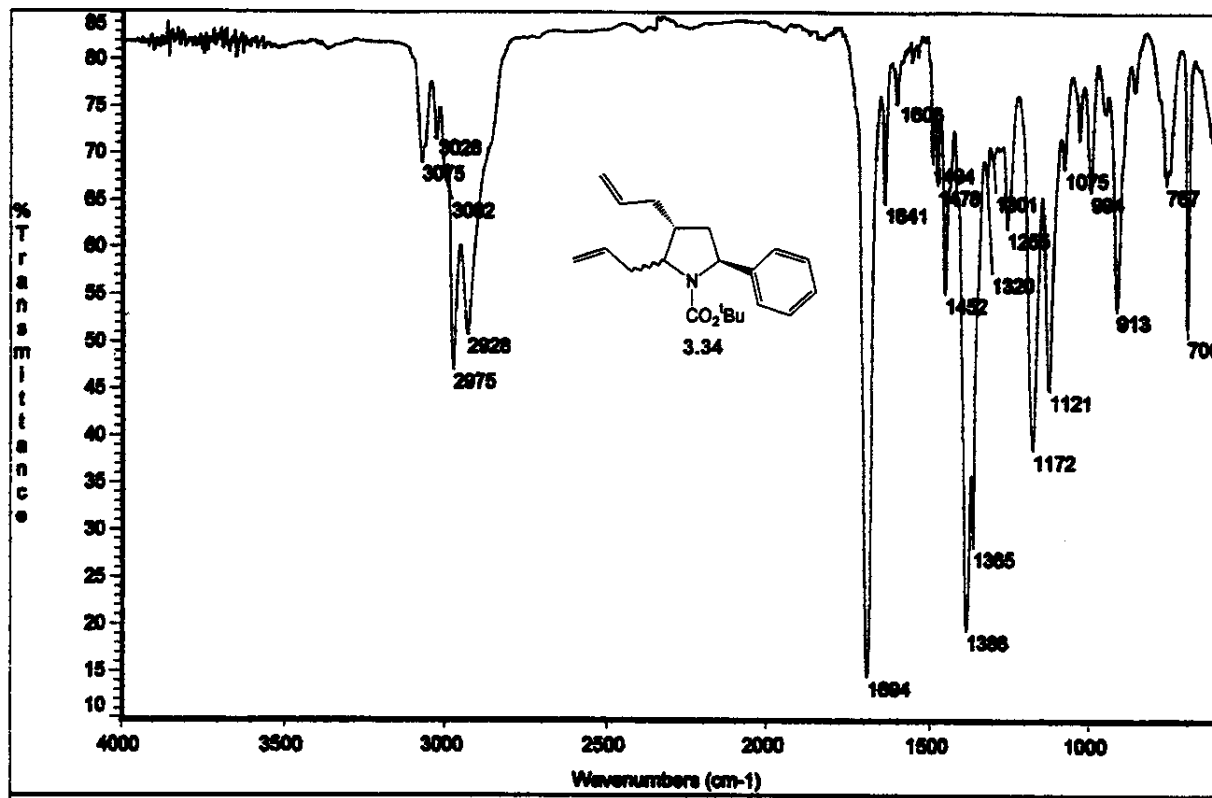
mariano 100-Ph, cdcl3/tms jnd2sep02
Pulse Sequence: c2p1
Solvent: CDCl3
Ambient Temperature
Filter: jnd2sep02
Integration: "orton"
Process: "orton"
Pulse: 90.4 degrees
Acc. time: 2.07 sec
Width: 6000.0 Hz
SI: 65536
Spectrum: N1 300.0073542 MHz
DATA PROCESSING
FT size: 32768
Total time: 2 minutes

```



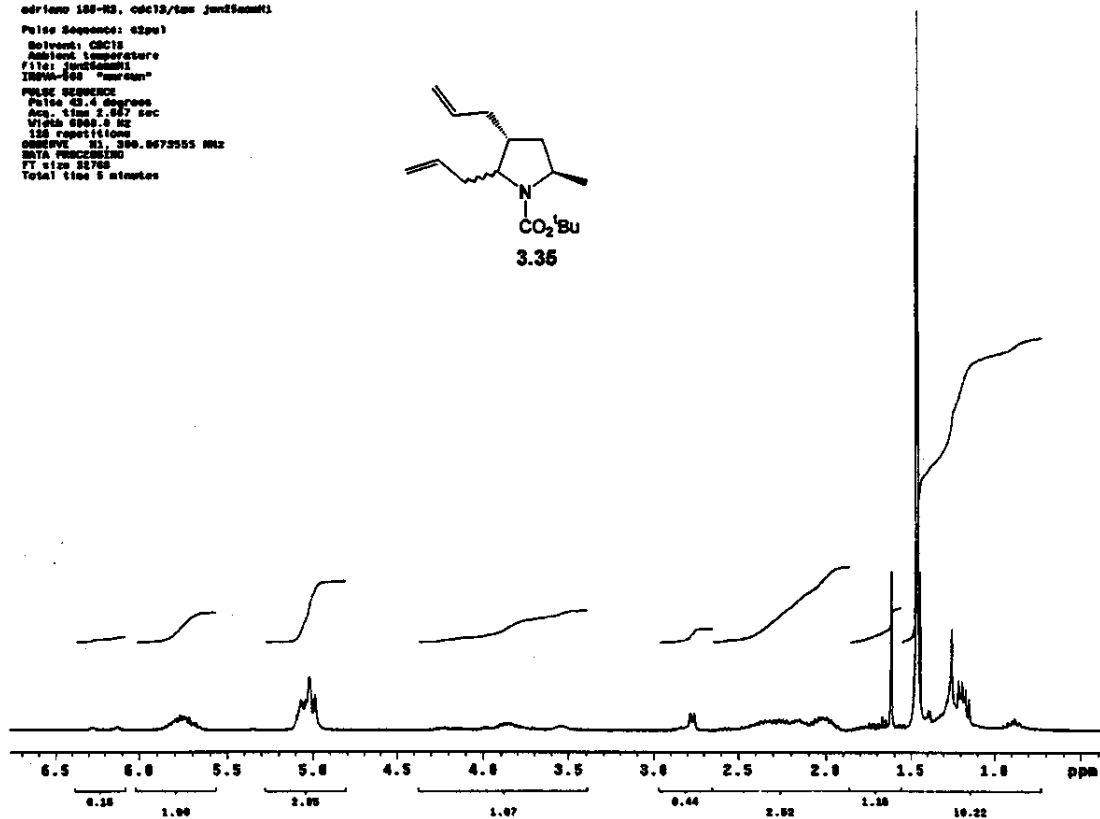
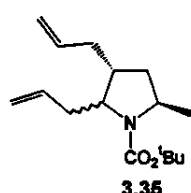
Anexos Capítulo 3
Anexo 3.34_IV: Filme em NaCl

xxxiii

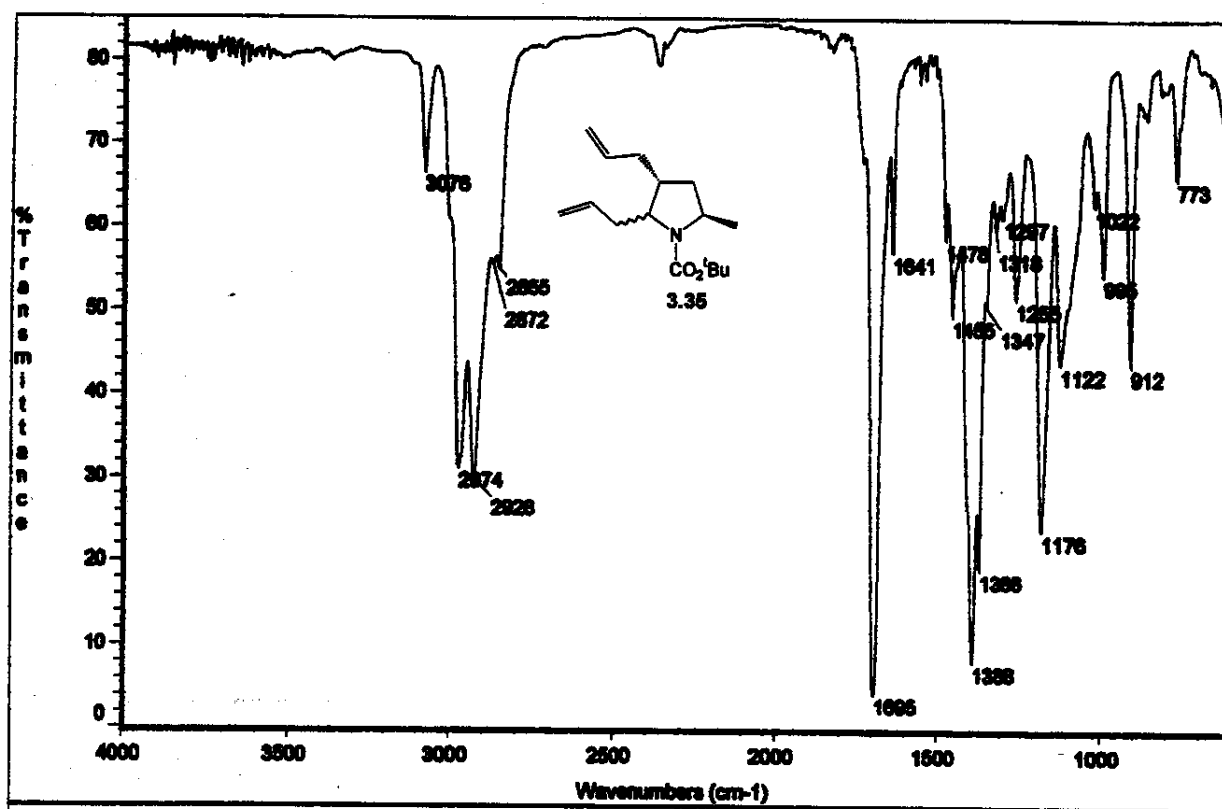


Anexo 3.35_H: ^1H -RMN (CDCl_3 , 300MHz, ta)

edriano 100-H3, cdcl_3/tae jundSeamless
Pulse Sequence: 42pw1
Solvent: CDCl_3
Ambient temperature
Filter: jundSeamless
IRMA-500 "unpres."
PULSE SEQUENCE
Pulse 90°, 2.657 sec
Acq 112.2 sec
Vista 6000.0 Hz
128 repetitions
SW 10000.0 Hz, 300.0073555 MHz
DATA PROCESSING
FT size 32768
Total time 5 minutes



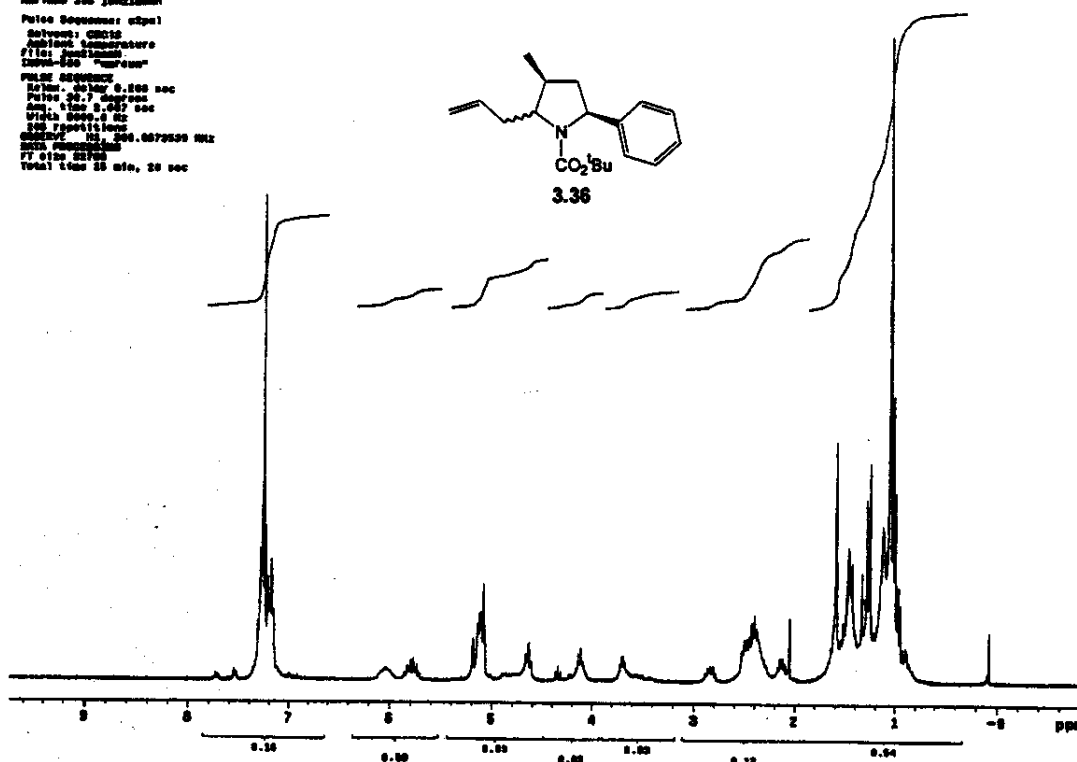
Anexo 3.35_IV: Filme em NaCl

Anexo 3.36_H: ^1H -RMN (CDCl_3 , 300MHz, ta)

```

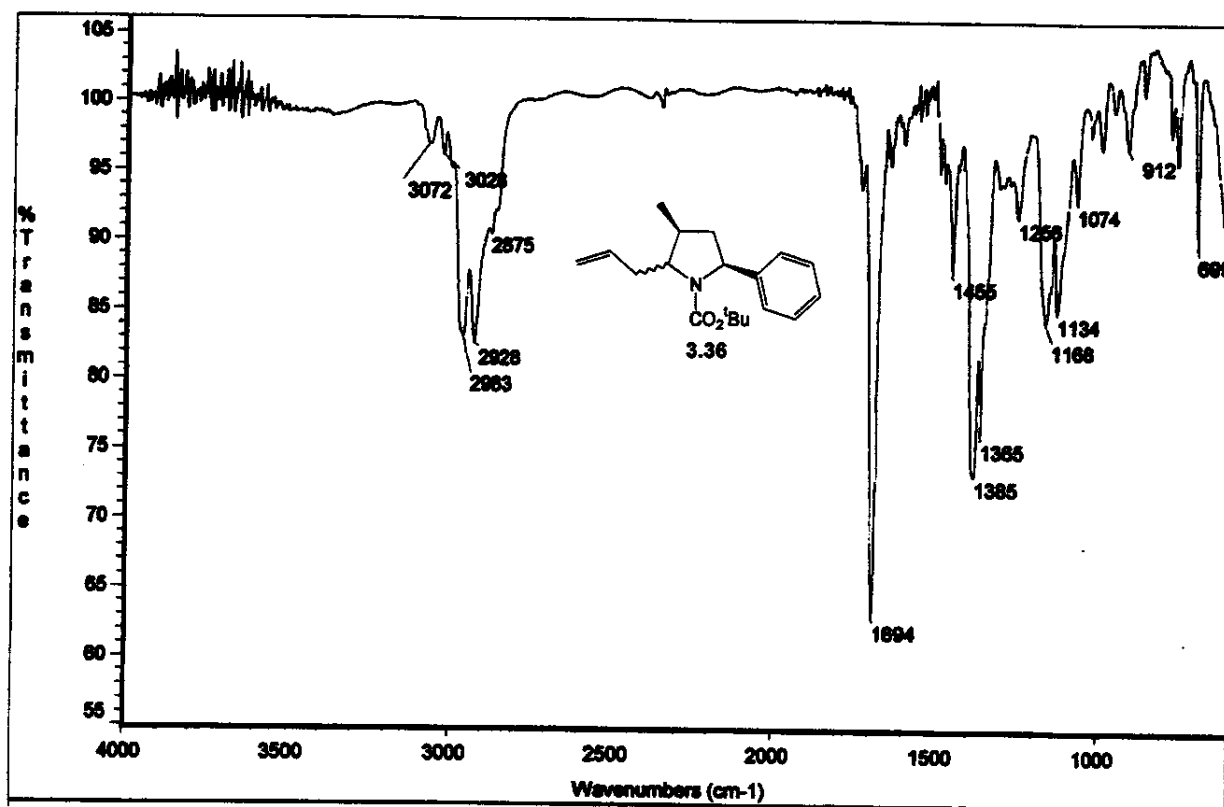
ADRIANO 300 Jeol
Pulse Sequencer: 0.001
Antenna: CHIC10
Antenna Gain: 100000
Filter: 1000000000
CPMG-90° "medium"
PULSE SEQUENCE
Pulse: 90° 0.000 sec
Pulse: 90° 0.007 sec
Ave.: 1000.000 sec
SW1: 4000.00 Hz
SW2: 1000.00 Hz
Sweepwidth: 1000.0070000 MHz
PPM reference: TMS
PPM reference: TMS
Trans. time: 25 min., 20 sec

```



Anexos Capítulo 3
Anexo 3.36_IV: Filme em NaCl

xxxv

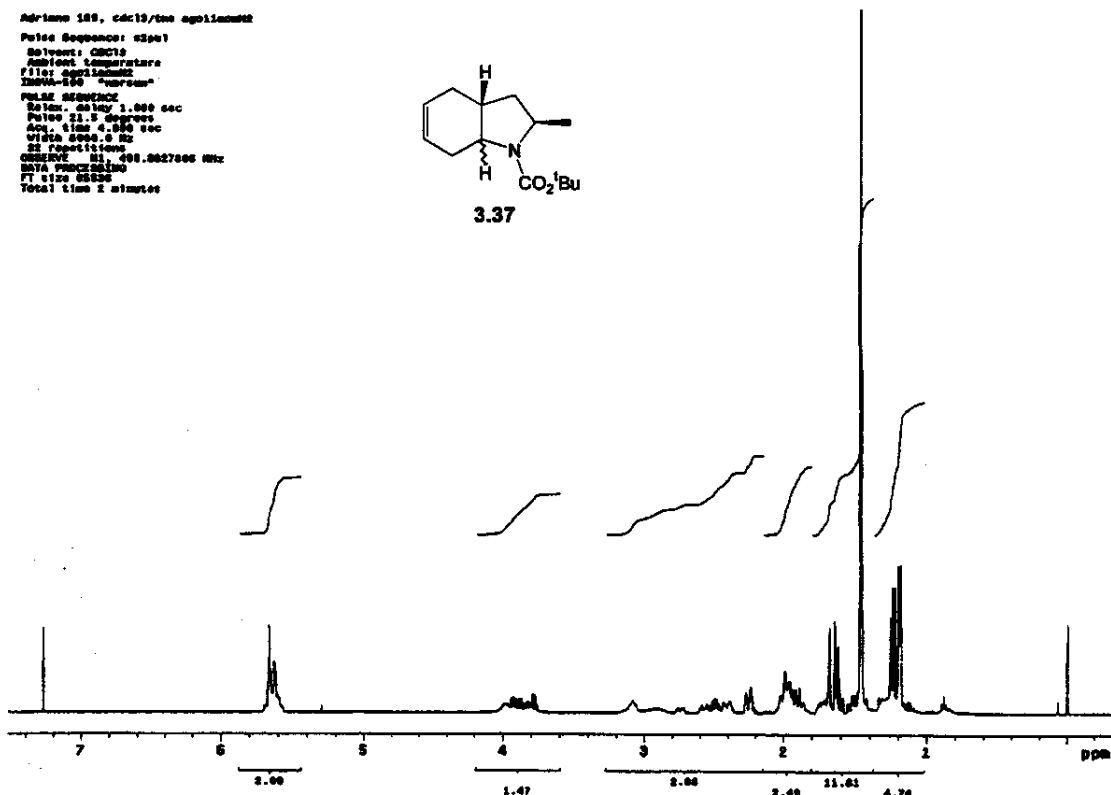
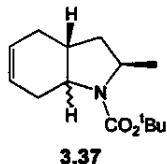


Anexo 3.37_H: ^1H -RMN (CDCl_3 , 500MHz, ta)

```

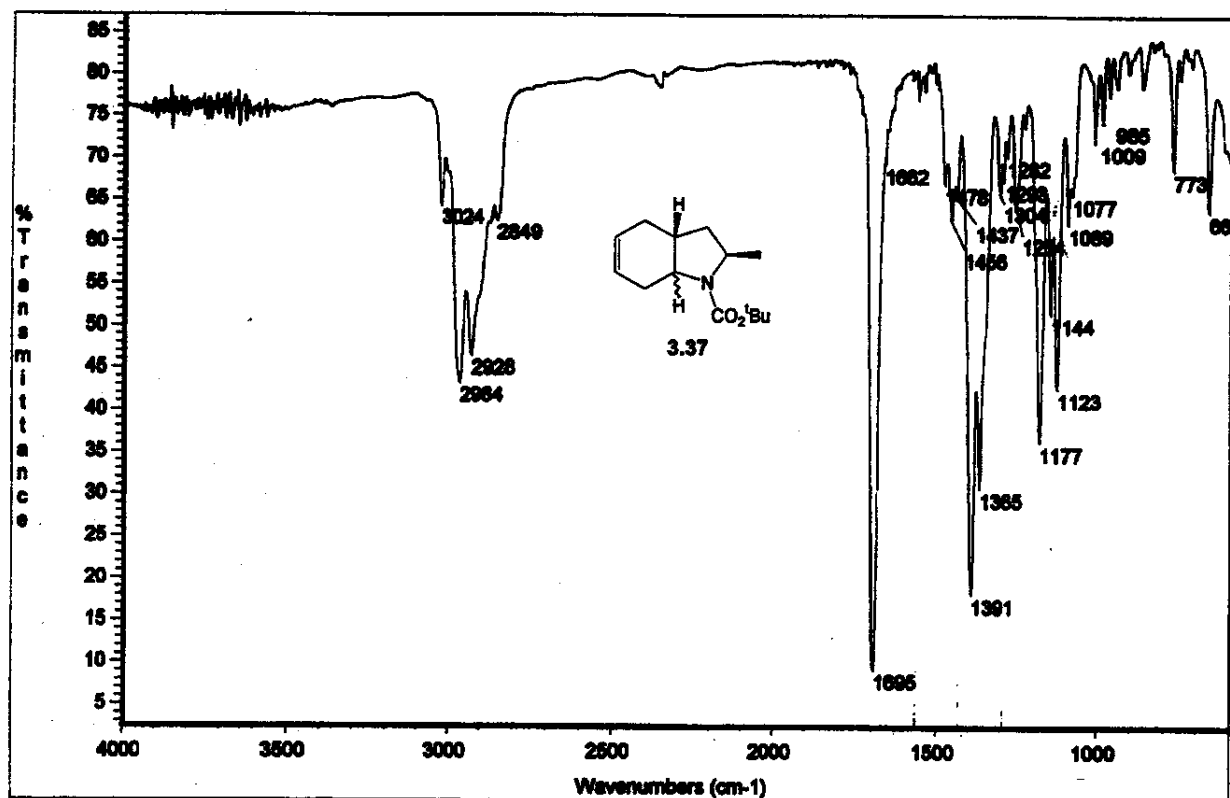
Adriano 189, cdcl3/tms agolimido
Pulse Sequence: spin1
Solvent: CDCl3
Ambient temperature
Filter: 0.0100002
Zero: 1000 "mean"
Polarization:
Polar. delay: 1.000 sec
Pulse 90.0 degrees
Accq. time: 4.000 sec
Waltz: 2000
25 repetitions
OBSERVE: H1, 500.0027005 MHz
SW: 10000.0 Hz
FT size: 65536
Total time: 2 minutes

```



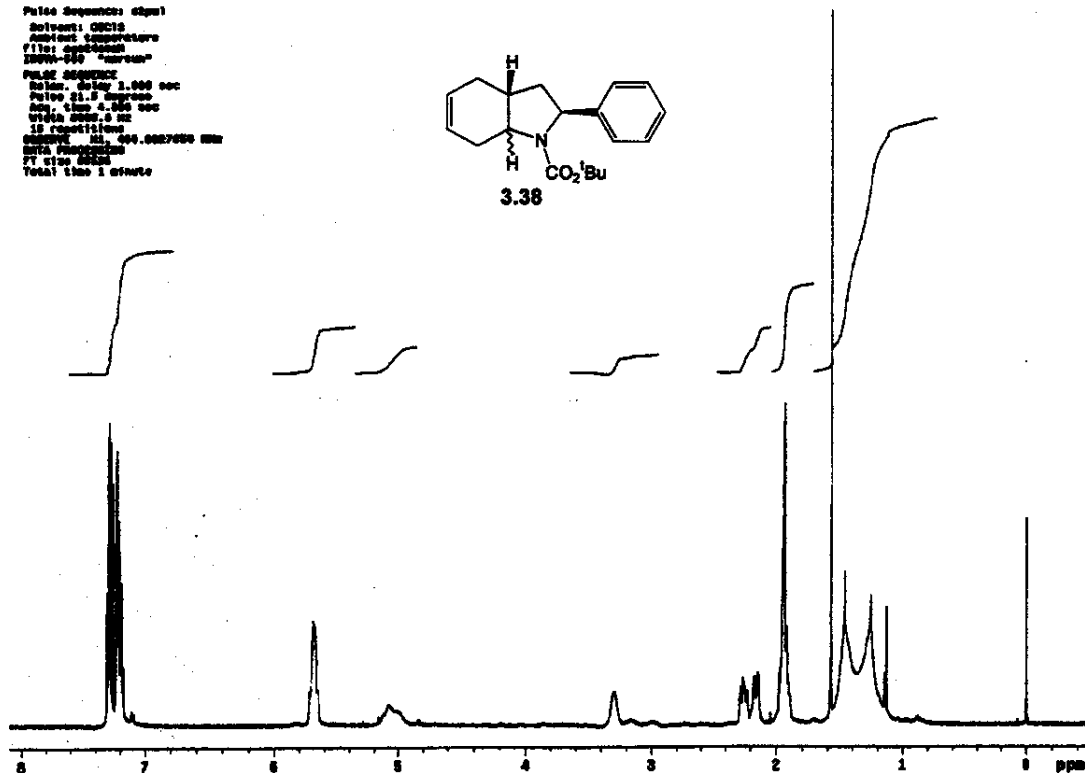
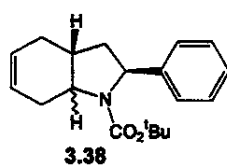
Anexos Capítulo 3
Anexo 3.37_IV: Filme em NaCl

xxxvi



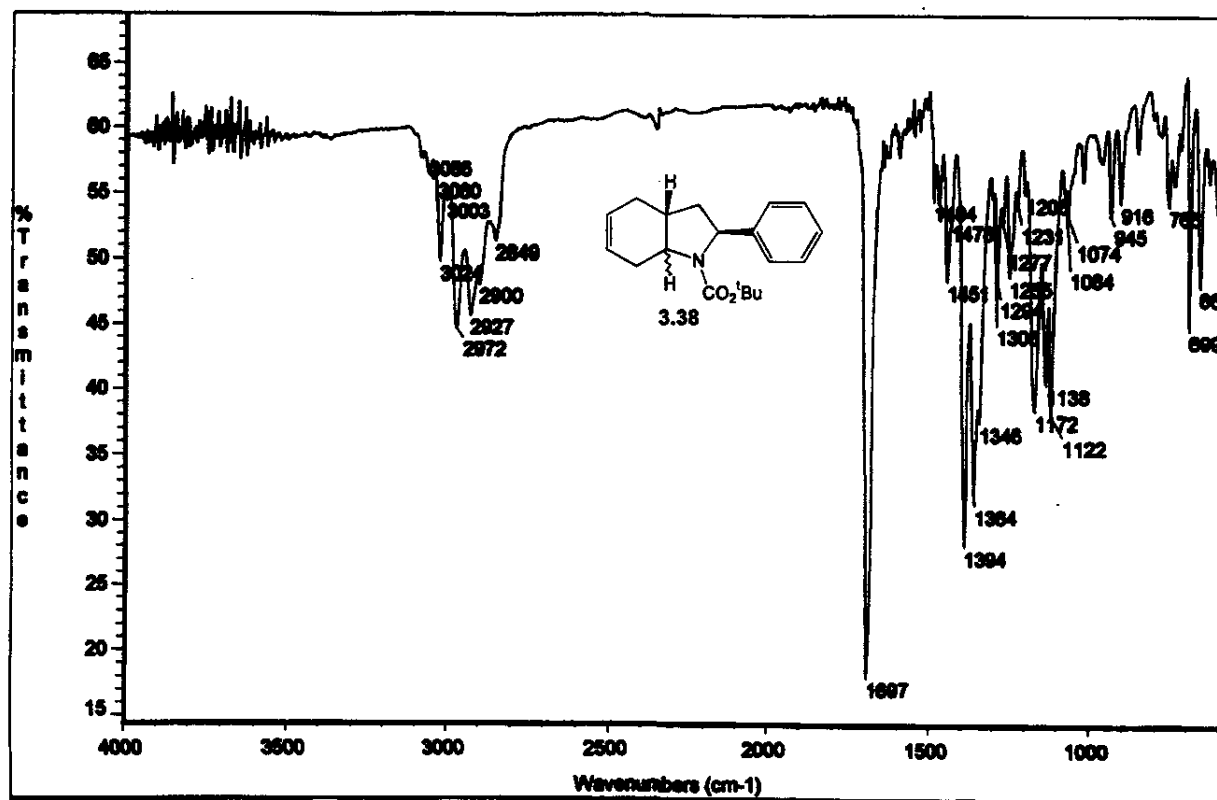
Anexo 3.38_H: ^1H -RMN (CDCl_3 , 300MHz, ta)

Adriano "300-I" .cdcl3/tms agn64000t
Pulse Sequence: spin1
Solvent: CDCl3
Temperature:
Filter: none/none
IRWIN-650 "average"
Pulse Sequence:
Wait: delay 1.000 sec
Pulse: 90.000 deg
AcqTime: 4.000 sec
WSTime: 0.0 sec
10 repetitions
SWTime: 004.0007000 sec
Data Processing:
FT size 65536
Total time 1 minute



Anexos Capítulo 3
Anexo 3.38_IV: Filme em NaCl

xxxvii



Anexos Capítulo 4

Anexo 4.1_H: ^1H -RMN (CDCl_3 , 500MHz, ta)

```

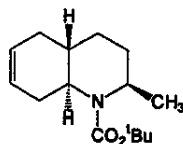
Mariano 262 calc13 mario00m002

Pulse Sequence: v2621

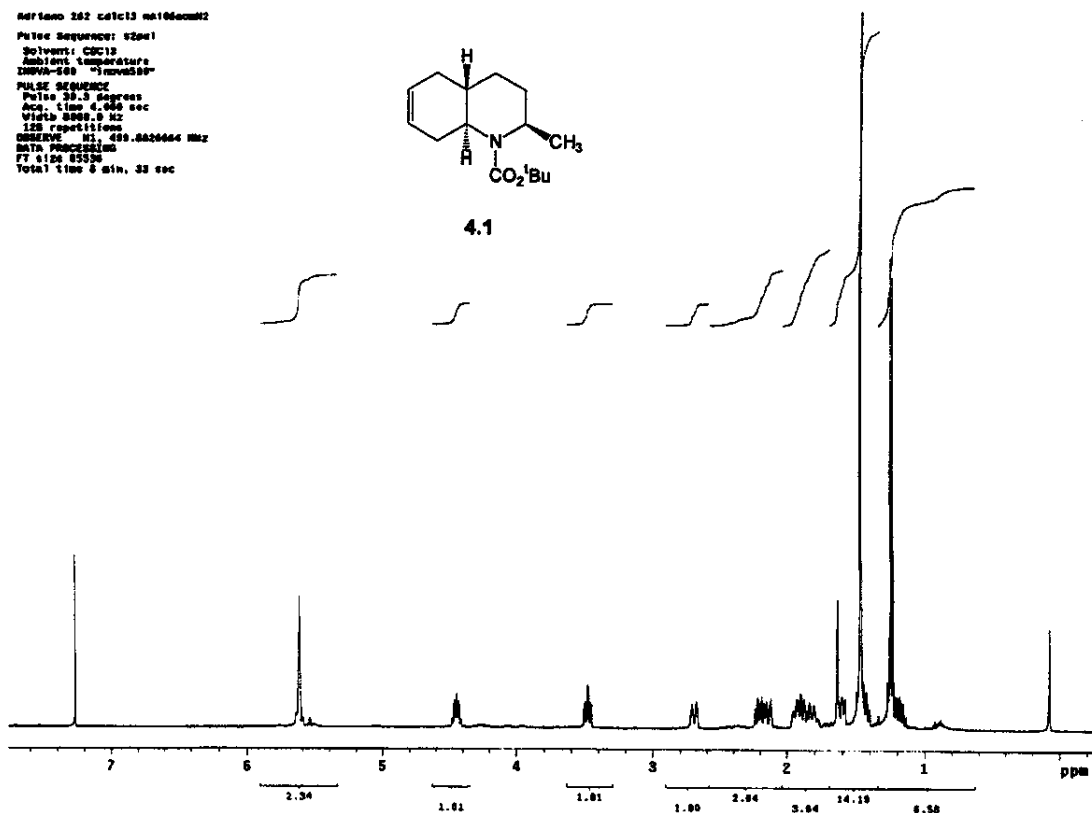
Solvent: CDCl3
Ambient temperature
INNOVA-500 "InnovoB"™

PULSE SEQUENCE
Pulse 30.3 degrees
Acc. time 4.000 sec
Width 0.0005 Hz
1D FID acquisition
OBSERVE: M1 = 499.0424446 Hz
DATA PROCESSING
FT size 83356
Total time 6 min, 33 sec

```



4.1



Anexo 4.1_C: ^{13}C -RMN (CDCl_3 , 125,7MHz, ta)

```

Actions: $200, calc19 nsgt14dec0C

Pulse Sequence: x2p1

Solvent: CDCl3

Absolute temperature: 298.15 K

MHz: 400.000000 MHz

INWAB=500 "reference"

PULSE_SEQUENCE

    Relation: delay 1.500 sec
    Pulse: 90 deg
    AcqTime: 1.000 sec
    Width: 20001.2 Hz

    2000 repetitions

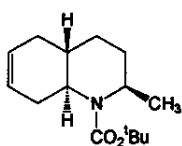
    FID抑制: 0.0000000000000000 kHz
    DECIMB: 1.0000000000000000 kHz
    DECIMB_N: 401.00000000000000 kHz

    Power: 35 dB
    FID抑制衰减: 0.0000000000000000 dB
    SW2T: 35 sec

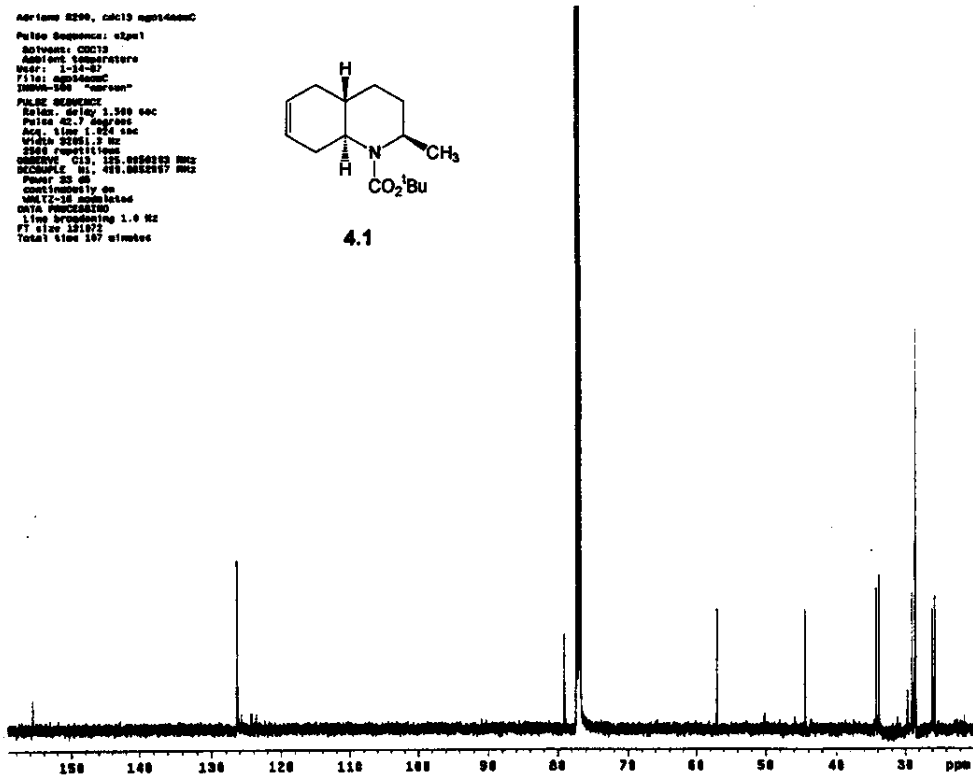
DATA_PROCESSING

    1ms broadside: 1.0 Hz
    FID抑制衰减: 0.0000000000000000 dB
    FID抑制衰减时间: 1 minutes

```



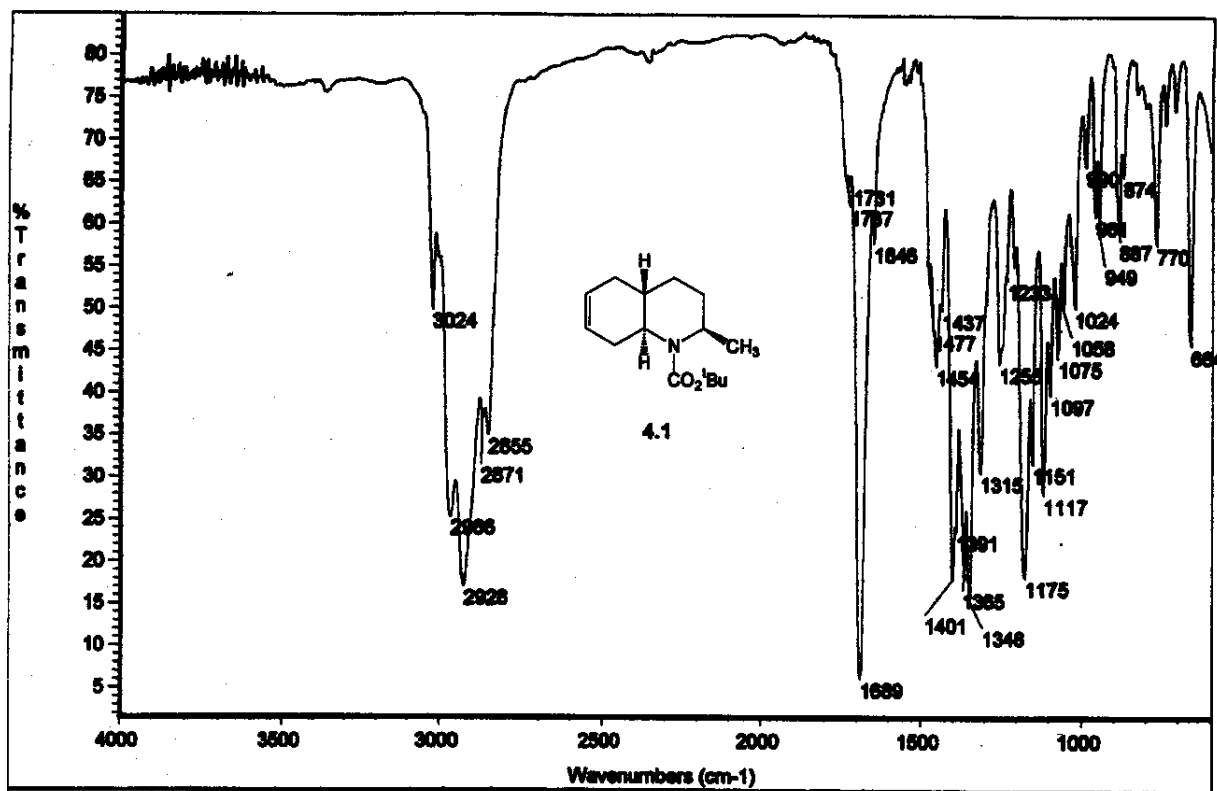
41



Anexos Capítulo 4

iii

Anexo 4.1 IV: Filme em Naci

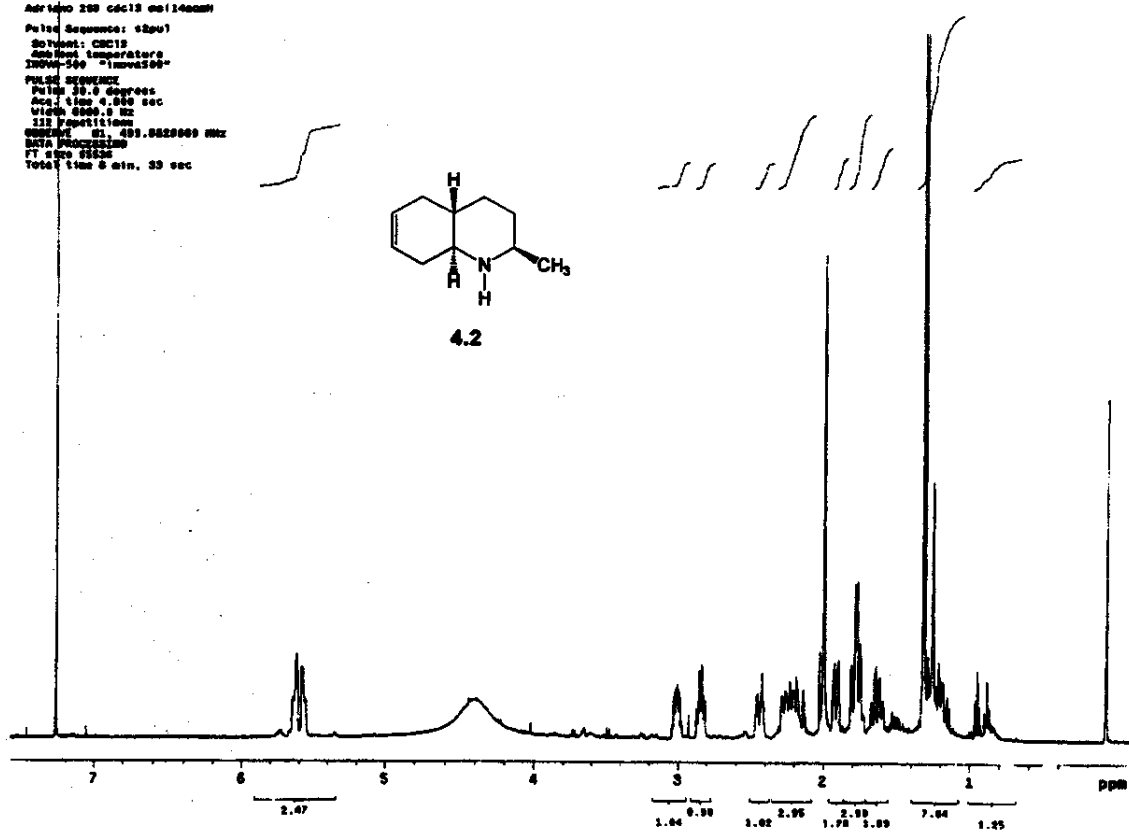
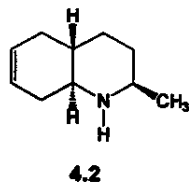


Anexo 4.2 ^1H : ^1H -RMN (CDCl_3 , 500MHz, ta)

```

Autodino 280 ccc13 ds(140mm)
Pulse Sequence: step1
Solenoid: CEC15
Gauss Head: Generators
IRWAVE-500 "improve2"
PULSE SEQUENCE
Pulse 30.0 degrees
Acc. time 4.000 sec
Width 8000.0 Hz
111 Repetitions
Data Rate 400.0000000 kHz
DATA PROCESSING
FT FT 0.0000000
FT FT 0.0000000
Total time 8 min. 39 sec

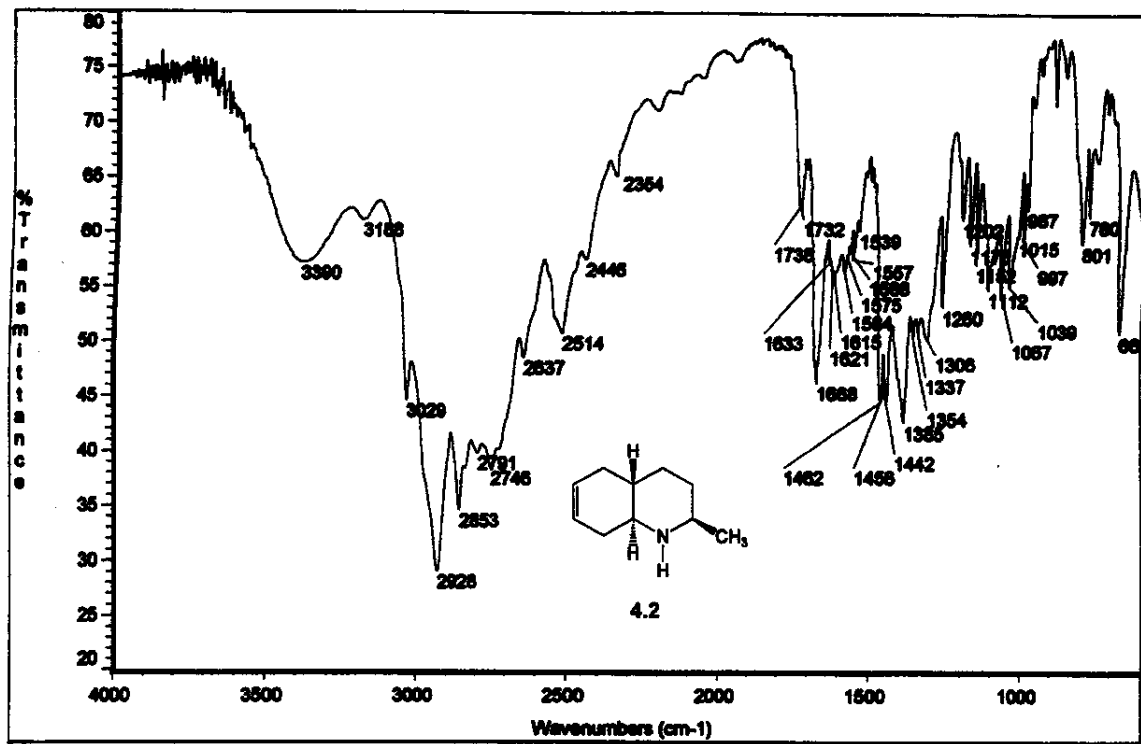
```



Anexos Capítulo 4

iii

Anexo 4.2_ IV: Filme em NaCl



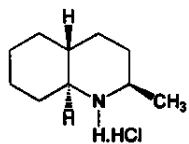
Anexo 4.3_H: ^1H -RMN (CDCl_3 , 500MHz, ta)

```

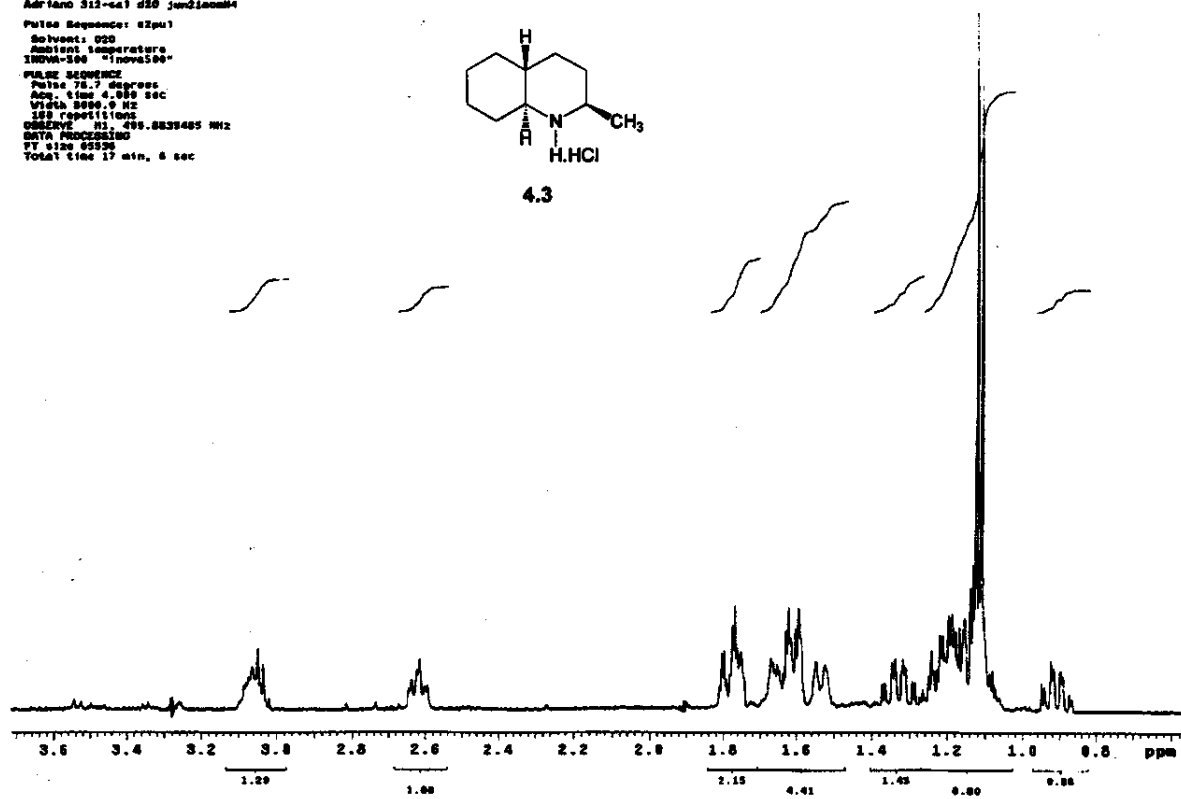
Adriano S12-e41 d20 Jun200004

Pulse Sequence: zpu1
Solvvent: D2O
Ambient Temperature
INNOVA-300 "Innova500"
PULSE SEQUENCE
Pulse 78.7 degrees
Acc. time: 4.000 sec
Width 8000.0 Hz
128 repetitions
DETECTOR BANDWIDTH 5.8539485 MHz
DATA PROCESSING
FT 128 65536
Total time 17 min, 6 sec

```

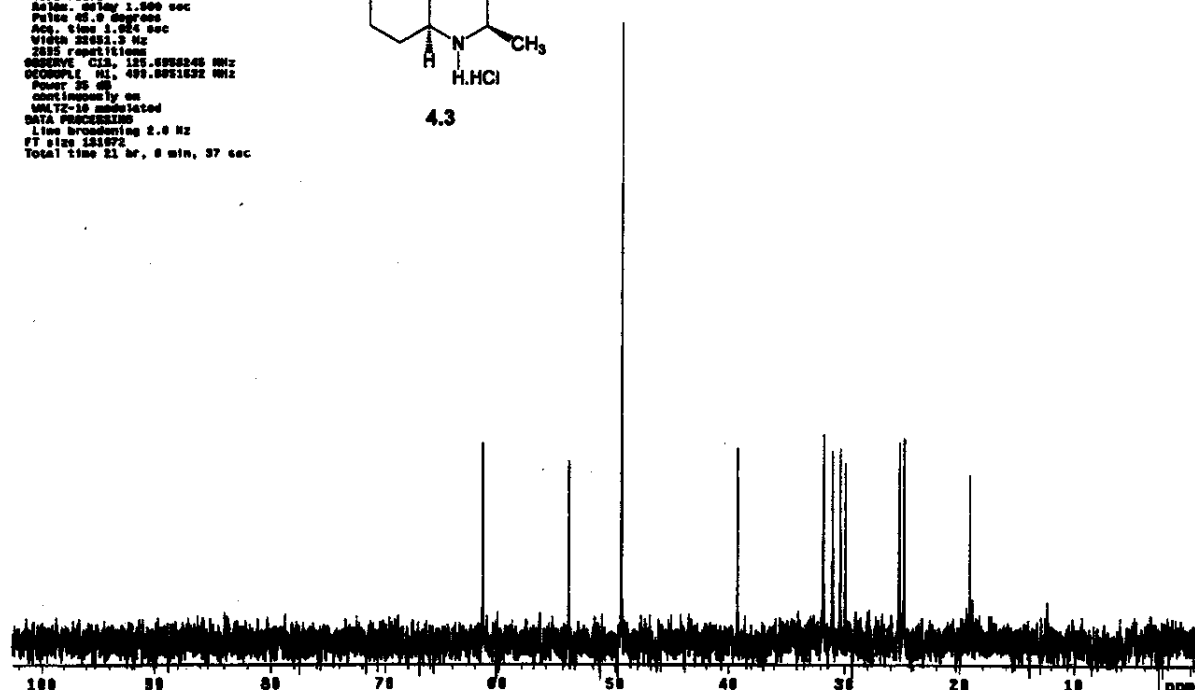
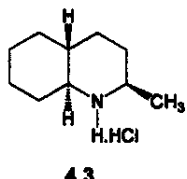


4.3

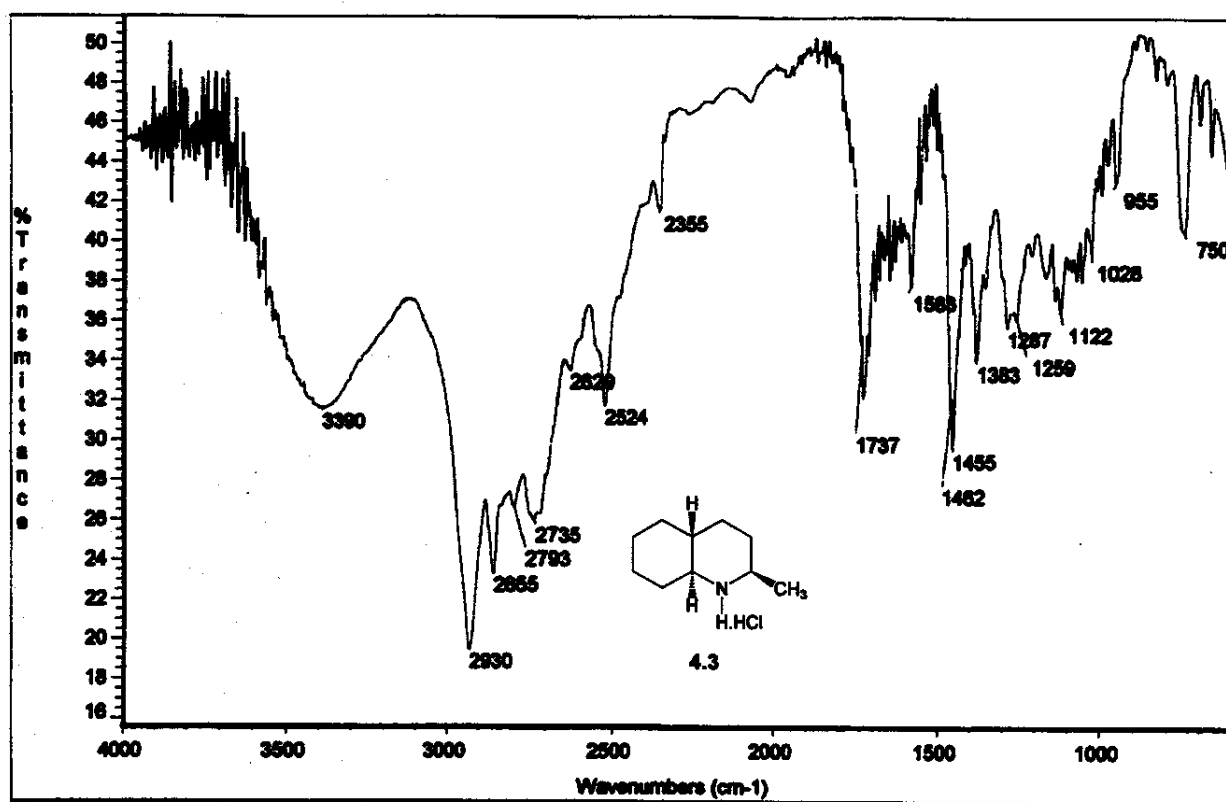


Anexos Capítulo 4
Anexo 4.3_C: ^{13}C -RMN (CDCl_3 , 125,7MHz, ta)

Advent 312-GAT 620 nano JanitorNC
Pulse Sequence: 82pu1
Solvent: CDCl_3
Ambient temperature
User: L-14-07
INNOVA-300 "Innovo"
PULSE SEQUENCE
 Relaxation delay 1.000 sec
Pulse width 6.000 sec
Acq. time 1.000 sec
Width 22682.3 Hz
2835 repetitions
RESOLVE: Cl_3 , 125.000000 MHz
DECODE: Cl_3 , 499.0001632 MHz
SWEEP: 35 ppm
continuously on
MULTI-1D mode/selected
DATA PROCESSING
LINE BROADENING 2.0 Hz
FT size: 1281024
Total time 21 hr, 8 min, 37 sec



Anexo 4.3_IV: Filme em NaCl



Anexos Capítulo 4

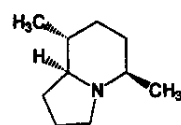
v

Anexo 4.4_H: ^1H -RMN (CDCl_3 , 300MHz, ta)

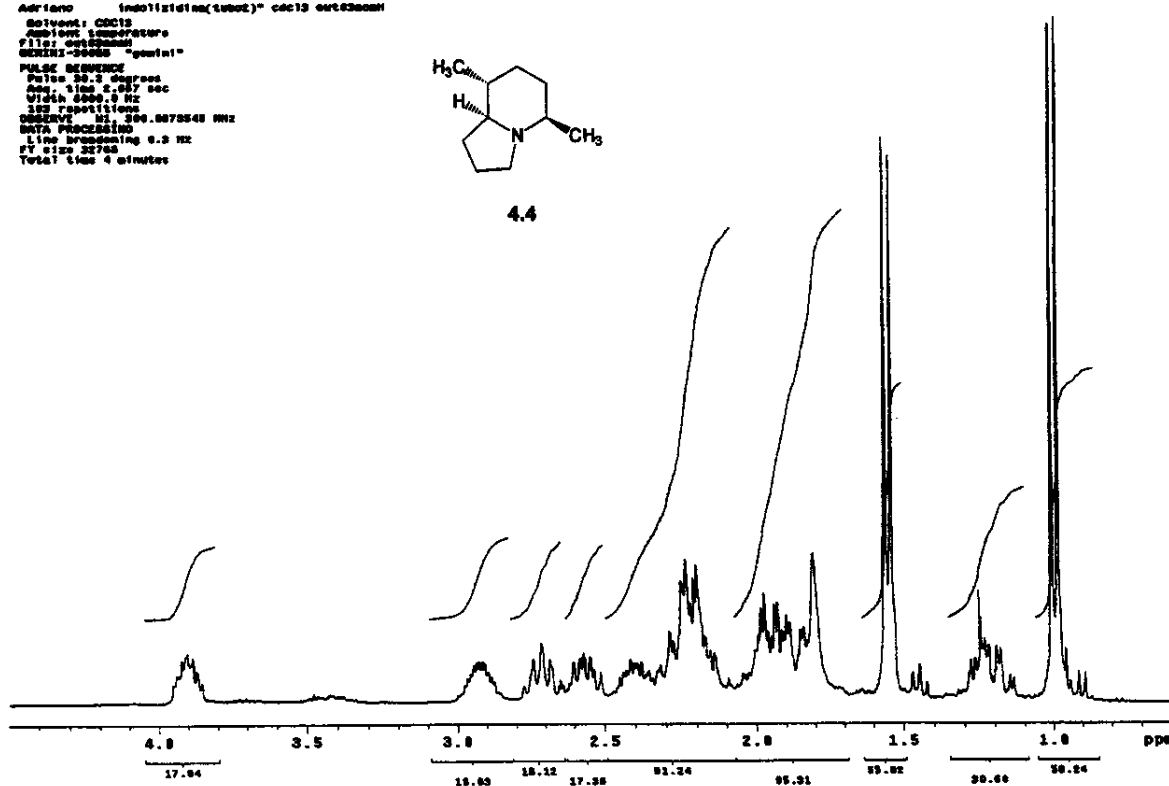
```

Adriano      imidazolidine(taut)/* cdcl3 out03m001
Solvent: CDCl3
Pulse: 90.0 degrees
F1size: 4096.0 sec
SW0Hz: 4000.0 Hz
100 repetitions
DECOUPLE_Hz: 300.0070548 Hz
DATA PROCESSING:
LINE broadening 0.3 Hz
FT size: 32768
Total time 4 minutes

```



4.4

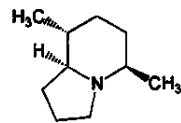


Anexo 4.4_C: ^{13}C -RMN (CDCl_3 , 75.4MHz, ta)

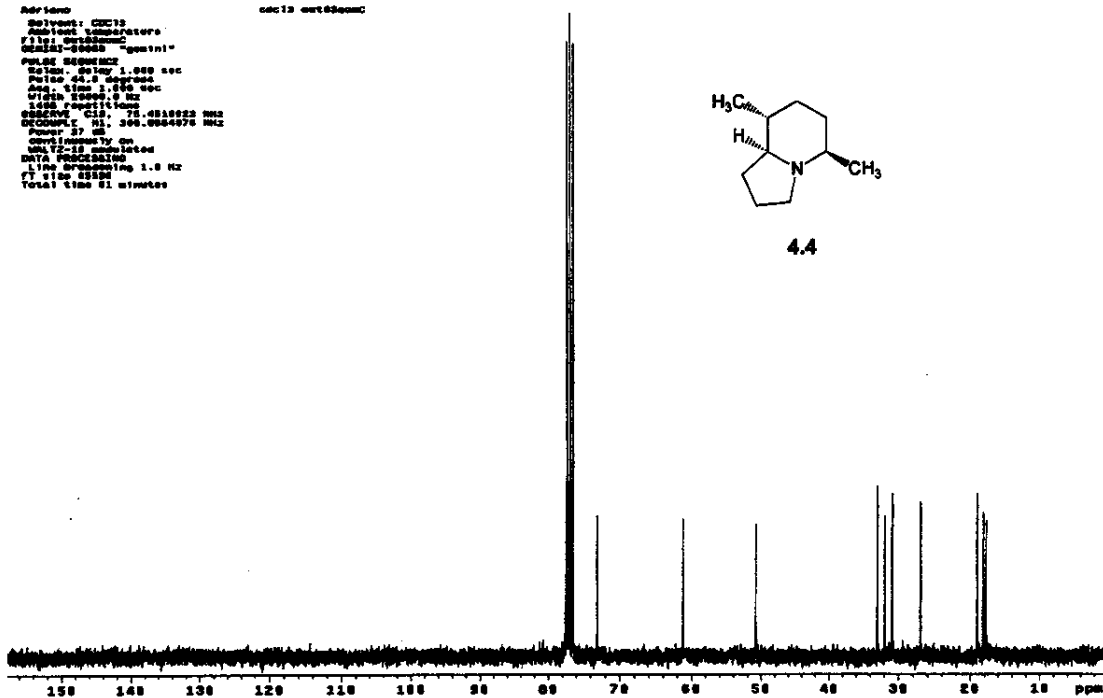
```

Adriano      imidazolidine(taut)/* cdcl3 out03m001
Solvent: CDCl3
Pulse: 90.0 degrees
F1size: 4096.0 sec
SW0Hz: 4000.0 Hz
100 repetitions
DECOUPLE_Hz: 300.0064976 Hz
DECOUPLE_N1: 300.0064976 Hz
PDR: 32768
INTERGRITY on
WALTZ-16 modulated
DATA PROCESSING:
LINE broadening 1.0 Hz
FT size: 4096
Total time 51 minutes

```



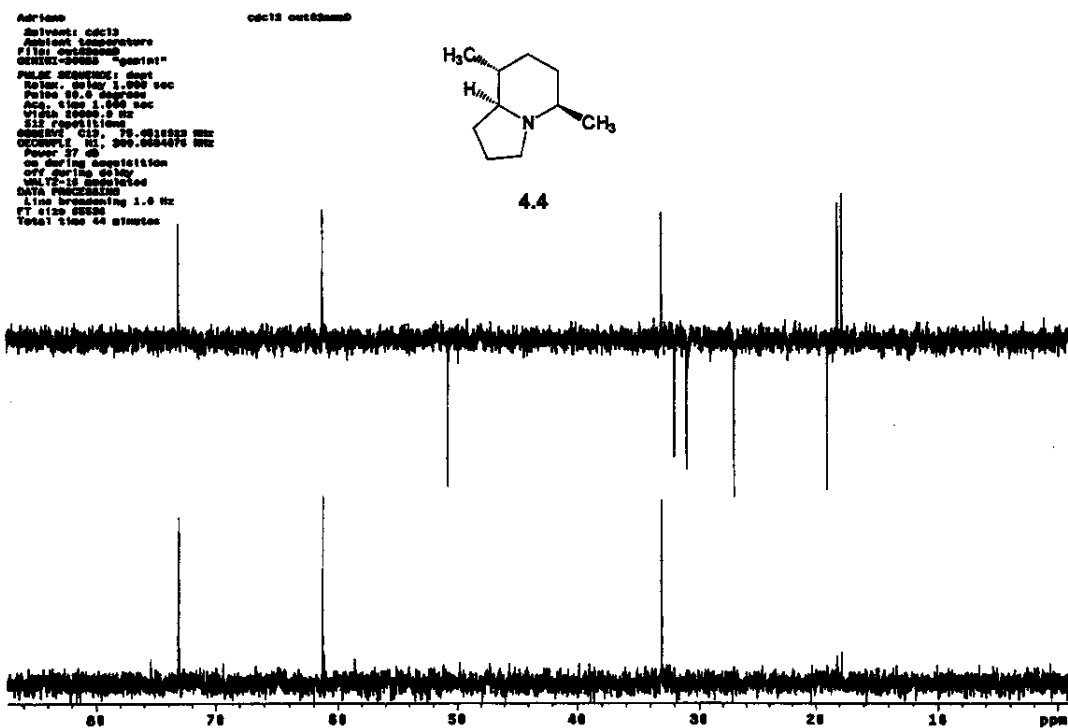
4.4



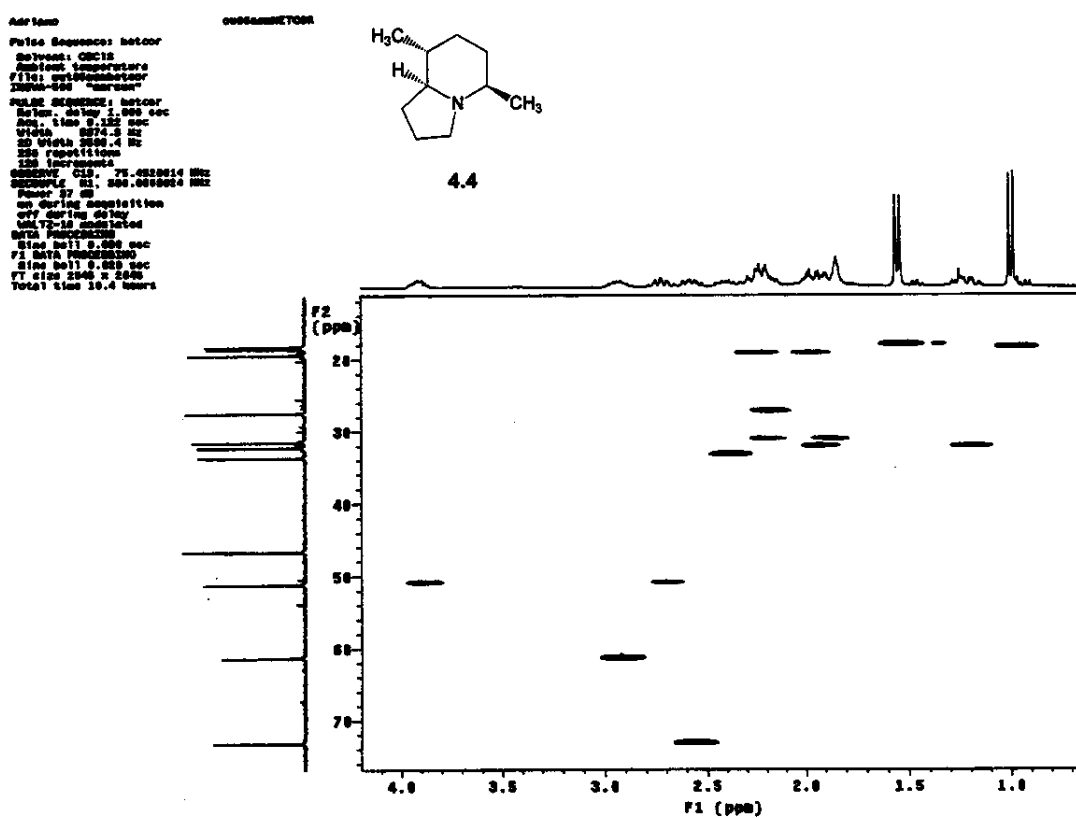
Anexos Capítulo 4

vi

4.4_DEPT: (CDCl_3 , 75.4MHz, ta)

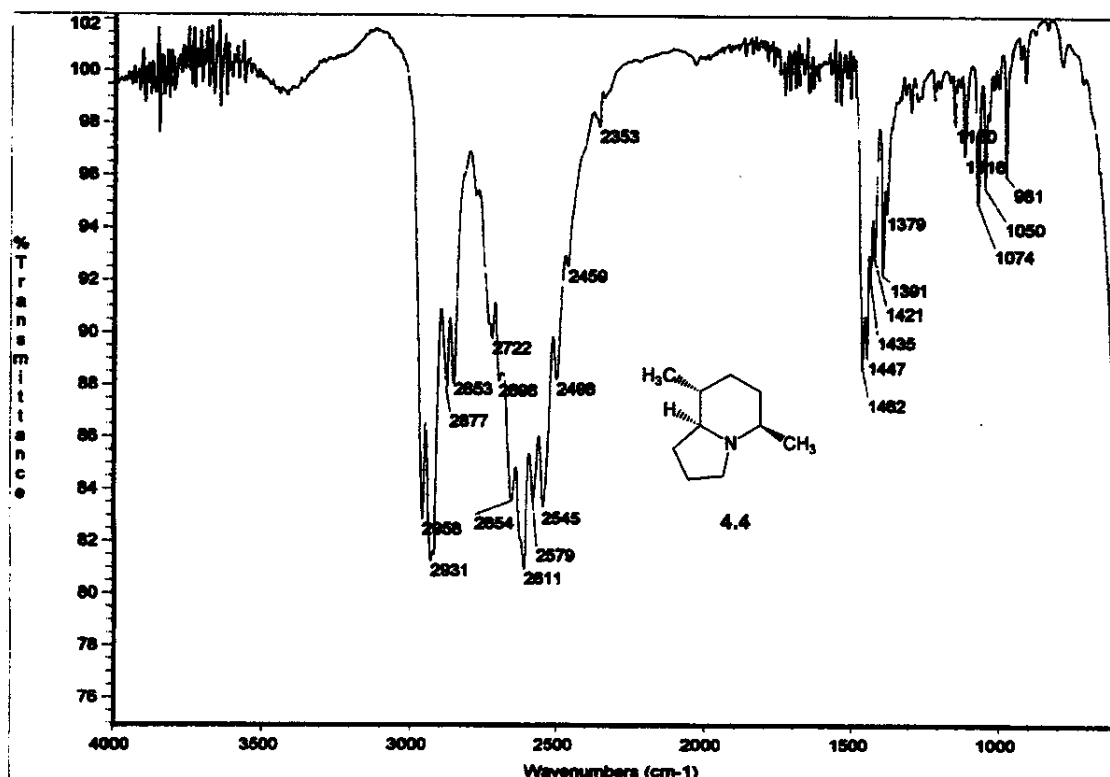


Anexo 4.4_HETCOR: HETCOR (CDCl_3 , 300MHz, ta)



Anexos Capítulo 4
Anexo 4.4_IV: Filme em NaCl

vii

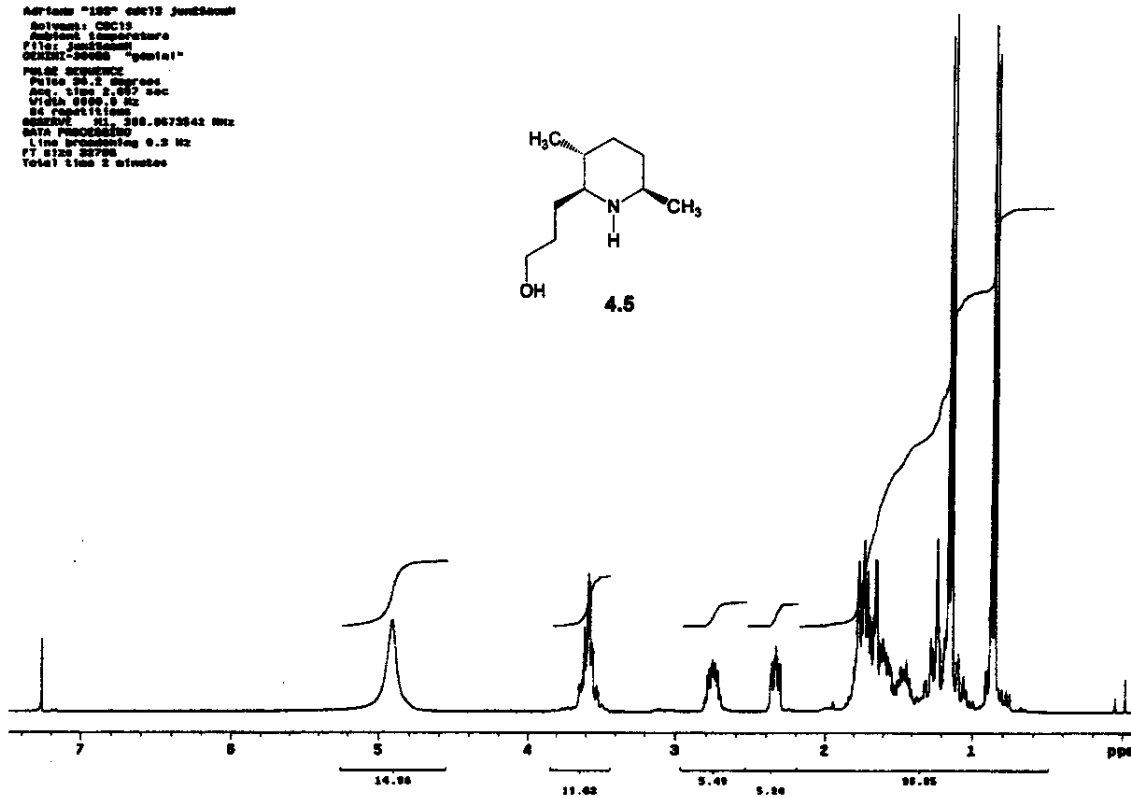


Anexo 4.5_H: ^1H -RMN (CDCl_3 , 300MHz, ta)

```

Ariane "100" 300MHz Jun2000
Solvent: CDCl3
Temperature: 298.15 K
Polarization: 1000000
QSI32-300000 "gemin"
Pulse sequence:
Pulse: 90°, 1.2 microseconds
Width: 6000.0 Hz
NS: 32768
SWFID: 1024.0673542 Hz
Data processing:
Line broadening: 0.3 Hz
FT size: 32768
Total time: 2 minutes

```

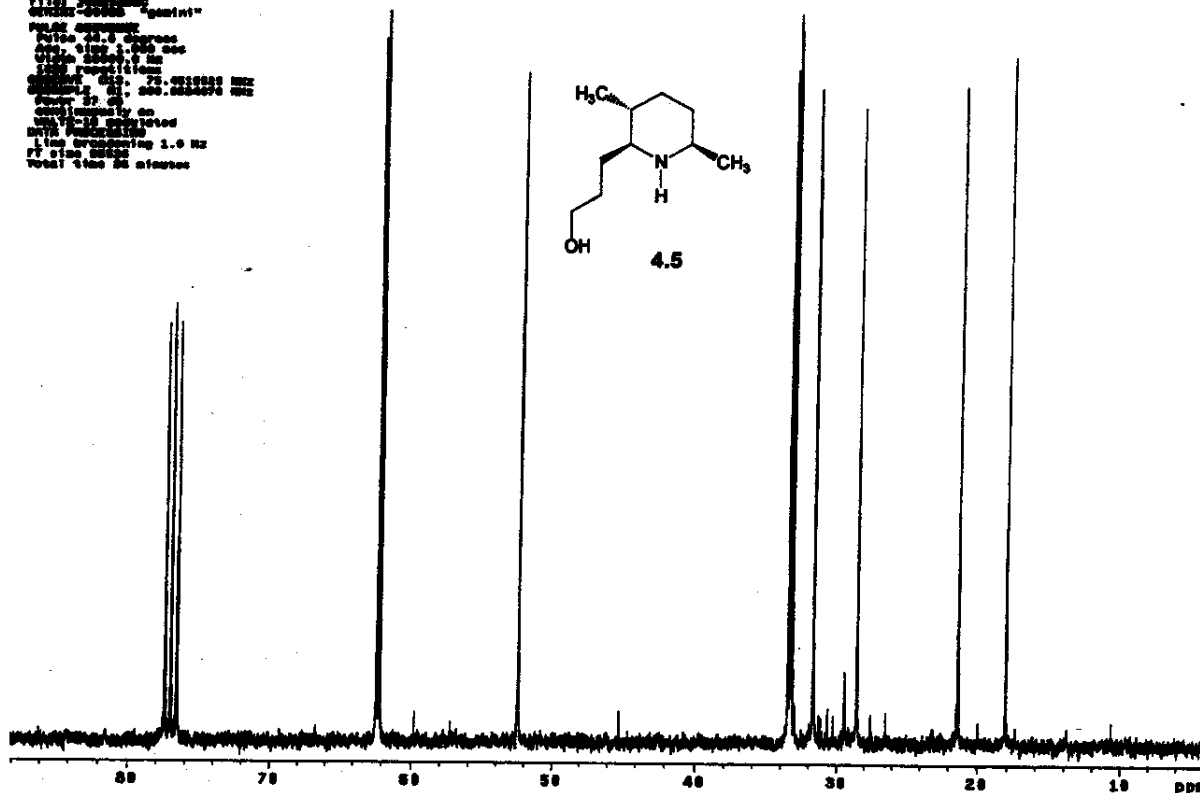
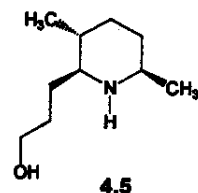


Anexos Capítulo 4
Anexo 4.5_C: ^{13}C -RMN (CDCl_3 , 75,4MHz, ta)

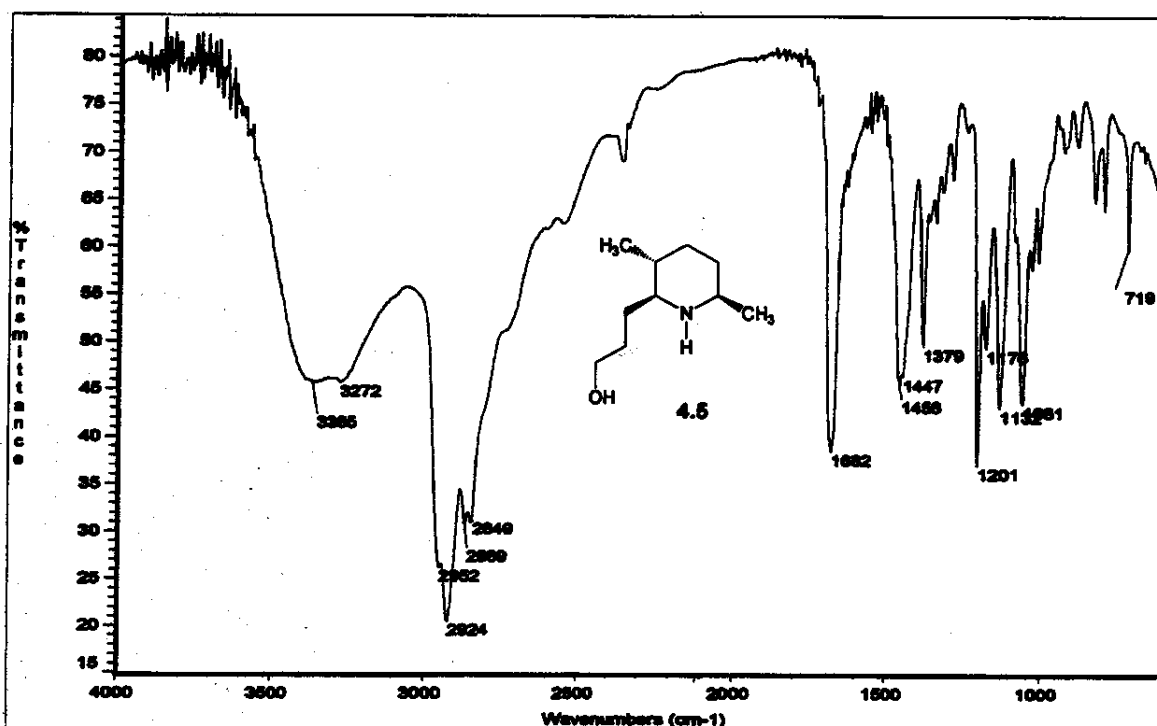
```

Ajustes: "1.00" usado para ajustar
Solvente: CDCl3
Parámetros: 75.4 MHz
Data: 2010-07-09 14:00:00
QSOA: 25000.0 Hz
Sintetizado: 2010-07-09 14:00:00
Resolución: 0.031333333 ppm
Peso: 20.00 g
Molaridad: 0.000000000 mol/L
Muestra: 0.000000000 mL
Línea: 1.00 Hz
Tasa de rotación: 1.0 Hz
Tiempo de integración: 0.000000000 segundos

```



Anexo 4.5_IV: Filme em NaCl

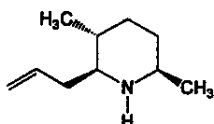


Anexos Capítulo 4
Anexo 4.6_H: ^1H -RMN (CDCl_3 , 300MHz, ta)

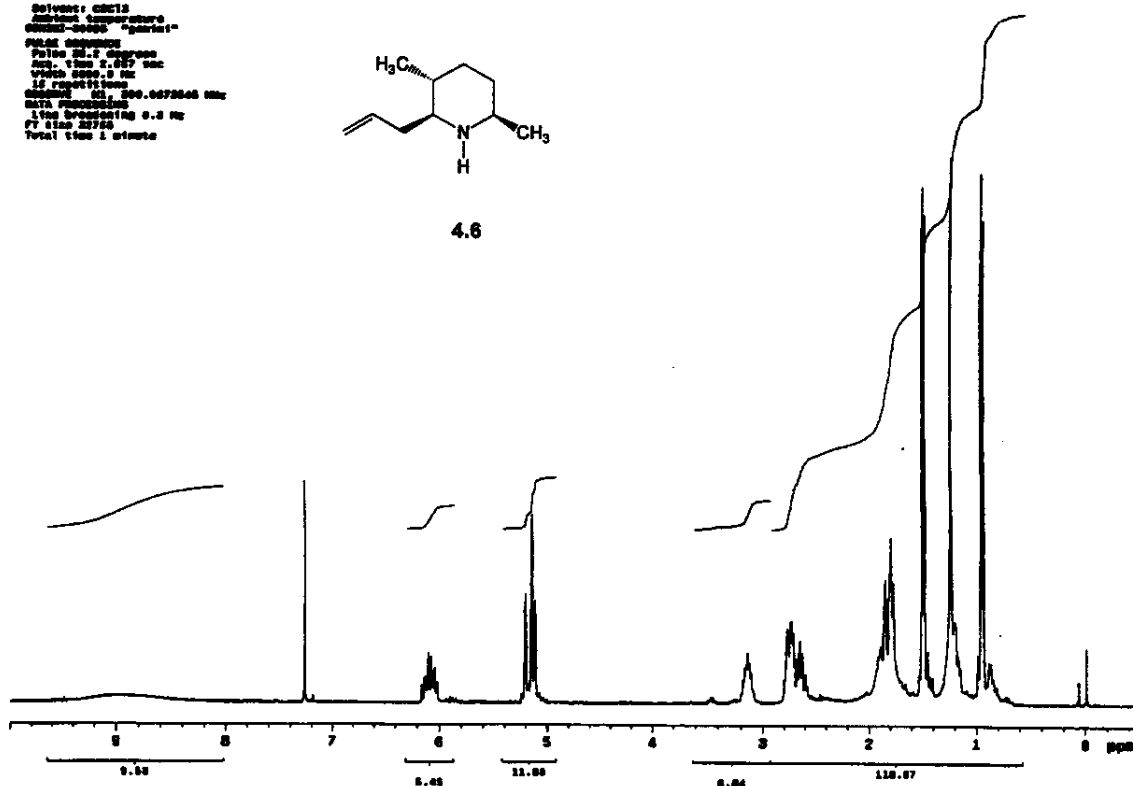
```

Advances "004" script/mais/7wavenumber
Solvent: CDCl3
Acquisition temperature: 298.15K
Pulse width: 9.807 us
AQC: Time 2.017 sec
SW0ch 656.0 Hz
128 acquisitions
Sweep width: 10.0000000 MHz
Data processing: 0.3 sec
Line broadening: 1.0 Hz
Total time 2 minutes

```



4.6

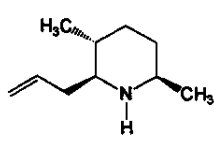


Anexo 4.6_C: ^{13}C -RMN (CDCl_3 , 125,7MHz, ta)

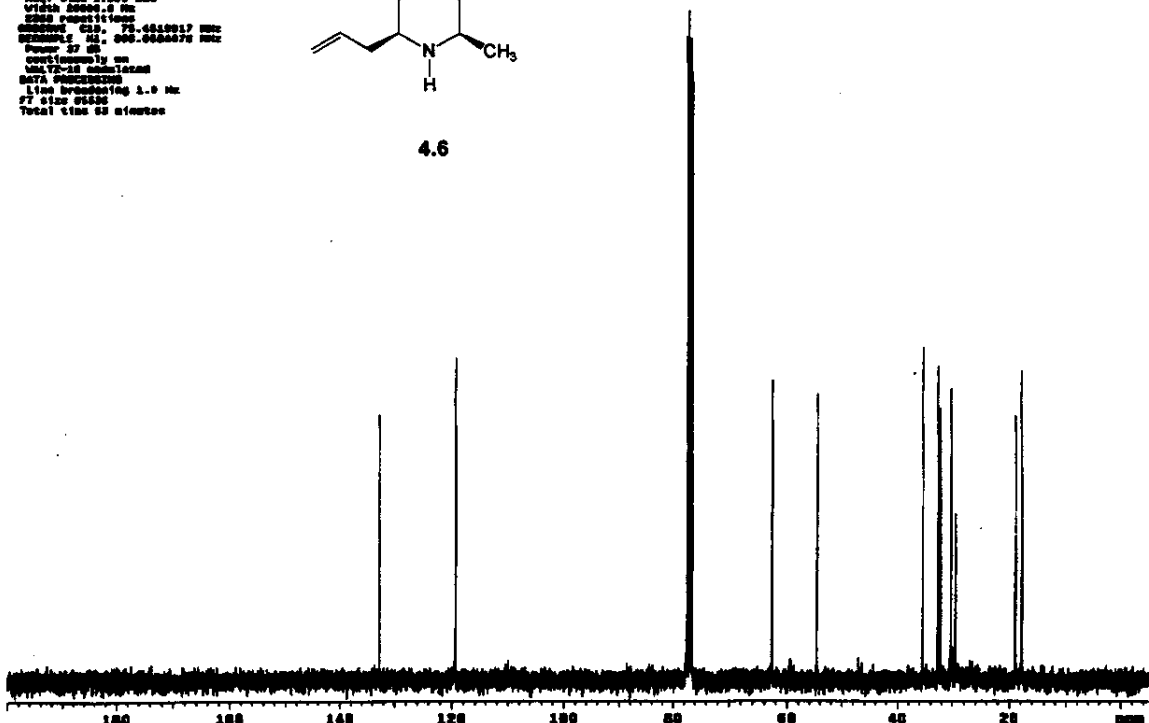
```

Advances "004" script/mais/7wavenumber
Solvent: CDCl3
Acquisition temperature: 298.15K
Pulse width: 9.807 us
AQC: Time 2.017 sec
SW0ch 656.0 Hz
128 acquisitions
Sweep width: 10.0000000 MHz
Data processing: 0.3 sec
Line broadening: 1.0 Hz
Total time 2 minutes

```



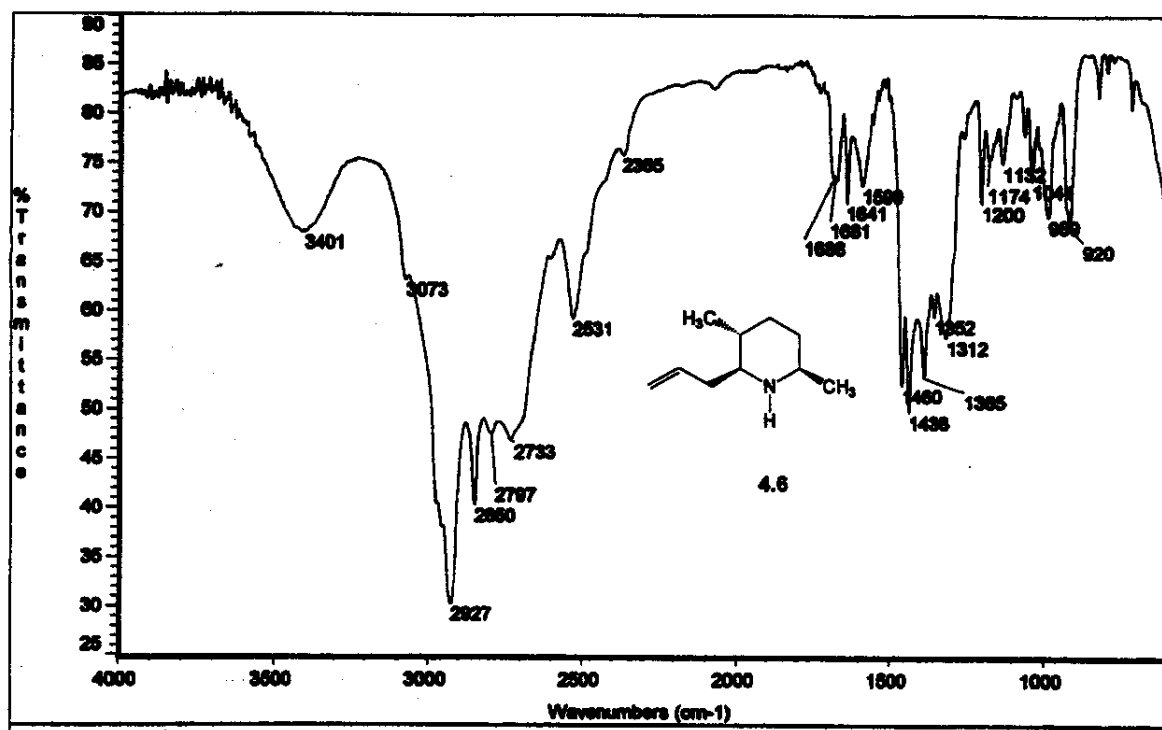
4.6



Anexos Capítulo 4

X

Anexo 4.6_IV: Filme em NaCl

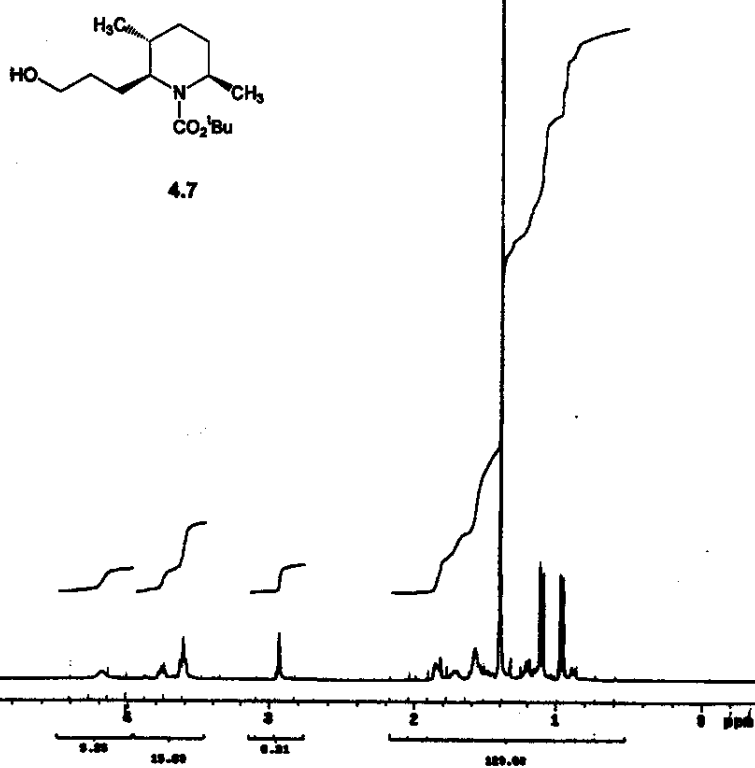


Anexo 4.7_H: ^1H -RMN (CDCl_3 , 300MHz, ta)

```

aritmo 0.00, juntando
softwvrs: GNS10
pronto para operar
PESL: 0.0000 "ponto"
PRM: 0.0000
PRM: 0.0000
Pulse 30.0 degraus
Osc. time 1.000 ms
90.000000
PRM: 0.000000000000
PRM: 0.000000000000
Total time 1 minutes

```

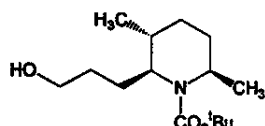


Anexos Capítulo 4
Anexo 4.7_C: ^{13}C -RMN (CDCl_3 , 125,7MHz, ta)

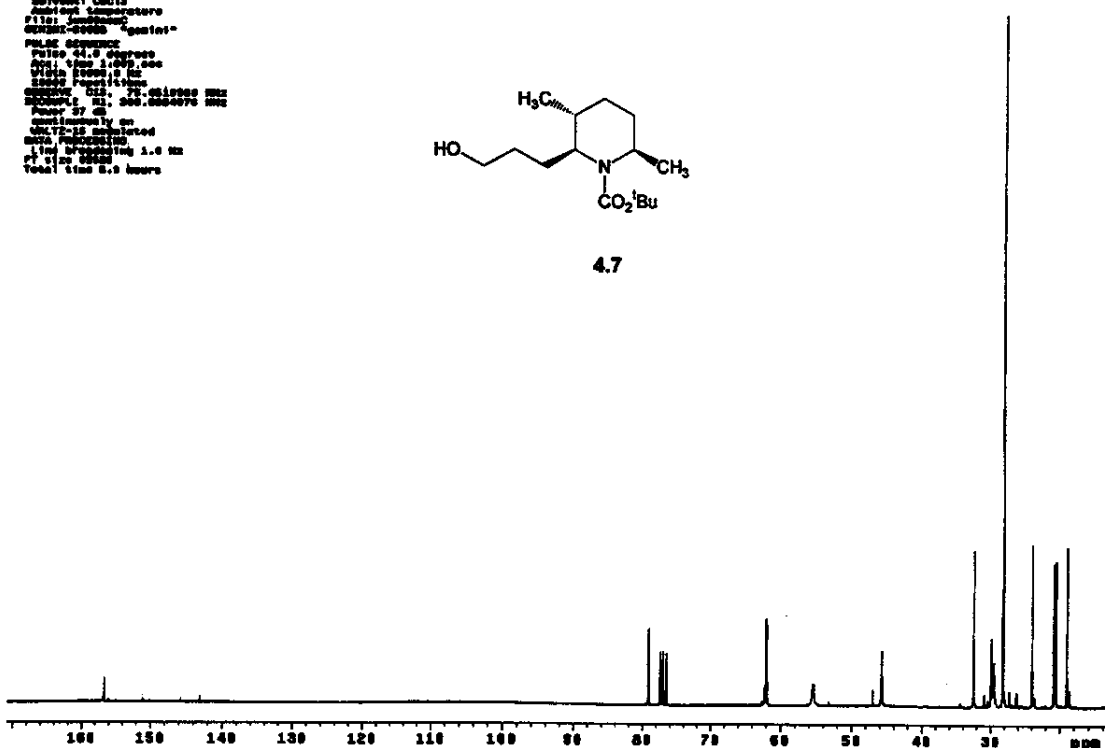
```

saturation: 0.00
decimation: 256
displayed: 256128
P110: 125.7MHz
QEM32-00000: "quadrupole"
Pulse 90 degrees
Aver: 1000.000
W100: 1000.000
W101: 1000.000
W102: 1000.000
QEM32-022: 75.000000 MHz
P110: 125.7MHz
P100: 300.0000075 ms
P101: 300.0000075 ms
continuity: on
W112-10: 0.0000000
W113-10: 0.0000000
W114-10: 0.0000000
P111: 0.0000000
P112: 0.0000000
Total time: 0.1 hours

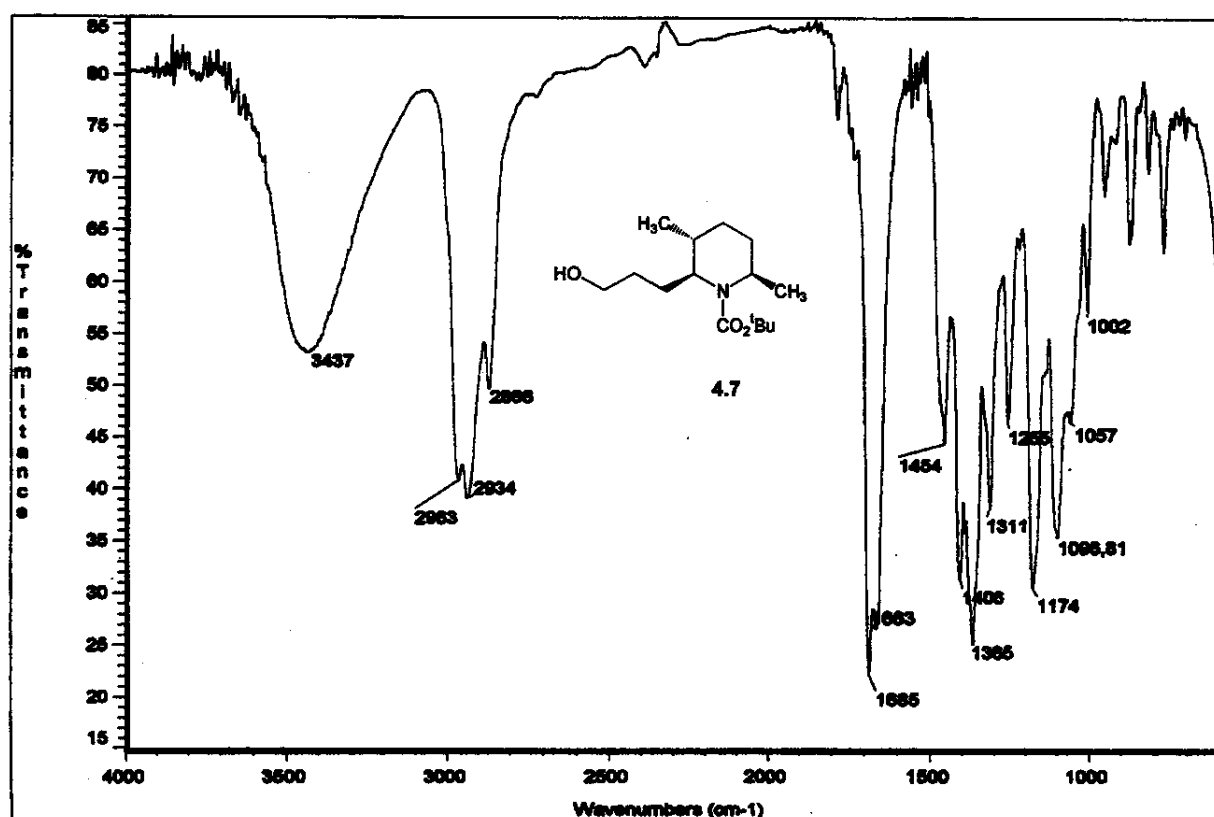
```



4.7



Anexo 4.7_IV: Filme em NaCl

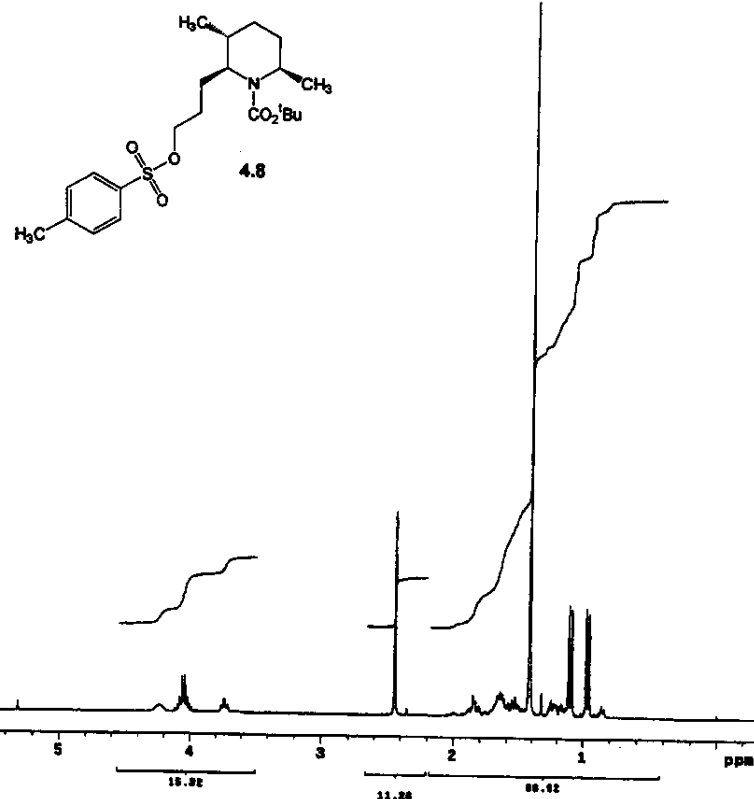


Anexos Capítulo 4
Anexo 4.8_H: ^1H -RMN (CDCl_3 , 300MHz, ta)

```

Aptekar "101" edc19 Jun17emad
Solvent: CDCl3
Acquisition temperature: 29.9
QEM321-32760 "Goceta1"
Pulse sequence:
Pulse 90.0 degrees
Acc. time 2.017 sec
W1 64.000 Hz
16 acquisitions
Sweep width 300.0079460 Hz
Data processing:
L1: Line broadening 0.3 Hz
FT size 32768
Total time 1 minute

```

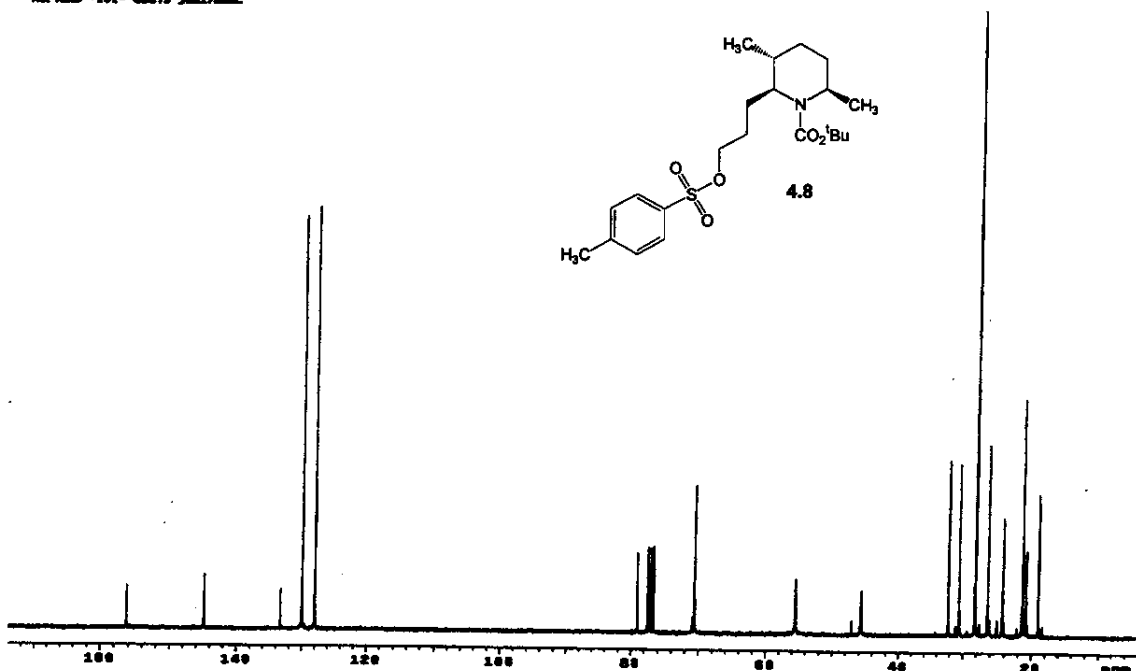


Anexo 4.8_C: ^{13}C -RMN (CDCl_3 , 75,4MHz, ta)

```

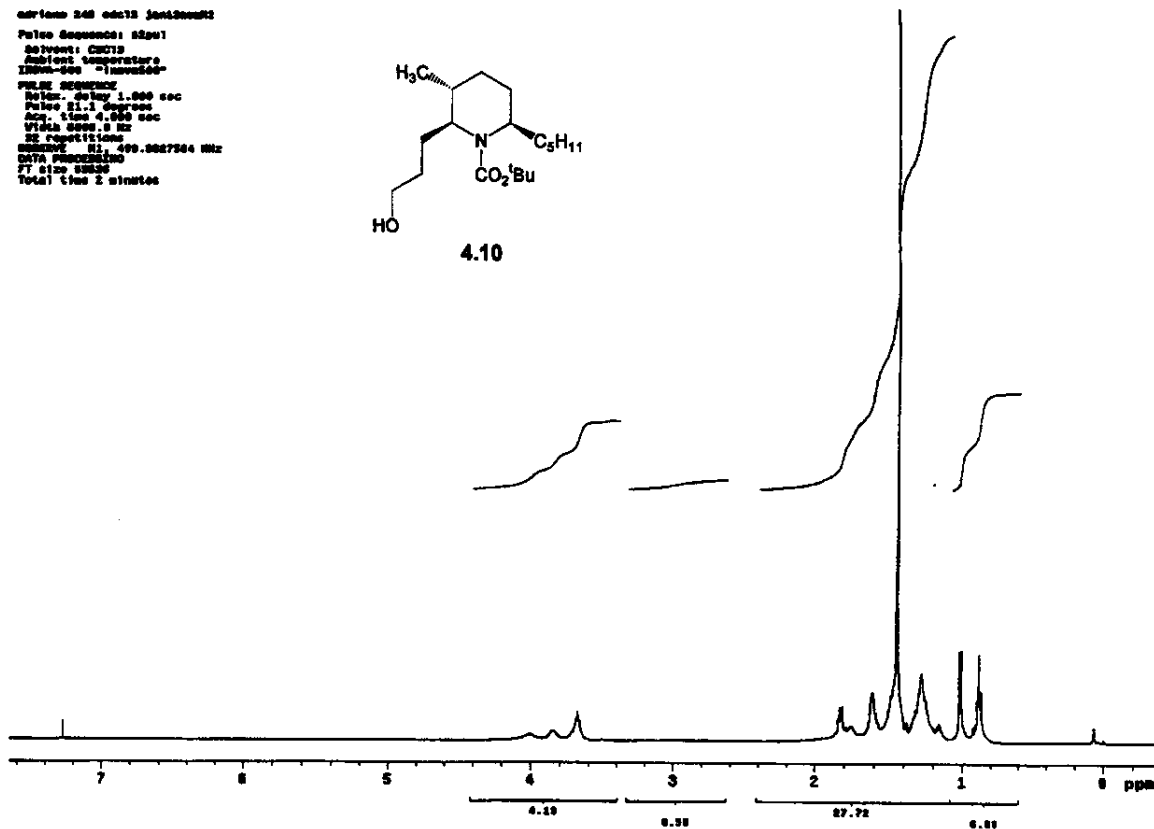
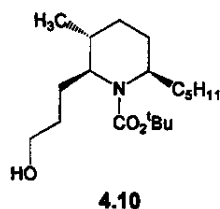
Aptekar "101" edc19 Jun17emad

```



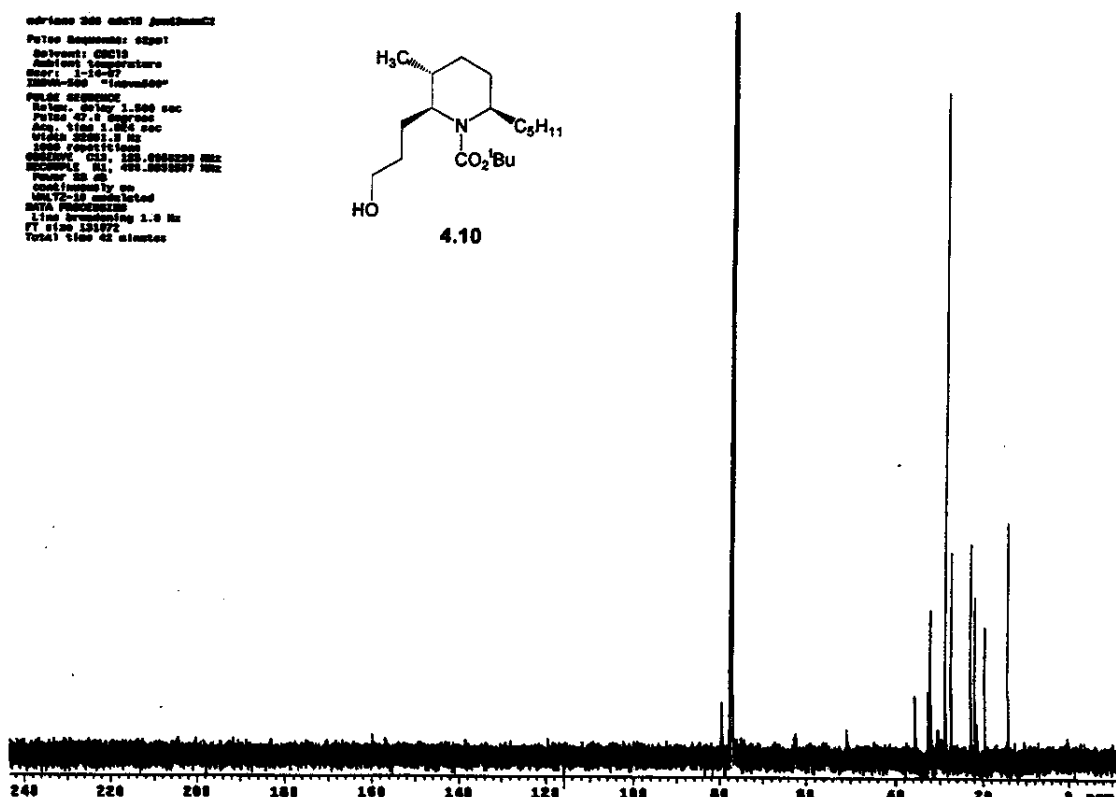
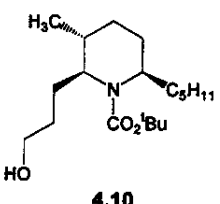
Anexos Capítulo 4
Anexo 4.10_H: ^1H -RMN (CDCl_3 , 500MHz, ta)

adriano 340 adriano JanssenBruker
Pulse Sequence: zgppr1d
Solvent: CDCl_3
Acquisition Structure:
ZMAX=500 "Inversed"
PULSE SEQUENCE
Wait: delay 1.000 sec
Pulse: 90.0°, 1.000 sec
Acq. time: 4.00 sec
VRAM: 32000.0 Hz
SWFID: 4096.00072564 kHz
DATA PROCESSING
FT Size: 8192
Total time: 2 minutes

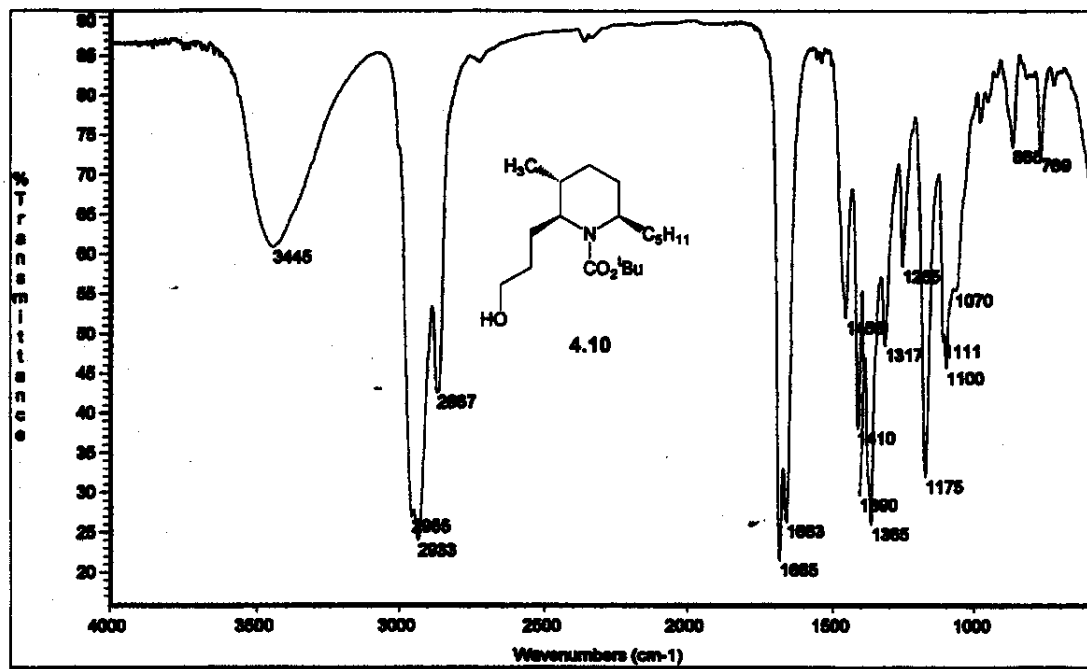


Anexo 4.10_C: ^{13}C -RMN (CDCl_3 , 125,7MHz, ta)

adriano 340 adriano JanssenBruker
Pulse Sequence: zgppr1d
Solvent: CDCl_3
Acquisition Structure:
Wait: 1.000 sec
ZMAX=500 "Inversed"
PULSE SEQUENCE
Wait: 0.000 sec
Pulse: 97.0°, 1.000 sec
Acq. time: 1.000 sec
VRAM: 32000.0 Hz
SWFID: 4096.00072564 kHz
DATA PROCESSING
FT Size: 131072
Total time: 1.000 sec



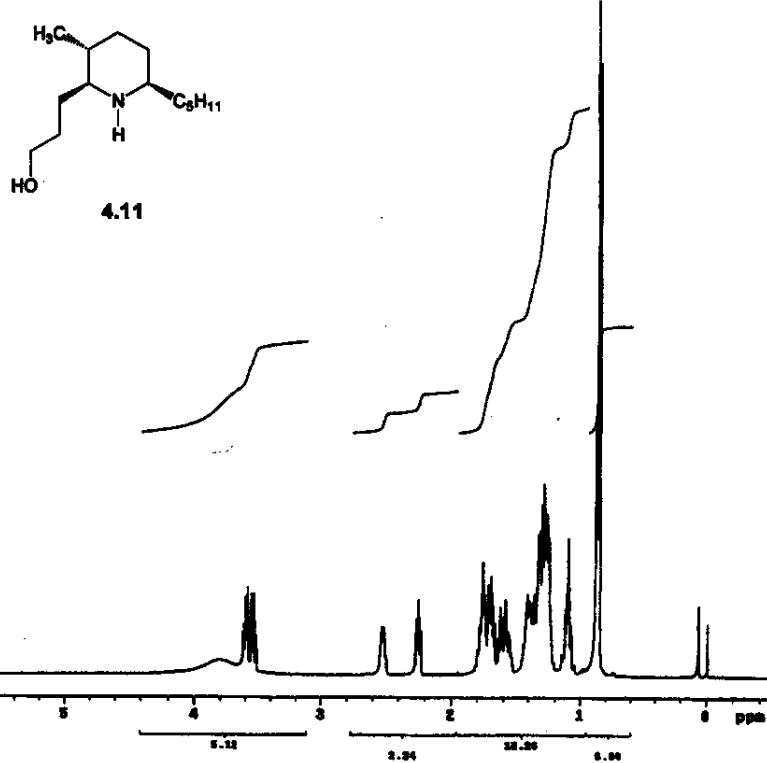
Anexo 4.10_IV: Filme em NaCl

Anexo 4.11_H: ^1H -RMN (CDCl_3 , 500MHz, ta)

```

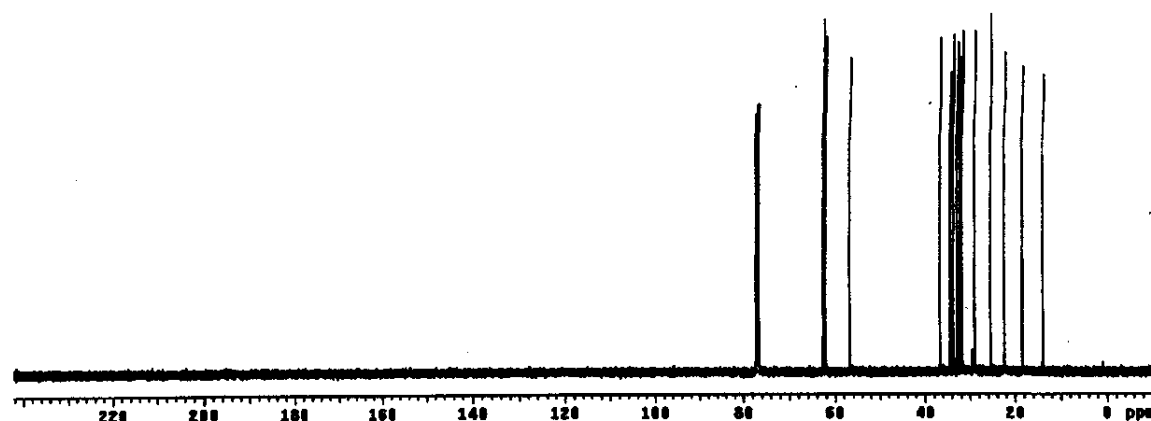
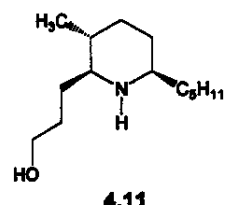
norton 250-II edc13 Jan12
Pulse Sequences: zgppi1
Solvent: CDCl3
Acquisition Temperature:
DPPM=100 "Reference"
Pulse: zgppi1
Sweep width: 1,000 Hz
Pulse 90.4 degrees
Accumulation: 4,000 sec
VRAM: 1024K
32 Rovations
Chemical Shift: Hz, 400.007704 Hz
SWF: 10000 Hz
PT: 216 sec
Total Time: 2 minutes

```

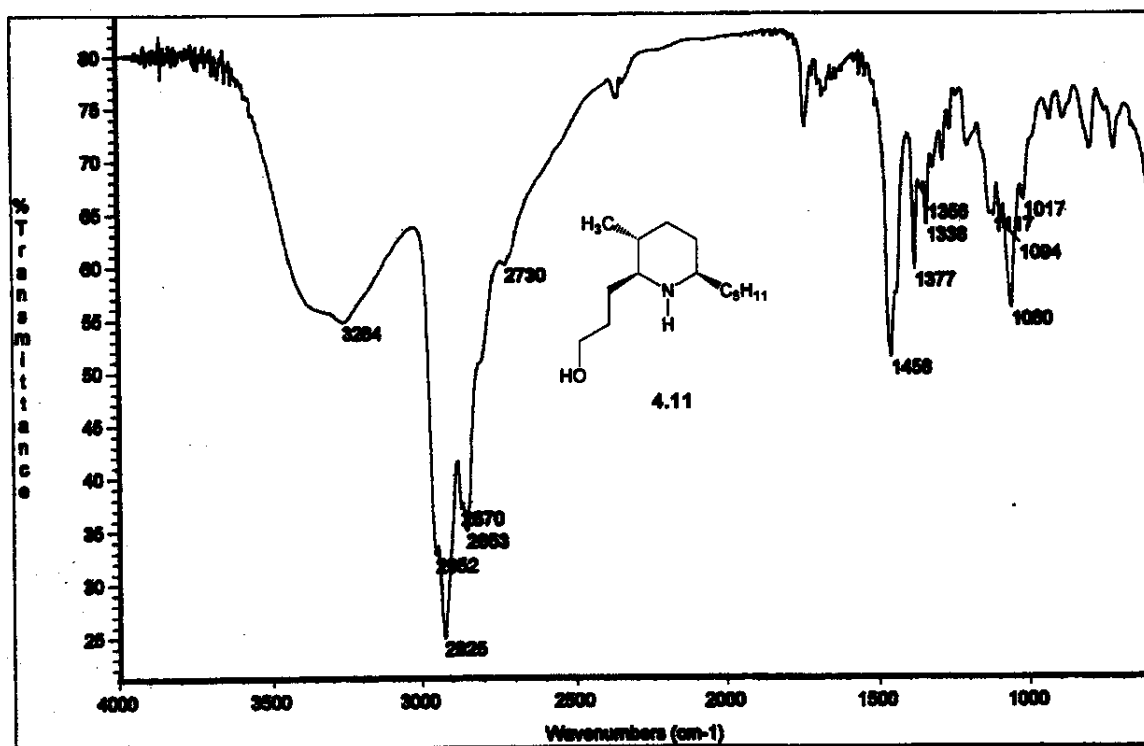


Anexos Capítulo 4
Anexo 4.11_C: ^{13}C -RMN (CDCl_3 , 125,7MHz, ta)

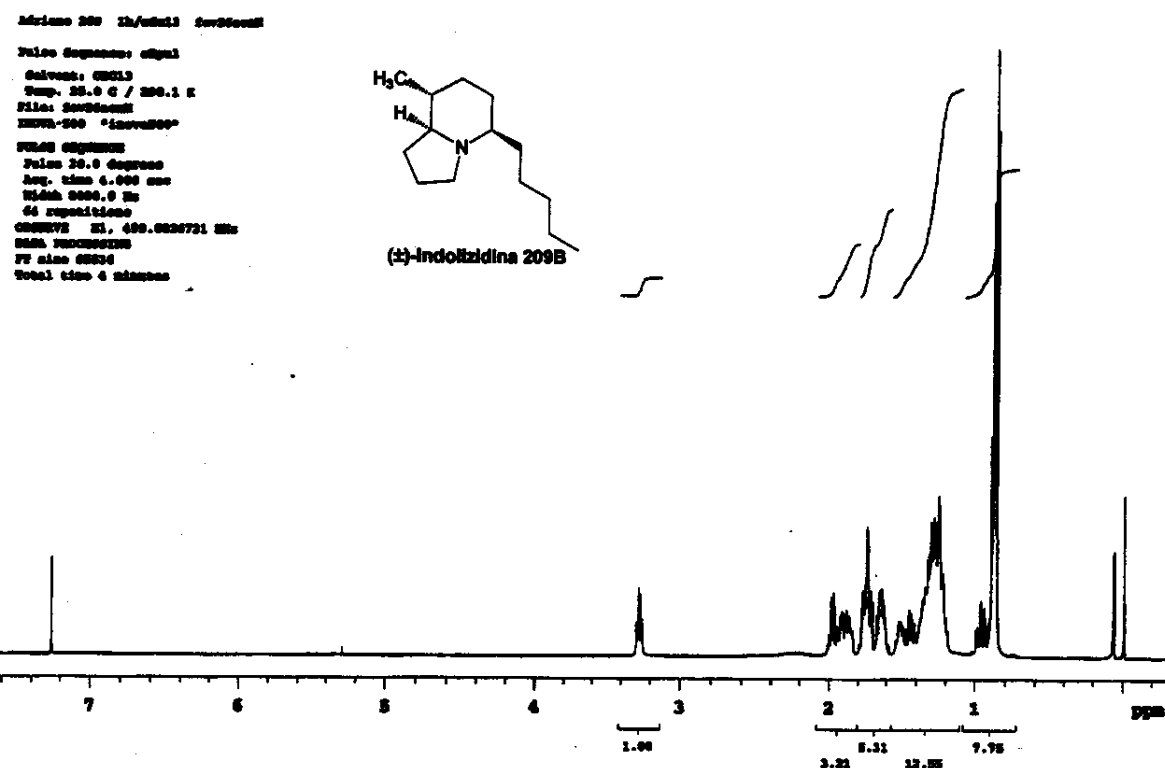
xv



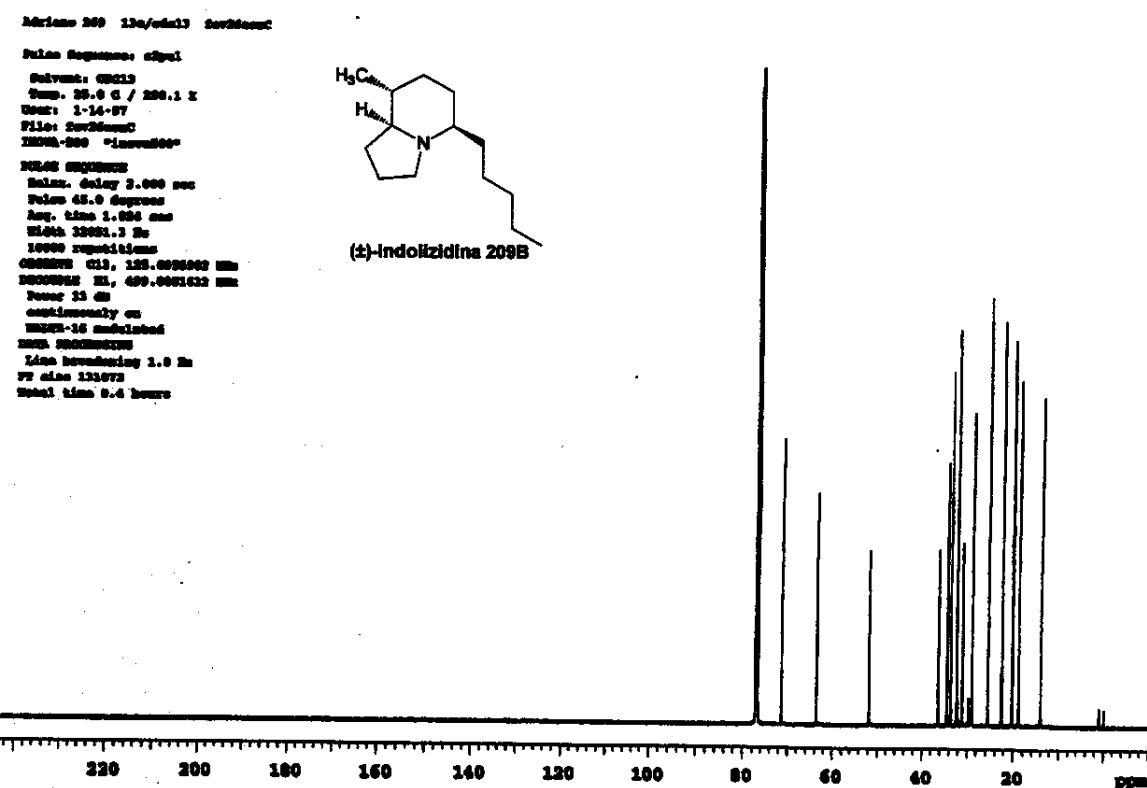
Anexo 4.11 IV: Filme em NaCl



Anexos Capítulo 4
Anexo Indolizidina_209B_H: ^1H -RMN (CDCl₃, 500MHz, ta)

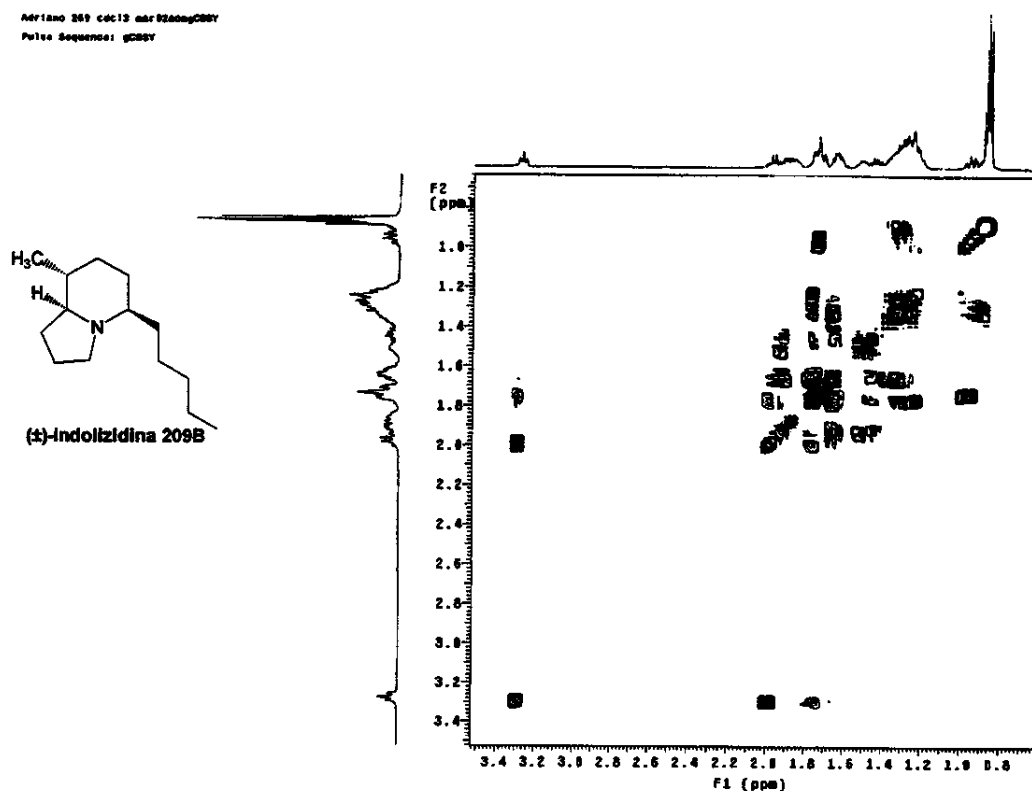


Anexo Indolizidina_209B_C: ^{13}C -RMN (CDCl₃, 125,7MHz, ta)



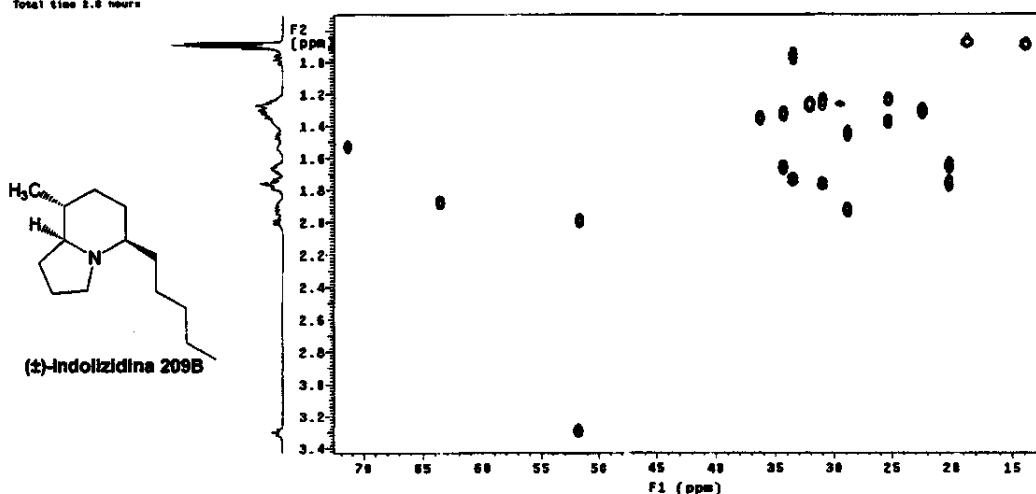
Anexos Capítulo 4
Anexo Indolizidina_209B_gCOSY: gCOSY (CDCl₃, 500MHz, ta)

Adyland 269 cdcl3 adt82admgCOSY
Pulse Sequence: gCOSY

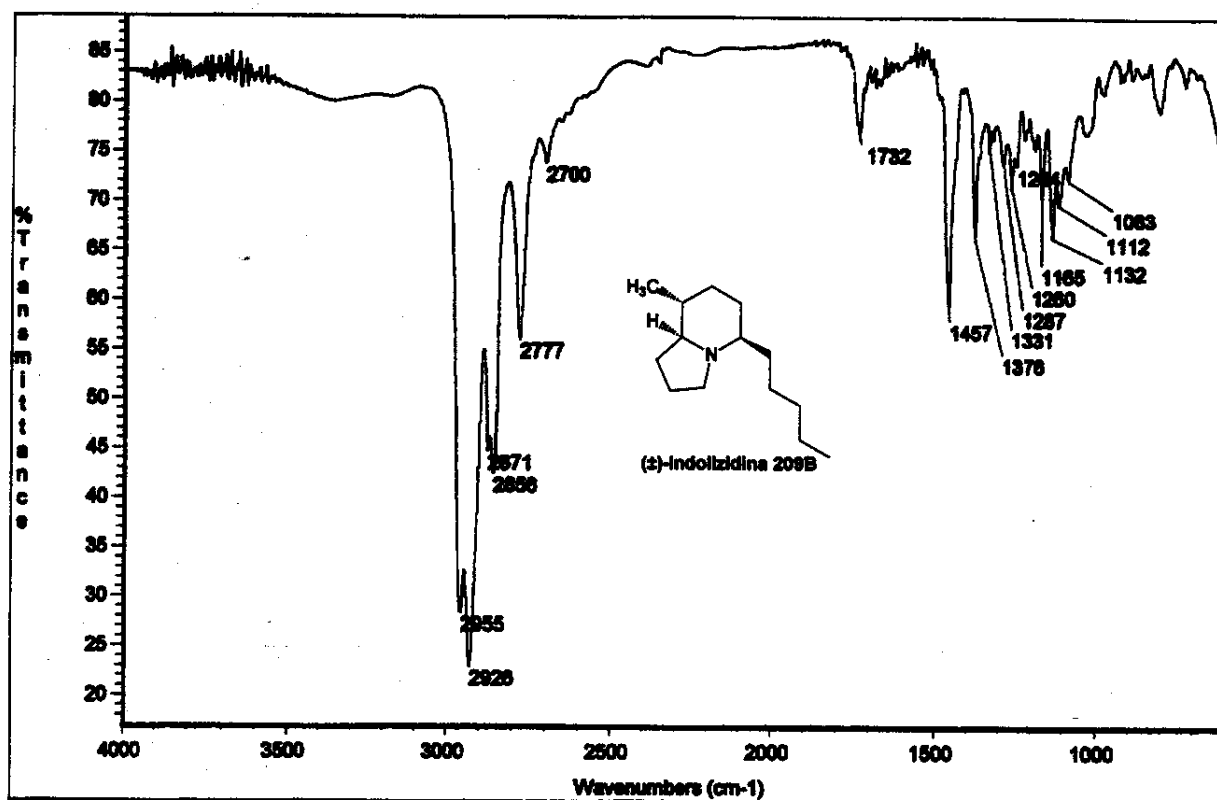


Anexo Indolizidina_209B_HSQC: HSQC (CDCl₃, 500MHz, ta)

Adyland 269 cdcl3 adt82admgHSQC
Pulse Sequence: HSQC
Solvent: CDCl₃
Temp: 25.0 C / 230.1 K
Inter: 124.0 "Invert90"
TDRIVE=500 "Invert500"
PULSE SEQUENCE: HSQC
Waiter, delay 1.000 sec
Zero FID, 128 scans
Width: 4428.8 Hz
90 Width: 110.7 Hz
SD Width: 110.7 Hz
2 K 128 increments
OBSERVE: H1, 499.8926710 MHz
OCCUPY: CDCl₃ 125.7603770 MHz
Power: 40
On during acquisition
Off during processing
D90=90°
D90p=90°
DATA PROCESSING
Zero filling: 0.167 sec
F1 DATA PROCESSING
Gauss Apodization 0.012 sec
FT Size: 1024 x 1024
Total time 2.0 hours



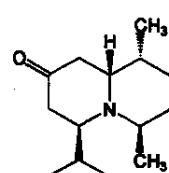
Anexo Indolizidina_209B_IV: Filme em NaCl

Anexo 4.12_H: ^1H -RMN (CDCl_3 , 500MHz, ta)

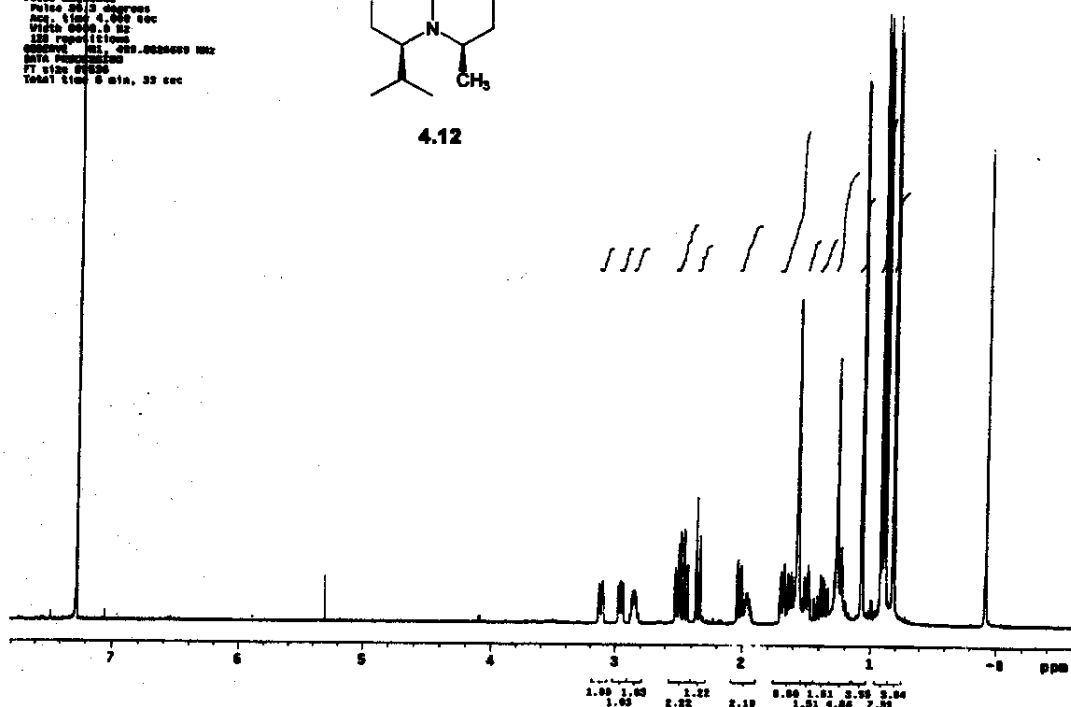
```

anexo_4.12_500-2.dat 24maio2012
Pulse Sequence: zg30
Solvent: CDCl3
Temp: 25.0 C / 298.1 K
Pulse: 90.0 degrees
TE(0.000) = "Inacess"
Pulse sequence
Pulse 90.0 degrees
Acc. time: 0.00 sec
W1: 1.00 sec
128 repetitions
Sweep: 1.00 sec, 0.000000 Hz
SWFID: 0.000000
FT size: 65536
Total time: 6 min, 32 sec

```



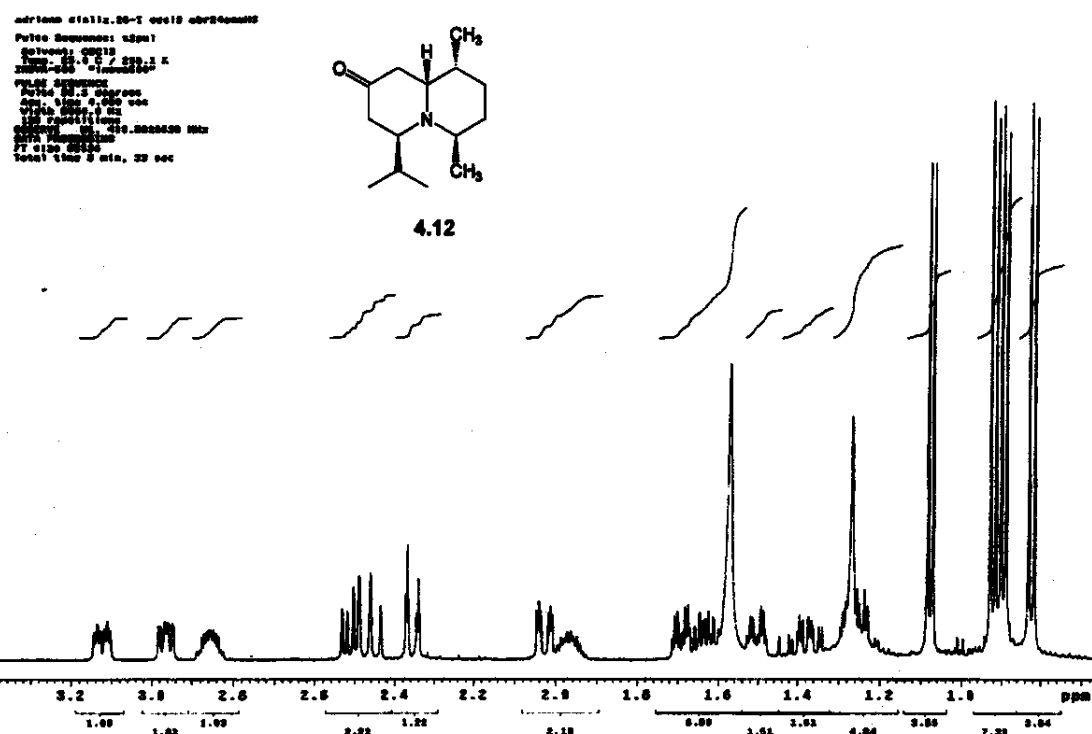
4.12



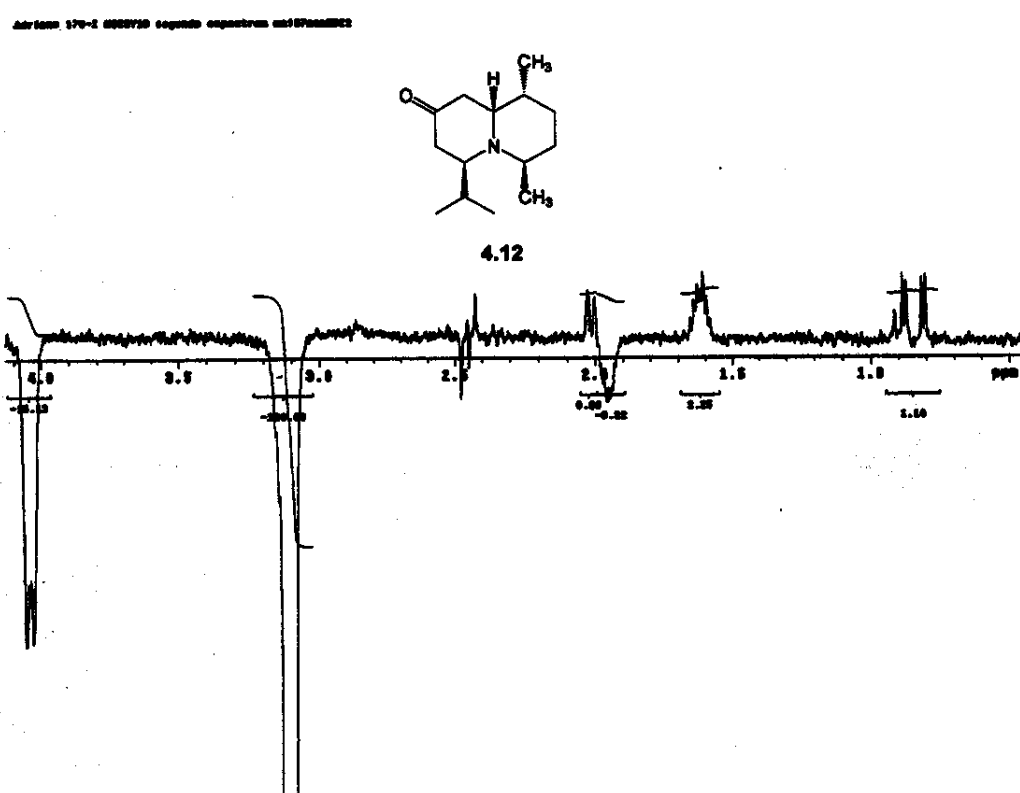
Anexos Capítulo 4

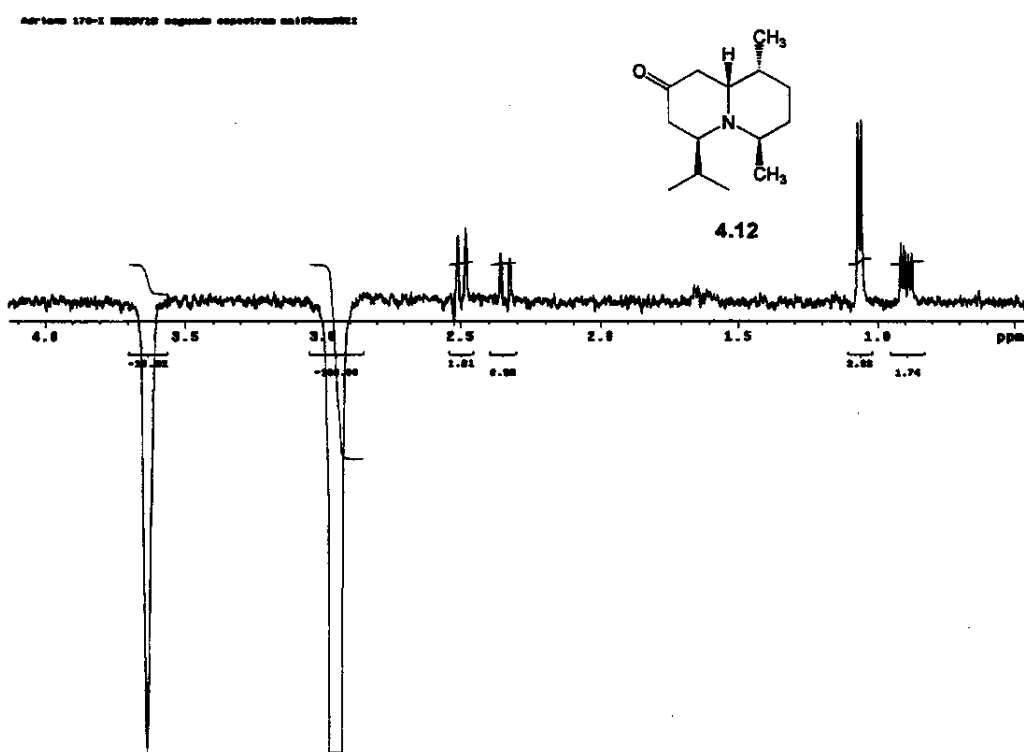
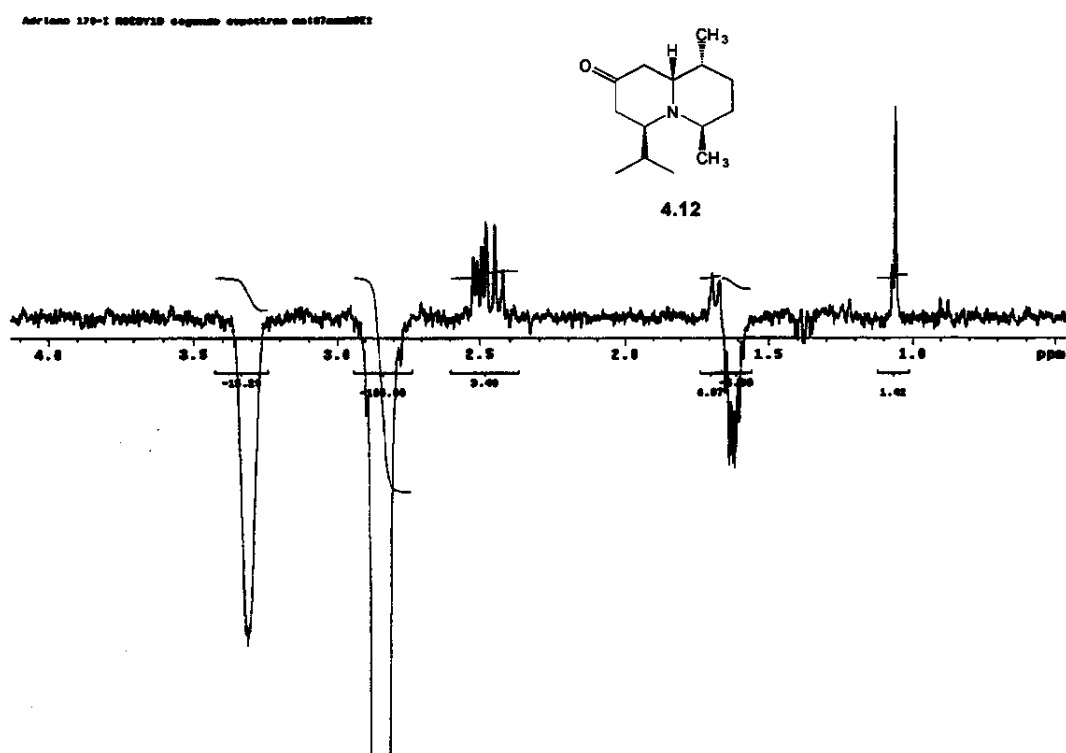
xix

Anexo 4.12_H: ^1H -RMN (CDCl_3 , 500MHz, ta) expansão



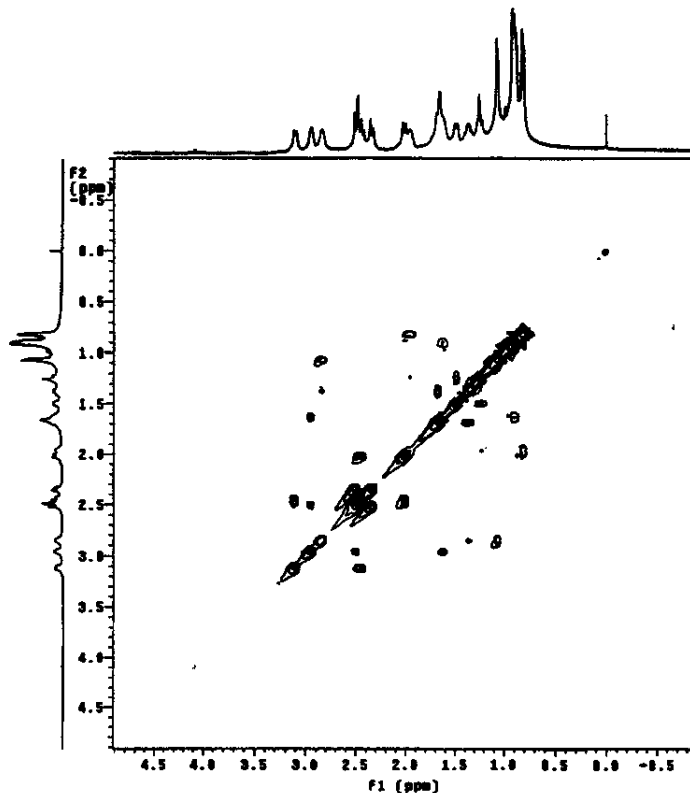
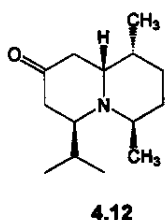
Anexo 4.12_NOESY1D: nOe: Irradiação δ 3,10 (CDCl_3 , 500MHz, ta)



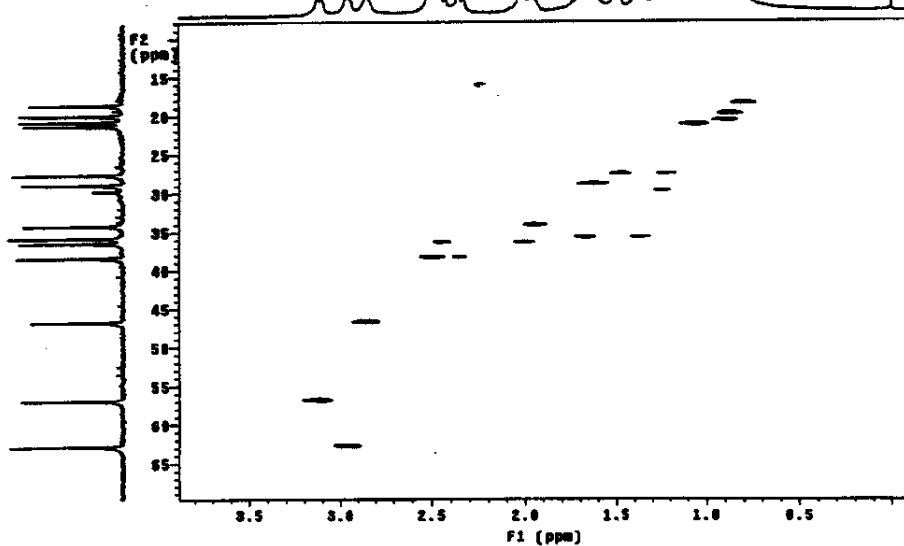
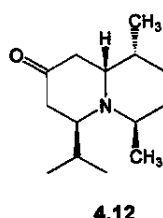
Anexo 4.12_NOESY1D: nOe: Irradiação δ 2,96 (CDCl₃, 500MHz, ta)**Anexo 4.12_NOESY1D: nOe: Irradiação δ 2,85 (CDCl₃, 500MHz, ta)**

Anexos Capítulo 4
Anexo 4.12_gCOSY: gCOSY (CDCl₃, 500MHz, ta)

Adress: 370-2 abr13nmddET000
 Aufnahm: CDCl₃
 Auflösung, Temperatur:
 ZEPP=500 °Innenref.
 Protonenresonanz: 1H
 Det. Zeits: 0.175 sec
 W100: 1000.0 Hz
 W100: 1000.0 Hz
 4 Repetitionen
 250 Tackpunkte
 Distanz: 11.111.0026636 Hz
 DATA PROCESSING:
 Zline: 0.000 sec
 F1: 0.000 sec
 Zline: 0.000 sec
 F1: 0.000 sec
 FT size: 1024 x 1024
 Total time: 37 minutes



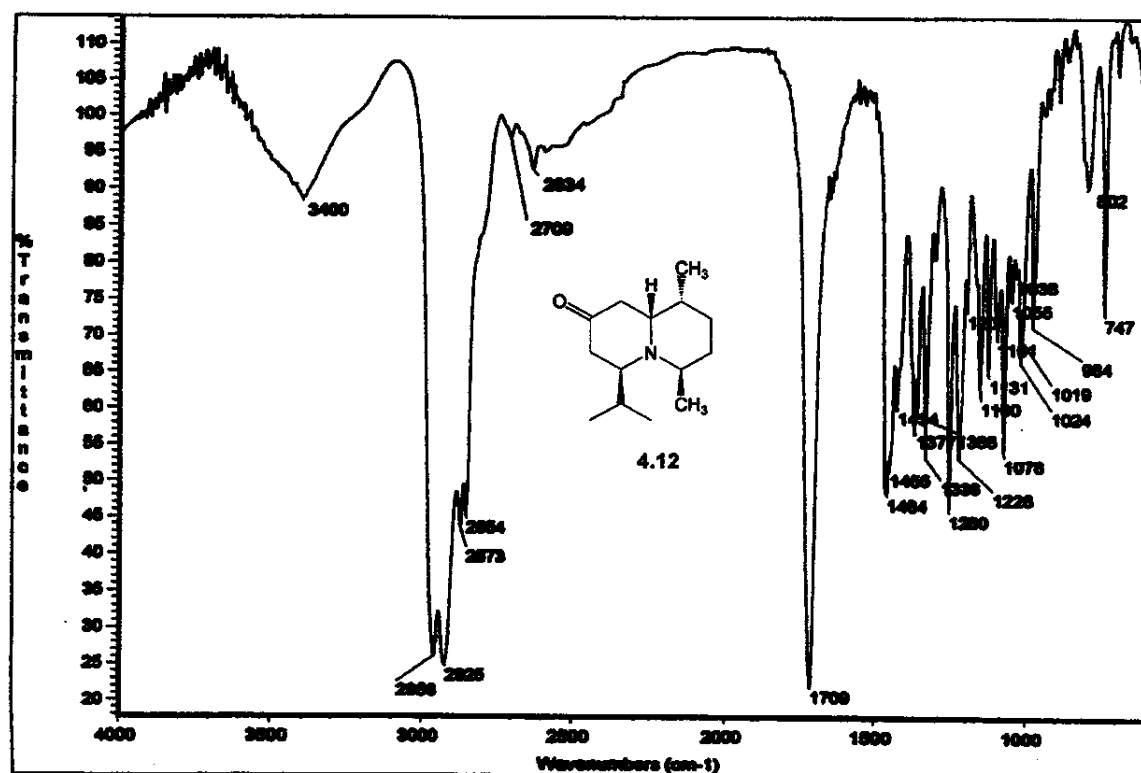
Adress: 370-2 abr13nmddET000
 Aufnahm: CDCl₃
 Auflösung, Temperatur:
 ZEPP=500 °Innenref.
 Protonenresonanz: 1H
 Det. Zeits: 0.000 sec
 W100: 7627.0 Hz
 W100: 400.000007 Hz
 100 Repetitionen
 128 Tackpunkte
 Distanz: 11.111.0026636 Hz
 Distanz: 11.111.0026636 Hz
 Distanz: 11.111.0026636 Hz
 Distanz: 11.111.0026636 Hz
 DATA PROCESSING:
 Zline: 0.000 sec
 F1: 0.000 sec
 Zline: 0.000 sec
 F1: 0.000 sec
 FT size: 1024 x 1024
 Total time: 22.0 hours



Anexos Capítulo 4

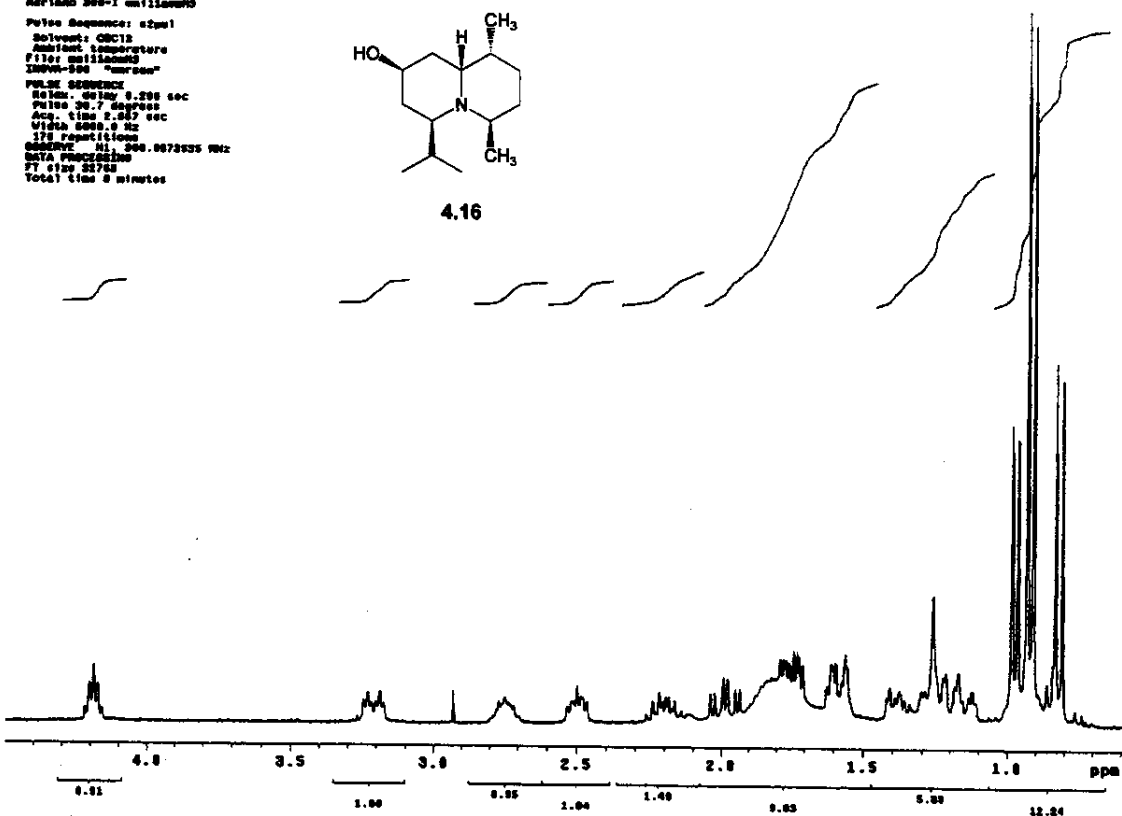
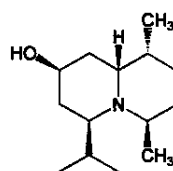
xxii

Anexo 4.12_IV: Filme em NaCl



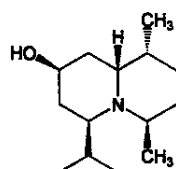
Anexo 4.16_H: ^1H -RMN (CDCl_3 , 500MHz, ta)

Adriano 300-I unilokemo
Pulse Sequence: zgppr1
Solvent: CDCl_3
Ambient temperature
DPPM-500 "Tuning"
PULSE SEQUENCE
 Relaxation delay 8.285 sec
 Pulse 90.7 degrees
 Scan time 2.087 sec
 Window 1024 points
 172 repetitions
 64K AVE N1=204.0073835 Hz
 27.0125 35768
 Total time 8 minutes

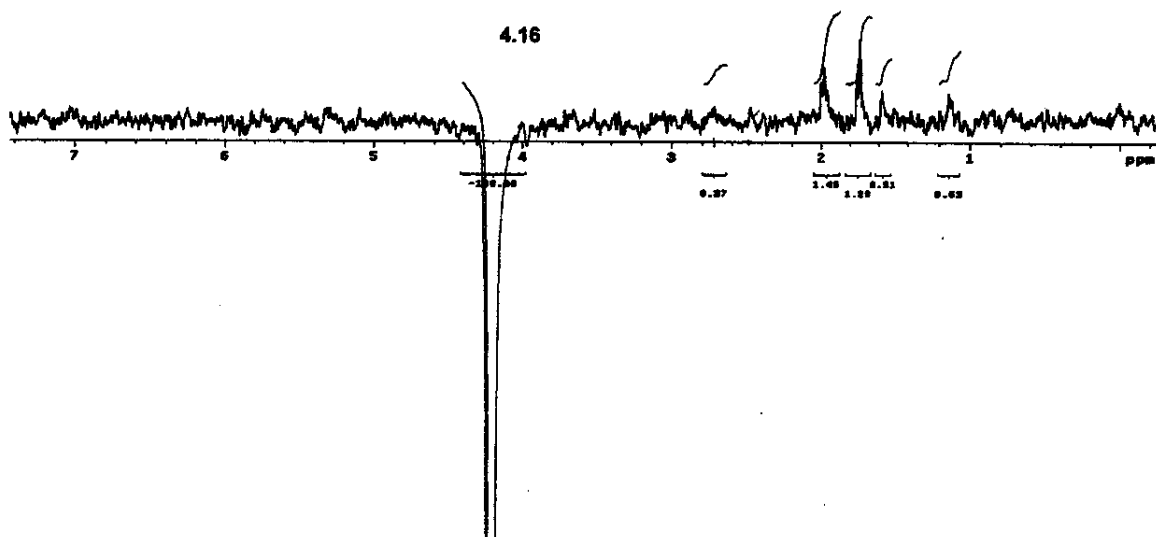


Anexo 4.16_CYLENOE: nOe: Irradiação δ 4,18 (CDCl₃, 500MHz, ta)

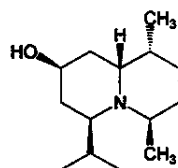
Adriano 370-X2 CDCl₃ nOeCYCLOE
 Pulse Sequence: cycloE
 Solvent: CDCl₃
 Ambient temperature
 SWPPW-500 "version"
 PULSE SEQUENCE: cycloE
 Pulse: 90.000 sec
 Acq.: 3.000 sec
 Mixing: 0.000 sec
 SWP: 0.000 sec
 T2W: 0.000 sec
 FID: 256000
 256 repetitions
 OBSERVE: CDCl₃, 77.021051 MHz
 DPPM: 2000000000 Hz
 Line broadening: 3.0 Hz
 Total time: 65 minutes



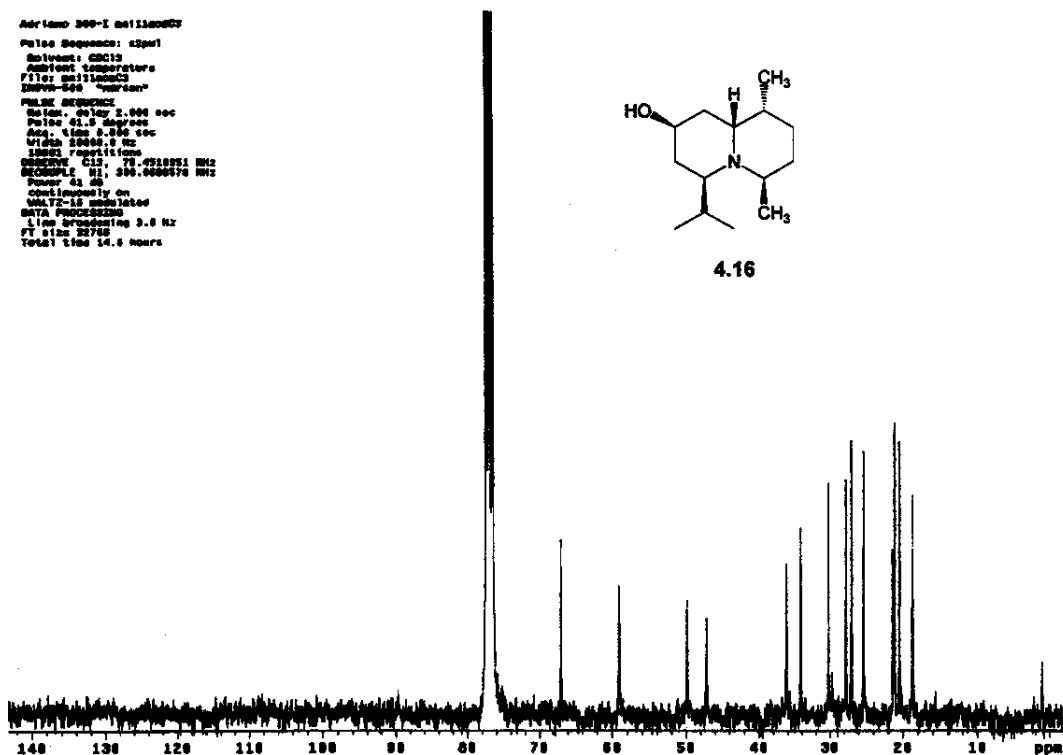
4.16

Anexo 4.16_C: ¹³C-RMN (CDCl₃, 75,4MHz, ta)

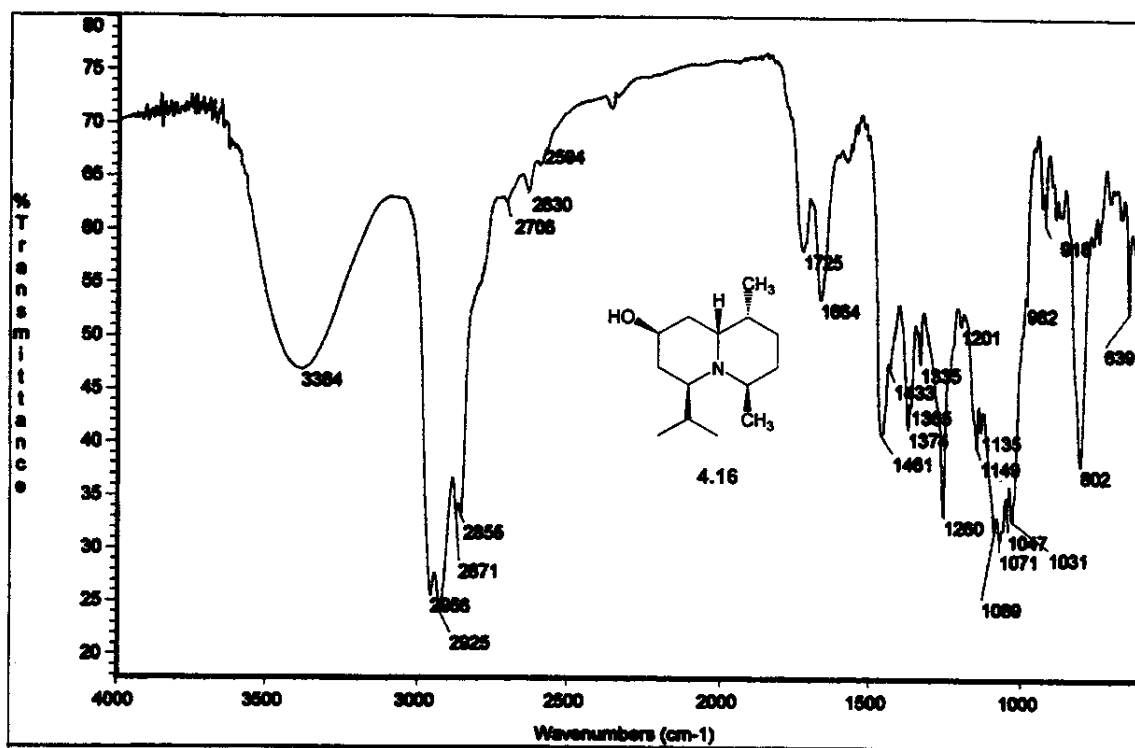
Adriano 300-X2 nOeCYC
 Pulse Sequence: cypel
 Solvent: CDCl₃
 Ambient temperature
 Filter: ambientCD3
 SWPPW-500 "version"
 PULSE SEQUENCE:
 Pulse: 90.000 sec
 Pulse 41.5 degrees
 Acq.: 3.000 sec
 Mixing: 0.000 sec
 T2W: 0.000 sec
 1024L repetitions
 OBSERVE: CDCl₃, 77.021051 MHz
 DPPM: 2000000000 Hz
 FID: 256000
 continuously on
 MSLT2-12 modulated
 SWP: 0.000 sec
 Line broadening: 3.0 Hz
 FT size: 32768
 Total time: 14.8 hours



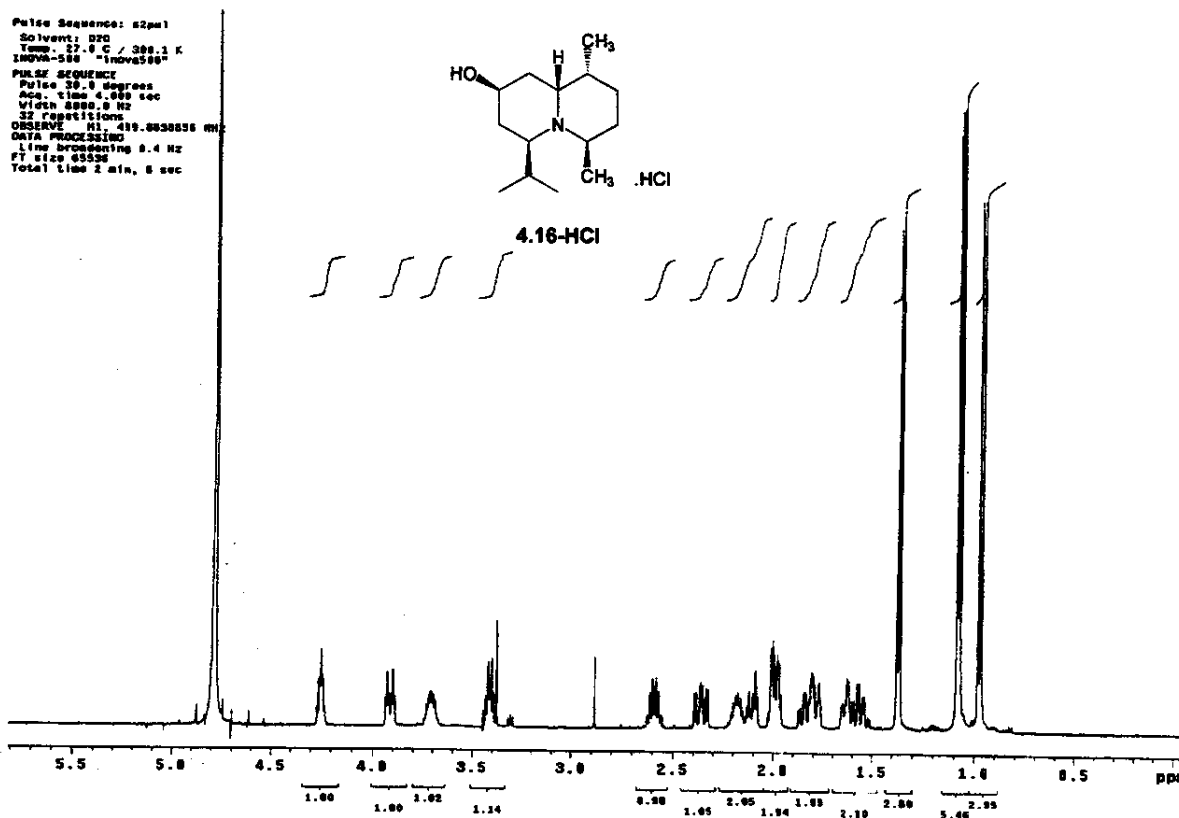
4.16



Anexo 4.16_IV: Filme em NaCl

Anexo 4.16-HCl_H: ^1H -RMN (D_2O , 500MHz, ta)

Pulse Sequence: s2p1
 Solvent: D_2O
 Temp: 27.0 °C / 300.1 K
 INNOVA-500 "Inova500"
 PULSE SEQUENCE
 Pulse 90.0 degrees
 Acc. time 4.000 sec
 Width 4000.0 Hz
 32 repetitions
 DPPM reference 399.8638656 MHz
 DATA PROCESSING
 Line broadening 0.4 Hz
 FT size 65536
 Total time 2 min, 8 sec



Anexos Capítulo 4

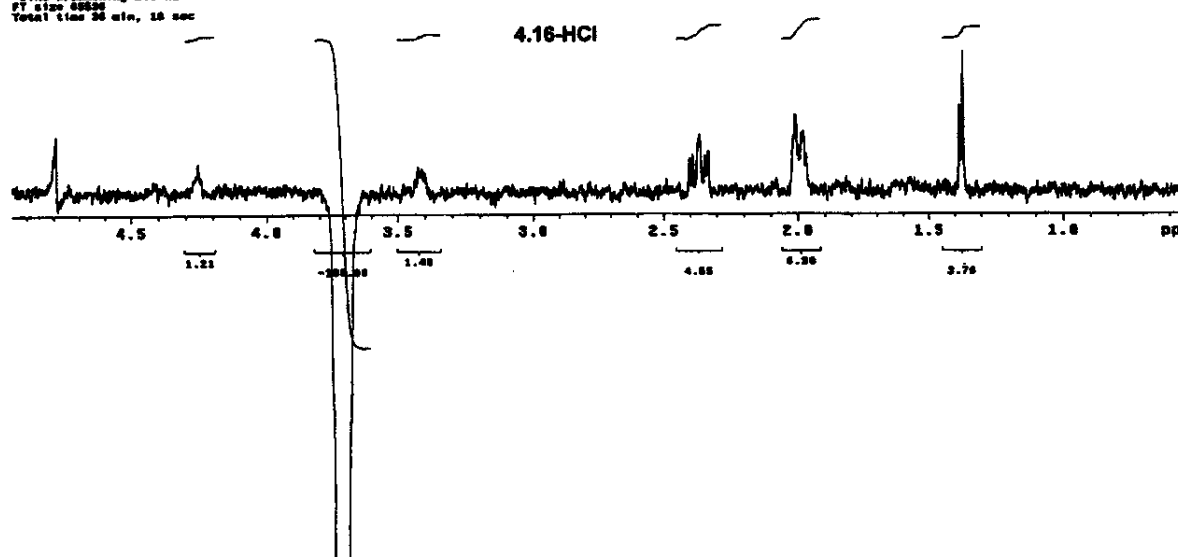
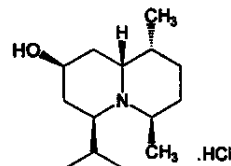
XXV

Anexo 4.16-HCl_NOESY1D: nOe: Irradiação δ 3,71 (D₂O, 500MHz, ta)

```

Adriano 300-sel 000 m1220m0005v1p3
Pulse Sequence: NOESY1D
Solvent: D2O
Temp.: 27.0 C / 300.1 K
INNOVA-500 "Inova500"
PULSE SEQUENCE: NOESY1D
Data points: 2,000 FID
Pulse width: 9.0 microseconds
Mixing: 0.300 sec
Acc. time: 4.0 sec
Water Suppression: 0.0 sec
3200 repetitions
SWEEP: 411.499.0000040 MHz
DATA PROCESSING
Line broadening: 1.0 Hz
PT size: 65536
Total time: 36 min., 16 sec

```

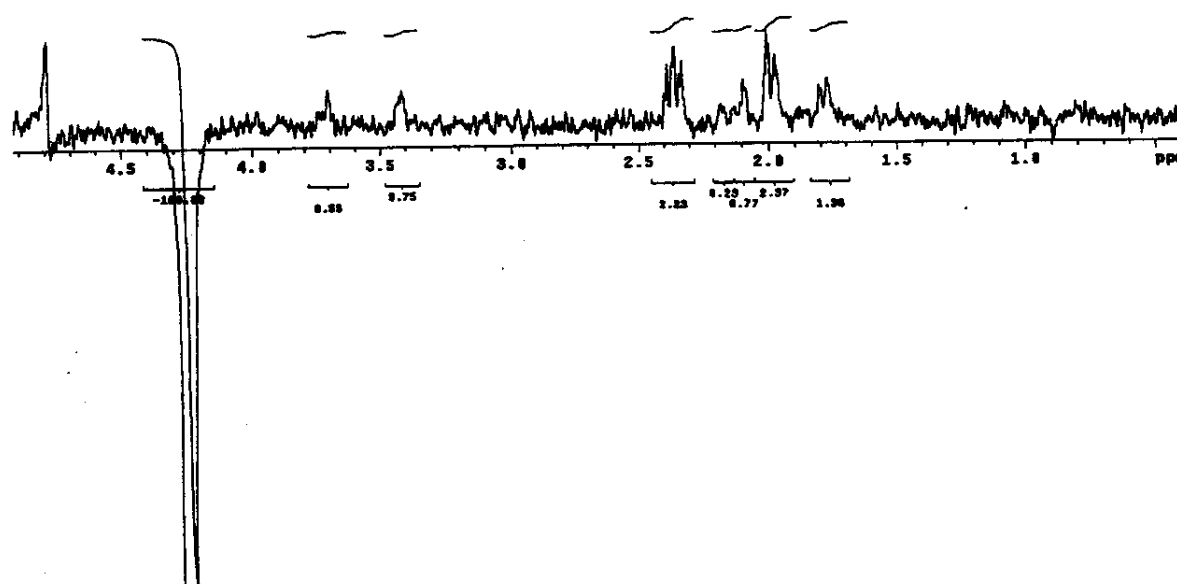
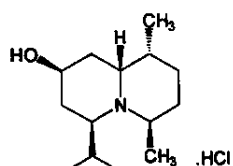


Anexo 4.16-HCl_NOESY1D: nOe: Irradiação δ 4,25 (D₂O, 500MHz, ta)

```

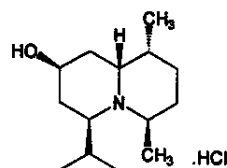
Adriano 300-sel 000 m1220m0005v1p3
Pulse Sequence: NOESY1D
Solvent: D2O
Temp.: 27.0 C / 300.1 K
INNOVA-500 "Inova500"
PULSE SEQUENCE: NOESY1D
Data points: 2,000 FID
Pulse width: 9.0 microseconds
Mixing: 0.300 sec
Acc. time: 4.0 sec
Water Suppression: 0.0 sec
3200 repetitions
SWEEP: 411.499.0000040 MHz
DATA PROCESSING
Line broadening: 1.0 Hz
PT size: 65536
Total time: 1 hr., 35 min., 40 sec

```

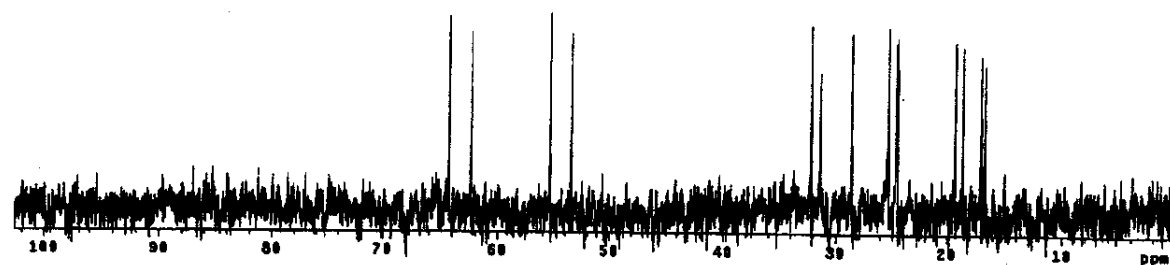


Anexos Capítulo 4
Anexo 4.16-HCl_C: ^{13}C -RMN (D_2O , 125,7MHz, ta)

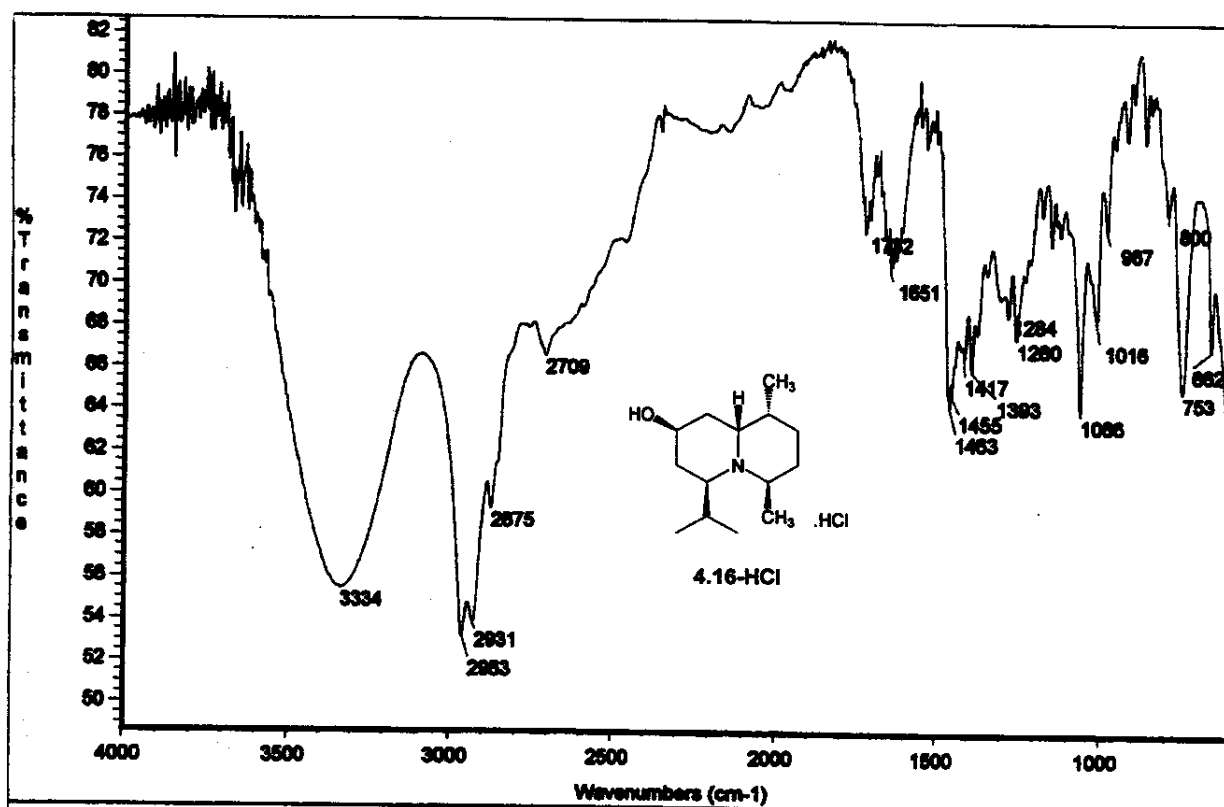
Adriano 300-MAT 020 ms(2)msc
 Pulse Sequence: s2p01
 Solvent: D2O
 Temp: 27,0 C / 300,1 K
 QSI: 125,7MHz
 Filter: 122,3msc
 INFORM-500 "Inova500"
 PULSE SEQUENCE
 Relax. delay 1.500 sec
 Pulse 45,0 degrees
 Acq. time 12,0 sec
 VNA 22001,3 Hz
 10000 repetitions
 OBSERVE: C13, 125,7550000 Hz
 DECIMPL: 401,3864476 Hz
 Points: 32K
 continuously on
 WALTZ-16 simulated
 DATA PROCESSING
 Line broadening 4,0 Hz
 FT size 121072
 Total time 7 hr, 2 min, 12 sec



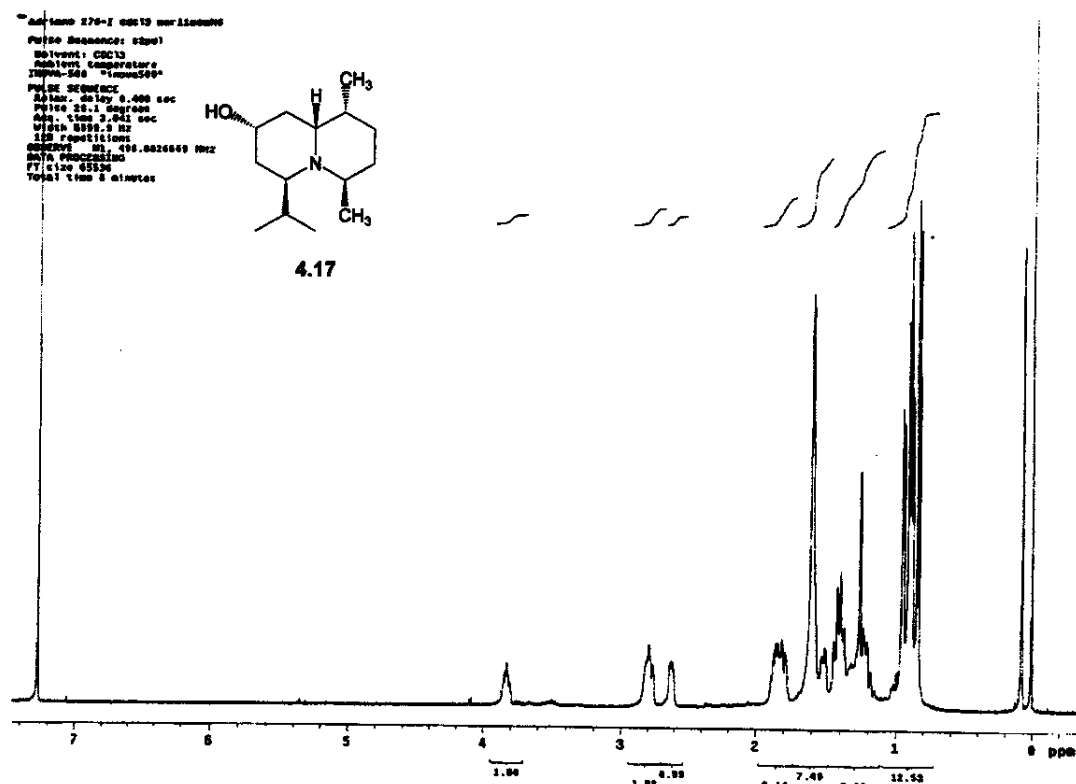
4.16-HCl



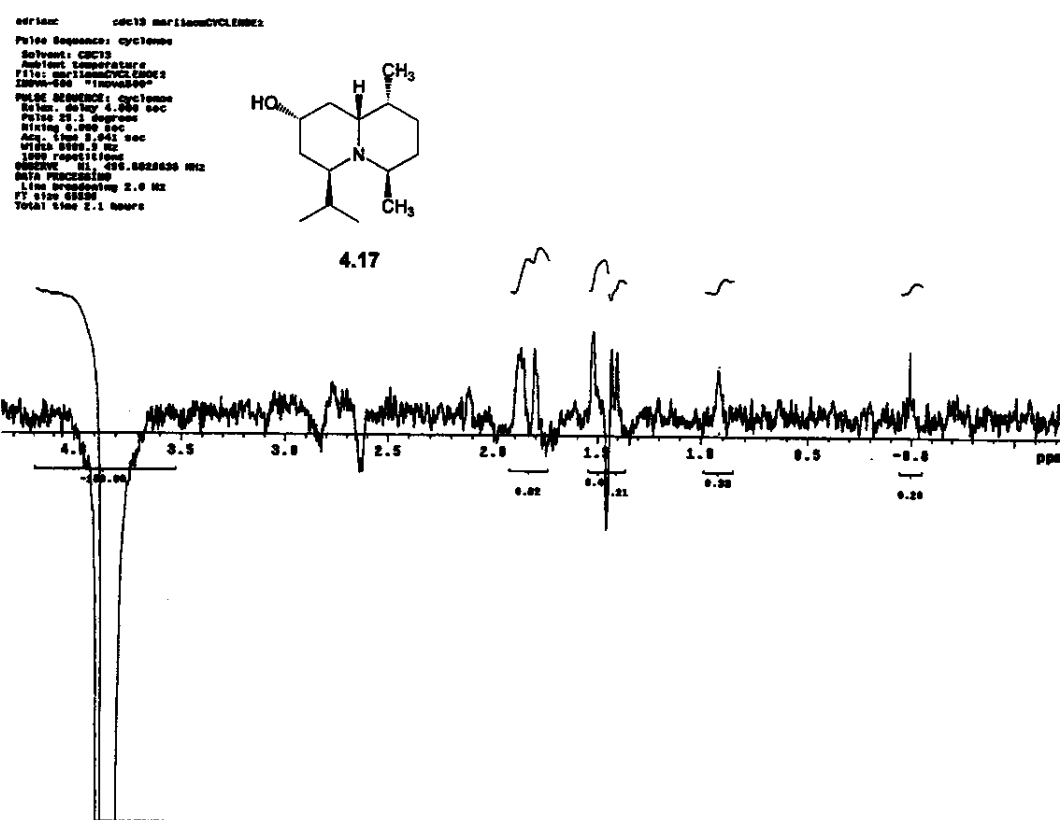
Anexo 4.16-HCl_IV: Filme em NaCl



Anexos Capítulo 4
Anexo 4.17_H: ^1H -RMN (CDCl_3 , 500MHz, ta)



Anexo 4.17_CYCLOENOE: nOe: Irradiação δ 3,83 (CDCl₃, 500MHz, ta)



Anexos Capítulo 4

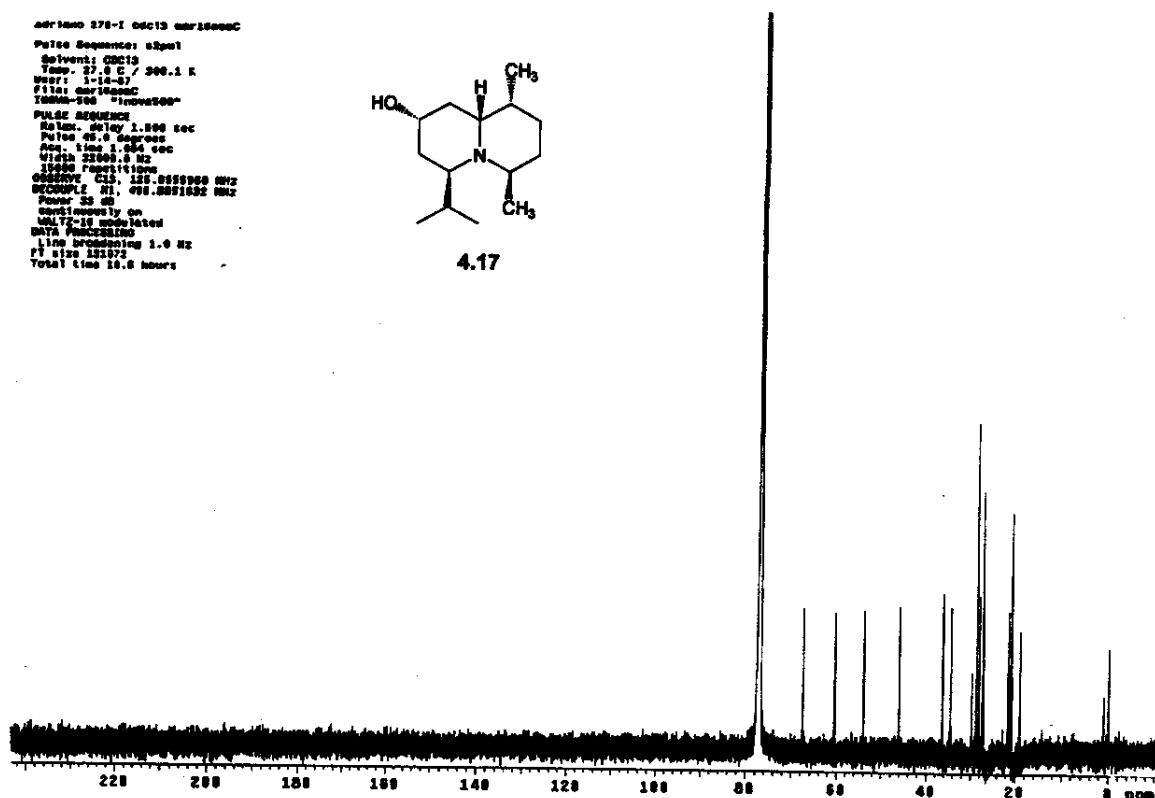
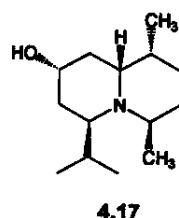
xxviii

Anexo 4.17_C: ^{13}C -RMN (CDCl_3 , 125,7MHz, ta)

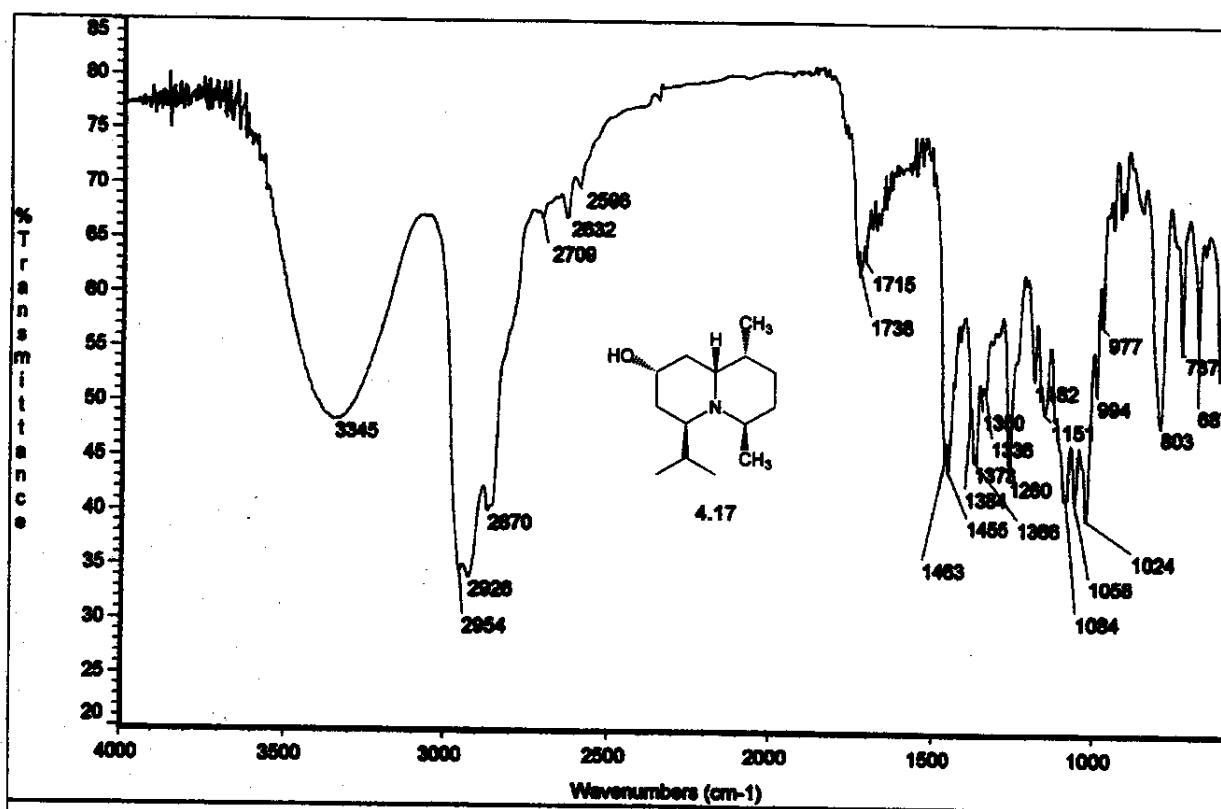
```

anexo 378-1 cdcl3 carboc13
Pulse Sequence: zgppr1
Solvent: CDCl3
Temp: 27.0 C / 300.1 K
W1FID: 1-14-01
Filter: 0.000000
TEMMR-500 "Inversor500"
PULSE SEQUENCE
R1=0.0, delay 1.000 sec
Polar: 90.0 degrees
Ref: TMS, 0.0 sec
Width 23500.0 Hz
15000 repetitions
Oscilosc: FID, 125.000000 MHz
Decimation: 256, 4096.000000 kHz
Power: 55 dB
continuously on
LWPs: T2-10 undelayed
DATA: 1024 points
line broadening 1.0 Hz
RT size 151072
Total time 10.8 hours

```



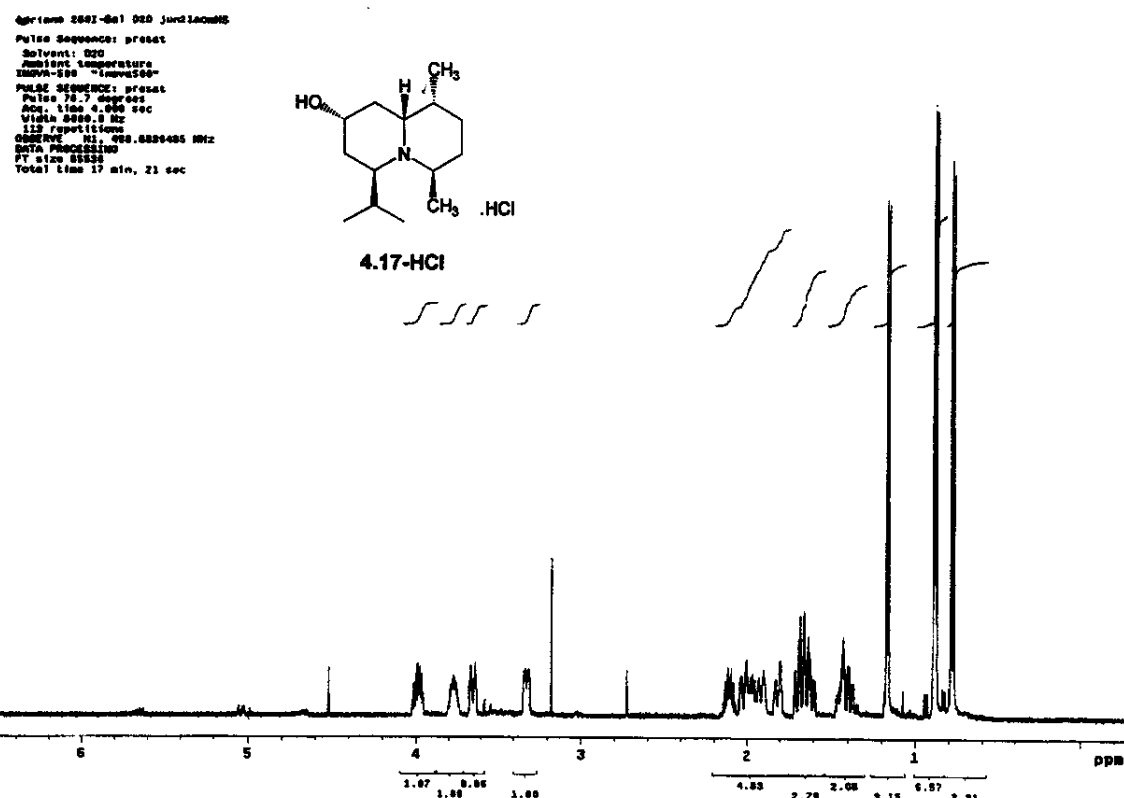
Anexo 4.17_IV: Filme em NaCl



Anexos Capítulo 4

xxix

Anexo 4.17-HCl_H: ^1H -RMN (D_2O , 500MHz, ta)



Anexo 4.17-HCl_CYCLENODE: nOe: Irradiação δ 3,83 (D_2O , 500MHz, ta)

